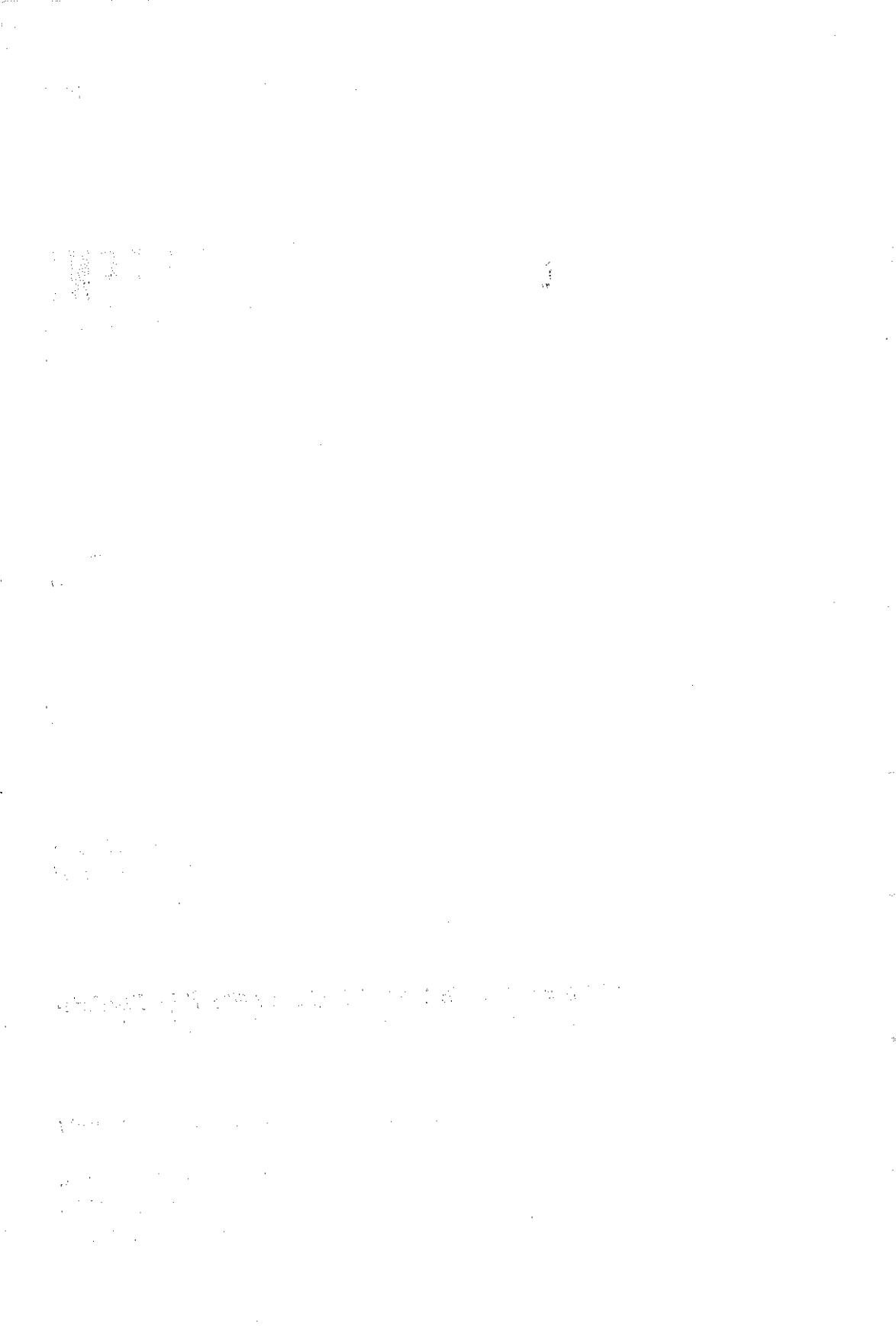


HACETTEPE

# TIP / CERRAHİ BÜLTENİ

## İÇİNDEKİLER

- 1** Bir Parsiyel Lipodistrofi Vakasında Böbrek Bozukluklarının İnce Yapı Düzeyinde İncelenmesi  
Dr. DENİZ BALTA / Dr. ESİN AŞAN / Dr. AYŞIN BAKKALOĞLU / Dr. AYFER GÜR
- 13** Kist Hidatik ve Antijen Yapısı  
Dr. BURHAN KAYHAN
- 19** Eozinofilik Granulomada İnce Yapı  
(Epidermal Langerhans Hücrelerine Benzer Fagositik Hücreler Tönlünden)  
Dr. ESİN AŞAN / Dr. KENAN ARAZ
- 32** İskemik Böbrek Hastalıklarında Böbreğe Doğru Gelişen Kollateral Sirkülasyonun Anatomisi  
Dr. TÜLİN ARAS
- 44** Ergin Siçanlarda Nukleus Kaudatusun Yapısal Niteliklerinin İşık ve Elektron Mikroskopu Düzeylerinde İncelenmesi I  
Dr. AFET SOLMAZ ÖZORAN
- 70** Kist Hidatik, Taenia Saginata ve Hymenolepis Nana Arasındaki Antijenik İlişkiler  
Dr. BURHAN KAYHAN
- 76** Siçan Pankreasında Dış Salgı Oluşturan Son Kısım Hücrelerinde Pilokarpinle Uyarılmadan Sonra Ortaya Çıkan Yapı Değişiklikleri  
(İşık ve Elektron Mikroskopu Düzeyinde İnceleme)  
Dr. DENİZ BALTA
- 102** Arteria Hepatica'nın Variasyonları, Ekstrahepatik Safra Kanalları ve Vena Porta ile Olan Komşulukları  
Dr. NURAN YENER
- 110** Siçan Çene Altı Tükürükbezi İnce Yapı ve Histokimyasal Özellikleri  
Dr. ESİN AŞAN



HACETTEPE

# TIP / CERRAHİ BÜLTENİ

## İÇİNDEKİLER

- 289** *Malign Tümörlerde Üriner Diversiyon Olarak Nefrostominin Yeri*  
Dr. ATIF AKDAŞ / Dr. YAŞAR BEDÜK / Dr. DOĞAN REMZİ / Dr. ÇELİK TAŞAR
- 296** *İnsan ve Köpekte Koroner Damarsal Yapı ve Myokard Dolasımı*  
Dr. ARGUN SAYLAM / Dr. YAMAN ZORLUTUNA / Dr. KAYA SÜZER / Dr. METİN DEMİRCİN / Dr. AYDIN AYTAÇ
- 308** *Deneysel Hemorajik Şokta Uygulanan Hipoterminin Böbrek Morfolojisine Üzerine Etkisi*  
Dr. ORHAN DUMAN / Dr. KAYA KILIÇTURGAY / Dr. ORHAN ANDAŞ
- 322** *Prematür Doğum Eyleminin Durdurulmasında Salbutamol'ün Rolü*  
Dr. TEKİN DURUKAN / Dr. ALİ AYHAN / Dr. NEJAT GEYHAN
- 325** *Nasal Septum Primer Carcinomu  
(Primary Carcinoma of the Nasal Septum)*  
Dr. OSMAN Ö. BİTİTCİ / Dr. ARİF H. YÜKSEL
- 332** *Ureter Varyasyonları: Çift Ureter*  
Dr. ERGÜL DEVA
- 339** *İatrojenik Nefrektomi*  
Dr. MEHMET BAKKALOĞLU / Dr. YALÇIN EVLİYAOĞLU / Dr. DOĞAN REMZİ
- 344** *Deneysel Hemorajik Şokta Uygulanan Hipoterminin Böbrek Fonksiyonlarına Etkisi*  
Dr. ORHAN DUMAN
- 362** *Enfluranın Sistemik ve Splanknik Hemodinamiye Etkisi*  
Dr. AHMET TUTAN / Dr. ZAHİDE ELAR / Dr. AHMET H. ÖZTÜRK
- 373** *Fötal, Neonatal, Genç, Ergin ve Yaşlı Kobaylarda Thymus'un Evolusyon ve Envolusyonu ile bu Periyodlarda Meydana Gelen Değişikliklerin Makroskopik, Mikroskopik ve Histokimyasal Metollerla Araştırılması*  
Dr. RAGIBA ZAĞYAPAN



HACETTEPE

# TIP / CERRAHİ BÜLTENİ

## İÇİNDEKİLER

- 379 Koroner Arter Cerrahisinde Myokard Korunmasının Retrograd Olarak Koroner Sinüsden Soğuk Perfüzyon ile Sağlanması (Deneysel Çalışma)**  
Dr. ARGUN SAYLAM / Dr. AYDIN AYTAÇ / Dr. ORHAN ANDAĞ /  
Dr. İLHAN TUNCER / ALİ ASLAN / Vet. Dr. Ş. NESRİN UNCU /  
Dr. COŞKUN İKİZLER / Dr. AYŞE AYHAN / Dr. YURDAKUL YURDAKUL /  
Dr. RÜSTEM OLGA
- 395 Vagusların Uyarılmasının Efektif Böbrek Plazma Akımı, Efektif Böbrek Kan Akımı, Glomerüler Filtrasyon Hizi ve Böbrek Direnci Üzerine Etkisi**  
Dr. BEDRİ ÖZEN / Dr. KEMAL S. TÜRKER /  
Dr. ABİT YALÇIN RIDVANAĞAOĞLU / Kim. YÜCEL UĞUR /  
Dr. DİCLE BALKANCI
- 402 Tekrarlayıcı Üriner Sistem Taş Hastalığında Klinik ve Laboratuvar İncelemeler**  
Dr. MEHMET BAKKALOĞLU / Dr. RECAİ GÜRBÜZ / Dr. DOĞAN REMZİ /  
Dr. ÜNAL YASAVUL / Dr. SEZAİ M. KUŞ
- 418 Malign Trofoblastik Hastalıklar  
(50 Olgunun Klinik Olarak İncelenmesi)**  
Dr. ALİ AYHAN / Dr. TEKİN DURUKAN / Dr. SINAN ÖZALP
- 427 Dalak Anomalisi**  
Dr. DOĞAN AKŞIT / Dr. TÜLIN ARAS
- 431 Açık Kalp Cerrahisinde Myokard Korunması**  
Dr. ARGUN SAYLAM / Dr. YAMAN ZORLUTUNA / Dr. METİN DEMİRCİN /  
Dr. KAYA SÜZER / Dr. AYDIN AYTAÇ
- 446 Sakral Parasempatiklerin ve Vagusların Kesilmesinin Efektif Böbrek Plazma Akımı, Efektif Böbrek Kan Akımı, Glomerüler Filtrasyon Hizi ve Böbrek Direnci Üzerine Etkisi**  
Dr. BEDRİ ÖZEN / Dr. ABİT YALÇIN RIDVANAĞAOĞLU /  
Dr. KEMAL S. TÜRKER / Kim. YÜCEL UĞUR / Dr. DİCLE BALKANCI
- 453 İntestinal Obstrüksiyonlarının Genel Analizi**  
Dr. YÜCEL ARITAŞ / Dr. AHMET ATALAY / Dr. SEYFİ AKŞEHİRLİ /  
Dr. YAŞAR YEŞİLKAYA
- 461 Böbrek Tüp Fonksiyonları Üzerine Parasempatiklerin Etkisi**  
Dr. BEDRİ ÖZEN / Dr. ABİT YALÇIN RIDVANAĞAOĞLU /  
Dr. KEMAL S. TÜRKER / Kim. YÜCEL UĞUR / Dr. DİCLE BALKANCI



# Bir Parsiyel Lipodistrofi Vakasında Böbrek Bozukluklarının İnce Yapı Düzeyinde İncelenmesi\*

Dr. Deniz Balta\*\* / Dr. Esin Aşan\*\* / Dr. Ayşin Bakkaloğlu\*\*\* /  
Dr. Ayfer Güür\*\*\*\*

## *Giriş*

Parsiyel lipodistrofi seyrek gözlenen ve çoğunlukla yüzde çift taraflı olarak deri altı yağ dokusunun kaybıyla karakterize bir olgudur. Hastalarda seyakte olsa göğüs, karın ve kalçada da yağ kaybı izlenebilmektedir. Buna karşın vücudun distal bölgelerinde yağ birikimi olmaktadır.<sup>1</sup>

Hastalık sürecinde gözlenebilecek diğer bozukluklar diabetes mellitus (lipoatrofik diabet), hepatomegali ve karaciğer fonksiyon bozuklukları, kas hipertrofisi, hiperpigmentasyon ve hipertrigliceridemi olarak tanımlanmıştır.<sup>1</sup>

Parsiyel lipodistrofyle böbrek bozuklukları arasındaki ilişki ilk kez 1958 de Gellis, Green ve Walker<sup>2</sup> tarafından tariflenmiştir. Daha sonraları değişik böbrek bozukluklarıyla birlikte giden parsiyel lipodistrofi vakaları tanımlanmıştır.<sup>1, 3, 4, 5</sup>

Bu araştırmada parsiyel lipodistrofi tanısı almış bir vakadaki böbrek bulguları ince yapı düzeyinde incelendi ve literatür bulgularıyla karşılaştırılarak değerlendirildi.

\* Bu Araştırma Hacettepe Üniversitesi Tıp Fakültesi Histoloji-Embriyoloji Bilim Dalında Yapılmıştır.

\*\* Aynı Fakülte, Histoloji-Embriyoloji Bilim Dalı Doçenti.

\*\*\* Aynı Fakülte Pediatrik Nefroloji Bilim Dalı Doçenti.

\*\*\*\* Çukurova Tıp Fakültesi Pediatri Bölümü Doçenti.

### Vaka Takdimi

Hasta 11 yaşında bir kız çocuğu (Prot. No. 1005764) Şubat 1978 yılında Hacettepe Hastanesi Pediatrik Nefrolojik kliniğine müracaat ediyor. Kilo kaybı ve iki senedir göz kapaklarında şişliği olmuş. Yüzde yağ dokusunun erimesi dışında belirgin bir özellik bulunmamış (Şekil 1).



Şekil 1

**Laboratuvar Bulguları:** Hb/14.4 gr/dl, B.K. 6000 mm<sup>3</sup>, BUN: 100 mg/dl, Serum Creatinin 0.8 mg/dl, idrar muayenesi normal, ANA (-), Cryoglobulin (-), C<sub>3</sub> = 5 mg/dl (düşük), C<sub>4</sub> = 30 mg/dl (normal), EA (Fc) rosette inhibition % 34,5, Anne ve kız kardeşlerin C<sub>3</sub> leri normal, Sinus grafisinde bilateral sinuziti var. I. V. P. normal. Böbrek biyopsisinde ışık mikroskopik bulguları normal IgA ve IgM de hafif granüler depolanması var. Dolaşan immün kompleksleri (+). Hasta halen Hacettepe Üniversitesi Tıp Fakültesi Pediatrik Nefroloji Bölümünde takip edilmektedir.

### Materiel ve Metot

Elektron mikroskopik inceleme için böbrekten iğne biyopsisiyle alınan parça önce % 2,5 luk gluteraldehit (fosfat tamponlu pH. 7,2), daha sonra aynı tampon içindeki % 1 osmiyum tetraoksit solüsyonlarıyla tesbit edildi.<sup>6</sup>

Tesbitten sonra dereceli etil alkol serilerinden geçirilerek suyu alınan doku parçaları araldit'e gömüldüler. İnce kesitler önce kurşun sitrat, sonra uranil asetatla ardarda boyandılar. Carl Zeiss 9S 2 ye dönüştürülmüş EM 9 A elektron mikroskobunda incelendiler.

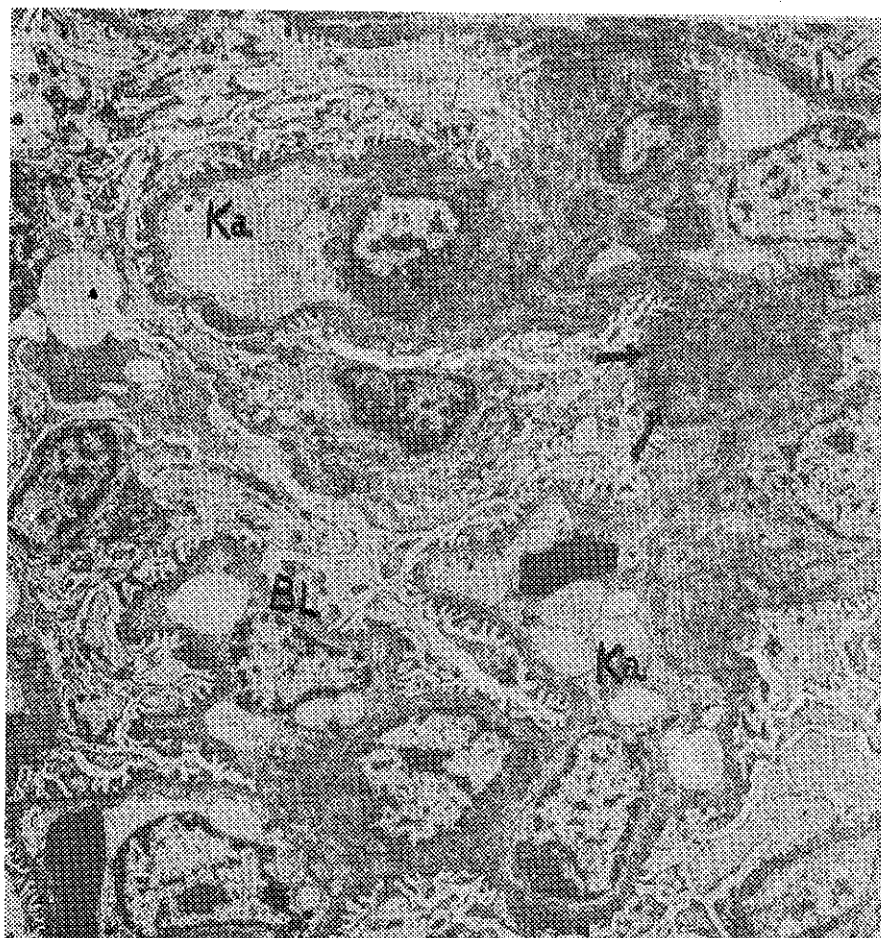
### Bulgular

Küçük büyütmeli mikrograflarda glomerül kapillerlerinin lümenlerinin gözlenemeyişi en dikkati çeken özelliklerdendi (Şekil 2, 3). Endotel hücrelerinin şistiği ve kapiller lumenini doldurduğu, yer yerde izlenebilen kapiller lumenlerinde parçalanmış endotel hücresi artıklarıyla, büyük zarla çevreli kistik yapılar ilgiyi çekti (Şekil 2-4). Bazı bölgelerde endotel hücre sitoplazmasında geçişime ilişkin büyük endositotik vakuoller belirgin olarak görüldü (Şekil 5). Bilinen pencerevi kapiller endoteli yapısının yer yer korunmasına karşın, bazen de bozulduğu seçildi (Şekil 5-8).

Küçük büyütmeli mikrograflarda podosit hücre plazmasında vakuoller dikkati çekti (Şekil 2, 3). Podositlerin yapı ayrıntıları daha büyük büyütmeli mikrograflarda belirlendi. Bu hücrelerde Golgi kompleksi, küçük kesecikler ve mitokondriyonlar seçindi. Podosit hücre sitoplazmasında hücre içi filamanlar belirdi (Şekil 6). Podosit ayaklarının genel olarak alışılmış düzenini koruduğu (Şekil 4) ancak bazen de geniş tabanlı büyük sitoplazmik uzantılar yapacak biçimde bazal laminaya yaslandı ayırdedildi (Şekil 6). Podosit ayakları arasındaki aralıkların bazı bölgelerde kaybolduğu ve ayakların birbirile birleşme eğiliminin arttığı izlendi (Şekil 5-7). Özellikle bazal laminanın uniform ve homogen biçimde kalınlaşığı yerlerde podosit ayaklarının düzenli diziliminin kaybolduğu seçildi (Şekil 9).

Küçük büyütmeli mikrograflarda glomerül Bowman kapsülü dış yaprağı bazal laminasının aşırı derecede kalınlaşlığı ilgiyi çekti (Şekil 3). Ayrıca süzücü zar bazal membranının da uniform olarak kalınlaşlığı seçildi. Kalınlaşan bazal lamina içinde özellikle visseral epitelye yakın bölgelerde belirgin olmak üzere yoğun madde birikimi belirdi (Şekil 2, 3, 6, 7).

Madde birikiminin bazen tüm bazal lamina kalınlığı boyunca büyük homogen kitleler oluşturduğu ilgiyi çekti (Şekil 2, 3, 5). Bazı bölgelerde bazal laminanın üçlü yapı düzenini koruyarak kalınlaşlığı ve madde birikiminin podositlere yakın tarafta granüle benzer bir biçimdeoluştugu gözlandı (Şekil 8). Bazal laminanın yapı bozukluğu bazı bölgelerde endotel tarafına doğru çöküntüler oluşturacak biçimde dalgalı

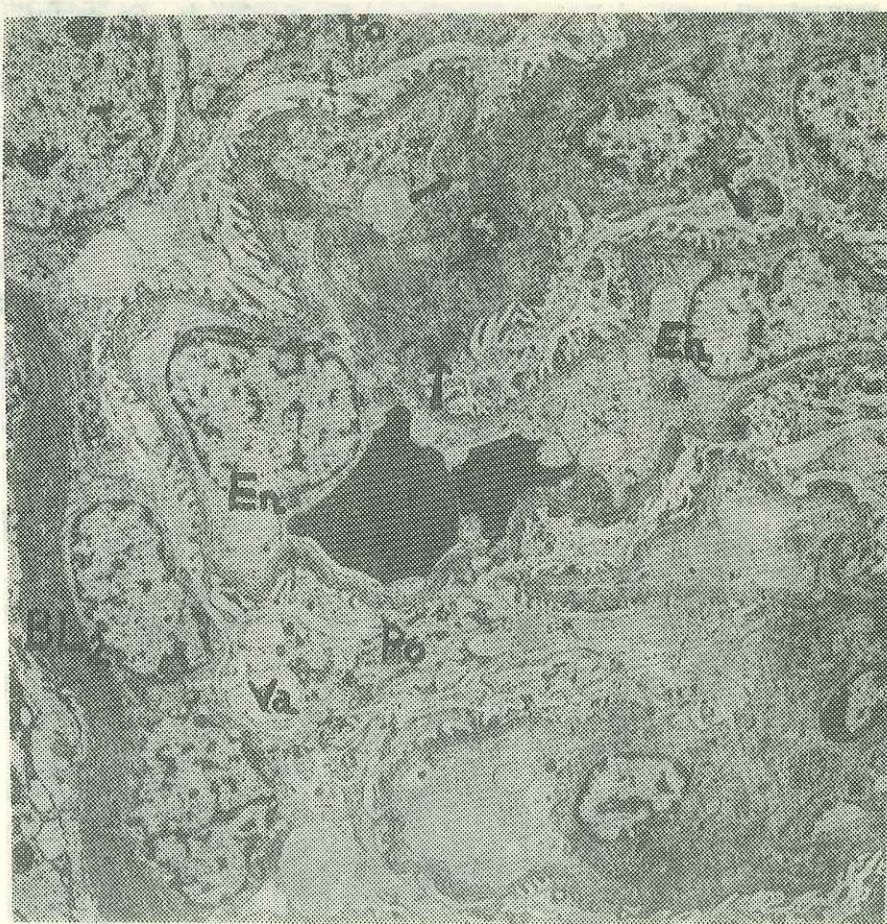


**Şekil 2**

Küçük büyütmeli bir elektron mikrografta glomerül iç düzeninin bozukluğu sergileniyor. Kapiller lumenlerinin yer yer tüm ortadan silindiği, yer yerde kistik yapılar içerdiği gözleniyor (Ka). Bazal laminanın uniform kalınlaştiği (BL) ve bölgesel olarak bazı alanlarda dens materyel toplulukları ilgiyi çekiyor (ok). Kurşun sitrat-Uranil asetat. X 4750.

bir yapı kazanmasıyla karakterizeydi. Uniform ve homogen bazal lamina kalınlaşması podosit ayaklarındaki silinmenin belirgin olduğu yerlerde dikkati çekti. Bu bölgelerde bazal lamina içinde çevresi açık renk, ortası elektron yoğun bir maddeyle dolu birikintiler gözlendi (Şekil 9).

Mezangiyal hücrelerin çevresinde bazal laminaya benzer materyel toplanması ayırdedildi. Ayrıca bu bölgelerde de yoğun madde birikiminin belirgin olduğu dikkati çekti (Şekil 2, 5).



Şekil 3

Diğer bir panoramik mikrograftaki değişiklikler izleniyor. Endotel hücrelerinin şiştiği, yer yer kapiller lümenini tamamen doldurduğu dikkat çeker. En, endotel hücresi. Glomerul Bowman kapsülü dış yapraqı bazal laminasının aşırı derecede kalınlaşlığı belirgin.  $BL_2$ , dış yapraq bazal laminası; Oklar, bazal laminada dens materyel toplulukları. Podosit (Po) hücre sitoplazmasında vakuolizasyon (Va) dikkat çeker.

Kurşun sitrat-Uranil asetat. X 4750.

Küçük büyütmelerde mezangiyal hücreler koyu sitoplazmalı, iri çentikli çekirdekliydi (Şekil 2, 4). Mezangiyal hücreler organelden zengin değildi. Sitoplasmalarında yaygın kesecik dağılımı ve seyrek mitokondriyonlar ilgiyi çekti (Şekil 5).

#### Tartışma

Senior ve Gellis,<sup>1</sup> parsiyel lipodistrofili 25 hastanın 14'ünde değişik böbrek bozuklukları tariflemiştir. Bunlar klinik olarak piyelonefrit,



Şekil 6

Podosit hücre sitoplazması yapı ayrıntısıyla, kapil duvarı ve endotel hücresi birlikte izleniyor. Podosit uzantılarının pediküller yerine geniş tabanlı (PA) sitoplazmik uzantılar biçiminde kapil duvarına yaslandığı gözleniyor. Podosit sitoplazmasında belirgin Golgi kompleksi (Go), kesecikler (Ke), mitokondriyonlar (Mi) dikkat çekiyor. Endotel hücresi (En) sitoplazmasında parçalanma ve pencere kapiller duvarının (Ka) yer yer bozulduğu seçiliyor (ok). Bazal laminanın podostitlere bakan tarafında yoğun bir bant şeklinde madde birikiminin belirginleştiği ve bazı bölgelerde bazal laminanın endotel tarafına doğru çokıntılar oluşturacak biçimde dalgalı bir yapı kazandığı ilgili çekiyor (çift ok). Kurşun sitrat-Uranil asetat. X 11750.

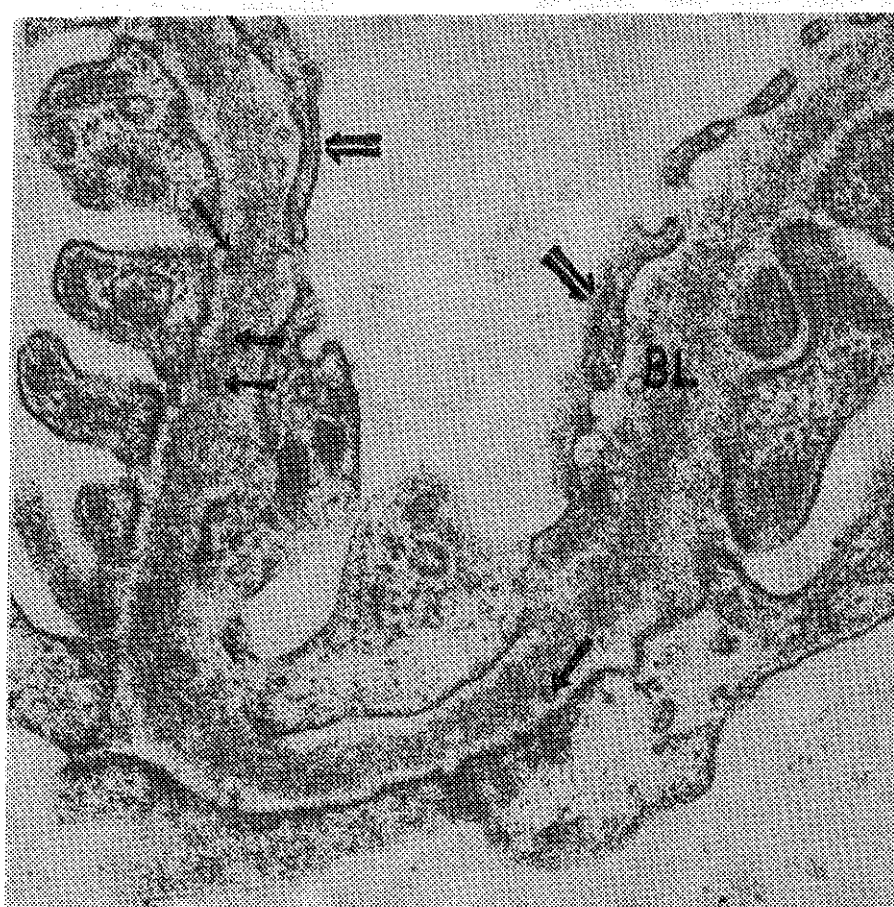
Eisinger, Shortland ve Moorhead,<sup>4</sup> lipodistrofideki böbrek bozukluğunun soluble kompleks nefriti olduğunu ileri sürümlerdir. Kapiller lumeninden uzun süreli ve sürekli bir immun kompleks sizimi olmakta ve materyel birikiminin görülmemiği bölgelerde dahi, bazal lamina yapısı bozulmaktadır. Bu durum bazal laminanın normal olmayan bir geçirgenlik değişimine bağlanmıştır.



Şekil 7

Podosit uzantıları birlikte, glomerül kapillerlerinin yapısı görülmeyecektir. Podosit ayaklarının (PA) yer yer birbirleriyle birleştiği, yer yerde büyük sitoplazmik ayakların kapiller duvarına yaslandığı dikkati çekiyor. Bazal laminanada (BL) belirgin ve uniform bir kalınlaşma, delikli kapiller membranında bozulma (ok) izleniyor. Bazal laminanın bazı yörelerde ortada açık renk bir bölgeyle birbirinden ayrılmış iki yoğun bant biçiminde çatallandığı görülmeyecektir. Po, podosit. Kurşun sitrat-Uranil asetat. X 11750.

İncelenen bu vakada bazal laminanın uniform kalınlaşlığı saptandı. Kalınlaşan bazal lamina içinde madde birikiminin bazen tüm bazal lamina kalınlığı boyunca büyük homogen kitleler oluşturduğu ilgiyi çekti. Bazi bölgelerde bazal laminanın normal üçlü yapı düzeninin kaybolduğu ayırdedildi. Yer yer de normal yapısını koruyarak kalınlaşmış bazal lamina içinde madde birikiminin podositlere yakın tarafta

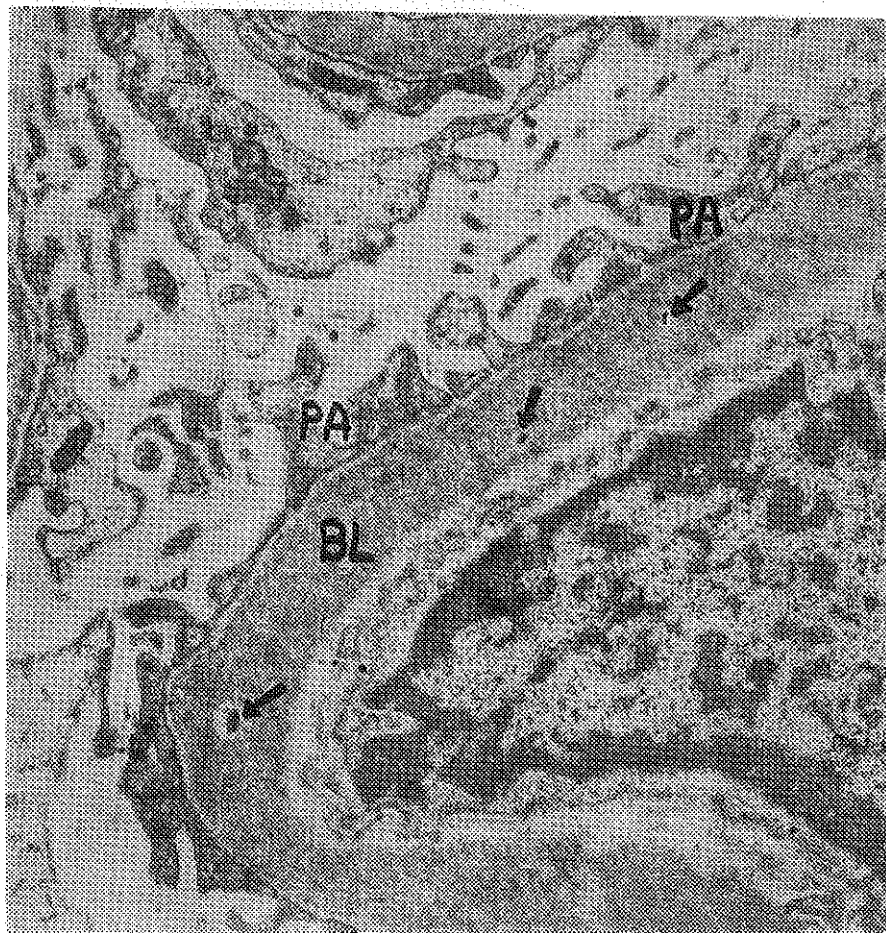


**Şekil 8**

Süzücü membranın yapı ayrıntısı büyük büyütmede izleniyor. Bazal laminanın (BL) üçlü yapı düzenini koruyarak kalınlaşlığı dikkati çekiyor. Bazal lamina içinde podosit ayakları tarafına yakın, granüle benzer yoğun madde birikimi ilgiyi çekiyor (ok). Endotel hücre sitoplazmasındaki porların azaldığı belirgin (çift ok). Kurşun sitrat-Uranil asetat. X 21250.

graniüle benzer biçimde olduğu görüldü. Bazal laminanın yapı bozukluğu bazı bölgelerde endotel tarafına doğru çöküntüler oluşturacak biçimde dalgalı bir yapı kazanmasıyla belirgindi. Ayrıca mezangiyal hücrelerin çevresinde bazal laminaya benzer materyel toplanması ayırdıldı. Bu bölgelerde de yoğun madde birikimi belirgindi.

Vakamızdaki bazal lamina bozuklıklarının yapısal olarak bu denli değişiklik göstermesi ilgi çekiciydi. Bu nedenle yapısal yönden vakamızın lipodistrofideki böbrek bozuklukları olan soluble kompleks nefrit



Şekil 9

Uniform ve homogen bazal lamina (BL) kalınlaşması ve podosit ayaklarında (PA) silinme, yer yer birleşme görülmüyor. Bazal lamina içinde etrafı açık renk, ortası elektron yoğun madde birikimi izleniyor (oklar). Kurşun sitrat-Uranil asetat. X 21250.

ya da Masugi nefriti<sup>4</sup> ya da membranaproroliferatif glomerulonefrit<sup>8</sup> grubuna sokulamayacak özgün bir vaka olduğu yargısına varıldı. Ancak temelde bazal laminadaki yapı bozukluğunun geçirgenliğindeki patolojik değişimi yansıtabileceğि düşünüldü.

Endotel hücrelerindeki bozukluklar, kapiller lumenlerinin gözle nememesi, endotel hücrelerindeki şişme, penceredeli kapillerin yer yer bozulması ve kapiller lumenlerinde yer yer parçalanmış endotel hücre artıklarının izlenmesi, bizim vakamızda olduğu gibi Eisinger ve arkadaşları,<sup>4</sup> tarafından da tanımlanmıştır.

Ayrıca yer yer podosit ayaklarındaki silinme ve birbirleriyle birleşmede daha önce bildirilmiştir.<sup>4</sup> Süzücü zara ait endotel hücresi ve podositlerde gözlenen yapısal değişimelerin, bazal lamina kahnlAŞma-şıyla birlikte gözlenmesi, patolojik bir geçirgenlik değişiminin olaylan-dığını düşündürmektedir.

Bu bulgular vakanın, kompleman aktivasyonuyla gelişen erken bir dens depozit hastalığı olabileceği izleminini verdi. Çünkü vakanın kompleman düzeyi çok düşük ve soluble immun kompleksleri de müsbetti. Bu nedenle parsiyel lipodistrofide böbrek bozukluğunun erken tanımlanmasında elektron mikroskopun önemi ortaya kondu.

### *Özet*

Bir parsiyel lipodistrofi vakasındaki erken böbrek bozuklukları ince yapı düzeyinde incelendi. Endotel hücrelerinde, podositlerde ve süzücü zar, bazal laminasındaki yapısal değişimler elektron mikroskop düzeyinde ortaya kondu. Bu bulguların böbrekte normal olmayan bir geçirgenlik değişimini gösterebileceği düşünüldü.

### *KAYNAKLAR*

1. Senior, B., Gellis, S. S.: The syndromes of total lipodystrophy and of partial lipodystrophy. *Pediatrics*, **33**: 593, 1964.
2. Gellis, S. S., Green, S., Walker, B.: Chronic renal disease in children with lipodystrophy. *Am. J. Dis. Child.*, **96**: 605, 1958.
3. Hamza, M., Levy, M., Broyer, M.: Deus cas de glomerula nephrite membrano proliferative avec lipodystrophie partielle de type faciotronuclaire. *J. Urol. Nephorl.*, **76**: 1032, 1970.
4. Eisinger, A. J., Shortland, J. R., Moorhead, P. J.: Renal disease in partial lipodystrophy. *Q. J. Med.*, **41**: 343, 1972.
5. Peters, D. K., Williams, D. G., Charlesworth, J. A.: Mesangio-capillary nephritis, partial lipodystrophy and hypocomplemæmia. *Lancet*, **2**: 535, 1973.
6. Palade, G. E.: A study of fixation for electron microscopy. *J. Exp. Med.*, **95**: 285, 1952.
7. Giuseppe, A. A., Seegal, B. C., Hsu, K. C., Rothenberg, M. S. and Chapeau, M. L.: Electron microscopic studies of experimental nephritis with ferritinconjugated antibody. *J. Exp. Med.*, **117**: 691, 1963.
8. Habib, R., Gubler, M. C., Loirat, C. H., Maiz, H. B. and Levy, M.: Dense deposit disease. A. variant of membranoproliferative glomerulonephritis. *Kidney Int.*, **7**: 204, 1975.

# Kist Hidatik ve Antijen Yapısı

Dr. Burhan Kayhan\*

**E** kinokok'un siklusu: Hastalığın amili Echinococcus granulosus isimli bir tenyadır.

Parazit 2 ile 9 mm. uzunluğundadır, vücut çengellere sahip skoleks, boyun ve 3-4 halkadan ibarettir. Köpek, kurt, tilki, kedi, çakal, ayı gibi hayvanların ince barsaklarında villuslara yapışarak yaşar.

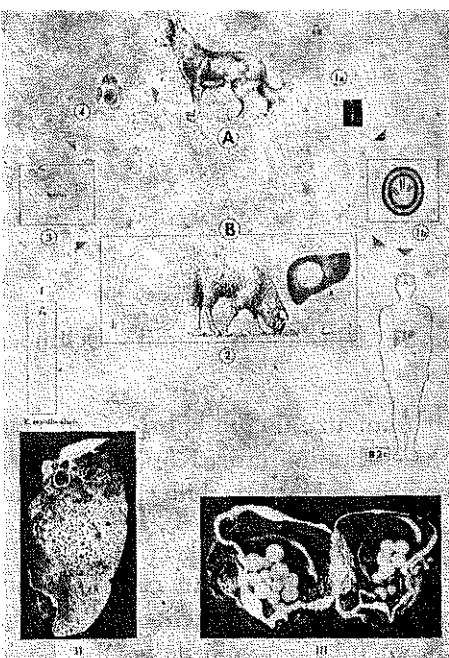
Bu parazitin yumurtaları koyun, keçi, sığır, geyik, deve, insan gibi arakonakçının barsağına girdiği zaman embriyon yumurtadan ayrılır, embriyo barsak duvarını delerek mezenter venler ile karaciğere gelir. Karaciğerden bütün vücuda kan yolu ile yayılır. Çeşitli organ ve dokularda yerlesir, insanda kist hidatik adı verilen klinik tabloyu meydana getirir (Şekil 1). Skoleks ihtiva eden enfekte bir organın et yiyeceği bir hayvan tarafından alınmasıyla sekiz hafta zarfında tenya husule gelir ve hayvanın bağırsağında yaşamaya devam eder. Bu şekilde parazitin hayat siklusu devam eder.

İnsanlar köpeklerle direk temas veya enfekte köpek ve diğer hayvanların dışkılarıyla kirlenmiş sebze, meyve veya suyu almaları sonucu enfekte olurlar.

Embriyon yerleştiği yerde çengellerini kaybeder, kese haline geçer, gayet yavaş büyür; bir insan başı kadar büyüyebilir. Kist hidatik ile konakçı arasındaki doku reaksiyonuna bağlı olarak kist hidatığın dış tabakası oluşur. Buna kütüküler zar da denir. Mikropların kist içine girmesine engel olur. İç tabaka, bu tabakaya membran germinative de denir. Kalın lamellerden yapılmış bir zardır. Bu tabakadan yavru keseler, skoleks ve çimlenme kapsülleri doğar.

a) **Skoleksler:** Parazitin başıdır. Ana vezikülde, yavru veziküllerde ve çimlenme kapsülleri içinde bulunur. Müsait bir ortamda, bunlardan yeni veziküller çıkar, köpeklerde tenya gelişir.

\* Hacettepe Üniversitesi, Tıp Fakültesi Gastroenteroloji Bölümü Doçenti.



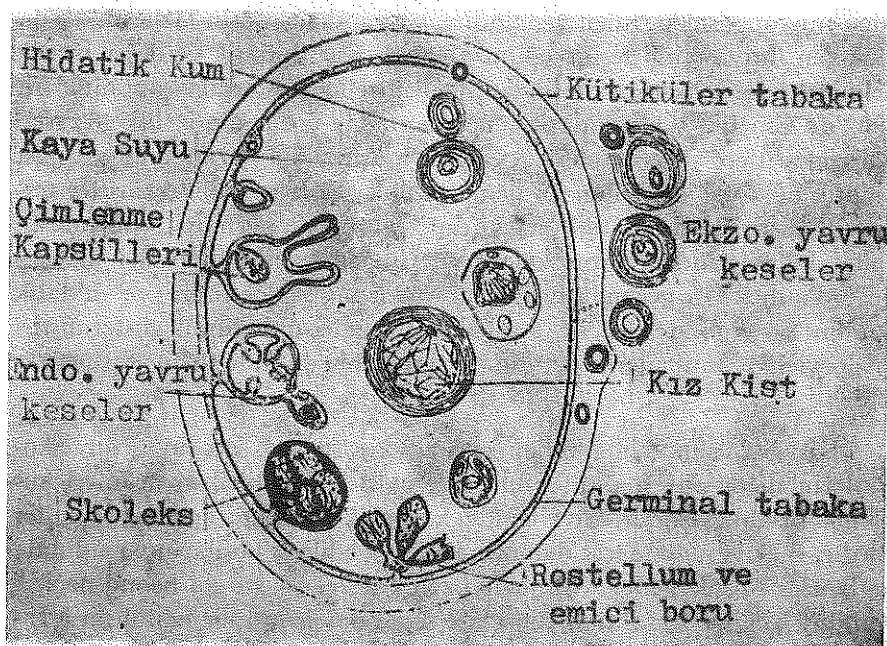
Şekil 1  
Kist hidatik'in tabiatındaki evrimi.

**b) Çimlenme kapsülleri:** Bu kapsüller germinativ zardan çıkıp, kist içine doğru uzanır. İçlerinde skoleksler vardır.

**c) Kız Veziküller:** Bunların germinativ zarları ve içindekilerde kaya suyu vardır. Ekinokokus keselerine benzerler. Kız veziküllerin bir kısmı içeri doğru büyür (endojen kız veziküller). Bir kısmı da dışarı doğru büyürler (ekzogen kız veziküller) meydana gelir. Bazı kistlerin içinde kız veziküller ve skoleks yoktur. Bunlara "Echinococcus Sterilus" denir.<sup>1-4</sup>

**d) Kaya Suyu:** Ekinokok kesesinin içinde bulunur. Menşei vasküler olan bir mayıdır. Renksiz kaya suyu gibi saydamdır, pH si 7,2-7,4 yoğunluğu 1007-1015 dir, normal halde sterildir. Terkibi: Kreatin, Lesitin, amonyum tuzları, üre, ürik asid, tiamin, nikotinik asid ve C vit gibi çeşitli vitaminler ve NaCl, kalsiyum gibi minerallerden başka antijenik özellik gösteren amino asidler, glukoz, protein ve skolekslerin metabolizma artıklarından oluşur (Şekil 2).

Kist hidatiğin beslenmesi için gerekli maddeler direkt olarak konakçı dokusundan absorbe edilir.<sup>5</sup> Kist hidatiğin duvarı yerleştiği ko-



**Şekil 2**  
Kist hidatik şeması.

nakçıya ait ion ve moleküllerin kist sıvısı içine geçişde bariyer teşkil eder. Kist hidatik duvarının su için yüksek geçirgenlik gösterdiği ozmotik ve radioizotop tekniklerinin birlikte kullanılmasıyla gösterilmiştir.<sup>6</sup> Kist duvarının Na ve Cl gibi elektrolitlere geçirgenliği suya nispetle düşüktür.<sup>7,8</sup> Kist hidatik sıvısı içinde konakçıya ait IgG ve albümين tespit edilmiştir.<sup>9</sup> Müşahadeler kist membranında proteinlerin geçmesine müsaade edecek kâfi büyülükte delikler olduğunu düşündürmektedir. Membran hücrelerinin yenilenmesi sırasında yeni hücreler eskilerin yerine geçerken birleşme noktalarında geçici membranal sizıntıların meydana geldiğini telkin eder.<sup>10</sup> Konakçıya ait makro moleküllerin germinal tabakadan geçerek kist hidatik sıvısına giriş mekanizması bugün için kesinlikle aydınlanmamıştır. Laminal membranda tespit edilen konakçıya ait IgG nin menşeyinin, germinal membranın konakçıya karşı meydana getirdiği IgG olabileceği ihtimali üzerinde durulmuş ise de fluoresan ile işaretli tavşan IgG nin eksperimental olarak invitro geçişinin gösterilmesi ile bu husus açıklığa kavuşmuştur.<sup>11</sup>

**Kist Hidatikde Antijen Kaynağı:** Kist hidatik duvarını oluşturan dıştaki membran konakçı ile parazit arasında meydana gelen reaksiyon sonucu teşekkül eder. Bu tabaka galaktozamin ve glukozamin ihtiiva

eden mukopolisakkaritden zengindir.<sup>12</sup> Protoskolekslerin fazla miktarda glukojen ihtiya ettiği tesbit edilmiştir.<sup>13, 14</sup> Kist hidatik ve diğer birçok helminتلرde polisakkaridlerin antijenik özellik gösterdiği saptanmıştır. 1952'de Cmelik,<sup>15</sup> kist hidatik membranından antijenik özellik gösteren polisakkaritleri izole etmiştir. Çeşitli araştırmacılar tarafından da kist hidatik doku ve sıvısından antijenik özellik gösteren polisakkaritler tesbit edilmiştir. Kist hidatının içteki duvarını yapan germinatif membran epitel hücrelerinden, protoskoleks ve cimlenme kapsüllerinden ibarettir.<sup>16</sup> Pauluzzi,<sup>15</sup> germinatif membranların, skolekslerin ve hidatik kumun serolojik testler ile antijenden zengin olduğunu göstermiştir. Bozicevich<sup>17</sup> antijenlerin germinatif tabakada yapıldığını ileri sürmektedir.

Kist hidatikte ikinci antjen kaynağı kist sıvısı (kaya suyu) dir. Skolekslerin metabolik mahsüllerinin kist sıvısı içinde biriken türleri antijenik özellik gösterir. Sıvı içinde antijenik özellikte çeşitli proteinler vardır. Bu sıvı tavşanların damarına şırınga edilirse bunların vücutunda antikorlar husule gelir.<sup>2</sup> Antijenik özellik taşıyan kistlerin hacmi değişik olabilir. 57 litre sıvı ihtiya eden kist nadir de olsa rapor edilmiştir.<sup>3</sup> İnsanda kistin rüptürü sonucu senkop, terleme, eozinofili, hipotansiyon, sirkülatuuar şok ve ani ölüm gibi anfilaktik belirtiler ortaya çıkar. DeneySEL olarak koyunlara damardan 5-10 ml kist sıvısı verilirse hayvanlarda alt hava yollarında fazla miktarda müküs, alveollerde ödem, kanama, akciğer kapiller ve peribronşiyal damarlarda konjesyon ile ölüm görülür.<sup>18</sup> Bu bulgular kist sıvısının antijenik özelliğini yansitmaktadır.

Kist hidatikde protein, peptid veya lipidlere bağlanan polisakkaritler ve karbonhidrat artıkları antijenik hususiyet gösterir. Protein antijenleri karbonhidrat antijenlerinden birçok yönleri ile farklıdır. Proteinlerin antjen özelliği peptid sırasına bağlıdır. Kist hidatik antijenleri karışık bir yapıya sahiptirler. Kist hidatik sıvısı ve yapı taşları serolojik testlerde antijen olarak kullanılır. Serolojik test için kist sıvısının elde edildiği konak'ın türü ve kistin yerleştiği organ antijenik kuvvet ve reaksiyon yönünden farklılık gösterir.<sup>19</sup> İnek kist sıvısı, insan veya domuz kist sıvısından daha az antijeniktir. Bir çok kistler arasında olduğu gibi konakçıdan, konakçuya değişen ve ayrıca gelişmiş kist ile fertil kist arasında antijenik özellik bakımından farklılık olduğu tespit edilmiştir. Serolojik çalışmalarında fertil kistler antijenik materyel olarak tercih edilir.

Kist antijeninin saf olmaması sebebiyle kist hidatik tanısında kullanılan antijenler serobiyojik testlerde yalancı olumlu sonuçlara yol açar. Kist antijen yapısının, konakçı antijen yapısına benzemesi sebebiyle

tanı amacı ile kullanılan serumların sıkılıkla çapraz reaksiyon gösterdiği müşahade edilir. Koyun kist sıvısı, koyun serum komponentleri ve parazit antijenlerinin karışımından ibarettir. Norman ve arkadaşları<sup>20</sup> çift diffüzyon metodu ile koyun kist sıvisında konakçı ve parazite ait antijenlerin karakteristik özelliklerine degnimiştir. Konakçuya ait protein kist antijeni ile yalancı olumlu reaksiyonlara yol açar. Konakçuya ait protein ile antijenler serolojik testlerde kullanılmaz.<sup>20</sup> Kist sıvısında konakçuya ait antijenlerin mevcudiyeti kompleman fiksasyon, presipitasyon, bentonite flokulasyon ve hemaglutinasyon testleri ile araştırılmıştır.<sup>21, 22</sup> Kist sıvisındaki antijenler konakçuya ait proteinlerden ayrılarak kullanıldığında yüksek oranda serolojik teşhis kıymeti gösterir.<sup>21</sup>

Koyun kist sıvisında immunoelektroforez metodu ile yapılan araştırmalarda 19 antijenik komponent bulunmuştur. 10 bandın parazit orijinli olduğu biihassa 1 ve 8 no'lu bandların parazit için spesifiklik gösterdiği belirtilmiştir.<sup>23</sup> Koyun kist sıvisında ochterlony metodu ile yapılan çalışmalarda parazite ait 3 band (presipitasyon çizgisi) konakçuya ait 4 band ve ayrıca kesinlikle tanımlanamayan 2 band rapor edilmiştir. Parazite ait 4 no'lu band P<sub>1</sub> diye de isimlendirilir bu L<sub>1</sub> glycoprotein yapısındadır.<sup>20</sup> Kist sıvısı, skoleks ve kist membranından agar çift diffüzyon ve ochterlony metotları ile yapılan araştırmalarda kist hidatik'e ait antijenlerin 23 band gösterdiği tespit edilmiştir. Bunlardan 4 tanesi parazit orijinli, 6 tanesi konakçı ve 13 ünde orijini kesinlikle tespit edilememiştir.<sup>24</sup> Son senelerde Capron ve arkadaşları<sup>25</sup> kist sıvisından immunoabsorbsiyon metodu ile F<sub>5</sub> ismini verdikleri kist antijenini saf olarak elde ettiklerini rapor etmişler ve F<sub>5</sub> antijeninin Lipoprotein yapısında olduğunu göstermişlerdir. Bu antijenin elde edilmesi, kist hidatığın emin bir şekilde teşhis edilebileceğini ümit ettirmektedir.

#### KAYNAKLAR

1. Çetin, E. T., Ang. Ö., Töreci, K.: Tibbi Parazitoloji., Hilâl Matbaacılık Koll. Şti., İstanbul, 1973, s. 210.
2. Unat, E. K.: Tibbi Parazitoloji, Kutulmuş Matbaası, İstanbul, s.: 367, 1960.
3. Manson, B.: Manson's tropical diseases. 5 th Edition, Bailliere Tindall London, 1972, p. 972.
4. David, J. M.: Fine structure of the hydatid cyst and protoscolex of echinococcus granulosus. J. Parasit., 53: 312, 1967.
5. Smyth, J. D.: Studies on tapeworm physiology. x. axenic cultivation of the hydatid organism echinococcus granulosus establishment of basic technique. Parasitology. 52: 441, 1962.
6. Schwabe, C. W., Koussa, M., Acra, A. N.: Host parasite relationships in echinococcosis. IV. Acetylcholinesterase and permeability regulation in the hydatid cyst wall: J. Camp. Biochem. Physiol. 2: 161, 1961.

7. Catalina, A. R., Kammerer, W. S., Mcquel, V. P. E., Cereijido, M.: Studies on the permeability to water, sodium and chloride of the hydatid cyst of echinococcus granulosus. *J. Parasit.*, **60**: 619, 1974.
8. Schwabe, C. W.: Host parasite relationships in echinococcosis. Observations on the permeability of the hydatid cyst wall. *Amer. J. Trop. Med. Hyg.* **8**: 20, 1959.
9. Coltorti, E. A., Varela-Diaz, V. M.: IgG levels and host specificity in hydatid cyst fluid. *J. Parasit.*, **58**: 735, 1972.
10. Carter, C. W., Coxon, R. V., Parsons, D. S., Thompson, R. H.: Biochemistry in relation to medicine. Longmans, Green and Co., London, 1959, p. 87.
11. Varela-Diaz, V. M., Coltorti, E. A.: Further evidence of the passage of host immunoglobulins into hydatid cyst. *J. Parasit.* **58**: 1015, 1972.
12. Kilejian, A., Schwabe, C.W.: Studies on the polysaccharides of the echinococcus granulosus cyst with observations on a possible mechanism for laminated membrane formation. *Comp. Biochem. Physiol.* **48**: 25, 1971.
13. Agosin, M., Von Brand, T., Rivera, G. F., Mc Mahon, P.: Studies on the metabolism of echinococcus granulosus I. General chemical composition and respiratory reactions. *Exp. Parasit.*, **6**: 37, 1957.
14. Kilejian, A., Schinazi, L. A., Schwabe, C. W.: Host parasite relationships in echinococcosis. V. histochemical observations on echinococcus granulosus. *J. Parasit.* **47**: 181, 1961.
15. Kagan, I. G., Agosin, M.: Echinococcus antigens. *Bull. wld Hlth org.* **39**: 13, 1968.
16. Morseth, D. J.: Fine structure of the hydatid cyst and protoscolex of echinococcus granulosus. *J. Parasit.* **53**: 312, 1967.
17. Bozicevich, J.: Parasitic infections in man. Most, H., ed., Columbia University press. 1951, p. 37.
18. Taba-Tabai, M., Ismaili, M. H., Nazarian, I., Daneshbod, K.: Pathophysiological changes resulting from intravenous injection of ovine hydatid cyst fluid to sheep: *Brit. J. Exp. Path.* **55**: 33, 1974.
19. Norman, L., Sadun, E. H., Allain, D. S.: A bentonite flocculation test for the diagnosis of hydatid disease in man and animals. *Amer. J. Trop. Med. Hyg.* **78**: 269, 1957.
20. Norman, L., Kagan, I. G., Chordi, A.: Further studies on the analysis of sheep hydatid fluid by agar gel methods. *Amer. J. Trop. Med. Hyg.* **13**: 816, 1964.
21. Kagan, I. G., Norman, L., Allain, D. S., Goodchild, C. G.: Studies on echinococcosis nonspesific reactions of hydatid fluid antigen with serum of patients with diseases other than echinococcosis. *J. Immunol.* **84**: 635, 1960.
22. Bensted, H. J., Atkinson, I. D.: Hydatid disease serologic reactions with standardized reagents. *Lancet.* **264**,: 265, 1953.
23. Chordi, A., Kagan, I. G.: Identification and characterization of antigenic components of sheep hydatid fluid by immunoelectrophoresis. *J. Parasit.* **51**: 63, 1965.
24. Kagan, I. G., Norman, L.: Antigenic analysis of echinococcus antigens by agar diffusion techniques. *Amer. J. Trop. Med. Hyg.* **10**: 727, 1961.
25. Bout, D., Fruit, I., Capron, A.: Purification d'un antigene specifique de liquide hydatique. *Ann. Immunol. (Inst. Pasteur)*: **125**: C.N°5, 775, 1974.

# Eozinofilik Granulomada İnce Yapı\*

(Epidermal Langerhans Hücrelerine Benzer Fagositik  
Hücreler Yönünden)

Dr. Esin Aşan\*\* / Dr. Kenan Araz\*\*\*

Eozinofilik granuloma, etiyolojisi bilinmeyen, klasik olarak histiositosis X olarak adlandırılan üçlü patolojik olgunun benign, lokal, soliter ya da multipl lezyonlar şeklinde kemik ve çevre yumuşak dokuyu tutan bir türüdür.<sup>1,2</sup> Sadece çene kemiklerini ve ağız yumuşak dokusunu ilgilendiren biçimini oldukça seyrekтир.<sup>1</sup>

Sekonder infeksiyonlar çoğu kez tanı yönünden güçlüklerle neden olmaktadır.<sup>1-3</sup> İnce yapı düzeyinde epidermisin Langerhans hücrelerindeki granüllere benzer yapılar içeren fagositik hücreler çeşitli histiositosis X vakalarında tanımlanmıştır.<sup>3-5</sup> Çeşitli deneyel koşullarda ve bazen normal dokularda da bu özel granülleri içeren fagositik hücrelerin bulunusu, araştırcıların dikkatini çekmiş; granüllerin oluşumu, önemi, nedeni ve fagositik hücrelerin kökeni üzerinde değişik varsayımlar ileri sürülmüştür.<sup>6-15</sup>

Bu çalışmada fokal cozinofilik granüloma tanısı alan hastadan elde edilen materyel ince yapı düzeyinde incelendi. Özellikle Langerhans granülli fagositik hücrelerin yapı ayrıntıları ile granüllerin oluş biçimi ve nedeni daha önce bu konuda yapılmış araştırmaların verileriyle karşılaştırılarak değerlendirildi.

## Materiel ve Metot

Biyopsi materyeli 41 yaşında bir erkek hastaya aittir (Dosya no: 18201). Mikroskopik muayenede cozinofilik granüloma tanısı konan

\* Hacettepe Üniversitesi Tıp Fakültesi Histoloji-Embriyoloji Bilim Dalı Çalışmalarından.

\*\* Hacettepe Üniversitesi Sağlık Bilimleri Fakültesi Histoloji-Embriyoloji Bilim Dalı Öğretim Üyesi.

\*\*\* Hacettepe Üniversitesi Diş Hekimliği Fakültesi Cerrahi Bilim Dalı Öğretim Üyesi.

lezyonda geniş yaygın kemik rezorpsiyonuyla birlikte periost ve muko-zaya yapışık yer yer perfore geniş alanlar kaplayan yumuşak bölgeler ayırdedildi.

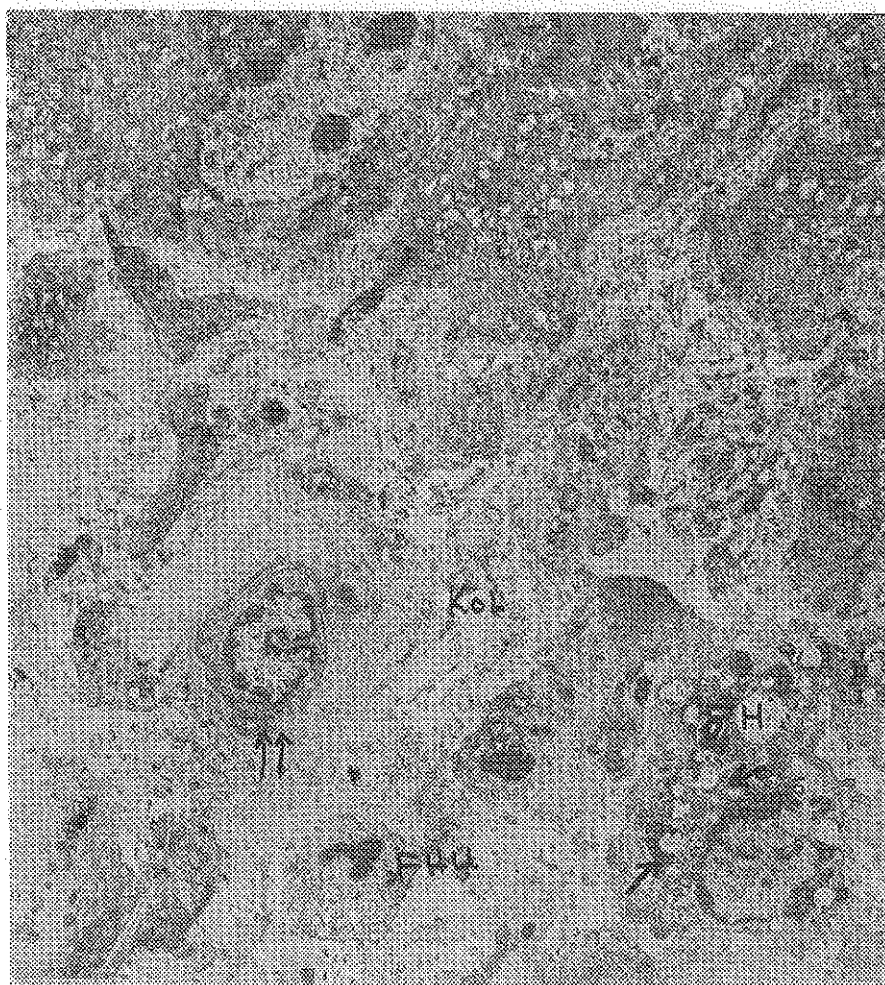
Elektron mikroskopu için ayrılan parçalar önce 1/15 M fosfat tamponu içindeki % 2,5 gluteraldehid + % 1 akrolein karışımında 2 saat süreyle ön tesbite alındılar. Tamponda yıkandıktan sonra 1/15 M fosfat tamponu % 1 osmiyum tetroksit ( $\text{OSO}_4$ ) içinde 1 saat süreyle ikinci kez tespit edildiler.<sup>16</sup> Dereceli etil alkollerden geçirilip suyu alınan parçalar araldite gömüldüler. İnce kesitler kurşun sitrat ve uranil asetatla ardarda boyandıktan sonra<sup>17</sup>, Carl Zeiss 9 S2 elektron mikroskobunda incelendiler.

### *Bulgular*

İnce yapı düzeyinde küçük büyütmelerle en sık rastlanan ve ilgi çeken hücreler fagositik hücrelerdi (Şekil 1). Epidermis altında bağ dokusu içine yerleşmiş bol fagositik hücre uzantıları özgün yapılarıyla dikkati çektiler. Hücrelerin sitoplazmaları içinde çeşitli yoğunluk ve biçimde fagosite edilmiş materyelle, bunların hücre içi sindirim ürünleri ayırdedildi. Hücre çekirdekleri yoğunlukla girintili çıktınlı ve bir bölgesi derin bir çentik içermekteydi. Hemen fagositik hücreler kadar sık bir grup hücrede sitoplazmaları organel ve inklüzyondan fakir farklılmamış hücrelerdi. Bu tür hücreler bazen damar çevresinde bazende ara madde içine serpilmiş olarak izlendi (Şekil 1,2). Hücrelerin çekirdekleri sitoplazmalarına oranla oldukça büyük olup girintili çıktınlı ve bir kösesi çentikliydi. Sitoplazmalarında ribozomlar belirgindi. Hücrelerin yatakladığı ara madde içinde kollagenin arttığı yer yer yapısız (amorf) kitleler oluşturduğu saptandı (Şekil 2).

Küçük büyütmelerde fagositik hücrelerin yapı, biçim ve sitoplazma içerikleri yönünden çeşitlilik gösterdiği ayırdedildi. Bazı hücrelerde bilinen yapıda fagosite edilmiş materyel ve yoğun cisimler sitoplazmayı doldururken (Şekil 1), bir grup hücrenin oldukça yalın bir sitoplazma içerikleri olduğu saptandı (Şekil 2). Bu hücrelerde de çekirdek girintili çıktınlı yapıdaydı. Belirgin çekirdekçik ve çekirdekçiğe bağlı kromatin içermekteydi. Hücrenin diğer fagositik hücre uzantılarıyla çevrelenendi ve bu hücre uzantılarının çevreledikleri hücreye adeta yapışıkları seçildi (Şekil 2).

Hücrenin yapı ayrıntısı büyük büyütmeli mikrograflarla belirlendi. Çekirdeğin yakınında iyi gelişmiş Golgi kompleksi ve belirgin sentriyol ayırdedildi. Çeşitli yoğunluk ve büyülüklükte, örtülü ve örtüsüz keseçikler sitoplazmanın büyük bir bölümünü doldurmuştu. Mitokondriyonlar açık matriksli yuvarlak ya da oval biçimli yapılar olarak saptan-



Şekil 1

Epidermis altında, bağ dokusu içine serpilmiş hücreler izleniyor. Fagositik hücreler içinde çeşitli yoğunluk ve biçimde fagosite edilmiş materyel vardır (ok). Sitoplazması organel ve inklüzyondan fakir bir hücre dikkati çekiyor (çift ok). FH. fagositik hücre, FHU, fagositik hücre uzantıları. Kol, kollagen demetleri. Uranil asetat, kurşun sitrat.

X 5700.

dilar. Çekirdek çevresindeki bölgede düz, çubuk biçimini yer yer yay gibi hafifçe kıvrılmış ya da yarım ay biçimli özel yapılar (inklüzyon cisimleri) ilgiyi çekti. İnküzyon cisimleri sirt sırtı vermişcesine yaklaşmış zarlar arasındaki bölgede homojen az yoğun bir materyel içeren yapılardı. Cisimlerin kesit düzeyine bağlı olarak yuvarlak yoğun yapılar biçiminde olan tipleri de seçildi. Lizozomlarla olan yakın komşulukları ve bazlarının lizozomların yapısına katıldıkları gözlandı (Şekil 3).



Sekil 2

Küçük büyütmeli bu mikrografta, çentikli çekirdeği ve belirgin çekirdekçiğile bir başka fagositik hücre öncelikle ilgiyi çekiyor. Hücrenin diğer fagositik hücre uzantılarıyla çevrelendiği ve oldukça, yalan bir sitoplazma içeriği olduğu belirgindir. Ayrıca organel ve inklüzyondan fakir farklılmamış hücrelerle (ok); kollagenin yer yer yapışal bozukluğunu simgeleyen amorf bölgeler (çift ok) ayırdediliyor. Uranil asetat, kurşun sitrat. X 5700.

Bazı hücrelerde yer yer aktif fagositozun olaylandığını belgeleyen yapışal değişiklikler sergilendirmekteydi. Girintili çıkışlı hücre zarları boyunca oluşan geniş tabanlı, büyük sitoplazmik çıkışlar (psödopod) arasında yutulmakta olan hücre artıkları izlendi. Sitoplazmada kısa tübüler yapıda granüllü endoplazma retikulumu sarmıçları, serbest ribozomlarla yer yer matrikslerinde silinme olan iri mitokondriyonlar ilgiyi çekti. Bu hücrelerde inklüzyon cisimlerinin bir önceki hücrenin aksine hücre ünit zarına yakın dış sitoplazmik bölgede yerleşikleri gözlendi. Hücrenin bu bölümünde hücre zarı genellikle düz, yer yer



Şekil 3

Bir önceki mikrograftaki hücrenin daha büyük büyütmedeki ayrıntılı yapısı sergileniyor. Ç, çekirdek, ç, çekirdekçik, Go, Golgi kompleksi, Mi, mitokondriyon s, sentriyol, Ke, kesecik Li, lizozom, ok, inklüzyon cisimleri, Uranil asetat kurşun sitrat. X 25500.

kısa, küçük psödopodlar oluşturacak şekilde biçimlenmişti. İnklüzyon cisimleri oldukça yoğun matriksli hafif kıvrılmış tübülüsler ya da yarımsı ay biçimli yapılar olarak saptandılar. Yer yer cisimlerin her iki uçlarında topuzcuk biçimli genişlemeler gözlandı (Şekil 4).

Aynı hücrenin daha büyük büyütmeli incelemelerinde inklüzyon cisimlerinin yapısı ve hücre zarıyla ilişkisi iyi belirdi. Hücre zarı boyunca çevreleri oldukça elektron yoğun, adeta sırtırtı verip kaynaşmış ünit zar izlenimini veren kalın zarla çevrili endositotik vakuoller izlendi.

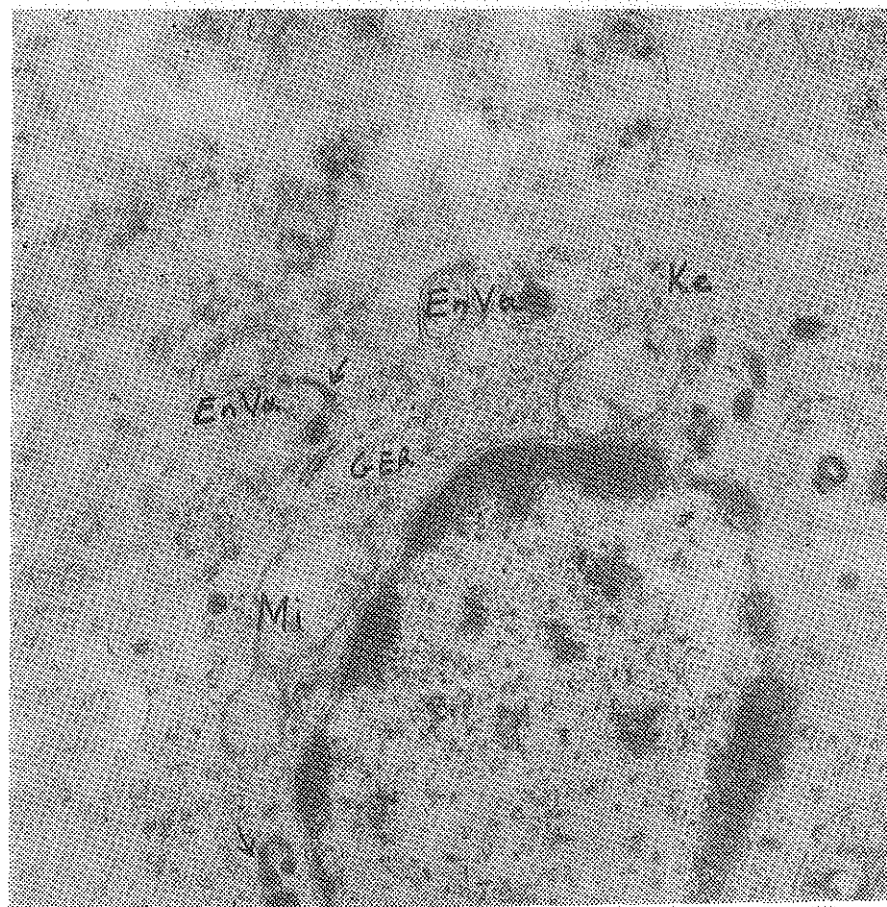


Şekil 4

Bir başka fagositik hücrenin yapı ayrıntıları izleniyor. Hücrenin bir kenarı boyunca gözlenen geniş psödopodlar aktif fagositozun olaylandığını belgelemektedir. (çift ok). Oldukça düz olan diğer yanındaysa organel ve inklüzyonlar daha belirgindir. GER, granüllü endoplazma retikulumu, Mi, mitokondriyon, ok, inklüzyon cisimleri, Uranil asetat, kurşun sitrat. X 14100.

Bazı inklüzyon cisimleriyle bu tür yapıların yakın komşuluğu ilgiyi çekti. Sitoplazmanın bu bölümünde kısa düzensiz tübüler yapıda granüllü endoplazma retikulumu sarnıçları, düz yüzeyli tübüler yapılar çeşitli büyüklükte kesecikler, lizozomlar gözlendiler. Lizozomlarla inklüzyon cisimlerinin yakın ilişkisi seçildi (Şekil 5).

Bir grup fagositik hücrede hücre zarının hemen altından başlayıp sitoplazmanın büyük bir kısmını dolduran, oldukça büyük düzen-

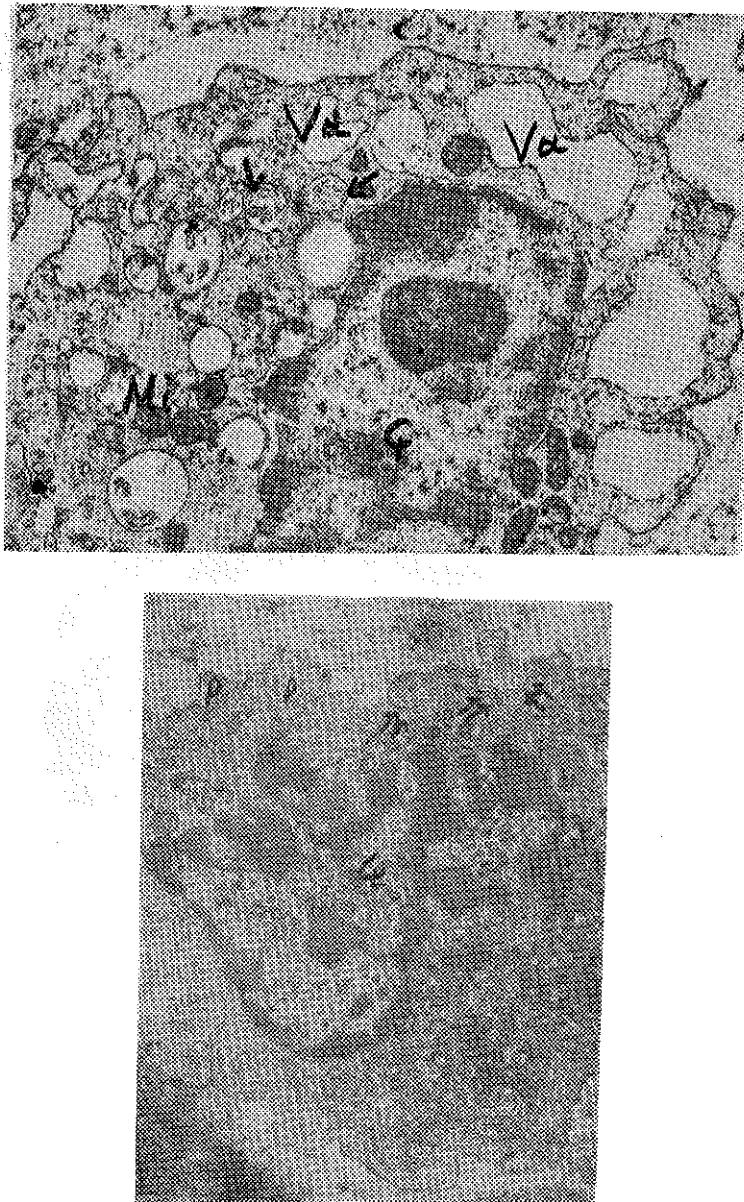


Şekil 5

Bir önceki şekildeki hücrenin daha büyük büyütülmeli mikrografında, inklüzyon cisimlerinin (ok) hücre zarı ve lizozomlarla olan yakın ilişkisi sergileniyor. Li, lizozom, GER, granüllü endoplazma retikulumu, Mi, mitokondriyon, EnVa, endositotik vakuoller. Ke, kesecik, Uranil asetat, kurşun sitrat. X 25500

siz vakuoller ayırdedildi. Bu hücrelerde yoğun matriksli mitokondriyonlarla yuvarlak ya da yarım ay biçimli zar yapıları ilgiyi çekti (Şekil 6).

Hücrelerin bir grubunda zar boyunca küçük düzensiz psödopodlar belirdi. Hücre zarının psödopodlar boyunca dar çöküntüler oluşturacak biçimde sitoplazma içine ilerlediği gözlandı. Sırtırtı veren hücre zarıyla psödopod zarı arasında dar bir hücrelerarası aralığın gözlendiği bu türden yapılar ilgiyi çekti (Şekil 6a).



Şekil 6, 6 a

Oldukça değişik yapıdaki iki fagositik hücrenin yapı ayrıntıları gözleniyor. Üsteki şekilde (6). Hücre zarının hemen altında büyük düzensiz yapıdaki vakuoller ilgiyi çekiyor. Ayrıca yuvarlak ya da yarımay biçimli zar yapıları gözleniyor (ok). Alttaki şekildeki fagositik hücrenin (6a) hücre zarı boyunca, küçük düzensiz psödopodlar oluşturduğu belirgindir. Ayrıca hücre zarının psödopodlar boyunca dar göküntüler oluşturarak sitoplazma içine ilerlediği ayırdediliyor (çift oklar). Va, vakuol, Mi, mitokondriyon, Ç, çekirdek, P, psödopod. Uranil asetat, kurşun sitrat. X 14.100.

*Tartışma*

Histiositozis X elgularında fagositik hücreler içindeki inklüzyon cisimleri (X cisimleri, Langerhans granülleri) ilk kez Basset ve Turi-af<sup>14</sup> tarafından tanımlanmıştır. Özgün inklüzyonları içeren hücrelerin kökeni ve inklüzyonların oluşum biçimini üzerinde birbirlerinden değişik yorumlar vardır.<sup>3, 4, 5, 15</sup>

Normalde epiderminin üst hücre katları arasında gümüş ya da altın impregnasyonundan sonra ışık mikroskopu düzeyinde gözlenen uzantılı hücreler Langerhans hücreleridir. Hücre içinde tonofibriller yoktur. Epiderminin diğer hücreleriyle komşuluk yaptığı bölgelerde desmozomlar gözlenmez. Çekirdek girintili çinkantılıdır. Sitoplazmaları az yoğun olup, Golgi kompleksi, mitokondriyon ve endoplazmik retikulum dikkat çeken bir dağılım ve gelişim göstermezler. Buna karşılık pek çok ufak kesecik (vezikül,) yuvarlak yoğun cisimlerle özel çubuk biçimli zarla çevrili yapılar izlenir. Bu cisimler 150–50 nm uzunluğunda 40 nm genişliğinde yapılar olup orta bölgelerinde uzunlukları boyunca bir yoğunlaşma gösterirler. Sıklıkla hücre zarına yakın yerleşmişlerdir.<sup>18</sup> Eş hücrelerin insan gingiva epiteli içinde de bulunduğu gösterilmiştir.<sup>19</sup> Zelickson,<sup>10</sup> Langerhans hücrelerinin serekte olsa normalde dermistede gözlediğini bildirmiştir, bu durumun epidermisden dermise doğru bir hücre göçü biçiminde olmayıp bazal laminayı kırıp dermis içine düşme şeklinde yorumlanabileceğini ileri sürmüştür.

Normalde timusta<sup>6</sup> ve steroid verilmesinden sonraki akut timus involюsyonu sürecinde organ içinde Langerhans hücrelerine benzer hücreler gözlenmiştir. Sayıları involüsyonla artmakla birlikte hücrelerin timus loplarının fagositozun olaylandığı orta bölgelerinde bulunmaması, fagositik özelliklerinin çok az ya da ihmali edilebilir olduğunu düşündürmüştür. Hücrenin çok yönlü farklılaşma yeteneğine sahip (multipotent) bir hücre olabileceği, inklüzyon cisimlerinin ise hücre zarına ya da hücre zarından hücre içine doğru bilinenden değişik bir biçimde taşınmayı simgeleyebileceği öne sürülmüştür. Immamura ve arkadaşları<sup>15</sup> Langerhans granüllü fagositik hücrelerin retikulo-endotelyal sisteme ait histiyositler olarak yorumlarken; Gianotti ve arkadaşları<sup>21</sup> Langerhans granüllerinin herhangi bir hücre tipini belirlemeyen, özgün olmayan organeller olduğunu bildirmiştir. Yapıların hücre içi vakuollerle yakın ilişkide oldukları ve büyük bir olasılıkla hücre içi zar sistemlerinden köken alabilecekleri ileri sürülmüştür. Basset ve arkadaşları<sup>22</sup> inceledikleri 54 histiyositozis X olguında özgün Langerhans granülleri içeren hücrelerin yanısıra bu tür granüllerden yoksun bazı hücrelerde çubuk ya da yarımay biçimli

zar yapıları gözlediklerini bildirdiler. Bu türden yapıların Langerhans granüllerinin değişik oluşum sürecindeki biçimleri olduklarını ileri sürdürüler. Eş yapılar Cutler<sup>16</sup> tarafından eozinofilik granuloma tipi bir histiositozis X olgusunda bildirilmiştir.

Bu araştırmadada seyrekte olsa benzer biçimde yuvarlak ya da yarınlı ay biçimli zar yapıları gözlandı. Bu hücrelerde iri vakuoller sirt sırtı vermiş zar ilişkileri belirgindi. Ancak Langerhans granüllerini gözlenmedi. Hücre zarı boyunca kısa psödopodlar arasında derin invaginasyonlar ve iyice yaklaşmış zarlar arasındaki dar aralıklar ayırdedildi. Langerhans granüllerinin bu türden zar biçimlenmelerinden oluşabileceğine görüşüne katılmakla birlikte, zar yapılarının granüllerle olan ilişkileri ya da granüllerle doğru olan farklılanmanın ara evreleri gözlenemedi. Bu nedenle bu türden zar yapılarının granüllerin öncüleri olup olmadığı konusunda kesin yargıya varılamadı.

Nazelof ve arkadaşları<sup>23</sup> histiositozis X olgularının başlangıç devirlerinde (özellikle Letterer-siwe türünde) deri ve mukoza hastalığın başlamasının önemine değindiler. Deri ve bazı mukoza epitelileri içindeki Langerhans hücrelerinin hastalığın gelişimi ve yayılımında santral bir işlevleri olduğunu ileri sürmüşlerdir. Bu yolla deri ve mukozalardaki Langerhans hücrelerinin damarlar yoluyla yayıldığı yolunda da görüşler vardır. Silberberg ve arkadaşları<sup>11, 12, 13</sup> insan ve kobayda aktif ya da pasif sensitzasyonla oluşan allerjik kontakt aşırı duyarlılıklarda monositlerle Langerhans hücreleri arasında sıkı hücresel ilişkiler (cell to cell interaction) gözlediler. Bu uyarılma bağlı olarak Langerhans hücrelerine benzer hücrelerin lenfatik damarlar içinde dermeye doğru ilerlediklerini bildirdiler. Ancak bu tür hücrelerin kesin yapısal tanımı yapılamadığı gibi bazal laminayı geçtikleri de gösterilememiştir.<sup>13</sup> Bu verilere göre hücresel immun uyarılma etkisiyle Langerhans hücrelerinin alttaki bağ dokusuna oradan da tüm organizmaya dağılımı ya da göçü söz konusudur.

Deneysel araştırma sonucu olmayan gözlemlerle hücre kökeni üzerinde yorum yapmanın güclüğü ortadadır. Ancak böyle bir hücre göçü kabul edildiğinde de tetiği çeken uyarının hastalığa özgün olduğunu kanıtlanması gereklidir. Ayrıca eş yapıların hem deri ve mukoza epitelilerindeki Langerhans hücrelerinde hem de histiositozis X olgularındaki fagositik hücrelerde gözlenmesinin zorunlu olarak bu hücrelerin aynı hücreler olduğunu düşündürmemesi gerektiği fikrini<sup>4</sup> benimsedik. Ancak böylesi bir yapı eşliği her iki hücrenin ortak olarak içerdikleri yapıya bağlı bir işlevleri olduğunu düşündürebilir. Bununla ilişkin olarak epidermal Langerhans hücrelerinin makrofajlara benzer özellikleri gösterilmiştir.<sup>5, 10</sup> Bu hücreleri fagositik hücreler olarak

kabul edenler vardır.<sup>10</sup> Hücrelerin mezodermal kökenli lenfoid sisteme, retikuloendotelyal sisteme ait hücreler olduğu yolunda birbirinden ayrı kavramlar içeren biçimlerde tanımlanmalarının bulunusu, bu konuda terim ya da adlandırmada birliğin olmadığını göstermektedir.<sup>3, 4, 6, 7</sup>

Son yıllarda organizmadaki fagositoz yeteneğine sahip pek çok hücrenin kan monositlerinden köken aldığı görüşü taraf kazanmakta ve retikuloendotelyal sistem yerine mononükleer fagosit sistem terimi yaygın olarak kullanılmaktadır. Sanel ve arkadaşları<sup>9</sup> akut lösemide fagositozun uyarılmasından sonra monositlerde Langerhans granüllerine eş yapıların olduğunu göstermiş ve bu yapıların kollabey olmuş fagositik vakuollerin artıkları olduklarını bildirmiştir.

Gözlemlerimizin açıkça sergilediği gibi Langerhans granülli hücreler bilinen fagositik hücrelerden oldukça değişik yapıdadırlar. Sitoplasmalarında, bilinen organel ve inklüzyon dağılımı yoktur. Bu hücrelerin yanısıra, içleri fagosite edilmiş materyel ve hüre içi sindirim ürünleriyle dolu olan fagositik hücrelerde özgün inklüzyon cisimleri izlenmemiştir. Bu hücreler geleneksel makrofaj tanımına uygunluk göstermektedir. Böylece Langerhans granülli fagositik hücrelerin bilinenen farklı yapı ve işlevleri olduğu düşünülmüştür. İçerdikleri özel yapıların (Langerhans granüllerinin) hüre içine madde alımını ve hüre içi taşıma ve sindirimini alışılagelmemiş, bu hücrelere özgü bir türü sonucuoluştuğu ileri sürülmüştür.<sup>5</sup>

Bu araştırmada da, yakınlaşmış hüre zarlarının oluşturduğu dar ve uzun invaginasyonlar boyunca hüre içine bir girişin olaylandığı gözlenmiştir. Bu tür aktif zar yapısı gösteren hücrelerde, Langerhans granülleri hemen hüre zarının altında gözlenmektedir. Hüre zarlarının çokluk düz olduğu hücrelerde ise Langerhans granüllerinin sitoplazmanın iç bölgesinde yoğun oldukları ve Golgi kompleksi çevresinde biçimlenen lizozomlarla yakın ilişkileri izlenmektedir. Sonuçta lizozomların yapısı içine katılıp sindirilmeleri bu yapıların endositoz ve hüre içi taşımının sonucu olduğunu düşündürmektedir. Ancak sırt sırt veren hüre zarları boyunca izlenilen yöntemle hüre içine aldığı varsayılan materyel gözlenmemiştir. Bu açıdan yutulan ekstraselüler materyelin hüre dışı glikokaliks olabileceği ya da bu olguda hüre zarı ve zar üzerindeki glikokaliks'in neoplastik bir modifikasyonu olabileceği ileri sürülmüştür.<sup>9, 24</sup>

Hüre zarının hemen altında gözlenen yoğun kalınca bir zarla çevrili vakuollerle Langerhans granüllerinin yakın ilişkisi bu çalışmada oldukça belirgindi. Langerhans granüllerinin fagositik ya da endositotik

vakuollerin kollabe olmuş artıkları olabilecekleri düşünüldü. Sonuçta granüllerin oluşumunda dinamik zar hareketlerinin rolünün olduğu kanısına varıldı.

Eozinofilik granülomada sekonder infeksiyonlar klinik ve histopatolojik tanıda güçlükler neden olmaktadır.<sup>1</sup> İnce yapı düzeyinde histiositosis X fagositik hücrelerine özgü Langerhans granüllerinin gösterilmesinin ayırıcı tanıda önemli bir ölçüt olduğu da düşünüldü.

### *Özet*

Eozinofilik granuloma tanısı olan hastadan elde edilen materiyel ince yapı düzeyinde incelendi. Fagositik hücreler içinde gözlenen özel yapıların (X. cisimleri, Langerhans granülleri) önemi, ve oluşum biçimine açıkkık kazandırmak amacı güdüldü. Langerhans granülli fagositik hücrelerin, epidermisin Langerhans hücrelerinden köken alabileceği görüşü kuşkuyla karşılandı. Hücrelerin bilinen fagositik hücrelerden değişik yapıda oldukları, granüllerin alıslagelmemiş bir hücre içi taşıma ve sindirim sonucu oluştukları görüşü benimsendi.

### *KAYNAKLAR*

1. Storrs, J.: Bilateral eosinophilic granuloma of the mandibla, *Oral. Surg.*, **41**: 93, 1971.
2. Lichtenstein, L.: Histiocytosis -X: Integration of eosinophilic granuloma of bone, Letterer-Siwe Disease and Hand-Schüller-Christian Disease as related manifestations of a single nosologic Entity. *Arch. Pathol.* **56**: 84, 1953.
3. Cutler, L. S., Krutchkoff, D.: An ultrastructural study of eosinophilic granuloma the Langerhans cell-its role in histogenesis and diagnosis *Oral Surg.* **44**: 246, 1977.
4. İmmamura, M., Sahamato, S., Hanazono, H.: Malignant histiocytosis: A case of generalized histiocytosis with infiltration of Langerhans' granule containing, histiocytes, *Cancer*: **28**: 467, 1971.
5. Tarnowski, W. M., Hashimoto, K.: Langerhans cell granules in histiocytosis X. The epidermal Langerhans cell as a macrophage. *Arch. Derm.*, **96**: 298, 1967.
6. Van Haelst, U. J.: Light and electron microscope study of normal and pathological thymus of rat. I. The normal thymus. *Z. Zellforsh.* **77**: 534, 1967 a.
7. Van Haelst, U. J.: Light and electron microscope study of the normal and pathological thymus of the rat II. The Acute Thymic Involution. *Z. Zellforsh.*, **80**: 153, 1967 b.
8. Van Haelst, U. J.: Light and electron microscope study of normal and pathological thymus of rat. III. A. Mesencyhmal histiocytic type of cell Z. *Zellforsh.*, **99**: 198, 1969.
9. Sanel, F. T., Serpick, A. A.: Plasmalemma and surface complexes in human leukemia cells membrane bounding zipperlike junctions. *Science* **168**: 1458, 1970.
10. Zelickson, A. S.: The langerhans cell. *J. Invest dermatol.* **44**: 201, 1965.
11. Silberberg, I.: Apposition of mononuclear cells to Langerhans cells in contact allergic reactions. *Acta Derm. Venerol.*, **53**: 1, 1973.

12. Silberberg, I., Baer R. L., Rosenthal, S. A.: Circulating Langerhans cell in a dermal vessel. *Acta Derm. Venerol* **54**: 81, 1974.
13. Silberberg, I., Barr, R. L., Rosenthal, S. A. Thor Becke, G. J., Berezowsky, V.: Dermal and intra vascular Langerhans cells at sites passively induced allergic contact sensitivity. *Cell Immunol* **18**: 435, 1975.
14. Basset, F., Turiaf, J.: Identification par la microscopic électronique de particules de nature probablement virale dans les lésions granulomateuses d'une histiocytose X pulmonaire. *C. R Acad Sci* **261**: 3701, 1965.
15. Ritler, R. A.: Histiocytosis X: A case report with electron microscopic observations. *Cancer*, **19**: 1155, 1966.
16. Bluemink, J.G., Maurik, P., Lawson, K.: Intimate cell contacts at the epithelial mesenchymal interface in embryonic mouse lung. *J. Ultr Res.*, **55**: 257, 1976.
17. Reynolds E. S.: The use of lead citrat at high pH as an electron opaque stain in electron microscopy. *J. Cell Biol.*, **17**: 208, 1963.
18. Bloom, W., Fawcett, D. W.: A textbook of Histology. W. B Saunders Comp, tenth edition, 1975, s. 574.
19. Waterhouse, J. P., Sanier, C. A.: The Langerhans cells in human gingival epithelium. *Arch. Oral. Biol.*, **12**: 341, 1967.
20. Zelickson, S. A.: The Langerhans cell. *J. Invest Dermatol* **44**: 201, 1965.
21. Gianotti, F., Caputo, R., Ranzi, T.: Ultrastructural study of giant cells and "Langerhans cell granules" in cutaneous lesions and lymph node and liver biopsies from four cases of subacute disseminated histiocytosis of Letterer-Siwe. *Arch., Klin., Exp., Derm.*, **233**: 238, 1968.
22. Basset, F., Escaig, J., Crom, M. L.: Cytoplasmic membranous complex in histiocytosis X. *Cancer* **29**: 1380, 1972.
23. Nezelof, C., Basset, F., Rousseau, W. F. Histiocytosis-X histogenetic arguments for a Langerhans cell origin. *Biomedicine* **18**: 365, 1973.
24. Bennet, H. S.: Morphological aspects of extracellular polysaccharides. *J. Histochem cytochem* **11**: 14, 1963.

# İskemik Böbrek Hastalarında Böbreğe Doğru Gelişen Kollateral Sirkülasyonun Anatomisi

Dr. Tülin Aras\*

## *Giriş*

A. renalis'in obstrüktif hastalıklarında meydana gelen iskeminin derecesine göre, böbreği beslemek için komşu organların arteriyel sistemlerinden böbreğe doğru bir kollateral sirkülasyon gelişebileceği eskiden beri bilinmektedir. Özellikle 1950'den sonra anjiografik tekniklerin gelişmesi ve bu tekniklerin klinikte daha yaygınlaşması ile birlikte kısaca "ekstrarenal arteriyel kollateral dolaşım" olarak isimlendirilen bu sistemin varlığı birçok vakada gösterilmiştir.<sup>1-3</sup>

Renovasküler hipertansiyona neden olan a. renalis darlıklarının cerrahi girişimle düzeltildiğinde endikasyon yönünden başvurulan birçok kriter mevcuttur. Böbreğe doğru bir kollateral sirkülasyonun gelişmiş olduğunun gösterilmesi de bu kriterlerin en önemlilerinden birini teşkil etmektedir.<sup>4</sup>

Literatür incelendiğinde; böbreğe doğru gelişen bu ekstrarenal arteriyel kollateral sirkülasyonun meydana geliş tarzı ve yolları hakkında, bildirilen vakaların dışında detaylı ve sistematik bir çalışma ve bilginin mevcut olmadığı göze çarpmaktadır.<sup>5</sup> Bu konuda ilk sistematik bir çalışma Abrams ve arkadaşları<sup>6</sup> tarafından 1965 de dört köpekte denenmiştir, ancak sağ kalan iki köpekte kollateral sirkülasyon anjiografik olarak gösterilememiştir. Bu kadar az bir seride ve sadece sol böbrekte çalışılmışmasına karşın; bu çalışmadan elde edilen sonuçlar, bugün bu konuda en detaylı ve güvenilir bilgiler olarak klasik kitaplarda dahi referans olarak gösterilmektedir.<sup>7</sup> Şüphesiz deneysel olarak yapılan köpeklerin yetersizliği ve belli sayıda hasta serileri üzerinden yapılan değerlendirmelerle, böbreğe doğru gelişen kollateral sirkülasyonun ana-

\* Hacettepe Üniversitesi, Tıp Fakültesi, Anatomi Bölüm Dahı Uzman Asistanı.

tomisinin tam olarak aydınlatılmış olduğu söylenemez. Bu konuda insan anatomisine yakın benzerlik gösteren deney hayvanlarında daha kapsamlı çalışmalar yapılması gerekliliği gibi, değişik merkezlerin hasta servislerindeki bulguların değerlendirilmesine de gereksinme vardır. İşte bu nedenlerden dolayı, konuya ilgili 1977 yılında itibaren hastanemizde birikmiş materyali değerlendirmenin faydalı olacağını düşünerek, bu araştırmayı yapmayı uygun bulduk.

#### *Materyal ve Metot*

Çalışmamızın materyalini; 1977-1980 yılları arasında hastanemiz radyoloji bölümünde renovasküler hipertansiyon tanısı ile gönderilip, abdominal aortografi ve selektif arteriyografi veya yalnız selektif renal arteriyografi yapılan hastalardan; bilateral veya unilaterale a. renalis darlığı tespit edilen 36 vaka teşkil etmektedir.

Hastalarımızın 17 si kadın, 19'u erkek olup, en küçük hasta 1. 5; en yaşlı hasta 75 yaşındaydı. A. renalis darlığı nedenleri arasında bizim serimizde fibromusküler hiperplazi en üst sırada yer almaktadır. İkinci sıklıkta atheroskleroz gelmektedir. A. renalis darlığı saptanan 36 vakanın anjioigramlarının incelenmesinde sadece 10 tanesinde (% 27.7) kollateral sirkülasyonun varlığı gözlemlenmiştir.

Tetkikler; 1953 yılında Seldinger'in tarif ettiği ve geliştirdiği perkütan transfemoral teknik ile yapılmıştır.

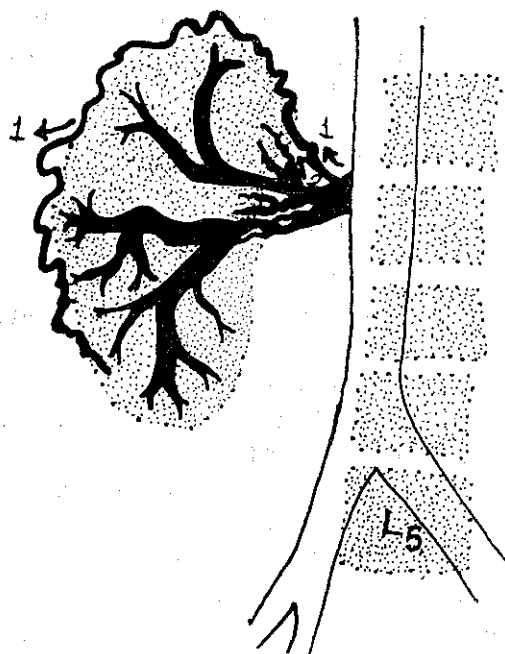
#### *Bulgular*

1977 yılından itibaren çeşitli nedenlere bağlı tek veya çift taraflı a. renalis stenoz veya obstrüksiyonu olan 36 vakanın aortogram ve selektif arteriogramları, renal kollateral sirkülasyon yönünden gözden geçirildi. Bunlardan 10 vakada ekstrarenal kollateral sirkülasyonun varlığı gözlandı.

A. renalis veya tikanıklığı yapan nedenlerin başında bizim serimizde fibromusküler hiperplazi görülmektedir. İkinci sıklıkta gelen atheroskleroz vakalarının tamama yakını erkektir. Fibromusküler hiperplazi vakalarının büyük çoğunluğu kadındır. Böbrekte iskemi yapması nedeniyle kollateral sirkülasyonun geliştiği diğer vakalar takayashu, arteriovenöz fistül, nörofibromatozis'tir.

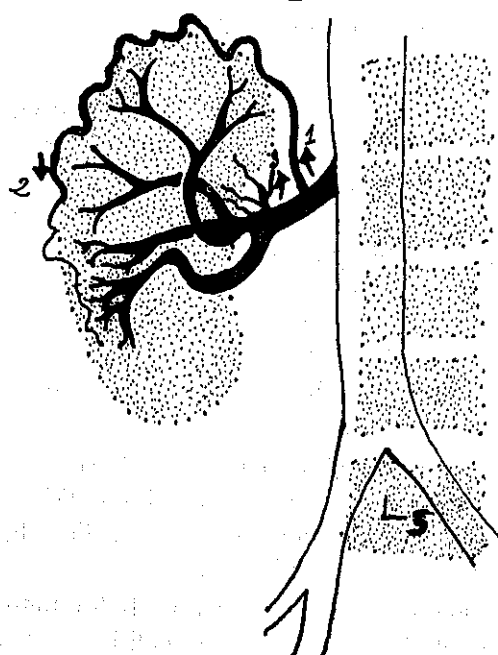
Kollateral dolaşının geliştiği damarlar ise; A. suprarenalis inferior, a. capsularis superior, peripelvik damarlar, a. lumbalis'ler, a. capsularis inferior, plexus uretericus, a. phrenica inferior, a. iliaca'lar, a. suprarenalis superior, a. capsularis lateralis'lerdir.

A. renalis'teki stenoz ve obstrüksiyonun bulunduğu kesimleri ve ekstrarenal arteriyel kollateral sirkülasyonun gelişim şekillerini aşağıdaki resimlerde, kollateral dolaşım gelişen 10 vakada göstermeyi uygun bulduk (Şekil 1-10, Tablo I).



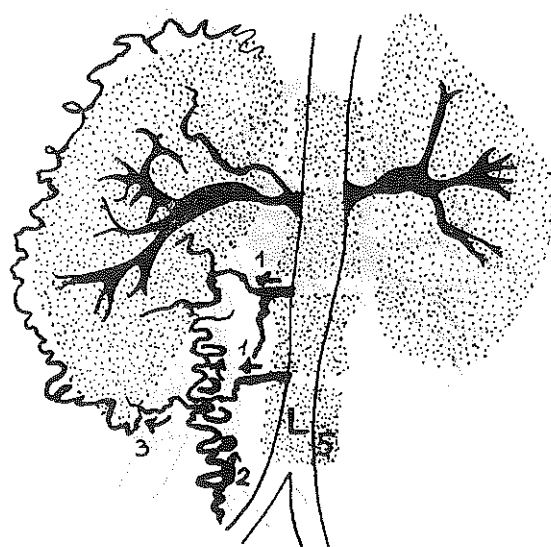
Şekil 1

Vaka 1.



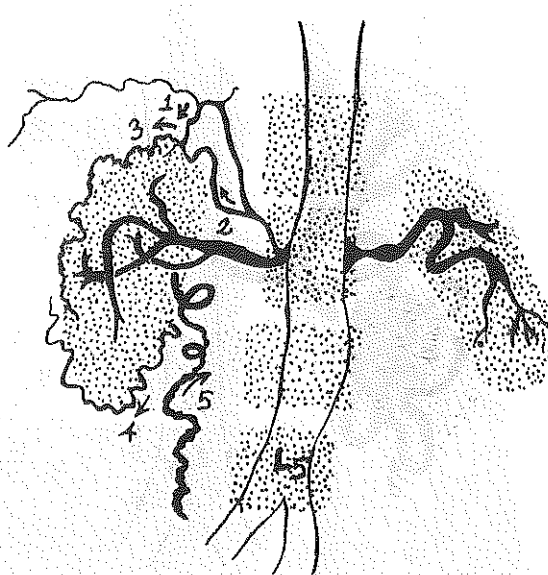
Şekil 2

Vaka 2.



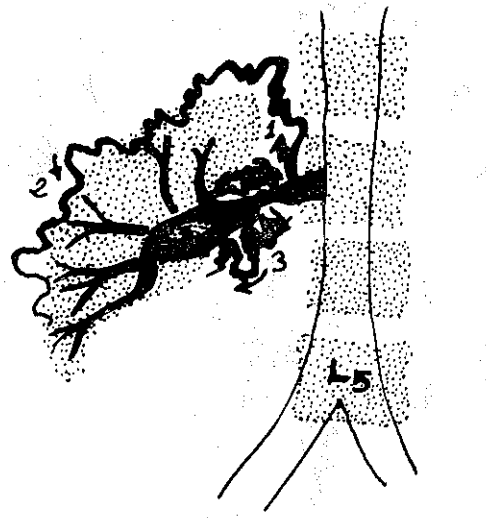
Şekil 3

Vaka 3.



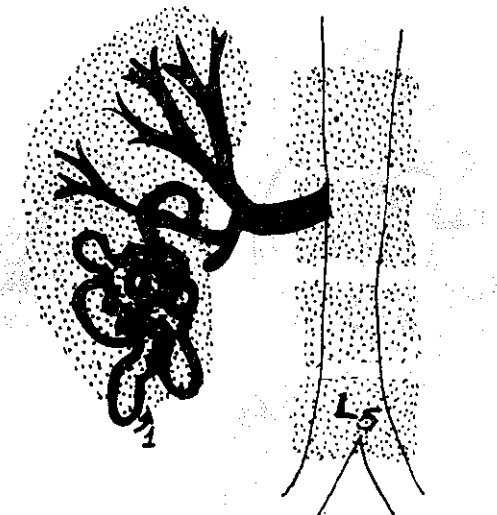
Şekil 4

Vaka 4.



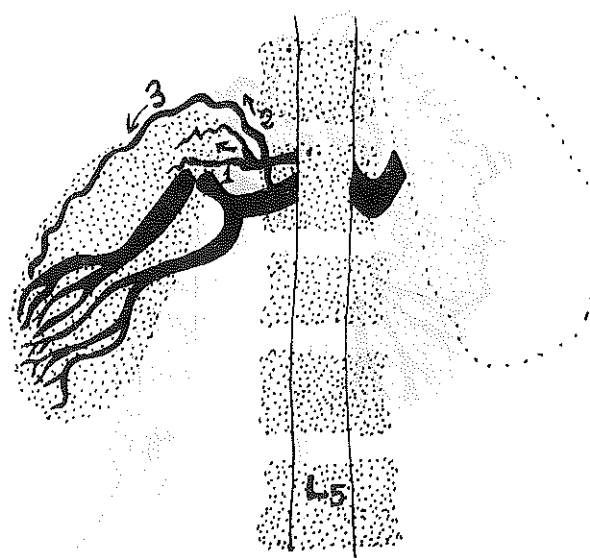
Şekil 5

Vaka 5.



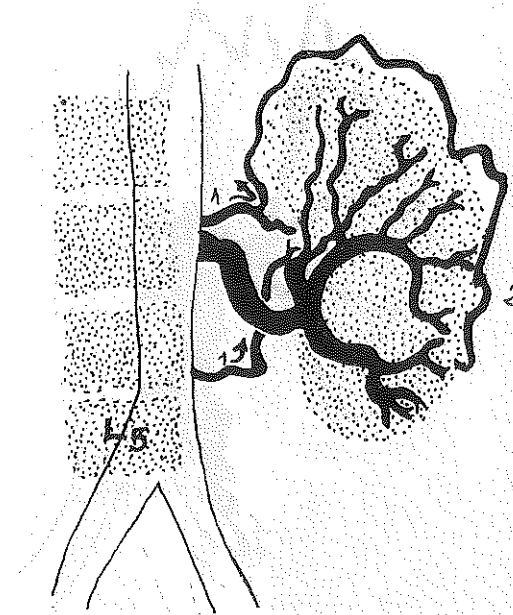
Şekil 6

Vaka 6.



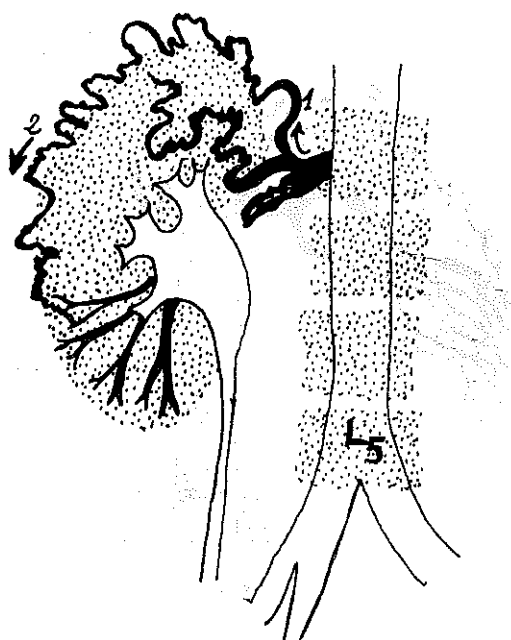
Sekil 7

Vaka 7.

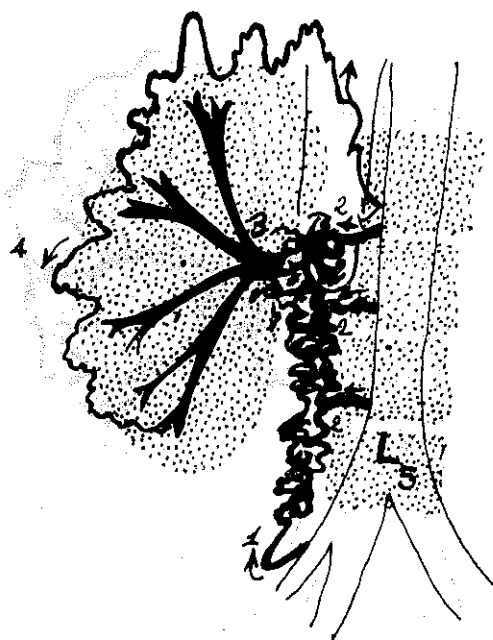


Sekil 8

Vaka 8.



Şekil 9  
Vaka 9.



Şekil 10  
Vaka 10.

TABLO I

	Fibromuskuler hiperplazi					Atheroskleroz		Takayashu		A-V fistül	
	Vaka 1	Vaka 2	Vaka 3	Vaka 4	Vaka 5	Vaka 6	Vaka 7	Vaka 8	Vaka 9	Vaka 10	Vaka 11
A. Suprarenalis inferior	X										
A. Suprarenalis Superior		X									
Periplevik arterler			X								
A. capsularis superior			X								
A. capsularis inferior				X							
A. capsularis lateralis					X						
A. ilica externa						X					
A. ureterica							X				
A. Lumbalis								X			
A. phrenica inferior									X		

### *Tartışma ve Sonuç*

A. renalis stenoz ve darlıklarında böbreğe doğru gelişebilen kolateral sirkülasyonun varlığı hakkında, anjiografik tetkiklerin klinikte yaygın olarak kullanılmayı başlamasından önce literatürde hemen hiçbir bilgi mevcut değildir (Abrams ve Cornell, 1965).<sup>6</sup>

Böbrek kapsülü çıkartıldıktan sonra, a. renalis'lerin bağlanmasına rağmen köpeklerin hayatı kalabilecekleri gerçeği daha 1906 yıllarından beri biliniyordu. Buna rağmen ekstrarenal kollateral dolaşının varlığının saptanması için birçok yılın geçmesi gerekmıştır (Martini, 1906).<sup>8</sup>

Klapproth (1959)<sup>9</sup> köpeklerde ekstrarenal kollateral dolaşının en çok a. ovarica ve a. uterina'dan gelişğini, daha az sıklıkla ise a. phrenica inferior ve a. suprarenalis'lerden kaynaklanabileceğini bildirmiştir.

Abrams ve arkadaşları<sup>6</sup> 1965 yılında çeşitli nedenlerle anjiografi yaptıkları a. renalis stenoz veya darlığı olan 24 klinik vakada ekstrarenal kollateral dolaşının hangi damarlardan gelişmiş olduğunu bir tablo biçiminde sunmuşlardır. Ayrıca iki köpekte deneysel olarak gözledikleri bulguları da katarak ekstrarenal kollateral dolaşımı üç grupta şematize etmişlerdir.:

- A. Kapsüler sistem
- B. Peripelvik sistem,
- C. Periuretik sistem,

Paul ve arkadaşları<sup>10</sup> da 1965 de dört klinik vakada izledikleri renal kollateral sirkülasyon şekillerini bildirmiştir. Bu yazarlar renal kollateral dolaşımı (a) Ekstrarenal ve (b) İntrarenal olmak üzere iki ana gruba ayırmışlardır.

Bizde 1977 yılından itibaren çeşitli nedenlere bağlı tek veya çift taraflı a. renalis stenoz veya obstrüksiyonu olan 36 vakanın aortogram ve selektif arteriyogramlarını renal kollateral sirkülasyon yönünden gözden geçirdik. Bunlardan 10 vakada ekstrarenal kollateral sirkülasyonun varlığını gözledik. A. renalis darlık veya tikanıklığı yapan nedenlerin başında bizim serimizde fibromusküler hiperplazi gelmektedir. Halbuki literatürde bildirilen serilerde atherosklerozun birinci sırada yer aldığı görülmektedir.<sup>11</sup> Aslında bizim serimizde fibromusküler hiperplazi atherosklerozdan bir vaka fazlasıyla birinci sırayı almaktadır ki bu büyük bir fark değildir. Literatürden de anlaşılabileceği gibi atheroskleroz a. renalis'lerin daha çok aorta abdominalis'ten çıkış yerlerinde lokalizedir. Bu nedenle ön-arka pozisyonda çekilen aortogramlarda, hatta selektif renal arteriogramlarda dahi a. renalis'in çıkış yerinde arkaya yüze loka-

lize olmuş küçük bir atheron plağı fark edilmeyebilir. Halbuki fibromusküler hiperplazi büyük sıklıkla a. renalis'lerin 1/3 distal veya 1/3 orta kesimlerinde lokalize olur.<sup>5</sup> Bu nedenle anjiogramlarda fark edilmeleri olasılığı, atheron plaklarına oranla çok daha yüksektir. İşte bu nedenlerden ötürü bizim serimizde fibromusküler hiperplazi insidansı rölatif olarak yüksek çıkmış olabilir. Şüphesiz serimizdeki vaka sayısı da bir genelleme yapmak için yetersizdir.

Atheroskleroz vakalarında hemen dikkati çeken özellik, tamama yakınının erkek olmasıdır. Yine fibromusküler hiperplazi vakalarının da tam tersine çoğunuğunun kadın olduğu görülmektedir. Bu bulgularda literatürle tam bir uyum göstermektedir.

Bizim serimizde nonspesifik arterit olarak değerlendirdiğimiz grubunda büyük çoğunuğunun kadın olduğu dikkati çekmektedir. Bu grubdaki vakaların büyük bir kısmı belki de gerçekte fibromusküler hiperplazidir. Elimizde histolojik tanı mevcut olmadığı için bu grup hakkında daha fazla yorum yapmak doğru olmayacaktır. Esasen nonspesifik arterit tanımını, radyolojik olarak fibromusküler hiperplazi, takayashu veya diğer spesifik arterit tanılarını koyamadığımız vakalar için kullanmayı tercih ettim. Diğer tanı gruplarındaki hasta sayıları az olduğu için hakkında bir yorum yapılmamaktadır.

A. renalis dextra sola ve yine bilateral tutulmaya göre çok daha yüksek oranda tutulmaktadır. Şöyle ki; literatürde de bildirildiği gibi fibromusküler hiperplazinin a. renalis dextra'da görülme sıklığı sola göre çok daha fazladır.<sup>5</sup> Bizim vakalarımızda en kalabalık grubu teşkil eden fibromusküler hiperplazi grubunda hastaların 9 tanesinin yalnız sağ a. renalis'inin bir tanesinin de her iki a. renalis'inin hadiseye iştirak ettiği anlaşılmaktadır. Fibromusküler hiperplazi vakalarında kollateral sirkülasyon çok daha yüksek oranda görülmektedir. Literatürde de vurgulandığı gibi; kollateral damarlar primer a. renalis lezyonlarında sık rastlanan bir bulgudur.<sup>12</sup> Gerek literatürde vurgulanan, gerekse bizim serimizde de aşık olarak ortaya çıkan bu izleminin kanırmazca yorumu söyle yapılabilir: Atheroskleroz a. renalis'lerin çıkış yerlerine, fibromusküler hiperplazi ise 1/3 distal ve orta segmentlerine lokalize olmaya meyllidir.<sup>5,12</sup> Bu durumda atheroskleroz vakalarında a. suprarenalis inferior'un çıkış yeri çok defa stenozun distalinde veya stenotik segment içinde yer alacağından, ekstrarenal kollateral dolaşımında önemli bir rol oynayan bu yol devre dışı kalmaktadır. Fibromusküler hiperplazi de ise a. suprarenalis inferior'dan sıklıkla kollateral dolaşım gelişecektir.

Kollateral sirkülasyon gelişen damarlar a. suprarenalis inferior (6 vaka) ve onun devamı olan a. capsularis superior (6 vaka), peripelvik

damarlar (4 vaka), a. lumbalis'ler (4 vaka), a. capsularis inferior (3 vaka), ureterik pleksus (2 vaka), a. phrenica, a. iliaca'lar, a. suprarenalis superior, a. capsularis lateralis'ler (1'er vaka) dir.

### Özet

A. renalis'in obstrüktif hastalıklarında meydana gelen iskeminin derecesine göre, komşu organların arteriyel sistemlerinden böbreği beslemek için, bir kollateral dolaşım gelişebileceği eskiden beri bilinmektedir. Bu sistemin gelişmesinin gösterilmesi, renovasküler hipertansiyona neden olan a. renalis darlıklarının cerrahi girişimle düzeltildiğinde yol gösterici bir bulgu olmuştur.

1977 yılından itibaren hastanemizde çeşitli nedenlere bağlı tek veya çift taraflı a. renalis stenoz veya obstrüksiyonu olan 36 vakadan aortogram ve selektif arteriogramları incelenerek, kollateral sirkülasyon yönünden gözden geçirildi. Bunlardan 10 vakada ekstrarenal kollateral sirkülasyon varlığı gözlandı. A. renalis darlık veya tikanıklığı yapan nedenler fibromusküler hiperplazi, atheroskleroz, takayashu, arteriovenöz fistül, nörofibromatozis'tir.

Kollateral dolaşının geliştiği damarlar ise; a. suprarenalis inferior, a. capsularis superior, peripelvik damarlar, a. lumbalis'ler, a. capsularis inferior, plexus uretericus, a. phrenica inferior, a. iliaca'lar, a. suprarenalis superior, a. capsularis lateralis'lerdir. Bu damarlardan a. suprarenalis inferior ve onun devamı olan a. capsularis superior, bizim vakalarımızda birinci sıklıkta yer almaktadır.

### KAYNAKLAR

1. Brolin, I.: Renal artery changes in hypertension. *Acta Radiol. (Diagnosis)*, **6**: 401, 1967.
2. Eyler, W. R., and Clark, M. D.: Angiography of the renal areas including a comparative study of renal stenosis in patients with and without hypertension. *Radiology*, **78**: 879, 1962.
3. Seldinger, S. I.: Catheter replacement of needle in percutaneous arteriography. *Acta Radiol.*, **39**: 368, 1953.
4. Goldblatt, H.: Experimental renal hypertension. *Amer. J. Med.*, **4**: 100, 1948.
5. Flasher, J., Drury, D. R., and Jacobson, G.: Experimental arterial stenosis: Poststenotic dilatation and collateral blood flow. *Angiology*, **2**: 60, 1951.
6. Abrams, H. L., and Cornell, S. H.: Patterns of collateral flow in renal ischemia. *Radiology*, **84**: 1001, 1965.
7. Abrams, H. L.: *Angiography*, ed. 2, Volume II, Little Brown and Company, Boston. 1971, pp. 879-884.

8. Martini, E.: Über die möglichkeit, der mese einen neuen collateralen blutzfluss zu schaffen. Arch. F. Klin. Chir., 78: 619, 1906.
9. Klaproth, H. J.: Distribution of renal arterial circulation in the dog. J. Urol., 82: 417, 1959.
10. Paul, R. E., Ettinger, A., Fainsinger, M. H., Gallow, A. D., Kahn, P. C., Inker, L. H.: Angiographic visualization of renal collateral circulation as a means of detecting and delineating renal ischemia. Radiology, 84: 1013, 1965.
11. Schwartz, C. J., and White, T. A.: Stenosis of renal artery. An unselected necropsy study. Brit. Med. J., 5422: 1415, 1964.
12. Kincaid, O. W., and Davis, G. D.: Renal Angiography, Year Book Medical Publisher, Inc. Chicago, 1966, p. 108.

# Ergin Sığanlarda Nukleus Kaudatusun Yapısal Niteliklerinin Işık ve Elektron Mikroskopu Düzeylerinde İncelenmesi I\*

Dr. Afet Solmaz Özoran\*\*

## *Giriş*

Nukleus kaudatus (nucleus caudatus) her iki beyin yarımküresinde korteks altında yerlesik bazal nukleuslardan biridir. Günümüze de ğin nukleus kaudatusun sinir hücreleri<sup>1-8</sup> ve sinaps yapıları<sup>3, 5, 8-12</sup> birçok araştırmaya konu edilmiştir.

Sinir hücreti tiplerinin tanımlanmasına yönelik çalışmalar son yıllara kadar tarihi değer taşımaktan öteye gidememiştir. Cajal<sup>13</sup>, Wilson<sup>14</sup> ve Bielschowsky<sup>15</sup> insanda ışık mikroskopu, daha sonra Mori<sup>8</sup> sığanada elektron mikroskopu düzeyindeki çalışmalarıyla bölgede küçük ve büyük olmak üzere iki tip sinir hücresi bulunduğunu belirtmişlerdir. Son yıllarda ergin kedi<sup>3-5, 7</sup> ve sığanların<sup>6, 16</sup> nukleus kaudatuslarında sinir hücrelerinin küçük, orta ve büyük üç tipi tanımlanmıştır. Bunlar arasında orta büyüklükte sinir hücreleri çekirdek biçimini, akson ve dendritlerin yapı ve dağılımlarına göre alt tiplere ayırmaktadır.<sup>5-7</sup>

Ergin kedi<sup>2, 3, 5, 11</sup> ve sığanlarda<sup>8, 9, 12</sup> nukleus kaudatusun sinaps yapıları çeşitli yöntemlerle incelenmiş, akson sonlanmalarında bulunan sinaps veziküllerinin bu bölgede biyokimyasal olarak varlığı kanıtlanan aracı kimyasal maddelerle<sup>17</sup> ilişkisi kurulmaya çalışılmıştır.<sup>9, 10</sup>

\* Hacettepe Üniversitesi Tıp Fakültesi Histoloji-Embriyoloji Bilim Dalı Çalışma-  
larından.

\*\* Hacettepe Üniversitesi Tıp Fakültesi Histoloji-Embriyoloji Bilim Dalı Öğretim  
Üyesi.

Nukleus kaudatus gliya hücrelerinin tanımı az sayıda araştırmacı<sup>8</sup> tarafından yapılmış, bunun ötesinde santral sinir sisteminde gliya hücreleri ince yapılarının tanımlanmasına yönelik çalışmalar ancak son yıllarda yoğunluk kazanmıştır.<sup>18-22</sup>

Uygulamalı tipta, Huntington koresinde nukleus kaudatus etkinliğinin ayrıntılı biçimde bilinmesine,<sup>23-25</sup> yapısal bozuklıkların tanımlanmış<sup>26</sup> olmasına karşın, normal ince yapısı yeterince çalışmamıştır. Bu nedenle ışık ve elektron mikroskopu düzeyinde nukleus kaudatusun sinir hücreleri, gliya hücreleri ve hücre uzantılarından oluşan nöropili toplu halde incelenmeye değer bulundu. ışık mikroskopu düzeyinde sinir ve gliya hücrelerinin dağılımı üzerinde duruldu. Histokimyasal olarak bu bölgedeki miyelinin boyanması arastırıldı. Elektron mikroskopu düzeyinde sinir, gliya hücreleri ve hücre uzantılarının oluşturduğu nöropilin ince yapı özellikleri ayrı ayrı belirtilmeye çalışıldı.

### *Materiel ve Yöntemler*

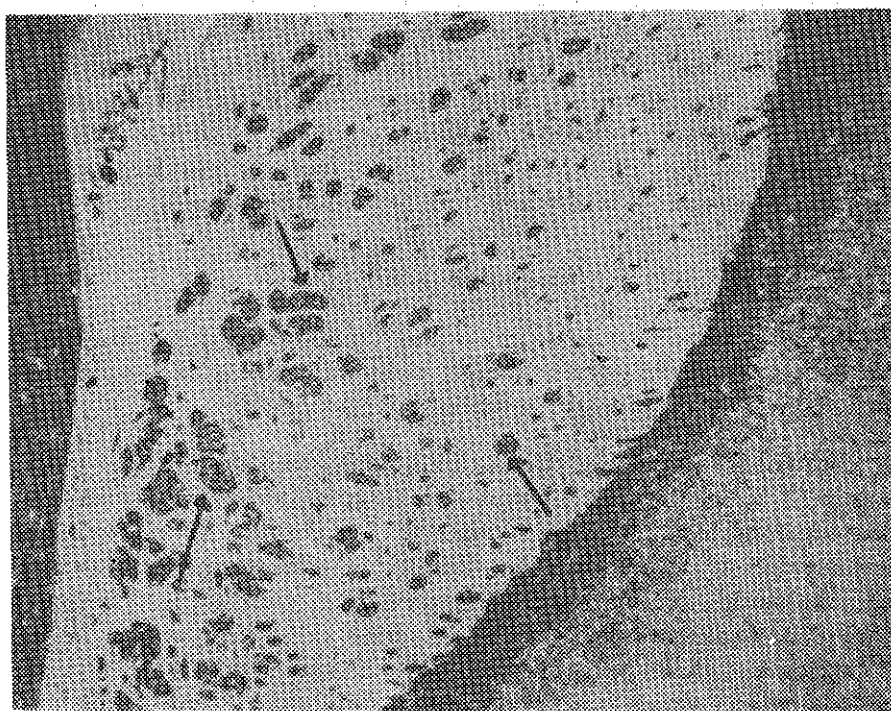
Bu çalışmada, Hacettepe Üniversitesi Tıp Fakültesi Deney Hayvanları Yetiştirme ve Araştırma Merkezi'nden sağlanan yaklaşık 200 gr ağırlığında İsviçre tipi ergin beyaz sıçanlar kullanıldı.

Sıçanlar kafaları kesilerek öldürülüdü. Kafa kemikleri açıldı, beyinler çıkarılarak bir grubu ışık, bir grubu elektron mikroskopu düzeylerinde izlenmek üzere ayrı ayrı tespit solüsyonları içine alındı. ışık mikroskopu incelemeleri için tespit solüsyonu olarak % 10'luk tamponlanmış formalin kullanıldı. Tespit işlemi sonunda bulbus olfaktoryus düzeyinde yatay planda yapılan kesileyle<sup>27</sup> alt ve üst olmak üzere ikiye ayrılan beyin parçalarından bilinen yöntemlerle parafin bloklar elde edildi. 5-6 mikron kalınlığında alınan parafin kesitlere Luxol fast blue-PAS-hematoxylin birleşik boyası, Weil ve Lillie'ye göre değiştirilmiş Weil-Weigert yöntemleri uygulandı. ışık mikrograflar Leitz marka fotomikroskobunda elde edildi.

Elektron mikroskopu incelemeleri için nukleus kaudatusdan alınan milimetre boyutlarındaki doku parçalarına pH 7.2 de 1/15 M fosfat tamponlu % 2.5 gluteraldehid, % 1 akrolein karışımı<sup>28</sup> ve osmiyum tetroksit ile ikili tespit uygulandı. Tespit işlemi sonrasında, doku parçaları dereceli etil alkol serisinden geçirilerek araldit karışımı gömme materiyelinde bloklandı. Elektron mikroskopik bloklardan elde edilen 400-600 Å kalınlığındaki ince kesitler Sato'nun<sup>29</sup> kurşun tuzları karışımıyla kontrastlanarak Carl Zeiss EM 9 S 2'ye dönüştürülmüş EM 9 elektron mikroskobunda incelendi. Ölümler Weibel'e<sup>30</sup> göre değerlendirildi.

### Bulgular

Ergin sıçan beyninde yan karıncıktan geçen parafin kesitler, Luxol fast blue-PAS hematoxylin boyası uygulanarak ışık mikroskopunda incelendiğinde, yan karıncık boşluğununa doğru kabarık nukleus kaudatus gözlandı. Kapsula internayla sınırlı, çırçır çekirdekde, kalın miyelinli akson demetlerinin izlenebilmesi yerinin saptanmasında yardımcı oldu (Şekil 1).

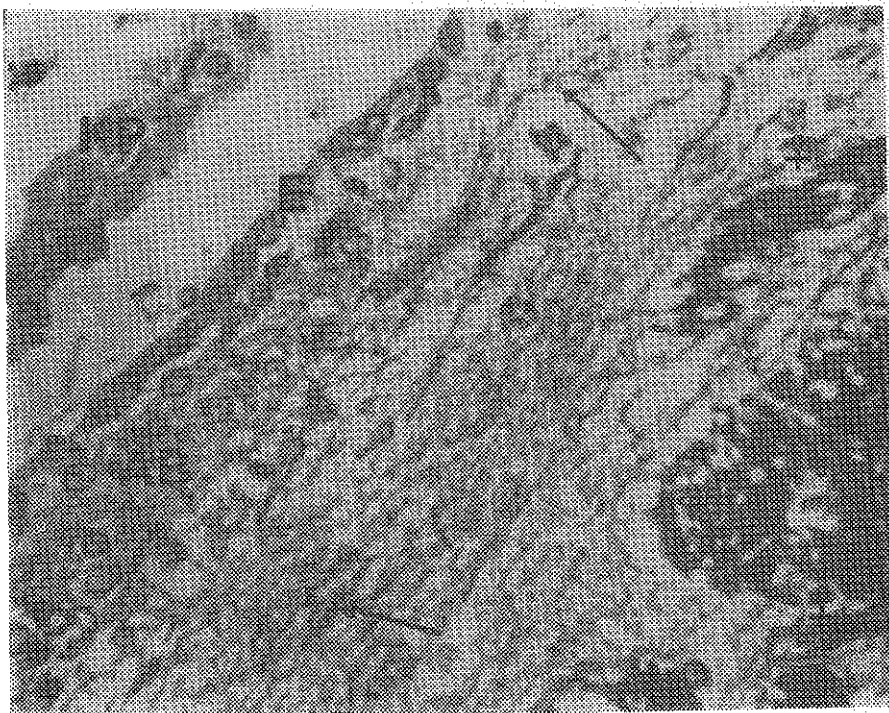


**Şekil 1**

Yan karıncıktan geçen parafin kesitte ergin sıçan nukleus kaudatusının bir bölümünü ve çevreleyen yapıları küçük büyütülmeli mikrografda izleniyor. Miyelin boyasıyla miyelinli akson demetleri (ok) kapsula interna (Kİ) demetleriyle aynı yoğunlukta boyanmıştır.

Boya: Luxol fast blue-PAS-Hematoxylin.  $\times 2.2$

İşik mikroskopunun büyük büyütmelerinde, yan karıncık duvarının tek sıralı ependim hücreleri altında, az sayıda hücreden oluşan ependimaltı kat, gevşek düzenli ara bölge ve daha alta nukleus kaudatus yapısı izlendi (Şekil 2 A). Bu yapıda, miyelinli akson demetleri arasında, tekdüzen dağılım gösteren çok sayıda soluk çekirdekli sinir hücreleri ve koyu çekirdekli gliya hücreleri ayırdedildi (Şekil 2 A, B).



Şekil 2 A

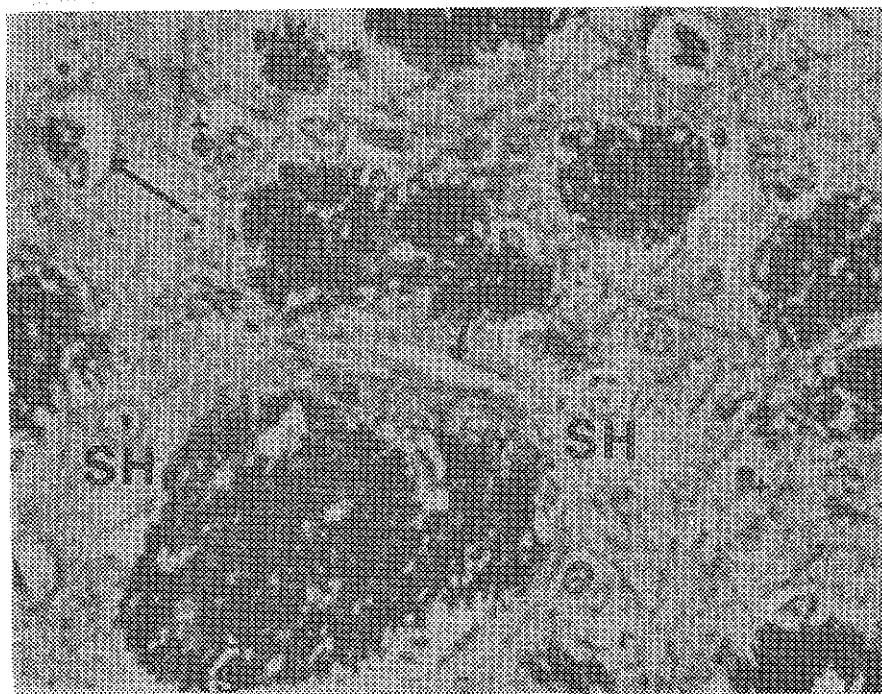
Ergin sıçan nukleus kaudatus başının yan karıncık duvarına komşu bölümünden geçen parafin kesitte, yan karıncık duvarını oluşturan ependim hücreleri (E) altında ependimalı kat ve gevşek düzenlenmiş ara bölge (AB), daha alta miyelinli akson demetleri (MiA) arasında koyu boyalı çekirdekleriyle gliya hücreleri (+) ayırdediliyor. Miyelinli aksonların kalın demetler dışında da ince ağ biçiminde (ok) yayıldığı ve ependimalı kata kadar uzandığı dikkati çekmektedir KP, koroid plexus

Boya: Luxol fast blue-PAS-Hematoxylin, x 40.

Farklı büyülüklükteki sinir hücrelerinin yuvarlak çekirdeklerinde koyu boyanmış çekirdekçik belirdi. Sitoplazmaları soluk görünümdedir. Sinir hücreleri arasında nöropil sıkı düzenlenmişti (Şekil 2 B).

Miyelinli aksonlar, demetler dışında ince telcikler biçiminde sinir hücreleri arasına yayılmıştı (Şekil 2 B). Böyle ince telcikler yan karıncık duvarı altında bulunan ara bölgede de izlendi (Şekil 2A). Demetler biçiminde düzenlenmiş miyelinli aksonların kapsula internayla aynı yoğunlukta boyanmış olduğu dikkati çekti (Şekil 1).

İşik mikroskopu düzeyinde gliya hücre tiplerinin kaba ayırımı yapılabildi. Protoplazmik astrositlerin koyu boyanmış çekirdekleri, boyaya almayan ince bir sitoplazma halkasıyla çevriliydi (Şekil 2 B). Bu hücrelerin sitoplazma uzantıları küçük damarlar çevresinde gliya ayakları



**Şekil 2 B**

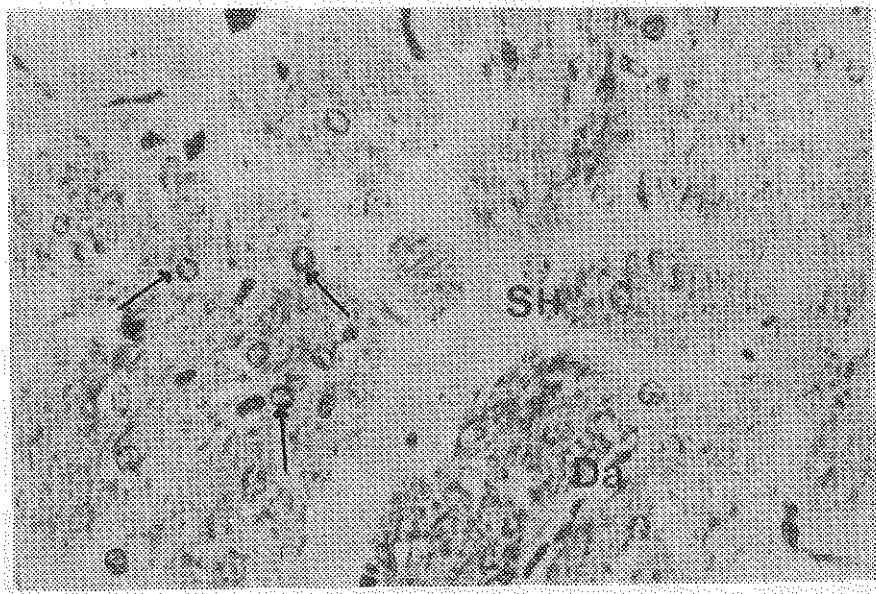
Parafin kesitte, miyelinli akson demetleri (MiA) arasında, açık çekirdekleri ve belirgin çekirdekçikleriyle çeşitli büyüklükte sinir hücreleri (SH), koyu çekirdekleri ve boyalı almayan sitoplazmalarıyla protoplazmik astrositler (+) ayırdediliyor. Damar çevrelerinde astrosit uzantılarının oluşturduğu gliya ayakları (ok) boşluk biçiminde seçiliyor.

Boya: Luxol fast blue-PAS-Hematoxylin. x 40.

görünümündeydi (Şekil 2B). Weil boyasıyla miyelinli aksonların kalın demetleri içinde oligodendrositler koyu boyalı oval ya da yuvarlak biçimli çekirdekleriyle seçildi (Şekil 3).

Ergin sıçan nukleus kaudatus başının iç bölümünde, elektron mikroskopu düzeyinde sinir hücrelerinin küçük, orta ve büyük olmak üzere üç farklı tipte olduğu saptandı (Şekil 4-10).

1- Az sayıdaki küçük sinir hücreleri, ortalama 5-9 mikron boyutlarında (Şekil 4 A). Bu hücrelerde yuvarlak ya da oval biçimdeki çekirdeği çevreleyen zarın çoğunlukla kaba çentikli olduğu gözlandı. Heterokromatin düzensiz küçük kümeler biçiminde ve daha çok çekirdek zarının iç yaprağına bitişikti. Çekirdek matriksi orta elektron yoğunluktaydı. Sitoplazma organellerinden granüllü endoplazma retikulumu oldukça iyi gelişmişti. Bağımsız ribozom toplulukları sitoplazmada yaygındı. Golgi kompleksi, çekirdek yakınında yerlesikti. Mitokondri-



Şekil 3

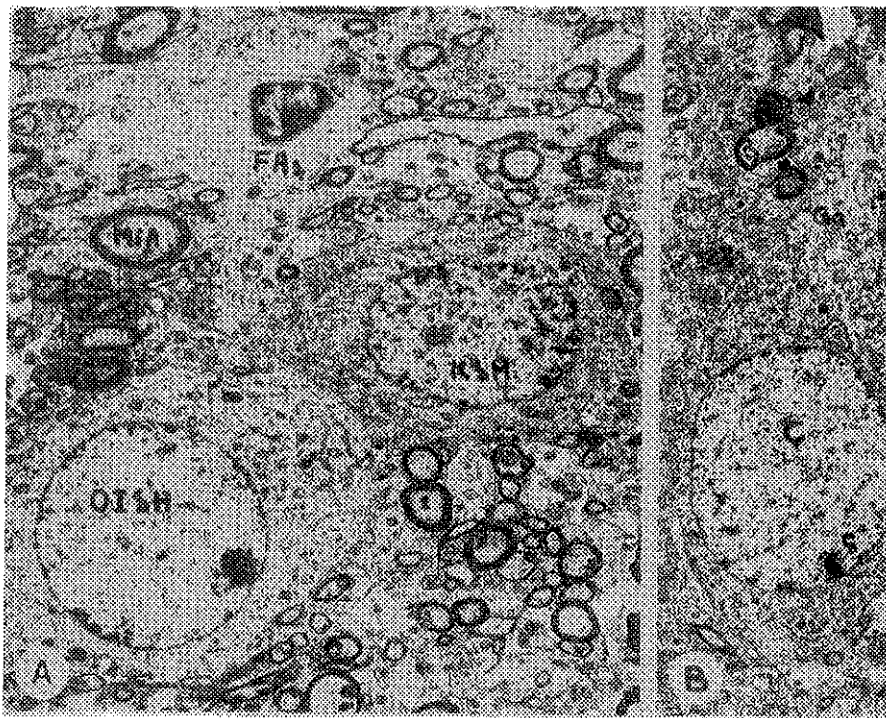
Aynı bölgeden elde edilen başka bir parafin kesitte, miyelinli akson demetleri içinde koyu çekirdekleriyle oligodendrositler (ok) gözlenmektedir. Miyelinli akson demetleri arasında açık boyanmış, yuvarlak çekirdekleri ve belirgin çekirdekçikleriyle sinir hücreleri (SH) ayırdediliyor. Da, damar

Boya: Weil yöntemi. x 40.

yonlar seyrek kristal yapısıydı. Nörotubulus ve nörofilamanlar yer yer zayıf olarak seçildiler. Az sayıda lizozom ayırdedildi. Hücre zarı ve bitişik akson zarları arasında gelişmiş aksosomatik sinapslar belirdindi (Şekil 5).

2- Sinir hücreleri arasında çoğuluğu, ortalama 10-20 mikron çapında orta büyüklükteki hücreler oluşturmuştu. Bu hücrelerin çekirdek biçimine göre ayıredilebilen üç farklı tipi gözlendi.

I- En sık rastlanan orta tip I sinir hücrelerinde büyük, yuvarlak düzgün sınırlı bir çekirdek seçildi (Şekil 4A, 4B, 6). Çekirdek iç yapısında ökromatinin belirginliği, heterokromatinin düzensiz ince kümeler oluşturuğu dikkati çekti. Çekirdekçik çoğulukla çekirdek kenarına yakın yerlesikti. Sitoplazmada, granüllü endoplazma retikulumu, bağımsız ribozom tanecik ve toplulukları, seyrek kristal mitokondriyonlar gevşek ve dağıtık düzenlenme gösteriyordu (Şekil 4A, 4B, 6). Golgi kompleksleri çekirdeğe yakın sitoplazmada ve ana dendrit çıkışlarında gözlendi (Şekil 4B, 7). İnce nörotubuluslar tüm sitoplazmada yaygındı. Lizozomlar az saydaydı (Şekil 6). Hücre zarının bitişik akson zarları ile ilişkisi ve aksosomatik sinaps yapıları ayırdedildi (Şekil 7).

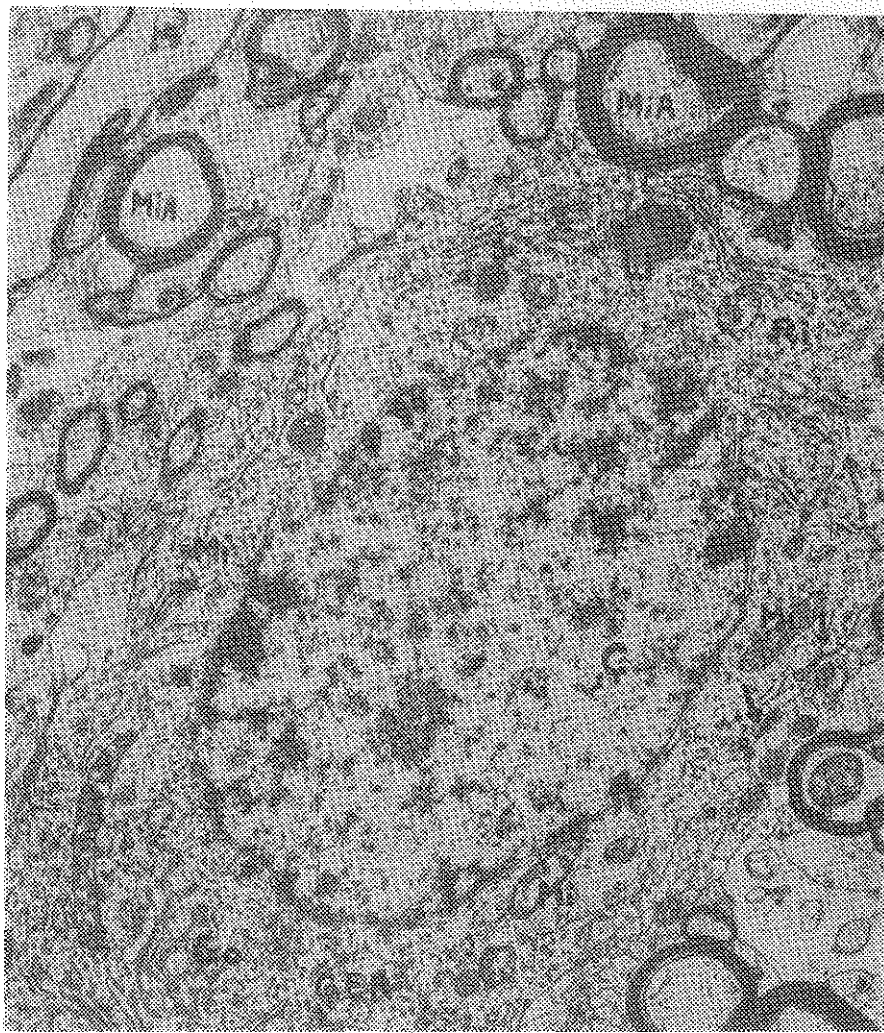


**Şekil 4 A-B**

- A- Ergin sıçan nukleus kaudatusundan elde edilen elektronmikrografda farklı kalınlık ve çapta miyelinli aksonlar arasında küçük tip (KSH), orta tip I (OISH) sinir hücreleri ve fibrilli astrosit (FAs) izlenmektedir MiA, miyelinli akson.
- B- Başka bir orta tip I sinir hücresinin elektronmikrografında ana dendrit çıkışları ve bu bölgede Golgi kompleksi izleniyor. Ç, çekirdek; ç, çekirdekcik.  
Kurşun sitrat, kurşun nitrat, kurşun asetat karışımı (Sato). x 5700.

II- Az sayıda gözlenen orta tip II sinir hücrelerinde, derin çentikli bir çekirdek bulunuyordu. Sitoplazmalarında granüllü endoplazma retikulumu ve bağımsız ribozom kümelerinin yanı sıra, çok sayıda Golgi kompleksinin varlığı dikkati çekti (Şekil 8).

III- Büyük tip sinir hücrelerine yakın büyüklükte olan orta tip III sinir hücrelerinde çekirdeği çevreleyen zarda ileri derecede kıvrıntılar ve kaba çentikler gözlandı. Çekirdekde heterokromatin oldukça düzensiz, ince kümeler oluşturmuştu. Heterokromatin kümeleri arasında ökromatinin yapısı seçilmekteydi. Sitoplazmada koşut düzenlenmiş granüllü endoplazma retikulumu dışında çok sayıda bağımsız ribozom topluluğu vardı. Çeşitli biçimdeki mitokondriyonlar sık kristal yapısıydı. Nörotubulus ve nörofilamanlar yer yer seçilebildi. Lizozom ve lipid damlacıklarına da rastlandı. Hücre zarıyla komşu aksonların sıkı ilişkisi ve aksosomatik sinapsların çok sayıda oluşu gözüne çarpıyordu (Şekil 9).



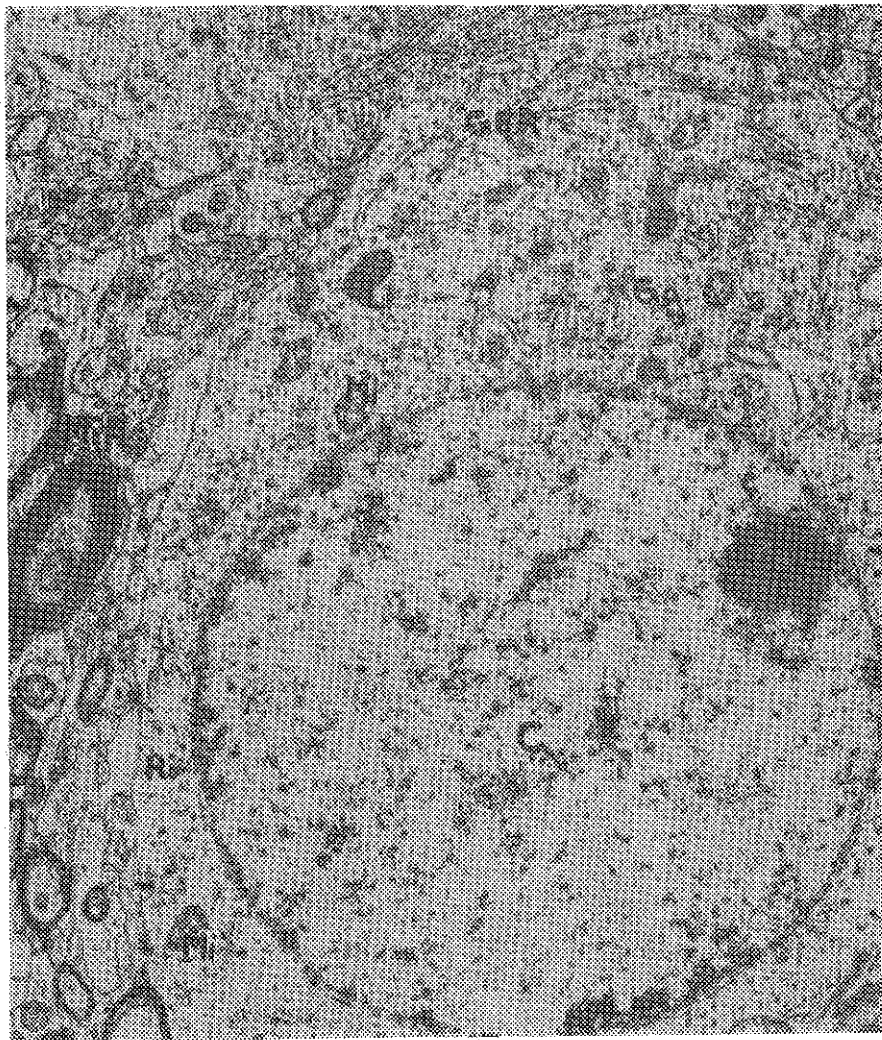
Şekil 5

Şekil 4A da gözlenen küçük tip sinir hücresinin ince yapı ayrıntıları sergilenmektedir. G, çekirdek; GER, granüllü endoplazma retikulumu; Ri, ribozom; Go, Golgi kompleksi; Mi, mitokondriyon; Li, lizozom; MiA, miyelinli akson (tek ok), aksosomatik sinaps.

Kurşun sitrat, kurşun nitrat, kurşun asetat karışımı (Sato). x 14100.

3- İncelenen bölgelerde büyük tipte sinir hücreleri az saydaydı. Bu hücreler ortalama 20-25 mikron çapta bulundu. Yuvarlağa yakın biçimdeki çekirdeklerinde küçük çentikler vardı. Çekirdek yapısında ökromatının egemenliği belirdi (Şekil 10).

Sitoplazmanın kosut düzenlenmiş granüllü endoplazma retikulumu, bağımsız ribozom tanecik ve toplulukları ve çeşitli biçimdeki seyrek kris-

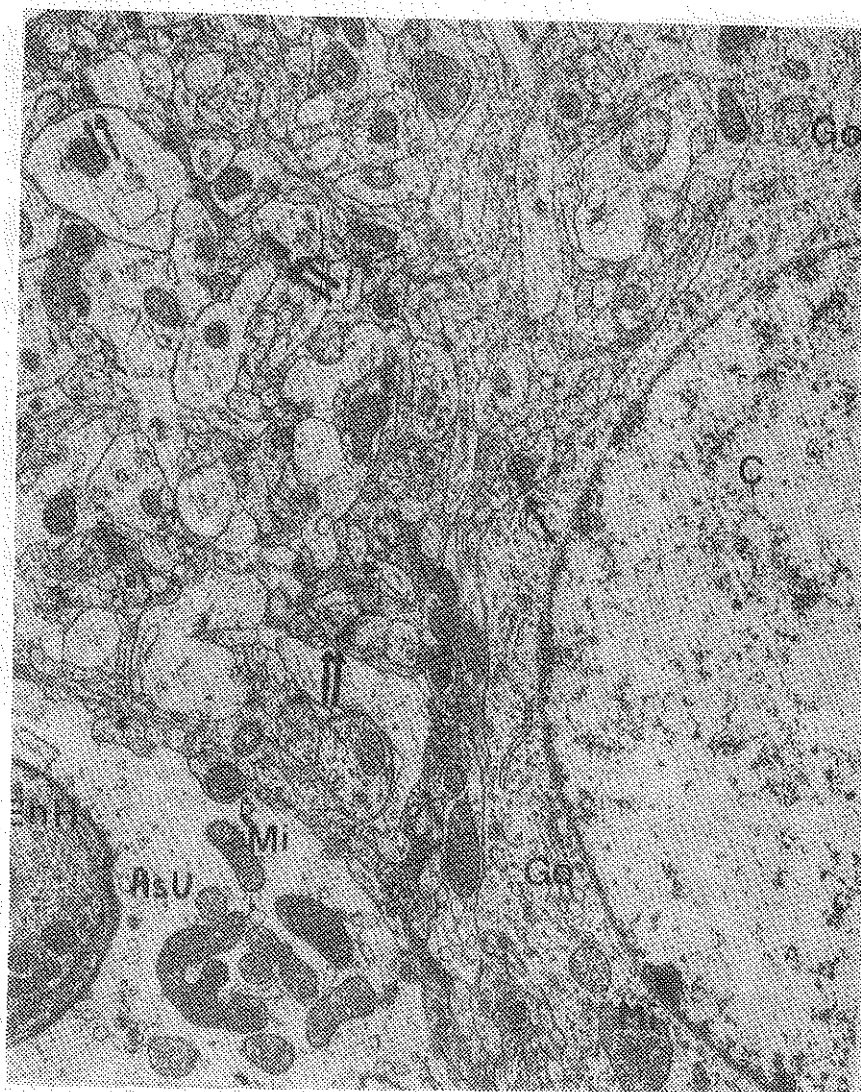


Şekil 6

Şekil 4 A da gözlenen orta tip I sinir hücresinin ince yapı ayrıntıları izleniyor. Ç, çekirdek; ç, çekirdekcik; GER, grantüllü endoplazma retikulumu; Ri, ribozom; Go, Golgi kompleksi; Mi, mitokondriyon; Li, lizozom; MiA miyelinli akson Kurşun sitrat, kurşun nitrat, kurşun asetat karışımı (Sato). x 14100.

tali mitokondriyonlardan zengin oluşu dikkati çekti. Çekirdeğe yakın sitoplazma bölgesinde Golgi kompleksleri yerleşti (Şekil 10, 10A). Hücre zarı boyunca, aksosomatik sinaps yapılarını belirleyen zar kalınlaşmaları saptandı (Şekil 10).

Ergin siçan nukleus kaudatus başında çeşitli sinir hücrelerinden köken alan dendritler, aksonlar ve bu yapıların dallarının oluşturduğu yo-

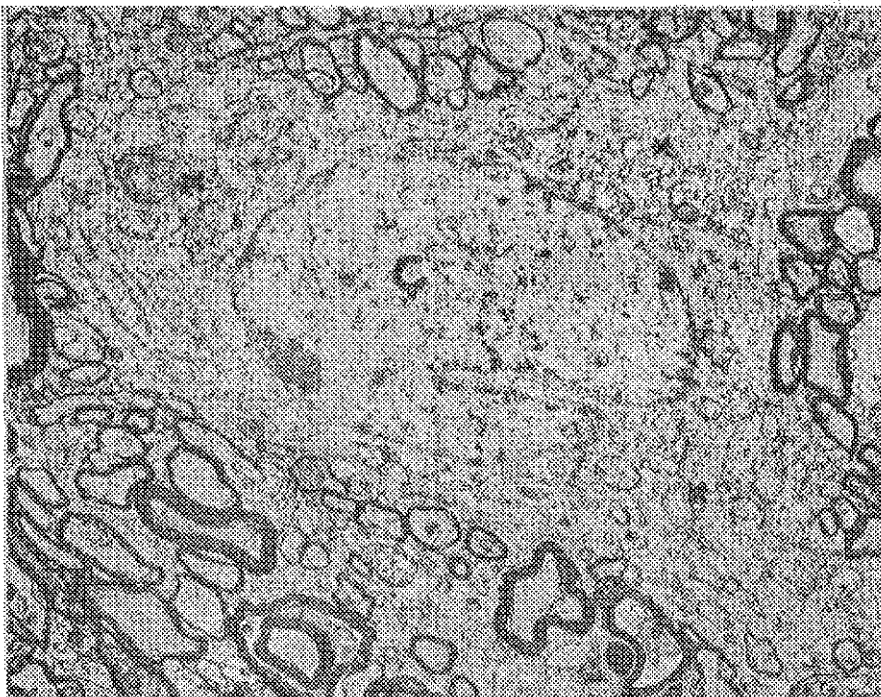


Şekil 7

Orta tip I sinir hücresi ve çevre yapılar izlenmektedir. C, çekirdek; Go, Golgi kompleksi  
Mi, mitokondriyon; (tek ok), aksosomatik sinaps; (çift ok), aksodendritik sinaps;  
AsU, astrosit uzantısı; EnH, endotel hüresi

Kurşun sitrat, kurşun nitrat, kurşun asetat karışımı (Sato) x 14100.

gün nöropil hücreler arasını doldurmaktaydı. Tüm uzantıların hangi hücrelere ait olduğunu, kesin tanımlanmaları yönünden belirleyebilecek ince yapı ayrıntıları saptanamadı. Tanınabilen dendrit dallarının ayırımı iç yapılarına göre yapıldı. Orta tip I sinir hücrelerinden köken alan



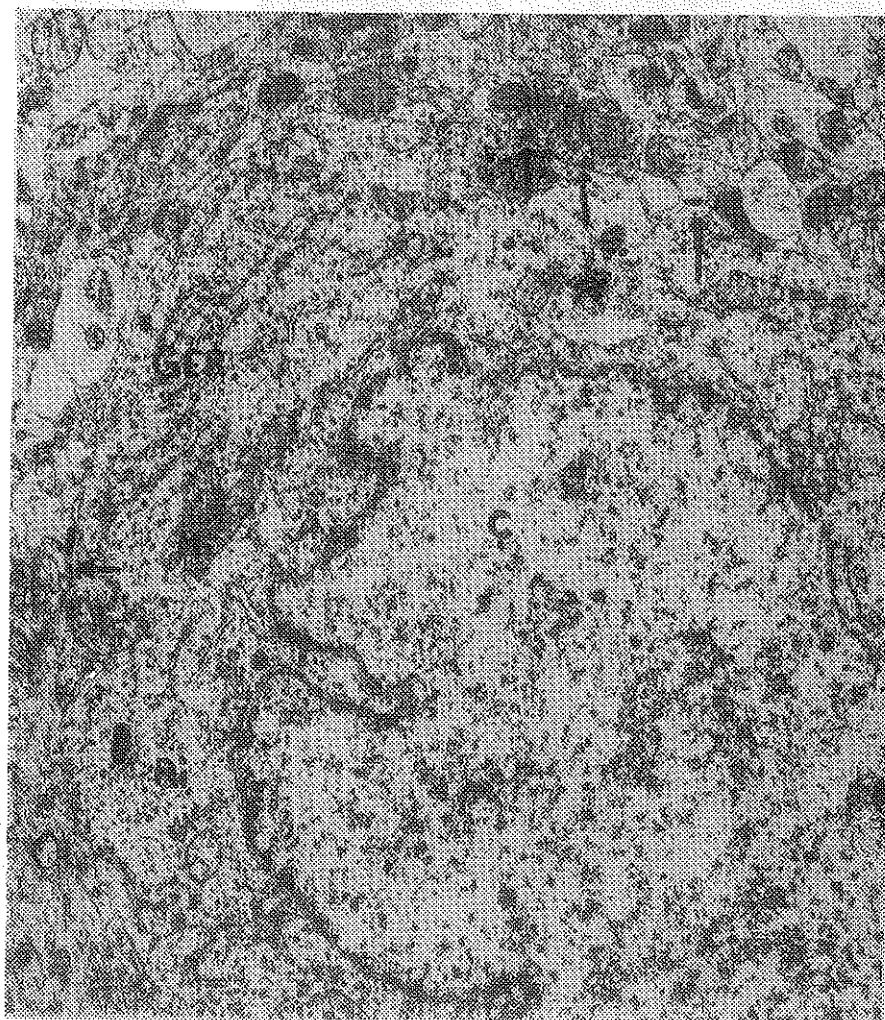
Şekil 8

Ergin sıçan nukleus kaudatus başının iç bölümünden elde edilen elektronmikrografda, miyelinli ve miyelinsiz akson kesitleri arasında derin çentikli çekirdekli ( $\mathbb{Q}$ ) orta tip II sinir hücresi gözleniyor. Çekirdek çevresi sitoplazmada çok sayıda Golgi kompleksi (\*) izlenmektedir.

Kurşun sitrat, kurşun nitrat, kurşun asetat karışımı (Sato).  $\times 5700$ .

dendrit dalları enine kesitlerde seyrek kristalî mitokondriyonları ve az sayıda nörotubuluslarıyla ayırdedildi (Şekil 11 A ).

Hücre uzantıları arasında çok sayıda sinaps yapısı gözlandı. Aksonlar ve dentritler arasında aksodendritik, aksonlar ve dendrit dalları tizerindeki uçları topuzcuk biçiminde sonlanan dikenler arasında da akso-dentritik spin sinapsları izlendi (Şekil 11 A). Sinaps ilişkilerini belirleyen zar kalınlaşmaları, ya sinaps öncesi ya da sinaps sonrası zarda yoğunluk kazanmıştı. Böylece zar yoğunlaşmaları asimetrik görünümdedeydi. Simetrik zar kalınlaşmalarıysa, sinaps öncesi ve sonrası zarların her ikisinde de eşit yoğunlukta materyel birikimiyle sergilениyordu (Şekil 7, 11 A-C). Sinaps yapılarında akson sonlanmaları içinde çok sayıda sinaps vezikülü görüldü. Çokluğu elektron yoğunluğu düşük, küçük tipte tipte veziküller oluşturuyordu (Şekil 11 A,B). Az sayıdaki akson sonlanmalarında küçük sinaps veziküllerinin yanısıra elektron yoğun mer-



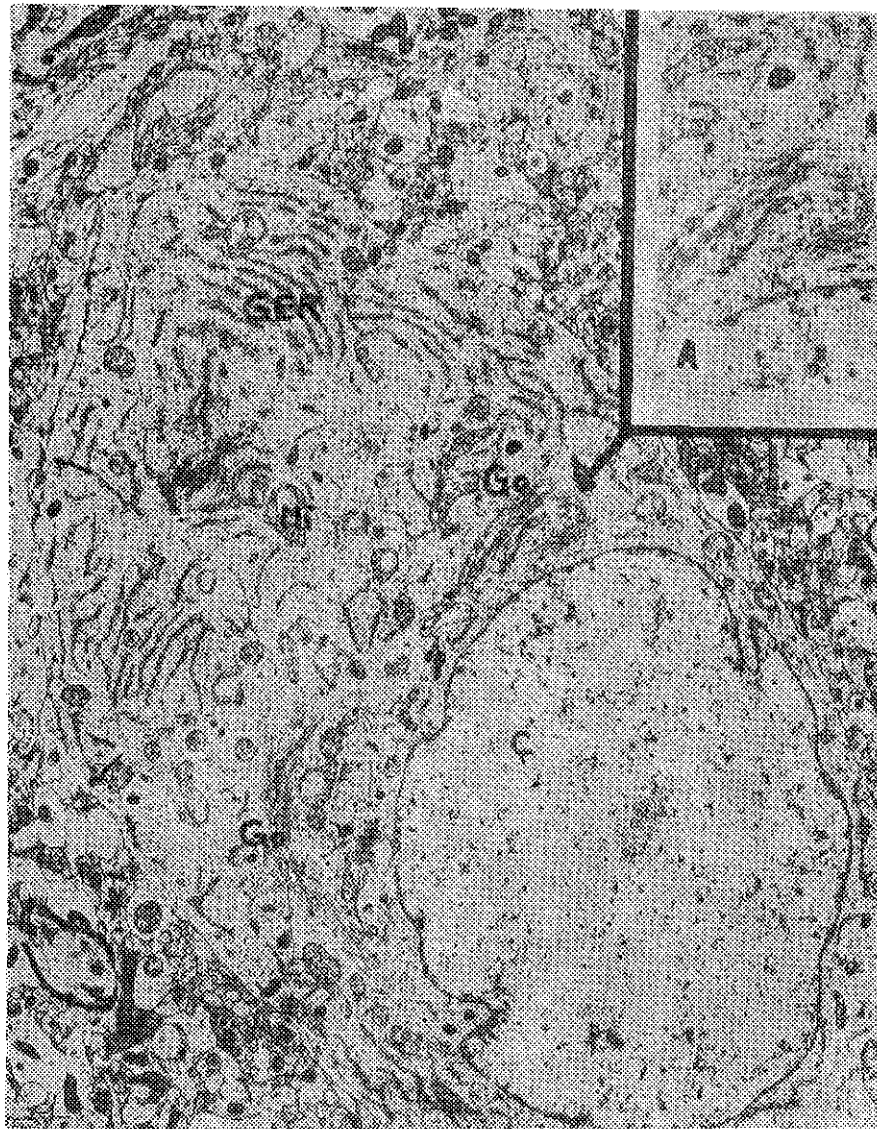
Şekil 9

Aynı bölgeden elde edilen başka bir elektron mikrografda boyutları büyük sinir hücresına yakın orta tip III sinir hücresinin ince yapı ayrıntıları sergilenmektedir. Ç, çekirdek; GER, granüllü endoplazma retikulumu; Ri, ribozom; Mi, mitokondriyon; (ok), aksosomatik sinaps.

Kurşun sitrat, kurşun nitrat, kurşun asetat karışımı (Sato).  $\times 14100$ .

kezli granüllere benzeyen büyük tipte sinaps vezikülleri saptandı (Şekil 11 C).

Ergin sıçan nukleus kaudatus başının iç bölümünde, elektron mikroskopu düzeyinde, protoplazmik tipte astrositlerle açık ve koyu tipte yuvarlak çekirdekli oligodendrositlerin gliya hücrelerinin büyük çoğunluğunu oluşturdukları saptandı.

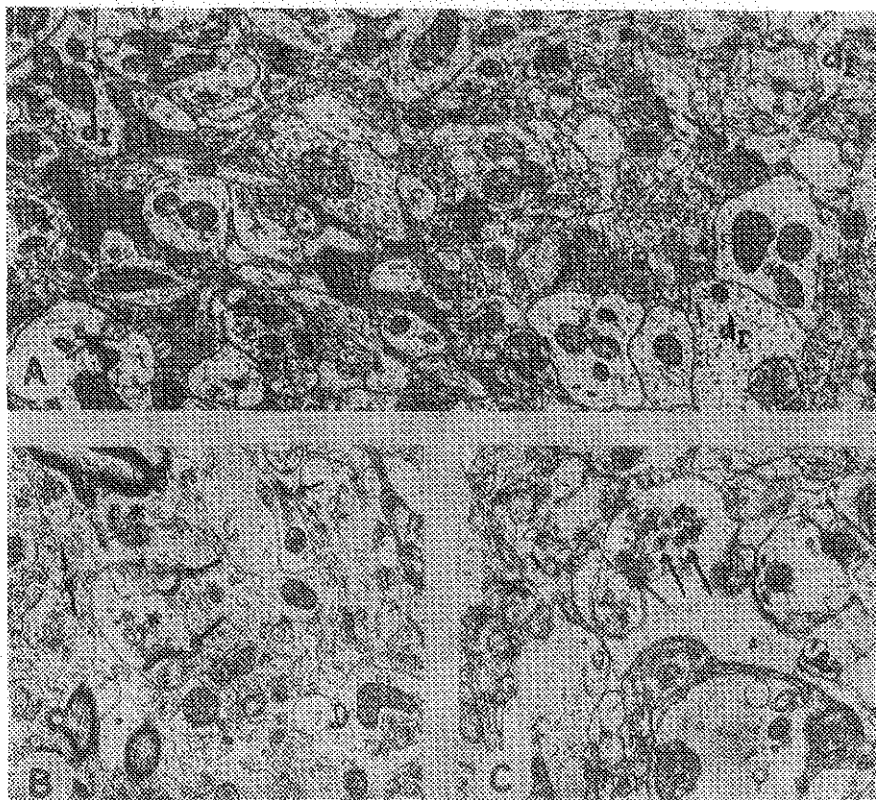


Şekil 10

Büyük tip sinir hücresinin ince yapı ayrıntıları gözlenmektedir. Ç, çekirdek; GER, granüllü endoplazma retikulumu; Go, Golgi kompleksi; Mi, mitokondriyon; (ok), aksosomatik sinaps  $\times 7600$ .

A- Şekil 10 da okla işaretlenen Golgi kompleksinin ince yapı ayrıntısı izlenmektedir.  $\times 14100$ .

Kurşun sitrat, kurşun nitrat, kurşun asetat karışımı (Sato).



Şekil 11 A-C

Ergin sıçan nukleus kaudatus başının iç bölümünden elde edilen elektron mikrografılarda sinir hücre uzantıları arasındaki ilişkiler izlenmektedir. Kurşun sitrat, kurşun nitrat, kurşun asetat karışımı (Sato).

A- Çeşitli yönlerde seyreden dendrit dalları, miyelinsiz akson kesitleri ve sinaps yapıları izleniyor. Orta tip I sinir hücreinden köken alan dendrit dalları ( $d_1$ ) enine kesitlerde seyrek kristalî mitokondriyonları ve seyrek nörotubuluslarıyla ayırdediliyor. Bu tip dendrit dalları üzerindeki uçları topuzcuk biçiminde sonlanan dikenlerle, akson sonlanmaları arasında bulunan aksodendritik sinapslar (ok) dikkat çekiyor. Akson sonlanmalarında çok sayıda elektron yoğunluğu düşük, küçük sinaps vezikülleri bulunuyor (\*).  $\times 18800$ .

B- Dendrit dalları ve akson sonlanmaları arasında simetrik zar kalınlaşması gösteren sinaps yapıları (ok) gözlenmektedir. Akson sonlanmalarında elektron yoğunluğu düşük, küçük sinaps veziküllerinin (\*) sinaps öncesi zara yakın bulunmuşları farkediliyor  $\times 18800$ .

C- Bir akson sonlanması elektron yoğunluğu düşük küçük sinaps veziküllerinin yanısına, elektron yoğun merkezli granüllere benzeyen büyük tip sinaps vezikülleri (ok) izlenmektedir.  $\times 25500$ .



Şekil 12

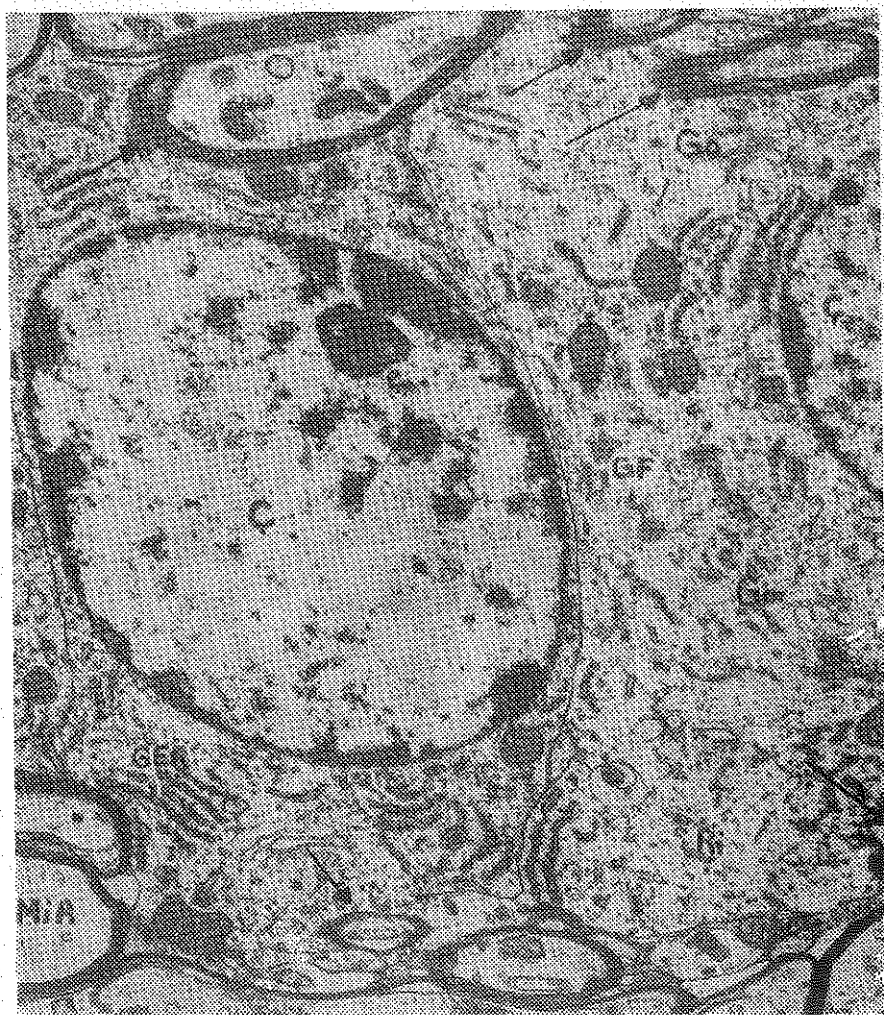
Ergin sycan nukleus kaudatus başının iç bölümünden elde edilen elektronmikrografda çeşitli hücre uzantıları arasında iki protoplazmik astrosit gözlenmektedir. Ç, çekirdek: (ok), organelden fakir astrosit uzantıları

Kurşun sitrat, kurşun nitrat, kurşun asetat karışımı (Sato). 7600.

Protoplazmik tipte astrositlerin yuvarlak ya da oval, düzgün sınırlı çekirdekleri vardı. Çekirdek zarının iç yaprağına bitişik heterokromatin porlar arasında düzenli kümeler biçimindeydi. Sitoplazmalarında iyi gelişmemiş granüllü ve granülsüz endoplazma retikulumu, az sayıda bağımsız ribozom toplulukları ve öteki organellere oranla oldukça büyük, elektron yoğun, sık kristal mitokondriyonlar seçildi. Organelden fakir sitoplazma uzantıları, öteki hücre uzantıları arasına sokulmuştu (Şekil 12). Küçük kan damarlarının çevresini tümüyle saran gliya ayaklarında bulunan organeller bu hücrelerin gövdesindekilerle aynı yapı özelliklerini taşıyorlardı (Şekil 7).

Açık ve koyu tipteki yuvarlak çekirdekli oligodendrositler miyelinli aksonlara bitişikti.

Açık tip oligodendrositlerin çekirdekleri düzgün sınırlı ve yuvarlağa yakın biçimdeydi. Çekirdek zarı iç yaprağına bitişik ve yer yer merkezde yerlesik heterokromatin kümeleri arasında ökromatinin egemenliği belirgindi. Küçük çekirdekçik çekirdek kenarına yakın yerleşim gos-



Şekil 13

Ergin siçan nukleus kaudatus başının iç bölümünden elde edilen elektron mikrografda miyelinli aksonlara yakın, olgun açık tip oligodendrositlerin ince yapı ayrıntıları sergilenmektedir. Çevrede bulunan miyelinli aksonların bu hücrelerin sitoplazmalarına kısmen gömülülmüş oldukları izleniyor (ok). G, çekirdek; ç, çekirdekçik; GER, granüllü endoplazma retikulumu; Ri, ribozom; Go, Golgi kompleksi; GF, gлиya fibrilleri; MiA, miyelinli akson

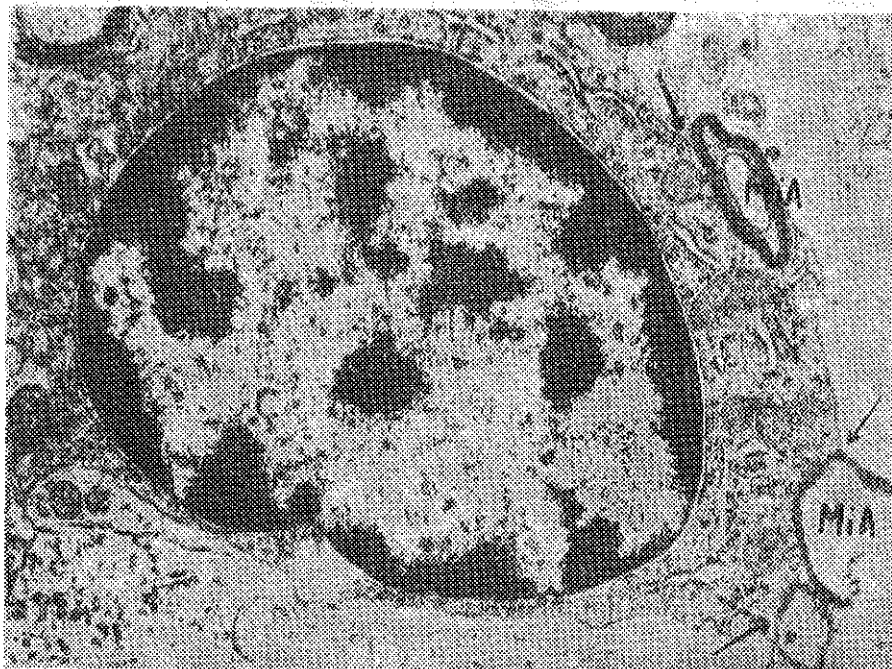
Kurşun sitrat, kurşun nitrat, kurşun asetat karışımı (Sato), 14100.

teriyordu. Sitoplazmalarında iyi gelişmiş granüllü endoplazma retikulumu koştut düzenlenmişti. Bağımsız ribozom topluluklarının yaygın olduğu gözlemlendi. Golgi kompleksleri çökirdeğe yakın bölgede yer almıştı. Orta elektron yoğunluktaki mitokondriyonlar sık kristal yapısı

daydı. İnce gliya fibrillerinin sitoplazmanın her yerine yayılmış olduğu dikkati çekti. Çevrede bulunan miyelinli aksonlar, bu hücrelerin sitoplazmalarına kısmen gömülmüşlerdi (Şekil 13).

Koyu tip oligodendrositlerin açık tiplerden daha çok olduğu seçildi. Bu hücrelerin düzgün sınırlı, yuvarlak çekirdeklerinde zara bitişik ve merkezde yerlesik kaba heterokromatin kümelerinin varlığı göze çarptı. Matriks yoğunluğu belirgin olan sitoplazma granüllü endoplazma retikulumunun yanısıra bağımsız ribozom topluluklarından da zengindi. Mitokondriyonlar sık kristal yapida ve orta elektron yoğunluktaydı.

Hücre zarının miyelinli aksonlarla yakın ilişkisi ve bunların yer yer sitoplazmaya gömülmüş oldukları gözlandı (Şekil 14).



Şekil 14

Ergin sıçan nukleus kaudatus başının iç bölümünden elde edilen elektronmikrografda olgun koyu tip oligodendrositin ince yapı ayrıntısı izlenmektedir. Düzgün sınırlı, yuvarlağa yakın biçimdeki çekirdekte ( $\mathcal{Q}$ ) heterokromatinin kaba kümeleri arasında ökromatinin yapısı ayırdedilmektedir. Sitoplazma granüllü endoplazma retikulumunun yanısıra bağımsız ribozomdan da zengindir. Hücre zarıyla miyelinli aksonların yakın ilişkisi (ok) farkediliyor. MiA, miyelinli akson

Kurşun sitrat, kurşun nitrat, kurşun asetat karışımı (Sato)  $\times 14100$ .

### Tartışma

Işık mikroskopu düzeyinde yapılan çalışmalarla, ergin insan ve memeli hayvanların çoğunda nukleus kaudatusun baş, gövde ve kuyruk bölgelerinde tekdüzen bir yapı tanımlanmaktadır. Bu yapıda, miyelinli aksonların kalın demetleri arasında belirli bir gruplaşma göstermeyen çok sayıda sinir ve gliya hücreleri yerlesiktir.<sup>3-8, 31, 32</sup> Nukleus kaudatusun yan karıncık boşluğuna doğru kabarık olduğu bölümde, ependir hücrelerine bitişik az sayıda hücreden oluşan ependirimaltı kat ve sinir hücrelerinden fakir, gliya hücrelerinden zengin, gevşek düzenlenmiş ara bölge yukarıda tanımlanan tekdüzen yapıya uyum göstermez.<sup>8, 13</sup> Kapsula interna sınırlarda böyle gevşek düzenlenmiş bir bölge yoktur. Çeşitli yönlerde seyreden miyelinli aksonları kapsayan kapsula interna, nukleus kaudatusdan kesin bir sınırla ayrılır. Burada sinir hücrelerinin gövdeleri miyelinli akson demetlerine komşudur.<sup>5, 6, 8</sup>

Nukleus kaudatusun tüm bölgelerinde farklı biçim ve büyüklükte sinir hücreleri ayırdılmıştır. Adinolfi,<sup>1, 2</sup> kedilerde, Mori<sup>8</sup> siçanlarda, klasik tanımlamaya<sup>13-15</sup> bağımlı kalarak sinir hücrelerini küçük (10-15 mikron) ve büyük (20-30 mikron) olarak ayırmışlardır. Ancak son yıllarda yapılan çalışmalarla, bölgede bu hücrelerle birlikte az sayıda çok küçük (9 mikrondan küçük) sinir hücrelerinin de bulunduğu saptanmıştır.<sup>3-7</sup> Böylece, daha önce yapılan araştırmalarda küçük (10-15 mikron) olarak tanımlanan hücrelerin, nukleus kaudatus sinir hücrelerinin büyük çaplılığını oluşturan orta büyülükteki sinir hücreleri olduğu belirtilmiştir.<sup>5</sup> Kemp<sup>5</sup> ve Mensah<sup>7</sup> ergin kedilerde, Lu<sup>6</sup> ise ergin siçanlarda nukleus kaudatusun sinir hücreleri yönünden yapısal benzerlik gösterdiğini ileri sürmektedirler.

Bilgisayar analizleriyle orta büyülükteki sinir hücrelerinin kedi ve siçanlarda bu bölgedeki sinir hücrelerinin % 95'ini, küçük ve büyük sinir hücrelerininse, birlikte ancak % 5'ini oluşturdukları saptanmıştır.<sup>5-7</sup>

Bu çalışmada da elektron mikroskopu düzeyinde ergin siçan nukleus kaudatus başının iç bölümünde farklı büyülükte (küçük, orta, büyük) üç tip sinir hücresi ayırdıldı. Bu hücrelerin büyülüklük, biçim ve dağılımları yönünden kedi ve siçan nukleus kaudatuslarında daha önce tanımlanan sinir hücrelerine benzerlik gösterdikleri saptandı.

Küçük sinir hücreleri 9 mikrondan daha küçük hücrelerdir.<sup>5, 7</sup> İnce yapı düzeyinde yuvarlağa yakın ya da oval biçimli çekirdeklerinde küçük çentikler izlenebilir. Çekirdek iç yapısında heterokromatin, düzensiz ince yayılma gösterir. Çekirdeği saran dar sitoplazmada granüllü endoplazma retikulumu, küçük Golgi kompleksi ve az sayıda mitokondriyon yerlesiktir. Bağımsız ribozom tanecik ve topluluklarından zengin

olan sitoplazma matriksi yoğun gözlenir. Hücre zarıyla, bitişik aksonlar arasında aksosomatik sinapsların sıklığı göze çarpar.<sup>5</sup>

Bu çalışmada küçük sinir hücrelerinin az sayıda oluşu dikkati çekti. İnce yapıları yönünden tanımlananlara uyum gösteriyordu.

Kemp<sup>5</sup> ve Mensah,<sup>7</sup> kedi nukleus kaudatusunda ışık mikroskopu düzeyinde, ortalama 10-20 mikron çapındaki orta büyülükte sinir hücrelerini 4 alt tipe ayırmışlardır. Bu ayırma, gümüş çöktürme yöntemiyle sinir hücrelerinin gövde, akson, dendrit biçimlerine ve dendritlerinin yayılma alanlarına göre yapılmıştır. Kemp'e<sup>5</sup> göre ışık mikroskobunda ayırdedilebilen bu hücrelerin tümü elektron mikroskopu gözlemleriyle uyum göstermektedir. Lu<sup>6</sup> ise, sıçan nukleus kaudatusunda, ışık mikroskopu düzeyinde gözlediği orta büyülükteki 5 tip sinir hücresinin ince yapı düzeyinde tanımlanmasını yapmamıştır. İnce yapı düzeyinde orta büyülükteki sinir hücresi tiplerinin tanımlanabilmelerinde, çekirdekde centiklenmenin varlığı gözönüne alınmıştır.<sup>5</sup>

Nukleus kaudatusda sinir hücrelerinin çoğunluğunu oluşturan orta büyülükteki sinir hücreleri arasında en sık gözlenen hücrenin yuvarlak, centiksiz çekirdeği vardır. Heterokromatinin ince kümeleri çekirdek kenarında yerlesiktir. Sitoplazmada granüllü endoplazma retikulumu çekirdek çevresinde yoğunlaşmıştır. Bağımsız ribozom kümeleri az sayıdadır. Küçük Golgi kompleksleri çekirdeğe yakın sitoplazma bölgesinde ve ana dendrit çıkışında gözlenir. Çekirdeği saran sitoplazmada yaygın olan mitokondriyonlar dendrit çıkışında azdır. Bu bölgede az sayıda nörotubulus ayırdedilir.<sup>5</sup>

Bu çalışmada, yukarıda tanımlanan ince yapı özelliklerini taşıyan çok sayıda sinir hücresi gözlendi. Orta tip sinir hücreleri arasında, ayırmak kolaylığını sağlamak üzere, bu hücreler orta tip I sinir hücreleri diye adlandırıldı. Belirtilen organellerin yanısıra, lizozomların varlığı seçilebildi. Dendrit çıkışında belirgin olan nörotubuluslar çekirdeği saran sitoplazmada da yaygındı. Hücre zarıyla bitişik akson zarlarında, belirli bölgelerde kalınlaşmalar izlendi. Bu yapıların aksosomatik sinapslar olduğu saptandı.

Orta büyülükteki sinir hücrelerinin bir grubunda, derin centikli çekirdek bulunur. Sitoplazmada granüllü endoplazma retikulumunun dışında, bağımsız ribozom kümeleri yaygındır. Dentrit çıkışlarında ve çekirdeğe yakın sitoplazma bölgelerinde çok sayıda Golgi kompleksi yer alır.<sup>5</sup>

Tanımlanan ince yapı özelliklerini taşıyan az sayıdaki sinir hücreleri bu çalışmada orta tip II sinir hücreleri olarak adlandırıldı.

Orta büyülükteki sinir hücreleri arasında, çentikli ve kıvrıntılı çekirdekleriyle dikkat çeken bir başka hücre tipinin sitoplasmalarında granüllü endoplazma retikulumu iyi gelişmiştir. Golgi kompleksi çekirdeğe yakın yerleşim gösterir. Bağımsız ribozom toplulukları seyrek kristal mitokondriyonlar ve nörotubuluslar öteki organeller arasında yaygındır.<sup>5</sup>

Yukarıdaki tanımlamaya uyan, oldukça büyük gövdeli sinir hücreleri orta tip III sinir hücreleri olarak ayrıldı. Sitoplasmalarında belirtilen organellerin yanısıra, lizozom ve lipid yapılarına rastlandı. Hücre gövdesinde çok sayıda aksosomatik sinaps bulunuyordu.

Sonuncu orta büyülükteki sinir hücresi tipi, çentikli çekirdekli ve bu grupta bulunan hücrelerin en küçüğüdür. Sitoplasmalarında elektron yoğun sık kristal mitokondriyonların bulunduğuyla ayırdedilir.<sup>5</sup> İnce yapısı yeterince belirtilmeyen sonuncu orta tip sinir hücreleri bu çalışmada saptanamadı.

Kedi ve sıçanların nukleus kaudatuslarında, bir çok araştırmacının tanımladığı az sayıda 20-30 mikron çapında büyük tip sinir hücreleri bulunur.<sup>1-5, 8</sup> Bu hücrelerin çoğunlukla yuvarlak olan çekirdeklerinde, kimi zaman küçük bir kaç çentiğin varlığı dikkati çeker.<sup>5, 8</sup> Çekirdekde, ileri gelişim gösteren sinir hücresi çekirdeklerinin yapısal özelliğini sergileyen biçimde, ökromatinin egemenliği belirgindir. Çekirdekçikler, çekirdek merkezinde ya da kenara yakın yerleşim göstermektedir.<sup>2, 5, 8</sup> Sitoplazmanın büyük bölümü, koşut düzenlenmiş granüllü endoplazma retikulumunu içerir. Bağımsız ribozomlar çoğunlukla topluluklar biçimindedir. Çok sayıda olan Golgi kompleksleri sitoplazmada karmaşık bir sistem oluşturur, daha çok dendritlerin köken aldığı çevre ve çekirdeğe yakın sitoplazma bölmelerinde gözlenirler.<sup>5</sup> Küçük ve az sayıda seyrek kristal mitokondriyonlar, öteki organeller arasında yaygındır. Nörotubuluslar, çoğunlukla Golgi kompleksi yakınında iyi seçilir. Lizozomlar çok sayıdadır. Hücre zari boyunca aksosomatik sinaps yapıları gözlenir.<sup>2, 5, 8</sup>

Bu çalışmanın verilerinde büyük sinir hücrelerinin ince yapısı tanımlananlara tümlüyle uyum gösteriyordu.

Ergin sıçan<sup>8, 9</sup> ve kedilerin<sup>2, 3, 5, 11</sup> nukleus kaudatusda elektron mikroskopu düzeyinde, sinir ve gliya hücreleri arasında dendritler, dendrit dalları, miyelinli ve miyelinsiz aksonların ve gliya hücre uzantılarının oluşturduğu yoğun nöropil yer alır.

Nukleus kaudatusun nöropilinde sinaps dağılımı akson sonlanma gruplanması ve özelleşmiş sinaps yapısı göstermeksiz tek düzen niteliktir.<sup>1-3, 5, 8, 9, 11</sup> Aksonlar sinir hücrelerinin (aksosomatik sinaps) ve

dendritlerin gövdelerinde (aksodendritik sinaps) ya da dendrit dalları üzerindeki dikenlerde (aksodendritik-spin sinapsı) sonlanırlar.<sup>1-3, 5, 8, 11</sup>

Hücre gövdeleri ve akson sonlanmaları arasında gelişmiş sinapslar, sinir hücrelerinin tümünde bulunur.<sup>1, 2, 5, 8</sup> Akson ve dendrit gövdeleri arasında sinaps yapıları ender olarak gözlenir.<sup>2, 5, 8, 9</sup> Bir ya da daha fazla akson büyük bir dendrit gövdesinde ya da tek akson iki dendritte sonlanır.<sup>9</sup> Akson sonlanması küçük sinaps veziküllerinin bulunmasına karşın, dendrit gövdesinde mitokondriyonlar ve uzun eksene koşut düzenlenmiş nörotubuluslar yerleşmiştir.<sup>2</sup> Nöropilde en sık gözlenen sinaps tipi aksodendritik-spin sinapslarıdır. Dendrit dalları üzerindeki uçları topuzcuk biçiminde sonlanan dikenlerle, akson arasında oluşmuş bu tip sinapslarda, çoğunlukla asimetrik zar kalınlaşması dikkati çeker. Sinaps zarlarından birinin daha yoğun olması bu görünümü ortaya çıkarır.<sup>2, 8, 11</sup>

Bu çalışmada, sinir hücrelerinin zar ilişkilerinde tanımlandığı üzere aksosomatik sinapslar, akson ve dendrit gövdeleri arasında aksodendritik sinapslar ve dendrit dikenleriyle aksonlar arasında oluşmuş aksodendritik spin sinapslar kaynak verilerine uygun olarak ayırdedildi. Aksodendritik spin sinapsların sıklığı dikkati çekti.

Akson sonlanmalarında çoğunlukla yuvarlak 400-500 Angstrom çapında, elektron yoğunluğu düşük, küçük sinaps vezikülleri bulunur. Bu veziküler sinaps öncesi zar yakınlarında yerleşmiştir.<sup>1-3, 5, 8, 9, 11</sup> Aynı tip vezikülerin kolinerjik aracı maddelerle ilişkisi kurulmuştur.<sup>9, 34</sup> Akson sonlanmalarında az sayıda elektron yoğun merkezli granüllere benzeyen büyük sinaps vezikülleri bulunabilir.<sup>8, 9</sup> Bu tip vezikülerin aminerjik aracı maddelerin yapışal niteliğini taşıdığı belirtilir.<sup>9, 10, 12, 17, 34, 35</sup> Ancak belirlenebilmelerinde permanganat tespit solusyonlarıyla daha iyi sonuç alınmaktadır.<sup>34</sup>

Bu çalışmada da akson sonlanmalarındaki sinaps veziküllerinin çoğunlukla kolinerjik aracı maddelerin yapışal niteliğini taşıyan elektron yoğunluğu düşük, küçük tipte ve oldukça az bir bölümünün aminerjik aracı maddelerin yapışal görünümünü sergileyen elektron yoğun merkezli granüllere benzeyen büyük tipte oldukları belirlendi.

İşik mikroskopu düzeyinde hazırlanan miyelin preparasyonları, öteki bazal çekirdeklerle olan ortak özellikler dışında başkaca ayırcı nitelik göstermez.<sup>5, 6, 8</sup> İlk kez Wilson<sup>14</sup> bölgedeki miyelinli akson demetlerinin dağılımı için "tarak dişlerine benzer telcikler sistemi" tanımını kullanmıştır. Bu yapışal görünüm daha sonra Nauta ve Mehler<sup>36</sup> tarafından "Wilson'un demetleri" diye adlandırılmıştır. Miyelinle kılıflanmış aksonların oluşturduğu kalın demetler beyin yarımkürelerinde olduğu gibi, belirli bir beyaz madde katı biçiminde düzenlenmemiş, nuk-

leus kaudatus içinde yer alır. Bu demetlerin yanısıra, nöropil içinde tek tek miyelinli aksonlar seçilebilir.<sup>5</sup> İnce yapı düzeyinde afferent ya da efferent aksonları çevreleyen miyelin kılıflarının beynin öteki bölgelerinde gözlenenlerden farklı bir özelliği yoktur.<sup>5</sup>

İşik mikroskopu düzeyinde, ergin sıçan nukleus kaudatusunda çeşitli yönlerde kesitleri izlenen miyelinli akson demetlerinin dağılımı tanımlanınlara uyum gösteriyordu. Ayrıca, bu demetlerin miyelin boyasıyla kapsula interna demetleriyle aynı yoğunlukta boyanmış oldukları saptandı. Kalın demetler dışında kalan nöropilde, daha açık renkte boyalı miyelinli aksonlar yayılmıştı. Böyle ince tek tek izlenebilen telcikler, ependimalı kata bitişik gevşek düzenlenmiş, ara bölgede de seçildi.

Nöropil yapısına katılan gliya hücrelerinin uzantıları, bu hücrelerin bütünlüğünü korumak amacıyla gliya hücreleriyle birlikte incelenmiştir.

Ergin sıçan nukleus kaudatusunda gliya hücrelerinin tipleri ve ince yapı ayrıntıları Mori,<sup>8</sup> tarafından tanımlanmıştır. Bu araştırcı astrosit ve oligodendrositlerin, gliya hücrelerinin çoğunu oluşturduguunu belirtmiştir.

Bu bölgede bulunan astrositler daha çok protoplazmik tiptedir. Sinir hücresi uzantılarına yakın ya da kan damarlarının çevresinde bulunurlar. Bu hücrelerin yuvarlak çekirdeklerini saran sitoplasmalarından birçok uzanti çıkar. Çekirdekde heterokromatin ince kümeler bicimindedir. Çekirdek çevresi sitoplazma ve uzantılarında az sayıda organel bulunur. Granüllü endoplazma retikulumu iyi gelişmemiştir. Bağımsız ribozom toplulukları son derece azdır. Küçük Golgi kompleksi izlenebilir. Elektron yoğun, sık kristalı mitokondriyonlar ve granülsüz endoplazma retikulumunun küçük tüp kesitleri uzantılarında da bulunabileen en belli başlı organellerdir. Sitoplazmada glikojenin varlığı kanıtlanmıştır.<sup>8</sup> Merkez sinir sisteminin çeşitli bölgelerinde protoplazmik astrosit tanımlanması az çok ayrıcalık göstermekle birlikte genel uyum içindedir.<sup>19, 37, 38</sup>

Bu araştırmada, işik mikroskopu düzeyinde astrositler ayırdıldı. Koyu boyalı çekirdekleri, boyalı boyamayan ince sitoplazmayla çevriliydi. Küçük kan damarlarının çevresini tümüyle saran astrosit uzantıları, boyasız olarak gözlenen gliya ayaklarını oluşturuyordu. İnce yapı düzeyinde bu hücreler nukleus kaudatusda tanımlanan protoplazmik astrositlerle büyük uyum içinde bulundu. Sitoplazma uzantıları, nöropilin her tarafında organelden fakir büyük keseler bicimindeydi. Gliya ayaklarında gözlenen organel düzenlenmesi hücre gövdesindekilerle eşdi.

Beynin çeşitli bölgelerinde ince yapıları son yıllarda tanımlanan oligodendrositler, birçok yapı bilimci tarafından farklı gruplandırılmakta-

dir. Bir grup araştırmacı, oligodendrositleri büyülüklüklerine göre, küçük, orta ve büyük olarak ayırırken,<sup>18</sup> başkaları komşuluklarını dikkate almışlardır.<sup>39</sup> Sinir hücrelerine bitişik olanlara "satellit" miyelinli akson demetleri arasında bulunanlara "interfasiküler" adlarını vermişlerdir.<sup>39</sup> Başka bir grubun, hücrelerin sitoplasmalarının elektron yoğunluğuna göre yapmış olduğu, açık, orta ve koyu oligodendrosit tipleri ayrimı da benimsenmiştir.<sup>20-22</sup>

Nukleus kaudatusda Mori'nin<sup>8</sup> tanımladığı, ancak adlandırmadığı oligodendrositlere benzer hücreler, aynı araştırmacı tarafından daha sonra korpus kallozumda koyu oligodendrositler olarak tanımlanmıştır.<sup>21</sup> Bu hücrelerin elektron yoğun gözlenen çekirdek ve sitoplazmaları vardır. Yuvarlağa yakın biçimdeki çekirdekde kaba heterokromatin yayılımı dikkati çeker. Kimi çekirdek merkezinde yerleşik çekirdekçik gözlenebilir. Sitoplazmalarında granüllü endoplazma retikulumu sarnıçlarının genişleme gösterdikleri ayırdedilir. Bağımsız ribozom tanecik ve toplulukları son derece yoğun yerleşim gösterirler. Golgi kompleksi çekirdek yakınındadır. Bu hücrelerde kısa ve ince sitoplazma uzantıları tanımlanmıştır.<sup>21</sup> Nukleus kaudatusda buna benzeyen oligodendrositlerin hücre zarının bitişik aksonların miyelin kılıflarını sarmış olduğu saptanmıştır.<sup>8</sup> Korpus kallozumda gelişme sürecinde son dönemlerde gözlenen koyu oligodendrositlerin çekirdeklerinin radyoaktif maddeyle işaretlenmesi, bu hücrelerin bölünme yeteneklerini kaybettiklerinin yapısal kanıtı olarak kabul edilmektedir.<sup>21</sup>

Bu çalışmada ince yapı düzeyinde sıçan nukleus kaudatus ve korpus kalluzumda tanımlanan koyu oligodendrositlere uyan hücreler yalnız ergin sıçan nukleus kaudatusunda gözlendi. Miyelinli aksonlara yakın yerleşim gösteren bu hücrelerin ünit zarının bitişik aksonların miyelin kılıfıyla devam ettiği saptandı.

Korpus kallozumda, genç sıçanlarda tanımlanan açık oligodendrositlerin çekirdek ve sitoplazmaları koyu oligodendrositlerden çok farklıdır.<sup>20, 21</sup> Yuvarlak çekirdeklerinde ince heterokromatin kümeleri dışında ökromatin egemendir. Merkezde yerleşik belirgin çekirdekçikleri vardır. Sitoplazma matriksinin elektron yoğunluğu düşüktür. Granüllü endoplazma retikulumu koşut düzenlenmiştir. Bağımsız ribozom kümeleri yaygındır. Aktif sentez evresindeki hücrelerde, granüllü endoplazma retikulumu sarnıçlarının genişlediği gözlenir. Golgi kompleksi küçük ve çekirdeğe yakın bulunur. Ince gliya fibrilleri (filaman ve tubuluslar) sitoplazmanın her tarafına yayılmıştır.<sup>20, 21</sup> Çoğunlukla sentriyol gözlenebilir. Radyoaktif maddelerin çekirdek tarafından yoğun olarak tutulması, sentriyolun bulunması ve sitoplazma organel yapısı bunlara

uyan hücrelerin bölünme evresinde saptanması, açık oligodendrositlerin bölünerek çoğalabilen gliya hücreleri olduğunu düşündürmektedir.<sup>21</sup>

Eş yapışal özellikleri taşıyan oligodendrositler ergin siçanlarda da gözlenmektedir.<sup>21</sup>

Daha önceki çalışmalarda nukleus kaudatusda belirtilmeyen açık tip oligodendrositler bu çalışmada ergin siçanlarda saptandı. Mori'nin<sup>21</sup> korpus kallozumda gözlediği hücrelerle uyum içinde bulunan açık tip oligodendrositlerin, bitişik aksonların miyelin kılıflarıyla yakın ilişkileri dikkati çekti. Bu hücrelerin miyelin kılıfı yapımında aktif katkısı olan olgun açık tip oligodendrositler olduğu kanısına varıldı.

### *Özet*

Bu çalışmada, ergin siçanlarda nukleus kaudatusun yapı ayrıntıları ışık ve elektron mikroskopu düzeyinde incelendi.

Ergin siçan nukleus kaudatusunda ince yapı düzeyinde küçük (5-9 mikron), orta (10-20 mikron) ve büyük (20-25 mikron) tipte sinir hücreleri seçilerek, son yıllarda araştırcıların saptamış oldukları bulgular doğrulandı. Ancak çeşitli hayvanlarda alt tipleri farklı sayıda bildirilen orta tip sinir hücrelerinin, bu çalışmada orta I, II, III olmak üzere üç ayrı tipi ayırcedildi. Hücrelerin gruplandırılmalarında çekirdek biçimini dikkate alındı.

Sinir hücrelerinin tümünde akso-somatik sinapsların varlığı saptandı. Nöropil içinde, sinapsların büyük bölümünün, akson sonlanmaları ve dendrit dalları üzerindeki, uçları topuzcuk biçiminde sonanan diğenler arasında gelişmiş akso-dentritik spin sinapsi tipinde oldukları vurgulandı. Akson sonlanmalarının iç yapı özellikleri değerlendirildi.

Ergin siçan nukleus kaudatusunda bulunan miyelinli akson demetlerinin kapsula interna demetleriyle aynı yoğunlukta boyanmış oldukları ışık mikroskopu düzeyinde miyelin boyalarıyla belirlendi.

Protoplazmik tipte astrositler, açık ve koyu iki ayrı tipte oldukları saptanan oligodendrositler erginde gliya hücrelerinin çoğunu oluşturmuyordu. Her iki tip oligodendrosit, aksonların miyelin kılıfıyla doğrudan ilişki gösteriyordu, miyelin kılıf yapımına aktif katkılari belirgindi.

### *KAYNAKLAR*

1. Adinolfi, A. M.: Observation on the fine structure of the feline caudate nucleus. Anat. Rec., 157: 203, 1967.
2. Adinolfi, A. M., Pappas, G. D.: The fine structure of caudate nucleus of the cat. J. Comp. Neurol., 133: 167, 1968.
3. Kemp, J. M.: An electron microscopic study of the termination of afferent fibres in the caudate nucleus. Brain Res., 11: 464, 1968.

4. Kemp, J. M.: Observations on the caudate nucleus of the cat impregnated with the Golgi method. *Brain Res.*, **11**: 467, 1968.
5. Kemp, J. M., Powell, T. P. S.: The structure of the caudate nucleus of the cat: Light and electron microscopy. *Phil. Trans. B.*, **262**: 383, 1971.
6. Lu, E. J., Brown, W. J.: The developing caudate nucleus in the euthyroid and hypothyroid rat. *J. Comp. Neur.*, **171**: 261, 1977.
7. Mensah, P., Deadwyler, S.: The caudate nucleus of the rat: Cell types and the demonstration of a commissural system. *J. Anat.*, **117**: 281, 1974.
8. Mori, S.: Some observations of the fine structure of the corpus striatum of the rat brain. *Z. Zellforsch.* **70**: 461, 1966.
9. Bak, I. J.: The ultrastructure of the substantia nigra and caudate nucleus of the mouse and the cellular localization of catecholamines. *Exp. Brain Res.*, **3**: 40, 1967.
10. Fuxe, K., Hökfelt, T., Nilsson, D.: Observations on the cellular localization of dopamine in the caudate nucleus of rat. *Z. Zellforsch.*, **63**: 701, 1964.
11. Kemp, J. M., Powell, T. P. S.: The synaptic organization of the caudate nucleus. *Phil. Trans. B.*, **262**: 403, 1971.
12. Tennyson, V. M., Marco, L. A.: Intrinsic connections of caudate neurons. II. Fluorescence and electron microscopy following chronic isolation *Brain Res.*, **53**: 307, 1973.
13. Cajal, S. Ramón, Y.: *Histologie du Systeme Nerveux de L'Homme et des Vertébrés*, Cilt II. Malonie, s. 504, 1909. Alınmıştır: Kemp, J. M., Powell, T. P. S.: The structure of the caudate nucleus of the cat: Light and electron microscopy. *Phil. Trans. B.*, **262**: 383, 1971.
14. Wilson, S. A. K.: An experimental research into the anatomy and physiology of the corpus striatum. *Brian*, **36**: 427, 1913/1914. Alınmıştır: Lu, E. J., Brown, W. J.: The developing caudate nucleus in the euthyroid and hypothyroid rat. *J. Comp. Neur.*, **171**: 261, 1977.
15. Bielschowsky, M.: Einige Bemerkungen zur normalen und pathologischen Histologie des Schweif-und Linsenkerns. *J. Psychol. Neurol.*, **25**: 1, 1919. Alınmıştır. Mori, S.: Some observations on the fine structure of the corpus striatum of the rat brain. *Z. Zellforsch.*, **70**: 461, 1966.
16. Lu, E. J., Brown, W. J.: An electron microscopic study of the developing caudate nucleus in euthyroid and hypothyroid states. *Anat. Embryol.*, **150**: 335, 1977.
17. Bloom, F. E.: Ultrastructural identification of catecholamine-containing central synaptic terminals. *J. Histochem. Cytochem.*, **21**: 333, 1973.
18. Fulcrand, J., Marty, R.: Maturation postnatale du tractus optique chez le rat: Identification et quantification de la névroglié sur radioautographies. *Exp. Brain Res.*, **16**: 466, 1973.
19. Griffin, R., Illis, L. S., Mitchell, J.: Identification of neuroglia by light and electron microscopy. *Acta Neuropath.*, **22**: 7, 1972.
20. Ling, E. A., Paterson, J. A., Privat, A., Mori, S., Leblond, C. P.: Investigation of glial cells in semithin sections. I. Identification of glial cells in the brain of young rats. *J. Comp. Neurol.*, **149**: 43, 1973.
21. Mori, S., Leblond, C. P.: Electron microscopic identification of three classes of oligodendrocytes and a preliminary study of their proliferative activity in the corpus callosum of young rats. *J. Comp. Neurol.*, **139**: 1, 1970.

22. Paterson, J. A., Privat, A., Ling, E. A., Leblond, C. P.: Investigation of glial cells in semithin sections. III. Transformation of subependymal cells into glial cells, as shown by radioautography after  $H^3$ -thymidine injection into the lateral ventricle of the brain of young rats. *J. Comp. Neurol.*, **149**: 83, 1973.
23. Denny-Brown, D.: The Basal Ganglia nad Their Relation to Disorders of Movement. Oxford University Press, 1962. Alınmıştır. Foley, J. M.: The Nervous System. Degenerative Diseases. In: *Pathologic Basis of Disease*. Ed. by Robbins, S. L., W. B. Saunders Comp., 1974, s. 1539.
24. Earle, K. M.: Pathology and experimental models of Huntington's chorea. *Adv. Neurol.*, **1**: 341, 1973.
25. Richardson, E. P., Adams, R. D.: Degenerative Diseas of the Nervous System. In: *Harrison's Principles of Internal Medicine*. Ed. by Wintrobe, M. M., Thorn, G. W., Adams, R. D., Brauwald, E., Isselbacher, K. J., Petersdrof, R. G. Mc Graw-Hill Comp., VII. baskı, 1974, s. 1833.
26. Tellez-Nagel, I., Johnson, A. B., Teryy, R. D.: Ultrastructural and histochemical study of cerebral biopsies in Huntington's chorea. *Adv. Neurol.*, **1**: 387, 1973.
27. Nadler, J. V., Cotman, C. W., Lynch, G. S.: Histochemical evidence of altered development of cholinergic fibers in the rat dentate gyrus following lesions. *J. Comp. Neurol.* **171**: 561, 1977.
28. Bluemink, J. G., Maurik, P., Lawson, K.: Intimate cell contacts at the epithelial mesenchymal interface in embryonic mouse Lung. *J. Ult. Res.*, **55**: 257, 1976.
29. Sato, T.: A modified method for lead staining of thin section. *J. Electronmicroscopy* **16**: 133, 1967.
30. Weibel, E. R., Saubli, W., Gnagi, H. R., Ness, F. A.: Correlated morphometric and histochemical studies on the liver cells. *J. Biol.*, **42**: 68, 1969.
31. Bücher, O.: *Cytologie Histologie und Mikroskopische Anatomie des Menschen*. Medizinischer Verlag Hans Hueber. VIII. baskı, 1973, s. 577.
32. Cools, A. R., Lohman, A. H. M., Van den Bercken, J. H. L.: Psychobiology of the striatum. In: *Development and Structure of the Striatum*. North-Holland Publishing Comp., 1977, s.1.
33. Brockhaus, H.: Zur feineren Anatomie des Septum und des Striatum. *J. Psychol. Neurol.*, **51**: 1, 1942. Alınmıştır; Kemp, J. M., Powell, T. P. S.: The structure of the caudate nucleus of the cat: Light and electron microscopy. *Phil. Trans. B.*, **262**: 383, 1971.
34. Hand, A. R.: Adrenergic and cholinergic nerve terminals in the rat parotid gland. Electron microscopic observations on permanganate fixed glands. *Anat. Rec.* **173**: 131, 1972.
35. Dowling, J. E., Ehinger, B.: Synaptic organization of the dopaminergic neurons in the rabbit retina. *J. Comp. Neurol.*, **180**: 203, 1978.
36. Nauta, W. J. H., Mehler, W. R.: Projections of the lentiform nucleus in the monkey. *Brain Res.*, **1**: 3, 1966.
37. Mori, S., Leblond, C. P.: Electron microscopic features and proliferation of astrocytes in the corpus callosum of the rat. *J. Comp. Neur.*, **137**: 197, 1969.
38. Vaughn, J. E., Peters, A.: A third neuroglial cell type an electron microscopic study. *J. Comp Neurol.*, **133**: 269, 1968.
39. Fox, C. A., Hillman, D. E., Siegesmund, K. A., Dutta, C. R.: The primate cerebellar cortex: A Golgi and electron microscopic study. *Prog. Brain Res.*, **25**: 174, 1967.

# Kist Hidatik, Taenia Saginata ve Hymenolepis Nana Arasındaki Antijenik İlişkiler

**Dr. Burhan Kayhan\***

Kist hidatığın insanda yaptığı hastalığı teşhis etmek amacıyla çeşitli serebiyolojik testler geliştirilmiştir. Bu güne kadar kist hidatik tanısını koyduracak tek bir spesifik serobiyolojik testin bulunamamasının sebebi şüphesiz kiston yapısından ileri gelmektedir. Kist sıvısının terkibindeki maddelerin büyük kısmı antijenik özelliğe sahiptir. Ayrıca kiston duvarını, teşkil eden membran tabakalarının yapı taşları ve skoleksler antijenik özellik gösterirler. Skoleks ihtiiva etmeyen kaya suyunun antijenik kuvvetinin az olduğu yapılan deneylerle gösterilmiştir. Kist hidatik antijeni karışık bir yapıya sahiptir. Bu nedenle bu gün için hastalığın teşhisinde kullanılan metodların hiç birisi kesin tanıyı koydurmaz. Hemen her metodda arzu edilmeyen yanlış değerlendirmeler ortaya çıkmaktadır.

## *Materiel ve Metot*

Bu çalışma Hacettepe Üniversitesi Tıp Fakültesi Dahiliye ve Genel Cerrahi Bölümlerinden seçilen 2 ayrı grup üzerinde yapıldı.

**Grup 1:** Hastalara, klinik hikâye, fizik muayene, röntgen, scanning, Casoni testi, kompleman birleşmesi (Weinberg) testleriyle kist hidatik hastalığı tanısı konmuştur. Bu grup 29 vakadan ibarettir. Hastalarımızın 20 si kadın, 9 u erkek olup, en küçük hasta 6, en büyüğü 65 yaşıdadır.

**Grup 2:** 19 intestinal parazitozlu vakadan ibarettir. Bunların 15 i Taenia saginata, 4 ü H.nana'dır. Vakaların 8 i kadın, 11 i erkek tir. En küçük 16, en büyüğü 38 yaşıdadır.

\* Hacettepe Üniversitesi Tıp Fakültesi Gastroenteroloji Bölümü Doçenti.

Her gruba aşağıdaki tetkikler uygulandı:

**A) Hikâye ve Fizik Muayene:** Hastalardan dikkatli bir hikâye alındı. Hastalık semptomlarının ortaya çıkma zamanları ve hastalık süreleri saptandı. Köpekle temasları, hastalığın nüksedip, nüksetmediği araştırıldı.

**B) Rutin Laboratuvar Tetkikleri:** SGOT, SGPT, alkalen fosfataz, bilirubin gibi karaciğer fonksiyon testlerine mutad biyokimyasal metotlarla bakıldı. Hemoglobin, beyaz küre ve eozinofili yönünden periferik yaymaları incelendi. Vakaların büyük kısmında karaciğer scanningi yapıldı. Ameliyat sonuçları ve patolojik bulgular karşılaştırıldı.

**C) Dışkıda Parazit Aranması:** Araştırma yapılan vakalara dağıtılan % 10 formol ihtiiva eden penisilin şişelerine konulan dışkı örneklerinde, Ritchie'in Formaldehit-Eter ile konsantrasyon metodu uygulanarak mikroskopta parazit yumurtaları araştırıldı.<sup>12</sup>

Kist hidatik ve parazitoz grubuna sokulan vakaların her birine değişik günlerde en az 3 defa koprolojik muayene yapıldı.

#### D) Serobiyolojik Testler:

**1. Intradermal Test (Casoni Testi):** Enfekte olmamış karaciğer kist hidatikli bir hastadan ponksiyonla steril kist sıvısı alındı. Sıvı antijen süzüldükten sonra sterilite için inkübe edildi. Koruyucu olarak % 0,5 fenol kondu, deney gününe kadar buz dolabında muhafaza edildi.

**Testin Uygulanışı:** Deney yapılmadan önce antijen buz dolabından çıkarıldı. Eterle temizlenmiş olan önkolun volar yüzü derisi içine 0,1 ml. antijen, diğer ön kolun derisine de kontrol olarak aynı miktarda % 0,5 fenollu serum fizyolojik kondu. 30 dakika sonra reaksiyon okundu. Ödem ve eritemden ibaret endürasyon 10 mm. ve üstünde ise netice olumlu olarak değerlendirildi.

**2. Kompleman Birleşmesi Testi (Weinberg Testi):** Standart metot kullanıldı. Antijen olarak insan karaciğerindeki kistten ponksiyonla alınan sıvıdan istifade edildi. % 50 den az hemoliz olumlu reaksiyon olarak değerlendirildi.

#### Bulgular

Çalışmada vakalar 2 grup altında toplanmıştır. Her bir grup için yapılan testler aşağıda belirtilmiştir.

*Dışkıda Parazit Aranması:* 2 gruba dahil olan vakalara koprolojik muayene yapıldı. 1'ci gruptaki vakalarda koprolojik muayene de parazit tespit edilmedi. 2'ci gruptaki 19 vakadan 15 inde Taenia saginata, 4 içinde H.nana tespit edildi.

*Serobiyolojik Test:* 1 ve 2'ci gruptaki vakalara intradermal Casoni testi ve kompleman birleşmesi (Weinberg) testi uygulandı.

**Grup 1:** Kist hidatik tanısı konulan 29 vakaya Casoni deri testi uygulandı 20 sinde (% 69) sonuç olumlu bulundu. Kompleman testi (Weinberg) uygulanan 18 vakada (% 62) olumlu sonuç alındı (Tablo I).

TABLO I

KİST HİDATİK VAKALARINDA INTRADERMAL (CASONİ), KOMPLEMAN FİKSASYON (WEINBERG) TESTLERİNİN SONUÇLARI

Vaka No	Adı Soyadı	Casoni	Weinberg	Vaka No	Adı Soyadı	Casoni	Weinberg
1	P.T	12 mm.	++	16	M.O	5 mm.	-
2	Z.Ö	10 mm.	θ	17	H.C	16 mm.	++
3	M.E	14 mm.	θ	18	Ş.Ş	7 mm.	-
4	H.E	16 mm.	++	19	G.A	14 mm.	-
5	M.E	7 mm.	θ	20	H.Ö	16 mm.	++
6	Ş.T	15 mm.	θ	21	H.T	12 mm.	++
7	H.O	8 mm.	θ	22	N.C	18 mm.	+++
8	A.O	18 mm.	+++	23	F.A	4 mm.	++
9	H.Q	17 mm.	+++	24	G.K	3 mm.	++
10	M.O	14 mm.	++	25	Z.A	11 mm.	++
11	Ş.K	20 mm.	++	26	D.Y	14 mm.	++
12	N.K	6 mm.	θ	27	F.P	3 mm.	++
13	M.Ö	13 mm.	++	28	A.K	16 mm.	+++
14	G.Y	17 mm.	+++	29	Y.A	6 mm.	-
15	H.G	10 mm.	θ	Total olumlu sonuç 20		18	

**Grup 2:** İntestinal parazitoz tanısı konulan (15 Taenia saginata, 4 H.nana) 19 vakaya uygulanan Casoni deri testinde 7 vakada (% 15.7) olumlu cevap alındı (Tablo II).

**TABLO II**  
**PARAZİTOZ VAKALARINDA INTRADERMAL (CASONI), KOMPLEMAN FİKSASYON (WEINBERG) TESTLERİNİN SONUÇLARI**

Vaka No	Adı Soyadı	Casoni	Weinberg
1	M.G	5 mm.	θ
2	O.O	12 mm.	++
3	F.K	8 mm.	θ
4	A.G	17 mm.	++
5	B.C	4 mm.	θ
6	H.E	7 mm.	θ
7	F.B	15 mm.	θ
8	A.D	5 mm.	θ
9	S.A	3 mm.	θ
10	A.A	8 mm.	θ
11	S.Q	13 mm.	θ
12	Z.Y	6 mm.	θ
13	M.S	16 mm.	++
14	T.V	4 mm.	θ
15	Z.I	3 mm.	θ
16	Z.K	11 mm.	θ
17	F.K	7 mm.	θ
18	S.K	14 mm.	θ
19	F.G	2 mm.	θ
Total olumlu sonuç		7	3

### Tartışma

Kist hidatik hastalığının tanısında en fazla kullanılan serobiyolojik test Casoni testidir. 1911 yılında Casoni tarafından kist hidatik sıvısı intradermal test olarak kullanılmış ve elde edilen sonuçların bu hastalarda yüksek oranda müsbet olması, testin dünyada çok yaygın olarak kullanılmasına yol açmıştır. Çeşitli araştırmalar intradermal test doğruluğunu % 80-95 arasında değiştiğini göstermektedir.<sup>8</sup> Casoni testini kist hidatikli vakalarımızda % 69 oranında olumlu bulduk Kemal T. Abou-Daud<sup>1</sup> kendi serisinde % 64.5 oranında, Arabatzis<sup>2</sup> ise % 73 nisbetinde olumlu olduğunu rapor etmiştir. Casoni testi ile elde ettigimiz sonuç bir çok araştırcıların neticeleri ile karşılaştırıldığında büyük bir farklılık göstermemektedir. Casoni testi kist hidatik

tanısında fazla güvenilir bir test değildir. Çünkü Casoni testinde antijenin nitrojen miktarının reaksiyonun teşekkülünde önemi vardır. Kagan,<sup>7,8</sup> antijende fazla nitrojenin kontrol gruplarında bir çok yalancı olumlu sonuçlara yol açtığını işaret etmiştir. Intradermal testde kullanılacak antijenin 1 ml. nin 12–15 mcg nitrojen ihtiyacı etmesini önermiştir. Casoni deri testi bir dizi hastalıkta yalancı olumlu reaksiyon vermektedir. Tenya, karaciğer sirozu, nefrotik sendrom, eritema marjinatum, multipl myeloma, hypogammaglobulinemia, agammaglobulinemia, karsinomatozis, leishmania, tüberküлом, hepatit gibi hastalıklarda yalancı olumlu reaksiyon görülür.<sup>2,6,7,11</sup> Yalancı pozitiflik oranı çeşitli müelliflere göre % 14–18 arasında değişmektedir. Casoni intradermal testi, kistin cerrahi olarak çıkarılmasından, kalsifikasyonundan ve parazitin ölmesinden yıllarca sonra da yine olumlu bulunmaktadır.<sup>13</sup> Casoni testinde yalancı pozitifliğin çok olması Dennis isimli araştırcı 1937 yılında yeni bir test geliştirmeye zorlamıştır. Dennis tekniği ile hazırlanan antijenlerin biyolojik testlerde daha iyi netice verdiği ve bu antijenin özelliğini uzun süre muhafaza ettiği bildirilmektedir. Bu testi Casoni ile uygulayan Akkaynak-Enacar,<sup>3</sup> Casoni ile pozitiflik veren 17 vakasında Dennis testinin reaksiyon vermediğini göstermiştir.

*Shistosoma mansoni*, *fasciola hepatica*, *tenia saginata*, *ekinokokus multilocularis* gibi parazitlerin antijenleri kist hidatik sıvısındaki antijen ile aynı yapıya sahiptir.<sup>5,9,10</sup> Bu nedenle kist hidatik tanısında kullanılan serolojik testlerde sık olarak çapraz reaksiyon görülür. Ural,<sup>15</sup> serolojik ve allerjik testlerde, *H.nana* sahıslarında *tenia saginata* vakalar gibi kist hidatik antijeniyle pozitif reaksiyon verebileceğini göstermiştir.

Ondokuz parazitoz vakasına tattbik edilen Casoni deri testi 7 vaka da (% 36,8) olumlusunuç verdi. Casoni deri testine güvenmenin doğru olmadığı parazitoz ile kist hidatik arasında çapraz reaksiyona yol açtığı çalışmamızda da görülmektedir. Olumlu sonuç veren kist hidatikli grup ile parazitoz grubunun istatistikî karşılaştırılması önemli bulunmuştur ( $P < 0.05$ ).

Kist hidatik hastalığının tanısında sıkılıkla kullanılan kompleman fiksasyon (Weinberg) testinde de antijen olarak kist hidatik sıvısı kullanılır. Kompleman fiksasyon testinin sensitivitesi çeşitli araştırmacıların raporlarına göre % 36 ile % 93 arasında değişmektedir. Kist hidatik'den başka bazı hastalık hallerinde kist hidatik antijeni ile yapılan kompleman fiksasyon testinde (örneğin: *Tenia saginata*, *H.nana*, kanser, metastatik vakalarda, tüberküloz, siroz, hepatit) yalancı olumlu reaksiyon tespit edildiği bilinmektedir. Kompleman fiksasyon testinin diğer serolojik aglutinasyon metotlarına nispetle

daha yüksek yalancı olumlu reaksiyon gösterdiği görülmektedir.<sup>9</sup> Vural ve arkadaşları<sup>14</sup> değişik hastalıklarda görülen yalancı olumlu Weinberg reaksiyonlarını hasta serumunda bulunan anormal bir gammaglobulinin antijende var olan bir faktör ile aglutinasyon meydana getirmesine bağlamaktadırlar.

29 kist hidatik vakasına uyguladığımız kompleman fiksasyon (Weinberg) testinde (% 62) olumlu sonuç almıştır. 19 parazitozlu vakada (% 15) olumlu netice tespit edilmiştir. Her iki grubun istatistiksel karşılaştırmasında fark önemli bulunmuştur. ( $P < 0,01$ ) Bu bulgular da kist hidatik vakaları ile parazitoz vakaları arasında çapraz reaksiyonun varlığını göstermektedir.

#### KAYNAKLAR

1. Abou-Daud, K. T.: Comparison of the indirect haemagglutination, intradermal, and Complement fixation test in hydatid disease, and observations on the fertility of hydatid cysts in humans: Amer. J. Trop. Med. Hyg. 14: 760, 1965.
2. Aguilina, T., Chun, Y. E.: Echinococcus disease, Amer J. Gast. 43: 334, 1965.
3. Akkaynak, S., Enacar, N.: Hidatik kist hastalığının təşhisində Dennis antijeni ve degeri, Tüber ve Tor. Mec. 12: 192, 1964.
4. Arabatsiz, G., Papapanagiotou, J.: Laboratory test in hydatid disease a Comparison of the indirect haemagglutination, Complement-fixation and intradermal tests: Bull. Wld. Hlth. Org. 28: 266, 1963.
5. Bout, D., ve ark.: Purification d'un antigene specifique de liquide hydatique. Ann. Immunol. (Inst. Pasteur): 125: 775, 1974.
6. Frankel, S., Sonnenwih, A. C.: Clinical laboratory methods an diagnosis. I Ed. St. Louis, Cv Mosby Comp. 1963, 965.
7. Kagan, I. G.: A review of serological test for the diagnosis of hydatid disease, Bull. Wld. Hlth. Org. 39: 25, 1968.
8. Kagan, I. G., Norman, L., Dorothy, S. A.: Studies on echinococcosis serology of crude and fractionated antigens prepared from echinococcus granulosus and echinococcus multilocularis. Amer. J. Trop. Med. Hyg. 9: 248, 1960.
9. Larsh, J. E.: Transmission from mother to offspring of immunity against the mouse cestode, *Hymenolepis nana* var. *fraterna*. Am. J. Hyg. 36: 187, 1942.
10. Larsh, J. E.: Serological studies on the mouse strain of the dwarf tapeworm, *Hymenolepis nana* var. *Fraterna*. Am. J. Hyg. 27: 289, 1943.
11. Magath, T. B.: The antigen of echinococcus. Amer. J. Clin. Path. 31: 1, 1959.
12. Ritchie, L. S.: Ether sedimentation technique for routine stool examinations. Bull US Army Med. Dept. 8: 326, 1948.
13. Roelants, G. E., Goodman, J. W.: Tolerance induction by an apparently non-immunogenic molecule, Nature, 227: 175, 1970.
14. Vural, S., ve ark.: Weinberg testinde görülen yalancı pozitif reaksiyonlar üzerine. İst. Univ. Tip Fak. Mec. 27: 149, 1964.
15. Vural, S.: Hidatik kist, *Taenia saginata* ve *Hymenolepis nana* arasındaki antijenik münasebetler. XVII. Milli Türk T p Kong. Tutanak. Çelik cilt Matbaası, İstanbul, 1964.

# Sıçan Pankreasında Dış Salgı Oluşturan Son Kısım Hücrelerinde Pilokarpinle Uyarılmışdan Sonra Ortaya Çıkan Yapı Değişiklikleri\*

Işık ve Elektron Mikroskopu Düzeyinde İnceleme

**Dr. Deniz Balta\*\***

## *Giriş*

Pankreas bezinde dış salgı işleviyle yükümlü bölümler, örnek salgı yapısı göstermeleri nedeniyle şimdije deðin yapılan çalışmalar için uygun materyel olmuşlardır.<sup>1</sup>

Seröz bezlerde salgılamanın olaylanması üzerinde yapılan çalışmalar uzun zamandan beri süregelmektedir.<sup>2-4</sup>

Pankreas dış salgı hücrelerinde salgılama işlevinin izlediği ana evreler ayırdedilebilmektedir. Bezde üretilen enzimlerin artısına koþut olarak, salgılamanın artışı ya da salgılama hızının değişmediği tartışılmaktadır.<sup>5</sup>

Pankreas dış salgılamasını iki önemli etken düzenler. Sinirsel etkenler ve hormonal etkenler. Sinirsel etkenler, parasempatik ve sempatik uyarımıyla belirlenir. Parasempatomimetiklerin salgilatıcı etkisi çok güçlündür. Pilokarpin enzimlerden zengin bir salgılamaya neden olur.<sup>6</sup>

Araştırmalarda pankreasın sinirsel yoldan uyarılması için pilokarpin sıklıkla kullanılmıştır.<sup>1,7</sup> Parasempatomimetik pilokarpin salgılamanın boşaltma evresine etki yapar. Geri dönüslü olarak hücre içi metabolizmayı etkilemez. Bu konudaki araştırmalar halen sürdürmektedir.

\* Hacettepe Üniversitesi Tıp Fakültesi Histoloji-Embriyoji Bilim Dalı Çalışmalarından.

\*\* Aynı Fakülte Histoloji-Embriyoji Bilim Dalı Öğretim Görevlisi.

Bu çalışmada, salgılama olayıyla birlikte onu izleyen hücre içi değişiklikler sinirsel uyarılmadan sonra incelendiler. Uyarının etkisiyle salgılama işlevi arasında bağlantı kurma amacı güdüldü. Parasempatik salgılatıcı olarak pilokarpin kullanıldı. Pilokarpinin pankreas son kısimlarının dış salgı hücrelerinde oluşturduğu yapı değişiklikleri ışık ve elektron mikroskopu düzeylerinde ayrı ayrı incelendi. Uyarılmayı izleyen değişik zaman aralıklarında, ince yapı ayrıntıları karşılıklı olarak belirlendi. Sinirsel uyarılmaya hücrelerin oluşturduğu salgılama tepkisi ortaya konmaya çalışıldı.

#### *Materiyel ve Yöntemler*

Bu çalışmada yaklaşık 200 gr ağırlığında 11 adet ergin, Hacettepe Üniversitesi Tıp Fakültesi Deney Hayvanları Araştırma ve Yetiştirme Merkezinde üretilmiş, İsviçre tipi beyaz erkek sıçanlar kullanıldı. Tüm hayvanlar deneyden 24 saat önce yalnızca su verilerek aç bırakıldı. Kontrol grubu olarak, ikisi tok, diğerleri yalnızca su verilerek aç bırakılan 4 sıçan kullanıldı. Deney grubunu oluşturan her sıçan için, salgılatıcı maddenin miktarı ağırlığa göre saptandı. Yedi sıçana sinirsel uyarıcı pilokarpin nitratin (Sigma Chemical Comp.) % 0,9 luk fizyolojik tuzlu su içindeki eriyiği 160 mg/kg olarak steril şartlarda periton içi verildi.<sup>8</sup>

Pilocarpin verilmesinden sonraki 1/2., 1., 3., 6., 8., 10. ve 12. saatlerde sıçanlar kalplerine hava verilerek öldürüldüler. Karınları açılarak pankreasları çıkarıldı. Gövdenin birbirine yakın orta bölgelerinden alınan organ parçaları, ışık ve elektron mikroskopu çalışmaları için ayrı ayrı işlenlendirildiler.

İşık mikroskopu düzeyindeki incelemeler için organ parçaları formal-salin solüsyonunda 24 saat tespit edildikten sonra bilinen yöntemlerle parafin bloklar elde edildi. Kesitler filoksin-metilen mavisi birleşik boyasıyla boyandılar.<sup>9</sup>

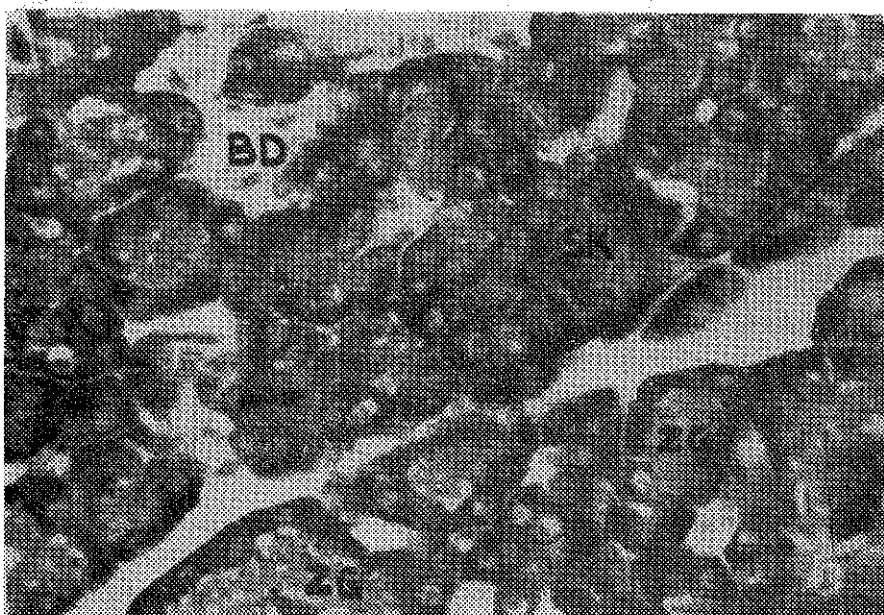
Elektron mikroskopu düzeyindeki incelemeler için doku parçaları 1/15 M fosfat tamponu içindeki % 2,5 gluteraldehit, % 1 akrolein karışımında (pH 7,2) 3 saat birinci kez tespit edildiler. Daha sonra yine aynı tampon içindeki % 1 osmiyum tetroksit solusyonunda 2 saat süreyle ikinci kez tespit edildiler.<sup>10</sup>

Tespitten sonra dereceli etil alkol serilerinden geçirilerek suyu alınan organ parçaları Araldit'e gömüldüler. İnce kesitler önce kurşun sitrat, sonra uranil asetatla ardarda boyandılar. Carl Zeiss 9S 2 ye dönüştürülmüş, EM 9 A elektron mikroskobunda incelendiler.

### Bulgular

#### **Işık Mikroskopu Bulguları**

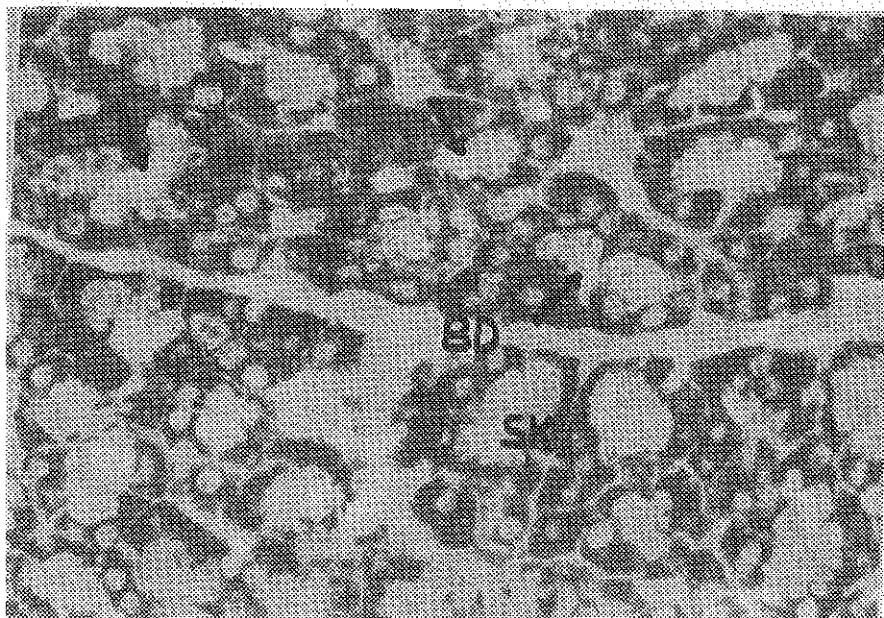
Kontrol grubundan tok sıçanlarda, pankreas dış salgısını oluşturan son kısımlar yuvarlak, oval ya da düzensiz biçimliydi. Son kısım hücrelerinden bazlarında salgının birikimi belirgindi. Arada salgılama olanlar seçildiler. Son kısımları oluşturan hücrelerde atılmaya hazırlanan zimogen granüllerin apikal sitoplazmada toplandıkları görüldü. Apikal sitoplazmada zimogen granüller asidofil pembe, bazal sitoplazmaya, bazofil mavİ renge boyandı. Çekirdekler yuvarlak biçimli, çekirdekçikler belirgindi. Orta salgı boşlukları dardı. Son kısımlar arasında ince bağ dokusu bölmeleri ayırdedildi (Şekil 1).



**Şekil 1**

Kontrol. Tok sıçanların pankreasları gözleniyor. Hücrelerde apikal sitoplazmada toplanan zimogen granüller seçilmekte. Bazı son kısımların zimogen granüllerini boşaltığı belirgin (oklar). SK, son kisiim; ZG, zimogen granül; BD, bağ dokusu, Filoksin-Metilen mavisi. X 40.

Kontrol grubunu oluşturan aç bırakılmış sıçanların pankreas son kisiim hücrelerinin bazlarında, zimogen granüllerin birikimi belirgindi. Salgı granülliyle dolu son kısımlar arasında uzun süreli aç bırakılmanın sonra bile salgılamanın olaylandığını belgeleyen son kısımlar ilgiyi çekti. Bu son kısımlarda orta salgı boşlukları geniştiler (Şekil 2).



Şekil 2

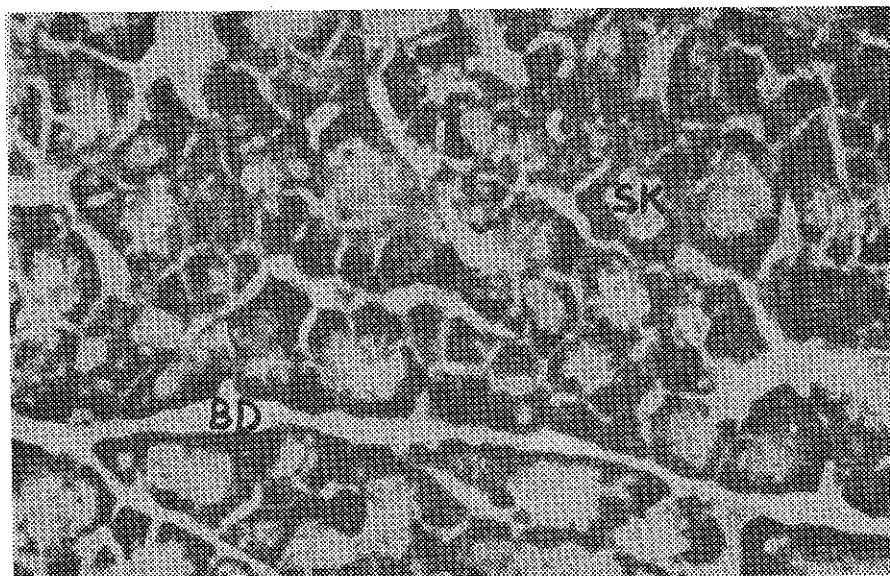
Kontrol. Açı bırakılan sıçanların pankreaslarındaki son kısımlar gözleniyor. Oklar, zimogen granüllerde birikim ve salgı granüllerinin boşaltılmasından sonra orta salgı boşluklarının belirginleşmesi; SK, son bölüm; BD, bağ dokusu, Filoksim-Metilen mavisi. X 40.

Pilocarpinle etkilenmenin 1. saatinde, son bölüm salgı hücrelerinde salgılanmanın olaylandığı salgı materyelinin hücre apikal yüzünde birliği seçildi. Salgisını bitirmiş son kısımlar, salgılanmakta olanlarla bir arada izlendi (Şekil 3).

Pilocarpinle etkilenmenin 3. saatinde, son bölüm salgı hücrelerinin pek çoğunun salgılarını boşaltıkları seçildi. Salgisını boşaltmış son bölüm hücrelerinin sitoplazmalarında ufak vakuoller oluşturular. Bunların daha çok apikal sitoplazma boyunca toplandıkları dikkati çekti (Şekil 4).

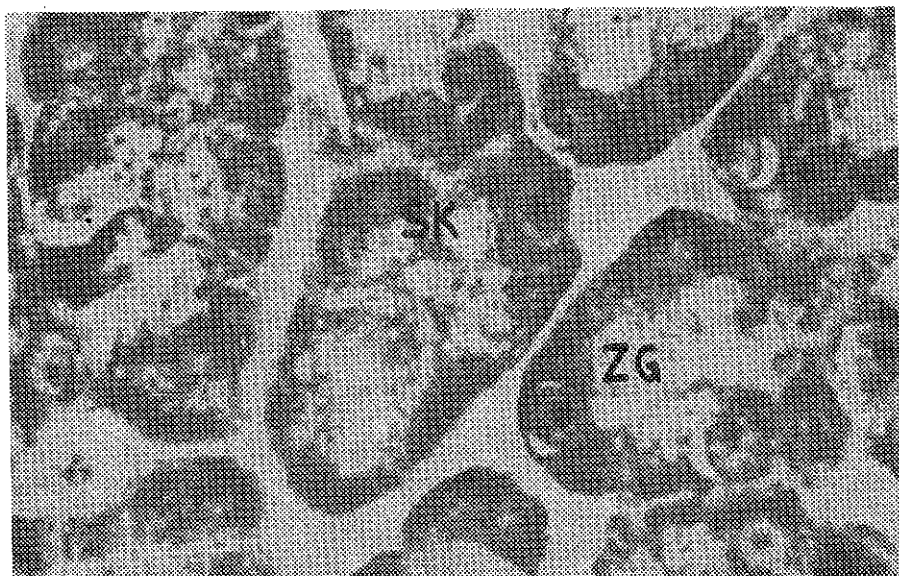
Pilocarpinle etkilenmenin 6. saatinde, son kısımlarda salgı birikimi ve atılımı birarada gözlendi. Salgınını boşaltmış son kısımlarda orta salgı boşlukları dar, salgılanmakta olanlardaysa genişti. Salgı hücreleri içinde küçük vakuoller belirgindi (Şekil 5).

Pilocarpinle etkilenmenin 8. saatinde, salgılanmanın süregeldiğini simgeleyen içeri salgıyla dolu orta salgı boşlukları ayırdedildi. İlerici büyütmelerde salginın, orta salgı boşluğununa verildiği iyi belirgindi.



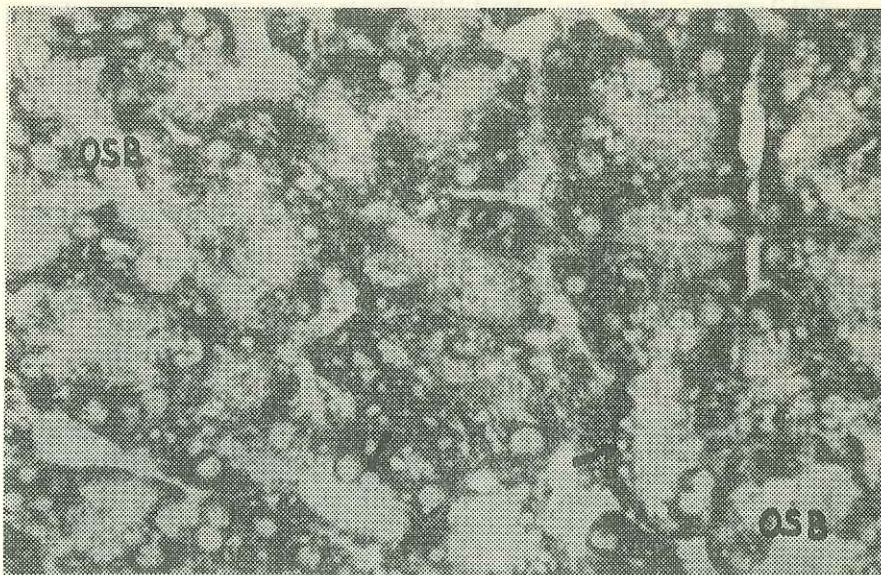
Şekil 3

Pilocarpinle etkilenmenin ilk saatinde pankreas son kısım hücrelerinde salgılamanın olaylandığı, zimogen granüllerin apikal sitoplazmada birektişi gözleniyor. SK, son kısım; BD, bağ dokusu, Filoksin-metilen mavisi. X 40.



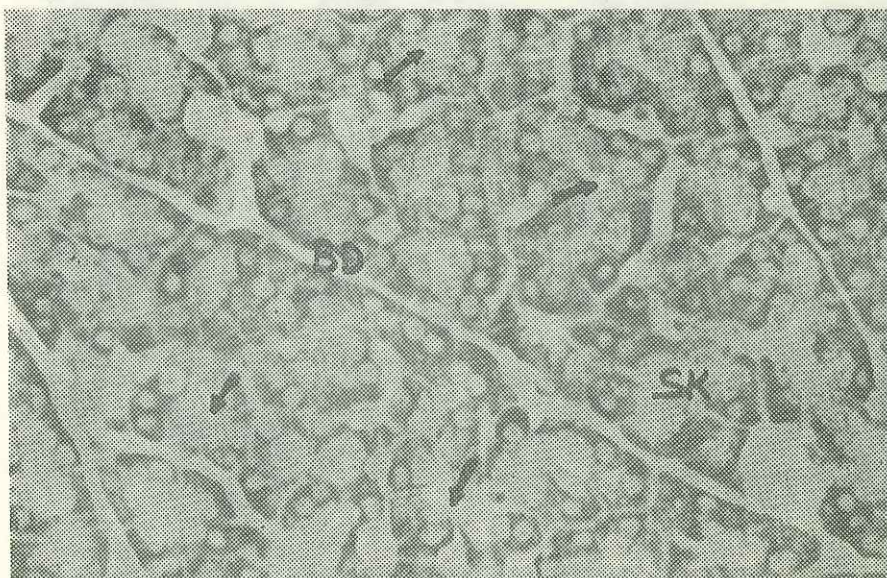
Şekil 4

Salgılanını boşaltmış ve boşaltmaktadır olan son kısım hücreleri ileri ışık mikroskopu büyütmesinde gözleniyor. SK, son kısım; ZG, zimogen granül. Filoksin-metilen mavisi. X 100.



Şekil 5

Pilocarpinle etkilenmenin 6. saatinde, son kısım hücrelerinde salgı birikimi ve atılımı birlikte gözleniyor. Salgı hücrelerinde ufak vakuoller belirgin (oklar). SK, son kısım; OSB, orta salgı boşluğu. Filoksin-metilen mavisi. X 40.



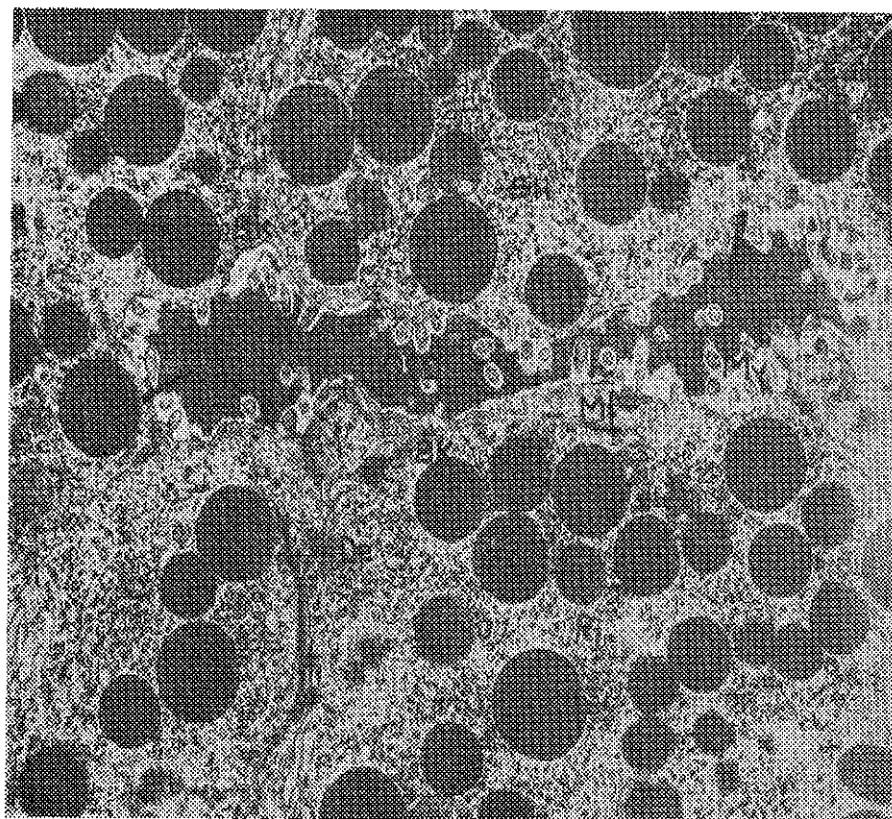
Şekil 6

Pilocarpinle 12 saat etkilenmiş pankreasda son kısım dış salgı hücrelerinde zimogen granül birikiminin yanısıra salgı atılımindan olaylandığı görülüyor. Orta salgı boşluklarının genişliği değişkenlik göstermeye (oklar). SK, son kısım; BD, bağ dokusu. Filoksin-metilen mavisi. X 40.

Etkilenmenin 10. saatinde, biriken salgı granüllerinin birçok son kısmı doldurduğu izlendi. 12. saatte, salgı birikiminin yanısıra boşaltmanın olaylandığı gözlandı. Orta salgı boşluğu, salgısını boşaltan son kısımlarda genişledi (Şekil 6).

### **Elektron Mikroskopu Bulguları**

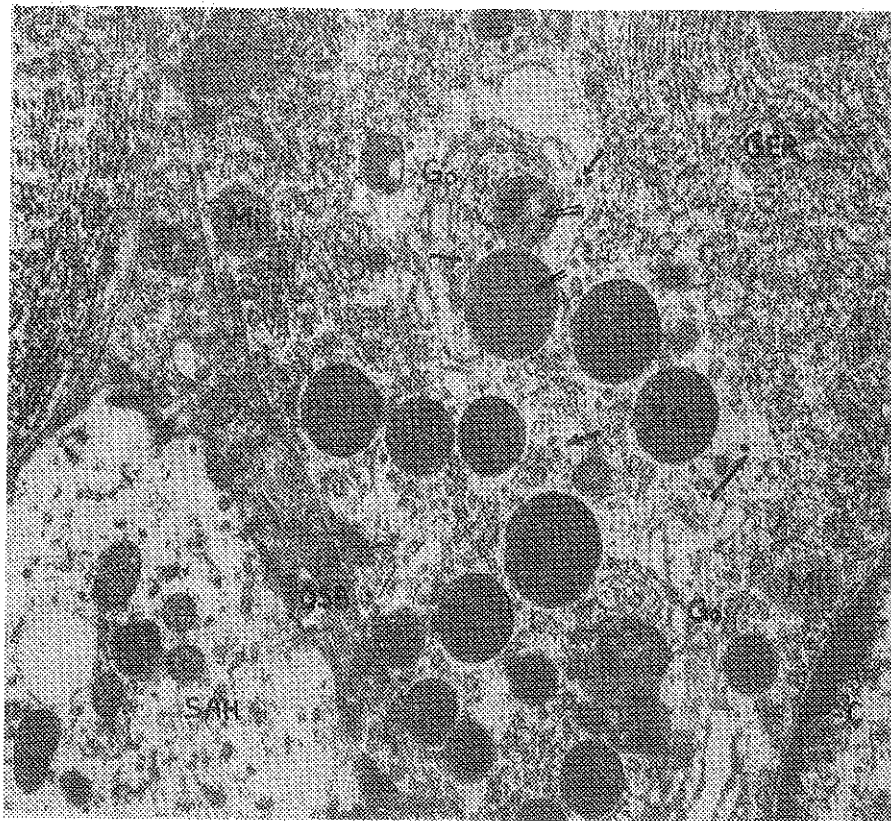
Kontrol grubundan tok sıçanların pankreaslarında son kısımları oluşturan dış salgı hücreleri tepeleri orta salgı boşluğunaya yönelik piramid biçiminde gözlendiler. Apikal sitoplazmaları homogen, yoğun salgı materyelini kapsayan yuvarlağımış biçimde zimogen granüllerle doluydu. Hücreler yan yüzlerinden orta salgı boşluğunaya yakın bölümde bağlantı kompleksleriyle birbirlerine kenetlenmişlerdi (Şekil 7).



**Şekil 7**

Kontrol. Tok sıçanların pankreas son kısımlarını çevreleyen hücrelerin orta salgı boşluğununa bakan apikal bölümünün ayrıntılı yapısı gözleniyor. Orta salgı boşluğu zimogen granül kapsamına eş bir salgıyla dolu (oklar). Bazı zimogen granüllerin birbirle-riyle birleşmekte oldukları belirgin (çift oklar). OSB, orta salgı boşluğu; SH, salgı hücresi; BK, bağlantı kompleksi, De, desmozom; ZG, zimogen granül; My, mikrovillus; Mf, mikrofilaman; Ri, ribozom. Kurşun sitrat. X 25500.

Sitoplazma içinde çekirdekler yuvarlak ve bazale yakındı. Sitoplazma bazal ve yan bölgeleri birbirine paralel düzenlenme gösteren granüllü endoplazma retikulumu sarnıçlarıyla doldurulmuştu. Granüllü endoplazma retikulumu sarnıçlarının ince tanecikli materyelle dolu olduğu dikkati çekti (Şekil 8).



Şekil 8

Kontrol. Tok sıçanlarda pankreas son kısım hücrende apikal sitoplazmadan ayrıntılı bir görünüm. Oklar, örtülü-örtüsüz kesecikler; çift oklar, olgunlaşmakta olan granüller; OSB, orta salgı boşluğu; ZG, zimogen granül; Go, Golgi kompleksi; Mi, mitokondriyon; SAH, sentroasiner hücre; Ç, çekirdek; GER, granüllü endoplazma retikulumu. Kurşun sitrat. X 25500.

Zimogen granüllerin arasındaki sitoplazma bölgelerinde granüllü endoplazma retikulum sarnıçlarıyla, bağımsız ribozomlar izlendi. Mitokondriyonlar oval biçimliydi (Şekil 7).

Salgılamanın olageldiğini belgeleyen son kısımlarda orta salgı boşluğunun genişlediği saptandı. Orta salgı boşüğünü çevreleyen üst yüz hücre zarı boyunca kısa, düzensiz mikrovilluslar gözlandı. Orta salgı

boşluklarının zimogen granül kapsamına eş materyelle dolu olduğu dikkati çekti (Şekil 7). Bazı son kısımların orta salgı boşluğununa sentro-asiner hücreler sarkmıştır.

Son kısımları oluşturan dış salgı hücrelerinde, apikal sitoplazma-da yerleşik Golgi kompleksi granüllü endoplazma retikulumuna bitişik bölümde birbiri içine geçmiş uzun-dar sarnıçlardan oluşmuştu. İç bölümde küçük örtülü ve örtüsüz keseciklerle birarada iç yüz sarnıçlar-dan koparak ayrılan ya da ayrılmakta olan çift zarla çevrili, farklı bü-yüklükteki olgunlaşmakta olan granüller gözlemlendiler. Kapsamları ince tanecikliydi (Şekil 8).

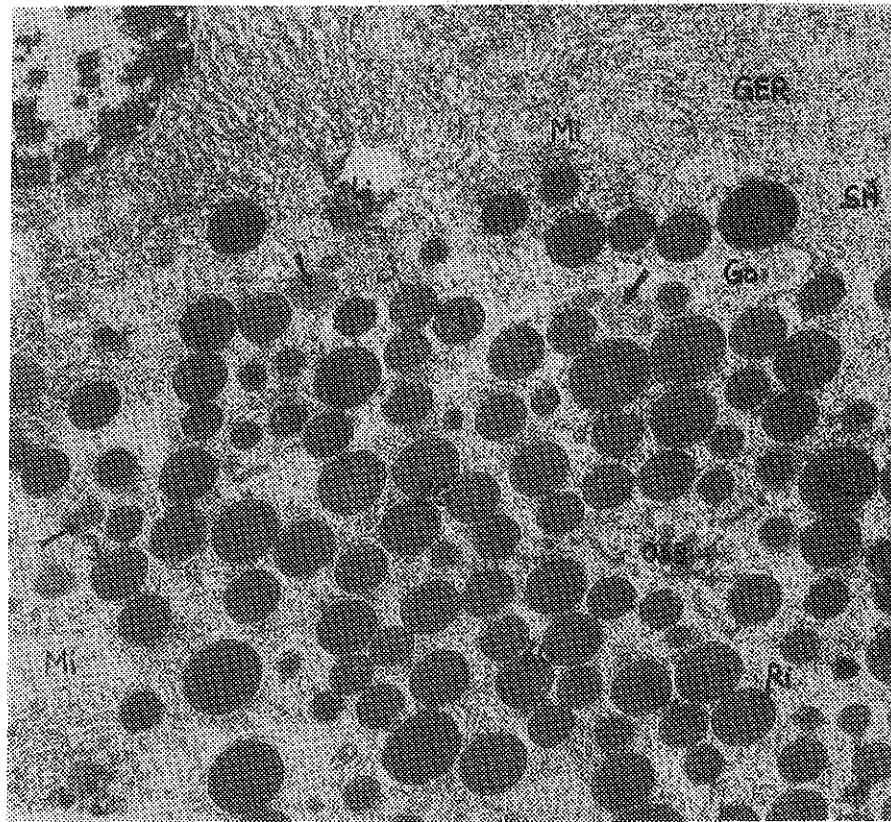
Kontrol grubunu oluşturanlardan aç bırakılmış sıçanların pankreas son kısımlarını oluşturan dış salgı hücrelerinin apikal sitoplasmalarının eş yoğunlukta zimogen granüllerle dolu olduğu göze çarptı. Orta salgı boşlukları daralmış olup içeri yoğun salgı materyeliyle doluydu. Orta salgı boşluğu çevresinde toplanmış zimogen granüllerin çapları farklıydı. Aralarında yer yer olgunlaşmakta olan granüllerin varlığı dikkati çekti. Lizozomlar belirgindi. Hücrelerin bazalıyla yan sitoplazma bö-lümünde granüllü endoplazma retikulumu yaygındı; sarnıçlar paralel düzendeydi (Şekil 9).

Pilocarpinle etkilenmenin 30. dakikasında, pankreas son kısımlarında salgılama sürecindeki hücrelerle, salgı biriktirme sürecindekiler bir arada gözlendiler. Salgı biriktirme sürecindeki koyu hücrelerde granüllü endoplazma retikulumunun yaygın dağılımı çok belirgindi. Granüllü endoplazma retikulumu sarnıçları birbirine paralel ya da içiçe yarımdaireler biçimindeydiler. Sarnıçların yer yer genişlediği, içlerinin orta yoğunlukta bir materyelle dolu olduğu dikkati çekti.

Bazı hücrelerde granüllü endoplazma retikulumuna komşu geniş Golgi kompleksi sahaları izlendi. Golgi kompleksinin iç yüzünde örtülü ve örtüsüz keseciklerle, olgunlaşmakta olan salgı granülleri belirgindi (Şekil 10). Granüllü endoplazma retikulumu sarnıçları arasında yoğun cisimler, zar artıkları kapsayan otofajik vakuoller seçildiler (Şekil 11).

Salgılama sürecindeki hücrelerde zimogen granüllerin apikal sitoplazmada toplandığı görüldü. Granüller büyüklük ve yoğunluk bakımından değişkendiler. Ortalarında yoğun bir özün yer aldığı çevresi ince tanecikli açık renk bir materyel içeren atipik granüller ayırdedildi (Şekil 12).

Etkilenmenin 1. saatinde son kısımları oluşturan dış salgı hücrelerinde salgı atılımı iyi belirgindi. Salgı boşalmasına bağlı olarak granül kapsamı değişik hücreler ayırdedildi. Hücrelerde değişik kapsamlı se-



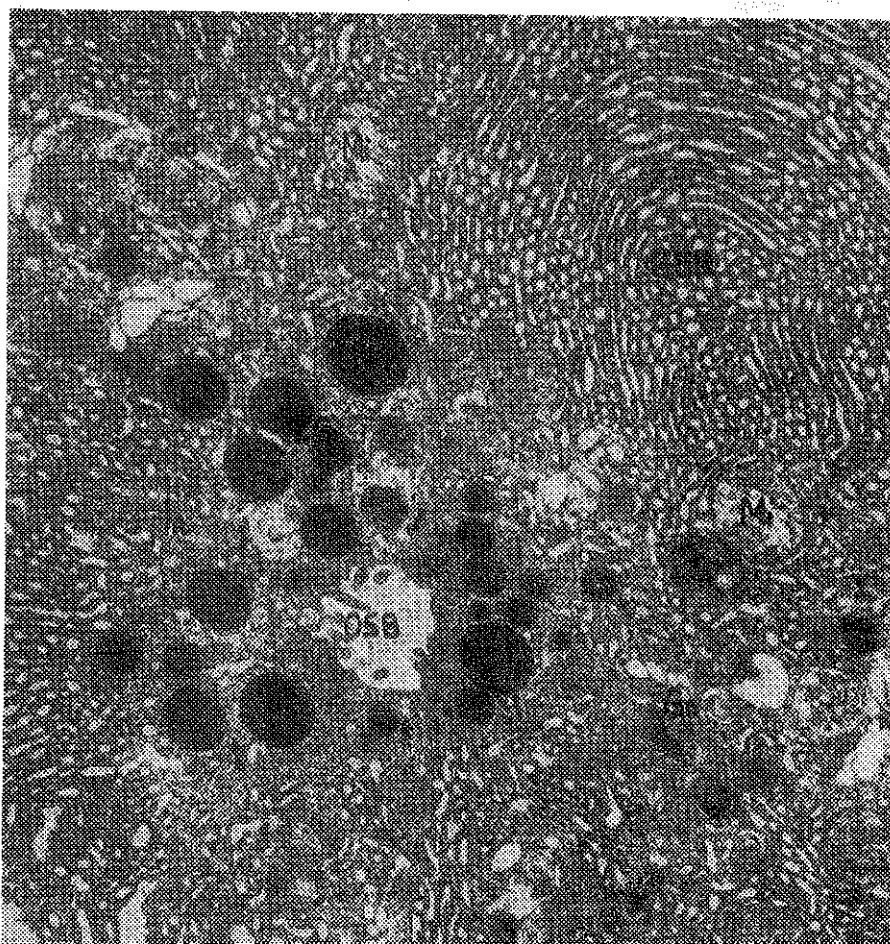
Şekil 9

Kontrol. Açı sıçan pankreasında bir son kısmı çevreleyen hücrelerin ayrıntılı yapıları gözleniyor. Oklar, olgunlaşmakta olan granüller; OSB, orta salgı boşluğu; SH, salgı hücresi; ZG, zimogen granül, Go, Golgi kompleksi; Mi, mitokondriyon; Li, Lizozom, GER, granüllü endoplazma retikulumu; Ri, ribozom. Kurşun sitrat. X 14100

konder lizozomlarla birarada içleri hücre artıklarıyla dolu, belirgin zarla çevrelenmiş otofajik vakuoller ayırdedildiler. Orta salgı boşluğu içinde atılmış salgı materyeli genellikle yoğun görünümdeydi.

Bazı son kısım hücrelerinde zimogen granüller çok azdı; granüllü endoplazma retikulumun yaygın dağılımı iyice belirginleşti. Bu hücrelerde sarnıcılar genişlediler. İçleri orta yoğunlukta bir materyelle doldu (Şekil 13).

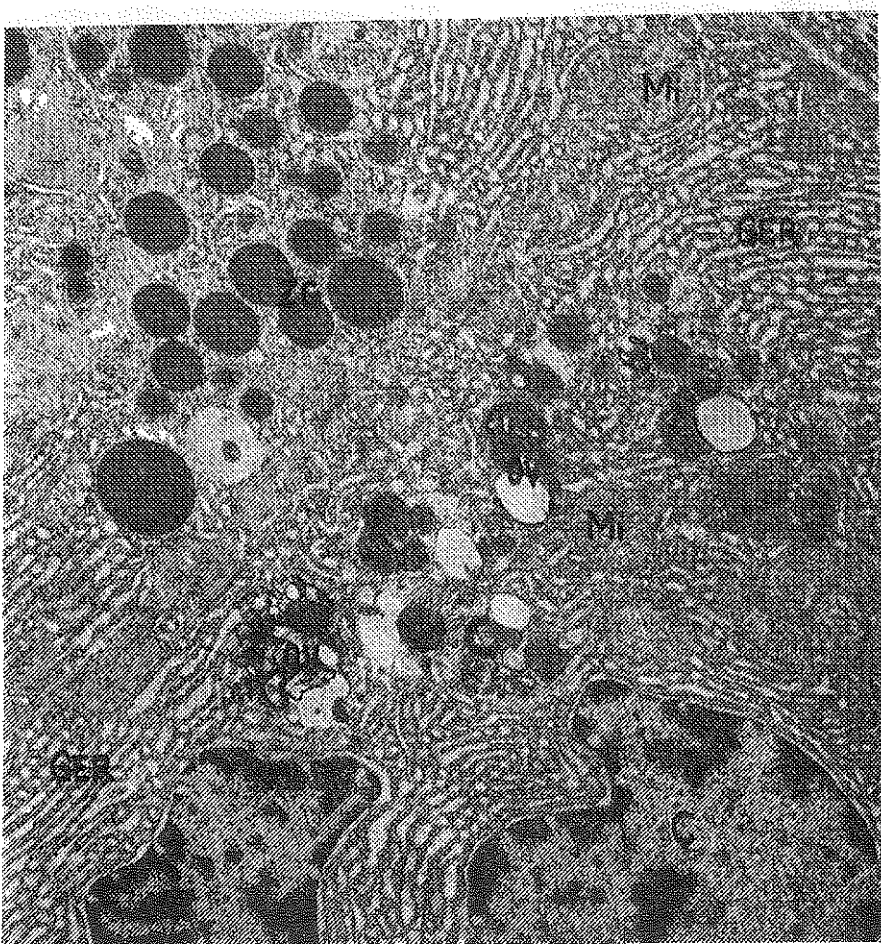
Pilotkarpinle 3 saat etkilenmiş sıçanların pankreas son kısım dış salgı hücrelerinde, salgının üretme, biriktirme ve boşaltma süreçlerindeki ince yapı değişiklikleri birarada sergilendi. Bulundukları sürece göre hücreler değişik yoğunluktaydı. Apikal sitoplazmada toplanan zimogen granüllerin çapları değişikindi (Şekil 14).



Şekil 10

Pilocarpinle etkilenmenin 30. dakikasında, bir son kısmın orta salgı boşluğuyla onu çevreleyen hücrelerin apikal bölge ayrıntıları gözleniyor. Oklar, üst ve yan yüz hücre zarının hemen altındaki, az yoğun materyel kapsayan kesecikler; Çift oklar, Golgi kompleksinin iç yüzündeki örtülü ve örtüsüz kesecikler; OSB, orta salgı boşluğu; BK, bağlantı kompleksi; İn, interdigitasyon, ZG, zimogen granül; Go, Golgi kompleksi; GER, granüllü endoplazma retikulumu; Mi, mitokondriyon; Li, lizozom. Kurşun sitrat. X 14100.

Üretme sürecindeki hücrelerde, granüllü endoplazma retikulumu sarnıçlarının sıkıca biraraya geldikleri, yer yer genişledikleri görüldü. Genişleyen sarnıçların içleri orta yoğunlukta bir materyelle doluydu. Golgi kompleksi oldukça geniş bir bölgeye yayılmıştı; içinde genişlemiş sarnıçlar, küçük kesecikler, değişik büyüklükte olgunlaşmakta olan granüller seçildiler (Şekil 14). Golgi kompleksine ve çekirdeğe yakın bölgelerde, sarkomerlerin yer aldığı, sarkoplazmik retikulumun uzantıları da saptanmıştır.



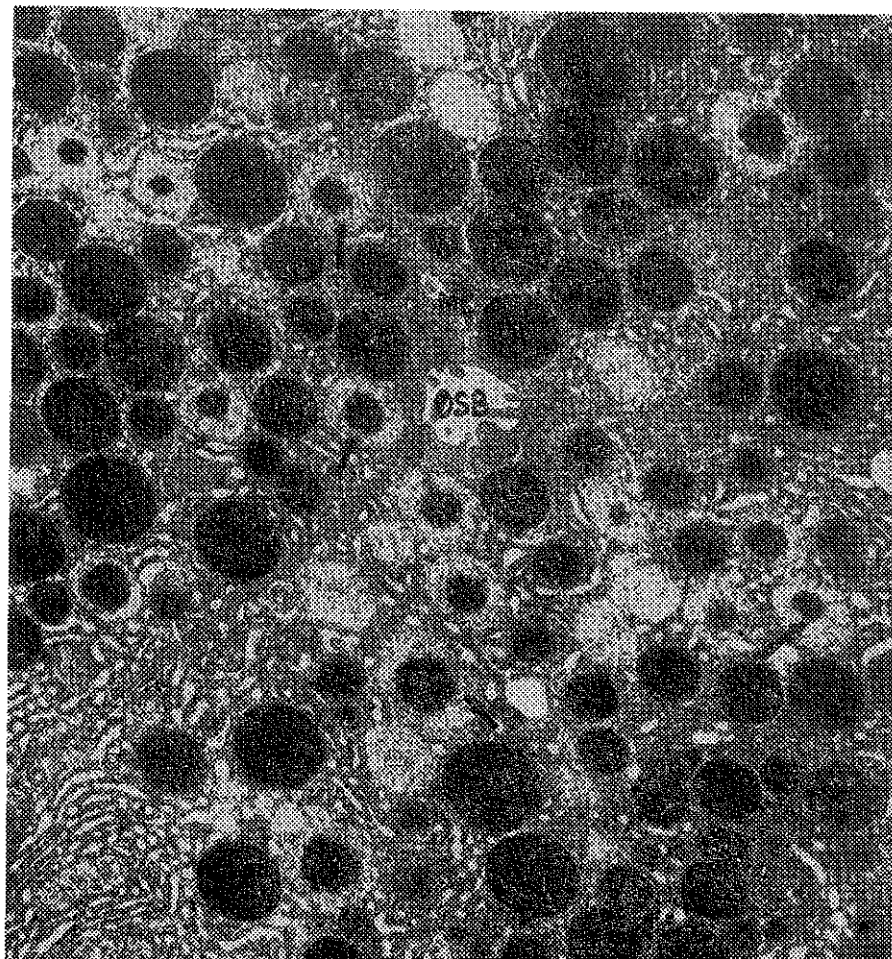
Şekil 11

Pilocarpinle etkilenmenin 30. dakikasında, son kısımları oluşturan hücrelerin ince yapı ayrıntıları görülmeye. G, Çekirdek; GER, granüllü endoplazma retikulumu; ZG, zimogen granül; Mi, mitokondriyon, OV, otofajik vakuol. Kurşun sitrat. X 14100.

gelerde içlerinde granüllü endoplazma retikulum parçaları, artık zarlar, ribozomlar, miyelin benzeri oluşumlarla yoğun materyeli kapsayan otofajik vakuoller gözlemlendi (Şekil 14).

Boşaltma ve biriktirme sürecindeki hücrelerde, granüllü endoplazma retikulumu sarmısları düzensizdi. Çapları değişik zimogen granüller apikal sitoplazmada toplanmıştı; aralarında ince filaman demetleri dikkati çekti (Şekil 14).

Pilocarpinle etkilenmenin 6. saatinde, değişik salgilama süreçlerini sergileyen hücreler birarada görüldüler. Hücre yüzey ve yan yüz zar-

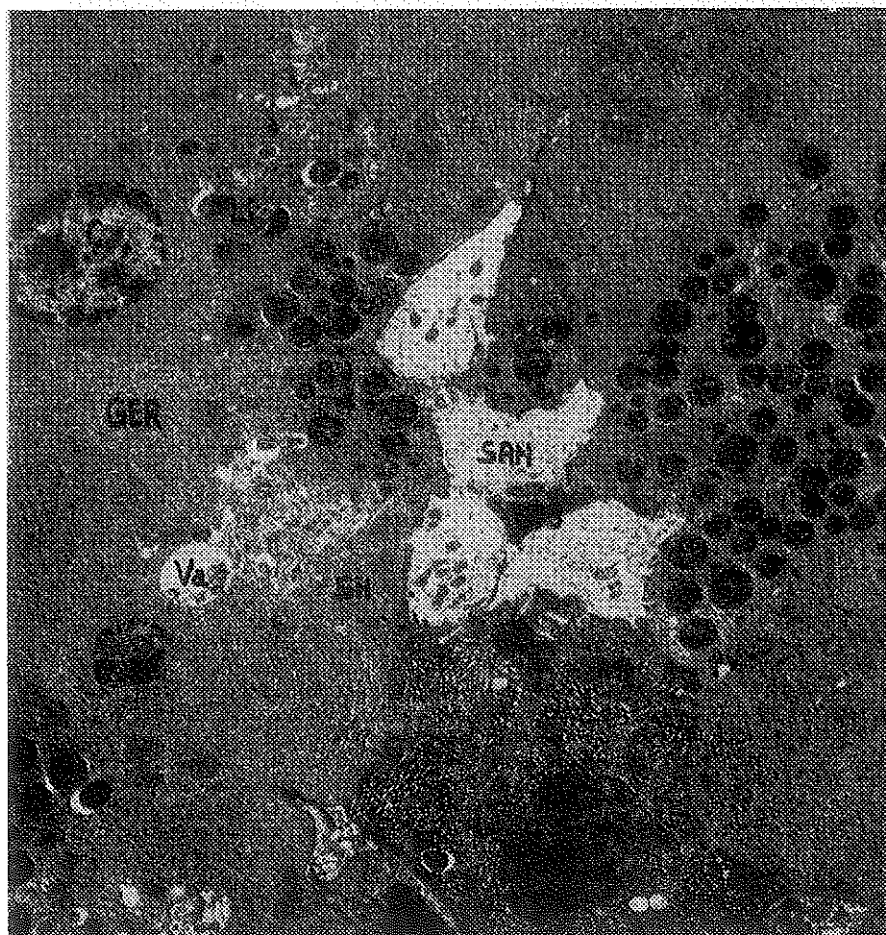


Şekil 12

Pilosarpinle etkilenmenin 30. dakikasında, pankreasda son kısımlardan birini çevreleyen hücrelerde apikal bölümlerin ince yapı ayrıntıları gözleniyor. Oklar, atipik granüller; OSB, orta salgı boşluğu; ZG, zimogen granül; MC, multiveziküler cisim. Kurşun sitrat. X 14100.

larının altında örtülü ve örtüsüz kesecikler seçildi. Bazı hücrelerde yeni paketlenmiş zimogen granüllerin genişlemiş orta salgı boşlukları çevresinde düzenli bir sıra oluşturdukları dikkat çekti. Böyle granüllerin yoğunluk ve büyülükleri değişkendi. Aralarında olgunlaşmakta olanlar ayırdedildi. Granüllü endoplazma retikulumu düzenli yapıda ve yayındı (Şekil 15).

Açık hücrelerdeki granüllü endoplazma retikulumu sarnıçlarının dağılımı düzensizdi. Yer yer genişlemiş sarnıçların içleri orta yoğun-

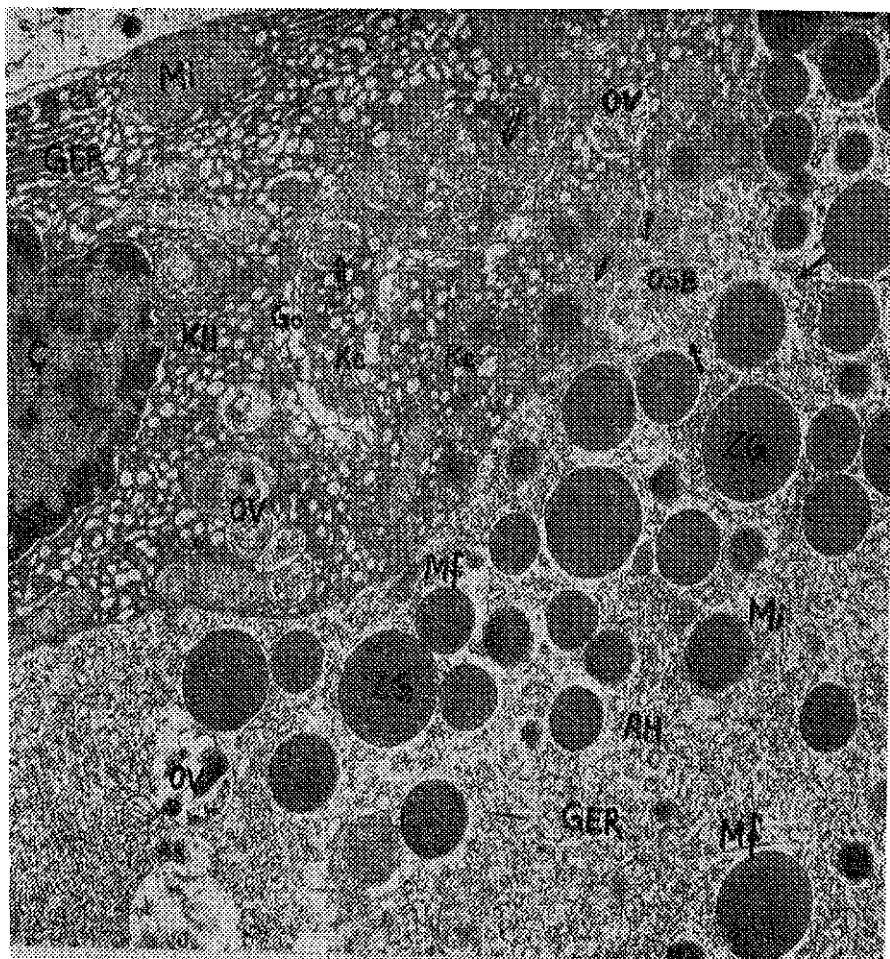


Şekil 13

Pilocarpinle etkilenmeden 1 saat sonra pankreasda son kısımlardan birinin ince yapısı gözleniyor. OSB, orta salgı boşluğu; SH, salgı hücresi; KH, koyu hücre, ZG, zimogen granül; G, çekirdek, GER, granüllü endoplazma retikulumu; Mi, mitokondriyon; Li, lizozom; Va, vakuol; SAH sentroasiner hücre. Kurşun sitrat. X 5700.

lukta bir materyelle doluydu. Bu hücrelerde apikal sitoplazmada genişlemiş Golgi kompleksi sarnıçları, örtülü-örtüsüz kesecikler ve olgunlaşmakta olan granüller izlendi. Bu bölgenin çok yakınında lizozomlar yer aldılar. Zimogen granüller azdı. Bu hücrelerde yan yüzler boyunca oldukça çok sayıda içleri yoğun kapsamlı kesecikler izlendi (Şekil 16).

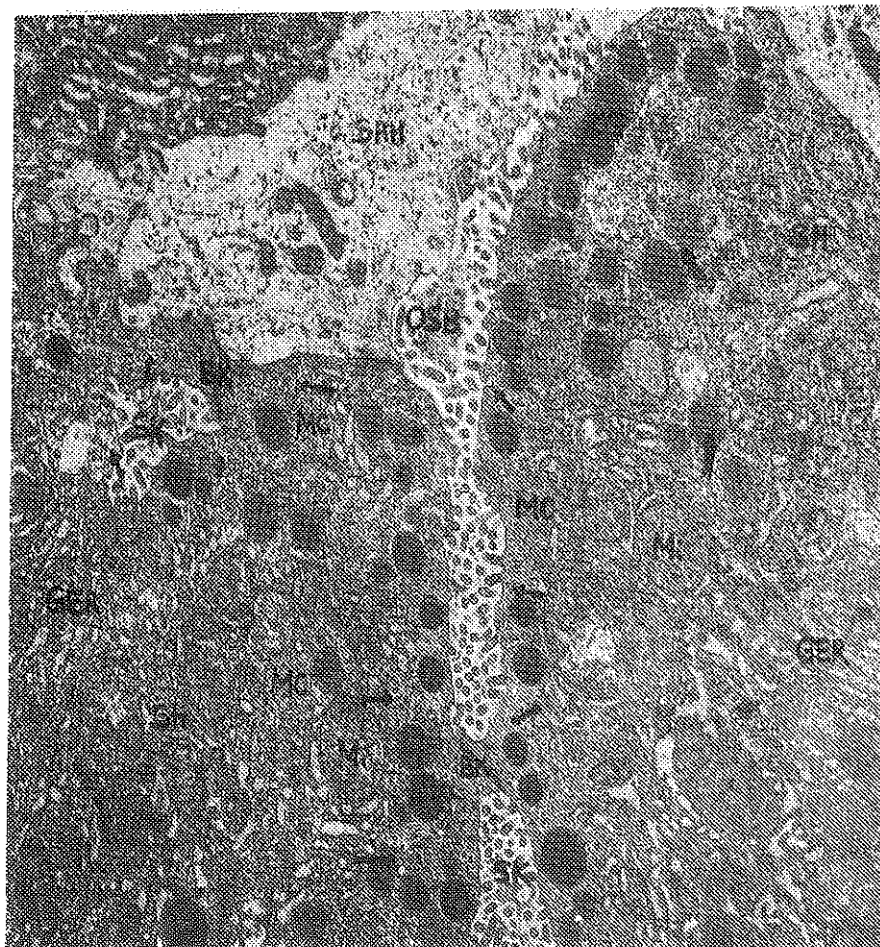
Pilocarpinle etkilenmenin 8. saatinde, hücrelerin birçoğunu granüllerini boşaltıp salgı üretme sürecine girdikleri saptandı. Orta salgı boşlukları atılan salgı materyeliyle doluydu. Atılan salgı granüllerinin yerini yaygın granüllü endoplazma retikulumu almıştı.



**Şekil 14**

Pilocarpinle etkilenmeden 3 saat sonra pankreasındaki son kısım hücrelerinin ince yapı ayrıntıları gözleniyor. Çift oklar, olgunlaşmakta olan salgı granülleri; oklar, üst yüz hücre zarının hemen altındaki kesecikler; OSB, orta salgı boşluğu; KH, koyu hücre; AH, açık hücre; ZG, zimogen granül; G, çekirdek, GER, granüllü endoplazma retikulumu; Go, Golgi kompleksi; Mi, mitokondriyon; Mf, mikroflaman; OV, otofajik vakuo; Ke, kesecik. Kurşun sitrat. X 14100.

Etkilenmenin 10. saatinde, pankreasda son kısımları oluşturan dış salgı hücrelerinin büyük yoğunluğu salgıyi üretme ve biriktirme süreçlerini birarada sergilediler. Apikal sitoplazmada toplanan değişken çaplı zimogen granüller oldukça eş yoğunluktaydı. Ayrıca olarak son kısım hücrelerinde zimogen granüllerde biçim değişkenliği oluştu; uzadılar ya da tokmak biçimini aldılar. Böyle hücrelerde apikal sitoplazmada granüllü endoplazma retikulumu sarnıçları arasında miyeline benzer



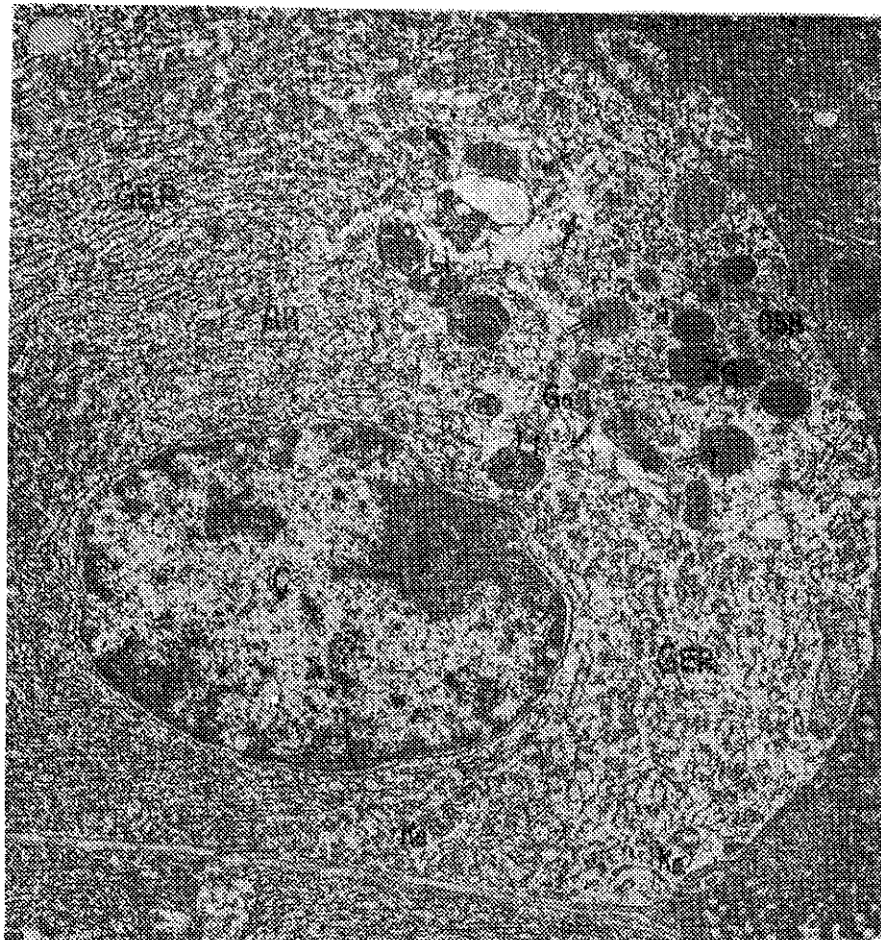
Şekil 15

Pilocarpinle etkilenmeden 6 saat sonra pankreasda son kısımlardan birini çevreleyen hücrelerin apikal bölgelerinin ince yapı ayrıntıları gözleniyor. Çift oklar, olgunlaşmaka olan granüller; Oklar, hücrelerde üst ve yan yüz hücre zarlarının hemen altındaki örtülü-örtüsüz kesecikler; OSB, orta salgı boşluğu; SH, salgı hücresi; ZG, zimogen granül; GER, grantüllü endoplazma retikulumu; MC, Multiveziküler cisim; SK, salgı kanalçığı; Mi, mitokondriyon; SAH, sentroasiner hücre; BK, bağlantı kompleksi.

Kurşun sitrat. X 14100.

oluşumlarla ince tanecikli materyel içeren büyük vakuoller ayırdedildiler (Şekil 17).

Pilocarpinle 12 saat etkilenmiş pankreas son kısımlarını çevreleyen dış salgı hücrelerinin pekçoğu zimogen granüllerle doluydu. Apikal sitoplazmadaki çapları değişken zimogen granüller es yoğunluktaydilar.



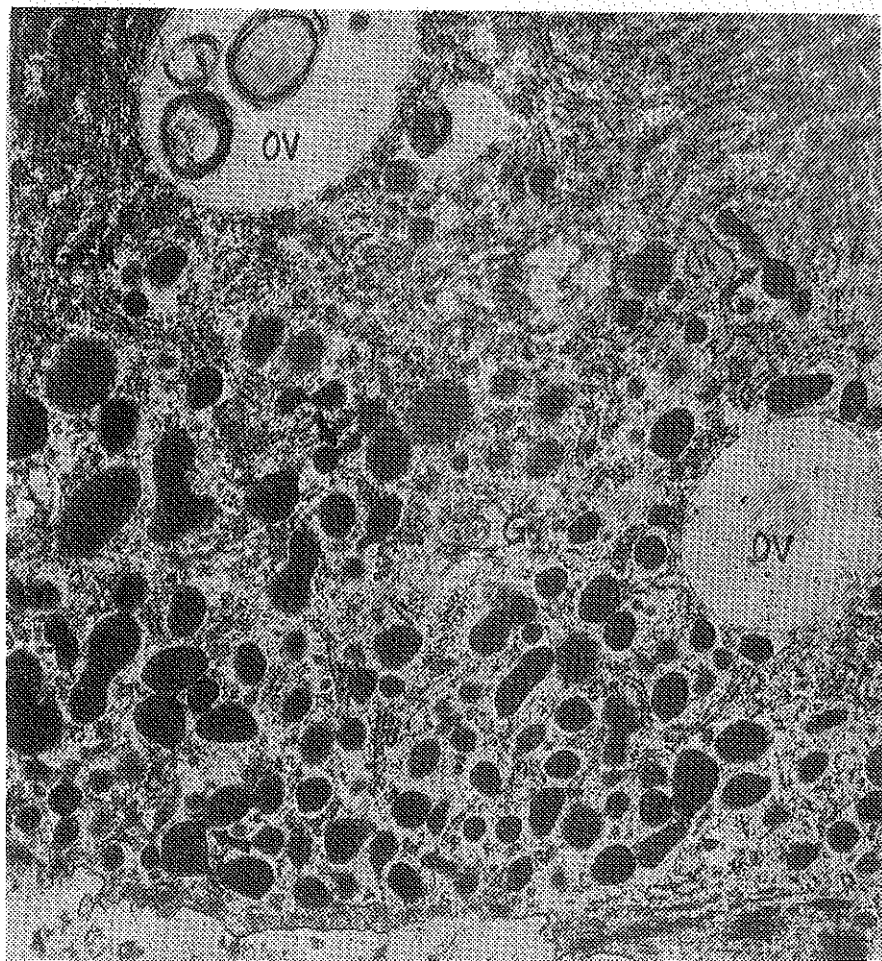
Şekil 16

Pilokarpinle etkilenmeden 6 saat sonra pankreasda son kısımları oluşturan dış salgı hücrelerinden birinin sitoplazma ayrıntıları gözleniyor. Oklar, örtülü-örtüsüz kesecikler; çift oklar, olgunlaşmakta olan granüller. OSB, orta salgı boşluğu; AH, açık hücre; Ç, çekirdek; ç, çekirdekçik; GER, granüllü endoplazma retikulumu; Go, Golgi kompleksi; ZG, zimogen granül; Ke, kesecik. Kurşun sitrat. X 14100.

Aralarında olgunlaşmakta olanlar da izlendi. Orta salgı boşluğununa atılan salgı materyeli genellikle az yoğundu. Golgi kompleksi oldukça gelişdi. Sarnıçları, örtülü-ör'üsüz kesecikleri iyi gözlendi (Şekil 18).

#### *Tartışma*

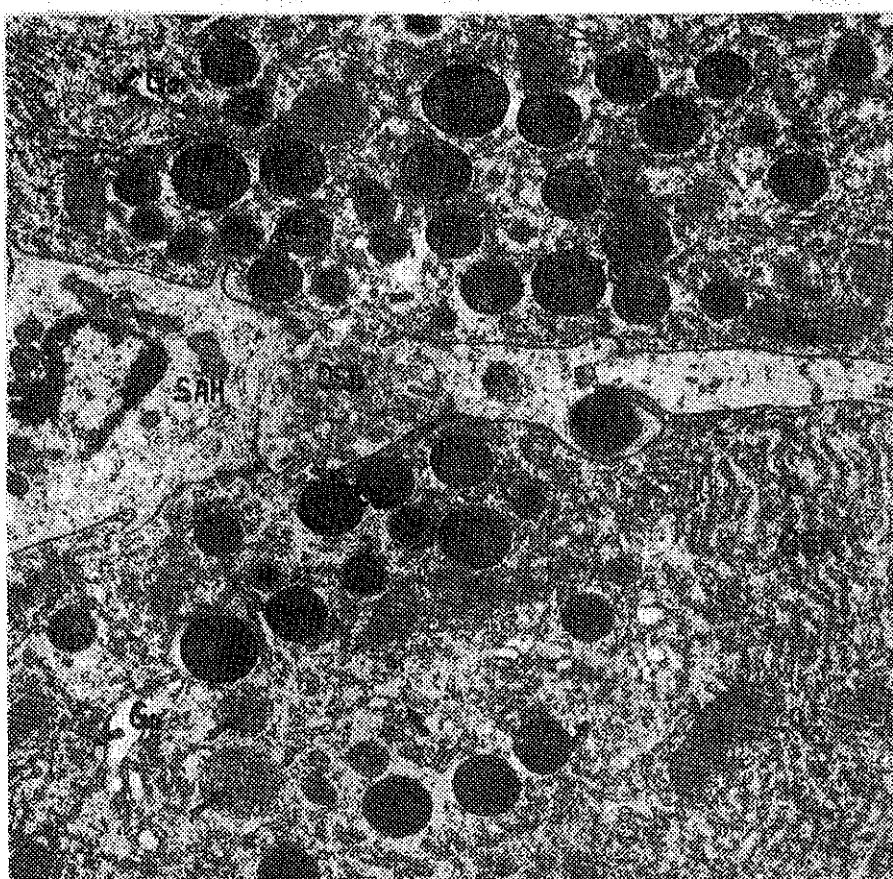
Pankreas son kısım dış salgı hücrelerinde salgılama işlevinin izlediği evreler; salgı ön maddelerinin hücreye alınması, birleştirilmesi, hücre içi taşınma ve depolanma olarak tanımlanabilir. Bu sıra önemli hücre or-



Şekil 17

Pilocarpinle etkilenmeden 10 saat sonra pankreasda bir son kısım dış salgı hücresinin apikalının ince yapı ayrıntıları gözleniyor. Oklar, farklı yoğunluktaki granüllerin birleşerek oluşturduğu kiteler; ZG, zimogen granül; GER, granüllü endoplazma retikulumu; Go, Golgi kompleksi; OV, otofajik vakuol. Kurşun sitrat. X 25500.

ganelleriyle yakın ilişkili olarak sürer.<sup>2, 3, 11, 12</sup> Bu evreler birbirinden bağımsız değildir. Salgı oluşturan hücrelerin tümünün uyarılardan eş zamanlı olarak etkilenmeleri beklenemez. Uzatılmış uyarılmalardan sonra bile, son kısım hücrelerinin salgı granüllerinin tüm olarak boşalığı gösterilememiştir. Zimogen granüllerin çokluğuyla enzim salgılanması birbirleriyle yakından ilişkilidir.<sup>13</sup> Pankreas son kısım hücrelerinde salgının yapımı sürekli dir. Atılımla birlikte yeniden yapım ve birikim gözelebilir.



Şekil 18

Pilocarpinle etkilenmeden 12 saat sonra pankreasda bir son kısmı çevreleyen dış salgı hücrelerinin apikal bölümlerinin ince yapı ayrıntıları gözleniyor. Oklar, örtülü-örtüsüz kesecikler ve olgunlaşmakta olan granüller; OSB, orta salgı boşluğu; ZG, zimogen granül; Go, Golgi kompleksi; GER, Granüllü endoplazma retikulumu; Mi, mitokondriyon; SAH, sentroasiner hücre, Kurşun sitrat. X 14100.

Parasempatik uyarıcı pilokarpinin pankreas dış salgısını oluşturan son kısım hücreleri üzerine salgilatıcı etkisi çok güçlündür. Pilocarpin etkisiyle ivedi bir granül boşalımının olaylandığı bildirildi.<sup>1</sup> Tekrarlayan dozlarda pilokarpin uygulamasından sonraki ilk saatlerde pankreas ağırlığının arttığını, izleyen saatlerde azalarak normallerin altına düşüğü saptandı. Uygulamanın ilk saatlerinde son kısımlar genişler. Son kısım hücreleri arasındaki hücreler arası aralıklar kaybolur. Hücre içi salgı materyeli artar. Salgı granülleri daha eozinofil ve bazal sitoplazma daha koyu bazofildir. İzleyen saatlerde, son kısımların küçülmeleriyle hücre-

ler arası aralıklar genișler. Hücre içi salgı azalır. Hematoksilen cozinle boyalı kesitlerde, bazal sitoplazmanın güçlü bazofil boyanması sürerken, salgı granüllerinin eozinofilisi düşer.

Son kısımlar daha belirginleşirler.<sup>14</sup> Nevalainen,<sup>1</sup> pilokarpin etkisiyle pankreas son kısımlarında gözlenen hücre küçülmesinin, granül boşalmasından çok, pilokarpinin sıvı boşaltma yeteneğine bağlı olduğunu savunmuştur. In vitro pilokarpin uygulamasına bağlı olarak, son kısım hücrelerinde, sitoplazma şışmesi, vakuolleşme ve bazofil boyanmanın azaldığı gözlendi.<sup>15</sup> Geuze ve Poort,<sup>16</sup> her hücrenin uyarandan aynı anda etkilenmediğini saptamışlardır. Normal koşullarda, son kısım hücrelerinde salgı yapımı süreklidir. Salgının atılabilcecik olgunluğa erişme sürecinin, pankreas dış salgı hücrelerinde yaklaşık 10-13 saat olduğu saptanmıştır.<sup>1</sup> Uyarılmadan önce aç bırakılan hayvanlarda bir zimogen granül birikimi olur. Uygun uyarılmadan sonra, zimogen granüllerin atılmalarını izleyen bir yeniden birikim olayları. Granülsüz evreyle yeniden yapım evresi düzenle birbirini izler. Kramer ve Poort'a<sup>7</sup> göre, pilokarpinle etkilenmeden sonra, granülli endoplazma retikulumunda sentezlenen proteinler 2 yol izler; ya Golgi kompleksinde yoğunlaşıp granüller halinde depo edilirler, ya da fazla olgunlaşmadan doğrudan salgulanırlar. Her iki yolu izlerken de lizozomların etkisiyle parçalanabilirler. Yeni oluşan proteinler depolanmadan salgılanmaktadır.

Bu çalışmanın verileri, pilokarpinin güçlü boşaltıcı etkisini onayladı. Etkilenmenin 1-3 saatlerinde pankreas dış salgı hücrelerinin büyük çoğunuğunun granüllerini boşalttığı görüldü. İşık mikroskopu düzeyinde zimogen granüller hücrelerin apikal bölümünde toplandılar. Bazal bölgümleri bazofil boyandı. Etkilenme sürdükçe zimogen granüllerin çoğunu atıldığı, çekirdek ve çekirdekçiklerin belirginleştiği saptandı. Geç saatlerde yeniden yapımın ve birikimin yapısal görünümü öne geçti. Elektron mikroskobunda da ışık mikroskobundakine koşut bulgular ortaya çıktı. İlk saatlerde hücrelerde zimogen granül boşalmasını belirdi. Salgılanının büyük bir kısmını boşaltmış hücrelerin yanısıra salgılanamakta olanlarla yeniden yapım evresindekiler birarada izlendiler. Salgı boşalmasına bağlı olarak hücrelerdeki granül sayısı değişti.

Salgilama evrelerine göre hücreler koyu ve açık diye ayırdıldılar. Koyu olanlar üretim, açık hücreler ise birektirme ve salgilama evrelerinden olacaklar olarak saptandılar. Orta salgı boşlukları daralmış ya da genişlemiş olarak görüldüler; içlerine atılan salgı materyeli açık renk ince tanecikliydi. Saatler ilerledikçe yeniden yapımla ilgili bulgular öne geçti. Biçimlenen granüller küçüklü büyülüdü.

Vakuolleşmeye pilokarpinle etkilenmiş dış salgı hücrelerinde sıkılıkla rastlanmaktadır. Fare ve sıçan parotis bezinde pilokarpin etkisiyle atılma sürecindeki granüller sitoplazmadan su çekerler. Üst yüz hücre zarıyla bireleşen granül, içeriğini çabucak orta salgı boşluğunca boşaltır ve bu arada ykanır. Salgı granüllerinin çoğu tek düz olmayan bir görünüme sahiptir. İçerikleri, yoğun çevresel bir bölgeyle daha az yoğun bir orta bölgeden oluşmuştur. Çoğunlukla orta bölge içinde yoğun bir materyel topluluğu gözlenir. Bu tür granüller, atılım sürecinde çoğulukla homogen ve az yoğundur. Sitoplazma içindeki düz yüzlü zar yapılarının da pilokarpin etkisiyle su alıp şışerek vakuoller oluşturduğu gözlenir. Pilokarpinin oluşturduğu salgının su kapsamı fazladır.<sup>4</sup> Nevalainen,<sup>1</sup> pankreas dış salgı hücrelerinde atılımdan önce pilokarpin etkisiyle üst sitoplazma bölümünde, öncül olarak oluşan vakuolleşmenin gözlenmediğini bildirmiştir. Parks,<sup>4</sup> pilokarpin etkisiyle oluşan vakuollerin hücrenin normal işlevinin aşırı zorlanmasına bağlı olduğunu iferi sürmektedir.

Bu çalışmada da sıçanda, pankreas son kısım dış salgı hücrelerinde ışık mikroskopu düzeyinde vakuolleşmeye rastlandı; vakuoller etkilenmenin 3-6 saatlerinde belirgindi. Özellikle apikal sitoplazmada toplanırlar. Bunların boşalan salgı granüllerinin yerleri olabileceği düşünüldü. Pilokarpin uygulanmasından sonra atipik granüller gözlandı. Bunlar uygulamanın özellikle 30. dakikasında oldukça çok sayıda izlendiler. Ancak 3-6 saatlerde giderek azaldılar ve diğer gruptarda da tüm ortadan kalktılar. Ortada yoğun bir öz bölgeyle bunu çevreleyen daha açık ince tanecikli yapıda bir çevresel bölüm sergilediler.

Uygulamanın özellikle ilk saatlerinde izlenmeleri bunların pilokarpinin güçlü uyarıcı etkisiyle hücrenin optimum olan salgılama işlevinin aşırı zorlanmasına bağlı olduğunu düşündürdü. Pilokarpin etkisiyle pankreas dış salgı hücrelerinde küçük çaplı, düzensiz biçimde granüller seçildiler. Bunlar uyarılmanın geç saatlerinde ortaya çıktılar. Hücrelerde apikal sitoplazmada yerlesik bu granüllerin küçüklü büyülü olduğu ve yoğunluk farkı gösterdikleri seçildi. Yer yer birbirleriyle bireleşen düzensiz granüllerin gruplar oluşturduğu ilgiyi çekti.

Pilokarpin uygulamasını izleyen ilk saatlerde Golgi kompleksinde öncül zimogen granüllerin izlendiği bildirilmiştir.<sup>16</sup> Ancak bu evrelerde Golgi kompleksinde belirgin bir değişiklik görülmektedir. Uygulamadan 3-6 saat sonra Golgi kompleksi genişlemiş olarak gözlenir. Apikal sitoplazmada sarnıçlar, örtülü ve örtüsüz keseleri kapsayan birden fazla Golgi kompleksi bulunur.<sup>1</sup> Golgi kompleksi sarnıçları kabaca yarımyollar biçiminde düzenlenmiştir. Golgi kompleksinin dış yüzünde genişle-

miş granüllü endoplazma retikulumu sarnıçları, düz yüzlü Golgi kesecikleriyle kaynaşır. Golgi kesecikleri yassı biçimli olup en düsta yer alan pencereli sarnıçlar (GERL) çevresinde bulunur. İç yüze doğru Golgi sarnıçları içinde gittikçe artan elektron yoğun materyel birikimi gözlenir. En iç iki sarnıç iyici yassılaşmıştır ve uç bölmelerinde şişkinlikler yer alır. Bunlardan olgunlaşmakta olan granüller oluşur.<sup>16</sup>

Elektron mikroskopu düzeyinde, bu çalışmada pilokarpinle uyarılmadan sonra granüllü endoplazma retikulumuna komşu Golgi kompleksi belirgin biçimde genişledi. Sarnıçların iç ve dış yüzlerinde örtülü ve örtüsüz kesecikler belirdiler ve Golgi kompleksinin iç bölgesinde beliren öncül salgı granülleri düzensizdi; içleri kaba tanecikli materyelle doluydu. Granüllerin çapları değişkendi.

Pilotkarpin uygulamasından sonra granüllü endoplazma retikulumu, çekirdek ve çekirdekçik yapısında belirgin bir değişiklik izlenmediği bildirilmiştir. Pilotkarpinle etkilenmede salgı üretiminin tüm evrelerinde granüllü endoplazma retikulumu sarnıçları paralel düzenlemelerini korurlar. Ancak, pilotkarpin etkilenmesinden 3-6 saat sonra hücrelerin sitoplasmalarının bazal bölümünde granüllü endoplazma retikulumu sarnıçları arasında düz yüzlü zarla çevrili büyük vakuoller içerisinde sıkıca bir araya gelmiş dairesel düzende granüllü endoplazma retikulumu sarnıçlarıyla ribozomlar yer alır.<sup>17</sup>

Bu araştırmada pilotkarpinle etkilenmeden sonra özellikle üretim ve biriktirme evresindeki hücrelerde, çekirdek ve çekirdekçiklerde belirgin değişiklikler oldu; çekirdek çevresi düzensizdi. Kromatini yoğunca görünüm aldı. Genişlemiş çekirdekçiklerin çevresinde kromatin kitleleri ayırdedildi. Çekirdek ve çekirdekçik değişimlerinin protein üretimindeki artmaya bağlı olduğu düşünüldü. Bu çalışmanın bulguları, pilotkarpinle etkilenmeden sonra granüllü endoplazma retikulumu sarnıçlarında yapı değişiklikleri olageldiğini ortaya koydu. Özellikle koyu sitoplazmalı, üretim evresindeki hücrelerde granüllü endoplazma retikulumunun yaygın dağılımı 30 dakika, 1,3 ve 6. saatlerde çok belirgindi. Sıkıca bir araya gelen yer yer genişlemiş granüllü endoplazma retikulumu sarnıçları birbirine paralel ya da içiçe yarınlı daireler oluşturdu. Çekirdek yakınında, Golgi kompleksine komşu bölgelerde düz yüzlü, zarla çevrili oldukça büyük vakuoller içinde sıkıca bir araya gelmiş granüllü endoplazma retikulumu sarnıçları izlendi. Salgı granüllerinin oluşmasıyla granüllü endoplazma retikulumunun yayılımı geriledi. Pilotkarpin etkisiyle olan granüllü endoplazma retikulumu yaygınlaşması uyarının salgılatıcı gücüne bağlı olarak ortaya çıkan normal hücre tepkisi diye yorumlandı.

Pilokarpinle etkilenmeden sonra salgılamayı izleyen evrelerde, hücre içi yıkımla ilgili lizozomların arttığı bildirilmiştir. Pilokarpin etkilenmesinden 3-6 saat sonra, olağan dışı bir otofagositoz izlenmektedir. Lizozomlar özellikle Golgi kompleksi sahasında tek ya da çift zarla sarılı cisimler olarak, ya da granüllü endoplazma retikulumu sarnıçları arasında gözlenmiştir.<sup>1, 6, 7, 17</sup>

Bu araştırmanın verileri, salgılamayı izleyen evrelerde hücre içi sindirimin artışını belirledi. Lizozomların sayıları arttı. Pilokarpinle etkilenmeden sonraki 30. dakikadan başlayarak 1-6. saatlerde lizozomlar çekirdek çevresinde, Golgi kompleksiyle yakın ilişkili olarak gözlenen diller; sekonder lizozomların yanı sıra izlenen otofajik vakuollerde yoğun cisimler, zar artıkları, içiçe düzenlenmiş granüllü endoplazma retikulumu sarnıçları ve ribozomların yer alındıkları saptandı. 8, 10 ve 12. saatlerde salgı birikimiyle birlikte lizozomlar azaldılar. Pilokarpin etkilenmesinden sonra izlenen lizozom yapılarının, aşırı salgilatıcı etkiyle hücrelerin normal üstü çalışmaya zorlanmalarından kaynaklanabileceği düşünüldü. Lizozomların salgı birikimiyle giderek azalmaları, oluşan normal üstü artıkların hücre tarafından ortadan kaldırılabilceğini vurguladı.

Pankreas gibi ekrin türde salgılama yapan bezlerde granül atılımı olaylanırken, granül zarının üst yüz hücre zarıyla birleşmesi, hücre zarında artmaya neden olur. Hücre zarına eklenen zarın endositotik keseler aracılığıyla geri alındığı bildirildi.<sup>16-19</sup> Küçük keseler halinde geri alınan artık zarın Golgi kompleksinde işlenmendirilerek yeni oluşan salgı granüllerinin yapımında kullanıldığı üzerinde duruldu.<sup>20</sup> Böylece hücrelerin salgılama sürecinde kendi zarlarını yapma yeteneği onaylandı.<sup>12, 21</sup> Granül zarının içeriğiyle birarada aynı süreç içinde yapıldığı bu nedenle geri alınan zarın lizozom içi eritmeyle ortadan kaldırıldığı savunulmuştur.<sup>16, 17</sup> Küçük keseciklerin birleşmesiyle vakuoller ve multiveziküler cisimler oluşur. Vakuol zarları içe çökerek cismin daha çok büyümeyesini önlemek için bir değişimle multiveziküler cisimlere dönüşebilirler. Primer lizozomlar multiveziküler cisimlerle birleşerek eritici etkiyle iç zarları eritirler. Sonuçta sekonder lizozomlarla artık cisimler izlenir.<sup>16, 17, 22</sup> Bu evrede salgı üretimi süreğelir. Oluşan öncül salgı granüllerinde zara bağlı asit fosfataz aktivitesi gösterilmiştir. Öncül salgı granüllerindeki lizozom enzimlerinin birikimi, salgı materyelinin olgunlaşmasında görevlidir.<sup>23</sup> Salgilatıcı etkinin azalmasıyla hücre içinde biriken fazla salgı granüllerinin lizozomal etkiyle yıkıma uğradığı öne sürülmüştür. Salgı boşalımının durdurulmasından sonra protein sentezleyen organellerin otofajik vakuoller içinde toplandığı ve salgı

granüllerinin, multiveziküler ve artık cisimlerin yapısına katıldığı gösterilmiştir.<sup>24</sup>

Bu araştırmada da pilokarpinle etkilenmeden sonraki 6. saat'e kadar multiveziküler cisimler apikal sitoplazmada zimogen granüller arasında ya da Golgi kompleksi sahasında izlendi. Genişlemiş üst yüz hücre zarının altında kesecikler seçildi. Hücreden salgı atılım süresinde üst yüz hücre zarına eklenen zarın küçük keseciklerle geri alındığı ve hücre içinde lizozom sindirimimiyle yok edilebileceği kanısına varıldı.

Pankreasda son kısım dış salgı hücrelerinin zimogen granülleri arasında, yan ve üst yüz hücre zarının hemen altında mikrotubulus ve filamanlar bulunmaktadır. Bunların zimogen granüllerin üst yüz hücre zarına doğru hareketlerinde ve atılımda işlev gördüğü bildirilmiştir.<sup>25, 26</sup> Mikrofilamanlar hücrelerin apikal bölgesindedir; daha geniş çaplı mikrotubuluslarda sitoplazmanın her tarafına dağılırlar. Çekirdeğin ve zimogen granüllerin çevresinde, Golgi kompleksine yakın bölgelerde izlenirler. Zimogen granül zarıyla yakın ilişkili olan bu yapıların salgı granüllerinin orta salgı boşluğununa hareketlerinde işlevleri olduğu düşünülmüştür.<sup>27</sup>

Bu çalışmada elektron mikroskopu düzeyinde pankreas dış salgı hücrelerinde pilokarpinle uyarılmadan sonra apikal sitoplazmada üst yüz hücre zarının altında, yan yüzde, seyrek olarak zimogen granüllerin çevresinde küçük gruplar halinde mikrofilamanlar izlendi. Mikrotubulusslara hiç rastlanılmadı. Mikrofilamanların salgı atılımını kolaylaştırıcı işlevleri olabileceği düşünüldü.

#### *Özet*

Bu çalışmada, sıçan pankreasında dış salgıyı oluşturan son kısım hücrelerinde sinirsel uyarılmayla ortaya çıkan değişiklikler ışık ve elektron mikroskopu düzeylerinde incelendi. Tüm sıçanlar deneyden önce 24 saat aç bırakıldı. Böylelikle salgının hücrelerde birikmesi sağlandı. Parasempatik salgılatıcı olarak pilokarpin nitrat verildi. Uyarının verilmesinden sonraki belirli zaman aralıklarında alınan organ parçaları ışık ve elektron mikroskopu incelemeleri için ayrı ayrı işlenildirildiler.

Kontrol gruplarını oluşturan aç ve tok sıçanların pankreaslarındaki son kısım dış salgı hücrelerinde birbirinden pek farklı olmayan yapı değişiklikleri oldu. Hücrelerde biriktirmeye birlikte boşaltma ve üretimin süregeldiği saptandı.

Pilotkarpinin güçlü boşaltıcı etkisi kanıtlandı. Uygulamayı izleyen süreçlerde, hücrelerin salgularının büyük kısmını boşalttıkları belirlendi, salgı geç biriki.

*KAYNAKLAR*

1. Nevalainen, T. J.: Effects of pilocarpine stimulation on rat pancreatic acinar cells. An electron microscopic study with morphometric analysis. *Acta.Path. Microbiol. Scand.*, **210**: 1, 1970.
2. Caro, L. G., Palade, G. E.: Protein synthesis, storage and discharge in the pancreatic exocrine cell. *J. Cell Biol.*, **20**: 473, 1964.
3. Palade, G. E.: The secretory cycle of the pancreatic exocrine cell. *Acta. Anat. Nippon.*, **41**: 337, 1966.
4. Parks, H. F.: Morphological study of the extrusion of secretory materials by the parotid glands of mouse and rats. *J. Ultrastructure. Res.*, **6**: 449, 1962.
5. Reggio, H., Cailla-Deckmyn, H., Marchis-Mouren, G.: Effect of pancreozymin on rat pancreatic enzyme biosynthesis. *J. Cell. Biol.*, **50**: 333, 1971.
6. Davenport, H. W.: Physiology of the Digestive Tract. Year Book Medical publishers, IV. baskı. 1977, s. 129.
7. Kramer, M. F., Poort, C.: Protein synthesis in the pancreas of the rat after stimulation of secretion. *Z. Zellforsch. Mikr. Anat.*, **80**: 475, 1968.
8. Scott, B. L., Pease, D. C.: Electron microscopy of induced changes in the salivary glands of the rat. In: Screebny, L.M., Meyer, J. (Eds), *Salivary glands and their secretions*. Pergemon. Press. London. Sayfa 13, 1964. Alınmıştır.: Cutler, L. S., Chaudry, A. P.: Release and restoration of the secretory granules in the convoluted granular tubules of the rat submandibular gland. *Anat. Rec.*, **176**: 405, 1973.
9. Ambrogi, P. L.: Manual of Histologic and special staining Technics. II. baskı. McGraw-Hill. 1960, s. 31.
10. Bluemink, J. G., Maurik, P., Lawson, K.: Intimate cell contacts at the epithelial mesencyhmal interface in embryonic mouse lung. *J. Ultr. Res.*, **55**: 257, 1976.
11. Meldolesi, J., Jamieson, J. D., Palade, G. E.: Composition of cellular membranes in the pancreas of the guinea pig. I. Isolation of membrane frantions. *J. Cell Biol.*, **49**: 109, 1971.
12. Palade, G. E.: Intracellular aspects of the process of protein synthesis. *Science*, **189**: 347, 1975.
13. Frexinos, J., Boucard, J. P., Augier, D., Ribet, A.: Ultrastuructural study of exocrine pancreas of the dog after stimulation with pancreozymin. *Biol. Gastroenterol.*, **1**: 13, 1970.
14. Sturgess, J., Reid, L.: The effect of isoprenaline and pilocarpine on (a) Bronchial mucus secreting tissue and (b) pancreas, salivary glands, heart, thymus, liver, and spleen. *Br. J. Exp. Pathol.*, **54**: 388, 1973.
15. Nevalainen, T.J., Janigan, D.T.: Pilocarpine stimulation of exocrine pancreas secretion in vitro. *Res. Exp. Med.*, **162**: 161, 1974.
16. Geuze, J. J., Poort, C.: Cell membrane resorption in the rat exocrine pancreas cell after in vivo stimulation of the secretion, as studied by in vitro incubation with extracellular space markers. *J. Cell. Biol.*, **57**: 159, 1973.
17. Geuze, J. J., Kramer, M. F.: Function of coated membranes and multivesicular bodies during membrane regulation in stimulated exocrine pancreas cells. *Cell Tissue. Res.*, **156**: 1, 1974.

18. Bieger, W., Martin-Achard, A., Bassler, M., Kern, H. F.: Studies on intra-cellular transport of secretory proteins in the rat exocrine pancreas. IV. Stimulation by in vivo infusion of caerulein. *Cell Tiss. Res.*, **165**: 435, 1976.
19. Bieger, W., Seybold, J., Kern, H. F.: Studies on intracellular transport of secretory proteins in the rat exocrine pancreas. V. Kinetic studies on accelerated transport following caerulein infusion in vivo. *Cell. Tiss. Res.*, **170**: 203, 1976.
20. Jamieson, J. D.: Role of the Golgi complex in the intracellular transport of secretory proteins. *Adv. Cytopharmacol.*, **1**: 183, 1971.
21. Jamieson, J. D., Palade, G. E.: Condensing vacuole conversion and zymogen granule discharge in pancreatic exocrine cells: Metabolic studies. *J. Cell Biol.*, **48**: 503, 1971.
22. Arstila, A. U., Jauregui, H. O., Chang, J., Trump, B. F.: Studies on cellular autophagocytosis. *Lab. Invest.*, **24**: 162, 1971.
23. Novikoff, A. B., Essner, E., Biempica, L., Iacofano, P.: Lysosomes and secretory granules: Electron microscopic examination of enzyme reaction product. *J. Histochem. Cytochem.*, **10**: 654, 1962.
24. Smith, R. E., Farquhar, M. G.: Lysosome function in the regulation of secretory process in cells of the anterior pituitary gland. *J. Cell. Biol.*, **31**: 319, 1966.
25. Savion, N., Selinger, Z.: Morphological changes in rat pancreatic slices associated with inhibition of enzyme secretion by high concentration of secretagogues. *J. Cell. Biol.*, **76**: 467, 1978.
26. Seybold, J., Bieger, W., Kern, H. F.: Studies on intracellular transport of secretory proteins in the rat exocrine pancreas. II. Inhibition by antimicrotubular agents. *Virch. Arch. Pathol.*, **368**: 309, 1975.
27. Stock, Launay, J. F., Greiner, J. F., Sauduin, H.: Pancreatic acinar cell changes induced by caerulein, Vinblastine, deuterium oxide and cytochalasine B in vitro. *Lab. Invest.*, **38**: 157, 1978.

# Arteria Hepatica'nın Variasyonları, Ekstrahepatik Safra Kanalları ve Vena Porta ile Olan Komşulukları

Dr. Nuran Yener\*

## Giriş

Arteria hepatica communis'in truncus coeliacus'tan başladığı yer ile karaciğere giden dallarının çıkış yerleri ve bu dalların ekstrahepatik safra kanalları ve vena porta ile olan komşulukları her şahista çok değişik durumlar göstermektedir. Bu durumların bilinmesi klinik yönden gereklidir. Çünkü normal şahislarda arteria hepatica veya dalları daha çok mide ve safra sistemi ameliyatlarında anomaliler yüzünden zedelenebilir ve farkına varılmadan veya tedavi edici gayelerle bağlanır. Karaciğerin esas arteri arteria hepatica'nın tüm dallarının bağlanması patolojik veya cerrahi nedenlerden dolayı ortadan kalkması hallerinde hayatı devamı mümkün değildir. Bu kadar hayatı bir organda variasyonlara bağlı meydana gelebilecek hataların en minimuma indirilebilmesi amacıyla arteria hepatica variasyonlarının ve bu dalların ekstrahepatik safra kanalları ve vena porta ile olan komşuluklarının bilinmesi cerrahi müdahaleler açısından çok büyük önem taşımaktadır.<sup>1-5</sup>

Ritter,<sup>6</sup> Arteria hepatica'nın bağlama yerine göre mortalite oranının yükselebileceğini belirtmiş, arteria hepatica communis'in bağlanması anastomozları olması nedeniyle meydana gelecek kollaterallerden dolayı karaciğerin nekrozu yönünden korkulacak bir durumun ortaya çıkmayacağını, arteria hepatica propria'nın bağlanması karaciğeri bir miktar etkileyebileğini bu arterin sağ ve sol dallarının bağlanması ise karaciğerin ilgili lobunda total veya ciddi nekroza yol açabileceğini ifade etmiştir.

\* Hacettepe Üniversitesi Tıp Fakültesi Anatomi Bölümü Uzman Asistanı.

Bugüne kadar yapılan çalışmalarla araştırmacıların bulguları arasında farklar olduğu görülmektedir.

Konu ile ilgili varyasyonların bilinmesi cerrahi müdahaleler esnasında diseksiyonu kolaylaştıracağı gibi ameliyat komplikasyonları yüzdesini düşürerek cerraha yardımcı olacak ve ölüm sayısını azaltacaktır.

Memleketimizde bu konu ile ilgili yayına rastlanmamıştır. Konuya açıklık kazandırmak için bu çalışma planlanmış ve yapılmıştır.

#### *Materyal ve Metot*

Bu araştırma 5'i kadın, 25'i erkek 30 kadavra üzerinde yapılmıştır. Kadavralar klasik diseksiyon metodu ile açılmıştır.

Karin ön ve yan duvarlarını teşkil eden kaslar ve apenörozlar aynı ayrı disekte edilmeden karın ön duvarı direk kaldırılarak yanlara çevrildi.

Porta hepatis'te bulunan oluşumlar karaciğere giriş yerinden geldikleri veya sonlandıkları yere kadar takip edildiler.

Bursa omentalis'in arka duvarını yapan periton kaldırılarak aorta abdominalis'e ulaşıldı. Gerektiğinde diseksiyon sahası arteria mesenterica superior'a veya biraz aşağılara kadar genişletilerek varyasyon olup olmadığı incelendi. Varyasyonlar tespit edilip fotoğrafları çekildi.

#### *Bulgular*

Çalışmamızda arteria hepatica communis, kadavraların 29'unda (% 96,7) truncus coeliacus'tan, bir kadavrada ise (% 3,3) arteria mesenterica superior'dan çıkmaktadır (Şekil 1).

Arteria hepatica dextra 23 kadavrada (% 76,7) arteria hepatica propria'dan çıkmakta, 7 kadavrada (% 23,3) ise değişik çıkış yerli arteria hepatica dextra olarak bulunmaktadır. Değişik çıkış yerli arteria hepatica dextranın 2'si (% 6,7) arteria mesenterica superior'dan (Şekil 2), 4'ü (% 13,3) arteria hepatica communis'ten, 1'i de (% 3,3) aorta abdominalis'ten direk olarak ayrılmaktadır.

Arteria hepatica dextra, 30 kadavranın 5'inde (% 16,7) ductus hepaticus communis'i önden, 21'inde (% 70) arkadan çaprazlıyordu. 2 kadavrada (% 6,65) ductus hepaticus communis'e paralel seyrediyor, 2 kadavrada da (% 6,65) ductus hepaticus communis yerine ductus cysticus'u çaprazlıyordu. 1 kadavrada arteria hepatica accessoria dextra (% 3,3) tespit edilmiştir. Bu da truncus coeliacus'tan ayrılmaktadır.



Şekil 1

Arteria mesenterica superior'dan çıkan arteria hepatica communis.  
A) Arteria mesenterica superior.      B) Arteria hepatica communis.



Şekil 2

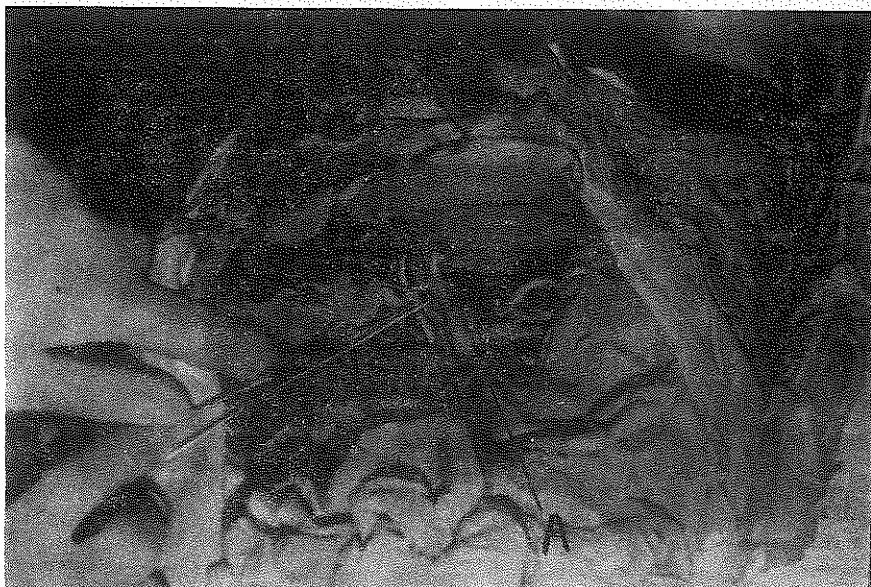
Arteria mesenterica superior'dan çıkan değişik çıkış yerli arteria hepatica dextra.  
A) Arteria mesenterica superior.      B) Arteria hepatica dextra.

Arteria hepatica sinistra 22 kadavrada (% 73,3) arteria hepatica propria'dan, 8 kadavrada ise (% 26,7) değişik çıkış yerli arteria hepatica sinistra olarak bulunmaktadır. Bu 8 değişik çıkış yerli arteria hepatica sinistra'nın 3'ü (% 10) arteria gastrica sinistra'dan, 5'i ise (% 16,7) arteria hepatica communis'ten ayrılmaktadır.

30 kadavranın 3'ünde (%10) arteria hepatica accessoria sinistra tespit edilmiştir. Bu dalların üçününde arteria gastrica sinistra'dan ayrıldığı görülmüştür.

Arteria hepatica media 30 kadavralık serimizin 7'sinde bulunmuştur (% 23,3). Bunlar arteria hepatica propria (% 3,3), arteria hepatica dextra (% 3,3) ve sinistra'dan çıkmaktadır (% 16,7).

Vena porta 3 kadavrada (% 10) ligamentum hepatoduodenale içerisinde en ön planda yerleşim göstermektedir (Şekil 3).



Şekil 3

Vena porta'sı önünde olan kadavralardan birinin fotoğrafı.

A) Vena porta.

Ligamentum hepatoduodenale içerisinde yer alan oluşumlar ve bu oluşumların komşulukları Tablo I'de özetalenmiştir.

TABLO I

LIGAMENTUM HEPATODUODENALE İÇERİSİNDE YER ALAN  
OLUŞUMLAR VE BU OLUŞUMLARIN KOMŞULUKLARI

Oluşumlar	Lokalizasyonu	Sayı	%
Arteria hepatica propria	Önde ve solda		
Ductus choledochus	Önde ve sağda	20	66,7
Vena porta	Arkada		
Arteria hepatica propria	Önde ve sağda		
Ductus choledochus	Arkada	1	3,3
Vena porta	Önde ve solda		
Değişik çıkış yerli a.hepatica sinistra	Önde ve solda		
Değişik çıkış yerli a.hepatica dextra	Arkada ve sağda	1	3,3
Ductus choledochus	Önde ve sağda		
Vena porta	Önde		
Değişik çıkış yerli a.hepatica sinistra	Önde ve solda		
Değişik çıkış yerli a.hepatica dextra	Arkada ve sağda	1	3,3
Ductus choledochus	Önde ve sağda		
Vena porta	Arkada		
Değişik çıkış yerli a.hepatica sinistra	Önde ve solda		
Değişik çıkış yerli a.hepatica dextra	Önde ve ortada	3	10,0
Ductus choledochus	Önkde ve sağda		
Vena porta	Arkada		
Arteria hepatica propria	Arkada ve solda		
Ductus choledochus	Arkada ve sağda	1	3,3
Vena porta	Önde		
Arteria hepatica dextra	Önde ve solda		
Ductus choledochus	Önde ve sağda	2	6,7
Vena porta	Arkada		
Arteria hepatica propria	Önde ve solda		
Değişik çıkış yerli a.hepatica dextra	Arkada ve sağda	1	3,3
Ductus choledochus	Önde ve sağda		
Vena porta	Arkada		

*Tartışma ve Sonuç*

Arteria hepatica ve hepatik dalların varyasyonları ile ilgili muhtelif yazarlarca değişik görüşler ileri sürülmüştür.

Hector, arteria hepatica ve hepatik dalların % 41,<sup>7</sup> Rappaport, % 50,<sup>8</sup> Meiller, % 30,<sup>9</sup> Combe, % 22,<sup>10</sup> Michels, ise % 45 oranında varyasyonlu dağılım gösterdiğini belirtmiştir.<sup>11-14</sup>

Bizim çalışmamızda bu oran % 46,7 olarak tespit edilmiştir.

Arteria hepatica communis'in normalde truncus coeliacus'tan çıkış oranını Michels<sup>11-13</sup> % 90, Daseler % 83,2<sup>15</sup>, Miguel % 89,5<sup>16</sup> Johnston % 91,4<sup>17</sup> olarak rapor etmişlerdir. Yaptığımız çalışmada bu oran % 96,7'dir.

Woodburne, yayınlandıği raporunda arteria mesenterica superior'dan ayrılan değişik çıkış yerli arteria hepatica dextra'yı % 14,<sup>18</sup> Daseler ise % 11,2,<sup>15</sup> olarak bulmuştur. Ayrıca Daseler arteria hepatica accessoria dextra'yı % 7,2 oranında tespit etmiştir. Bizim çalışmamızda değişik çıkış yerli arteria hepatica dextra'nın % 6,7 arteria mesenterica superior'dan, % 13,3 arteria hepatica communis'ten, % 3,3 aorta abdominalis'ten direk ayrıldığı, arteria hepatica accessoria dextra'nın ise % 3,3 oranında olduğu saptanmıştır. Bulgularımızın bahsedilen araştırmacıların verilerinden çok farklı olduğu görülmüştür. Arteria hepatica dextra kıvrıntılar gösterebilir. Bu durum nadir olmasına rağmen cerrahi yönden oldukça önemlidir. Çalışmamızda kıvrıntı arteria hepatica dextra'ya rastlanmamıştır.

Michels<sup>11</sup> yayınladığı raporunda 54 kadavrada bulduğu varyasyonlu arteria hepatica sinistra'nın 46'sının arteria gastrica sinistra'dan ayrıldığını, bunların 23'ünün değişik çıkış yerli arteria hepatica sinistra, diğer 23'ün de arteria hepatica accessoria sinistra olduğunu tespit etmiştir. Vandamme<sup>19</sup> varyasyon gösteren arteria hepatica sinistra'yı % 30 olarak bulmuş, bunların arteria gastrica sinistra'dan çıkışlı olduğunu açıklamıştır.

Bizim çalışmamızda değişik çıkış yerli arteria hepatica sinistra % 26,7 oranında tespit edilmiştir. Bunların % 10'u arteria gastrica sinistra'dan % 16,7'si ise arteria hepatica communis'ten ayrılmaktadır. Arteria hepatica accessoria sinistra % 10 oranında tespit edilmiştir ve bunların hepside arteria gastrica sinistra çıkışlıdır.

Çalışmamızda da arteria hepatica media'nın daha çok arteria hepatica sinistra'dan çıktıgı görülmüştür. Görülme oranı araştırmacıların verilerinden farklı olarak bulunmuştur.

Michels, arteria hepatica dextra'ların ductus hepaticus communis'i önden çaprazlama oranını % 12,<sup>13</sup> Daseler % 16,<sup>15</sup> Ellis % 25,<sup>20</sup> Grant ise % 24,<sup>21</sup> olarak tespit etmişlerdir. Eyrice Grant,<sup>21</sup> vena

porta'nın ductus choledochus'un önünde seyretme oranını % 9 olarak belirtmiştir. Çalışmamızda arteria hepatica dextra'nın ductus hepaticus communis'i önden çaprazlama oranı % 16,7, vena porta'nın ductus choledochus ve arteria hepatica propria'nın önünde seyretme oranı ise % 10 olarak tespit edilmiştir. Bulduğumuz sonuçların araştırcıların verilerinin bir kısmı ile uyum içinde bir kısmından ise farklı olduğu saptanmıştır. Bu araştırmada sonuç olarak; Arteria hepatica communis'in çoğunlukla truncus coeliacus'tan, arteria hepatica dextra ve sinistra'nın arteria hepatica propria'dan ayrıldığı bulunmuştur. Değişik yerden çıkan arteria hepatica dextra ve sinistra'ların çoğunlukla arteria hepatica communis'ten ayrıldığı görülmüş olup, arteria hepatica accessoria dextra'ya çok az rastlanmıştır. Ayrıca arteria hepatica dextra'nın ductus hepaticus communis'i büyük çoğunlukla arkadan çaprazladığı, nadiren ona paralel seyredebileceği tespit edilmiştir. Arteria hepatica accessoria sinistra'ların çoğunlukla arteria gastrica sinistra'dan çıktığı görülmüştür.

Ligamentum hepatoduodenale içerisinde yer alan oluşumlar çoğunlukla normal yerleşim göstermekte olup, çok az oranda vena porta ön planda yer almaktadır. Yukarıdaki bulgular ve literatürden anlaşıldığına göre, bu bölgeye yapılacak müdahalelerde karaciğerde total veya kısmi nekrotik hadiselere sebep olmamak için cerrahların son derece dikkatli olmaları gereklidir.

### Özet

Bu çalışmada arteria hepatica communis'in truncus coeliacus'tan başladığı yer ile karaciğere giden dalların çıkış yerleri ve bu dalların estrahepatik safra kanalları ve vena porta ile olan komşulukları incelenmiştir.

Çalışma, 5'i kadın 25'i erkek 30 kadavra üzerinde yapılmıştır. Vakaların çoğunda arteria hepatica communis'in normal yerinden çıktığı görülmüş ancak bu arterin hepatik dallarının (Arteria hepatica dextra, sinistra, media), gerek çıkış yerleri gerekse ekstrahepatik safra kanalları ve vena porta ile olan komşulukları açısından varyasyon gösterdiği saptanmıştır.

### KAYNAKLAR

1. Kayabali, İ.: Arteria Hepatica'nın Bağlanması ve sonuçları. Karaciğer, Karaciğer Dışı Safra Sistemi, Pankreas, Dalak ve Portal Dolaşım Şirurjisi. Ankara Üniversitesi Tıp Fakültesi Yayımları, Balkanoğlu Matbaacılık Ltd. Şirketi. 1962, s. 112-114.
2. Edwards, A. E.: Operative Anatomy of Abdomen and Pelvis, Lea-Febiger, Philadelphia, 1975, pp. 154-155, 166-169.

3. Stevenson, L. V.: Biliary Tract Surgery and Cholangiography, C. Thomas Publishers, Springfield, Illinois U. S. A. 1973, pp. 67-69, 153.
4. Maingot, R.: Abdominal Operations, ed. 5, Appleton -Cuntury-Grofts Educational Division, Meredith Corporation, 1969, pp. 802-803.
5. Thompson, J. S.: Core Textbook of Anatomy, J. B. Lippincott Company, Philadelphia, Toronto, 1979, pp. 311-322.
6. Browne, E. Z.: Variations in origin and course in hepatic artery. Southern Medical Journal, **28**: 599, 1935.
7. Hector, A., et Florent, R.: Le problémé dela Ligature de l'artére Hépatique. La Presse Medicale, **59**: 1614, 1951.
8. Rappaport, A. M.: Karaciğer Hastalıkları, baskı 3. Çeviren Menteş, N. K., Ege Üniversitesi Matbaası, 1973, s. 31-32.
9. Alexandre, J. H.: Dans Artériographie Hépatique. Editépar. Jean-Louis Lamarge, Deuxième Partie. 63-64. Masson et C e, Editeurs 120, Boulevard Saint-Germain, Paris. 1974.
10. Combe, J., Gallinet, D., Weill, F., Milleret, P.: A study of 30 right hepatic arteries. International Surgery, **61**: 112, 1976.
11. Michels, N. A.: The hepatic, cystic and retrooduodenal arteries and their relations to the biliary ductus. Annals of Surgery, **133**: 503, 1951.
12. Schaeffer, J. P.: Morris' Human Anatomy, The Blakiston Division, Mc Graw-Hill book Company Inc., New-York. 1953, pp. 697-703.
13. Michels, N. A.: Variational anatomy of the hepatic, cystic and retrooduodenal arteries. A. M. A. Archives of Surgery, **66**: 20, 1953.
14. Khazei, A. M., Watkins, E.: Hepatic artery anomalies or deformities managed during infusion chemotherapy of Liver cancer. The Surgical Clinics of North America, **45**: 639, 1965.
15. Daseller, H. E., Anson, B. J.: Cystic artery and constituents of hepatic pedicle. Surgery, Gynecology and Obstetrics, **85**: 47, 1947.
16. Eyler, W. R.: Radiological anatomy of the coeliac trunk. Radiology, **100**: 721, 1971.
17. John Ton, E. V. and Anson, B. V.: Variation in the formation and vascular relationships of bile ductus. Surgery Gynecology and Obstetrics, **94**: 669, 1952.
18. Woodborne, R. T.: Essentials of Human Anatomy, ed. 4, Oxford University Press, New York, London, Toronto. 1969, pp. 396, 417.
19. Wandamme, J. P. J., Bonte, J. and G. Vander Schueren: A revaluation of hepatic and cystic arteries. The importance of the aberrant hepatic branches. Acta Anatomica, **73**: 192, 1969.
20. Ellis, H.: Clinical Anatomy, Black Well Scientific Publication, Oxford, London, Melborne, 1966, p. 93.
21. Grant, J. C.: A Method of Anatomy, Descriptive and Deductive, ed. 6, The Williams and Wilkins Company, Baltimore, 1958, p. 259.

# Sıçan Çene Altı Tükürükbezi İnce Yapı ve Histokimyasal Özellikleri\*

**Dr. Esin Aşan\*\***

**S**içanda çene altı tükürük bezi geleneksel seröz-müköz-seromüköz tanımla uygunluk göstermeyen özgün bir yapısı ve salgılaması olan bir bezdir. Salgı işlevini üstlenen parankima son bölümle (asinus), salgı kanallının son bölümüne yakın üst bölümünün özel bir biçimde farklılaşmasından oluşan (granüler kıvrıntılı tubulden) oluşur.<sup>1-7</sup>

Yapısal olarak son bölüm hücreleri müköz hücrelere benzerlerse de, üretikleri salgı müköz salgısından farklıdır.<sup>5, 6</sup> Bu nedenle son bölüm salgı hücrelerinin değişik adlandırılmaları yapılagelmiştir.<sup>8, 9</sup>

Granüler tubul salgı hücrelerinin granülleri seröz granüllere benzerler.<sup>10, 11</sup> Ancak salgı hücrelerinin yapısı seröz türde salgı üreten hücrelerden çok farklıdır.<sup>2, 4, 7, 11</sup>

Bu çalışmada, bilinenden çok değişik bir yapı gösteren bu özel bezin yapı işlev ilişkisine açıklık kazandırmak amacı güdüldü. Salgı içeriği histokimyasal özellikleriyile, salgı hücrelerinin yapı ayrıntıları ince yapı düzeyinde incelendi.

## *Materiel ve Yöntemler*

Araştırma için yaklaşık 200 gr ağırlığında ergin, erkek, İsviçre tipi albino sıçanlar kullanıldı. Salgılama döngüsünü düzenlemek üzere 24 saat sadece su verilerek aç bırakılan hayvanların çene altı tükürük bezleri çıkarıldı. Işık mikroskopu incelemeleri için, kalsiyum asetatla tamponlanmış formalin solüsyonuyla tesbit edilen parçalardan elde edilen kesitler alsıyan mavisi; (pH, 2,6-1,7), PAS birleşik boyasıyla boyandılar.<sup>8, 12</sup> Elektron mikroskopu için ayrılan parçalar önce % 2,5 gluteraldehid,

\* Hacettepe Üniversitesi Tıp Fakültesi Histoloji-Embriyoloji Bilim Dalı Çalışmalarından.

\*\* Aynı Bilim Dalı Öğretim Üyesi.

% 1 akrolein karışımında (M/15 fosfat tamponlu), daha sonra aynı tampondaki % 1 osmiyum tetroksid solüsyonlarıyla tesbit edildi.<sup>13</sup> Araldite gömülü elektron mikroskopu örneklerinden alınan ince kesitler uranil asetat ve kurşun sitratla<sup>14</sup> çift boyandılar. Carl Zeiss 9 S 2 ye dönüştürülmüş EM 9 A elektron mikroskobunda incelendiler.

### *Bulgular*

#### **a- Işık Mikroskopu Bulguları**

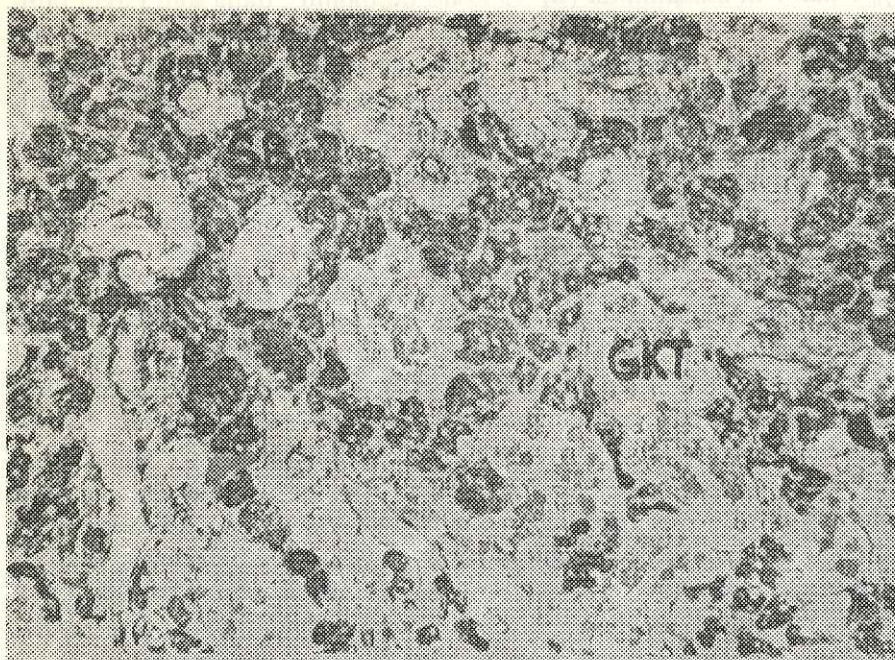
Alsiyan mavisi-PAS (pH 2,6-1,7) boyasıyla boyanmış, sıçan çene altı tükürük bezinde salgı üreten son bölüm ve granüler kıvrımlı tubul hücrelerindeki salgı granüllerinin değişik boyanma özellikleri ayırdedildi. Son bölüm ve tubullerin salgı granülleriyle dolu olduğu belirgindi. Küçük büyütmelerde granüler kıvrımlı tubuller uzun düzgün olmayan borucuklar biçiminde seçildiler. Tubulleri çevreleyen salgı hücrelerinin içleri PAS'la boyanmış salgı granülleriyle doluydular. Arada uzun süreli aç bırakılmayınca salgılanmanın olaylandığını belgeleyen granülerini boşaltmış hücrelerin oluşturduğu tubul kesitlerine rastlandı. Orta boşluğa atılan salgı materyeliyle atılmamış granüllerin boyanmaları ayniydi.

Son bölmeler granüler kıvrımlı tubuller arasına dağılmıştı. Son bölümü oluşturan hücrelerin yapı ayrıntıları belirgin değildi. Küçük büyütmelerde son bölmeler eşit olarak alsiyan mavisi ve PAS'la boyanmıştı (Şekil 1). İleri ışık mikroskopu büyütmelerinde son bölmeleri birbirinden ayıran ve basal laminayı da içeren ince bağ dokusu bölgeleri seçildiler. Hücrelerin salgıyla dolu oldukları ve sıkıca paketlenmiş biçimde birarada ufak son bölmeler oluşturdukları seçildi.

İleri ışık mikroskopu büyütmelerinde granüler kıvrımlı tubulu çevreleyen salgı hücrelerindeki granüllerin hücrelere doldukları belirgindi. Atılmasına hazırlanan granüllerin apikal sitoplazmada toplandıkları gözlandı. Granüller atılma durumunda tanecikli yapılarını yitirip birbirleriyle birleşerek homogen salgı kitleleri oluşturmuşlardır (Şekil 2).

#### **b- Elektron Mikroskopu Bulguları**

Son bölmeleri oluşturan salgı hücreleri kabaca piramid biçimli, soluk renkli salgı granülleriyle dolu olarak gözlendiler. Hücrelerin bir-birleriyle interdigitasyonlar yapacak biçimde zar komşuluğu seçildi. Apikale yakın bölgede hücreleri mekanik olarak birbirlerine kenetleyen bağlantı kompleksleri iyi gelişmişti. Sitoplazma içinde, çekirdekler bazelle itilmişti; biçimlerinin hafifçe yassı, düzgün sınırlı, bazen da girintili



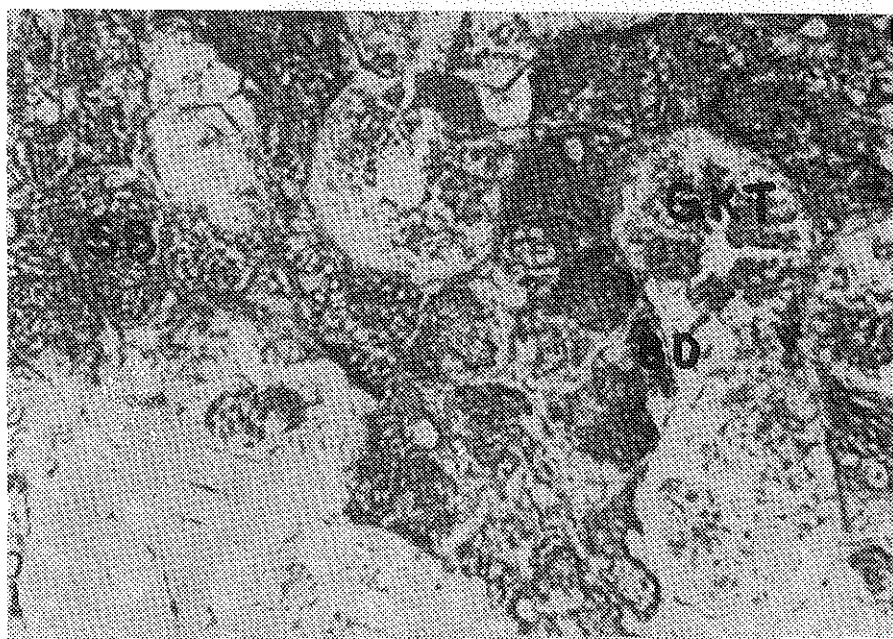
Şekil 1

Çene altı tükürük bezinde son bölmelerle aralarındaki granüler kıvrımlı tubullerin kesitleri gözleniyor. SB, son bölüm; GKT, granüler kıvrımlı tubul. Alsiyan mavisi-PAS boyası. X 16.

cıkıntılı olduğu görüldü. Çekirdekçik iyi gelişmiş bir ya da birden fazla bulunmaktaydı. Birbirine paralel düzgün biçimde iyi gelişmiş granüllü endoplazma retikulumu hücrelerin alt ve yan bölgelerinde yayılmaktaydı. Ayrıca salgı granülleri arasında kısa sarnıçlar biçiminde granüllü endoplazma retikulumu ve bağımsız ribozomlar göze çarptı. Mitokondriyonlar, hücre yan yüzlerine yakın ve granüllü endoplazma retikulumunun sarnıçları arasına serpilmiş, uzun tubuler, yuvarlakça, bazen de düzensiz yapıdaydılar.

Salgı granülleri ince noktacıklı görünümde olup değişen koyuluktaydılar. Küçük büyütmelerle granüllerin sitoplazma içinde çoğulukla tek tek serpildikleri ilgiyi çekti.

Seyrek olarak salgı granül kümeleri oluşturacak biçimde birleşikleri, granül zarının çoğulukla kesintisiz ve belirgin olduğu seçildi. Granüllerin birleşme bölgelerinde zarların eriyip granül içeriklerinin kaynaştıkları görüldü (Şekil 3,4).

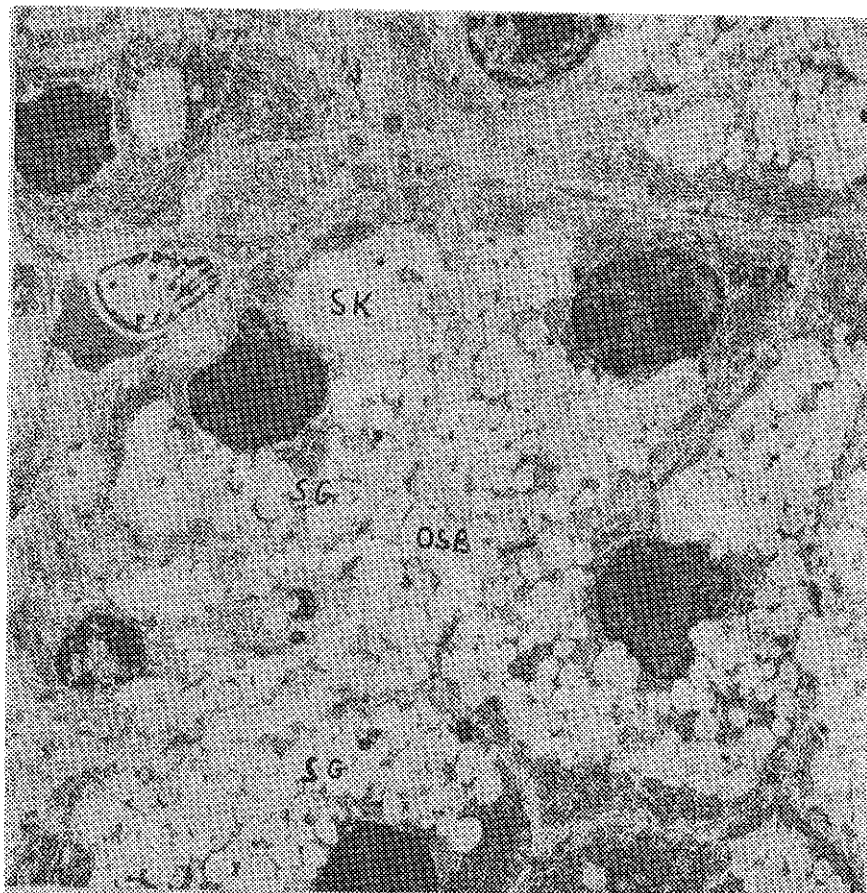


Şekil 2

Daha büyük büyütmede son bölmelerle granüler kıvrımlı tubullerin salgı hücreleri içindeki salgı materyeli izleniyor. Tubul hücrelerinde salgı materyeli orta salgı boşluğu çevresinde toplanmıştır. Son bölmelerin bazal laminayı da içeren bağ dokusu bölmeleriyle birbirlerinden ayrıldığı gözleniyor. SB, son bölüm; GKT, granüler kıvrımlı tubul; BD, bağ dokusu bölmeleri Alsiyan mavisi-PAS boyası . X 40.

Orta salgı boşluğu dar olan son bölmelerin yanısıra salgılanmanın açlık sürecinde bile olaylandığını belgeleyen geniş lumenli son bölmelerde ayırdedildi. Hücre içinde içerik ve elektron yoğunluğu orta salgı boşluğuyla eş yapıların, orta boşluğun hücre içi uzantıları olduğu izlenimi alındı. Bu tür hücre içi orta boşluk uzantılarına da granül atılmanın olaylandığı seçildi. Granüller atılmaya yakın birbirleriyle birleşmekteydiler. Hücre üst yüz zarında granüllerin atılım bölgeleri, büyük-küçük çöküntüler biçiminde ayırdedildiler. Granülin atıldığı anda değme bölgesindeindeki zarın açıldığı granül içeriğinin lumene boşlığı seçildi. Apikal yüzdeki düzensiz mikrovilluslar iyi gelişmemişlerdi (Şekil 5).

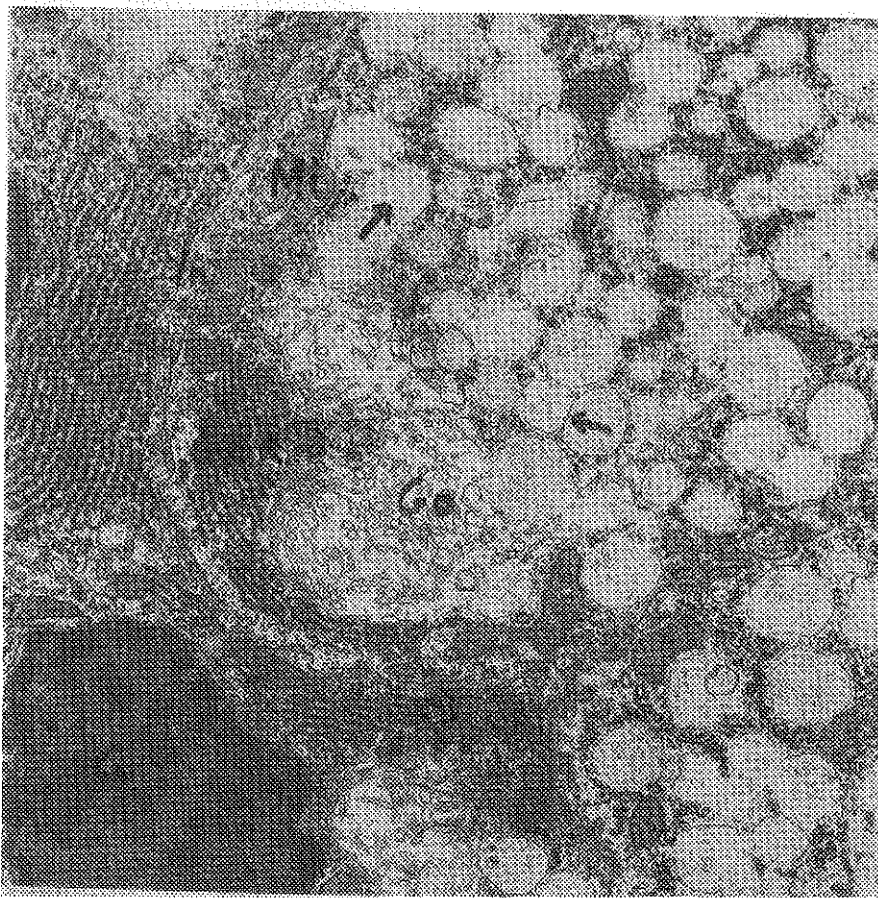
Açlık sürecinde bile çok sayıda salgı atılının belirgin olduğu bölmelerin yanısıra, salgı üretimine başlayan, öteki son bölmelerin varlığı ilgiyi çekti. Bu tür son bölüm hücrelerinde salgının oluşum biçimi yapısal olarak izlenebildi. Sarnıçları birbirine paralel düzenlenmiş bazal granüllü endoplazma retikulumuna komşu genişlemiş Golgi bölgesi ayırdedildi. Golgi kompleksi, granüllü endoplazma retikulumuna bitişik



Şekil 3

Son bölümlerin küçük büyütülmeli bir elektron mikrografi gözleniyor. Hücre çekirdekləri ve granüllü endoplazma retikulumu bazalde yerlesiktir. Hücre üst yarımı az yoğun salgı granülleriyle doludur. Seyrek lizozomlarla salgı kitleleri dikkat çekiyor. OSB, orta salgı boşluğu; GER, grantüllü endoplazma retikulumu; SG, salgı granülli; SK, salgı kitlesi; C, çekirdek; Li, lizozom. Uranil asetat, kurşun sitrat. X 5700.

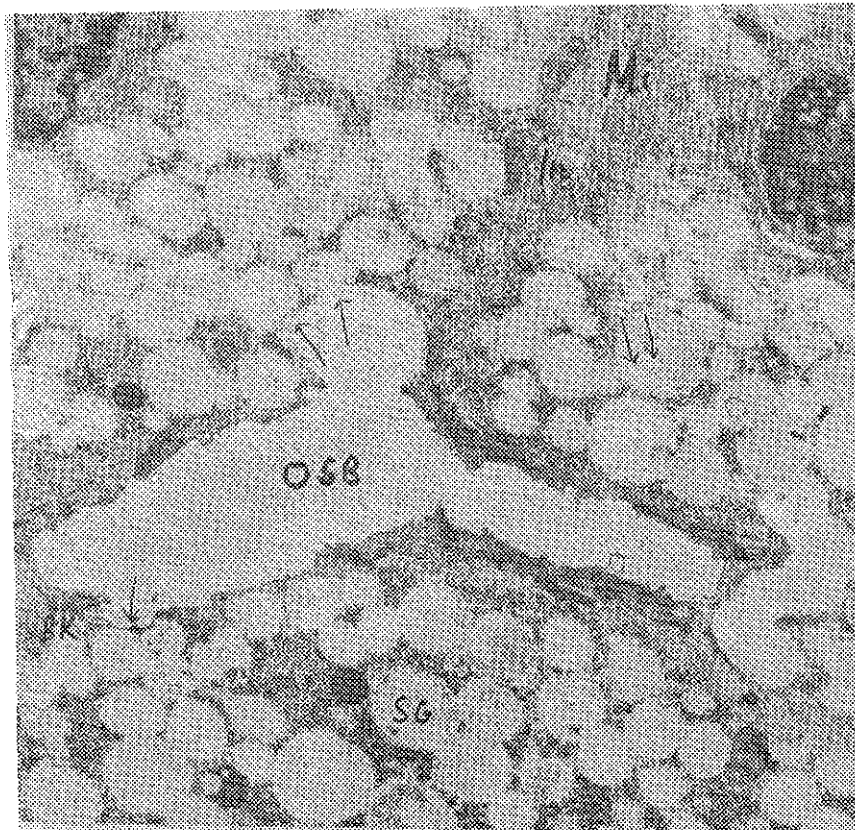
bölümde uzun-basık sarnıçlardan oluşmuştu. Orta bölümde, düz yüzeyli keseciklerle genişlemiş sarnıçların kesitleri seçildi. Öncül salgı granüllerinin oldukça elektron yoğun bir iç yapıları vardı. Kesintili bir zarla çevrelenmişlerdi. Hücre üst yüzeyine doğru toplanan olgunlaşmış granüller az elektron yoğun olup, seyrek tanecikli bir iç yapıdaydilar. Az ve çok yoğun granüllerin birbirleriyle birleşikleri, çok yoğun olanların içeriklerini daha az yoğun olanlara boşalttıkları izlenimi alındı (Şekil 4,5). Salgı hücrelerinde, açılığa bağlı olarak oluşan hücre içi yıkımla ilgili seyrek lizozomlarla, kalıntı materyeli izlendi (Şekil 3,5).



Şekil 4

Son bölümü oluşturan hücrelerin ayrıntılı yapısı gözleniyor. Salgı granülleriley dolu sitoplazmada, Golgi kompleksinin granüllü endoplazma retikulumuyla birlikte bazalde yerleştiği ilgiyi çekiyor. Golgi bölgesinden salgı granüllerinin biçimlendiği ayırdılıyor. Az yoğun ve çok yoğun granüller arasındaki ilişkiler belirgindir (ok). In interdigitasyon; SG, salgı granülli; Go, Golgi kompleksi; Mi, mitokondriyon; GER, granülli endoplazma retikulumu. Uranil asetat, kurşun sitrat.  $\times 14100$ .

Granüller kıvrımlı tubulleri çevreleyen hücreler, değişik yoğunluk ve büyülükteki granüllerle sıkı sıkıya doluydular. Kabaca silindirik biçimli epitel hücrelerinin iyi gelişmiş bazal zar katlantıları arasında, sitoplazma içinde yerleşik çok sayıda mitokondriyonlar izlendi. Hücrelerin yan yüzleri boyunca interdigitasyonlar aracılığıyla sıkı ilişkide oldukları, orta boşluğa yakın üst bölgelerde bağlantı kompleksleriyle kentlendikleri seçildi. Orta boşluğa doğru uzanan kısa düzensiz mikrovilluslar ayıredildi. Bazı hücrelerin üst yüz sitoplazmalarının, orta salgı boşluğununa doğru şıp kabardıkları seçildi. Bu şişkinliklerin içe-

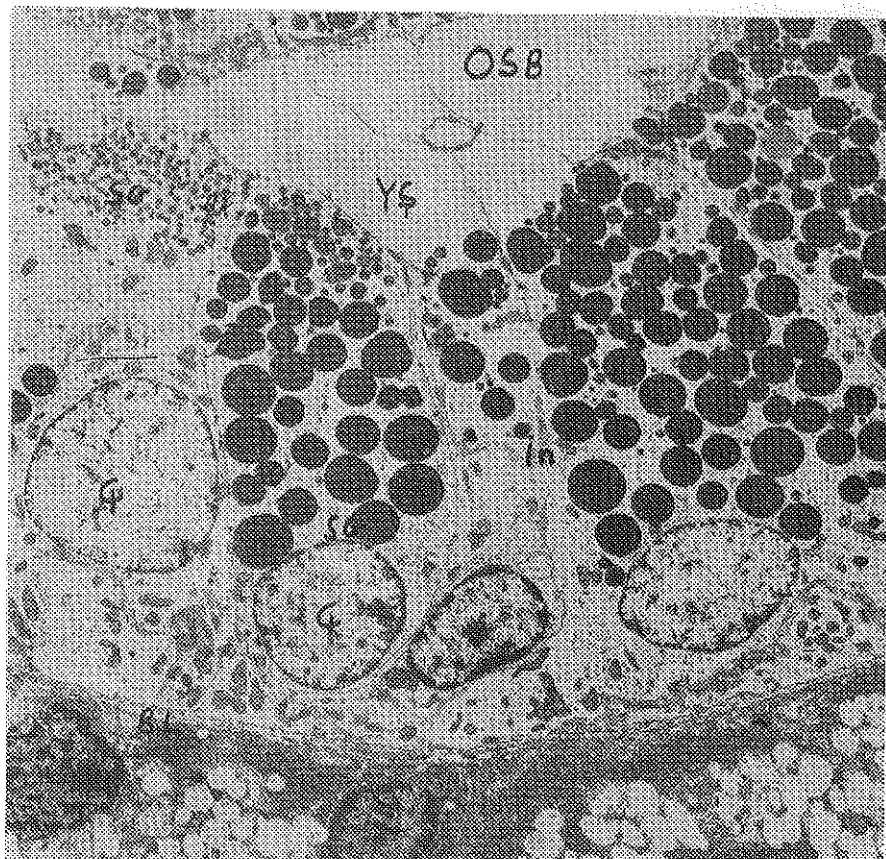


Şekil 5

Son bölüm salgı hücrelerinin orta salgı boşluğununa bakan bölümleri gözleniyor. Salgı granülleri az yoğun ince tanecikli bir yapıdadır. Arada yoğunluğu fazla granüllerde izleniyor. (çift oklar) Salgı granüllerinin, salgılarını orta boşluğa boşalttıkları seçiliyor (ok). OSB, orta salgı boşluğu; SG, salgı granülü; In, interdigitasyon; Mi, mitokondriyon; BK, bağlantı kompleksi. Uranil asetat, kurşun sitrat. X 14.100.

riklerinin sitoplazmaya göre, daha az yoğun oldukları, ribozomlara benzer ince taneciklerle dolu oldukları gözlandı. Orta boşlukta üst yüz şişkinliklerine benzeyen kopmuş materyel birikimi izlendi. Apikal yüz boyunca toplanmış salgı granüllerinin üst yüz şişkinliklerinin içine girmediği, üst yüz şişkinliklerinin dibinde sitoplazmanın elektron yoğun bir bant oluşturduğu göze çarptı (Şekil 6-9).

Salgıyla dolu hücrelerde çekirdek bazale itilip yassılaşmıştı. Salgısını boşaltmış olanlardaysa yuvarlak biçimli çekirdekler hücrelerin ortasına yerleşmişlerdi (Şekil 6-8). Genellikle hücrelerin organel içeriği seyretti. Granüllü endoplazma retikulumu sarnıçları kısa, basık biçimli olup gelişigüzel dağılmışlardı. Golgi bölgesi dardı. Glikojen bolluğu göze çarptı (Şekil 10).

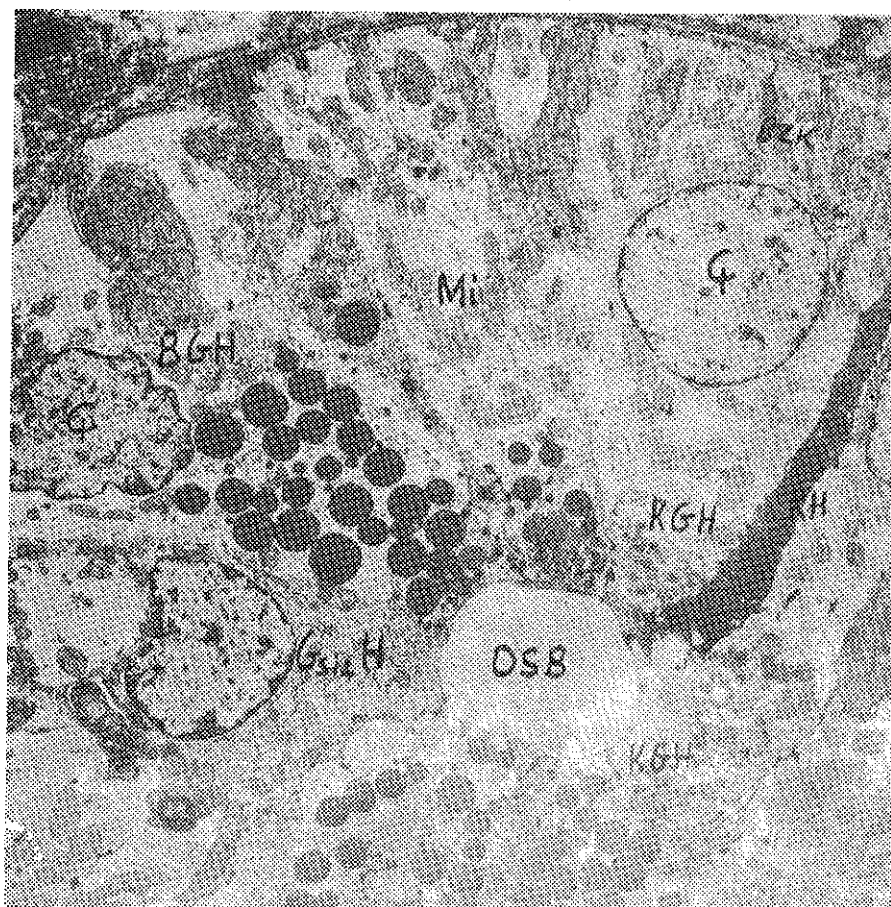


Şekil 6

Granüler kıvrımlı tubul duvarını oluşturan hücreler gözleniyor. İçlerinde değişik büyüklük ve yoğunlukta salgı granülleri toplanmıştır. Hücreler arasındaki interdigitasyonlarla bağlantı kompleksleri, üst yüzde yüzey şişkinlikleri dikkat çekiyor. OSB, orta salgı boşluğu; YŞ, yüzey şişkinliği; In, interdigitasyon; SG, salgı granülü; BK, bağlantı kompleksi; G, çekirdek. Uranil asetat kurşun sitrat. X 5700.

Tubullerin bazı bölmelerinde orta boşluğu çevreleyen tek tür hücrelerdeki salgı granülleri küçük, orta köyulkukta ve homogendi. Salgı matelyeli hücrelerin apikal sitoplazmalarında toplanmıştır (Şekil 8,9). Bazı tubul kesitlerinde heterojen salgı granülleri içeren hücrelerle birlikte, içlerinde salgı granülü bulunanmayan koyu sitoplazmali hücreler ayırdedildiler (Şekil 6,7,8,10).

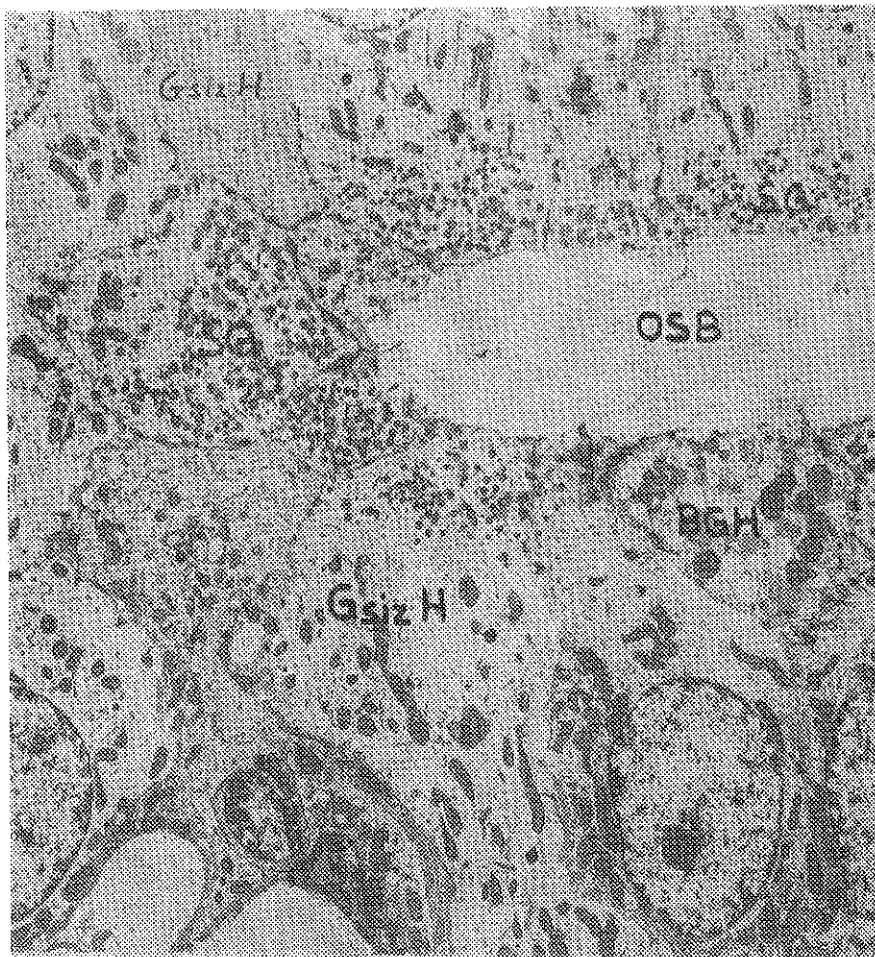
Belirli tubulleri çevreleyen, epitel hücrelerinin salgı granülleri iri, yoğun ve homogendi. Böyle büyük granüllerin hücre üst bölmelerinde aynı yapıda daha küçük salgı granülleriyle kaynaştığı izlendi. Yer yer yuvarlak çekirdekli granülsüz bazal hücreler ayırdedildi (Şekil 6). Tu-



Şekil 7

Değişik salgı granülleri içeren hücrelerden olmuş bir tubul kesiti gözleniyor. Büyüğün yoğun granüllü hücrelerin yanı sıra keseciklerde içeren açık renk küçük granüllerle dolu hücrelerde seçilüyor. Arada granülü bulunmayan ve sitoplazma içeriği koyu ince uzun hücreler vardır. OSB, orta salgı boşluğu; BGH, büyük granüllü hücre; KGH, küçük granüllü hücre; GSIZ H, granülsüz hücre; G, çekirdek; Mi, mitokondriyon; BZK, bazal zar katlantıları. Uranil asetat kurşun sitrat. X 5700.

bullerin başka bölümlerinde ise hücre çeşitliliği çok belirgindi. Salgı granüllerinin büyülüğu içeriği ve yoğunluğu hücreye göre değişti. Hücrelerin bazılarında büyük koyu salgı granülleriyle iri içleri boş görünen, kesecikler biraradaydı. Ayrıca sitoplazma içeriğine bağlı olarak açık ve koyu diye tanımlanabilecek hücreler ayırdedildi. Koyu hücrelerinse içinde granül bulunmayan ve içleri büyük elektron yoğun granüllerle dolu iki türü seçildi. Açık renk sitoplazmali hücrelerdeyse değişik granül tiplerinin birarada bulunduğu gözlandı. Granülsüz koyu



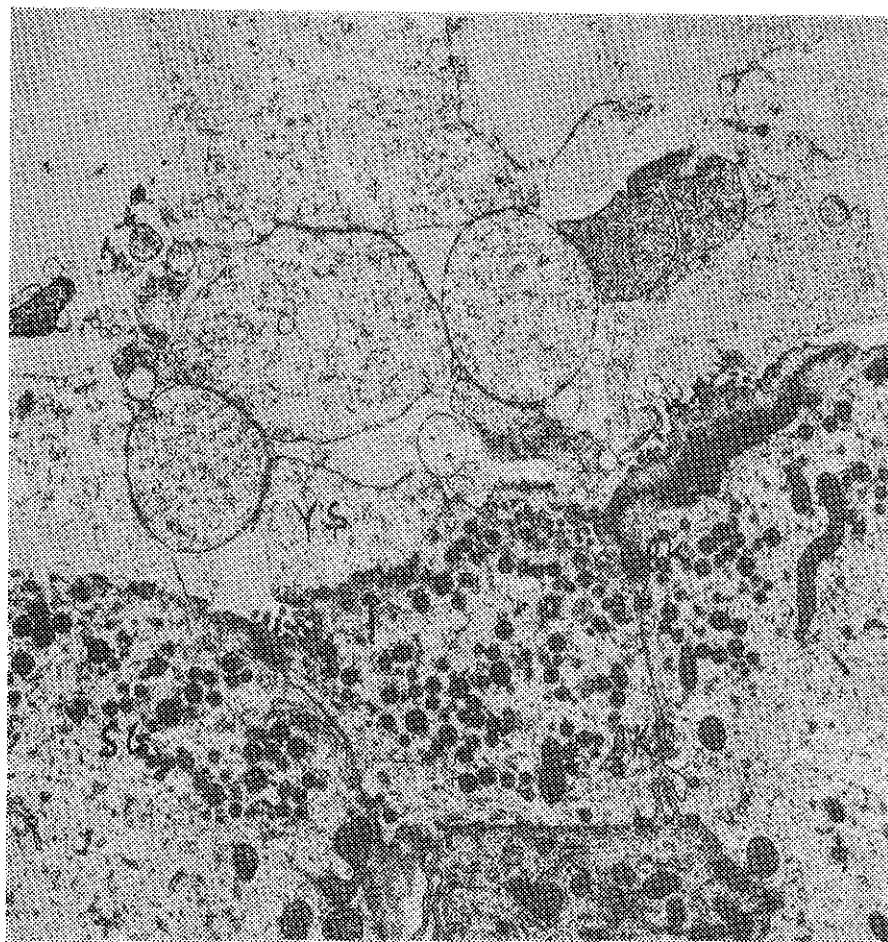
Şekil 8

Granüler kıvrımtılı tubul duvarının bir başka bölümü gözleniyor. Hücreler çoğunlukla aynı büyüklükte az yoğun salgı granülleriyle doludur. OSB, orta salgı boşluğu; SG, salgı granülü, BGH, büyük granülü hücre; G siz H, granülsüz hücre.

hücrelerde, Golgi kompleksi ve granüllü endoplazma retikulumu belirgindi (Şekil 6,7,10). Bu denli çeşitlilik gösteren hücrelerin yanı sıra seyrek olarak oldukça özel yapıda bir grup hücre daha ilgiyi çekti. Hücreler dar ince uzun biçimli ve yoğun bir sitoplazma matriksi içine dağılmış iri ve az ve çok yoğun salgı granülleriyle doluydular (Şekil 7).

#### Tartışma

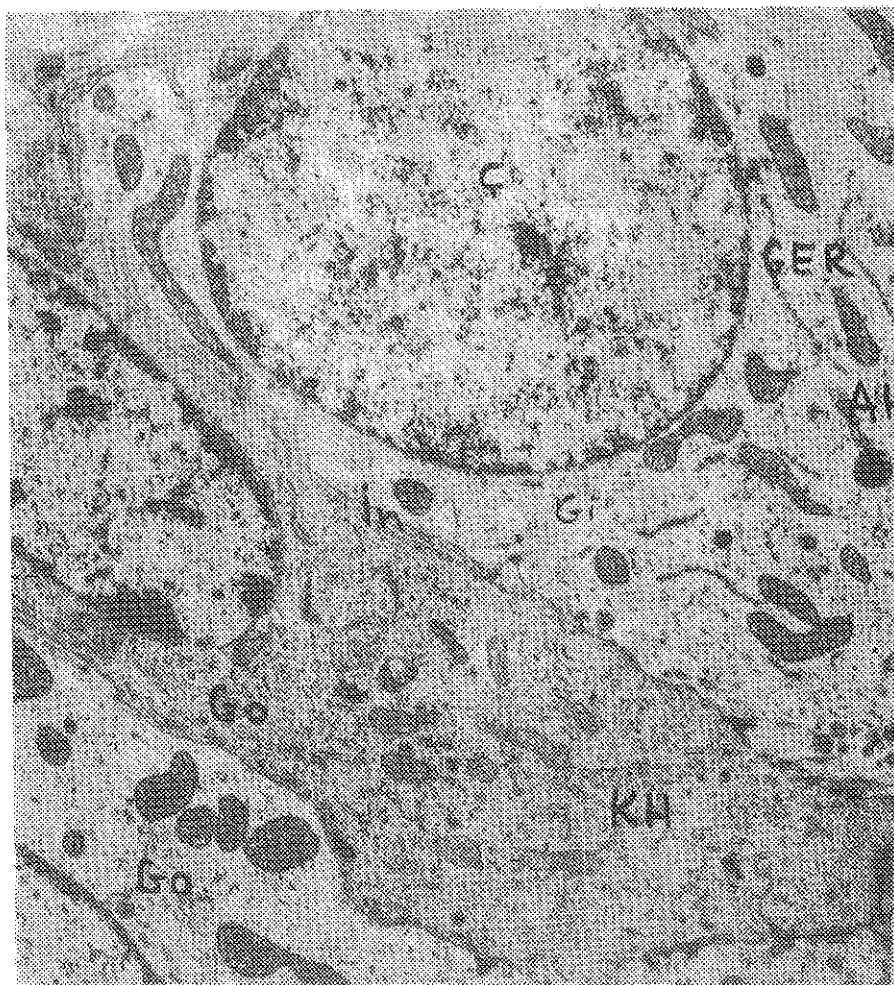
Sığcanda çene altı tükrük bezi son bölümlerini oluşturan salgı hücreleri, kabaca piramit biçimli eş yapıdaki hücrelerden oluşur.



Şekil 9

Granüler kıvrımlı tubul hücrelerinin orta salgı boşluğununa bakan apikal yüz ayrıntıları gözleniyor. Hücrelerin üst yüzeylerinde içlerinde salgı granülü bulunmayan şişkinliklerle, şişkinliğin dibindeki sitoplazma yoğunluğu belirgin (ok) YŞ, yüzey şişkinliği; BK, bağlantı kompleksi; SG, salgı granülü. Uranil asetat kurşun sitrat. X 14.100.

Yapısal olarak mukoz hücrelere benzerler.<sup>2-7</sup> Çekirdekleri yuvarlak, yassi biçimli olup, bazale itilmiştir. Kromatin dağılımı ortokromatik olan çekirdekte, çekirdekçik oldukça sık izlenir.<sup>7</sup> Hücre organelleri çekirdek altı ve çevresinde toplanmışlardır. Çekirdek üstündeki sitoplazmada salgı granülleri sıkça birarada bulunurlar.<sup>4, 7</sup> İyi gelişmiş granüllü endoplazma retikulumu bazalde yerleşik, birbirine paralel düzgün sarnıçlardan oluşur.<sup>7</sup> Bağımsız ribozomlar salgı granülleri arasında dar sitoplazma şeritleri içinde gözlenebilir. Golgi kompleksi çekir-



Şekil 10

Granüler tubuldeki koyu ve açık hücreler gözleniyor. Koyu hücrede organeller iyi gelişmiştir. Açık hücrede ise kısa dağınık granüllü endoplazma retikulumu, glikojen tanecikleri gözleniyor. AH, açık hücre; KH, koyu hücre; Go, Golgi kompleksi; GER, granüllü endoplazma retikulumu; In, interdigitasyon. Uranil asetat kurşun sitrat.

X 25500.

değin çevresinde ya da salgı granülleri arasında izlenir. Mitokondriyonlar tubuler biçimlidir, yan ve alt hücre zarına yakın yerleşirler<sup>4,7</sup>

Son bölüm hücreleri, birbirleriyle olağan dışı sayılabilcek biçimde interdigitasyonlar yaparak ilişki kurarlar ve orta boşluğa yakın bölgelerde bağlantı kompleksleriyle kenetlenirler.<sup>5,7</sup> Orta salgı boşluğu (lumen) normalde oldukça küçüktür. Üst yüz hücre zarında düzensiz mikrovilliolarla büyülü, küçüklü çöküntüler vardır. Bu çöküntülerin küçükleri

ekzositosisin kalıntıları, küçükleriyse apikal yüzdeki keseciklerin ön biçimleridir. Lumen hücreler içine girintiler oluşturarak genişleyebilir. Aynı genişlemeler hücreler arasındaki aralıklarda da oluşur.<sup>2, 4, 5, 7</sup>

Bu araştırmada da son bölümlerin ince yapı ayrıntılarının yukarıda tanımlanınlarla genel uyum içinde olduğu gözlenmiştir. Ayrıca açılığa bağlı olarak atılamayan salgı granüllerinin birliği ve yer yer hücre içi yıkıma ilişkin lizozom yapıları saptanmıştır. Bildirilenin aksine lumenler her zaman dar değildir. Salgılananın sürekliliğini belgeleyen genişlemiş lumenlerde izlenmiştir.

Salgı yapımının devam edegeldiği bazı hücrelerde, granüllü endoplazma retikulumuna komşu genişlemiş Golgi bölgesinde granül biçimlenmesi gözlenmiştir.

Hohenwald ve Romm<sup>15</sup> açlık sürecinde hücrelerde lipid damlacıklarına rastlandığını bildirmiştir. Bogart<sup>16</sup> Radley,<sup>17</sup> uzayan açılıkla lizozom yapılarının çoğaldığını öne sürmüştür.

Salgı hücrelerinin sitoplasmalarının salgı granülleriyle tıka basa dolu olduğu, granüllerin birbirleriyle birleşip büyük kümeler ya da vakuollere benzer yapılar oluşturdukları bildirilmiştir.<sup>2, 4, 5, 7, 18</sup> Salgı granülü zarının kesintili olduğu saptanmışsa da<sup>2-5, 7, 17</sup> bunun tüm müköz hücrelere özgü olduğu ve yetersiz tesbit sonucu oluştuğuda ile i sürlülmüştür.<sup>16, 19, 20</sup> Salgı granülünün elektron mikroskopu altındaki görünümü fiksatifle bağlanmıştır.<sup>4, 5, 21</sup> Geleneksel gluteraldehid-osmiyum tetroksid ikili fiksasyonundan sonra granülün ince filamanlı ya da tanecikli bir görünümü vardır.<sup>16, 18</sup>

Bu araştırmada salgı granüllerinin ince yapı özelliklerinin yukarıdakilerle genel uyum içinde olduğu saptanmıştır. Bildirilenin aksine granül zarının çoğunlukla iyi korunduğu, tam ve kesintisiz olduğu, ancak granüllerin dejme bölgelerinde zarların eridiği gözlenmiştir. Granüllerin büyük vakuol ve kümeler oluşturmadan birbirleriyle birleştirikleri ve bu birleşmenin granül atılımı olaylanan hücrelerde daha belirgin olduğu saptanmıştır. Salgı granüllerinin yoğun sık tanecikli ve az yoğun seyrek tanecikli iki türü ayırdılmıştır. Genellikle yoğun olanların zarlarının kesintili olduğu ve Golgi kompleksine yakın ilişkileri nedeniyle gelişmekte olan granüler olabileceği düşünülmüştür.

Bu araştırmada açılıkla salgının biriktirilmesine karşı hücrelerde atılım ve oluşumun olaylandığını sergileyecik ince yapı değişimleri birarada gözlenmiştir.

Son bölüm salgı hücreleri granülleri müzikarmin ve alsıyan mavisi gibi geleneksel musin boyalarıyla belirgin bir boyanma göstermezler.<sup>5</sup> PAS'la çok az boyanırlar.<sup>5, 6</sup>

Yapısal olarak mükoz hücrelere benzemelerine karşı olağandan farklı boyanmaları nedeniyle değişik değerlendirmeleri yapılmıştır. Stormont'a<sup>9</sup> göre son bölmeler özel seröz hücreler; Leblond'a<sup>8</sup> göre atipik mükoz hücrelerden oluşur. Geleneksel seröz yarınların bulunmamasına karşın bu bez serö-mükoz diye de adlandırılmıştır.<sup>5</sup> Tüm memeli tükürük bezlerinde asid ve nötral glikoproteinler üretilmektedir.<sup>4,21-24</sup> Asid glikoproteinlerin son bölmelerde üretildiği gösterilmiştir.<sup>5,6</sup> Epitelial asid musinler siyalomusin ve sulfomusin olarak iki ana gruba ayrılır.<sup>6, 12, 22, 23, 25</sup> İşaretli sulfatla yapılan araştırmalarda sıçanda çene altı tükürük bezinde sadece siyolomusinlerin üretildiği gösterilmiştir.<sup>6</sup> Asid glikoproteinlerin alsıyan mavisiyle boyanmaları boyanın pH derecesine göre değişir.<sup>12</sup> Alsıyan mavisi (pH 1,7-2,6) PAS birleşik boyasıyla çene altı tükürük bezi son bölüm granülleri, alsıyan mavisini ve az miktarda da PAS'ı alarak mavi-mor renkte boyanırlar. PAS'la hafif bir boyamanın izlenmesi asidik karbonhidrat artıklarına bağlıdır.<sup>5,6</sup> Aynı pH değerinde saf seröz (zimogen) hücreler yalnız PAS'la saf mükoz hücrelerse alsıyan mavisi ve PAS'ı eşit oranda alarak kuvvetli bir boyanma gösterirler.<sup>5,23</sup>

Bu araştırmada da, alsıyan mavisi (pH 1,7-2,6)-PAS boyasıyla boyanan parafin kesitlerinde son bölüm hücreleri soluk mavi-mor renkli olarak gözlendiler. Kullanılan pH değerinde alsıyan mavisiyle boyanma salgı ürünü asid glikoproteininin siyalomusin olduğunu gösterdi. Böylece bezin son bölmelerinin üretikleri salgının histokimyasal özelliklerine göre serö-mükoz diye nitelendirilmelerinin uygun olduğu kanısına varıldı.

Granüler kıvrımlı tubul (GKT) uzun dallanan kıvrımlı borucuklar biçiminde olup, salgı kanalının üst bölümünü oluşturur. Hücreler kanal hücrelerine özgü alt ve yan yüz özelliklerini korurlar. Alt yüzde bazal katlanıtları yan yüzlerde bağlantı kompleksleri iyi gelişmiştir.<sup>1-4, 7, 26, 27</sup>

Stormont'a göre<sup>9</sup> granüler kıvrımlı tubul özel türde seröz hücrelerden oluşmuştur. Tupa,<sup>28</sup> ise, ilk kez bezin son bölüm ve granüler kıvrımlı tubul olarak iki değişik salgı epители içerdigini göstermiştir. Granüler kıvrımlı tubul sıçan ve farede aynı yapıyı gösterir; erkek cinsten iyi gelişmiştir.<sup>2, 3, 4, 7, 29</sup>

Birbirinden farklı yapıdaki hücreler içinde açıklı koyulu, büyülüğu değişimelen salgı granüllerinin toplandığı görülür. Salgı granülleri seröz granüllere benzerler.<sup>16, 19</sup> Ancak hücrelerde seröz hücrelere özgü organell dağılımı yoktur. Sitoplazma içinde yaygın glikojen dağılımı göze çarpar. Hücre içi filamanlar belirgindir.<sup>1-5, 7, 30</sup>

Granüler tubul hücrelerinin en çarpıcı ortak özelliği apikal yüzlerdeki şişkinliklerdir. Kabaran apikal sitoplazma içinde çok az sayıda salgı granülüyle ince tanecikli matriks seçilir. Hücre sitoplazması kabartılarım dibinde yoğunlaşmıştır.<sup>31-35</sup>

Bu çalışmada da granüler tubullerin ince yapı ayrıntıları daha öncelerle genel uyum içindedir. Tubulleri çevreleyen epitel hücrelerinin yan apikal ve basal yüz özellikleri belirgindir. Çoğunlukla seröz türde salgı granüllerine benzer granüllerin egemen olduğu hücrelerde Golgi kompleksi ayırdedilemedi. Seyrek kısa ve yassı granüllü endoplazma retikulumu sarnıçlarıyla, glikojen ve hücre içi filamanlar belirgindi. Apikal yüz şişkinlikleri içinde ribozomlara benzer tanecikler ayırdedildi. Şişkinlıkların kopup orta boşluk içinde zarla çevrili yapılar oluşturdukları da saptandı.

Tamarin,<sup>7</sup> granül ve sitoplazma içeriğine bağlı olarak, kıvrıntılu tubulde açık sitoplazmalı hücreler (L), koyu granüler hücreler (D) ve dar granülsüz hücreler (N) diye üç ayrı hücre tanımladı. Açık hücreler içinde büyülüğu değişim能力和 açık ve koyu renkli granüller; koyu hücreler içinde iri yoğun granüller bulunur.

Dorey ve Bhoola<sup>11</sup> ise hücrelerin elektron yoğunluğu ve büyülüğu değişik üç tür granül içerdigini tanımlamıştır. Bunlar elektron yoğun olan ve olmayan büyük granüllerle, küçük yoğun granüllerdir. Çoğunlukla bu değişik granüller ayrı hücrelerde toplanmıştır. Scott ve Pease'e göre,<sup>4</sup> granüler tubulde açık ve koyu renk sitoplazmalı iki hücre vardır. Açık hücreler içinde büyük az elektron yoğun keseciklerle küçük yoğun granüller biraradadır. Koyu hücreler (Pfüleger'in koyu hücresi 1870),<sup>36</sup> yapı ve granül içeriği yönünden özgün bir gruptur.<sup>4</sup> Yoğun sitoplazmaları içinde iri salgı granülleri gözlenir.<sup>4, 36</sup> Kişi laştırılmış erkek hayvanda bu hücrelerin yok olmaları, erkek cinse özgü bir işlevleri olduğunu düşündürmüştür.<sup>37, 38</sup> Caramia<sup>29, 38</sup> erkek farede Scott ve Pease'in gözlediği iki tür hücreyi tanımlamıştır.

Granüler tubullerdeki böylesi hücre çeşitliliği bu araştırmada da ayırdedildi. Tubullerin bazı bölümlerindeki hücreler içinde elektron yoğun ufak salgı granülleri vardı. Bunlar Dorey ve Bhoola'nın<sup>11</sup> tanımladığı hücre tipiyle eşti. Seyrek olarak özgün yapıdaki Pfüleger hücreleri de gözlendi. Sitoplazmaları açık renkli hücrelerse Tamarin'in Scott ve Pease'in açık hücrelerine benzerlik gösterdiler. Seyrek gözlenen içleri büyük yoğun salgı granülliyle dolu hücrelerse Tamarin'in koyu hücrelerine benzediler. Granülsüz dar hücreler izlenemedi. Ayrıca, granüllerini boşaltıp salgı üretme evresine girmiş ancak granül biçimlenmesinin yapısal olarak belirmediği, koyu sitoplazmalı geniş hücreler gözlendi.

Granüler tubuldeki böyle değişik hücre tiplerinin birbirleriyle olan ilişkilerinin temeli tüberinde çeşitli varsayımlar ileri sürülmüştür. Hücrelerin herbiri görevleri değişik bağımsız birimler olabilirler. Yapı çeşitliliği salgılama döngüsünün değişik evrelerini de simgeleyebilir. Sıklusa bağlı bir salgılama döngüsü içinde bulunan tubulde hücre ve granül çeşitliliğinin aynı hücrenin çeşitli salgı oluşturma evrelerini göstermesinin daha akla yakın olduğu vurgulanmıştır.<sup>7</sup> Granüller içinde çeşitli proteolitik enzimlerin toplandığı gösterilmiştir.<sup>37, 39, 40</sup> Granül içeriğinin hem aynı hücre içinde hemde hücreden hücreye değişkenlik gösterdiği saptanmıştır.<sup>41</sup> Granül çeşitliliğinin, olgunlaşmadan çok kapsam değişikliğinden kaynaklandığı düşünülmüştür.<sup>29</sup> Materazzi ve Vitaioli,<sup>30</sup> granüler tubulde, glikoproteinden ya da proteinden zengin olan iki değişik içerikte salgı granülü bulunduğu ileri sürmüştür.

Bu araştırmada ince yapı düzeyinde aynı hücrede bu denli değişik granül bulunmasının basit bir granül olgunlaşmasını göstermediği üzerinde durulmuştur. Granül yapısı çeşitliliğinin granül içeriğindeki farklılıktan ileri gelebileceği akla yakın bulundu. Ancak bazı hücrelerin salgılanmanın değişik evrelerindeki hücreler olduğu açıktır. Örneğin koyu sitoplazmali granülsüz hücreler oluşum sürecindekilerdir. Açık sitoplazmali granüllü hücrelerse biriktirim sürecinde olanları simgeler. Açık granülli hücrelerin koyu granülli hücrelere dönüştüğünü belgeleyecek ara tipler seçilememiştir. İçleri küçük yoğun granüllerle dolu hücrelerse bağımsız ayrı bir hücre türü olarak saptanmış ve bu hücrelerin tubulleri belli bölgelerinde egemen oldukları düşünülmüştür. Koyu Pfültüfer hücreleri de diğerlerinden bağımsız bir hücre olarak saptanmıştır. Daha önce tanımlanmayan bazal hücrelerse gereğinde salgı hücrelerine değişebilecek farklılmamış hücreler olarak yorumlanmıştır.

Işık mikroskopu düzeyinde, kalsiyum asetat formalinle tesbit edilmiş doku örneklerine alsıyan mavisi (pH 2,6-1,7) PAS boyası uygulanınca tubül hücreleri granüller sadece PAS'ı alarak boyanırlar.<sup>6</sup> Granüllerin bu özgün boyanmaları ürettikleri salgının nötral glikoprotein oluşu nedeniyedir.<sup>5, 12, 24, 25, 27</sup>

Simson ve arkadaşları PAS'la boyanmanın granüllerin glikolipid içermelerine bağlı olduğunu ileri sürmüşlerdir.<sup>42</sup> Glikoproteinin salgı granüllerinde invivo olarak lipide bağlı olduğu bildirilmiştir.<sup>43</sup>

Bu araştırmada salgı granüllerinin sadece PAS'ı alarak boyanıkları gözlenmiştir. Açık süreç içinde bile hücrelerin bazlarının salgılarnı boşalttıkları seçilmiştir. Salgı granüllerinin nötral glikoprotein içerdikleri görüşü desteklenmiş; Ancak glikolipid içeriklerininde değişik yöntemlerle incelenmesinin gerekliliğine de inanılmıştır.

### *Özet*

Bu çalışmada sıçan çene altı tükürük bezinde salgılama işlevini üstlenen son bölümle (asinus), granüler kıvrıntılu tubul (salgı kanalının özel biçimde farklılığı üst bölümü) hücrelerinin, ince yapılarıyla üretikleri salgıların histokimyasal özellikleri incelendi. Bilinenden çok değişik iki salgı epiteli biriminden oluşan bezin özgün bir yapısı olduğu belirlendi. Işık mikroskopu düzeyinde kontrollü pH değerlerinde, alsiyen mavisi (pH 1,6-2,7)-PAS ile boyanan doku örnekleri incelendi. Son bölgülerin üretikleri salgı materyelinin bileşimi yönünden seromököz olarak adlandırılmasının uygun olduğu görüşüne katıldı. Tubuller ise seröz son bölgülerle eş bir boyanma gösterdiler. Son bölüm hücreleri ince yapı düzeyinde müköz hücrelere benzerlik gösterdiler. Ancak granüllerin birbirleriyle birleşip kaynaşma eğilimlerinin (müköz son bölgülerin aksine) sadece atılım sürecinde belirgin oldukları saptandı. Granül zarının müköz son bölgüler gibi kesintili olmayıp çoğunlukla devamlı olduğu gözlandı. Salgılanmanın sürekliliğini belgeleyen geniş lümenli son bölgülerin yanısıra üretim sürecine girmiş hücrelerde izlenebildi. İnce yapı düzeyinde tubul hücrelerindeki çeşitliliğin özellikle granül kapsamları yönünden oldukları belirlendi. Hücrelerin bilinen seröz salgı üreten hücrelere özgü organel dağılımı yönünden fakir oldukları saptandı. Sitoplazma yoğunluğununa göre açık ve koyu hücreler ayırdıldılar. Hücresel farklılığın, salgılama döngüsünün değişik evrelerinde bulunmaya bağlı olduğu görüşü kuşkulu bulundu. Aynı hücre içindeki farklı büyüklük ve yoğunluktaki granüllerin, değişik bileşimde salgı materyelleri içerdikleri görüşü benimsendi.

### *KAYNAKLAR*

1. Hollmann, K. H., Verley, J. M.: La glande sous maxillaire de la souris et du rat. Etude au microscope électronique, Zeitschrift. fur. Zellforschung., **68**: 363, 1965.
2. Kurtz, S. M.: Electron microscopic Anatomy. Academic Press. New York and London, 1964, s. 108.
3. Leeson, C. R., Jacoby, F.: An electron microscopic study of the rat submaxillary gland during its postnatal development and in the adult. J. Anat. **93**:287, 1959.
4. Scott, B. L., Pease, D. C.: Electron microscopy of the salivary and lacrimal glands of the rat. Amer. J. Anat., **104**: 115, 1959.
5. Shackleford, J., Wilborn, W. H.: Structural and histochemical diversity in mammalian salivary glands. Ala. Jour. Med. Sci., **5**: 180, 1966.
6. Spicer, S.S., Duvenci, J.: Histochemical characteristics of mucopolysaccharides in salivary and exorbital lacrimal glands of the rat. Anat. Rec., **149**: 333, 1964.
7. Tamarin, A., Serebny, L. M.: The rat submaxillary gland. A correlative study by light and electron microscopy. J. Morph., **117**: 295, 1965.

8. Leblond, C. P.: Distribution of PAS reactive carbohydrates in the adult rat, Amer. J. Anat., 86: 1, 1970.
9. Stormont, D. L.: The salivary glands. In special cytology ed. by Cowdry, E. V., Vol. I. sayfa 153, 1932. Newyork Hoeber. Alınmıştır: Simson, J. A. V., Hall, B. J. Spicer, S. S.: Histochemical evidence for lipoidal material in secretory granules of rat salivary glands. Histochem. Jour., 5: 239, 1973.
10. Cutler, L. S., Chaudry, A. P.: Release and restoration of the secretory granules in the convulated granular tubules of the rat submandibular gland. Anat. Rec., 176: 405, 1973.
11. Dorey, G., Bhoola, K. D.: Ultrastructure of duct cell granules in mammalian submaxillary glands. Z. Zellforsch., 126: 335, 1972.
12. Jones, R., Reid, L.: The effect of PH on alcian blue staining of epithelial acid glycoproteins II. Sialomucins and Sulphomucins. Hist. Jour. 5: 9, 1973.
13. Bluemink, J. G., Maurik, P., Lawson, K.: Intimate cell contacts at the epithelial mesenchymal interface in embryonic mouse lung. J. Ultr. Res., 55: 257, 1976.
14. Reynolds, E. S.: The use of lead citrate at high pH as an electron opaque stain in electron microscopy. J. Cell. Biol., 17: 208, 1963.
15. Hohenwald, H., Romm, C.: Salivary gland and starvation study in relation to behavior of lipids. Acta Histochem, 36: 417, 1970.
16. Bogart, B. L.: Secretory dynamics of the rat submandibular gland. J. Ultr. Res., 52: 139, 1975.
17. Radley, J. M.: Ultrastructural changes in the rat submaxillary gland following isoprenaline. Z. Zellforsch., 97: 196, 1969.
18. Dorey, G.; Bhoola, K.: Ultrastructure of acinar cell granules in mammalian. Submaxillary glands. Z. Zellforsch., 126: 320, 1972.
19. Neutra, R. M., Schaffer, S. F.: Membrane interactions between adjacent mucous secretion granules. Jour. Cell. Biol., 74: 983, 1977.
20. Tandler, B., Poulsen, J. H.: Fusion of the envelope of mucus droplets with the luminal plasma membrane in acinar cells of the cat submandibular gland. J. Cell. Biol., 68: 775, 1976.
21. Luzzatto, A. C., Procichiani, G., Rosati, G.: Rat submaxillary gland. An electron microscopic study of the secretory granules of the acinus. J. Ultr. Res., 22: 185, 1968.
22. Quintarelli, G.: Histochemical Identification of salivary mucins. Ann. N. Y. Acad. Sci., 106: 339, 1963.
23. Quinterelli, G., Tusuiki, S., Hashimoto, Y., Pyman, U.: Studies of sialic acid containing mucins in bovine submaxillary and rat sublingual glands. J. Histochem., cytochem., 9: 176, 1961.
24. Schakleford, J. M., Schneyer, M.: Structural and functional aspects of rodent salivary glands including two desert species Amer. J. Anat., 115: 279, 1964.
25. Rapheal, S. S.: Medical Laboratory Technology. W. B. Saunders Comp. Vol. 2, 1976, s. 976.
26. Jacoby, F., Leeson, C. R.: The postnatal development of the rat. submaxillary gland. J. Anat., 201: 1, 1959.
27. Leeson, C. R.: Structure of Salivary glands in: Hand book of physiology. Alimentary Canal Secretion. ed. by, Code, G. F. American physiological society. Vol 2. 1967, s. 463.

28. Tupa, P.: Researches sur les processus cytologiques dans la glande sous maxillaire du rat. et de la souris. Bull. Histol. Tech. Micr., **3**: 293, 1926. Alınmıştır.: Scott, B. L., Pease, D. C.: Electron microscopy of the salivary and lacrimal glands of the rat. Amer. J. Anat. **104**: 115, 1959.
29. Caramia, F.: Ultrastructure of mouse submaxillary gland I sexual differences. J. Ultr. Res. **16**: 505, 1966.
30. Materazzi, G., Vitaioli, L.: Observations on the formations of secretion by the cells of the "Convulated granular tubules" of the submandibular gland of the rat. J. Anat., **105**: 163, 1969.
31. Parks, H. F.: Morphological study of the extrusion of secretory materials by the parotid glands of the mouse and rat. J. Ultr. Res., **6**: 449, 1962.
32. Planel, H., Rouleau, F., Tixador, R.: Contribution à l'étude inframicroscopique des canaux striés des glandes salivaires. Action de l'hormone antidiuretique. Comp. Rend. Soc. Biol., **160**: 1519, 1966.
33. Tandler, B.: Electron microscopical observations on early sialoliths human submaxillary gland. Arch. Oral. Biol., **10**: 509, 1965.
34. Tandler, B., Denning, C. R., Mandel, I. D., Kutsher, A. H.: Ultrastructure of human labial salivary glands. III. Myoepithelium and ducts. Jour. of Morph., **130**: 227, 1970.
35. Tandler, B., Mac Callum, D.K.: Ultrastructure and histochemistry of the submandibular gland of the european hedgehog. II. Interdigitated ducts and granular striated ducts. J. Anat., **117**: 117, 1974.
36. Pfüleger, E.: The salivary glands. Human and comparative histology Ed. by S. S. Stricher., S. Power, New York, Sydenham. Soc., London. 1870, s. 423.  
Alınmıştır: Scott, B. L., Pease, D. C.: Electron microscopy of the salivary and lacrimal glands of the rat. Amer. J. Anat., **104**: 115, 1959.
37. Materazzi, G.: Ossevazioni sulla funzione dei tubuli a grani della ghiandola sotto mandibolare del ratto. riv. Biol., **60**: 73, 1967.
38. Caramia, F.: Ultrastructure of mouse submaxillary gland. II Effect of castration in the male. J. Ultr. Res., **16**: 524, 1966.
39. Dorey, G., Bhoola, K. D.: Kallikrein, trypsin-like proteases amylase in mammalian submaxillary glands. Brit. J. Pharmacol., **43**: 784, 1971.
40. Shear, M.: Substrate film techniques for the histochemical demonstration of amylase and protease in salivary glands. J. Dent. Res., **51**: 368, 1972.
41. Flon, H., Gerstner, R.: Salivary glands of the hamster I. Submandibular gland, a histochemical study. Acta. Histochem., **31**: 234, 1968.
42. Simson, J. A. V., Hall, B. J., Spicer, S. S.: Histochemical evidence for lipoidal material in secretory granules of rat salivary glands. Histochem. Jour., **5**: 239, 1973.
43. Schnultz, D., Paola, D.: Delta-cytomembranen und lamellare cytosomen, ultrastruktur, histochemie und ihre beziehungen zur schleimsekretion Z. Zellforsch., **49**: 125, 1958.

HACETTEPE

# TİP / CERRAHİ BÜLTENİ

CILT 14 / SAYI 2 / NİSAN 1981

## Karın İçi Hastalıkların Tanısında Peritoneoskopinin Değeri ve 210 Vakadan Alınan Sonuçlar

Dr. Burhan Kayhan\*

### Giriş

Peritoneoskopi karın duvarından sokulan bir endoskop yardımı ile peritone boşluğunun görme tekniğidir. Karın içi organların hastalıklarının tanısına yaklaşımda şimdide dek kullanılan laboratuvar yöntemlerinin büyük kısmı yetersiz kalmaktadır. Son senelerde yapılan çalışmalar ve daha kolay uygulanabilen peritoneoskop çeşitlerinin hizmete sunulması sonucu peritoneoskopi kliniklerde tanı amacı ile geniş kullanılmış sahası bulmuştur.

Peritoneoskopi 1897'de Nitze'nin keşfettiği sistoskopi aletini kullanarak ilk kez 1902'de Leipzig'li cerrah Kelling tarafından bir köpekte uygulandı ve bu araştırcı çalışmasının sonunda Çölioskopi metodunu yayınladı. İnsanda ilk kez İsviçre'li Jacobaeus<sup>1</sup> tarafından 1910'da kullanıldı. Aynı tarihlerde Amerika Birleşik Devletleri'nden Bernheim<sup>2</sup> benzer teknik ve metodу "Organoscopy" olarak tarif etti. Bu kıymetli teknik 1927 yılına kadar unutuldu. Almanya'dan Korbsch<sup>3</sup> ve Kalk,<sup>4</sup> Amerika Birleşik Devletleri'nden Ruddock<sup>5</sup> fotoğraf kamerası ile birlikte abdominal endoskopiyi geliştirerek pratikte rutin uygulamayı mümkün kılmışlardır. Bu araştırma metodunun, bugün kullanılabilen tarifi Jacobaeus'a dayanmaktadır. A.B.D'de bu metod, genellikle Peritoneoscopy diye adlandırılır. Son yıllarda giderek artan sıklıkla, yine tuba sterilizasyonunda terapötik gayelerle bu tıtkı uygulayan Jinekologlar, daha ziyade Laparoskopi veya Pelviskopie terimini kullanıyorlar.

\* Hacettepe Üniversitesi Tıp Fakültesi Gastroenteroloji Doçenti.

*Amaç*

Bu çalışmadaki amaç, peritoneoskop ile ilgili tecrübelerimizi, bulgularımızı ve bunların çeşitli karaciğer, periton hastahlarının tanısına yaklaşımındaki değerini summaktır.

*Materyel ve Metot*

Hacettepe Üniversitesi Tıp Fakültesi Gastroenteroloji Bölümünde 1974 yılından 1981 yılı ilk üç ayına kadar 210 hastaya peritoneoskopi uygulandı. Yaşı dağılımı 17 ile 79 arasında değişmekte olup 181 hastadan biyopsi alındı. Sonuçlar Tablo I de gösterilmiştir.

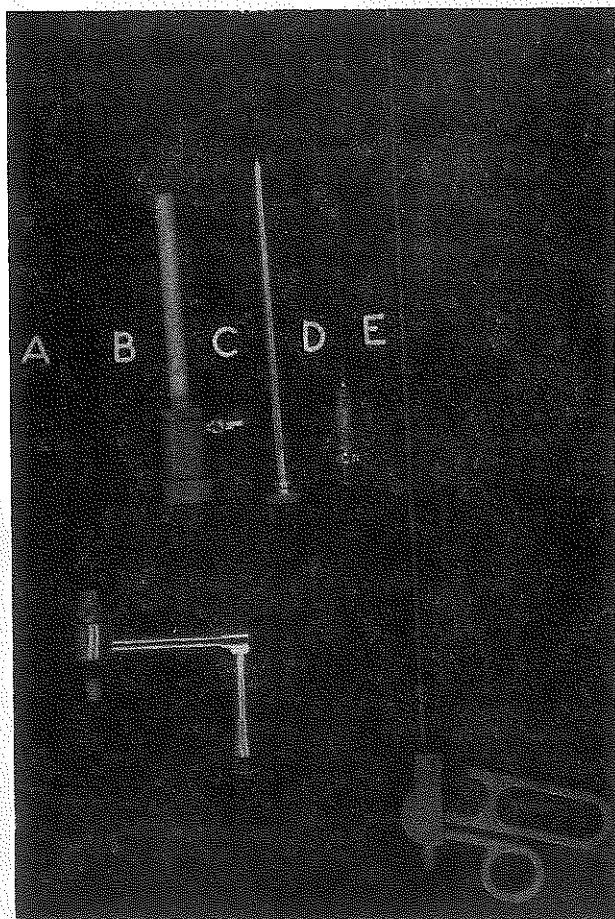
TABLO I

Peritoneoskopik tanı	Peritoneoskopi		Biyopsi	
	Vaka Sayısı	K		
Siroz	73	28	45	73
Siroz + Hepatosellüler Ca	19	5	14	19
Karaciğer yağlanması	16	7	9	16
Karaciğer metastazı	25	12	13	25
Kronik aggressiv hepatit	3	—	3	3
Kronik persistant hepatit	6	3	3	6
Karsinoid sendrom karaciğer metastazı	1	—	1	1
Karaciğer malign melanomu	1	—	1	1
Kolanjiokarsinoma	2	2	—	2
Konjenital hepatik fibrozis	2	2	—	2
Karaciğer tüberkülozu	1	—	1	1
Peritonit tüberküloz	22	18	4	22
Peritoneal karsinomatozis	7	3	4	7
Mezatelyoma	3	—	3	3
Karaciğer kist hidatüğü	24	14	10	—
Böbrek tümörü	2	1	1	—
Perikolesistit	2	1	1	—
Over kisti	1	1	—	—

Bu çalışmada "American Cystoscope Makers" firmasının Kit FO-8554 peritoneoscope aleti kullanıldı. Alet aşağıdaki parçalardan oluşmaktadır.

**Veress İğnesi:** Ucu keskin yaylı otomatik bir iğnedir. Deri, superfisyal fasya, kas tabakası, derin fasya ve periton kolayca delinir. Keskin kenarlı iğnenin içinde ucu dışa doğru çıkan künt uçlu stilesi mevcuttur. Bu sayede iğne batınma sokulurken organların delinme tehlikesi azalır.

Şekil 1 D'de Veress iğnesi görülmektedir.



Şekil 1

A: Peritoneoskop, B: Trokar kanülü, C: Trokar, D: Veress iğnesi, E: Forceps.

**Trokar ve Trokar Kanülü:** Trokar kanülü pnömoperitoneumu takiben kullanılır. Trokar içinden peritoneoskop kolaylıkla karına sokulur. Trokarın ucu konik veya pyramidal keskin kenarlıdır. Karın duvarını ve dokuları kolayca keser.

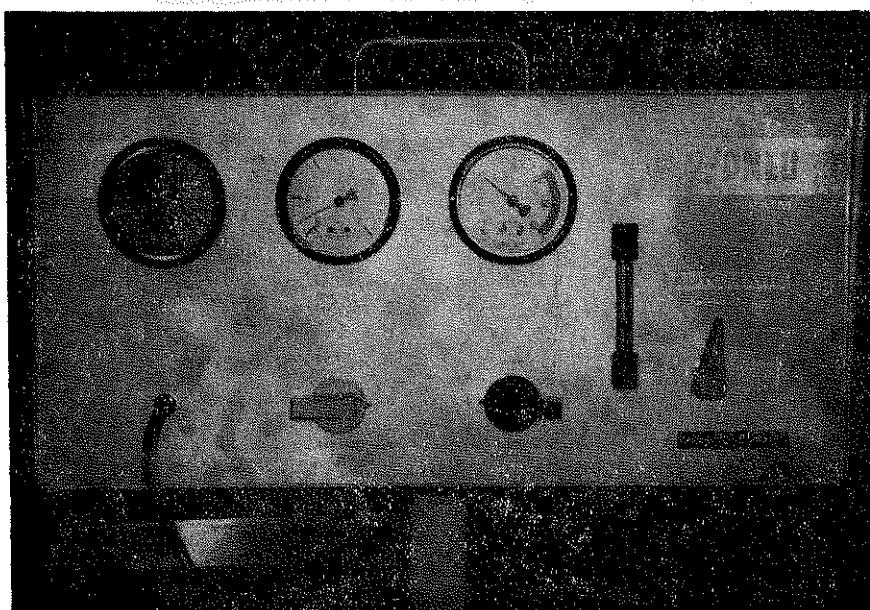
Şekil 1 B'de Trokar kanülü. C'de Trokar görülmektedir.

**Peritoneoskop:** Özel optik sistemi olan 9 mm. çapında takriben 30 cm. uzunluğunda bir teleskopdur. Fiberoptic kablo herbiri 0,002 inch kalınlığında 200.000 fiber'den meydana gelir. Soğuk ışık kaynağından peritoneoskopa ışık fiberoptic kablo ile iletilir. Soğuk ışık kaynağının projeksiyon ampulu 150 ile 300 Watt'dır. Fotoğraf ve sinema için 1000 Watt'lık ampulu olan ışık kaynağına ihtiyaç vardır. Peritoneoskoplar

düz veya  $90^{\circ}$ - $130^{\circ}$  ve  $180^{\circ}$  açılı olur. Trokar karına sokulduktan sonra mandren çıkarılır peritoneoskop trokar kanülünden sokularak karın boşluğuna girilir.

**Şekil 1 A'da Peritoneoskop görülmektedir.**

**Gaz verme cihazı:** Cihazın içinde 5 litre  $\text{CO}_2$  gazı alabilecek tank vardır. Sağdaki koyu renkli düğme karın boşluğuna gaz akımını ayarlar. Dakikada 1 litre gaz verecek şekilde ayarlanır. Soldaki açık renkli düğme cihazındaki  $\text{CO}_2$  tankını doldurmak amacıyla kullanılmaktadır. Sağ üst taraftaki manometre karın içindeki basıncı gösterir. 10-20 mmHg karın boşlığundaki ideal basıncıtır. Aynı zamanda veress iğnesinin doku içinde veya karın boşlığında olduğunu gösterir. Ortadaki manometre hastaya verilen gaz miktarını göstermektedir (Şekil 2).

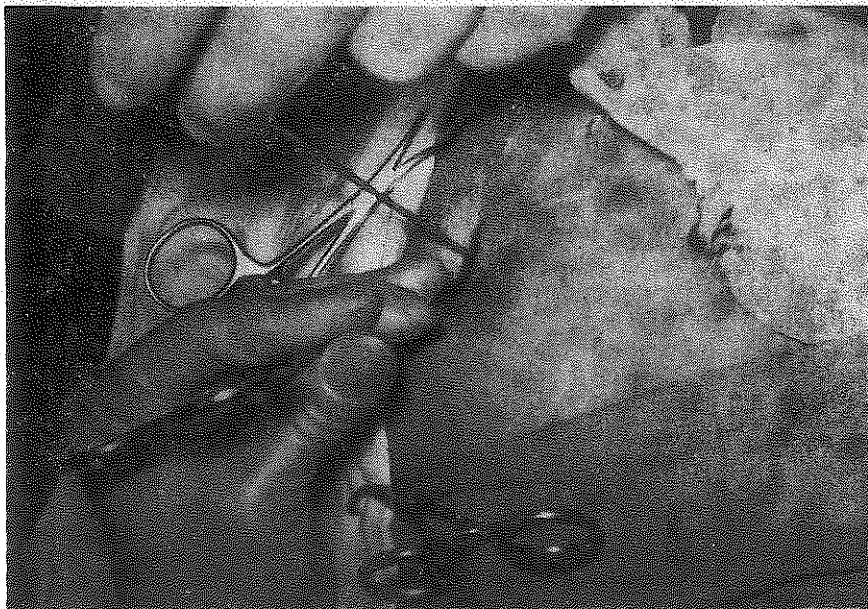


**Şekil 2**  
Gaz verme cihazı görülmektedir.

**Seçilecek Gaz:** Pnömoperituan amacı ile filtre edilmiş atmosfer havası kullanılmış. Fakat uygulamayı takip eden birkaç vakada hava embolisi tespit edildiği için daha çabuk rezorbe olan ve peritoneoskopiden sonra daha az olarak hastaların karnında yüksek basınçla ilgili şikayetlere yol açan gazların araştırmasına girişildi. Bu çalışmaların sonunda oksijen, azot protoksid ve  $\text{CO}_2$  kullanılması tavsiye edildi. Bu gazların rezorbsiyon hızına göre sıralanması şöyledir:  $\text{O}_2$ ,  $\text{N}_2\text{O}$ ,  $\text{CO}_2$ .

Elektrokoagülasyon yapılacak ise oksijen kullanılmamalıdır. Çünkü patlayıcı gaz teşekküründen korkulur. Pnömoperituan'da kullanılan gaz genellikle CO<sub>2</sub> dir. Süratle absorbe olur ayrıca patlama özelliği yoktur. Genellikle 3 lt. nin üzerine çıktıığında plazma karbondioksit basıncı yükselir ve pH düşer. Respiratuar asidozis gelişmesine sebep olur.

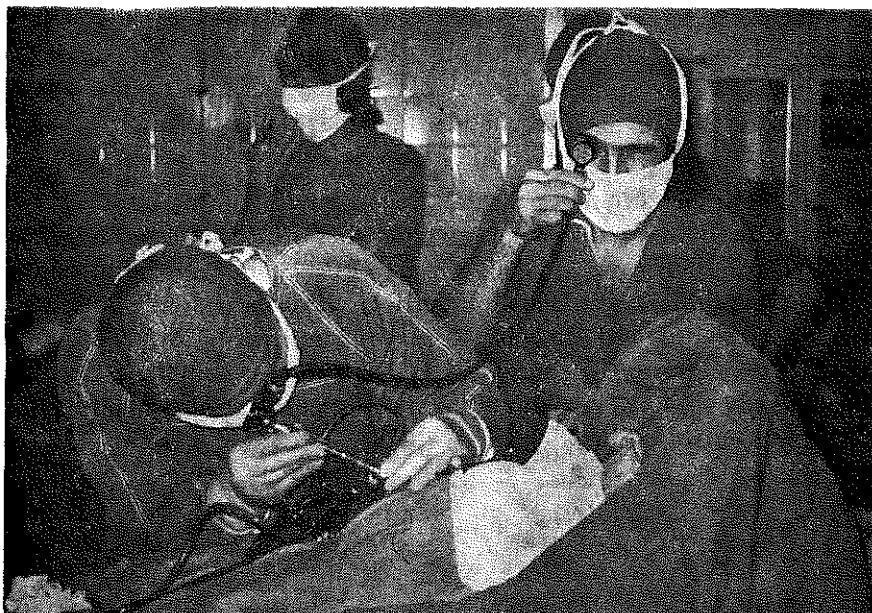
Hasta ameliyathane şartlarında hazırlanır, sabah aç bırakılan hastaya ameliyathaneye alınmadan mesanesi boşaltılır. 10 mg diazem ve 50-100 mg dolantin ile premedikasyon yapılır. Cilt, temizliğini takiben % 2 lik Citanest ile cilt, cilt altı lokal olarak uyuşturulur. Göbek altın dan 2 cm. uzunluğunda bistüri ile insizyon yapılır. Cilt altı dokusu ayrılarak fasyaya erişilir. Klemplerle fasya iki taraftan tutularak kaldırılır. Veress iğnesi 45° lik açı ile batına sokulur. İğnenin karın boşluğununda olup olmadığı kontrol edilir (Şekil 3).



**Şekil 3**

Veress iğnesinin hastaya uygulanışı görülmektedir.

Pnömoperituan için hava verme cihazından karbondioksit verilir. Dakikada 1 litre CO<sub>2</sub> gazi gidecek şekilde ayarlanır. Hastanın durumuna göre iki ile üç litre arasında karbondioksit gazi verildikten sonra veress iğnesi çıkarılır aynı yerden Trokar ile 45°lik açı yapacak şekilde karına girilir. Peritoneoskop ile ışık kaynağı, ışık kordonu vasıtasiyla birleştirilir. Sistemin çalışması dışında kontrol edildikten sonra Trokarın mandreni çıkartılır kanülün içinden peritoneoskop karın boşluğununa sokularak karın içindeki organlar muayene edilir (Şekil 4).



**Şekil 4**

Peritoneoskop ile karın içi organların muayenesi g-rülmektedir.



**Şekil 5**

Karaciğer altında normal safra kesesi görülmektedir.



Şekil 6

Peritoneoskopı esnasında sirotik karaciğerin görünümü.



Şekil 7

Peritoneoskopik muayene esnasında tüberkuloz peritonite bağlı tüberkülomanın görünümü.



Şekil 8

Peritoneoskopik muayenede over kisti tanı konulan vakada kistin görünümü.

Arzu edilen sahanın fotoğrafını alabilmek için kamera adaptörü aracılığı ile Peritoneoskopa monte edilir. Işık dozu ayarlandıktan sonra fotoğraf çekilir (Şekil 5-8).

Karaciğer ponksiyon biyopsisi Vim-Silverman iğnesi ve Şekil 1 E'deki peritoneoskopun özel forsepsi ile yapıldı.

Hepatit-B yüzey antijeni karşıt immun elektroforez yöntemi ile araştırılmıştır.

Sonuçları istatistik yönünden karşılaştırmak için  $X^2$  (ki-kare) testi kullanılmıştır.<sup>6</sup>

### Bulgular

Peritoneoskopik çalışma yapılan 210 hastanın 181'den alınan biyopsi ile tanı pekiştirilmiştir. 29 vakaya peritoneoskopik bulguların ışığı altında tanı konulmuş, biyopsi teşebbüsünde bulunulmamıştır.

Çalışmada vakalar 3 grup altında toplanmıştır.

*I. Peritoneoskopik tanı sonucu medikal tedavi ile hastalıkları kontrol altına alınan ve yaşam süreleri uzayan vakalar.*

1) Peritoneoskopik inceleme yapılan 73 karaciğer sirozu vakasının 71'inde kesin tanı konulabilmiş 2 vakada ise peritoneoskopik muayene

başarısız kalmıştır (% 2.7). Peritoneoskopi ile kesin tanı konulan 71 vaka (% 97.3), morfolojik özelliklerine göre

- a) Makronodüler siroz (Postnekrotik)
- b) Mikronodüler siroz (septal Laennec)
- c) Mikst siroz (mikronodüler ve makronodüler)

olmak üzere 3 gruba ayrılmıştır. Bu ayırım 1974'te Maryland'da yapılan uluslararası morfolojik sınıflamaya göre yapılmıştır.<sup>7</sup> Vakaların 38'inde (% 53.5) makronodüler, 21'inde (% 31) mikst ve 11'inde (% 15.5) mikronodüler görünüm saptanmıştır. Çapı 1 cm'nin üzerindeki nodüller sirotik görünüm makronodüler karaciğer sirozu olarak nitelendirilmiştir. Karaciğer ponksiyon biyopsisi yapılabilen 71 vakanın 24'ünde tanıya yeterli materyel alınamamıştır.<sup>17</sup> vakada ise karaciğer sirozonu düşünürmeyen histopatolojik bulgularla karşılaşılmıştır. Böylece 41 vakada ponksiyon biyopsisi yetersiz kalmış ve yaniltıcı olmuştur.

Vakalarımızın peritoneoskopik inceleme sonuçları Tablo II'de ponksiyon biyopsisi sonuçları Tablo III de gösterilmiştir.

TABLO II  
73 KARACİĞER SİROZU VAKASININ PERITONEOSKOPIK İNCELEME SONUÇLARI

Tanıya Yeterli Peritoneoskopik Görünüm	Vaka Sayısı	%
Makronodüler	38	53.5
Mikst	22	31
Mikronodüler	11	15.5
Başarılı peritoneoskopi Toplamı	71	97.3
Başarısız Peritoneoskopi Toplamı	2	2.7
Toplam	73	

TABLO III  
PONKSİYON BİYOPSİSİ YAPILAN 71 KARACİĞER SİROZU VAKASININ SONUÇLARI

Biyopsi Materyeli	Vaka Sayısı	%
Tanıya Yeterli Materyel	30	42.2
Tanıya Yetersiz Materyel	24	33.8
Yanlıltıcı Materyel	17	24
Toplam	71	

Peritoneoskopi ve biyopsi ile siroz tanısı konmuş 73 vakadan dosyası gözden geçirilmiştir. Bu vakalar Australia antijeninin müsbet olması ve geçirilmiş hepatit hikayesinin bulunması ve ayrıca alkol alışkanlığının bulunması açısından grupperlendirilmiştir (Tablo IV).

TABLO IV  
SIROZ VAKALARINI ETYOLOJİ YÖNÜNDEN DEĞERLENDİRME

Vaka	Hepatit +	Australia Antijeni (+)	Alkol	Kriptojenetik
73	16 (% 21.9)	7 (% 9.5)	6 (% 8.2)	44 (% 60.2)

2) Peritoneoskopi altında karaciğer ponksiyon biyopsisi uygulanan 181 hastadan 16'sına karaciğer yağlanması tanısı konuldu. Bizim serimizde karaciğer yağlanması sıklığı % 8.6'dır. Erkeklerde kadınlara nazarın daha sık görülmüştür (% 56). Bu durum, etyolojik nedenler arasında başta gelen alkolün, ülkemizde erkekler tarafından daha fazla kullanılmasına bağlanabilir (Tablo V).

TABLO V  
KARACİĞER YAĞLANMASININ ETYOLOJİK FAKTÖRLER VE CİNSİYETE GÖRE DAĞILIMI

Etyolojik Faktörler	Vaka Sayısı	E	K
Alkol	7	7	—
Diabet Mellitus	5	—	5
Tüberküloz	3	1	2
Lösemi	1	1	—

3) 3 vakada kronik agressiv hepatit, 6 vakada kronik persistant hepatit tespit edilmiştir.

4) 1 vakada karaciğer tüberkülozu, 22 vakada peritonit tüberküloz saptanmıştır.

#### *II. Peritoneoskopik tanı sonucu medikal tedavi imkanını kaybetmiş vakalar.*

19 vakada Siroz + Hepatosellüler karsinom, 2 vakada Kolanjio-karsinoma, 29 vakada karaciğer metastazı tespit edildi. 7 vaka peritoneal karsinomatozis, 3 vakada Mezatelyoma tanısı aldı.

#### *III. Peritoneoskopik tanı sonucu cerrahi tedaviden istifade eden grup.*

Peritoneoskopik bulguların ışığı altında tanı konulan 24 karaciğer hidatik kisti, 1 perikolesistit, 1 over kisti vakası cerrahi tedaviden sonra sağlıklarına kavuştular.

### Tartışma

İki yüz on vakanın 181'inden biyopsi alındı. 57 vaka siroz tanısı aldı. Karaciğerin peritoneoskopik görünümünü kronik hepatit yönünden değerlendirmede bilhassa Kalk,<sup>4</sup> Siede,<sup>46</sup> Beck,<sup>47</sup> Lent<sup>48</sup> gibi peritoneoskopik tetkikle çok uğraşan otörlerin yakın ve atlasları esas alındı.

1923'ten itibaren pratik rutin uygulamayı mümkün kılan, peritoneoskopi sayesinde «Modern klinik hepatoloji'si» ortaya koyan Kalk'tır. Peritoneoskopik muayene altında karaciğerde tespit edilen patolojik sahalarдан görerek Menghini iğnesi veya Vim Silvermann iğnesiyle biyopsi yapılır. Forseps ile alınan biyopsiler genellikle yüzeyel olup çoğu kez subkapsüler doku materyeli elde edilmiş olur. Subkapsüler doku ise, Glisson kapsülünün uzantıları ile normalden daha fazla bağ dokusu ihtiyaç eder ve onun için sıklıkla yanlış teşhislere sebep olur. Bundan dolayı yeterli bir karaciğer dokusu elde etmek amacıyla Vim Silverman iğnesini tercih etmekteyiz. Menghini ile uygulanan aspirasyon biyopsisi metodunda ise, sirozlarda alınan karaciğer dokusu, aspirasyon dolayısıyla genellikle parçalanmaktadır.

Biyopsi ve peritoneoskopi gibi iki önemli tanı aracının karşılaştırılmasını yapan araştırmacılar tanı değeri yönünden, peritoneoskopinin ponksiyon biyopsisine üstünlüğünü saptamışlardır. Bu araştırmacılarından Wildhirt<sup>8</sup> 176 siroz vakasında peritoneoskopinin tanı değerini % 93, ponksiyon biyopsisinin ise % 76; Vido ve Wildhirt<sup>9</sup> 272 vakada peritoneoskopinin tanı değerini % 98.8, biyopsininkini % 50; Oran<sup>10</sup> 157 vakasında peritoneoskopinin başarı oranını % 96.8 bunlardan ponksiyon biyopsisi yapılabilen 72 vakasında biyopsinin başarı oranını % 54.2 olarak bildirmiştir. Bölüköglu ve arkadaşları<sup>11</sup> 47 siroz vakasında peritoneoskopinin başarı oranını % 93,6 ve bunlardan ponksiyon biyopsisi yapılabilen 7 vakada biyopsinin başarı oranını % 71 olarak bildirmiştir.

Peritoneoskopik inceleme yaptığımız 73 karaciğer sirozu vakasında bu metodun başarı oranı % 97.3 dür. Bu vakalardan karaciğer ponksiyon biyopsisi yaptığımız 71 vakada ponksiyon biyopsisinin başarı oranı % 42.2 tespit edildi 73 karaciğer sirozu vakasının 1'inde karin üst kadrannındaki geçirilmiş laparotomiler nedeniyle, 1'inde perihepatit nedeniyle karaciğer değerlendirilemedi. Siroz vakalarının 2'sinde % 2.7 peritoneoskopik muayene başarısız oldu.

73 karaciğer sirozu vakamızda 71'inde karaciğer ponksiyon biyopsisi sonuçları ile peritoneoskopik bulgular karşılaştırıldı. Ponksiyon biyopsisi ile 24 vakada tanıya yeterli materyel alınamadı. Histolojik inceleme yapılabilen vakalardan 17'sinde sirozu düşündürmeyecek derecede hafif

parankim değişiklikleri gösteren veya normal karaciğer bulguları saptandı. Böylece ponksiyon biyopsisinde yeterli parça alınamayan veya yanlıltıcı histopatolojik bulgular gösteren vaka sayısı 41 (% 57.8) dir. Biyopsi yapılan diğer 30 vakada peritoneoskopik ve histopatolojik incelemelerin korelasyon gösterme oranı % 42.2 bulunmuştur.

Karaciğer sirozu tanısında peritoneoskopi ve biyopsi başarı oranları istatistiksel olarak karşılaştırıldığında peritoneoskopinin tanı değerinin karaciğer ponksiyon biyopsisinden daha anlamlı olduğu saptanmıştır ( $P < 0.001$ ).

Siroz etyolojisi yönünden vakalarımızı gözden geçirirsek bizim 73 vakanın 16'sında (% 21.9) viral hepatit olması muhtemel sırlık anamnesi, 7 vakada (% 9.5) australia antijeni tespit edildi. 6'sında da (% 8.2) alkol muhtemel faktör görülmekte ve 44 vakada da (% 60.2) başka sebepler veya sebebi bilinmeyen nedenler rol oynamaktadır. Bizim vakalarımızı Avrupa kaynaklı yayınlarla karşılaştırırsak İngiltere'de Sherlock ve arkadaşlarının hepatiti % 24.5 ve alkollü de % 24.5 oranında, Almanya'da Kühn ve arkadaşlarının hepatiti % 28.5 ve alkollü'de % 18.4 oranlarında saptadıklarını görürüz.<sup>12, 13</sup> Siroz etyolojisinde Alkol ve Hepatit insidansı Avrupa'da birbirine yakındır. Bunun sebebi de Avrupa'da alkolin fazla tüketilmesinden ileri gelmektedir.

Siroz + Hepatosellüler karsinom tespit edilen 19 vakadan 5 inde (% 26.3) Australia antijeni müsbet bulunmuştur. Taiwan'da, primer karaciğer kanserinde HBAg testi % 80 oranında pozitif,<sup>14</sup> Uganda'da bu oran % 40,<sup>15</sup> İngiltere'de % 40'dır.<sup>16</sup> HBAg bazı onkojenik özelliklere sahiptir.<sup>17</sup> Bundan dolayı B tipi hepatit, yalnız sirozun değil, karsinomanın da önemli bir öncüsüdür.

Peritoneoskopi altında karaciğer ponksiyon biyopsisi uygulanan 181 hastadan 16'sına (% 8.6) karaciğer yağlanması tanısı konuldu.

Karaciğer yağlanmasıının önde gelen sebepleri alkol, sışmanlık, ilaçlar, malnütrisyon, malabsorbsiyon, diabetes mellitus, gebelik ve hiperlipoproteinemi dir.<sup>18, 19</sup> Bunlar arasında ve özellikle batı ülkelerinde alkolin karaciğer yağlanmasıının en büyük sebebi olduğu malumdur.<sup>20</sup> Bunların dışında tüberküloz, pankreatit, anemi,<sup>21</sup> glikojen depo hastalığı, galaktozemi, psoriasis, kolitis ülserозa gibi sebepler de sayılabilir.<sup>19</sup>

Karaciğer yağlanması yapan sebepler arasında kortizon ve bazı ilaçlar (antitüberküloz ajanlar, sitostatikler, benzol, antibiyotikler) sayılabilir. Kortikosteroidlerin bilinen yan etkilerinden biri karaciğer yağlanmasıdır.<sup>22</sup> Diğer ilaçlar arasında dikkati çeken antitüberküloz ajanlarının ve sitostatiklerin karaciğer yağlanması ile ilişkileri kadar, tedaviye sebep olan hastalığın karaciğer yağlanması ile ilişkisi de önemlidir.

Tüberküloz, Lösemi, Kollajen doku hastalıkları gibi genel durumu bozan hastalıklarda malnütrisyon'a bağlı olarak da karaciğer yağlanması gelişmektedir.<sup>19</sup>

Serimizde alkole bağlı karaciğer yağlanması % 43.7 dir. Coğrafik durum, toplum adetleri bu sıklığı etkilemektedir. İkinci sırayı diabetes mellitus almaktadır (%31.2). Özellikle kontrol altına alınamayan diabette karaciğere yağ girişi artmıştır. Ketoasidoz durumu da hiperlipemi, özellikle hipertrigliceridemi ile beraberdir ve bu da karaciğer yağlanması için sebepdir.<sup>23</sup>

Ülkemizde karaciğer yağlanması yol açan sebepler arasında tüberküloz önemli bir yer almaktadır. Uzun süre devam eden sebebi belli olmayan ateş vakalarında karaciğer biyopsisinde yağlanma tespit edilirse tüberküloz ilk akla gelen tanı olmalıdır. Serimizde sadece bir vakada lösemiye bağlı karaciğer yağlanması tespit edilmiştir.

Vakalarımızdan 3'üne kronik aggressiv hepatit, 6 tanesine de kronik persistant hepatit tanısı konuldu.

1947 yılında Kalk kronik hepatitlerin peritoneoskopik görünümünü, büyük karaciğer büyük beyaz karaciğer ve büyük çok renkli, alacalı, pürtülü karaciğer görünen olara olarak ilk tanımlayan yazar olmuştur.<sup>4, 24</sup>

Hastaların fizik ve biyoşimik bulgularının ışığı altında persistant ve aggressif hepatit tanısı konulan vakalarda histopatolojik tanıya uyan sonuçlar alınmıştır.<sup>25-27</sup>

Heyecanlanma ve konuşurken vücutundaki kızarma, 2-3 günde bir ishal yakınması ile servise karsinoid sendrom ön tanısı ile yatırılmış olan hastaya yapılan peritoneoskopide karaciğer her iki lobunda çeşitli büyüklükte, yaygın metastatik lezyonlar saptandı. Bu lezyonlardan Vim Silverman ile alınan biyopsi Karsinoid Sendrom tanısının doğruluğunu vurguladı.

Uzun süredir etyolojisi bilinmeyen ateş sebebi ile servise yatırılan hastanın peritoneoskopisinde karaciğerde yer yer mavimtrak lezyonlar tespit edilerek peritoneoskopik olarak Melanom tanısı konuldu. Bu lezyonlardan alınan biyopsi tanımızın doğruluğunu gösterdi.

Hastalarımızdan 24 tanesine karaciğer kist hidatiği tanısı peritoneoskopik olarak konuldu daha sonra yapılan ameliyat sonuçları tanımızın doğruluğunu gösterdi.

Kist hidatik gerek yurdumuzda sık görülmesi, gerekse komplikasyonlarının önemi yüzünden üzerinde durulması gereken bir hastaliktır. Kist hidatığının tanısı fizik muaneden sonra röntgen, sintigrafi, ultrasonografi, çöliak anjiografi, Casoni, Weinberg, kanda eozinofil aranması ve peritoneoskopi ile konulmaktadır.<sup>28, 29</sup>

Peritoneoskopide kistler karaciğer üzerinde tümsekler halinde görülür. Bazısı fildiği, gri renkte, suda yüzen yuvarlak ping pong topları şeklinde görülür.<sup>30</sup> Sintigrafi ile defekt görülen veya palpasyonla kitle ele gelen durumlarda tümör ön tanısıyla ponksiyon yapılmaması kist hidatik'in memleketimizde sık görülmesi sebebiyle eldeki mevcut imkanlarla ekarte edilmesi gereklidir. Bu amaçla peritoneoskopik muayenenin yapılması şarttır.

Vakalardan 3'üne mezotelyoma, 22'sine de peritonit tüberküloz tanısı peritoneoskopik bulguların ışığı altında konuldu. Peritoneoskopik muayene sırasında endoskopun içinden geçirilen forceps ile paryetal peritonundaki lezyonlardan alınan biyopsi histopatolojik olarak tanımızı desteklemiştir.

Mezotelyoma peritonun primer kanseridir. Bu hastalık otopsi ile veya laparotomi esnasında teşhis edilmektedir.<sup>31,32</sup> Bugüne kadar peritoneoskopi ve periton biyopsisi ile tanı konulmuş bir vaka mevcuttur.<sup>33</sup> Mezotelyomada paryetal periton ve diğer abdominal organlarda peritoneoskopik olarak çeşitli büyülüklükte nodüller ve plaklar halinde tümöral oluşumlar görülür. Bazı vakalarda barsak loplari arasında yapışıklıklar tespit edilmektedir. Mezotelyoma en fazla peritoneal karzinomatozisle karışmaktadır. Tümörle bağlı nodüller peritoneoskopide aynı görünümü vermektedir. Bu iki hastalık endoskopik muayene esnasında forseps ile alınan biyopsi vasıtıyla histopatolojik olarak ayrılabilmektedir.

Mezotelyoma ile peritonit tüberküloz peritoneoskopik olarak bazı kriterlere dikkat etmek suretiyle ayırdedilebilmektedir. Peritonit tüberkülozda paryetal periton ödemli, etrafı erythematöz beyaz nodüller ihtiiva eder. Mezenter, omentum ve barsaklar arasında yapışıklıklar mevcuttur. Peritonit tüberküloz tanısı alan 22 vakamızdan 18 tanesi kadındır. Kadınlarda peritonit tüberkülozun erkeklerde oranla daha fazla görülmesinin sebebi şüphesiz genital yolla hastalığın yayılmasından ileri gelmektedir.

Peritoneoskopi altında görerek yapılan karaciğer biyopsisi, protrombin zamanının uzadığı ve cilt yolu biyopsisinin kontrendike olduğu hallerde de seçilecek yoldur; burada bir kanama görülürse direkt basınç yahut diatermi pihtilaşturmazı ile durdurulabilir.<sup>34</sup> Bir hepatomanının cerrahi yönden değerlendirilmesinde ve Hodgkin hastalığının evrelenmesinde<sup>35</sup> peritoneoskopinin özel bir yeri vardır.

### **Peritoneoskopi Endikasyonları**

Bütün karaciğer hastalıklarının ilk teşhisini (tercihen kör karaciğer biyopsisi ile değil, peritoneoskopi altında lezyonu görerek) Vim Silverman

iğnesi veya forseps ile (Şekil 1 E) biyopsi almak suretiyle yapılmalıdır. Çünkü özellikle kronik karaciğer hastalıklarında histoloji ile makroskopik bulgular arasında uyuşmazlık tespit edilmektedir.

Peritoneoskopi endikasyonları dört gruba ayrılır:

I. a- Akut hepatitte seyir kontrolü

b- Kronik hepatit

c- Karaciğer sirozu

d- Portal hipertansiyon

e- Asit

f- İkterin ayrırcı tanısı

II. Diğer abdominal hastalıklar

a- Akut ve kronik ağrılar

b- Tümör araştırması ve karaciğer metastazlarının araştırılması

c- Kanser evrelendirilmesi

d- Konjenital anomaliler

e- Şüpheli travmalar

f- Peritoneal hastalıklar

g- Araştırma

III. Jinekolojik amaçla

a- Primer ve sekonder infertilite

b- Açıklanamayan pelvik ağrı

c- Dış gebelik şüphesi

d- Adet düzensizlikleri

e- Küçük pelvik kitelerinin değerlendirilmesi

f- Konjenital anomaliler

g- Endokrin bozukluklar

IV. Tedavi amacıyla

a- Tüp sterilizasyonu

b- Ovarian follikül ve oosit aspirasyonu

c- Rahim içi araçların çıkarılması

d- Yapışıklıkların serbestleştirilmesi

e- Over kistinin aspirasyonu

f- Endometriozis katerizasyonu

g- Uterus vantr suspansiyonu

g- Uterus sakral ligament kesilmesi

h- Pelvik, abdominal ve karaciğer nodüllerinden biyopsi

i- Over biyopsisi

## **Peritoneoskopinin Kontrendikasyonları**

Kesin

- Jeneralize peritonit
- İleus
- Umbilikal veya diafragmatik herni
- Ciddi kalp ve akciğer hastalıkları

Nispi

- Aşırı şişmanlık
- Peritonite bağlı yapışıklıklar
- Gebelik
- Karin ön duvarında yaygın kanser
- Birden fazla geçirilmiş laparotomi
- Anestezije bağlı problemler

## **Peritoneoskopi Komplikasyonları**

Peritoneoskopi, tecrübelevi araştırmacılar elinde tamamen sakıncasız denemezse de, sakincaları pek az olan bir araştırma metodudur. Bir teşhis metodu için, riskin mümkün mertebe sıfır olması gereği, fakat peritoneoskopide sıfır olmadığı için, bu tetkikin yapılması için endikasyon konurken çok temkinli davranılmalıdır. Peritoneoskopi sırasında meydana gelen komplikasyonlar Tablo VI da görülmektedir.

**TABLO VI**  
**PERITONEOSKOPİNİN MAJOR KOMPLİKASYONLARI**

- 
- Pnömoperitenum
  - Gaz embolisi
  - Kardiak arrest
  - Pnömotoraks
  - Hemoraji
  - Organlarda perforasyon
  - Trokar yaralanmaları
  - Barsak
  - Büyük damarlar
  - Yardımcı cihazlara bağlı
  - Barsakta elektrikle oluşan yanıklar, perforasyonlar
  - Kanama
- 

Peritoneoskopide mortalite % 0.1-0.2 arasında değişmektedir.<sup>36, 37</sup> Büyük serilerde ciddi komplikasyon % 1 den fazla değildir.<sup>38</sup>

Gaz embolisi ven içine gaz verilmesi ile meydana gelmektedir. Bir çalışmada gaz embolisine bağlı 642 komplikasyondan 6 tanesi ölümle sonuçlanmıştır.<sup>39</sup> Tanı amacı ile yapılan 63.845 peritoneoskopi vakasında 1594 gaz embolisi tespit edilmiştir.<sup>40</sup>

Veress iğnesi ile her 1000 vakadan 7.4'ünde pneumoperitoneum rapor edilmektedir.<sup>41</sup>

İki bin vakada kardiak arrest % 1, 8000 vakada ise kardiak arrest sonucu ölüm % 1 nisbetinde tespit edilmiştir.<sup>42</sup> Ölüm kardiak aritmi ve hipoksi sonucu meydana gelmektedir.

Pnömoperitoneum ile birlikte ağır pnömotoraks sonucu hipoksi görülebilir.<sup>43</sup> Konjenital yarıklardan gaz retroperitoneal olarak geçer pnömomediastinuma sebep olur. Diğer bir geçiş yolu da diafragmadaki defektlere bağlı aort ve özofagus civarındaki zayıf noktalardan göğüs boşluğuna geçebilir.

Peritoneoskopi sırasında aorta, vena cava ve iliak damarlarda yaralanma olabilir. 1975'de Penfield<sup>44</sup> Amerika, Kanada, İngiltere ve Hollanda'da 25 uzman peritoneoskopistle yapmış olduğu araştırmada 19 vakada damar yaralanması meydana geldiğini toplamıştır.

Yardımcı cihazların kullanılması sırasında ciddi komplikasyonlar meydana gelebilmektedir. 1000 vakada % 2.2 oranında elektrik yaralanması tespit edilmiştir.<sup>45</sup> Yanık'a bağlı komplikasyonlar genellikle ince barsakların terminal ileum kısmında oluşmaktadır, kalın barsaklarda ise nadiren görülmektedir. Karın ön duvarından tanı amacı ile biyopsi yaparken ve sıkılıkla kanayan sahanın koagülasyonu sırasında gastrointestinal kanalda % 0.2 nisbetinde yanık'a bağlı komplikasyon meydana geldiği bildirilmektedir.<sup>46</sup>

İki yüz on vakaya tatbik edilen peritoneoskopi esnasında ölüm ve ciddi bir komplikasyon tespit edilmedi.

### Sonuç

Karaciğerin yaygın olarak hastalandığı hepatit, siroz, primer ve sekonder tümörlerinde cilt yolundan uygulanan kör biyopsi yerine, görerek yapılacak bir karaciğer biyopsisi, kesin histolojik teşhise daha fazla yardımcı olur. Ufalmış sirozlu bir karaciğer asit içinde yüzerken buna cilt yolu biyopsisi uygulamak zordur; halbuki peritoneoskopide bu, kolayca yapılabilir. Paryetal peritonu tutan hastalıkların kesin tanısını koyabilmek için peritoneoskopi altında lezyonun bulunduğu kısımdan biyopsi almak mümkündür. Karın içi hastalıklarının tanısında peritoneoskopinin önemli bir yeri vardır.

### Özet

Hacettepe Üniversitesi Tıp Fakültesi Gastroenteroloji Bölümünde 1974 yılından 1981 yılı ilk üç ayına kadar 210 hastaya peritoneoskopi uygulandı. Total 181 vakadan karaciğer ve peritonadan biyopsi alındı.

Çalışmada vakalar 3 grup altında toplandı.

I. Peritoneoskopik tanı sonucu medikal tedavi ile hastalıkları kontrol altına alınan ve yaşam süreleri uzayan vakalar.

Peritoneoskopik inceleme yapılan 73 karaciğer sirozu vakasının % 53.5 unda makronodüler, % 31'inde mikst ve % 15.5 unda mikronodüler görünümde karaciğer sirozu saptanmıştır.

181 hastadan 16'sına karaciğer yağlanması tanısı konuldu. Serimizde karaciğer yağlanmasıın sıklığı % 8.6 dır.

II. Peritoneoskopik tanı sonucu medikal tedavi imkanını kaybetmiş vakalar.

19 vakada Siroz + Hepatosellüler karsinom, 2 vakada Kolanjio-karsinoma, 29 vakada karaciğer metastazı tespit edildi. 7 vaka peritoneal karsinomatozis, 3 vakada mezatelyoma tanısı aldı.

III. Peritoneoskopik tanı sonucu cerrahi tedaviden istifade eden grup.

24 vakada karaciğer hidatik kisti, 1 perikolesistit, 1 over kisti vakası tespit edilerek cerrahi tedavi ile sağlıklarına kavuştular. Bu sonuçlar peritoneoskopinin karın içi hastalıklarının tanısında çok gerekli ve güvenilir bir metot olduğunu ortaya koymaktadır.

#### KAYNAKLAR

1. Jacobaeus, H. C.: Über die Möglichkeit die zystoskopie bei Untersuchung seröser Höhlungen anzuwenden. München Med Wochenschr 58: 2017, 1911.
2. Bernheim, B. M.: Organoscopy, cystoscopy of the abdominal cavity. Ann Surg. 53: 764, 1911.
3. Korbsch, R.: Lehrbuch und Atlas der Laparound Thorakoscopie. München. Lehmanns, 1927.
4. Kalk, H.: Erfahrungen mit der Laparoskopie (rungleich mit Beschreibung eines neuen Instrumentes). Z Klin Med. 111: 303, 1929.
5. Ruddock, J. C.: Peritoneoscopy. West. J. Surg. 42: 392, 1934.
6. Velicangil, S.: Biyoloji, tip ve eczacılık bilimlerinde istatistik metodları. Sermet Matbaası, 1975.
7. Baggenstoss, A. H.: Morphological features: Their usefulness in the diagnosis, prognosis and management of cirrhosis. Clin. Gastroenterol. 4: 227, 1975.
8. Wildhirt, E.: Laparoskopie. Vertrag auf dem 2. Türkischen Seminar über Leberkrankheiten in İstanbul 17-18.5.1973.
9. Vido, I., Wildhirt, E.: Korrelation des laparoskopischen und histologischen Befundes bei chronischer Hepatitis und Leberzirrhose. Dtsch. Med. Wschr. 33: 1633, 1969.

10. Oran, M.: Karaciğer, safra yolları ve kronik periton hastalıklarında laparoskopinin tanı değeri. İst. Tıp Fak. Mec. Supp. 67. 38: 1, 1975.
11. Böülükoğlu, M. A., Aslan, M., Gümüşdiş, G., Kabalak, T., Çelen, N.: Karaciğer sirozlarının tanısında laparoskopik bulguların biyoptik bulgularla karşılaştırılması. İzmir Devlet Hastanesi Mec. 3: 567, 1974.
12. Kühn, H. A.: Lebercirrhose und ihre unterformen in klinische gastroenterologie. Herausegegeben Von L. Demling Band II. George Thieme Verlag, Stuttgart, 1973.
13. Sherlock, S.: Diseases of the liver and biliary system. Fourth Edition Blackwell Scientific Publications Oxford, 1968.
14. Tong, M. J., Sun, S. C., Schaeffer, B. T., Chang, N. K., Lo, K. J. Peters, R. L.: Hepatitis-associated antigen and hepatocellular carcinoma in Taiwan. Ann. intern. Med. 75: 687, 1971.
15. Vogel, C. L., Anthony, P. P., Mody, N. Barker, L. F.: Hepatitis-associated antigen in Ugandan patients with hepatocellular carcinoma. Lancet 2: 621, 1970.
16. Sherlock, S., Fox, R. A., Niazi, S. P., Scheuer, P. J.: Chronic liver disease and primary liver-cell cancer with hepatitis-associated (Australia) antigen in serum. Lancet 1: 1243, 1970.
17. Hirschman, S. Z., Vernace, S. J., Scheffner, F.: D. N. A. polymerase in preparations containing Australia antigen. Lancet 1: 1099, 1971.
18. Dietschy, J. M.: Disorders of gastrointestinal tract, Disorders of the Liver, Nutritional Disorders, New York, Grune and Stratton, 1976, p. 227-228.
19. Isselbacher, K. J., Alpers, D. H.: Fatty liver: Biochemical and clinical aspects. In Diseases of the Liver. Edited by L. Schiff, Philadelphia, J. B. Lippincott Company, 1969, p. 673-689.
20. Spiro, H. M.: Clinical Gastroenterology. Second edition. New York, Macmillan Publishing Co., Inc., 1977.
21. Hofstetter, J. R., De Werra, P.: La steatore du foie: Etiologie et formes clinique. Gastroenterologie 103: 245, 1965.
22. Soffer, L. J., Iannaccone, A., Gabrilone, J. L.: Cushing's syndrome, a study of 50 patients. Am. J. Med. 30: 129, 1961.
23. Creutzfeldt, W., Frerichs, H., Sickenger, K.: Liver diseases and diabetes mellitus. In Progress in Liver Diseases. Edited by H. Popper, F. Schaffner, New York, Grune and Stratton, 1970, p. 371-408.
24. Böülükoğlu, M. A.: Kronik Hepatit, Ege Üniv. Tıp Fak. Mec., 9: 377, 1970.
25. Gürakar, M.: Karaciğer Hastalıkları, 2. Baskı, Altınova Matbaası, İst. 1973, s. 111.
26. Hafsteer, E.: Practische Gastroenterologie, Stuttgard, 1973, s. 448.
27. Özgüven, Ö.: Kronik hepatitte laboratuvar bulguları, Kronik Hepatit Edit. Aktuğ, A., Bornova, 1975, s. 49.
28. Uğur, D. A., Candar, Z., Uzer, R.: Karaciğer hidatik kistleri. A. Ü. Tıp Fak. Mec.. 29: 533, 1976.
29. Böülükoğlu, M. A., Aslan, M., Bilkay, B. Ç., Atabay, G.: Karaciğer kist hidatik'inin laparoskopik tanısı, Türk Gastroenteroloji Dergisi, 2: 197, 1981.
30. Moertel, C. G.: Peritoneal mesothelioma, Gastroenterology 63: 346, 1972.
31. Roberts, G. H., Irvine, R. W.: Peritoneal mesothelioma: A report of 4 cases. Br. J. Surg. 57: 645, 1970.

32. Eslami, B., Lutcher, C. L.: Ante mortem diagnosis in two cases of malignant peritoneal mesothelioma. *Am. J. Med. Sci.*, **267**: 117, 1974.
33. Balfour, T. W.: Laparoscopy in liver disease. *The Lancet*, vol. I, No: 7960, 612, 1976.
34. Michael, B., Grieco, Blake Cady: Staging Laparotomy in Hodgkin's Disease. *Sur. Cli. of Nor. Ame.*, **60**: 369, 1980.
35. Horowitz, S. T.: Laparoscopy in gynecology. *Obstet. Gynecol. Surv.*, **21**: 1, 1972,
36. Vilardell, F., Seres, I., and Merti-Vincente, A.: Complications of peritoneoscopy: Survey of 1,455 examinations. *Gastrointest. Endosc.*, **14**: 178, 1968.
37. Phillips, J., Keith, D., Hulka, J., et al.: Gynecologic laparoscopy in 1975. *J. Reprod. Med.*, **16**: 105, 1976.
38. Siegler, A. M.: Trends in laparoscopy. *Am. J. Obstet. Gynecol.*, **109**: 794, 1971.
39. Brühl, W.: Complications of laparoscopy and liver biopsy under vision: The results of a survey. *Med. Monthly* **12**: 31, 1967.
40. Phillips, J. M.: Complications in laparoscopy. *Int. J. Gynaecol. Obstet.*, **15**: 157, 1977.
41. Cognat, M., Gerald, D., and Vignaud, A.: Quoted by Fishburne, J. I., Jr., and Keith, L.: Anesthesia. In Phillips, J. M. (ed.): *Laparoscopy*. Baltimore, Williams and Wilkins Co., 1977.
42. Doctor, N. H., and Hussain, Z.: Bilateral pneumothorax associated with laparoscopy: A case report of a rare hazard and review of literature. *Anaesthesia*, **28**: 75, 1973.
43. Penfield, A. J.: Trocar and needle injuries. In Phillips, J. M. (ed.): *Laparoscopy*. Baltimore, Williams and Wilkins Co., 1977.
44. Loffer, F. D., and Pent, D.: Statistics. In Phillips, J. M., (ed.): *Laparoscopy*. Baltimore, Williams and Wilkins Co., 1977.
45. Wheless, C. R.: Thermal gastrointestinal injuries. In Phillips, J. M. (ed.): Baltimore, Williams and Wilkins Co., 1977.
46. Siede, W., Schneider, H.: *Leitfaden und Atlas der Laparoskopie*, J. F. Lehmanns Verlag München, 1961, s. 36-57.
47. Beck, K., Schaefer, H. J.: *Color Atlas of Laparoscopy*, F. K. Schattauer Verlag, Stuttgart, 1970, s. 42-47.
48. Lent, H.: The microstructures of the hepatic surface in laparoscopic magnification, *Endoscopy of the Digestive Systeme*, Edit. Maratka, Z., Setka, J.: Karger Basel (Switzerland), 1968, s. 102-103.

# Hemodiyaliz İçin Damarsal Girişimler

**Dr. Mehmet Bakkaloğlu\* / Dr. Doğan Remzi\***

Bilindiği gibi hemodiyaliz, akut ve kronik böbrek yetmezliğinin tedavisinde uygulanan bir tedavi yöntemidir. Akut olgularda çoğu kez sorun yaratmayan damarsal girişimler, uzun süreli hemodiyaliz programındaki hastalarda çeşitli problemler yaratır. Hemodiyalizi 1975 yılından beri etkin bir şekilde uygulamakta olan ülkemizde, hemodiyaliz için kullanılan damarsal girişim yöntemlerini bir yazı ile özetlemeyi uygun bulduk. Yazımızda önce, hemodiyalizin tarihçesi, hemodiyaliz için gerekli damarsal girişimlerin sınıflandırılması ve daha sonra bu girişimler hakkında bilgiler verilmeye çalışılacaktır.

## Tarihçe

Hemodiyaliz ilk kez 1913 yılında Abel ve arkadaşları tarafından kolloidan tüpler kullanılarak deney hayvanlarında uygulandı. Ancak bu çalışmalar insanlara uygulanmadı.<sup>1</sup> 1944 yılında Kolff, W. J. ve Berk, H. T. J., selofan membranlardan yaptıkları hemodiyaliz makinesini insanlara uygulayarak akut ve kronik böbrek yetmezliğinin tedavisine yeni bir yön verdiler.<sup>1</sup>

Hemodiyaliz makineleri gelişirken hastaların makinelere bağlanması sorunlar yaratmaktadır. Kolff ve arkadaşları (1959) vena kavayı kanülize ederek kan elde etmekte ve dönüş için periferik venlerden birini kullanmaktadır. Alwall (1947) radyal arteri kanülize ederken Murray (1947) vena kava ve femoral veni kullanmaktadır. MacLean (1948) damarları cam kanüller kullanarak kanülize etmiştir. Teschan ve arkadaşları (1960) kanülizasyonda plastik kanül kullanmışlardır. Ancak cam ve plastik kanüllerle, arteriyel ve venöz uçlar on günden fazla kullanılmamıştır.<sup>1</sup>

\* Hacettepe Üniversitesi Tıp Fakültesi Uroloji Bilim Dalı Öğretim Üyesi.

Quinton, Dillard ve Scribner (1960) teflon-silastik arteriyö-venöz şant (AVŞ) i geliştirerek, hemodiyalizin etkin, rahat, standart ve uzun süreli bir tedavi yolu olmasını sağladılar. Bundan sonra çeşitli damarsal girişimler geliştirildi. Arteriyö-venöz fistül (AVF) 1966 da Brescia, Cimino, Appel ve Hurwicz tarafından yeni ve etkin bir girişim olarak ortaya konulurken, May, Tiller, Johnston, Stewart, Sheil (1969) otojen ven greftini greft AVF olarak hemodiyalizin hizmetine soktular.<sup>1</sup>

Özellikle, böbrek nakli bekleyen kronik böbrek yetmezlikli hastaların uzun sürebilen bekleme dönemleri çeşitli damarsal girişim problemleri yaratmakta, problemlerin zorlaması değişik damarsal girişimlerin yaratılmasına yol açmaktadır. Bugün, hemodiyaliz için gerçekleştirilmiş damarsal girişimleri aşağıdaki gibi sınıflandırmak mümkündür.<sup>1-4</sup>

### *I- Primer Girişimler*

- A- Arteriyo-Venöz Şant (AVŞ)
- B- Arteriyo-Venöz Fistül (AVF)

### *II- Sekonder Girişimler (Graft Arteriyo-Venöz Fistüller)*

- A- Otojen ven greft AVF
  - 1. Safenöz ven AVF
- B- Heterojen greft AVF
  - 1. Sentetik greft AVF
    - a. Dakron materyel AVF
    - b. Teflon (Politetrafloroetilen) materyel AVF
  - 2. Yarı sentetik greft AVF
    - a. İnsan umblikal ven greft AVF
    - b. Büyük baş hayvanların karotid arter greft AVF

### *III- Tersiyer Girişimler*

- A- Arteriyo-arteriyel şant (AAŞ)
- B- Aksillo-aksiller trans sternal greft AVF
- C- Aksillo-femoral greft AVF
- D- Subklaviyen arter-juguler venöz greft AVF
- E- İnnomineyt venin subdermalizasyonu

*IV- Alternatif Girişimler (Damarların direkt kaniülizasyonu)*

- A- Subklaviyen ven
- B- Eksternal juguler ven
- C- Femoral ven
- D- Femoral arter

**I. A: Arteriyo-venöz Şant (AVŞ):** 1960 yılında Quinton ve arkadaşları tarafından geliştirilen ve bazı değişikliklere uğrayan şant bugün de en sık kullanılan şant tipidir. Ancak araştırmacılar vücutta, özellikle ekstremitelerde yan yana seyretmekte olan arter ve ven arasına vücut dışında bir köprü kurabilmek amacıyla, çoğu kez adları ile bilinen çeşitli şant tipleri geliştirmiştir:

1. Quinton-Scribner
2. Thomas
3. Allen-Brown
4. Ramirez
5. Buselmeier arteriyo-venöz şantları.

AVŞ çoğu kez akut böbrek yetmezliklerinde veya kronik böbrek yetmezlikli hastaların AVF gibi ideal damar girişiminin gelişmesinin beklenmesi döneminde veya süratle böbrek nakline gidecek hastaların hazırlık döneminde kullanılır.<sup>1,4</sup> AVŞ, sıklıkla alt ekstremitede posteriyor tibyal arter (veya gerektiğinde anteriyor tibyal arter) safenöz, ven, ön kolda radyal arter (uygun olmayan durumlarda ulnar arter) sefalik ven arasına, özellikle çocuklarda kolda brakiyal arter, sefalik ven arasına veya alt ekstremitede femoral arter, femoral ven arasına yerleştirilir.<sup>1,2</sup>

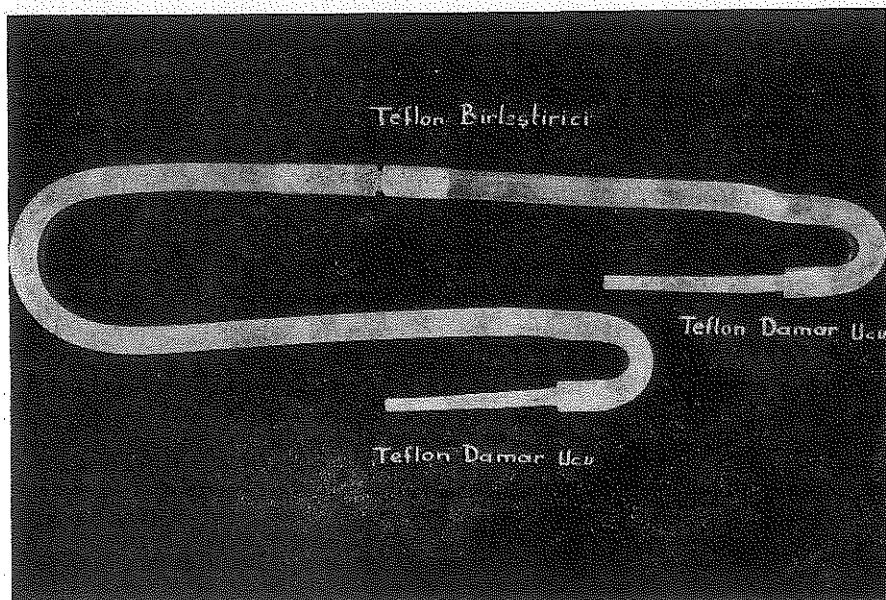
AVŞ parçalarının her türde göre bazı özellikleri olmakla birlikte birleşikleri noktaları söyle sıralayabiliriz:<sup>1</sup> Arter ve ven arasına vücut dışında köprüyü kuran materyel, bükülebilen, cilt altında tespitini sağlayan büküm veya uzantıları olan silikonize lastik veya silastikdir. İçinde kanın pihtlaşma olasılığı çok azdır. Vücut dışında arteriyel ve venöz uçları birleştiren parça teflon materyeldir. Ancak Buselmeier<sup>5</sup> şantında bu görevi tıkaçlar sağlar. Vücut dışındaki bu bağlantılar hemodiyaliz işlemi dışında kan akımını engellemezler. Bir kısım şant parçaları damarlara uç-yan veya uç-uca teflon-dakron olan uçlarının dikilmesi ile tutturulurken, bir kısım ise, kullanılacak damarın distali bağlanır ve damara damarın çapına uygun teflon damar ucu yerleştirilerek ana şant parçasına sokulur.

Çoğunlukla lokal anestezi şartları altında yerleştirilen AVŞ'ın en önemli üstünlüğü hemen kullanılabilmesi ve diyaliz makinesine giriş ve çıkışların ağrısız ve süratle yapılabilmesidir. Belirli bir kontrendikasyon yok ise AVŞ takılan hastanın antikoagule edilmesi şantın ömrünü uzatır. Buna rağmen aşağıdaki komplikasyonların görülebilme olasılığı unutulmamalıdır.<sup>1, 3-5</sup>

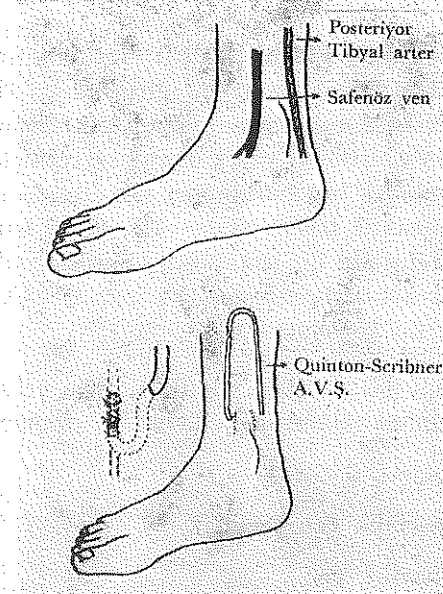
- Pihtlaşma, emboli
- İnfeksiyon
  - . Lokal
  - . Sistemik: Özellikle hemodialize bağlanması ve çıkarma işlemleri sırasında sistemik infeksiyonlara yol açılması olasıdır.
- Kanama
  - . Kazaen çıkışma: Tespitlere rağmen oluşabilir
  - . Vücut dışındaki birleşim yerinden uçların ayrılması veya tıkaçların çıkışması ile oluşabilir.
- Kanamaya bağlı hematom olması
- Cilt komplikasyonları
  - . Dermatid
  - . Erozyon (ciltte)
- Kısa kullanılabileme süresi (ortalama 7-10 ay)
- Az da olsa ekstremité hareketlerinde kısıtlama
- Kardiyak yüklenme (özellikle inguinal bölge ve brakiyal arter seviyesi şantlarında)

Fonksiyonu biten AVŞ 48 saat süre ile klempe edildikten sonra direkt olarak çekilir. Oluşabilecek kanamalar tamponadla durdurulur. Ancak Thomas ve Allen-Brown şantlarının çıkartılması, yerleştirilmesi gibi bir cerrahi girişim gerektirir. Bu genel ortak bilgilerden sonra değişik tipteki şantların özelliklerine değinebiliriz.

*1. Quinton-Scribner şanti:* (Şekil 1, 2). Yerleştirildiği ekstremitéde cilt altına tesbitini sağlayan özel kıvrımları olan şant parçaları sağ ve sol ekstremité için özellikler taşır. Distal uçları bağlanan arter ve vene çaplarına uygun damar uçları tutturulmuş şant parçaları takılır. Hastalar tarafından kolay tolere edilir ve mobilizasyonlarını engelmez.



**Sekil 1**  
Quinton-Scribner şanti.



**Sekil 2**  
Quinton-Scribner AVS'ının posteriyor tibyal arter ile safenöz ven arasına yerleştirilmesi izlenmektedir.

Pihtlaşma sorunu oluşursa, heparinli serum fizyolojik veya diğer fibrinolitik ajanlarla irrigasyon veya aspirasyon gibi işlemlerle pihti temizlenmeye çalışılır. Mevcut kıvrımları mekanik temizlemeye engel olur.<sup>1</sup>

2. *Thomas şantı*: Thomas, G. I., tarafından 1969 yılında geliştirilmiştir. (Şekil 3). Özellikle femoral arter ve vene uç-yan, dakron etekliği aracılığı ile tutturulur. (Şekil 4). Çocuklarda tercih edilmiştir.<sup>1, 3, 6</sup>

3. *Allen-Brown şantı*: Silastik materyelden yapılmış şant parçalarının ucundaki teflon-dakron kılıflar, damara uç-uca anastomozunu sağlar. Az kullanılan bir şant tipidir.<sup>1, 3</sup>

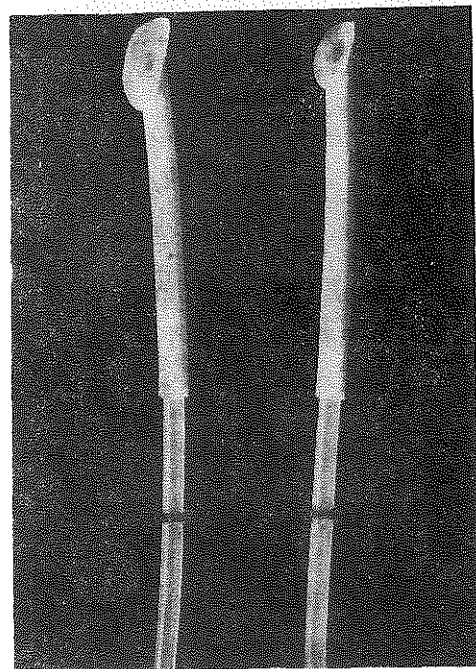
4. *Ramirez şantı*: Kanatlı şant olarak da bilinen bu şant 1966 yılında geliştirildi. Cilt altına tespitinde bu kanatlardan yararlanılmaktadır (Şekil 5). Damar çapına uygun damar uçları vardır. Pihtlaşma gibi bir komplikasyon geliştiğinde Fogarty kateteri ile pihtının temizlenebilmesi gibi bir üstünlüğü vardır.<sup>1, 3</sup>

5. *Buselmeier şantı*: Araştırcı iki ayrı tip şant geliştirmiştir. Biri arteriyö-venöz U tip (Şekil 6), diğeri arteriyö-arteriyel düz tipdir. Burada U tipi ele alınacaktır. Şantın vücut dışında bir birleşim yeri yoktur. Ancak arteriyel ve venöz uçları veren uzantılar hemodiyaliz işlemi sonrası, şant içindeki kan akımını engellemeyen özel tıkaçları ile kapatılır.<sup>3, 5</sup>

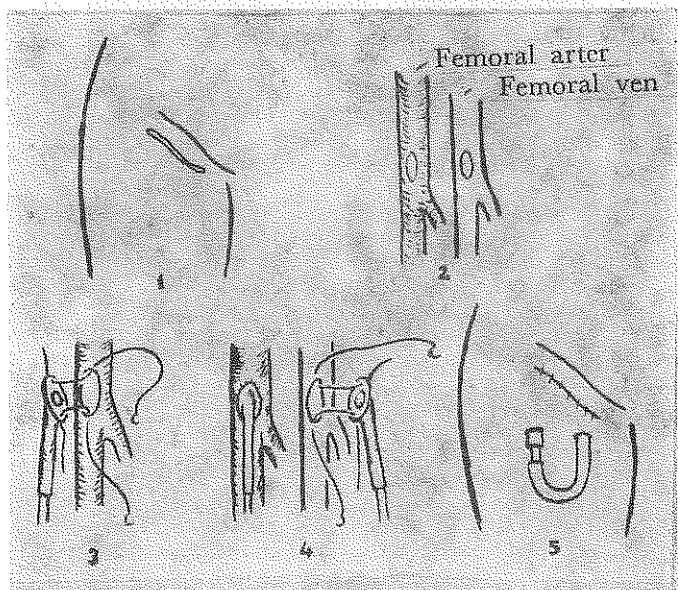
**I- B: Arteriyö-venöz Fistül (AVF):** Özellikle uzun süreli hemodiyaliz programlarında ideal damarsal girişimdir. Hemodiyaliz için sadece periferik venlerin kanülizasyonu yeterli kan akımı sağlayamaz. Bu nedenle yan yana veya birbirine yakın olarak seyretmekte olan bir arter ve ven arasında yapılacak bir anastomoz, cilt altında seyretmekte olan vende, arteriyel hidrostatik basınç nedeni ile yeterli kan akımı sağlayacaktır. Ayrıca vücut dışında bir uzantının, köprüün olmaması hastaya hem rahatlık ve hareket serbestisi verecek hem de AVŞ da olusabilecek komplikasyonlardan da koruyacaktır.<sup>1, 4</sup>

Böyle bir girişimi ilk kez 1966 yılında Brescia ve arkadaşları<sup>1</sup> tarif etmişlerdir. AVF için sıkılıkla aşağıda belirtilen damarlar kullanılmaktadır.<sup>1, 7, 8</sup>

- . Radyal arter-sefalik ven (Şekil 7)
- . Ulnar arter-bazilik ven
- . Brakiyal arter-sefalik ven
- . Posterior tibyal arter-safenöz ven.

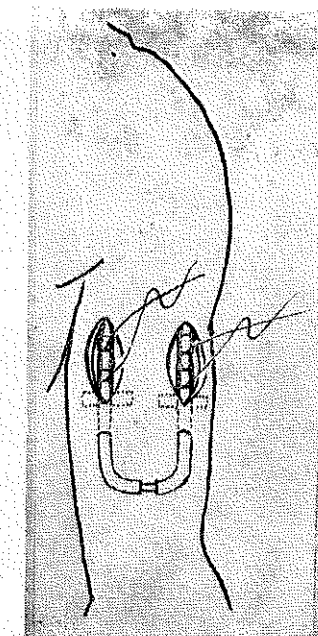


Şekil 3  
Thomas şanti.



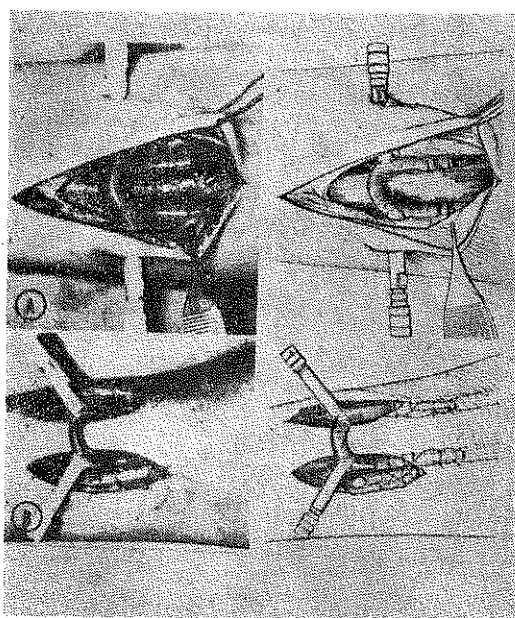
Şekil 4

Thomas şantının femoral arter ile femoral ven arasına yerleştirilmesi görülmektedir.



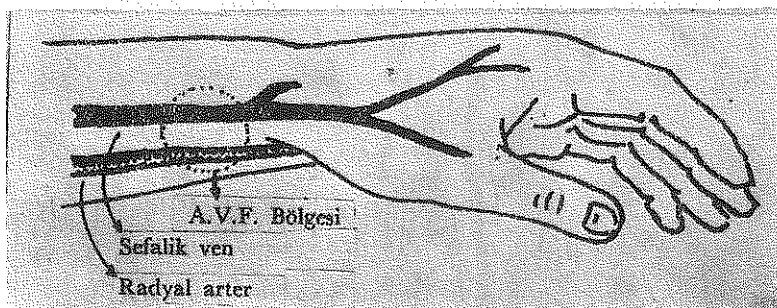
Şekil 5

Brakiyal arter ve sefalik ven arasına yerleştirilmiş Ramirez şanti görülmektedir.



Şekil 6

U tip Buschmeier şantının radyal arter ile sefalik ven arasına yerleştirilmesi izlenmektedir.

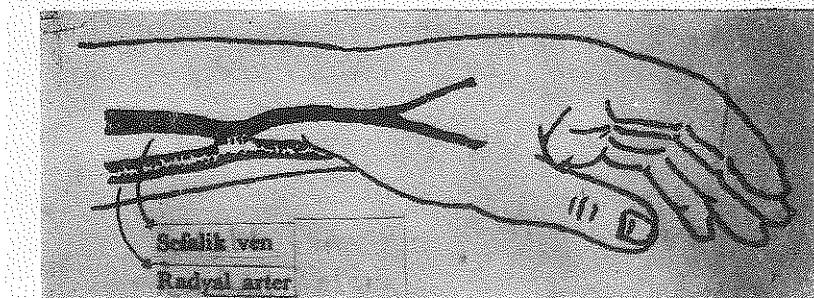


Şekil 7

El bileğinde AVF bölgesi.

İşlem, lokal anestezi şartları altında ve özel hassas aletlerle yapılır. Arter ve ven arasında yapılacak anastomoz:

- . Yan-yana (Şekil 8)
- . Uç-yan (Şekil 9), veya
- . Uç-uca yapılır. Sıklıkla hastanın az kullandığı (Dominant olmayan) kolunda radyal arter, sefalik ven kullanılır. İşlem sonucu antikoagulasyon gereklidir. Ancak ilk 24 saatlik uygulama yararlı olabilir.<sup>1, 9</sup>

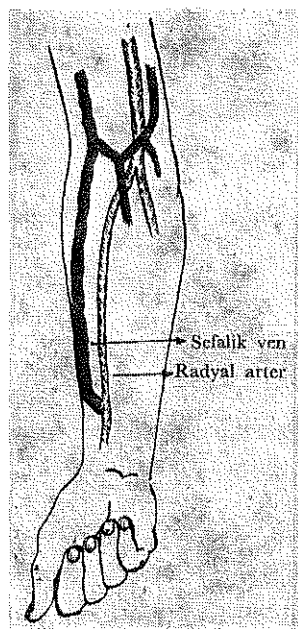


Şekil 8

Radyal arter ve sefalik ven yan-yana AVF.

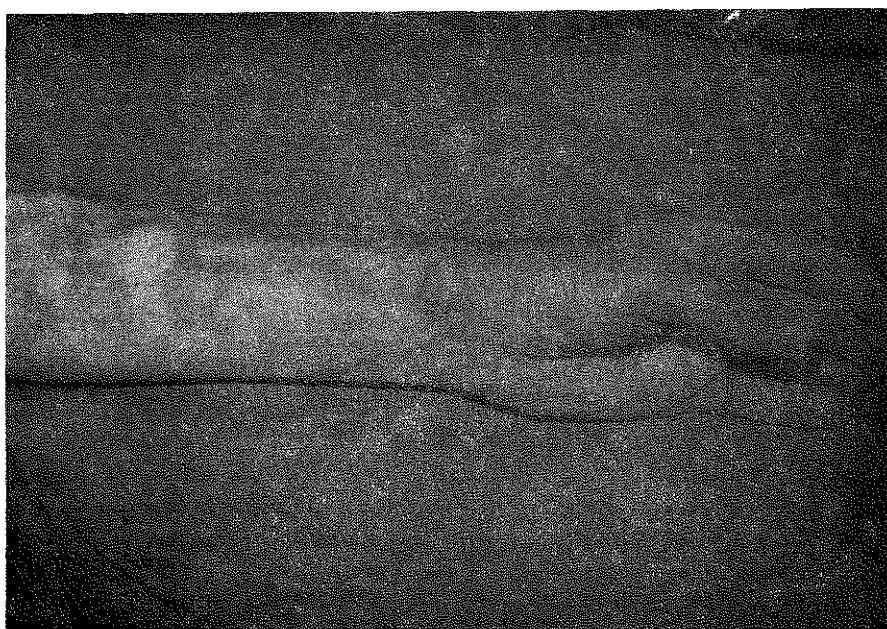
AVF yapıldıktan sonra 4-6 haftalık bir bekleme dönemi, ven duvarında arteriyelizasyon denilen histopatolojik değişiklik ve dilatasyon (Şekil 10) gelişirerek fistülün uzun ömürlü olmasını sağlar.<sup>1, 10</sup>

Brakiyal arter seviyesinden yapılacak AVF lerde kardiyak yüklenme daha sık görülebilir, ayak bileğinde posterior tibyal arter, safenöz ven arasında yapılacak AVF lerde, derinden seyreden safenöz venin kanülizasyonu zorluklar yaratacaktır.<sup>1, 10, 11</sup>



Şekil 9

Sefalik ven ve radyal arter uç-yan AVF.



Şekil 10

Sefalik ven, radyal arter uç-yan AVF. Hemodiyaliz için kanülize edilen dilate sefalik ven görülmektedir.

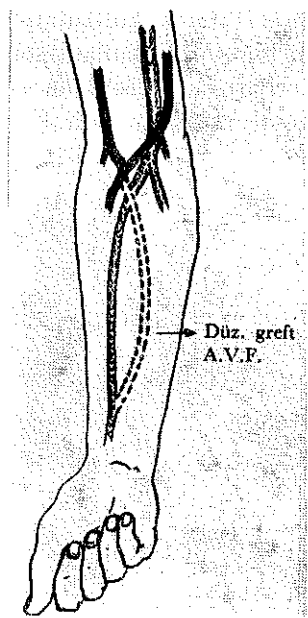
Arteriyo-venöz fistülün hemodiyaliz için ortalama kullanılabilme süresi 3-4,5 yıl, bir başka çalışmaya göre ise bir yıllık kullanılabilme yüzdesi % 91 olarak bildirilmektedir.<sup>1, 8</sup> Arteriyo-venöz fistülden sonra görülebilecek erken ve geç komplikasyonlar şöylece sıralanabilir:<sup>1, 2, 10-12</sup>

- Kanama
  - . Erken dönemde
  - . Geç dönemde
- Anevrizma oluşumu
  - . Gerçek anevrizma
  - . Yalancı anevrizma
- Emboli
- Vende daralma
- İnfeksiyon
  - . Lokal
  - . Sistemik
- O taraf ekstremitede iskemi: Çok ender görülür.
- Kardiyak yüklenme: Kalbe yakın ve geniş anastomozlu AVF de görülebilir.

## **II- Sekonder Girişimler (Greff Arteriyo-Venöz Fistüller):**

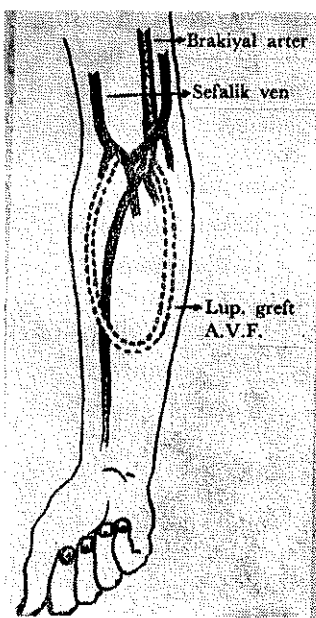
Bu girişimler özellikle AVŞ ve AVF olanaklarını yitirmiş uzun süreli hemodiyaliz programındaki hastalarda uygulanır. Otojen ve heterojen greftler olarak iki grupta toplanabilen bu greftler bir arter ve ven arasına cilt altından bir köprü kuracak şekilde yerleştirilir. Greft AVF ün ön kola yerleştirilmesi tercih edilir. Ancak kola ve bacaga da yerleştirilebilir. Greft, arter ve ven arasına ya lüp veya düz şekilde anastomoz edilir<sup>2, 13, 14</sup> (Şekil 11, 12, 13, 14, 15, 16). İşlem lokal veya genel anestezi altında gerçekleştirilir. İşlem sonrası ilk 24 saatlik antikoagulasyon yararlı olur. Otojen ven grefti kullanıldığından 6-8 haftalık bekleme dönemi greftin uzun ömürlü olmasını sağlayacaktır. Ancak heterojen greftlerle yapılan AVF lerin hemen kullanılması mümkündür.<sup>1, 14</sup>

Vasküler cerrahide bay-pas veya ikame greftleri olarak geliştirilen ve kullanılan bu greftler, hemodiyalizin hizmetine 1969 yılında May ve arkadaşlarının çalışmaları ile girmiştir.<sup>1</sup> Greft AVF lerde görülebilecek komplikasyonlar genel hatları ile şöylece sıralanabilir:<sup>1, 3, 8, 12-17</sup>



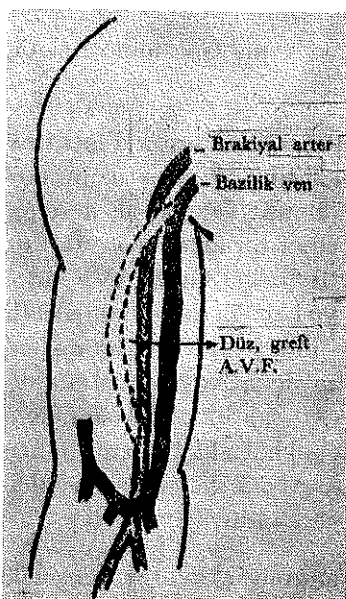
Şekil 11

Ön kolda, radyal arter ile antekübital fossada uygun bir ven arasına yerleştirilmiş düz grafted AVF.



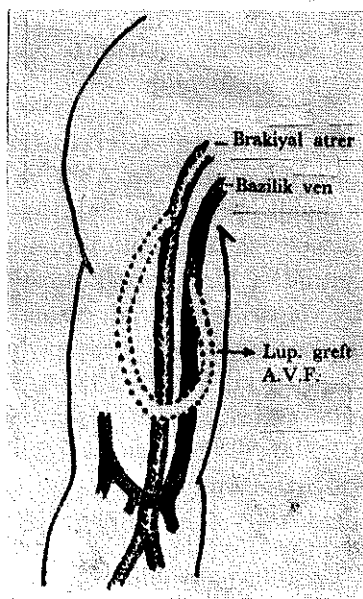
Şekil 12

Ön kolda, brakiyal arter ile uygun bir ven arasına yerleştirilmiş loop grafted AVF.



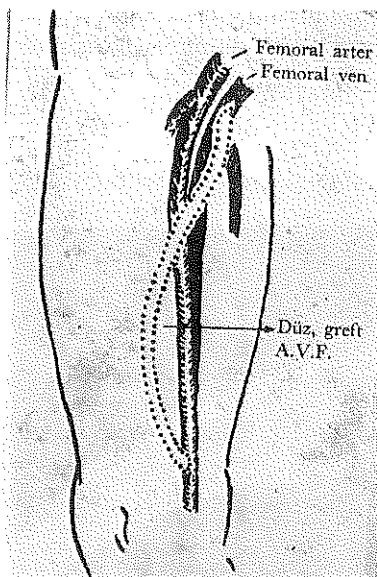
Şekil 13

Kolda, brakiyal arter ile bazilik ven arasına yerleştirilmiş düz grafted AVF.



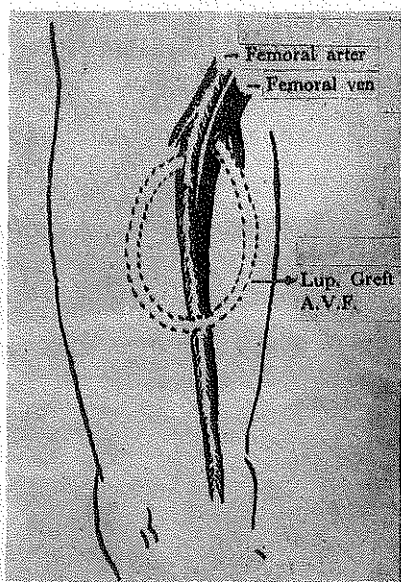
Şekil 14

Kolda, brakiyal arter ve bazilik ven arasına yerleştirilmiş loop grafted AVF.



Şekil 15

Süperfisiel femoral arter ile femoral ven arasına yerleştirilmiş düz greft AVF.

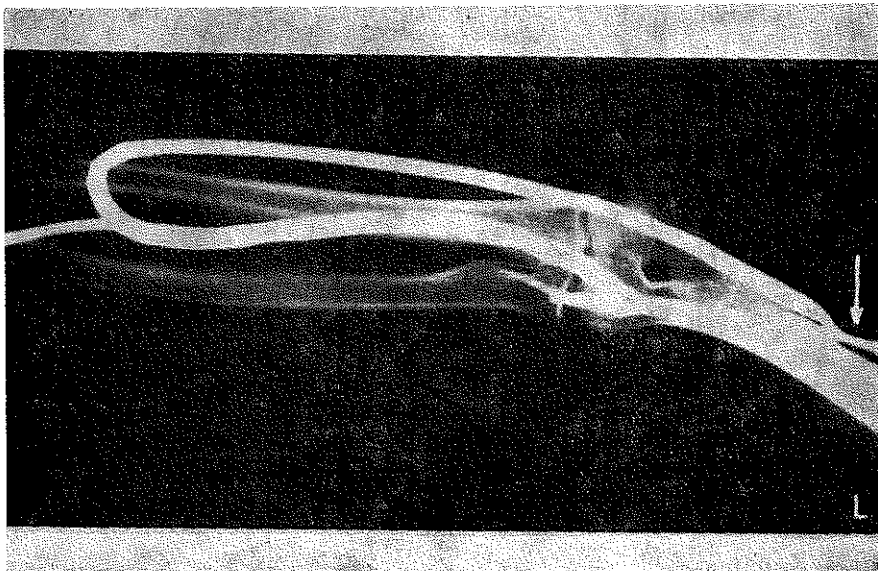


Şekil 16

Femoral arter ve femoral ven arasına yerleştirilmiş lumen graft AVF.

- Kanama
- Pihtlaşma
  - . Teknik
  - . Hipotansiyon
  - . İnfeksiyon
  - . Dehidratasyon, gibi nedenlerle oluşabilir.
- Anastomozun atması
- Anevrizma oluşumu
  - . Yalancı anevrizma: Hemodiyaliz iğnelerinin giriş yerlerinde, anastomozların çevresinde gelişebilir.
  - . Gerçek anevrizma : Özellikle otojen ven greftlерinde damar cıdarındaki zayıf noktalardan gelişebilir. Bu nedenle variköz venler kullanılmamalıdır.
- Seroma: Greft çevresine plazma sızıntısı.
- İnfeksiyon
  - . Lokal
  - . Sistemik

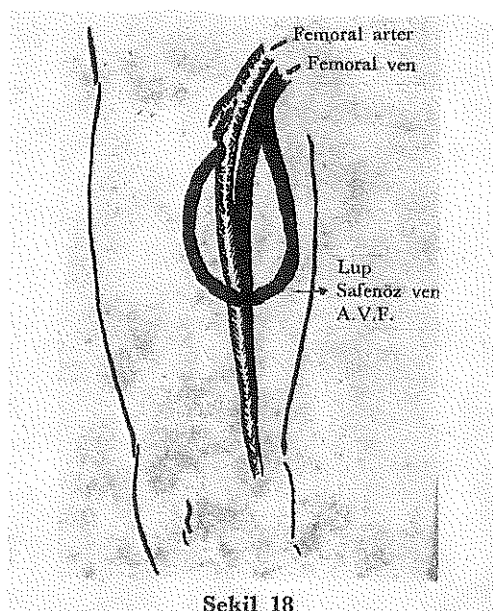
- İskemi: Greftin yerleştirildiği ekstremitenin distalinde gelişebilir. Bu hastaların daha önce çeşitli damarsal girişimler geçirmiş olmaları bu olasılığı arttırmaktadır.
- Venöz dönüste daralma (Şekil 17)



**Şekil 17**

Greftin, venöz anastomozunun hemen proksimalinde gelişmiş darlık okla işaretlenmiş olarak görülmektedir.

**II- A: Otojen Ven Greft AVF:** Bu girişimde sıkılıkla safenöz venin dizden inguinal bölgeye kadar olan kısmı kullanılır. Ayrıca yine bu venin, ayak bileğinden dize kadar olan kısmı veya eksternal juguler ven greft olarak kullanılabilir.<sup>1</sup> Hazırlanan diz-kasık safenöz veni May ve arkadaşlarının belirttiği klasik yöntemde, buradan alınıp ön kola transfer edilerek brakiyal arter, sefalik ven arasına ön kolda bir lup yapacak şekilde arter ve vene uç-yan anastomoz edilir<sup>1</sup> (Şekil 11, 12). Safenöz ven grefti, ön kola lup şeklinde yerleştirilebileceği gibi hastanın mevcut damarsal durumuna göre kolda veya ön kolda bir arter ve ven arasına düz şekilde de yerleştirilebilir<sup>1</sup> (Şekil 13, 14). Perez-Alvarez ve arkadaşları (1970) da, özellikle çocukların, disseke edilip hazırlanan safenöz venin distal ucunu femoral artere uç-yan anastomoz ederek uyluk iç yüzünde lup şeklinde bir greft AVF değişikliği geliştirmiştir<sup>1</sup> (Şekil 18). Hemodiyaliz için bir yıllık kullanılabilme % 45<sup>8</sup> olarak bildirilirken, Haimow, M., bir yıllık kullanılabilme yüzdesini % 100 ile % 42 olarak bildirmektedir.<sup>18</sup>



Şekil 18

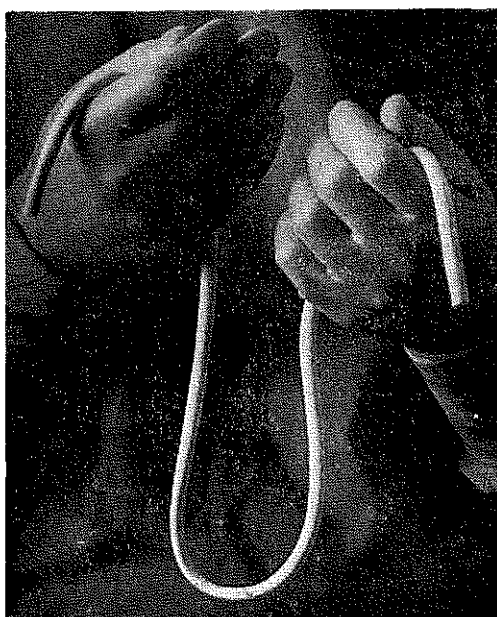
Safenöz ven, femoral arter uç-yan lup AVF izlenmektedir.

**II- B: Heterojen Graft Arteriyo-Venöz Fistüller:** Özellikle vasküler cerrahide damar replasmanlarında veya bay-pas tedavisinde kullanılan bu grefstler, daha önce belirtilen damarsal girişimlerin uygulanmasına müsait olmayan böbrek yetmezlikli hastalarda kullanılmaktadır.<sup>13, 18, 19</sup>

Amaç, hemodiyaliz için bir arter ve ven arasına bu grefstler aracılığı ile bir köprü kurmaktır. Kol ve ön kolda brakiyal, radyal ve ulnar arter ve uygun herhangi bir ven, bacakta, femoral, yüzeyel femoral arter ve femoral ven, safenöz ven arasına, düz veya lup şeklinde yerleştirilebilir.<sup>1, 13, 20</sup> Değişik çapalardaki bu grefstleri ticrari piyasalarдан elde etmek mümkündür.<sup>21, 22</sup> Ancak umbralik ven grefstinin kliniklerde hazırlanıp kullanılabileceği de bildirilmektedir.<sup>23</sup>

*1. a-Dakron Materyel AVF:* Dakron materyelden yapılmış grefstleri hemodiyalizde greft AVF için ilk kez uygulayan Sparks (1972)<sup>17</sup> olmuştur. İki aşamalı bir girişimle kullanılabilir hale gelen dakron greft AVF, çeşitli dezavantaj ve komplikasyonları nedeni ile çok fazla rağbet görmemiştir.<sup>17, 24</sup>

*1. b-Teflon Materyel (Politetrafloroetilen) greft AVF:* Politetrafloroetilen (PTFE) grefstlerin damar substitütyonlarında başarı ile kullanılabileceği Soyer ve arkadaşları<sup>22</sup> (1972) ve Matsumoto ve arkadaşları<sup>25</sup> tarafından ortaya konulmuştur (Şekil 19).

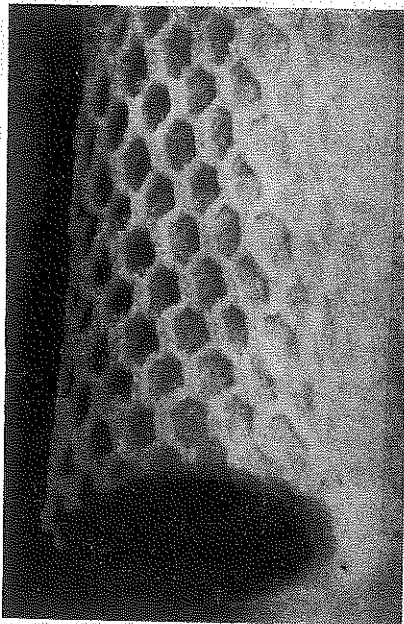


Şekil 19  
Politetrafloroetilen greft.

Teflondan yapılmış değişik çaptaki bu greftlerin hemodiyalize uygulanması 1976 lardan sonra başlamıştır. Bir çok araştırmacı, yaptıkları laboratuvar ve klinik çalışmalarla PTFE nin hemodiyaliz için ideal bir greft AVF olabileceğini kanıtlamışlardır.<sup>16, 21, 26, 27</sup> Hemodiyaliz için yıllık kullanılabilme % 87.0,<sup>20</sup> iki yıllık kullanılabilme % 74<sup>21</sup> olarak rapor edilmektedir.

**2. Yarı Sentetik Greft AVF ler:** Bu greftler, insan veya hayvan orijinli damarların (özellikle arter) antijenik yapılarının çeşitli enzimatik işlemlerle yok edilmesi ile elde edilir. Değişik uzunluk ve çaptaki bu greftler, kardiyovasküler cerrahide ve hemodiyaliz için AVF yaratmada kullanılmaktadır.<sup>28-30</sup> Yarı sentetik greftler iki grupta toplanır.

**2. a-İnsan Umblikal Ven Grefti:** Dardik ve arkadaşları<sup>28</sup> (1973)ının maymunlarda yaptıkları çalışmalarla insan umblikal veninin damar replasmanında kullanılabileceği gösterildi. Elde edilen umblikal ven enzimatik işlemlerden geçirildikten sonra poliyester bir ağ içine yerleştirilerek cidarı güçlendirilir ve özel bir koruyucu içinde kullanıma sunulur<sup>30</sup> (Şekil 20). Umblikal ven greftlerini, hemodiyaliz uygulamasına H. Dardik (1976) sokmuştur. Bundan sonra bir çok araştırmacı umblikal ven grefti kullanarak, bu girişimin çeşitli yönlerini klinik ve laboratuvar çalışmalarla ortaya koydular.<sup>30, 31</sup> Hemodiyaliz için iki yıllık kullanılabilme % 60<sup>32</sup> olarak bildirilmektedir.



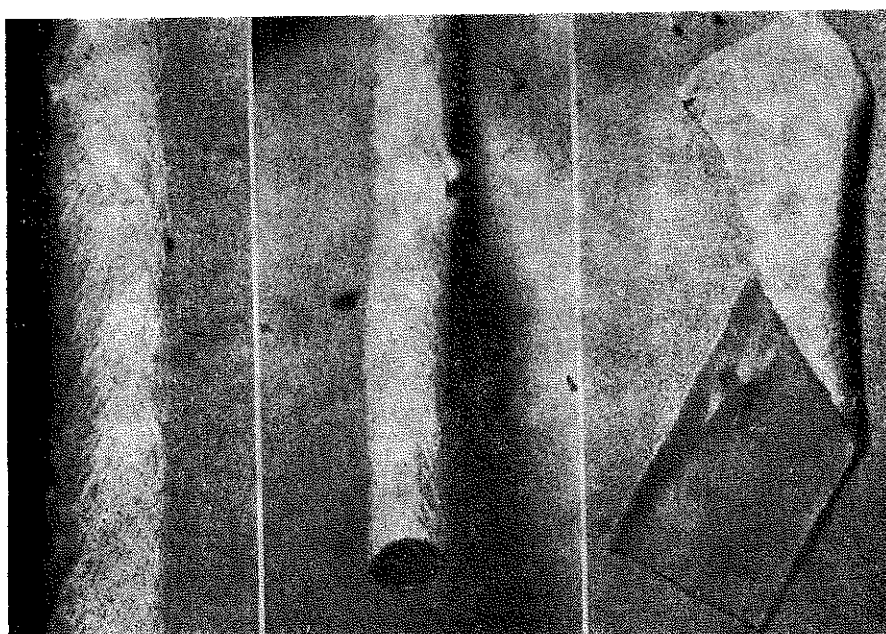
Şekil 20

Umbilikal ven grefti. (Yakın çekim)

*2. b-Büyük baş hayvanların karotid arter grefti:* (Şekil 21). De Falco (1970), Rosenberg ve arkadaşları (1966) büyük baş hayvanlarının karotid arterlerini, bazı enzimatik işlemlerden geçirdikten sonra damar replasmanında kullanılabileceğini kanıtladılar.<sup>33</sup> Bu yarı sentetik greft 1974 yılından itibaren hemodiyalize uygulanmaya başlandı, üstünlükleri komplikasyonları ve dezavantajları çeşitli çalışmalarla ortaya konuldu<sup>33-36</sup>. Hemodiyaliz için ortalama kullanılabilme süresi 20 ay<sup>3</sup> veya bir başka çalışmaya göre iki yıllık kullanılabilme % 76<sup>21</sup> olarak bildirilmektedir.

**III- Tersiyer Girişimler:** Yaşamlarını hemodiyalizle sürdürmekte olan kronik böbrek yetmezlikli hastalar, yıllar geçtikçe çeşitli damarsal sorunlarla karşı karşıya gelirler. Daha önce belirtilen damarsal girişim olanakları kullanılmış olan hastalarda tersiyer girişimler adı altında toplanabilen bazı girişimler uygulanarak hemodiyalizleri sürdürülebilir.<sup>2</sup>

*A- Arteriyo-arteriyel Şant (AAS):* Genellikle Buselmeier<sup>37</sup> tarafından geliştirilen düz tip AAS kullanılır. Bu amaçla, özellikle yüzeyel femoral arter veya üst ekstremitede kullanılabilcek durumda olan radyal veya ulnar arter proksimal ve distalden kanülize edilerek arteriyel akım devam-



Şekil 21

Büyük baş hayvanlarının karotid arter greftinin dış ve iç yüzleri görülmektedir.

ılığını vücut dışında ve şant içinde sürdürür. Hemodiyaliz, şant parçasının tıkaçları veya birleşim yeri aracılığı ile sağlanır.<sup>2,37</sup> Khalid, M ve arkadaşları<sup>38</sup> ve Giacchino, J. L.<sup>39</sup> ekstremitelerdeki bazı arterlerin proksimal ve distalini cilt altından bir greftle birleştirerek, arteriyo-arteriyel şanti daha güvenilir bir girişim haline getirmiştir.

*B- Aksillo-aksiller Transsternal Graft AVF:* Belirtilen greftlerden biri, sol aksiller artere uç-yan anastomoz edildikten sonra cilt altından sternumun önünden geçirilerek aksiller vene uç yan anastomoz edilerek elde edilen greft AVF hemodiyaliz için kullanılabilir.<sup>2,40</sup>

*C- Aksillo-femoral Graft AVF:* Sol aksiller arter ile sol femoral ven arasına cilt altından seyrederek anastomoz edilen bir greft aracılığı ile elde edilen bu greft AVF nemodiyaliz için kullanılabilir.<sup>2</sup>

*D- Subklaviyen Arter-Juguler Venöz Graft AVF:* Bu tersiyer girişimde bir greft, subklaviyen arterle juguler ven arasına cilt altından seyredecek şekilde yerleştirilir. Elde edilen greft AVF hemodiyaliz için kullanılır.<sup>2,41</sup>

*E- İnnomineyt Venin Subdermalizasyonu:* Sol klavikulanın 1/3 iç parçası rezeke edilerek innomineyt ven subdermalize edilir ve hemodiyaliz için rahatlıkla kanülize edilebilir.<sup>2</sup>

**IV- Alternatif Girişimler:** Özellikle akut renal yetmezliklerde veya gelişmesi beklenen damarsal girişimin (AVF, greft AVF gibi) bekleme döneminde, hastayı hemodiyalize alabilmek için başvurulan yöntemlerdir. Sıklıkla kaval sistem direkt olarak kanülize edilir. 1973 den itibaren tek iğneli hemodiyalizin uygulanabilmesi, böbrek yetmezliklerinde bir büyük damarın kanülizasyonu, hemodiyaliz ve kanülizasyon komplikasyonlarını da azaltmıştır.<sup>42</sup> Direkt olarak kanülize edilebilen damalar aşağıda belirtilmektedir:

*A- Subklaviyen Ven:* Seldinger (1953) teknigi ile, supraklaviküler veya infraklaviküler yolla kanülize edilebilir. Supra ve infraklaviküler kanülizasyonun üstünlük ve komplikasyonları klinik uygulamaları ile bildirilmiştir.<sup>1, 2, 11, 43</sup>

*B- Eksternal Juguler Ven:* Akut böbrek yetmezliklerinde kısa süreli hemodiyalizler için eksternal juguler ven de kullanılabilir.<sup>1</sup>

*C- Femoral Ven:* Shaldon (1961), kısa süreli hemodiyalizlerde femoral ven kanülizasyonu ile kaval sisteminde kan elde edilerek hemodiyalizin gerçekleştirilebileceğini, klinik uygulamalarla ortaya koymuştur. Daha sonra araştırcılar bu yöntemin değişik yönlerini çalışmaları ile göstermişlerdir.<sup>1, 2, 42</sup>

*D- Femoral Arter:* Hemodiyaliz için femoral arterin kanülize edilebileceğini yine Shaldon (1961) göstermiş ve uygulama alanına sokmuştur.<sup>1</sup>

#### KAYNAKLAR

1. Bell, P. R. F., Calman, K. C.: Surgical Aspects of Haemodialysis. Churchill Livingstone. Edinburgh and London. 1974.
2. Lawton, R. L.: Vascular Access: Always One More Arrow in the Quiver. Dialysis and Transplantation. 9: 10, 1980.
3. Dients, H. K. Oh., S. G. Toledo-Preyra, L. H.: Vascular Access for Chronic Hemodialysis: Practical Considerations. Dialysis and Transplantation. 8: 800, 1979.
4. Haimov, M.: Vascular Access for Hemodialysis. Surg. Gynec. and Obs. 141: 619, 1975.
5. Buselmeier, T. J., Kjellstrand, C. M., Santiago, E. A., Simmons, R. L.: A New Subcutaneous Arteriovenous Shunt: Applicable in Cases Where the Standart Quinton-Scribner Shunt and Arteriovenous Fistula have Failed. Surgery. 73: 512, 1973.
6. George I. Thomas: Improvisations with the Thomas Femoral Shunt. Dialysis and Transplantation. 9: 1152, 1980.
7. Hashmonai, M.: Utilisation of Saphenous Vein in situ for Creation of Internal Arteriovenous Fistula. Dialysis and Transplantation. 9: 833, 1980.

8. Foran, R. F.: Saphenous Vein and Bovine Arterial Grafts-A Comparative Study. Dialysis and Transplantation. June/July: 34, 1975.
9. Albert, F. W.: Prevention of Early Thrombus Formation in Arteriovenous Fistulae. Dialysis and Transplantation. **10:** 167, 1981.
10. Schweizer, R. T., Bartus, S. A.: Phlebosclerosis in Arteriovenous Fistulas. Dialysis and Transplantation. **6:** 42, 1977.
11. Langescheid, C., Kramer, P., Scheler, F.: Use of a Silver Clip to Reduce Exaggerated AV Fistula Blood Flow Rates. Dialysis and Transplantation. **6:** 56, 1977.
12. O'Regan, S., Willemant, D., Ducharme, G., Davignon, A., Robitaille, P.: Effects of Brescia-Cimino Fistulae on Myocardial Function in Pediatric Patients. Dialysis and Transplantation. **10:** 202, 1981.
13. Owens, M. L., Stabile, B. E., Gahr, J. A., Wilson, S. E.: Vascular Grafts for Hemodialysis: An Evaluation of Sites and Materials. Dialysis and Transplantation. **8:** 529, 1979.
14. Fee, H. J., Levisman, J., Doud, R. B., Golding, A. L.: High-output Congestive Failure from Femoral Arteriovenous Shunts for Vascular Access. Ann. Surg. **183:** 321, 1976.
15. Bolton, W., Cannon, J. A.: Seroma Formation Associated with PTFE vascular Grafts used as Arteriovenous Fistula. Dialysis and Transplantation. **10:** 60, 1981.
16. Hallin, R. W., Sweetman, W. R.: The Sparks' Mandril Graft. A Seven Year Follow-up of Mandril Grafts Placed by Charles H. Sparks and His Associates. Am. J. Surg. **132:** 221, 1976.
17. Sparks, C. H.: Silicone Mandril Method for Growing Reinforced Autogenous Femoro-Popliteal Artery Grafts in Situ. Ann. Surgery. **177:** 293, 1973.
18. Haimov, M., Burrows, L., Baez, A., Neff, M., Slifkin, R.: Alternatives for Vascular Access for Hemodialysis: Experience with Autogenous Saphenous Vein Autografts and Bovine Heterograft. Surg. **75:** 447, 1974.
19. Rosenberg, N.: The Bovine Arterial Graft and its Several Applications. Surg. **142:** 104, 1976.
20. Anderson, C. B., Etheredge, E. E., Sicard, G. A.: One Hundred Polytetrafluoroethylene Vascular Access Grafts. Dialysis and Transplantation. **9:** 237, 1980.
21. Butler, H. G., Baker, L. D., Johnson, J. M.: Vascular Access for Chronic Hemodialysis: Polytetrafluoroethylene (PTFE) Versus Bovine Heterograft. Am. J. Surg. **134:** 791, 1977.
22. Soyer, T., Lempinen, M., Cooper, P., Norton, L., Eiseman, B.: A New Venous Prosthesis. Surg. **72:** 864, 1972.
23. Zühlke, H. V., Anders, A., Harling, R.: Arteriovenous Fistulas Constructed with Formalin Fixed Human Umbilical Grafts. EDTA, XVII<sup>th</sup> Congress. Abstracts. June 10-13, Prague, 1980. s. 110.
24. Beemer, R. K., Hayes, J. F.: Hemodialysis Using a Mandril-Grown Graft. Trans. Amer. Soc. Artif. Int. Organs. **XIX:** 43, 1973.
25. Bauth, J. J.: Expanded Polytetrafluoroethylene as an Arteriovenous Conduit for Hemodialysis. Dialysis and Transplantation. November, 1977, p. 62.
26. Kaplan, M. S., Mirahmadi, K. S., Winer, R. L., Gorman, J. T., Dabirvaziri, N., Rosen, S. M.: Comparison of "PTFE" and Bovine Grafts for Blood Access in Dialysis Patients. Trans. Amer. Soc. Artif. Int. Organs, **XXII,** 1976,

27. Elliott, M. P., Gazzaniga, A.B., Thomas, J. M., Haiduc, N. J., Rosen, S. M.: Use of Expanded Polytetrafluoroethylene Grafts for Vascular Access in Hemodialysis: Laboratory and Clinical Evaluation. *The American Surgeon.* July, 455, 1977.
28. Dardik, H., Dardik, I. I.: Successfull Arterial Substitution with Modified Human Umbilical Vein. *Ann. of Surg.* 183: 252, 1976.
29. Rosenberg, D. M. L., Glass, B. A., Rosenberg, N., Lewis, M. R., Dale, W. A.: Experiences with Modified Bovine Carotid Arteries in Arterial Surgery. *Surgery.* 68: 1064, 1970.
30. Dardik, H., İbrahim, İ. M., Dardik, I.: Arteriovenous Fistulas Constructed With Modified Human Umbilical Cord Vein Graft. *Arch. Surg.* 111: 60, 1976.
31. Rubio, P. A., Farrell, E. M.: Modified human umbilical vein graft arteriovenous fistulas as a source of angioaccess in maintenance hemodialysis. *Cardiovascular Disease, Bulletin of the Texas Heart Institute* 7: 51, 1980.
32. Hussey, J. L.: Experience with 30 Human Umbilical Cord Grafts as Conduits for Hemodialysis. *Dialysis and Transplantation.* 9: 341, 1980.
33. Zincke, H., Hirsche, B. L., Amamoo, D. G., Woods, J. E., Anderson, R. C.: The use of Bovine Carotid Grafts for Hemodialysis and Hyperalimentation. *Surg. Gynecol. Obst.* 139: 350, 1974.
34. Fee, H. J., Golding, A. L.: Lower Extremity Ischemia after Femoral Arteriovenous Bovine Shunts. *Ann. Surg.* 183: 42, 1976.
35. Hutchin, P., Jacobs, J. R., Devin, J. B., Shaughnessy, S., Roland, A. S.: Bovine Graft Arteriovenous Fistulas for Maintenance Hemodialysis. *Surg. Gynecol. Obst.* 141: 225, 1975.
36. Lefrak, E. A., Noon, G. P.: Surgical Technique for Creation of an Arteriovenous Fistula Using a Looped Bovine Graft. *Ann. Surg.* 182: 782, 1975.
37. Buselmeier, T. J., Kjellstrand, C. M., Quinton, W. E. et al.: Surgical Placement of the Buselmeier Shunt. *Dialysis and Transplantation.* 3: Dec/Jan, 1974.
38. Butt, K. M.H., Kountz, S. L.: A new vascular access for hemodialysis: The arterial jump graft. *Surgery.* 79: 476, 1976.
39. Giacchino, J. L., Geis, W. P., Buckingham, J. M., Wertuno, L. L., Bansal, V. K.: Vascular Access: Long-term Results, New Techniques. *Arch. Surg.* 114: 403, 1979.
40. Manning, L. G., Mozersky, D. J., Murray, H. M.: Axillary-axillary Bovine Arteriovenous Fistula for Hemodialysis. *Arch. Surg.* 110: 114, 1975.
41. Buckley, C. J., Manning, L. G., Page, C. P.: Experience with central highflow a-v fistulae in patients requiring chronic parenteral chemotherapy or hemodialysis. *Amer. J. Surg.* November/December: 1978, 730.
42. Rankin, L. I., Grim, C. G., Luft, F. C., Leapman, S. B.: Case Report: Arteriovenous Fistula: A Complication of Percutaneous Femoral Vein Catheterisation for Hemodialysis. *Dialysis and Transplantation.* 8: 538, 1979.
43. Flynn, C. T., McGowan, R.: Subclavian Vein Catheter and Clockwork Pump. *Dialysis and Transplantation.* 9: 556, 1980.

# Plasma Hücreleri ve Salgılama Mekanizması\*

Köken, Sitoloji (ince yapı) Antikor Yapımı ve Salgılama

**Dr. İlhan Kerse\*\* / Dr. Refik Soylu\*\*\* / Dr. Esin Aşan\*\* /  
Dr. Afet Özoran\*\* / Dr. Deniz Balta\*\*\* /  
Dr. Ayten Memikoğlu\*\*\* / Dr. Nur Çakar\*\*\***

**P**lasma hücreleri bağıksal yanıtta (immun cevapta) önemli işlevleri olan hücrelerdir. Immunglobulin (antikor) sentez eder ve salgılarlar. Salgiladıkları immunglobulinler, bakteri enfeksiyonlarına karşı humoral bağıksılıkta önemli rol oynar. 8-20 mikron çapında hücreler olup, organizmanın her yerinde, bağ dokusu içinde yer alırlar. Fakat, lenforetiküler sistemin doku ve organlarında, barsakların lamina propria'sında ve kornea bağ dokusunda daha çok bulunurlar.<sup>6-53</sup>

Immunolojinin çok ileri atılım yaptığı son 20 yılda, bağıksal yanıtta rol alan lenfosit, makrofaj ve plasma hücreleri çok çeşitli yönleri ile incelendi ve yayınlandı. Köken, sitoloji ve antikor sentezi açıklandı.<sup>6-34</sup> Fakat, salgılama şekilleri üzerinde yapılan morfolojik araştırmalar yetersizdir ve varsayımlardan ileri gidememiştir kanısındayız. Bir deney serisinde incelediğimiz plasma hücrelerini bir kez daha gözden geçirmenin ve özellikle sentez ürününün yani immunglobulinin salgılanış şekli üzerinde durmanın yararlı olacağı inancına vararak bu çalışmaya hazırladık.

Sentezlenen immunglobulinin 5 yoldan plasma hücresinden salgılanmasının mümkün olacağını saptadık:

1. Immunglobulinin solubl halde hücre zarından diffuzyonu ile,
2. Çevre GER'lerinin zaman zaman yırtılıp sisterna içeriğinin hücre dışına boşaltılması ile,

\* Hacettepe Üniversitesi Tıp Fakültesi Histoloji-Embriyoloji Bilim Dalı Çalışmalarından.

\*\* Aynı Fakülte Histoloji-Embriyoloji Bilim Dalı Öğretim Üyesi.

\*\*\* Aynı Fakülte Histoloji-Embriyoloji Bilim Dalı Öğretim Görevlisi.

3. Salgı veziküllerinin ekzositozu ile,
4. Golgi sahasında oluşan salgı granüllerinin ekzositozu ile,
5. Plasma hücresinin parçalanması (Klasmositosis) ile.

#### *Materiel ve Metotlar*

Bu çalışmada, deney hayvani olarak, Hacettepe Tıp Fakültesi Deney Hayvanları Yetiştirme ve Araştırma Merkezinden sağlanan ortalaması ağırlıkları 200-225 gr olan İsviçre tipi erkek beyaz sıçanlar kullanıldı. Lenforetükiler sistemi uyarmak için antijen olarak at serumu (Reşit Saydam Hifzıssıhha Müessesesine bağlı Serum Çiftliğinden) kullanıldı.

Kontrol grubu sıçanlar, deneyler sürecinde aynı koşullar altında beslendi. At serumu sıçanlara, olduğu gibi, 1 cc, intraperitoneal olarak birer hafta ara ile 1,2,3 ve 6 kez verildi. Sıçanlar enjeksiyonlardan 24 saat sonra boyunları penseyle sıkıştırılarak hemen öldürdü. Aynt bölgeden elde edilmeye özen gösterilen mezenter lenf düğümleri laboratuvarlarımıza uygulanan yöntemlerle, ışık ve elektron mikroskop incelemeleri için hazırlandı.<sup>1-5, 25</sup>

#### *Bulgular*

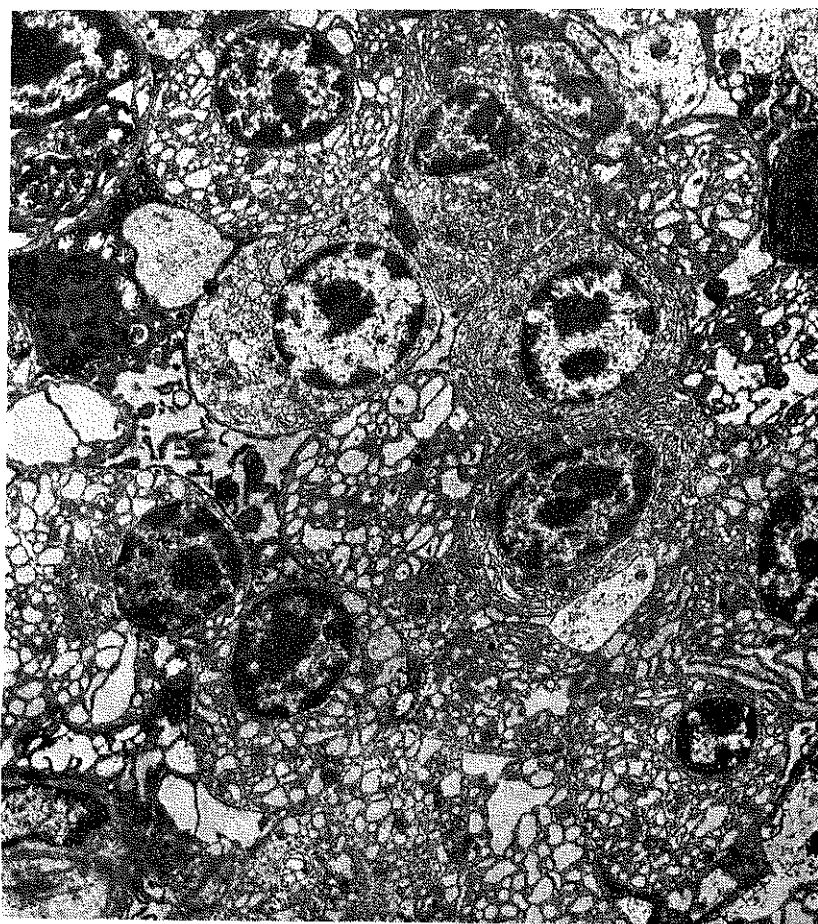
**1. Makroskopik görünümü:** Sıçan mezenter lenf düğümleri, pırıncı tanelerinden mercimek büyüklüğüne kadar değişen hacim farklılıklarını gösterdi.

Antijenin veriliş birim ve süreleri ile bağımlı olarak mezenter lenf düğümlerinin belirgin bir şekilde büyütükleri gözlandı. Altı kez at serumu verilen gruplarda lenf düğümleri çok büyümüştü. Yüzeyler içi sıvı dolu veziküller ile kaplıydı.

**2. Işık mikroskopik bulgular:** Antijenin veriliş birim ve süreleri ile orantılı olarak Methyl Green Pyronin ile, pironinofilinin arttığı saptandı ve plasma hücrelerinin çoğalduğu gözlandı. Hematoksilen-Eozin, toluidin mavisi, metilen mavisi ve azur ile boyamalarda, sitoplazma bazofilik boyandı. Periodic Acid Schiff (PAS) reaksiyonu ile kapsüla, trabekülalar ve damar çevreleri pembe renge boyandı. Yıldız şekilli retikulum hücreleri, belki dentritik hücreler, makrofajlar, sinus endotelleri ve özellikle Russel cisimleri belirgin kırmızı renge boyandı. Plasma hücreleri ise boyanmadı. Renkli resimlerin basılması teknik nedenlerle mümkün olamadı. Siyah-beyaz resimler ise, tarif edilen görüntüyü veremeyecekleri için bu grup resimlenmedi.

**3. Transmisyon elektron mikroskop (TEM) düzeyindeki bulgular:** Medullar kordonlara rastlayan E. M. kesitlerinde bol ribo-

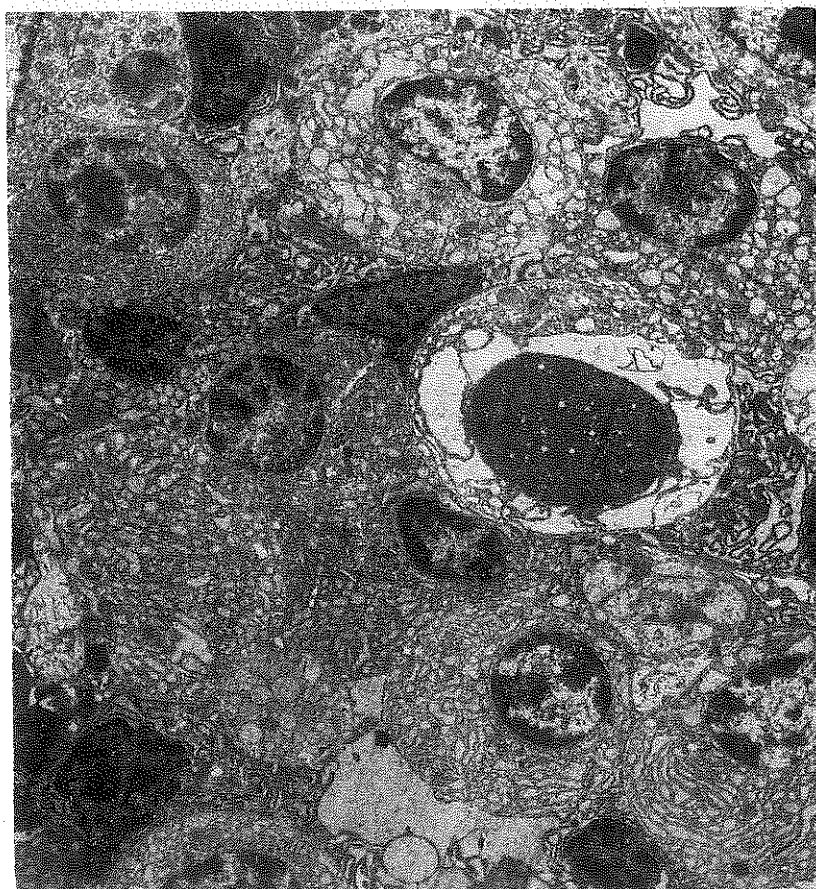
zomlu plasmablastlar ile, değişik olgunluk evrelerindeki plasma hücrelerine rastlama, antijenin veriliş birim ve süreleri ile orantılı olarak arttı; plasma hücrelerinin hacim farkları değişik gelişme evrelerinde belirgindi. Lensosit kadar küçük olanlar yanında iki, üç kez büyük olanlara da birçok sahada rastlandı. Büyük lenfositlerden genç olanlar, ribozomlardan zengin oluşu ile ayrıldı (Şekil 1-11). Çeşitli düzeylerden geçen kesitlerde, hücreler çoğunlukla yuvarlak veya oval, hatta uzantılı şekiller gösterdi (Şekil 1-27).



Şekil 1

Değişik olgunluk evrelerinde plasma hücrelerinin panoramik görünümü. X 5700

Küçük ve orta hacimde olan plasma hücrelerinde, yuvarlak veya oval, büyükçe ve çoğunlukla eksentrik yerleşim gösteren bir veya iki çekirdek uygun kesitlerde sıkılıkla gözlendi. Hücreler büyüdükle ve olgunlaşıkça çekirdek küçüldü. İkili tespit nedeni ile çekirdek kroma-



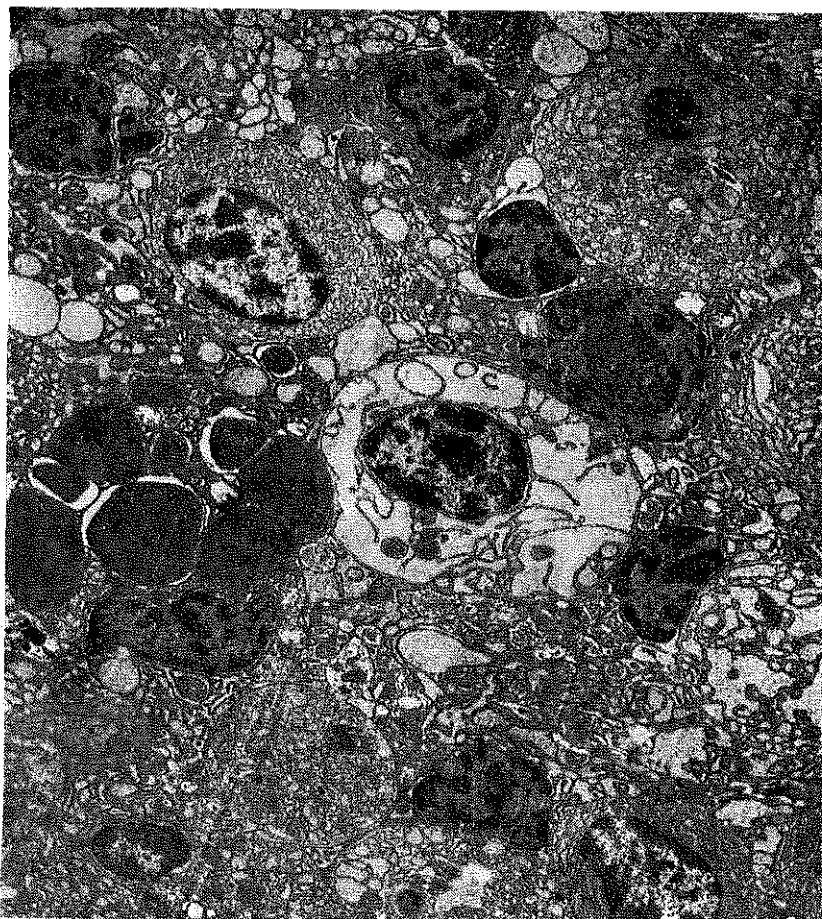
Şekil 2

Değişik olgunluk evrelerinde plasma hücrelerinin panoramik görünümü. Ortada tek Russell cismi içeren bir plasma hücresi gözlenmektedir. X 5700

tininin radyal, kesintili heterokromatik dağılımı klasik tanımlamalara uyum gösterdi (Şekil 1-3,6-10,13,16-24).

Çekirdeğe yakın bir bölgede her evredeki plasma hücrelerinde, özellikle Marschalko tipi olarak bilinen küçük plasma hücrelerinde, klasik tanımlamalara uygun olarak, iyi gelişmiş bir Golgi kompleksi gözlandı (Şekil 12-16).

Golgi kompleksinin iç yüzünde yuvarlak, zarla çevrili, yoğun ve değişik çapta, salgı granüllerine benzer cisimlere kontrol ve deney gruplarının her evredeki plasma hücrelerinde rastlandı (Şekil 12-16). Golgi kompleksi tubulus ve vesiküllerinde şekillenmeleri izlenebildi (Şekil 15). Bu granüllere hücre periferinde de rastlandı (Şekil 8,12,14). Ancak, ekzositoz ile atılımları yakalanmadı.



**Şekil 3**

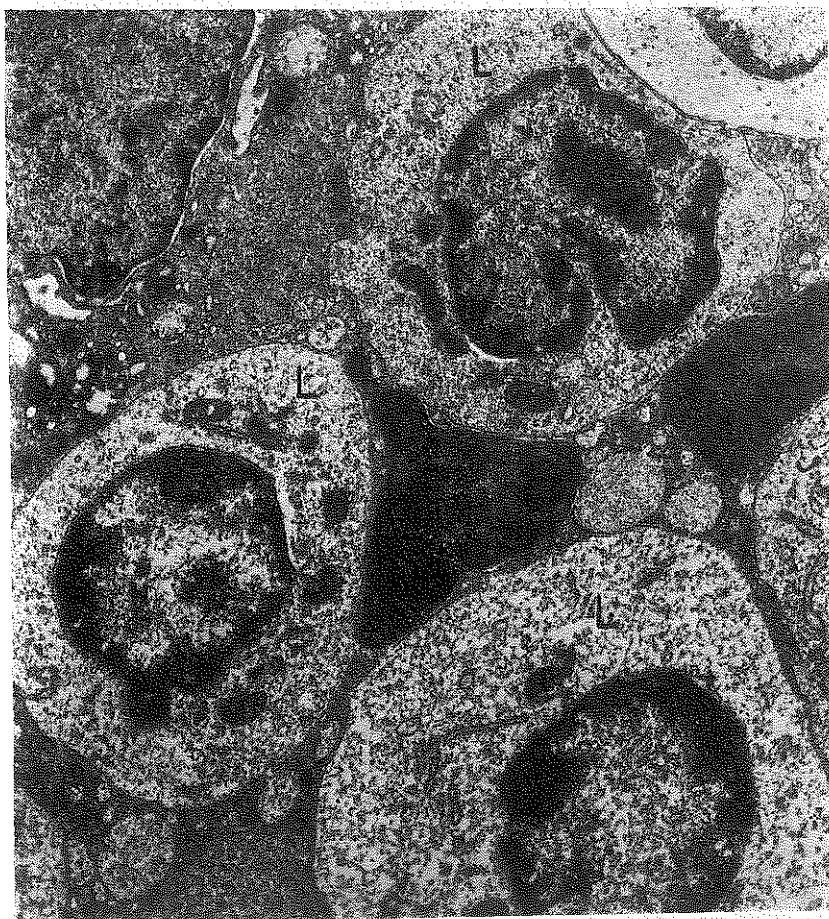
Değişik bir sahadan farklı olgunluk evrelerinde plasma hücrelerinin genel görünümü. Sol orta bölgede çok sayıda Russel cismi içeren bir plasma hücresi belirgin. X 5700

Çok ufak vezikül kümelerine hem Golgi sahasında, hem de hücre periferinde, sitoplazma zarına yakın rastlandı (Şekil 12,13,14,15). Hücre periferinde ekzozitoz izlenimi veren veziküller dikkati çekti (Şekil 14).

Plasma hücreleri bölünmediği halde nadiren uygun kesitlerde, Golgi sahasında bir çift sentriol gözlendi (Şekil 16).

Özellikle genç hücrelerde olmak üzere, her evredeki plasma hücrelerinde ribozom boldu (Şekil 1-27).

Yapısal farklılık göstermeyen mitokondriyonlar seyrek olup, yuvarlak ve oval şekildeydi (Şekil 8,10,12,15,20). Seyrek olarak lizozomlara da rastlanıldı (Şekil 8).



Şekil 4

Orta ve büyük hacimde lenfositler (L) görülmektedir. Sitoplazmalarında seyrek ve düzenli dağılmış ribozomlar, az sayıda mitokondriyonlar, seyrek granüllü ve granülsüz endoplazma retikulumu, küçük bir Golgi sahası dikkati çekmektedir. X 14100

Plasma hücresi sitoplasması için en karakteristik organel granüllü endoplazma retikulumu (GER) dir. Farklı olgunluk evrelerindeki plasma hücrelerinde GER çeşitli aktiviteye ve sentezlediği ürünlerin depolanmasına göre, farklı yapısal görüntü verdi. Dar, parellel sisternalı (sarnıçlı) olanlardan, büyük havuzcuklar oluşturanlara kadar türlü tiplerine rastlandı (Şekil 1-3,6-11,12-16). GER sisternalarında değişik yoğunlukta salgı ürünü gözlandı (Şekil 6-10,11-21). Hücre zarına yakın bazı GER'lerin zarlarının hücre zarı ile birleştiği ve sisterna içeriğinin boşalır gibi olduğu bölgelere de rastlanıldı (Şekil 14, 15).



Şekil 5

Sol alt köşede bir immunoblast (İb) gözlenmekte. Çekirdek büyük ve hafifçe oval, ökromatinden zengin, çekirdekçik belirgin, sitoplazma ribozom ve polizomdan zengin, az sayıda mitokondriyon (M) içermekte. Çevrede lenfositler (L) gözlenmekte. X 14100

GER sisternaları içinde nadiren değişik çap, sayı ve yoğunlukta, yuvarlak veya yuvarlağımısı yoğun inklüzyonlar saptandı. Bunlar Russell cisimleri (Russell bodies) idi. 3 ve 6 kez uyarılmış gruplarda rastlanma şansı boldu (Şekil 2,3,6,8,17-19).

GER sisternalarında filamentler şeklinde ürün içeren iki plasma hücre sine rastlandı. Düzenli dizilerek paralel demetler oluşturmaktak idiler. Russell cisimlerinin değişik bir örneği olarak düşündük (Şekil 20-23).

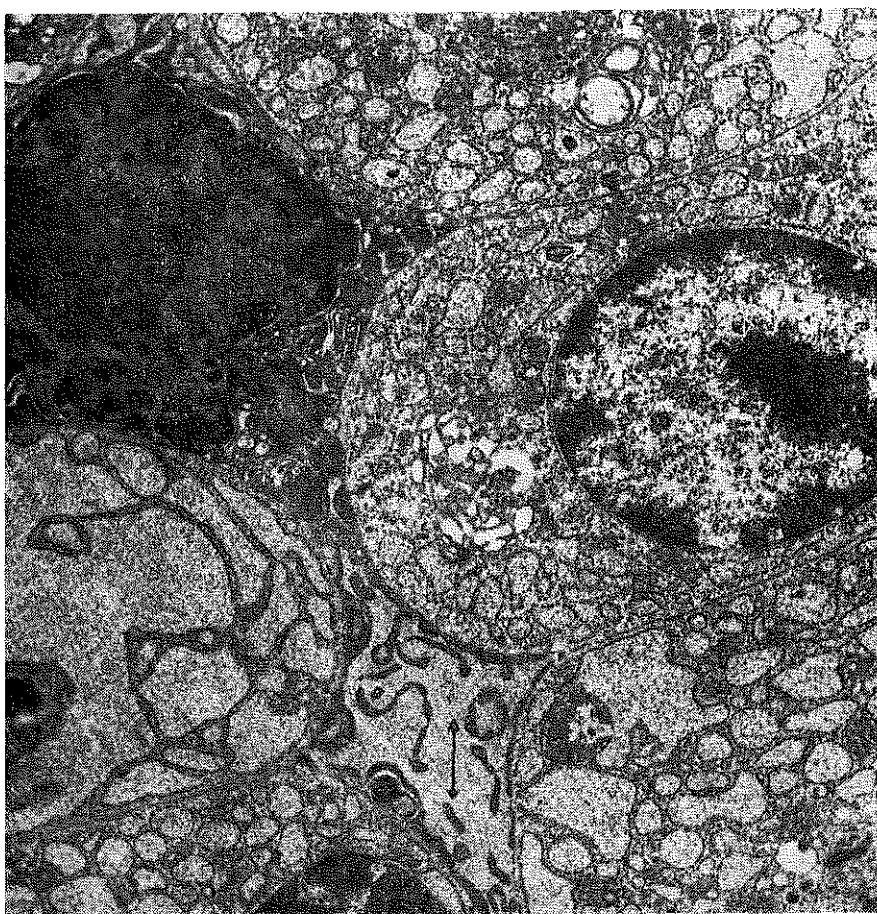
Kesitlerde gördiğimiz en ilginç bulgu aktivasyonun en ileri olgunluk evresine ulaşmış plasma hücreleri idi. Değişik olgunluk evrelerindeki



Şekil 6

Sağ üst köşede bir plasmablast (Pb), sol alt köşede bir proplasmosit (Pp) gözlenmektedir. Bu hücreler arasında daha ileri olgunluk evrelerinde plasma hücreleri (P) yer almaktadır.

X. 14100



Şekil 7

Değişik olgunluk evrelerinde plazma hücreleri gözlenmekte. Şeklin sağ yarısında orta olgunlukta üç plazma hücresi yer almaktadır. Her üçünün Golgi sahasında ufak salgı granülleri seçilmektedir. Şeklin sol üst köşesinde bol heterokromatin yoğunluğunu gösteren bir çekirdek ile diğer plazma hücreleri arasında uzanan parçalanmış sitoplazma uzantısı (ok) izlenmektedir. Sol ortada olgun bir plazma hücresi sitoplazmasının bir bölümünü gözlemektedir. X 14100

plazma hücre gruplarında önce piknotik çekirdekler dikkati çekti (Şekil 1-3, 7, 22-25). Bu çekirdeklerin ait olduğu sitoplasmaların sınırı düzensiz ve belirsizdir (Şekil 22-25). Bu çekirdeğe ait olduğu kuvvetle muhtemel olan ve diğer hücreler arasında yol alan sitoplazma uzantıları belirgin GER içermekte idi (Şekil 7, 22-25). Birçok yerde sitoplazmanın paralandığı, mitokondrion ve GER'lerin dağıldığı ve sisterna içeriklerinin diğer hücreler arasına serbestçe yayıldığı belirgin bir şekilde görüldü (Şekil 7, 13, 22-27).



Şekil 8

Ortada olgun bir plasma hücresi (P) gözlenmektedir. Hücrenin ortasında yuvarlak, heterokromatinden zengin, bir çekirdekçik içeren çekirdek yer almaktadır. Granüllü endoplazma retikulumu (GER) sisternaları genişlemiş olup yer yer birleşmeler göstermektedir. Birkaç mitokondriyon seçilmektedir. Salgı granülleri ok yönünde hücre çeperine doğru dizilmektedir. X 14100

Bu tip plasma hücrelerinin, en ileri olgunluk evresinde bulunan ve parçalanarak bol miktarda antikor salgılaması yapan ve sonunda ölümme giden plasma hücreleri olduğunu düşündük. Bu tip plasma hücrelerine 3 ve 6 kez uyarılmalarda sıkılıkla rastladık.

#### Tartışma

Bugün plasma hüresinin kökeninin kemik iliği olduğu kabul edilmektedir. Multipotent bir köken hücre (Stem Cell) 'den veya farklılaşma



Şekil 9

Olgun bir plasma hücresi (P) gözlenmektedir. Şeklin sağında parçalanmış (klasmatosis gösteren) bir plasma hücresi bölümü (\*) yer almaktadır. X 14100

yeteneği özelleşmiş bir sonraki ana hücreden gelir. Plasma hücresi tümörü olan multiple myeloma'da kemik iliği, plasma hücrelerinin malign şekilleri ile doludur.<sup>37</sup> Birçok araştırmacı bunu, kökenin kemik iliği olduğunu kanıt sayar. Lenfositlerin kökeninin de kemik iliği "Stem Cell'i" olduğu kabul edilir. Bir grup, buradan ayrılp kan yolu ile farklılaşmakta olan timusa gelir ve pek çok defa çoğalarak T Lenfositlerini oluşturur. Kuşlarda ise, diğer bir grup, "Bursa of Fabricius'a gelir orada B lenfositlerini oluşturur.<sup>6-19</sup>

Memelilerde ise, "Bursa of Fabricius" yoktur ve eş organı kesin olarak bilinmemektedir. Ancak, bugün kemik iliği veya fötal karaciğer



Şekil 10

Ortada çift çekirdekli olgun bir plasma hücresi gözlenmektedir. X 14100

eş organ olarak kabul edilmektedir. Daha önceleri, barsak kanalı lenforetiğeler dokuları eş organ olarak kabul edilmektedir.<sup>6-19</sup>

Organizmaya抗原が侵入すると、T細胞とB細胞はリボソームを多く含む免疫母細胞に分化する。これらの細胞は、複数回の分裂によってT細胞とB細胞に分化する。この過程で、T細胞は胸腺依存性抗原に対する応答能を獲得し、B細胞は免疫グロブリンの産生能を獲得する。したがって、T細胞は免疫応答の調節役を担い、B細胞は抗体産生細胞として機能する。



Şekil 11

Olgun bir plasma hücrende granüllü endoplazma retikulumu (GER) ile sisternalarda depolanan, noktacıklı görünümülü immunglobulin seçilmekte. Sitoplazmada bol ribozom ve birkaç mitokondriyon (M) ayırdedilmekte C, çekirdek. X 93000

Sitoplazma serbest poliribozomdan zengindir. Genç plasma hücrelerinde dar sarnıcılı granüllü endoplazma retikulumu vardır. Plazmablastan plasma hücresına geçiş şekillerinde bazı değişiklikler gözlenir. Kromatin yer yer yoğunlaşır ve çekirdeğin hacmi küçülür. Serbest poliribozomlar kaybolur. Golgi sahası büyür. Granüllü endoplazma retikulumu gelişir. GER paralel dizilimden, geniş yuvarlak şekillere varan görünüş kazanır. Sarnıçlarda antikor (immunglobulin) toplanır.

Plasmablast ile olgun şekiller arasındaki evrelerle proplasmasit (proplasmacytes) adı verilir. İstirahat halindeki bir lenf düğümünde plasma hücreleri azdır. Tüm hücre populasyonunun % 1-3 'ü kadardır. Bir lenf düğümünde lenf, vasa afferensiyalarla gelir, marginal, kortikal

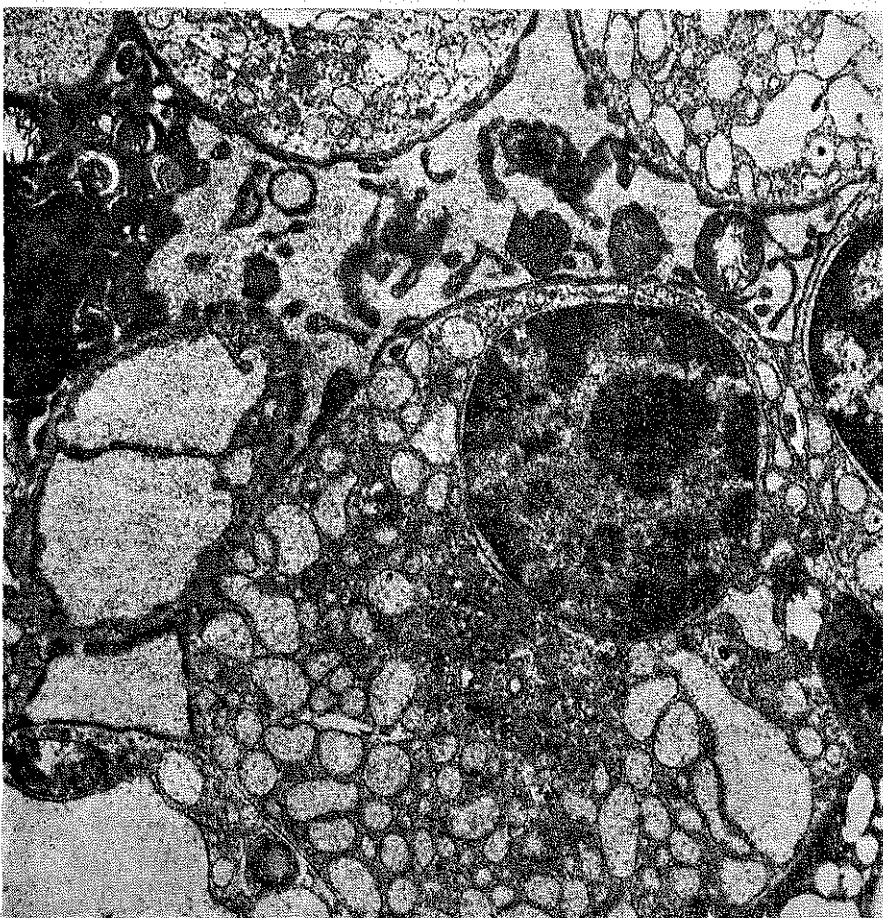


Şekil 12

Kontrol grubundan iki plasma hücresi gözlenmekte. Şeklin üst yarısındaki hücrede çekirdek ve Golgi sahası ( $Go$ ) belirgin. Golgi sahasında kaplı veziküller ile zarla çevrili, çeşitli büyüklükte yoğun granüller (ok) izlenmektedir.  $\times 25500$

ve meduller sinuslarda yayılır. Gelen antijenler ve diğer yabancı maddeler makrofajlar tarafından yakalanır ve immunolojik cevap başlar, giderek lenf düğümleri büyür ve plasma hücrelerinin sayısı artar.<sup>6-34</sup>

Antikorların nerede yapıldığı bu yüzyılın başından beri üzerinde durulan bir konudur. İlk araştırmalar, organizmaya giren antijenin retikulo-endotelyal sistemin makrofajları tarafından tutulduğunu ispatladı. Fagreus ise, 1948'de antikor molekülünün plasma hücrelerinde sentez edildiğini ve sitoplasmasında bulunuşunu gösterdi. Immun cevapta rol oynayan organ ve hücreler son 20 yılda pek çok immunolojik ve elektronik mikroskopik çalışmalara neden oldu. Elektronopak anti-

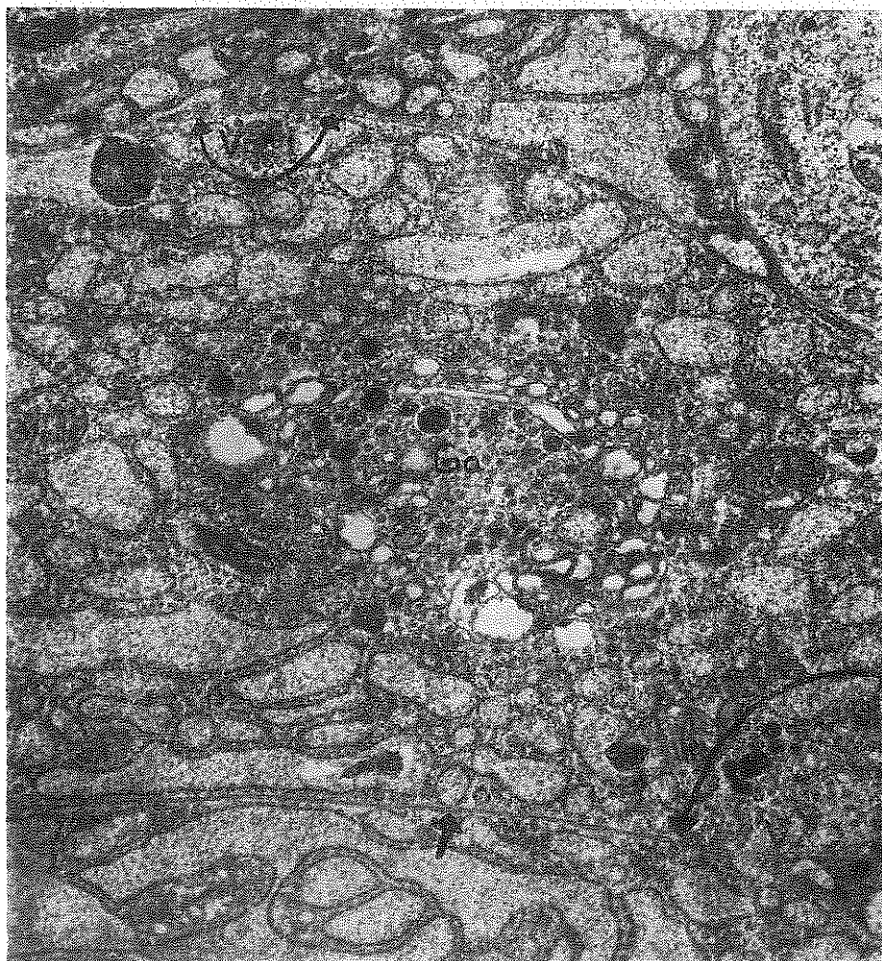


Şekil 13

Ortada, Golgi sahasında (Go) salgı granülleri belirgin olan bir plasma hücresi yer almaktadır. Bu hücreye bitişik, sitoplazması parçalanmış, başka bir plasma hücresi gözlenmektedir. X 14100

jenler ve immunofluorecent yöntemler, antijenin makrofajlar tarafından alındığını, antikorun ise, plasma hücreleri tarafından sentezlendiğini kanıtladı. Bu hücrelerin ayrı ayrı oluşu ve haberleşmenin nasıl olduğu soruları araştırmacıları düşündürmektedir.<sup>6-34</sup>

1957 de Glick ve Chang tavuklarda Bursa of Fabrisiusun çıkartılması ile antikor cevabının baskılanması ve Miller'in 1965 de yaptığı yeni doğan farelerde timus çıkartılması deneyleri ile geç tip aşırı duyarlık diye bilinen hücresel immun cevabının baskılandığını göstermişlerdir. Bu bulgular immun cevabının oluşunda iki ayrı sistemin bulunduğu görüşünü göstermiştir. Bu sistemlerden birisi humoral cevapta etkin B len-

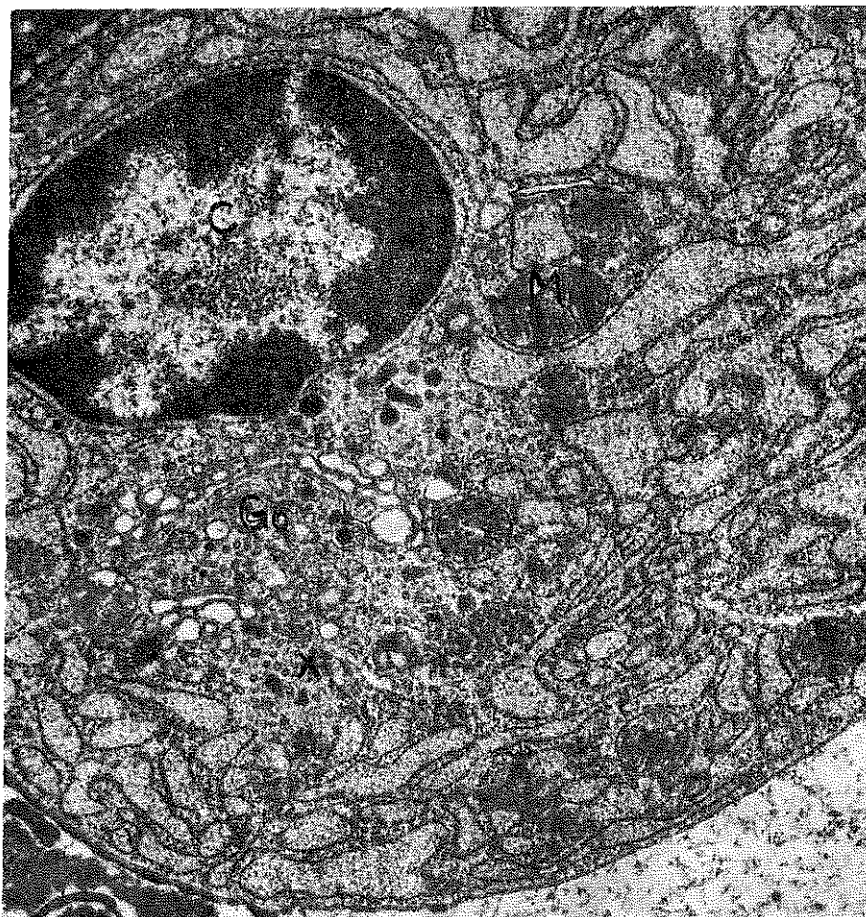


Şekil 14

Ortada bir plasma hücresinin Golgi sahası belirgin bir şekilde gözlenmekte. Tubuluslar ve veziküller arasında, zarla çevrili, değişik çap ve yoğunlukta salgı granülleri izlenmekte. Hücre periferinde kıvrık oklar içinde kümeler halinde kaplı (coated) veziküller (V) ayırdedilmektedir. Düz okla işaretlenen bölgede bir granüllü endoplazma retikulumu sarnıcının açıldığı izlenimi alınmakta. Ç, çekirdek. X 25500

fositleri sistemidir. Diğer ise, timus kontrolunda olan ve hücresel immun cevapta rol oynayan T lenfositleri sistemidir.<sup>16</sup>

B ve T lenfositlerin çeşitli immun globulinlerin sentezindeki rolleri hem homural ve hem de hücresel cevabin meydana gelişinde her iki lenfosit sistemiyle makrofaj arasındaki etkileşim nedir? sorusu güncel immunolojinin en ilginç konularıdır.

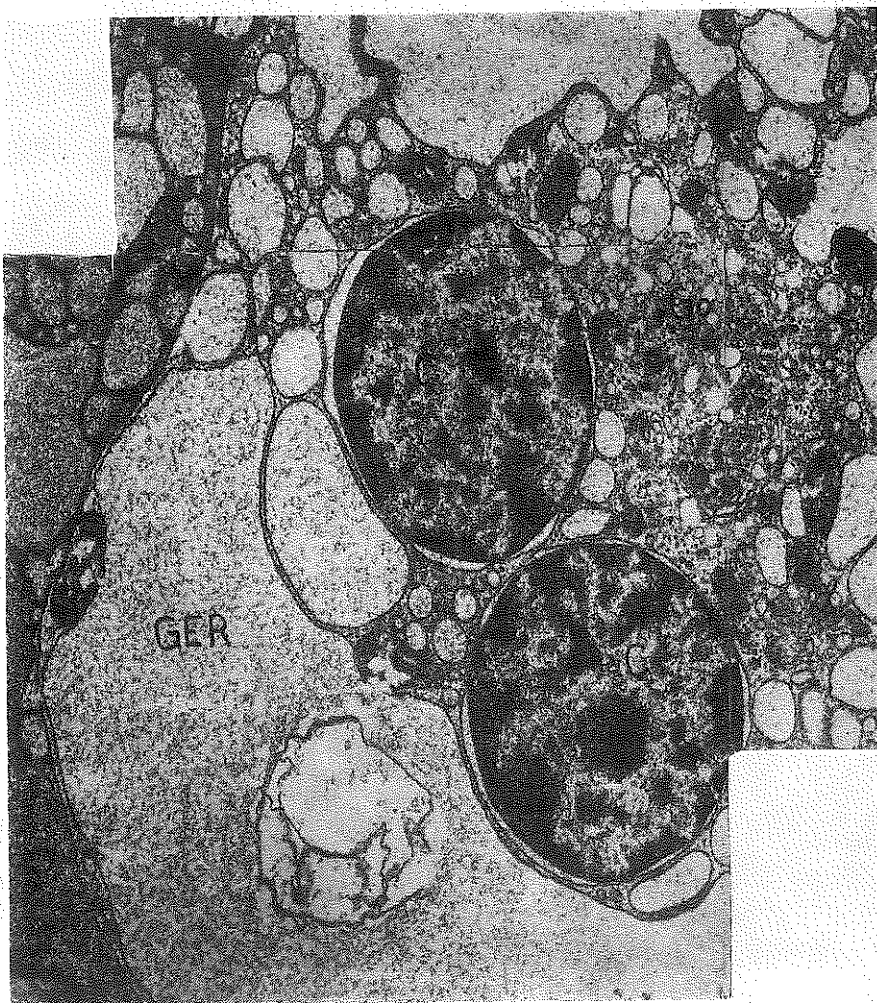


**Şekil 15**

Orta olgunlukta bir plasma hücresi gözlenmektedir. Çekirdeğe yakın bölgede iyi gelmiş Golgi sahası (Go) belirgin. Golgi kompleksinin tubulus ve vezikülleri arasında kaplı veziküller (X) ve değişik çapta salgı granülleri seçilmektedir. X 25500

İmmun cevapta rol oynayan organlar primer veya merkezi lenfoid dokular (timus, sindirim sistemi lenfoid dokuları ve bursa of Fabrisius) ile sekonder veya periferik lenfoid dokular (lenf düğümleri, dalak, kemik iliği)dir.<sup>6-34</sup>

Bu çalışmada mezenter lenf düğümleri örnek alınmış ve at serumu ile uyarıldıktan sonra plasma hücreleri sergilenmiştir. Plasma hücreleri, lenf düğümlerinde, korteksde bulunan sekonder lenf folliküllerinde veya germinal merkezlerin koyu bölge (dark region) denen yarımlarında bulunur.<sup>13</sup> B lenfositlerin bol bulunduğu bölgede burasıdır. Orta ve büyük hacim lenfositler ile plasma hücresi dizileri yer alır. Plasma hücrelerine

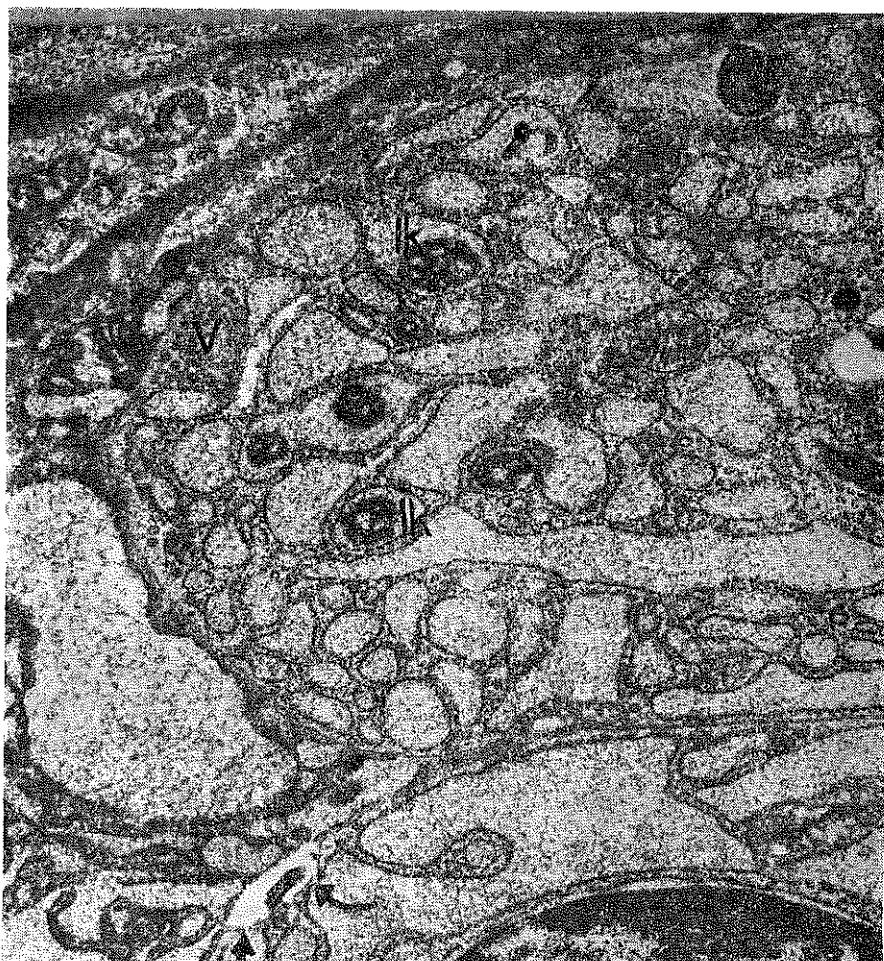


Şekil 16

Cift çekirdekli olgun bir plasma hücresi gözlenmekte. Golgi sahasında (Go) salgı granülleri ayıredilmekte. Sitoplazmanın bir bölümünde granüllü endoplazma retikulumu sisternalarının birleşmiş olduğu dikkat çekmektedir. X 14100

medulla kordonlarında en bol rastlanır. Derin veya parakortikal korteksde plasma hücreleri nadirdir.<sup>6-19</sup>

Belirgin çekirdekçik, iyi gelişmiş Golgi kompleksi ve bol granüllerli endoplazma retikulumu (GER) plasma hücrelerini bir salgı hücresi olarak tanımlatır. Salgı ürünleri ise, immünglobulinlerdir, sentezlenir ve salgılanır. Bugün insan kan plazmasında beş büyük sınıf immunglobulin bilinmektedir. Bunlar IgG, IgA, IgM, IgD ve IgE'dir. IgG en iyi anlaşılmış ve plasentadan çocuğa geçendir.<sup>6-34</sup>

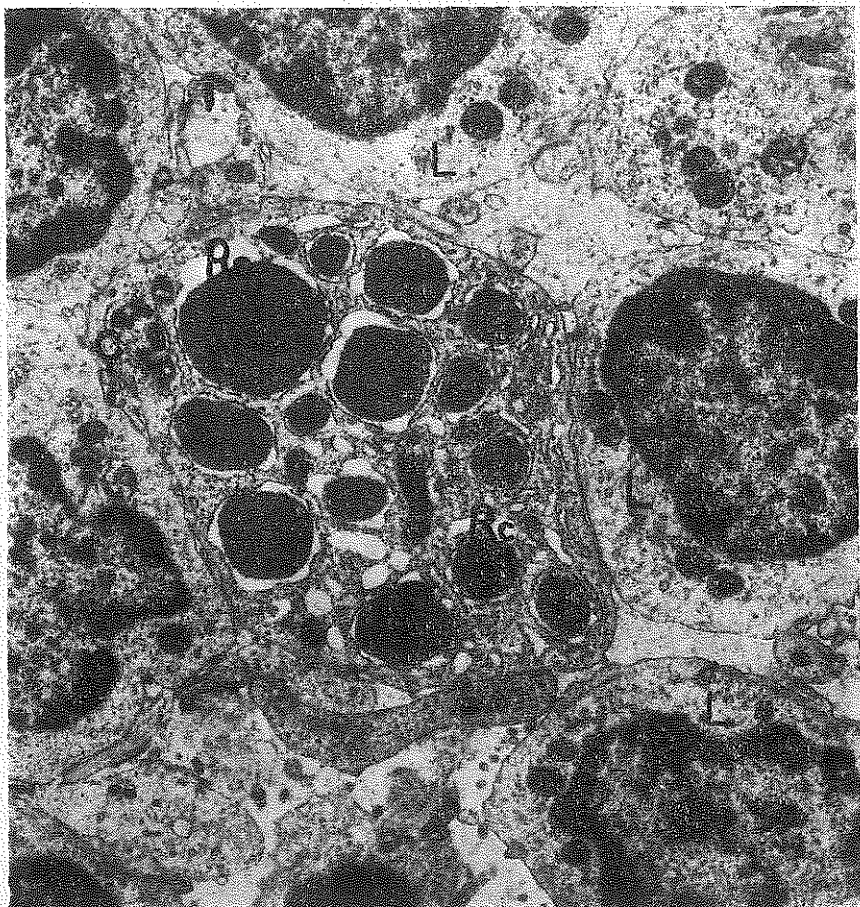


Şekil 17

Orta olgunlukta bir plasma hücresi gözlenmekte. Bazı granüllü endoplazma retikulumu sisternaları içinde değişik biçimde yoğun inklüzyonlar (Ik) dikkati çekmekte. X 25500

Plasma hücreleri ribozomdan çok zengindir. Ribozomlar hem sitoplazma matriksinde, hem de granüllü endoplazma retikulumunda çok bulunur. Bu nedenle plasma hücreleri immunglobulin yapımında rol oynar.<sup>6-19</sup>

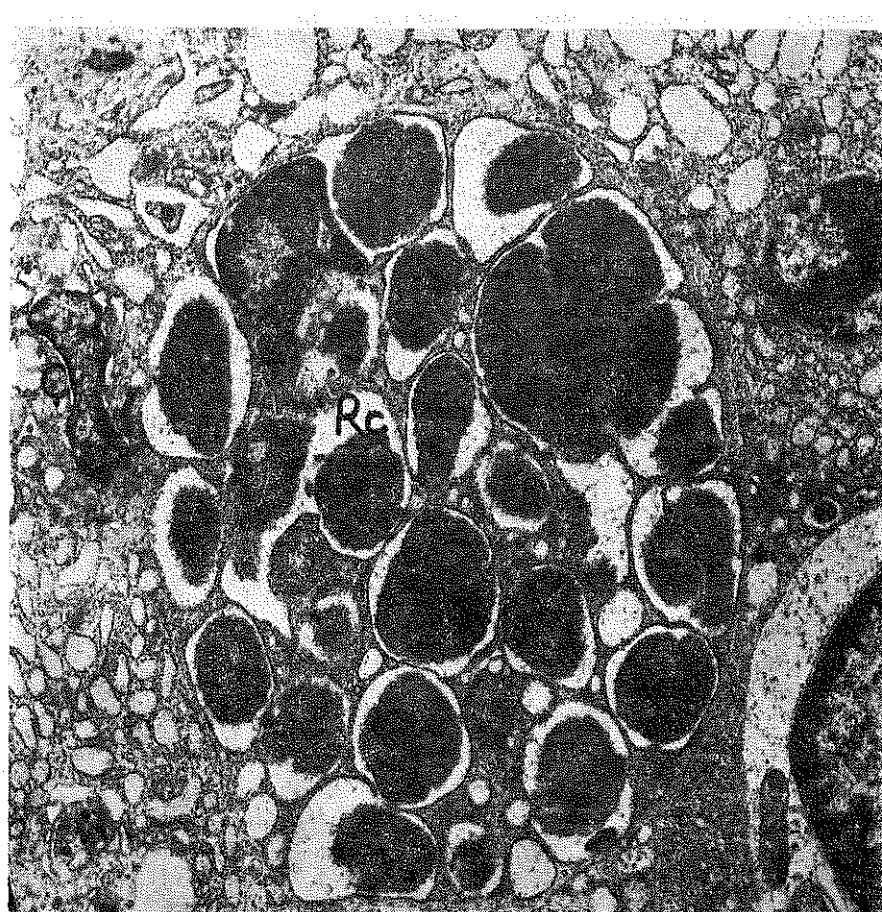
Bilindiği gibi protein yapımı GER'munun ribozomlarında sentezlenir, henüz bilinmeyen bir yolla endoplazma retikulumunun zarını geçer ve sisternalarda (sarnıçlarda) toplanır. Sisternalar, toplayıcı kanallar sistemidir. Ürün, diğer protein sentezi yapan hücrelerde olduğu gibi, Golgi kompleksinde granüller haline dönüşmez. Sisternalar içinde



Şekil 18

Ortada, granüllü endoplazma retikulumu sisternalarında değişik çapta ve yoğun Russell cisimleri (Rc) içeren bir plasma hücresi gözlenmektedir. Ç, çekirdek; L, Lenfosit. X 14100

ürün, ince noktalı, az elektron yoğun bir görünümündedir. Golgi sahasında zarla çevrili salgı granüllerine benzer yoğun cisimler tariflenmiş ve bunların lizozom olabileceği ileri sürülmüştür. Antijenle uyarılan gruplarda hatta, kontrol gruplarında plasma hücrelerinin Golgi sahasında çok sayıda, irili ufaklı, membranla çevrili, oldukça yoğun, salgı granülüne benzer granüller gözledik. Görünüşe göre, lizozom olarak nitelendirmek oldukça zordu. İrili ufaklı granüller immunglobulinlerin iyi gelişmiş Golgi sahasında bir işleve uğradığı izlenimini veriyordu. Bu granüller, Golgi sahasında oldukça çıktı. Çevreye doğru tek tük gidenleri de gözledik. Ancak, ekzozitozu düşündürecek bir görünüm yakalayamadık. Yapılan daha derin literatür taramasında, bazı araştırmacılarında ekzokrin salgılamaya benzer tarzda granüller saptadıklarını gördük.<sup>19</sup>



Şekil 19

Russell cisimleri içeren bir plasma hücresi gözlenmekte. X 14100

Plasma hücreleri nadiren, fakat tekrarlayan antijenik stimulasyonlarda daha sık, GER sarnıçlarında gözlenen yuvarlak veya oval değişik çap ve yoğunlukta inklüzyonlar içerir.

İmmunglobulinlerin değişik türlerinin % 3 ile % 12 arasında değişen miktarlarda karbonhidrat taşıdıkları bilinmektedir.<sup>54</sup>  $C^{14}$  işaretli şekerler ile doku kültürlerinde yapılan çalışmalar glukoz, mannoz galaktoz, sialik asit ve fukozun immunglobulin molekülünün ağır zincirlerine eklendiğini göstermiştir.<sup>55</sup> İmmunglobulinlere şeker katılmasının ağır zincirin sentezi esnasında olduğu ve endoplazma retikulumunun sisternasına dökülen ağır zincirlerin-N-asetil glukozamin taşıdığı gösterilmiştir. N-asetil glukozamin peptid zincirine asparaginden



Şekil 20

Degisik yapıda bir plasma hücresi gözlenmekte. Granüllü endoplazma retikulumu sisternaları içinde filamantöz ya da kristalloid yapıda inklüzyonlar seçilmekte. X 25500.

N-glukozidik veya serinden O-glukozidik bağ ile bağlanır.<sup>56</sup> Ağır ve hafif zincirlerin biraraya gelişи ve disülfit bağlarının tamamlanmasından sonra Golgi kompleksinde diğer şekerler heksoz transferazlar aracılığı ile takılır. Bu işlemede UDP-şekerler kullanılır ve şeker zinciri ilk takılmış olan N-asetil glukozaminden başlamak üzere uzar.

Şeker eklenmesinin salgılanma ile ilgisi tam olarak bilinmemekle beraber, bu tip sentez sonrası modifikasyonun salgılanma için mutlak şart olmadığı saptılmaktadır. Zira bazı durumlarda hafif zincirler şeker taşımadıkları halde salgılanabilmektedirler.

İlk kez 1890 da Russell<sup>33</sup> tarafından "Russell cisimleri-Russell bodies" tarif edildi. Bunlar Işık mikroskop düzeyinde belirgindir.

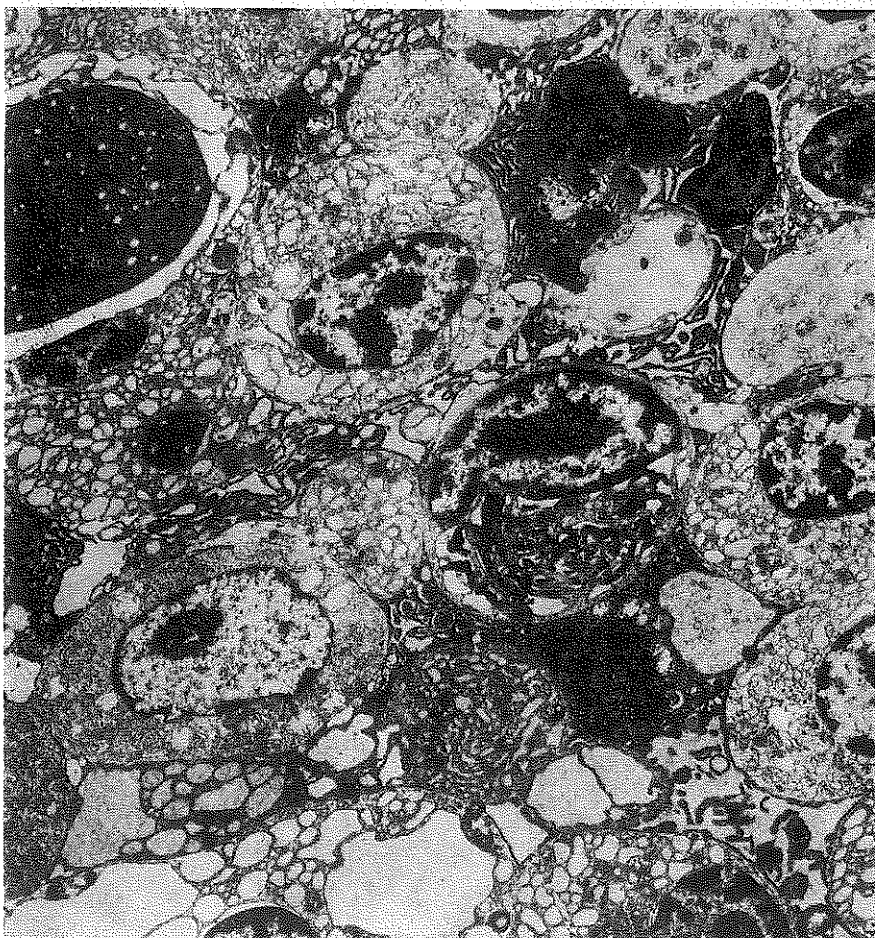


Şekil 21

Şekil 20 deki inklüzyonların daha ileri büyütmede görünümü. X 93000

Bazı araştırmacılar glikoprotein yapısında inkomplet immün-globulinler olduğunu varsayarlar.<sup>33</sup> IgG'ye karşı fluoresceinle konjuge edilmiş antikor ile pozitif reaksiyon verirler. Immunglobulin içermelerine karşın, Russell cisimleri normal sekresyon ürünleri olarak kabul edilemezler. Globulin moleküllerinin biyosentezinde kullanılmayan hafif zincirlerin (light chain) yoğunlaşmasındanoluştuğu varsayıılır. Bazı araştırmacılar, sentez veya salgı ürününün transportunda bir defekt olduğunu ileri sürerler.<sup>33</sup>

Bu çalışmamızda Russell cisimlerinin çeşitlerini gözledik. Tek sayidan pekçok sayıya kadar içeren plasma hücreleri vardı. Çapları da değişiyordu. Bazı plasma hücrelerinde ise, GER sisternalarında filaman biçiminde yapılar izledik. Enine kesitlerde poligonal, boyuna kesitlerde düzenli aralıklarla yoğunlaşmalar gösteriyorlardı. Salgı ürünlerinin



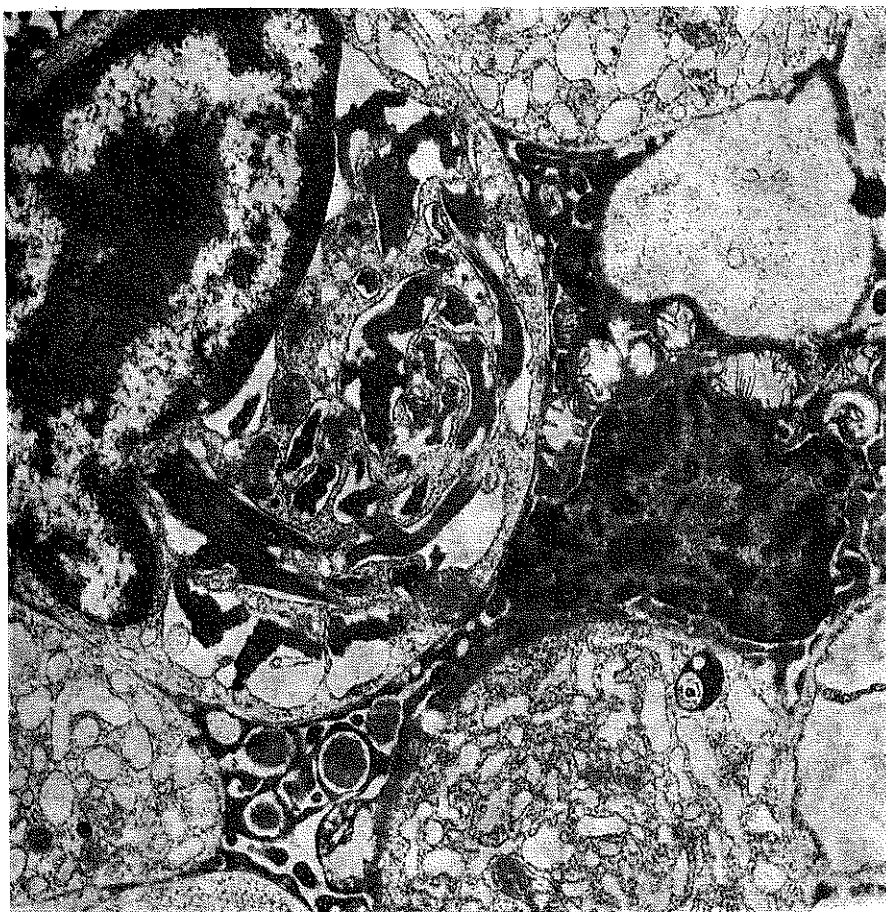
Şekil 22

Değişik olgunluk evrelerindeki plasma hücrelerinden panoramik bir görünüm. X 5700.

atılamayıp Russell cisimleri gibi GER'lerde toplandığı şeklinde kabul ettik. Bu düzeni alışındaki etkeni açıklamak veya anlamak zor, ancak Russell cisimlerinin bir değişik şekli olabileceklerini düşündük.

Plasma hücrelerinin hareket yeteneği çok azdır. Fagositik aktiviteleri gösterilememiştir.<sup>6-19</sup> Ancak çok az lizozoma rastlanır.

Antijenik stimulasyonlarda plasma hücrelerinin B lenfositlerinden meydana geldikleri bugün kabul edilmektedir. Blenfositler büyür, ribozomlar çoğalır ve pironofili kazanır. İmmünoblast veya plasmablasta dönüşür. Giderek Golgi kompleksi ve GER gelişir. Hücreler değişik olgunluk evreleri geçirir, çekirdek küçülür, kromofilik hatta piknotik olur ve kenara itilir.<sup>6-19</sup>



Şekil 23

Piknotik çekirdekli bir plasma hücresi diğer plasma hücreleri arasında izlenmekte.  
X 14100

Plasma hücreleri, lenf düğümü medulla kordonlarında çokça bulunur. İmmün cevabın akut evresinde olgunlaşmamış plasma hücrelerine lenf düğümünün derin korteksinde de rastlanır. Hareketsiz hücrelerdir. Kan ve lenfe girmezler.<sup>6-34</sup> Antijenik stimulasyondan sonra immatür şekillerin lenf ve kana girdikleri gösterilmiştir.

İşik mikroskopu düzeyinde küçük plasma hücreleri lenfositlere benzerler. E. M. de ise, GER görmekle fark belirginleşir. Bazı araştırmacılara göre, bir plasma hücresi klon'u, bir antijene özgü, özel bir immunoglobulin molekülünü sentezler. Sentezleme birkaç gün içinde olur ve işi biten plasma hücresi ölürl.<sup>6-34</sup>



Şekil 24

Cift piknotik çekirdekli, sitoplazma düzeni bozulmuş bir plasma hücresi gözlenmektedir.  
X 14100

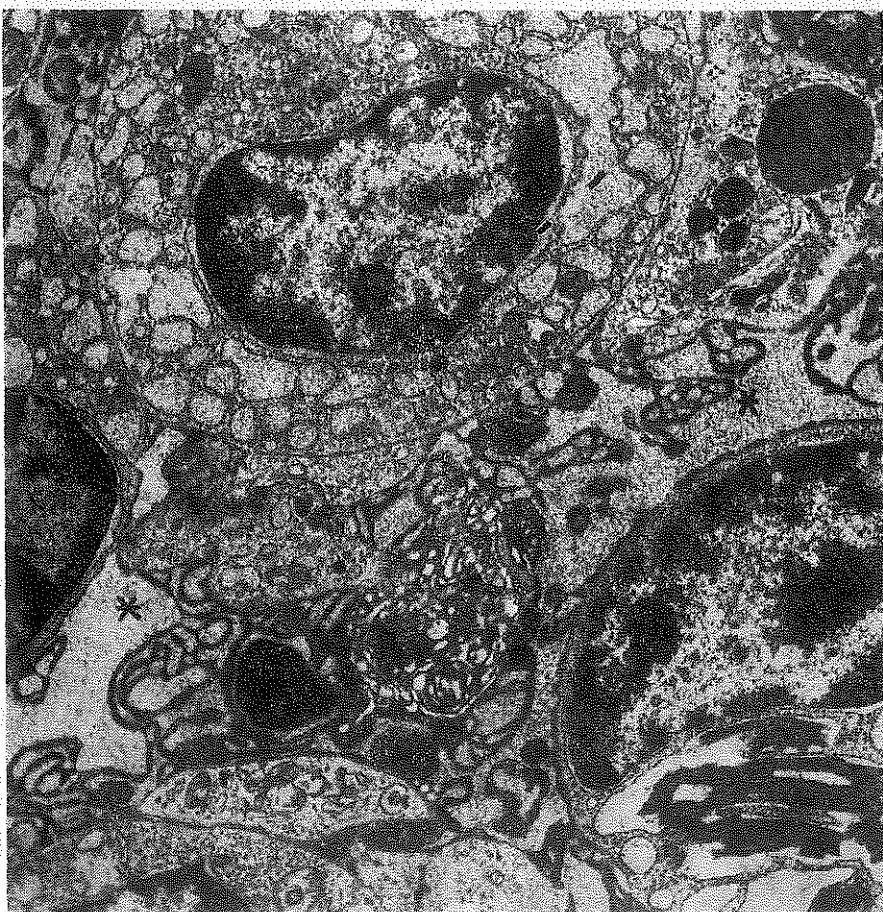
Plasma hücrelerinden immünglobulinlerin salgılanışı, açıklıkla anlaşılmıştır. Immünglobulin, Golgi kompleksinde, genellikle salgı granüllü halinde şekillenmez. Bu nedenle, diğer ekzokrin salgılama gibi belirgin şekilde izlenemez. Bazı varsayımlar ileri sürülmektedir. 1. görüş, immünglobulinin solubl halde plasma hücresi zarından diffuzyonla geçtiğidir. 2. görüş, antikor molekülünün Golgi sahasında ufak, zarla çevrili veziküler şeklini alıp, hücre zarına gelip, oradan ekzositozis (revers pinositosis) yolu ile dışarı atıldığıdır. Bu görüşü destekleyen araştırmacılar, vezikülerin çok küçük olduğunu ve kısa süre-



Şekil 25

Sitoplazması parçalanmış (fragmanlara ayrılmış) (\*), piknotik çekirdekli bir plasma hücresi gözlenmekte. X 14100

lerde hücre zarından boşaldıklarını ve E. M. büyütmelerinde açıklıkla gözlenmeyeceklerini ileri süreter. Bu çalışmamızda bazı plasma hücrelerinde hem Golgi sahasında, hem de hücre zarı yakınında vezikül gruplarını gördük. 3. bir görüş, hücre çevresinde bulunan GER zarının ve komşu sitoplazma zarının birleşip, zaman zaman yırtılıp açılması, sarnıcı içeriğinin dışarı boşalması şeklindeki. Bu görüşü destekleyen durumu seyrek olarak bizde gözledik. Belkide, plasma hücre kümelerinin çok sıkı paketlenmiş oluşu bu durumu belirgin bir şekilde izlemeye olanak vermemektedir. 4. bir görüş, olgunluğun bazı evrelerinde Golgi sahasında beliren salgı granüllerinin, zaman zaman, ekzokrin bezlerdeki ekzositoz yolu ile atılmış olduğu şeklindedir. Bu hususta görüşler yeni-



Şekil 26

Değişik olgunluktaki plasma hücreleri arasında olgun plasma hücresi fragmanları  
(\*) uzanmaktadır. X 14100

dir. Biz çalışmamızda, literatürde bahsedilen granüllere çok sıklıkla rastladık. Olgunluğun çeşitli evrelerindeki plasma hücrelerinde, Golgi sahasında, irili ufaklı, yoğun ve zarla çevrili granüller oldukça belirdindi. Hücre çevresinde de bazı granülleri gözlememize karşın, ekzositozisi yakalayamadık.<sup>6-34</sup>

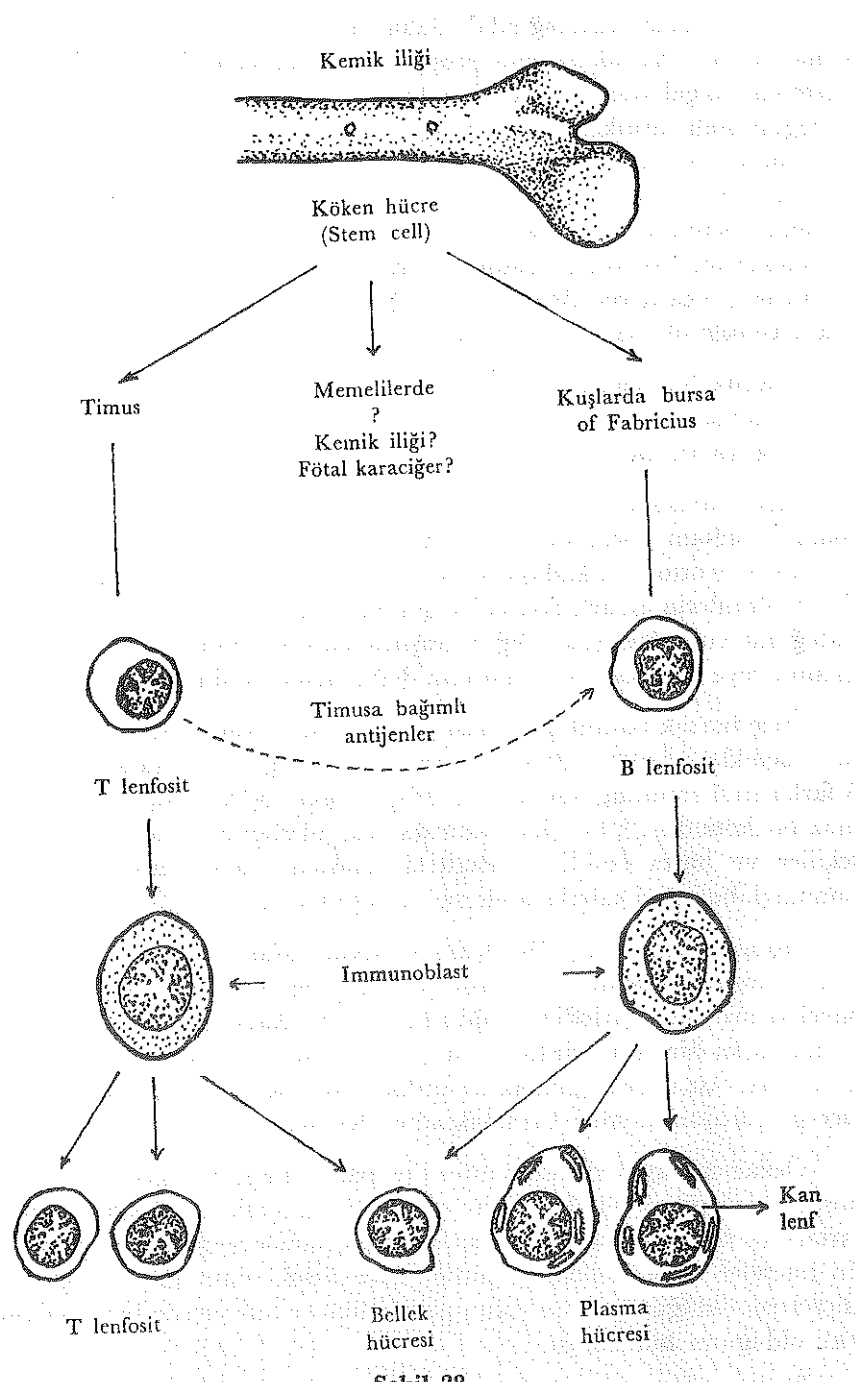
J. J. Miller,<sup>33</sup> kemiricilerde işaretli plasma hücrelerinin birkaç hafta içinde olduğunu bildirdi. Birçok antikor yapan hücrelerin Jerne agar plaklarında kısa sürede harap olduğunu, uzun yaşamadıklarını ve öldüklerini bildirdi. Belki de plasma hücrelerinin antikor sentezi esnasında olduğunu ileri sürdürdü. Başka araştırcılarda plasma hücrelerinin ömrünün kısa olduğunu vurgulamışlardır.



Şekil 27

İçinde Russell cisimleri (Rc) olduğu halde, parçalanmış olgun bir plasma hücresi (\*) bölgeleri gözlenmektedir. X 14100

Kontrol gruplarında da çok seyrek, fakat antijenik uyarının 2,3,6 kez olduğu deney gruplarında çeşitli olgunluk evrelerindeki plasma hücre klonları arasında piknotik çekirdekler gözlemedi. Hücre sınırları belirsizdi. Hücreler arasında bu çekirdeklere ait olduğu kuvvetle muh-temel sitoplazma uzantıları yol almaktaydı. Bu uzantılarda seyrek mito-kondriyonlar ile bol miktarda GER vardı. Bu piknotik çekirdekli hücrelerin ileri olgunluk evresine ulaşmış plasma hücresi olduklarını düşündük. Sentez ürününün en bol olduğu bir evrede hücre zarı yırtılmakta organellerle birlikte sitoplazma ve sarnıcı içeriği yani salgı ürünü hücreler arasına boşaltılmaktadır. Aktif görevi biten hücrenin ölümü gideceği tabiidir ve sonunda çekirdekleri piknoza uğrar.



Şekil 28

Plasma hücrelerinin kökleri ve T, B lenfositlerinin etkileşimini gösteren şema.

“Alfa-Zincir Hastalığında” daha önce yaptığımız E. M. bik gözlemlerde ince barsak lamina propria'sında plasmalenfositik infiltrasyon gösteren bölgelerde değişik olgunluk evrelerinde plasma hücrelerinin varlığını bildirmiştir. Sınırları belirgin plasma hücreleri aralarında plasma hücre sitoplazmasına ait olduğu belirgin sitoplazma parçacıklarını gözlemeviştir. Bu sitoplazma parçaçıkları yer yer devamlılığı bozulmuş plasma hücreleriyle ilişkili olup, genişleme gösteren GER sisternalarını içermektedir. Hücreler arasında GER içindeki salgı ürününe benzer noktacıklı, orta derecede elektron yoğun materyel görülmektedir. Bunu klasmasitozis olarak tariflemiştir.<sup>20, 47-52</sup>

Plasma hücrelerinden salgılanmanın vakuol oluşumu veya GER'lerin yırtılması şeklinde olduğu görüşünü yapısal açıdan destekleyecek bir bulguya rastlamamıştır.<sup>52</sup>

Aynı çalışmamızda çeşitli hücre çekirdeklerinin ve diğer sitoplazmaların sağlam görünümleri tespit hatası olmayacağı bize düşündürmüştür.<sup>52</sup> Scotto ve arkadaşlarının basit bir hücre nekrozuna bağlılığı bu görüntülerin belirli fizyolojik göreve yönelik ve salgılama ile ilgili olduğunu vurgulamıştır. Diğer araştırmılara  $\alpha$ -ZP'nin hücrelerden salgılama veya ekskresyonu konusuna degenmemişlerdir.<sup>47-51</sup>

Ince barsak lamina propria plasma hücrelerinde bu vakada IgA'nın özellikle salgılanması düşündürücüdür. Diğer plasma hücrelerinin 5 farklı sınıf immunglobulin salgılanıldığı (IgG, IgD, IgM, IgE) tartışılmasız bir konudur.<sup>34</sup> Bu çalışmamızda vurguladığımız çeşitli salgılama şekilleri ve hatta çeşitli evrelerdeki plasma hücrelerinin bu farklı immunglobulinleri salgılayabileceğini düşünebilir miyiz?

Hocam sayın Prof. Dr. Kamile Şevki Mutlu, daha önceki ortak çalışmamızda<sup>25</sup> ferritin ile uyarılmış sıçan inguinal lenf düğümlerinde önceleri bu durumu izlediğini bildirdi.<sup>25, 35, 46</sup> Fakat ortak çalışmamız sonradan başka bir yöne girdiği için plasma hücreleri üzerinde o zaman durmadık. Aşırı bir salgılama ile birlikte işi biten plasma hücrelerinin geleceği görüşüne aynen katılmaktadır (Kişisel Görüşme).

Özyazıcı<sup>53</sup> aynı durumu tiroid'te parafolliküler hücrelerde gözlemeviştir. B tipi parafolliküler hücrelerin ileri olgunluk evrelerinde, hücre zarları kaybolarak sitoplazma kapsamının yanı organeller ve granüllerin hücreler arası sahaya boşaldığını, çekirdeklerinin piknoza giderek hücrelerin öldüğünü ve bu yolun parafolliküler hücrelerde bir salgılama şekli olduğunu bildirmiştir.

Böylece olgun plasma hücrelerinin parçalanarak, sentezlediği ürünü, yeni immunglobulini hücreler arasına boşalttığı ve giderek öldüğü

5. bir salgılama şekli olarak kabul edilebilir. Bu durum, bize ekzokrin salgılanmadaki holokrin şekli hatırlatmaktadır. Diğer endokrin hücrelerde de salgılama şekilleri üzerinde durulmaya değer kanışındayız.

### *Teşekkür*

Fotoğrafları basan teknisyenimiz Kemal Çakıcı'ya ve yazıyı dikkatlice yazan sekreterimiz Engin Erbil'e teşekkür ederiz.

### *Özet*

Normal ve uyarılmış koşullarda plasma hücrelerinin kökeni, ince yapısı, antikor yapımı ve özellikle sentezlenen immünglobulinin hücreden salınma biçimini üzerinde duruldu.

### *KAYNAKLAR*

1. Aker, O. N.: Laboratuvar El Kitabı, Hususi Boyama Teknikleri. Örnek Matbaası Ankara, Çeviri, Gridley, M. F. Armed Forces Institute of Pathology, Washington, D. C., 1954, s. 124.
2. Mc. Manus, J. F. A.: Methyl Green Pyronin staining methods. Histologic and Histochemical., 1960, s. 76.
3. Lillie, R. D.: Histopathologic Technic and Practical Histochemistry. Mc Graw Hill Book Comp., III. Baskı, 1965.
4. Sato, T.: A modified method for lead staining of thin section. J. Electron microscopy, 16: 133, 1967. (Alınmıştır: Hayat, M. A.: Principles and Techniques of Electron Microscopy. Cilt. I. Biological Application. Van Nostrand Reinhold Comp., 1970, s. 264)
5. Preece, A.: Routine hematoxylin and eosin staining procedure. In: A manual for Histologic technicians. Little, Brown and Company Boston., II. Baskı. 1975, s. 158.
6. Brown, W. V., Bartke, E. M.: Textbook of cytology. 1. Baskı, the C. V. Mosby Company Saint Louis, 1969.
7. Ham, W.A.: Histology. J. B. Lippincott Comp., Philadelphia, Toronto. VI. Baskı. 1969, s. 315.
8. Stuart, A. E.: "The Reticuloendothelial system" Livingstone. Edinburg. 1970.
9. Uysal, M. T., Kılıçturgay, K., Kerse, İ.: Hücre: İnce Yapı ve Görev. II. Baskı. Hacettepe Üniversitesi Yayınları / A-11, 1974, s. 36.
10. Yakacıklı, S.: Immunoloji (II. Ulusal İmmunoloji Kongresi), İşik Mat., 1975, s. 25.
11. Bloom, W., Fawcett, D. W.: The Immune system. In. A Textbook of Histology. W. B. Saunders Comp., X. Baskı, 1975, s. 427.
12. Junqueira, L. C., Carneiro, J., Contopoulos, A. N.: Basic Histology. Lange Med. Pub. Los Altos, California, 3. Baskı, 1975, s. 257.
13. Bloom, W., Fawcett, D. W.: A Text Book of Histology. W. B. Saunders. Comp., X. Baskı, 1975, s. 432.

14. Fudenberg, H. H., Stites, D. P., Caldwell, J. L., Wells, J. V.: *Basic Clinical Immunology*. Lange Med. Pub., I. Baskı, 1976, s. 72.
15. Müftüoğlu, A.: *Temel Immunoloji*. Güven Kitabevi Yayınları. Ankara, 1978, s. 55. Çeviri. Roitt, I. M. Blackwell Scientific Publication, 3. Baskı. 1977.
16. Gülmezoglu, E.: *Bağışıklığın Temelleri*. 2. Baskı, Hacettepe Üniversitesi Yayınları A 16, 1979.
17. Erbengi, T., Clara, M.: *Histoloji Atlası*, İst. Üniv. Tıp Fak. Yayınları/124. Çelikler Mat., 1979, s. 122.
18. Erkoçak, A.: *Özel Histoloji*. Ank. Üniv. Tıp Fak. Yayınları/389. Ank. Üniv. Basımevi, Ankara, III. Baskı, 1980, s. 58, 80.
19. Copenhaver, W. M., Kelly, D. E., Wood, R. L.: *Bailey's Textbook of Histology*. W-Wilkins Comp., 7. Baskı, 1979, s. 149.
20. Thierry, J. P.: Etude du Plasmocyte en contraste de phase et en microscopie électronique. IV. La clasmatose. *Rev. Franc. Et. Clin. Biol.* **4**: 601, 1959.
21. Fishman, M.: Antibody formation in vitro. *J. Exp. Med.*, **114**: 837, 1961.
22. Besis, C. M.: Ultrastructure of lymphoid and Plasma cell in relation to globulin and Antibody formation. *Cell Ultras.*, **10**: 1040, 1961.
23. Fishman, M., Adler, F. L.: Antibody formation initiated in vitro II. Antibody synthesis in X irradiated recipients of diffusion chambers containing nucleic acid derived from macrophages incubated with antigen. *J. Exp. Med.*, **117**: 595, 1963.
24. White, R. G.: In "The Immunologically competent cells. Its nature and origin. Wolsten Holme, G. E. V., Knight, J., end." Churchill, London. 1963, s. 6.
25. Büyüközer, İ., Mutlu, K. S., Pepe, F. A.: Antigen (Ferritin) and Antibody Distribution in the Rat Lymph Node after Primary and Secondary Responses and Prolonged stimulation. *Am. J. Anat.*, **117**: 385, 1965.
26. Büyüközer, İ.: Histochemical and Immunochemical observations of rat lymph nodes stimulated with ferritin (antigen). *The Turkish Journal of Pediatrics.*, **7**: 1, 1965.
27. Adler, F. L., Fishman, M., Dray, S.: Antibody formation initiated in vitro III. Antibody formation and allotypic specificity directed by ribonucleic acid from peritoneal exudate cells. *J. Immunology.* **97**: 554, 1966.
28. Kerse (Büyüközer) İ.: Lenf düğümünün elektron mikroskopik yapısı. *Deniz Tıp Bülteni.*, **13**: 1, 1967.
29. Humphrey, J. H., Askonas, B.A., Auzins, I., Sela, M.: The localization of antigen in lymph nodes and its relation to specific antibody-producing cells. *Immunology.*, **13**: 71, 1967.
30. Fishman, M.: Induction of antibodies in vitro. *Ann. Rev. Microbiol.*, **23**:199, 1969.
31. Straus, W.: Location of antibody to horseradish peroxidase in popliteal lymph nodes of rabbits during the primary and early secondary response. *The Journal of Histochemistry and Cytochemistry.*, **18**: 120, 1970.
32. Zagury, D., Uhr, J. W., Jamieson, J. D., Palade, G. E.: Immunoglobulin Synthesis and Secretion. II. Radioautographic Studies of sites of Addition of Carbohydrate Moieties and Intracellular Transport. *J. Cell Biol.*, **46**: 52, 1970.
33. Weiss, L.: *The Cells and Tissues of the Immune System*. Prentice-Hall, Inc., Englewood Cliffs., 1972.

34. Tartakoff, A. M., Vassalli, P.: Plasma Cell Immunoglobulin Secretion Arrest is Accompanied by Alterations of the Golgi Complex. *J. Exp. Med.*, **146**: 1332, 1977.
35. Schoenberg, M. D., Mumaw, V. R., Moore, R. D.: Cytoplasmic interaction between macrophages and lymphocytic cells in antibody synthesis. *Science*, **143**: 964, 1963.
36. Aronson, M.: Bridge formation and cytoplasmic flow between phagocytic cells. *J. Exp. Med.*, **118**: 1083, 1963.
37. Sorenson, D. G.: Electron microscopic Observations of Bone marrow from patients with multiple Myeloma. *Lab. Invest.*, **13**: 196, 1964.
38. Büyüközer, İ.: Cytoplasmic Interaction between lymph nodes after prolonged stimulation with antigen (ferritin). *Yakın ve Orta Doğu Milletlerarası Kanser Kongresi Tebliğleri*. Ankara. 1965, s. 457.
39. Büyüközer, İ.: Hipersitimule sıçan inguinal lenf düğümünde lenfosit ve fagositik retiküler hücreler arasındaki münasebet. *Çocuk Sağlığı ve Hastalıkları Dergisi*, **8**: 117, 1965.
40. Mc. Devitt, H. O., Askonas, B. A., Humphrey, J. H., Schechter, I. I., Sela, M.: The localization of antigen in relation to specific antibody-producing cells. *Immunology*, **11**: 337, 1966.
41. Cline, M. J., Swett, V. C.: The interaction of human monocytes and lymphocytes. *J. Exp. Med.*, **128**: 1309, 1968.
42. Hersh, E.M., Harris, J. E.: Macrophage lymphocyte interaction in the antigen induced blastogenic response of human peripheral blood leukocytes. *The J. Immunol.*, **100**: 1184, 1968.
43. Adler, F. L., Fishman, M.: Cellular interaction in the induction of antibody synthesis. *Dev. Biol. Supp.*, **3**: 112, 1969.
44. Smith, C. W., Goldman, A. S.: Interaction of lymphocytes and macrophages from human colostrum: Characteristics of the interacting lymphocys. *J. Reticuloendoth Soc.*, **8**: 91, 1970.
45. Soylu, R.: The thymus and its role in immunity. In: *Symposium on electron microscopy*. Abstract Book. May 2-5, 1972. İstanbul.
46. Kerse, İ., Soylu, R.: Lenf düğümü ve timusta hücreler arası sitoplazmik ilişki. *Patoloji Bülteni*, **1**: 2, 1974.
47. Crabbe, P. A., Carborana, A. D., Heremans, J. F.: The normal human intestinal mucosa as a major source of plasma cells containing gamma A immunoglobulin. *Lab. Invest.* **14**: 235, 1965.
48. Crabbe, P. A., Heremans, J. F.: The distribution of immunoglobulin-containing cells along the human gastrointestinal tract. *Gastroenterology* **51**: 305, 1966.
49. Scotto, J., Stralin, H., Caroli: Ultrastructural study of two cases of alphachain disease. *Gut*, **11**: 782, 1970.
50. Doe, W. F., Hoobs, H.J. R., Jones, A. F., Dent, C. E., Booth, C.: Five cases of alpha-chain disease. *Gut* **13**: 947, 1972.
51. Galian, A., Lecestre, M. J., Scotto, J., Bognel, C., Matuchansky, C., Ramboud, J.C.: Pathological study of alpha-chain disease with special emphasis on evolution. *Cancer*, **39**: 2081, 1977.
52. Uzunalimoğlu, B., Batman, F., Özoran, Y., Uzunalimoğlu, Ö., Kerse, İ.: "Alfa Zincir Hastalığı" Electron Mikroskopik Gözlemler. (İnce barsak lamina propria'sında mononükleer hücrelerin yapısal nitelikleri) *Patoloji Bülteni*, **5**: 33, 1978.

53. Özyazıcı, A.: Tiroid Parafolliküler Hücrelerinin, Normalde ve Hipertireosik Şartlarda, Işık ve Elektron Mikroskopu Düzeylerinde İncelenmesi. Hacettepe Tıp/Cerrahi Bülteni., 12: 607, 1979.
54. C. A. Pasternak: An Introduction to Human Biochemistry, Oxford University Press, 1980, s. 236.
55. Smiley, J. D., Jasin, H. E.: Incorporation of  $^{14}\text{C}$ -hexoses into the carbohydrate of  $\gamma_2$ -globulin in vitro, Immunology, 8: 49, 1965.
56. Fedenberg, H. H., Stites, D. P., Caldwell, J. L., Wells, J. V.: Basic and Clinical Immunology, Lange Med., Pub., 1976, s. 99.

# Kist Hidatik, Taenia Saginata ve Hymenolepis Nana'da Serum İmmun Globulin Seviyeleri

Dr. Burhan Kayhan\*

**K**ist hidatik hastalığında humoral immünitenin rolü henüz araştırılmıştır. Bilindiği gibi organizmada bakteriyel, mikotik, virütik, parazitik hastalıklar geçirildikten sonra, enfeksiyonun cinsine göre humoral immünitede bu ajanları tanıyan ve tekrar karşılaşıldığı zaman spesifik reaksiyon veren faktörler meydana gelir.

Aynı şartlar altında yaşayan insanların sadece bir kısmında kist hidatığının teşekkül etmesi, bu hastalıkta immün bir faktörün rol oynayabileceğini düşündürmüştür ve bizi bu çalışmaya yöneltmiştir.

Bu çalışmamızın amacı: Hikaye, laboratuvar tetkikleri ile kist hidatik, taenia saginata, H. nana düşünülen hastalarda:

- 1) Humoral immünitenin incelenmesi ve immunoglobulinlerde spesifik bir değişikliğin olup olmadığını araştırılması.
- 2) Normal erişkin serum immunoglobulin seviyeleri ile aralarında farkın bulunup bulunmadığını araştırmaktır.

## *Materyel ve Metot*

Bu çalışma Hacettepe Üniversitesi Tıp Fakültesi Dahiliye ve Genel Cerrahi Bölümlerinden seçilen 3 ayrı grup üzerinde yapıldı.

**Grup 1 :** Hastalara, klinik hikaye, fizik muayene, röntgen, scanning, Casoni testi, kompleman birleşmesi (Weinberg) testleriyle kist hidatik hastlığı tanısı konmuştur. Bu grup 29 vakadan ibarettir. Hastalarımızın 20 si kadın, 9 u erkek olup, en küçük hasta 6, en büyüğü 65 yaşıdadır.

\* Hacettepe Üniversitesi Tıp Fakültesi Gastroenteroloji Bölümü Doçenti.

**Grup 2 :** 19 intestinal parazitozlu vakadan ibarettir. Bunların 15 i Taenia saginata, 4 ü H. nana'dır. Vakaların 8 i kadın, 11 i erkek-tir. En küçüğü 16, en büyüğü 38 yaşındadır.

**Grup 3 :** 21 sağlam kontroldan ibarettir. 4 ü kadın, 17 si erkek-tir. En küçük 19, en büyüğü 50 yaşındadır.

Her gruba aşağıdaki tetkikler uygulandı

A-Serumda IgG, IgM ve IgA tayini:

1-Kalitatif

2-Kantitatif

**Serumda IgG, IgM ve IgA tayini:**

Bütün vakalarda immünoglobulinler kalitatif ve kantitatif olarak tayin edildi. Grup 2, 3 ve grup 1'i teşkil eden kist hidatikli vakalardan ameliyattan 7 gün önce immünoglobulin tayini için kan alındı, hemen santrifüje edilerek serumlar çalışma zamanına kadar -20 C° de saklandı.

### **İmmünoglobulinlerin Kalitatif tayini**

İmmünoglobulinlerin kalitatif tayininde Gelman'ın immünölektroforez aleti kullanıldı. Hasta serumlarının husule getirdiği IgA, IgM ve IgG bandları, standart serumun husule getirdiği bandlarla mukayese edildi.

Ayrıca IgA, IgM ve IgG miktarlarında olabilecek değişikleri tespit etmek gayesi ile aynı serumda her üç immünoglobulin kantitatif olarak çalışıldı.

### **İmmünoglobulinlerin kantitatif tayini**

IgA, IgM, IgG miktar tayinleri Tripartigen immünodifüzyon plakları ile yapıldı. İçinde spesifik antiserum bulunan agar ile hazırlanmış olan bu plaklar hazır olarak Behringwerke AG Fırmasından temin edildi.<sup>2</sup>

#### *Metot*

Plaklar açıldı. Üzerindeki koruyucu film tabakası çıkarıldı. Agar üzerinde açılmış bulunan kuyularla biriken suyun uçması için plaklar 5 dakika oda hararetinde ağızı açık olarak bırakıldı. Müteakiben bu plaklarda IgA, IgM ve IgG tayinleri yapıldı.

**IgA tayini :** Plâkta bulunan ilk üç kuyuya 5 lamda I, II ve III standart serumları ve geri kalan kuyulara 5 lamda hasta serumları

konuldu. plakların üzeri kapatıldı, 50 saat bekletildi. Kuyuların etrafında daire şeklinde husule gelen presipitin halkası üzeri derecelenmiş hususi eşel ile ölçüldü ve standartlarla karşılaştırılarak değerler 100ml. de mg. cinsinden okundu.

**IgM tayini :** Aynı metot kullanıldı IgA ile tek fark, plakların 80 saat bekletildikten sonra okunmasıdır.

**IgG tayini :** Standart serumlar serum fizyolojikte 1/10 dilüctedildikten sonra kuyulara konuldu. 50 ila 80 saat bekletildikten sonra okundu. Büttün gruptarda (grup1,2,3) elde edilen neticeler istatistik olarak değerlendirildi.

### Bulgular

Çalışmada vakalar 3 grup altında toplanmıştır. Her bir grup için yapılan araştırmalar aşağıda belirtilmiştir.

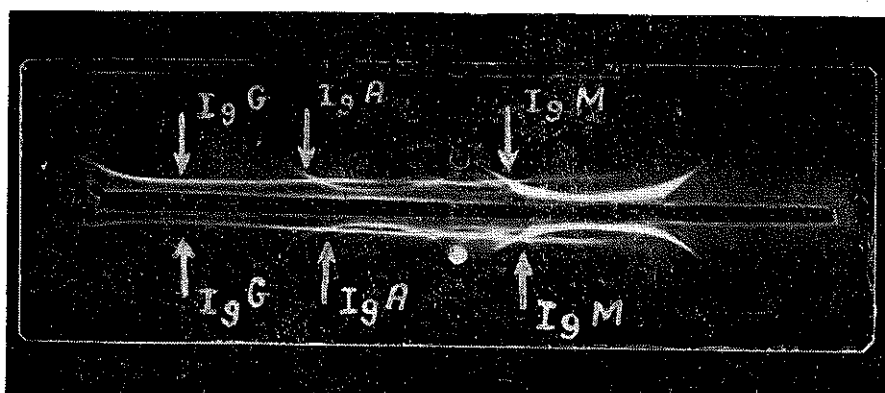
#### 1) Serum immünoglobulinlerinin kalitatif tayinindeki bulgular:

*Normal kontrol* grubundaki vakaların serumlarında IgG, IgA, IgM kalitatif olarak tayin edildiğinde normal bulundu (Tablo I). Ortadaki olgun üst kısmındaki deliğe standart serum konarak elde edilen standart IgG, IgA ve IgM bandları görülmüyor. Altta deliğe konan normal kontrol serumunun husule getirdiği bandlarla mukayesesinde ikisi arasında hiç bir fark görülmeli (Şekil 1). Keza (Şekil 2) de görülen, üstte standart serum altta kist hidatikli hasta serumu konularak yapılan immünoglobulin tayinlerinde kist hidatik vakalarında IgA bandında azalma görüldü. Şekil 3 de görülen üstte standart serum altta parazitozlu vaka serumu konularak yapılan immünoglobulin tayinlerinde bu grubu teşkil eden vakalarda da IgA bandında azalma tespit edildi. Her bir grupta bulunan vakalarda birbirine benzer bandlar teşekkül ettiği için her grup için bir vakanın immunoelektroforez resmi konuldu.

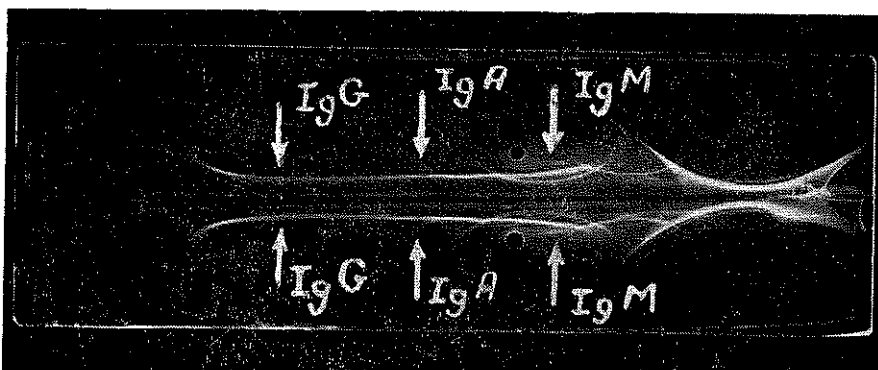
#### 2) Serum immünoglobulinlerinin kantitatif tayinlerinde bulgular:

##### Immunglobulin G:

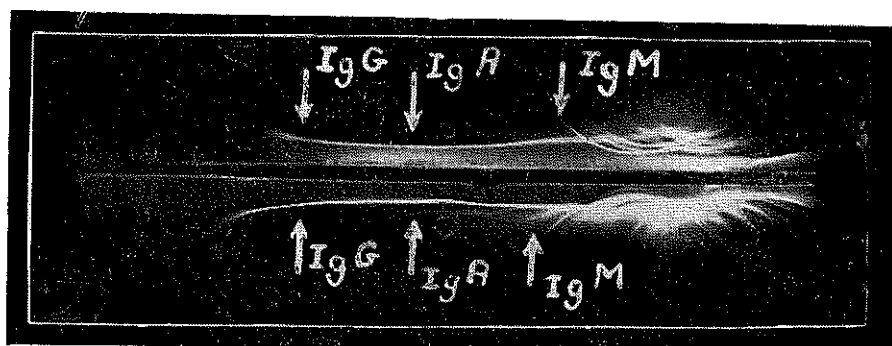
*Normal kontrol* grubunda IgG değerleri normal bulunmuştur. Grubun IgG ortalaması  $1379.76 \pm 49.40$  (Değişme sınırları 1020-1760) mg/100 ml dir (Tablo I). Evvelce hastanemiz immünloloji laboratuvarında ve diğer araştırmacıların yapmış olduğu araştırmalarda, ortalamalı IgG değeri  $1190 \pm 350$  (değişme sınırları 600-2200) mg/100 ml bulunmuştur.<sup>1-6</sup>



Şekil 1



Şekil 2



Şekil 3

*Kist hidatik* grubunda 1 vakada IgG yüksek bulundu. (vaka:24,1560 mg/100 ml). Grubun IgG ortalaması  $1305.58 \pm 34.46$  (Değişme sınırları 980–1710) mg/100 ml dir (Tablo II). Normal grubun değeri ile istatistiksel karşılaştırmada fark önemsizdir ( $P>0.05$ ).

TABLO I  
NORMAL KÖNTROLLER

Vaka No	Adı-Soyadı	Kalitatif			Kantitatif		
		IgG	IgA	IgM	IgG	IgA	IgM
1	R.K	Normal	Normal	Normal	1020	250	85
2	Ö.M	"	"	"	1080	230	110
3	M.K.	"	"	"	1440	242	128
4	F.P	"	"	"	1640	254	144
5	F.E	"	"	"	1375	238	103
6	İ.Y	"	"	"	1500	246	110
7	N.Ç	"	"	"	1600	260	98
8	B.K	"	"	"	1720	236	84
9	S.Y	"	"	"	1340	248	87
10	A.A	"	"	"	1460	218	84
11	A.K.	"	"	"	1160	214	85
12	F.Ö.	"	"	"	1760	244	175
13	M.A	"	"	"	1380	214	243
14	S.E.	"	"	"	1100	220	150
15	D.Z	"	"	"	1230	210	148
16	H.A	"	"	"	1690	264	135
17	R.T	"	"	"	1580	256	85
18	F.K	"	"	"	1180	236	96
19	B.G	"	"	"	1350	260	124
20	İ.Ç	"	"	"	1160	244	116
21	E.D	"	"	"	1210	252	98

Parazitozlarda IgG değerleri normal bulunmuştur. Grubun IgG ortalaması  $1418.31 \pm 35.29$  (Değişme sınırları 1094–1720) mg/100 ml dir (Tablo III). Normal grupta bulunan değer ile istatistiksel karşılaştırmada fark öünsüzdir. ( $P>0.05$ )

#### İmmü noglobulin A:

Normal kontrol grubunda IgA değerleri normal bulunmuştur. Grubun IgA ortalaması  $182.23 \pm 11.91$  (Değişme sınırları 86–260) mg/100 ml dir. Evvelce hastanemiz immünoloji laboratuvarlarında ve diğer araştırmacıların yapmış olduğu araştırmalarda, ortalama IgA değeri  $232 \pm 58$  (Değişme sınırları 40–420) mg/100 ml bulunmuştur.<sup>1-6</sup>

Kist hidatik grubunda bütün vakalarda IgA düşük bulundu. Grubun IgA ortalaması  $87.68 \pm 6.33$  (Değişme sınırları 39–162) mg/100 ml dir. Normal grubun değeri ile istatistiksel karşılaştırılmasında fark önemli bulundu ( $P<0.001$ ).

Parazitoz grubunda bütün vakalarda IgA düşük bulundu. Grubun IgA ortalaması  $103.63 \pm 4.91$  (Değişme sınırları 68–148) mg/100 ml dir. Normal grup ile istatistiksel karşılaştırmada fark anlamlı bulundu ( $p<0.001$ ).

TABLO II  
KİST HİDATİKLİ VAKALAR

Vaka No	Adı-Soyadı	Kalitatif			Kantitatif		
		IgG	IgA	IgM	IgG	IgA	IgM
1	P.T	Normal	Azalmış	Normal	1070	98	111
2	Z.Ö	"	"	"	1520	76	104
3	M.E	"	"	"	1400	83	108
4	H.E	"	"	"	1420	68	118
5	M.E	"	"	"	1050	43	144
6	Ş.T	"	"	"	1350	39	161
7	H.O	"	"	"	1410	82	93
8	A.O	"	"	"	1470	73	111
9	H.G	"	"	"	1280	52	170
10	M.O	"	"	"	1050	43	93
11	Ş.K	"	"	"	1380	73	111
12	N.K	"	"	"	1140	58	106
13	M.Ö	"	"	"	1160	61	95
14	C.Y	"	"	"	1020	45	104
15	H.G	"	"	"	1210	51	138
16	M.O	"	"	"	1250	80	126
17	H.C	"	"	"	1430	78	106
18	Ş.S	"	"	"	1150	66	104
19	G.A	"	"	"	1320	110	120
20	H.Ö	"	"	"	1050	120	114
21	H.T	"	"	"	1462	120	184
22	N.C	"	"	"	1710	118	146
23	F.A	"	"	"	1430	140	116
24	G.K	"	"	"	1560	162	154
25	Z.A	"	"	"	1240	124	132
26	D.Y	"	"	"	1310	114	108
27	F.P	"	"	"	1470	96	90
28	A.K	"	"	"	1080	128	110
29	Y.A	"	"	"	1510	142	128

#### İmmünglobulin M:

*Normal kontrol grubunda IgM ortalaması  $118.47 \pm 8.46$  (Değişme sınırları 84–243) mg/100 ml dir. Evvelce hastanemizde ve diğer araştırmacıların yapmış olduğu araştırmalarda tespit edilen ortalama IgM değeri  $114 \pm 34$  (Değişme sınırları 36–150) mg/100 ml bulunmuştur.<sup>1-6</sup>*

*Kist hidatik grubunda 4 vakada (vaka 6,9,22,24) IgM yüksek bulundu. Grubun IgM ortalaması  $120.86 \pm 4.44$  (Değişme sınırları 90–184) mg/100 ml dir. Normal grubun değerleri ile istatistiksel karşılaşmada fark ömensiz bulundu. ( $p<0.05$ )*

*Parazitoz grubunda 5 vakada (vaka 3,6,10,17,18) IgM yüksek bulundu. Grubun IgM ortalaması  $131.89 \pm 5.87$  (Değişme sınırları*

94-182) mg/100 ml dir. Normal grup ile istatistiksel karşılaştırmada fark önemsiz bulundu. ( $p<0.05$ )

TABLO III  
PARAZİTOZLU (T. SAGINATA, H. NANA) VAKALAR

Vaka No.	Adı-Soyadı	Kalitatif			Kantitatif		
		IgG	IgA	IgM	IgG	IgA	IgM
1	M.G.	Normal	Azalmış	Normal	1450	98	136
2	O.O.	"	"	"	1500	94	130
3	F.K.	"	"	"	1430	112	162
4	A.G.	"	"	"	1310	124	124
5	B.C.	"	"	"	1400	148	110
6	H.E.	"	"	"	1180	68	154
7	F.B.	"	"	"	1536	86	120
8	A.D.	"	"	"	1344	80	118
9	S.A.	"	"	"	1538	122	144
10	A.A.	"	"	"	1460	104	182
11	S.Q.	"	"	"	1094	92	126
12	Z.Y.	"	"	"	1142	83	104
13	M.S.	"	"	"	1482	94	96
14	T.V.	"	"	"	1410	130	112
15	Z.İ.	"	"	"	1546	142	118
16	Z.K.	"	"	"	1720	86	140
17	F.K.	"	"	"	1540	102	162
18	S.K.	"	"	"	1486	96	174
19	F.C.	"	"	"	1380	108	94

#### *Tartışma*

Bütün gruptarda kalitatif olarak immünglobulin tayini yapıldı. Her gruba dahil olan vakalar ayrı ayrı standart serum konarak elde edilen, standart bandlar ile mukayese edildiğinde kist hidatik ve parazitoz gruplarına dahil olan vakalarda IgA bandında azalma müşahede edilmiştir.

Bizim çalışmamızda kist hidatik ve parazitoz vakalarında yapılan kantitatif humorall immünite araştırmasında normal şahıslara göre her iki gruba dahil olan vakalarda IgA miktarında düşüklük olduğu tespit edilmiştir. Her iki gruba dahil vakaların IgA miktarları ayrı ayrı normal kontrol grubuna ait IgA değerleri ile istatistiksel olarak karşılaştırıldığında fark önemli bulunmuştur. ( $p<0.001$ ) IgG, IgM miktarları normal bulunmuştur. IgA bir çok hastalığın seyri esnasında düşük bulunduğu için tanıda önemli bir değerinin olmadığı kanıtı uyandı.

*KATNAKLAR*

1. Emre, S., Eker, E.: Şizofreniklerde kan ve beyin omurilik sıvısında immünoglobulinler üzerine bir araştırma. XVI. Türk Mikrobiyoloji Kongresi, Serbest Tebliğ Özetleri, Ege Ü. Mat., İzmir, 1976, 366.
2. Fahey, J. L., Mc Kelvey, E. M.: Quantitative determination of serum immunoglobulins in antibody agar plates J. Immunol. **94**: 84, 1965.
3. Kandilci, S.: Viral hepatit ve diğer bazı sarılıklarda serum immünoglobulin seviyesindeki değişiklikler, A. Ü. Tıp Fak. Mec., Suppl. Nc: 59, 1972.
4. Kırın, Ö., Say, B.: 0-15 yaş grubundaki Türk çocukların serum immünoglobulin seviyelerinin gelişmesi ve diğer memleketlerin neticeleriyle karşılaştırılması. Türkiye Bilimsel Teknik Araştırma Kurumu, Tıp Araştırma Grubu proje No: TAG/159, 1971.
5. Paykoç, Z., Alptuna, E.: Periyodik hastalıkta immünoglobulinler, I. Türk Gastroenteroloji Kongresi, Bildiri Özetleri, Elif Matbaacılık Sanayii, Ankara. 1974, 10.
6. Yiğitbaşı, Ö., Nalbantgil, İ.: Arteriosklerotik kalp hastlığında immün mekanizma, T. B. T. A. K. IV. Bilim Kongresi, Serbest tebliğler, Ankara, 1973.
7. Yiğitbaşı, Ö., Bayat, A. H.: Myokard infarktüsünde serum immünoglobulinlerinin durumu ve patojenezde immün fenomenlerin rolü, Ege Ü. Tıp, Fak. Mec., **14**: 97, 1975.

# Sığanlarda Nukleus Kaudatus Sinir Hücrelerinin Yapısal Gelişimi II\*

(Elektron Mikroskopik Çalışma)

Dr. Afet Solmaz Özoran\*\*

## Giriş

**G**ünümüzde gelinceye deðin, birçok memelide nöral tübüñ oluþmasından beynin çesitli bölgelerinin farklılaşmasına kadar geçen süre içinde sinir hücrelerinin çoğalmaları, göçleri ve son yerleşim yerlerinde gelişmeleri biyokimyasal ve histolojik yöntemlerle araþtırılmıştır.<sup>1-3</sup>

Doðum öncesi ve doðum sonrası erken dönemlerde sinir hücrelerinin yapısal gelişiminin incelenmesi, gelişmekte olan tüm hücrelerin benzerlikleri yönünden oldukça zordur. Mitoz öncesi evrede bulunan sinir hücre çekirdeklerinin radyoaktif maddelerle işaretlenebilme özelliği, gelişmelerinin incelenmesinde yardımcı olmaktadır.<sup>1-6</sup> Bu yöntemle ışık mikroskopu düzeyinde diensemfalonun hemen hemen tüm bölgelerinde sinir hücrelerinin doðum öncesi dönemde farklılıkları ve son yerleşim bölgelerine ulaşmış oldukları saptanmıştır.<sup>2</sup> Beyin korteksindeyse, sinir hücrelerinin göðü ve farklılıklar az da olsa doðum sonrası erken dönemde sürdürmektedir.<sup>6,7</sup>

Sinir hücrelerinin normal yapısal gelişiminin bilinmesi, doðum öncesi dönemde ortaya çıkan çesitli etkenlerin sinir sistemi gelişmesini etkilemesi yönünden önem taşır. Özellikle son yıllarda tiroid hormonu yetersizliğinin ekstrapiramidal sistem çekirdekleri üzerine etkisi çesitli yöntemlerle çalışılmaktadır. Çalışmalar çogunlukla bu sistem çekirdeklерinden nukleus kaudatus üzerinde sürdürülmemekte ve hipotroid hayvanlarda gelişim sırasında sinir hücrelerinin sayısal analizleri yapılmaktadır.<sup>8,9</sup> Ancak bu konuda yeterli elektron mikroskopik çalışma yoktur.

\* Hacettepe Üniversitesi Tıp Fakültesi Histoloji-Embriyoji Bilim Dalı Çalışmalarından.

\*\* Aynı Bilim Dalı Öğretim Üyesi.

Bu nedenle telensefalonun en erken gelişen yapıları arasında sayılan nukleus kaudatusun sinir hücrelerinin gelişimi ileri deneysel çalışmalara ön hazırlık olması yönünden elektron mikroskopu düzeyinde incelenmeye değer bulundu.

#### *Materyel ve Yöntemler*

Bu çalışmada, İsviçre tipi beyaz sıçanlar Hacettepe Üniversitesi Tıp Fakültesi Deney Hayvanları Yetiştirme ve Araştırma Merkezi'nden sağlandı. Nukleus kaudatus sinir hücrelerinin gelişme evrelerindeki yapı değişikliklerini incelemek üzere 15–16, 19–20 günlük sıçan embriyonlarıyla yeni doğmuş,<sup>3,5,7,9,12,15,17,19,21</sup> günlük sıçanlar kullanıldı. Kontrol grubu olarak 3 aylık, ergin erkek ve dişi sıçanlar seçildi.

Embriyon ve yavru sıçanları elde etmek amacıyla, bir kez doğum yapmış dişi sıçanların östrus evreleri vaginal yaymayıla saptandı. Bu yöntemle ayrılan dişiler, ergin erkek sıçanlarla bir gece birarada birekildi. Ertesi gün, vaginal tıkaçları belirgin olan 20 dişi sıçan ayrı kafslere alındı. Çiftleşme günü gebeliğin başlangıcı kabul edildi.

Embriyonların nukleus kaudatuslarını incelemek için sırayla gebeliklerinin 15–16. ve 19–20. günlerinde ikişer sıçan kalplerine hava verilerek öldürdü. Karın bölgeleri açıldı, henüz canlı olan embriyonlar uterus boynuzlarından amniyon keseleriyle birlikte çıkarılarak elektron mikroskopu düzeyinde incelenmek üzere pH 7.2 ye ayarlanmış 1/15 M fosfat tamponu içinde % 2.5 gluteraldehid (BHD), % 1 akrolein (Serva) karışımı<sup>10</sup> birinci tespit solusyonuna alındı. Tespit solusyonu içinde kısa sürede amniyon keselerinden çıkarılan embriyonların kafaları göydelerinden kesilerek ayrıldı. Daha sertleşmemiş olan kafa kemikleri açılarak beyin zedelenmeden çıkarıldı. Hemen taze tespit solusyonuna aktarıldı.

Geri kalan gebe sıçanlar yavruulamaları için bekletildi. 21. günde yavrular elde edildi. Yeni doğmuştur üçüncü haftanın sonuna kadar her grup için anaları aynı olan ikişer yavru sıçan, kafaları kesilerek öldürdü, kafa kemikleri açıldı, beyinler çıkarılarak hemen 1. tespit solusyonuna alındı. Tüm grplarda, diseksiyon mikroskopu altında ve tespit solusyonu içinde bulbus olfactoryus düzeyinde yatay planda yapılan kesiyle beyin yarımküreleri ikiye ayrıldı.

Emriyon ve ikinci hafta sonuna kadar yavru sıçanların beyinlerinde yan karıncığın duvarında belirgin bir kabartının gözlenmesi nukleus kaudatus üzerinde bulunulduğunu doğruluyordu. Daha büyük yavru beyinlerinde bölgenin tanınması kolay oldu; çekirdeğin içinden geçen beyaz madde lifleri yapıya çizgili görünüm kazandırıyordu.

Tüm gruplarda çekirdeğin çeşitli bölgelerinden milimetre boyutlarında küçük doku parçaları alındı. Bu parçalar oda sıcaklığında 3 saat birinci tespit solüsyonunda bırakıldıktan sonra 1/15 M fosfat tamponunda değiştirilerek yıkandı. İkinci tespit solüsyonu olarak aynı tamponda hazırlanmış % 1 osmiyum tetroksit kullanıldı. Tespit işlemi sonunda doku parçaları, laboratuvarımızda uygulanan yöntemle dereceli etil alkol serisinden geçirilerek araldit karışımı gömme materyelinde bloklandı. Elektron mikroskopik bloklardan elde edilen 400-600 A° kalınlığındaki ince kesitler Sato'nun<sup>11</sup> kurşun tuzları karışımıyla kontrastlanarak Carl Zeiss EM 9S2 ye dönüştürülmüş EM 9 elektron mikroskopunda incelendi.

### Bulgular

**Doğum öncesi 15-16. gün :** Nukleus kaudatustan elde edilen ince kesitler elektron mikroskopu düzeyinde incelemişinde, küçük gruplar oluşturan, ilkel sinir hücreleri oval biçimli düzgün sınırlı çekirdekleriyle ayırdedildi (Şekil 1). Çekirdekde heterokromatinin ince kümeleri arasında ökromatinin egemenliği açıktı. Kimi hücrelerde çekirdekciğin yapısı belirgindi. Sitoplazmalarında az sayıda bağımsız ribozom toplulukları, gelişmemiş granüllü endoplazma retikulumu, Golgi kompleksi, küçük mitokondriyonlar, ince nörotubulus ve nörofilaman ağı bulunuyordu (Şekil 1,2).

**Doğum öncesi 19-20. gün :** Oval biçimli çekirdekleri olan ilkel sinir hücrelerinin yanısıra, çok sayıda yuvarlak çekirdekli ve dendritleri ayırdedilen, gelişmekte olan sinir hücrelerine rastlandı. Bu hücrelerin çekirdeklерinde ökromatin yapıya egemendi. Belirgin çekirdekçik kenarda yerleşti. İlkel sinir hücrelerinde gözlenenlere oranla sitoplazmalarında organel gelişimi farkedildi (Şekil 3). Granüllü endoplazma retikulumunun küçük sarnıçları, bağımsız ribozom kümeleri, Golgi kompleksi, seyrek kristal mitokondriyonlar ana dendrit çıkışında yoğunlaşmıştı (Şekil 3,4). Ana dendritte de granüllü endoplazma retikulumu, bağımsız ribozom toplulukları ve mitokondriyonlar seçildi (Şekil 4).

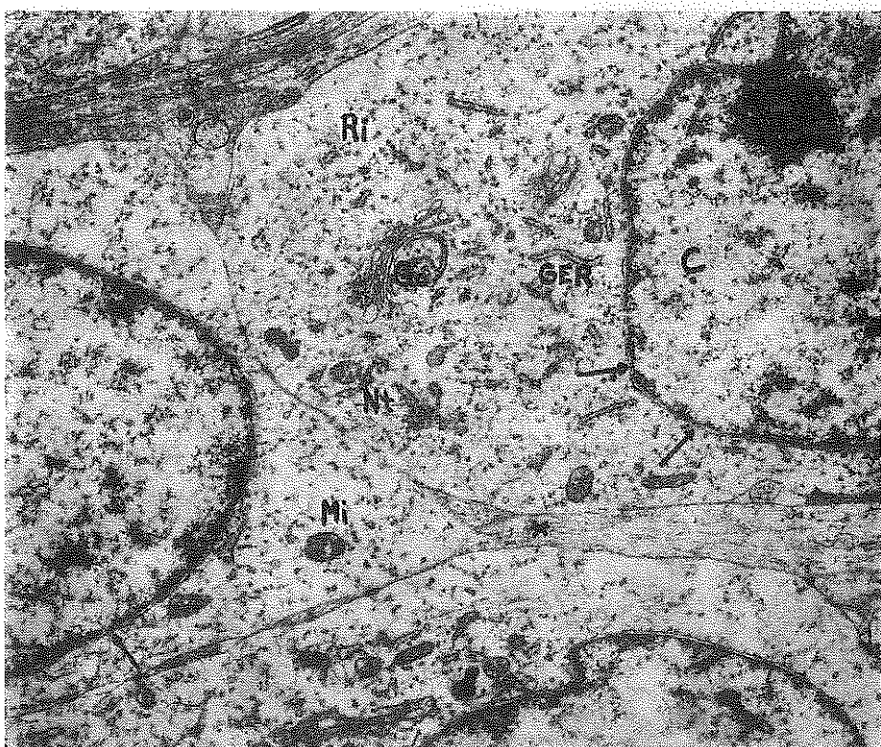
**Doğum sonrası 1,3,5. günler :** Sinir hücrelerinde ilkel görünümün kaybolduğu, tümüyle gelişmekte olan hücre görünümünü kazandıkları saptandı. Düzgün sınırlı çekirdeklere belirgin çekirdekçik bulunuyordu. Sitoplazmalarında gelişme gösteren, koşut düzenlenmiş granüllü endoplazma retikulumu, bağımsız ribozom toplulukları, Golgi kompleksi ve çeşitli biçimde mitokondriyonlar izlendi (Şekil 5,6).



Şekil 1

Doğum öncesi 15-16. günde nukleus kaudatusdan elde edilen elektronmikrografda, ilkel sinir hücreleri ve çevre yapılar sergilenmektedir. İlkel sinir hücrelerinin çekirdeklerinde ( $C$ ), heterokromatinin ince kümeleri arasında ökromatinin egemen olduğu fark ediliyor. Çekirdekçig'in ( $\zeta$ ) yapısı bazı hücrelerde belirgindir. Sitoplazmalarında az sayıda bağımsız ribozom toplulukları, gelişmemiş granüllü endoplazma retikulumu, Golgi kompleksi, küçük mitokondriyonlar ve nörofilaman ve nörotubulus ağı gözleniyor. Çevrede içlerinde nörotubulus ve nörofilaman yoğunluğu belirlenebilen ince akson ( $A$ ) kesitlerinin yanı sıra, organelden fakir çeşitli hücre uzantıları kesitleri ( $x$ ) bulunmaktadır. Hücre uzantıları zarları arasında yakın ilişki ve belirgin zar kalınlaşmalarının ( $ok$ ) varlığı dikkati çekiyor. Kurşun sitrat, kurşun nitrat, kurşun asetat karışımı (Sato). X 7600

**Doğum sonrası 7. gün :** Nukleus kaudatusda birçok sinir hücresinin olgun yapıda oldukları saptandı. Bu hücreler çekirdek ve sitoplazmalarının ince yapıları yönünden olgun orta tip I sinir hücrelerinin özelliklerini taşıyorlardı. İşık mikroskopu düzeyinde bazı sinir hücrelerinin sitoplazmalarında saptanan bazofiliye uyumlu olarak, bu hücrelerin sitoplazmalarında iyi gelişmiş granüllü endoplazma retikulumu ve çok sayıda bağımsız ribozom topluluğu gözlendi. Dendrit



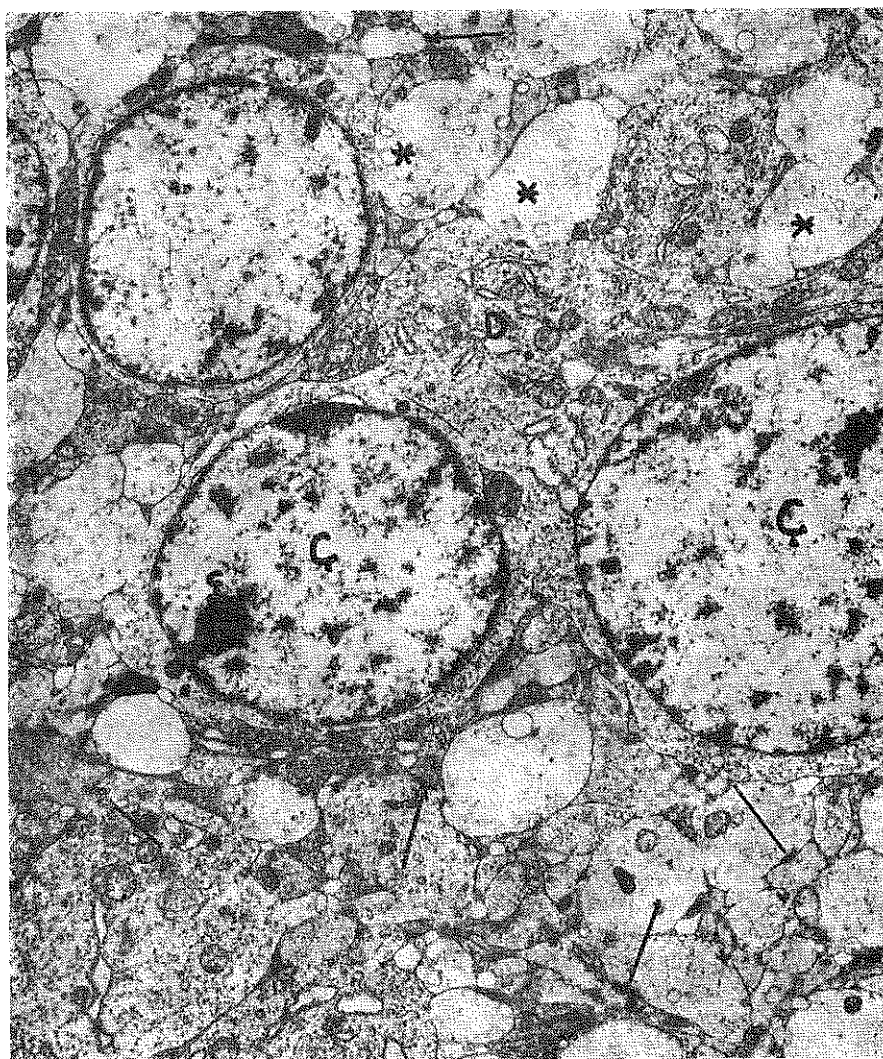
Şekil 2

Doğum öncesi 15–16. günde nukleus kaudatusdan elde edilen elektronmikrografda, ilkel sinir hücrelerinin ince yapı ayrıntıları izlenmektedir. Çekirdek (C) zarında porların (ok) varlığı dikkat çekiyor. Sitoplazmalarında ince nörotubulus (Nt) ve nörofilaman ağr selectablebiliyor. Hücreler arasında bulunan uzantılarda da (x) nörotubulus ve nörofilaman yoğunluğu belirgindir. C, çekirdekçik; GER, granüllü endoplazma retikulumu; Ri, bağımsız ribozom; Go, Golgi kompleksi; Mi, Mitokondriyon.

Kurşun sitrat, kurşun nitrat, kurşun asetat karışımı (Sato). X 188000

cıkışında Golgi kompleksinin genişlemiş kese ve sarnıcıları izlendi (Şekil 7). Daha büyük elektron mikroskobu büyütümlerinde ince nörotubulus ve nörofilaman ağının çekirdeği saran sitoplazmada belirli bir matriks yoğunluğu oluşturmuş olduğu dikkat çekti. Hücre zarının bitişik aksonlarla yakın ilişkisi ve aksomatik sinapsları simgelemekte olan zar kalınlaşmaları gözlandı (Şekil 8).

Olgun sinir hücrelerinin yanısıra gelişmekte olan sinir hücreleri de bulunuyordu. Bu hücreler sitoplazma organelleri yönünden daha az gelişmişlerdi; ancak granüllü endoplazma retikulumunun genişlemiş sarnıç yapıları dikkat çekti. (Şekil 8)



Şekil 3

Doğum öncesi 19-20. günde nukleus kaudatusdan elde edilen elektronmikrografda, gelişimekte olan sinir hücreleri ve çeşitli hücre uzantılarının kesitleri gözlenmektedir. Sinir hücrelerinin sitoplazmasında, grantılık endoplazma retikulumunun gelişme gösterdiği ve bağımsız ribozom kümelerinin belirgin olarak artmış olduğu izleniyor. Çevrede bulunan hücre uzantılarının enine kesitlerinin (x) başında az sayıda organel bulunduğu dikkati çekiyor. Çeşitli hücre uzantıları arasında yakın zar ilişkileri ve zar kalınlaşmaları saptanabiliyor (ok). Ç, çekirdek; s, çekirdekçik; D, ana dendrit.

Kurşun sitrat, kurşun nitrat, kurşun asetat karışımı (Sato). X 7600.

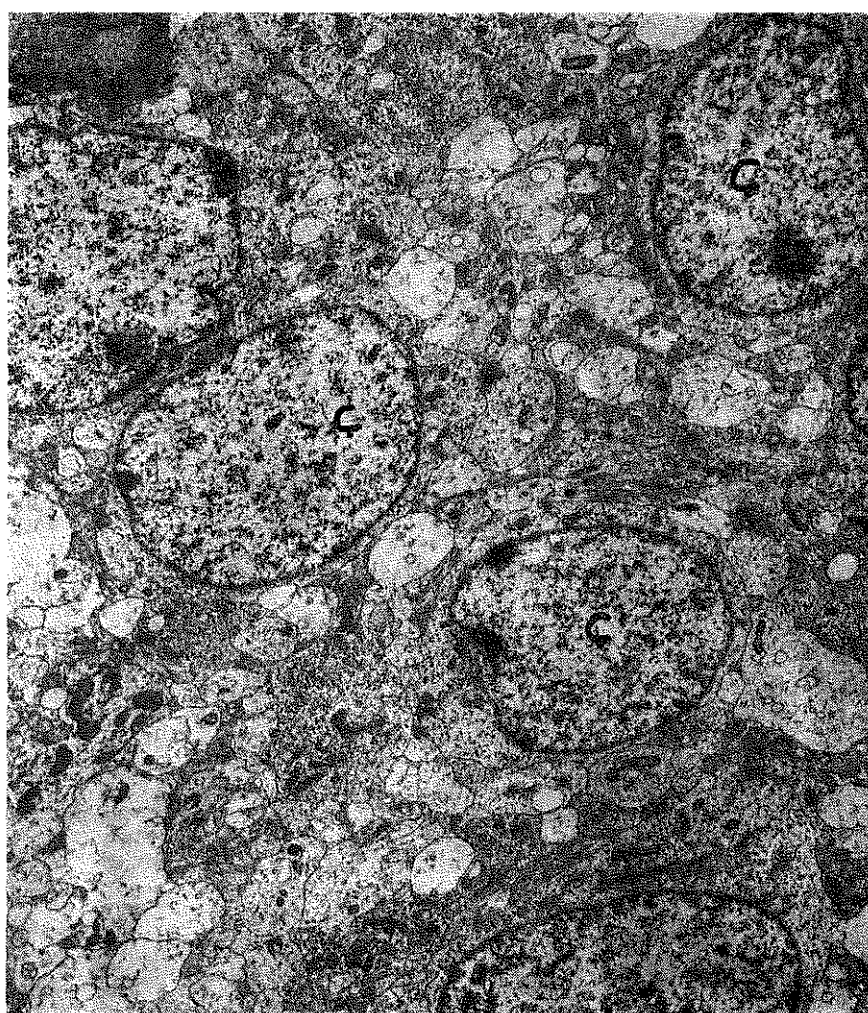
**Doğum sonrası 9. gün :** Orta tip I sinir hücrelerinin yanısıra, küçük tip olgun sinir hücreleri de ayırdedildi. Bu hücrelerin düzgün



Şekil 4

Doğum öncesi 19-20. günde nukleus kaudatusda bir sinir hücresi ana dendritinin bir bölümü ve çevre yapıların ince yapı ayrıntıları izlenmektedir. Çevrede yerleşik çeşitli hücre uzantılarının zarları arasında yakın ilişki dikkat çekiyor. C, çekirdek; GER, granüllü endoplazma retikulumu; Go, Golgi kompleksi; Ri, bağımsız ribozom; Mi, mitokondriyon.

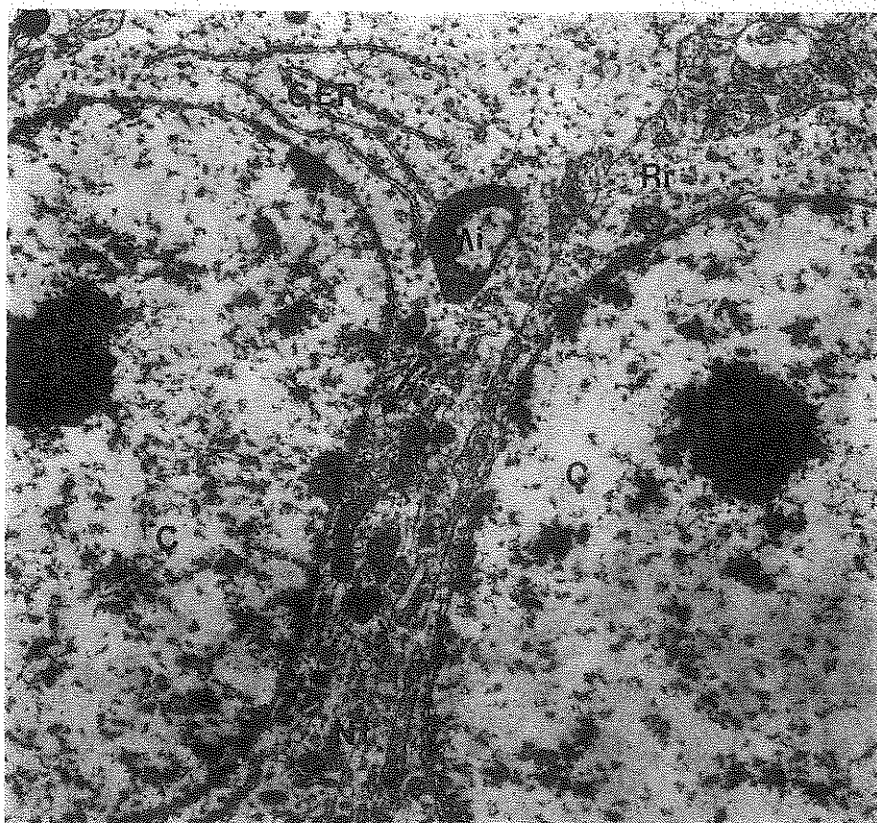
Kurşun sitrat, kurşun nitrat, kurşun asetat karışımı (Sato). X 18800.



Sekil 5

Doğum sonrası 3. günde nukleus kaudatusdan elde edilen elektronmikrografda, gelişimekte olan sinir hücreleri ve hücre uzantıları izleniyor. Ç, çekirdek  
Kurşun sitrat, kurşun nitrat, kurşun asetat karışımı (Sato). X 7600

sınırlı yuvarlak çekirdeklerinde, düzensiz ince heterokromatin yapısı seçildi. Çekirdek zarında porlar farkedildi. Belirgin çekirdekçik, çekirdek kenarına yerlesikti. sitoplazmada iyi gelişmiş organeller sıkı paketlenmişti. Koşut düzenlenmiş granüllü endoplazma retikulumu dışında çok sayıda bağımsız ribozom topluluğu gözlendi. Seyrek kristalî, çeşitli biçimdeki mitokondriyonlar sitoplazmanın her tarafında yaygındı (Şekil 9A,B).



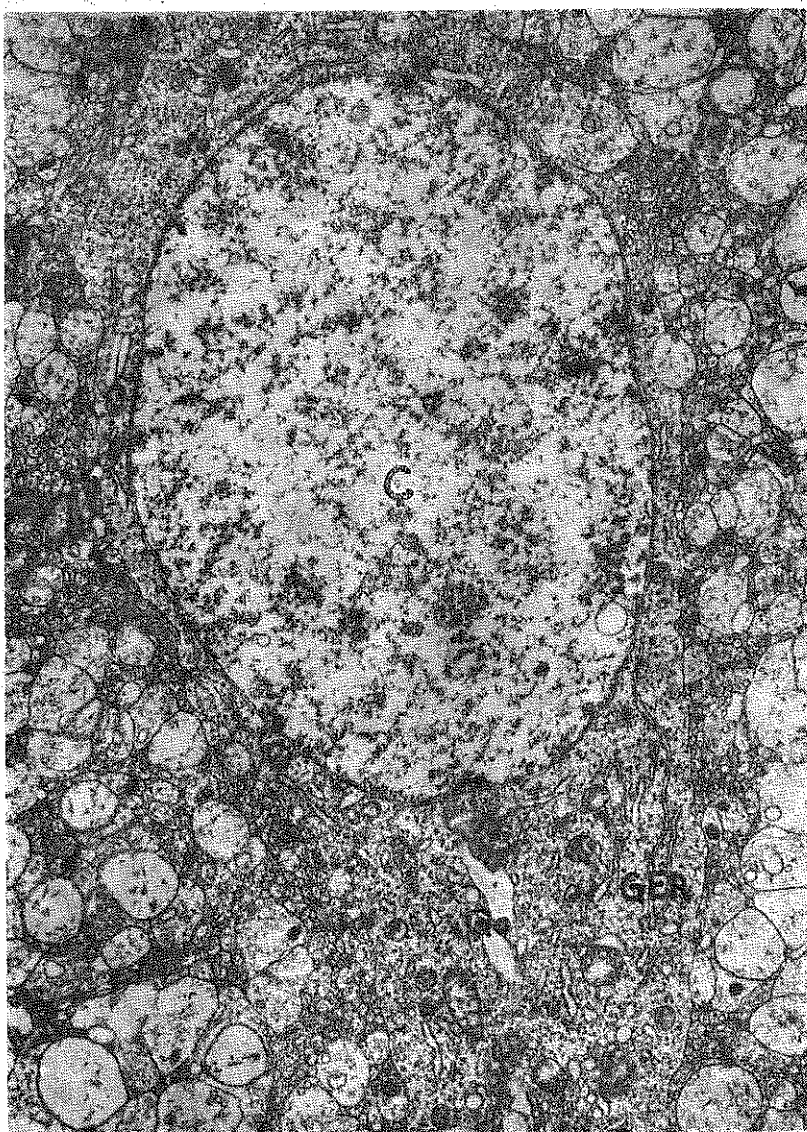
Şekil 6

Doğum sonrası 5. günde nukleus kaudatustan elde edilen elektronmikrografsda gelişmekte olan sinir hücrelerinin ince yapı ayrıntıları sergilenmektedir. Ökromatinin üstünlüğü belirgin olan çekirdeklerin (C) düzgün biçimde sınırlandığı gözleniyor. İyi gelişmiş çekirdekçikler belirgindir. Solda bulunan hücrenin sitoplazmasında gelişme gösteren granüllü endoplazma retikulumu (GER), bağımsız ribozom toplulukları (Ri), Golgi kompleksinin kesecikleri (ok) ve mitokondriyonlar (Mi) izleniyor. Nt, nörotubulus, kurşunsitrat, kurşun nitrat, kurşun asetat karışımı (Sato). X 18800

**Doğum sonrası 12. gün :** Küçük ve orta tip I sinir hücrelerinin büyük bir çoğunluğunun olgun yapıda oldukları saptandı.

**Doğum sonrası 15. gün :** Olgun görünümülü küçük ve orta tip I sinir hücreleriyle birlikte, az sayıda olgun büyük tip sinir hücreleri ayırdedildi. Bu hürelerin yuvarlak çekirdeklerinde ökromatinin egemenindi. Sitoplazmalarında organeller çok iyi gelişmişti. Lizozomlar oldukça fazlaydı (Şekil 10).

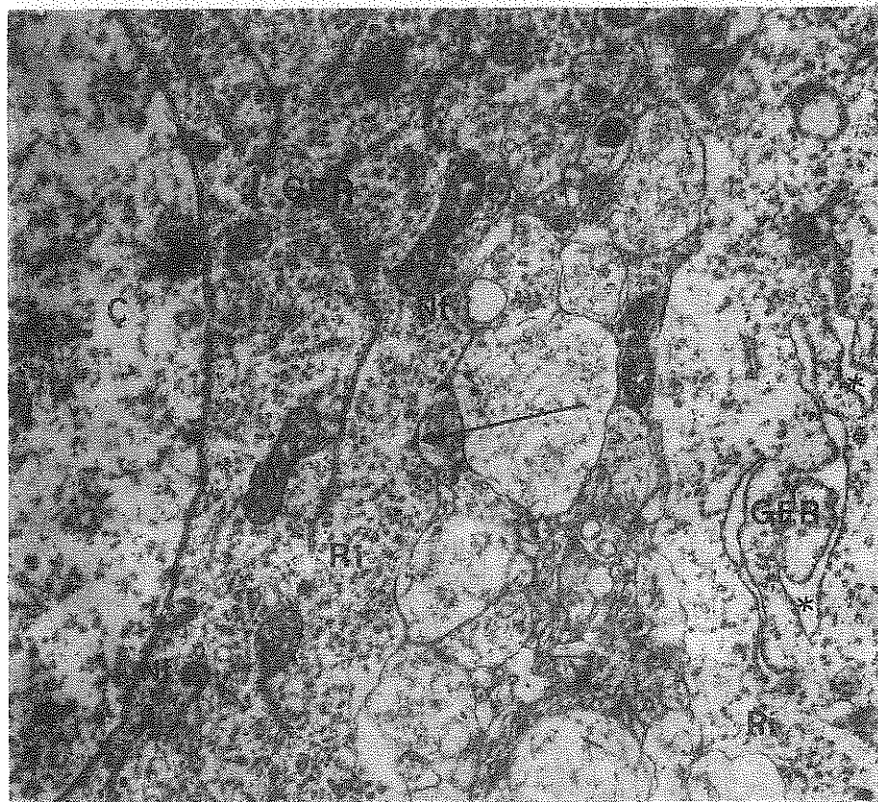
**Doğum sonrası 17, 19. günler:** Sinir hücreleri yönünden 15. güne göre belirgin bir değişiklik saptanmadı.



Şekil 7

Doğum sonrası 7. günde nukleus kaudatusdan elde edilen elektronmikrografda, ince akson demetleri ve çeşitli hücre uzantıları arasında gelişmiş orta tip I sinir hücresi gözlenmektedir. Çekirdeği (C) saran sitoplazmada ve aına dentrit çıkışında iyi gelişmiş granüllü endoplazma retikulumu (GER), bağımsız ribozom toplulukları, ve Golgi kompleksinin varlığı (Go) hücreye olgun görünüm kazandırıyor.

Kurşun sitrat, kurşun nitrat-kurşun asetat karışımı (Sato). X 7600

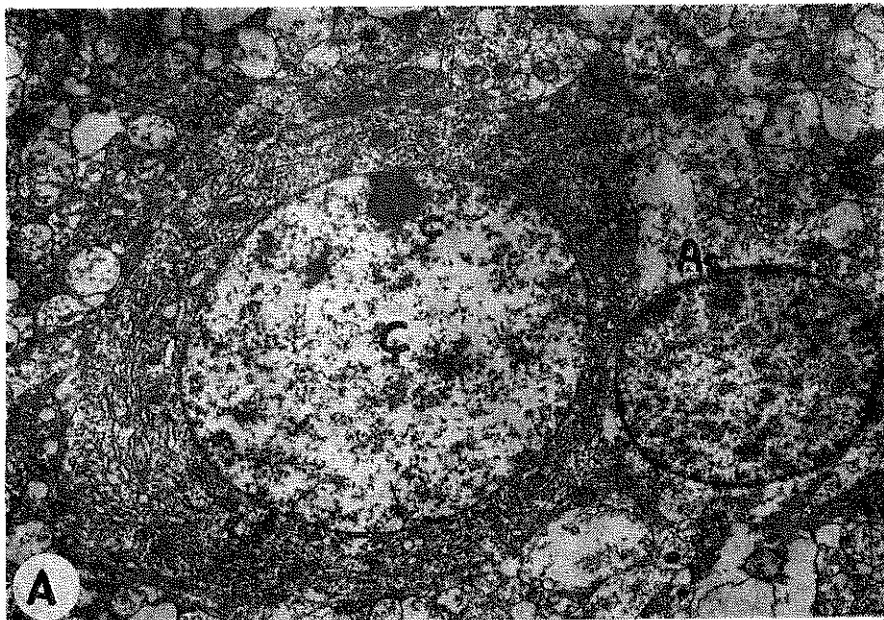


Şekil 8

Doğum sonrası 7. günde nukleus kaudatusda yer alan farklı gelişme evrelerindeki sinir hücresi sitoplazmasına bölümünün ince yapı ayrıntıları sergilenmektedir. Solda yerleşik olgun, orta tip I sinir hücresinin sitoplazmasında iyi gelişmiş granüllü endoplazma retikulumu belirgindir. Bağımsız ribozom toplulukları oldukça siktir. Nörotubulus (Nt) ve nörofilamanlar (Nf) matriks yoğunluğunu artırmaktadır. Hücre zarı bitişik akson zarıyla yakın ilişkidedir. Bir aksosomatik sinaps (ok) fark ediliyor. Sağda gözlenen sitoplazma bölümü gelişmekte olan sinir hücresinde uymaktadır. Genişleme gösteren granüllü endoplazma retikulumu sarnıcıları (x) ilgiyi çekiyor. Bağımsız ribozom ve nörofilaman yoğunluğunun olgun sinir hücrende gözlenenden daha az olduğu seçiliyor. C, çekirdek; GER, granüllü endoplazma retikulumu; Ri, bağımsız ribozomlar; Mi, mitokondriyon.

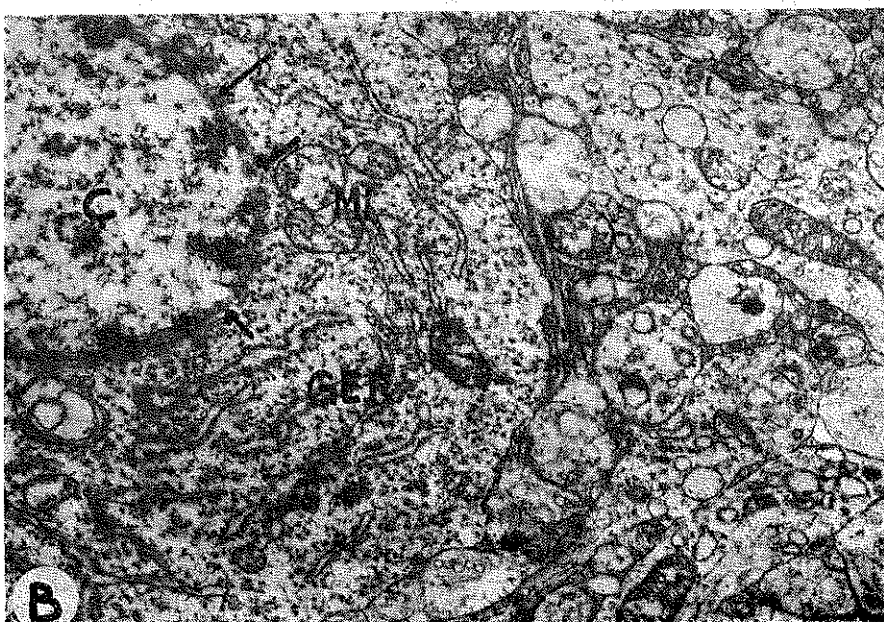
Kurşun sitrat, kurşun nitrat, kurşun asetat karışımı (Sato). X 18800

**Doğum sonrası 21. gün :** Öteki sinir hücrelerinin yanı sıra, olgun görünümde orta tip III sinir hücreleri ayırdedildi. Bu hücrelerin ileri derecede girinti ve çıktılar gösteren çekirdeklerinde, ince heterokromatin kümelerinin arasında, ökromatinin yapısı belirgindi. Sitoplazmalarında iyi gelişmiş granüllü endoplazma retikulumu, bağımsız



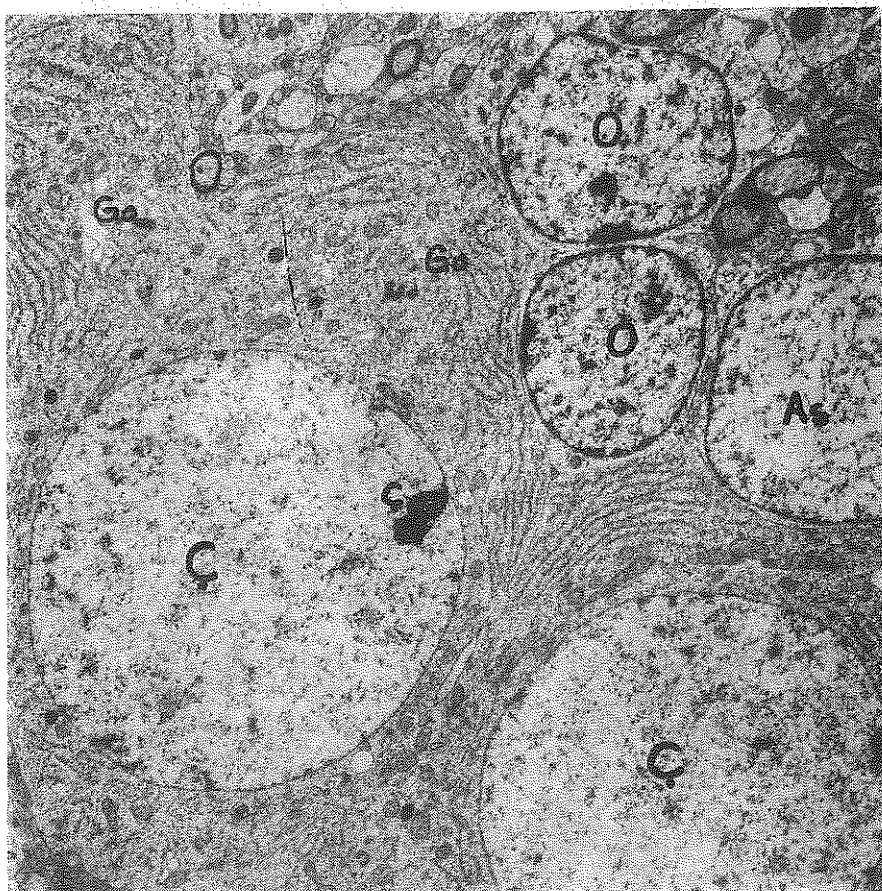
Sekil 9 A

Doğum sonrası 9. günde nukleus kaudatusda olgun küçük tip sinir hücrelerinden biri ve gelişme evresinde protoplazmik astrosit (As) gözlenmektedir. Ç, çekirdek; ç, çekirdekçik. X 7600



Sekil 9 B

Aynı günde, başka bir olgun küçük tip sinir hüresinin ve çevrede hücre uzantılarının ince yapı ayrıntıları izleniyor. Ç, çekirdek; (ok) çekirdek porları; GER, granüllü endoplazma retikulumu; Mi mitokondriyon. X 14100  
Kurşun sitrat, kurşun nitrat, kurşun asetat karışımı (Sato).



Şekil 10

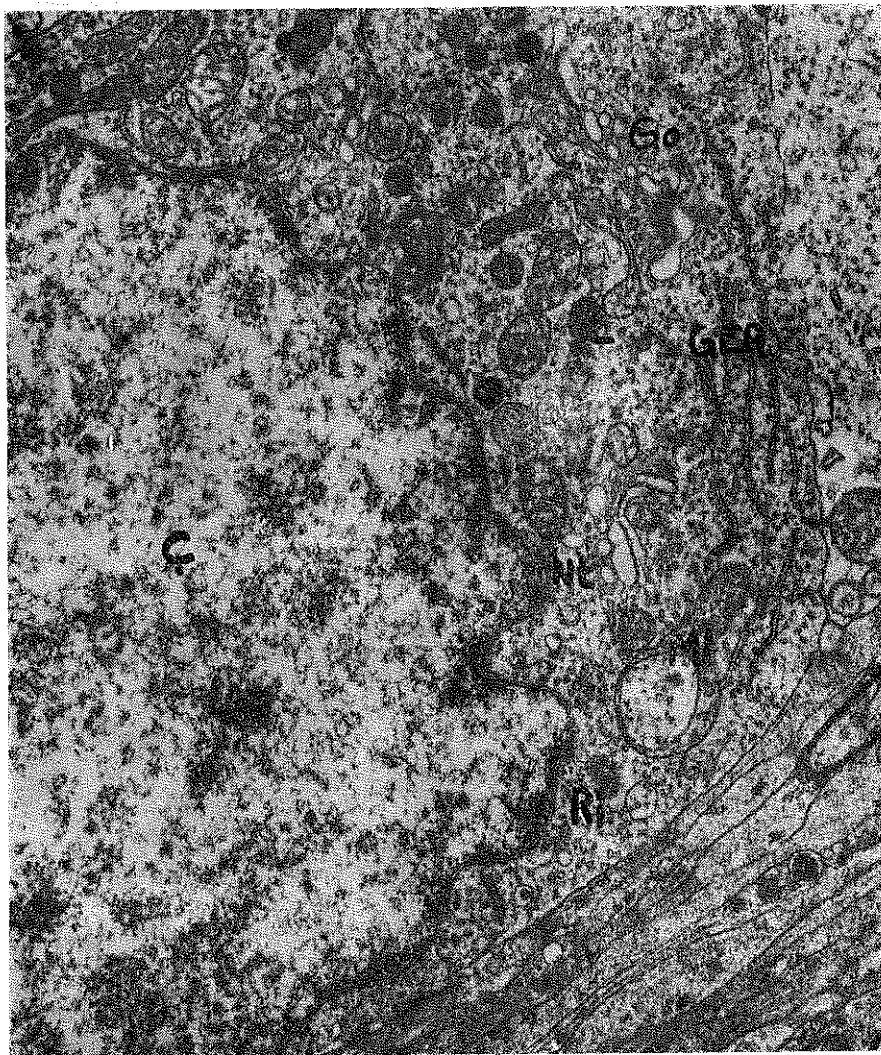
Doğum sonrası 15. günde nukleus kaudatusdan elde edilen elektronmikrografda, olgun büyük tip sinir hücreleri ve bu hücrelere komşu Glia hücreleri gözleniyor. Ç, çekirdek; ç, çekirdekçik; GER, granüllü endoplazma retikulumu; Go, Golgi kompleksi; As, protoplazmik astrosit; O, oligodendrosit.

Kurşun sitrat, kurşun nitrat, kurşun asetat karışımı (Sato). X 5700

ribozom toplulukları, Golgi kompleksleri ve çeşitli biçimde mitokondriyonlar bulunuyordu. Yer yer nörotubuluslar seçildi. Lizozom ve lipid damlacıklarına da rastlandı (Şekil 11).

#### Tartışma

Anatomik çalışmalarla<sup>12-14</sup> telensefalonun en erken gelişen yapıları arasında sayılan nukleus kaudatusun ana sinir hücrelerinin büyük bir grubunun farklılaşması, sıçanlarda doğum öncesi dönemde tamamlanmaktadır.<sup>15</sup> Ancak birtakım sinir hücrelerinin radyoaktif maddeyle



Şekil 11

Doğum sonrası 21. günde nukleus kaudatusda yer alan orta tip III sinir hücrelerinden birinin ince yapı ayrıntısı izlenmektedir. C, çekirdek; GER, grantüllü endoplazma retikulumu; Ri, bağımsız ribozom ; Go, Golgi kompleksi; Mi, mitokondriyon; Nt, nörotubulus; L, lipid damlacığı.

Kurşun sitrat, kurşun nitrat, kurşun asetat karışımı (Sato). X 14100

işaretlenmiş öncüler, doğumdan sonraki ilk birkaç gün içinde gözlenebilmişlerdir.<sup>15</sup> Doğumdan sonra oluşan sinir hücrelerinin yan karıncık duvarı altında bulunan ependimaltı bölgeden göç ettikleri ileri sürülmektedir.<sup>16</sup> Ependimaltı kattan göç eden birçok hücre bir ara bölge oluştururlar.<sup>17</sup> Bu bölgede doğumdan sonra 20. günde de az sayıda nöroblastın bulunduğu saptanmıştır.<sup>18</sup>

Elektron mikroskopu düzeyinde, doğum öncesi fare olfaktuar bulbusunda ilk genç nöron ya da mitoz sonrası nöroblast,<sup>19</sup> sıçan beyin korteksi yüzeysel katında da doğumdan sonra ilk haftada nöroblastlar tanımlanmaktadır.<sup>7</sup> Çoğunlukla iğ biçiminde çekirdek ve gövdeleri olan bu hücrelerin birbirlerine yakın gruplar oluşturdukları görülür.<sup>7, 19</sup> Çekirdek kaba heterokromatin kümeleri nedeniyle yoğun gözlenir. Sitoplazmalarında gelişmemiş endoplazma retikulumu, az sayıda bağımsız ribozom topluluğu küçük Golgi kompleksi ve tek tük mitokondriyon bulunur.<sup>7</sup> Sitoplazmanın bir ucundan çıkan ince uzantılarda birbirlerine koşut düzenlenenmiş nörofilamanlar izlenir.<sup>7, 19</sup>

Bu çalışmada da, doğum öncesi evrede sinir hücresi olarak ayırdedilen hücrelerin, çalışmacıların tanımladıkları nöroblastlara sitoplazma organelleri yönünden benzedikleri dikkati çekti. Ayrıca, nörotubulus ve nörofilamanların sitoplazmada yaygın oldukları belirlendi. Ancak çekirdek yapısının nöroblastlara uymadığı açıklı. Çekirdekler çoğunlukla oval biçimdeydi. Kimi zaman küçük bir çentik bulunuyordu. Çekirdek zarının iç yaprağına ve küçük gentiğe yakın bulunan çekirdekçiğe bitişik heterokromatin kümeleri oldukça azdı. Elektron yoğun olmayan ökromatinin belirgin oluşu nedeniyle çekirdekler açık gözleniyordu. Fötal nukleus kaudatusda, çekirdek heterokromatin dağılımı nöroblastlarından farklı, belirgin çekirdekçikli, fakat sitoplazma organellerinin biçim ve yerlesimi yönünden benzerlik gösteren bu hücrelerin nöroblastlardan daha ileri gelişim evresinde oldukları düşünüldü. Ancak, sitoplazma organallerindeki az gelişme nedeniyle ilkel sinir hücresi terimini kullanmak uygun görüldü.

Doğumdan sonra ilk haftalarda sıçan beyin korteksinde<sup>7</sup> fare beyincisi<sup>20</sup> ve korpus kallosum çevresinde<sup>21</sup> sinir hücrelerinin gelişme evreleri incelenmiştir. Bu araştırmacılar sinir hücreleri farklılaşmasının, nöroblastların çekirdek heterokromatin kümelerinin azalması, sitoplazmada granüllü endoplazma retikulumunun belirginleşmesi ve hücre uzantılarının gelişmesiyle olaylandığını bildirmiştir.

Lu ve Brown<sup>8, 9</sup> sıçan nukleus kaudatusunda doğumdan sonra 7. günde ışık ve elektron mikroskopu düzeylerinde olgunlaşmamış sinir hücrelerinin bulunduğu belirtmişlerdir. Sayısal çalışmalarla, bu hücrelerin erginde bulunan sinir hücrelerinden daha az oldukları saptanmıştır.<sup>8</sup> Bu hücrelerin yuvarlak ya da oval çekirdeklerinde zarın iç yaprağına ve çekirdekçik çevresine bitişik ince heterokromatin kümeleri bulunmaktadır.<sup>9</sup> Organellerden fakir sitoplazmada çekirdek zarı dış yaprağının granüllü endoplazma retikulumuyla devamlılığı gözlenebilir.<sup>9</sup> Bir takım sinir hücrelerindeyse, sitoplazmada yeni oluşmakta olan granüllü endoplazma retikulumu sarnıçları düzensiz

genişlemeler gösterir.<sup>9</sup> Aynı genişleme biçimini, doğum sonrası erken evrede sıçanların beyin korteksi sinir hücrelerinde de tanımlanmıştır.<sup>7</sup> Gelişmekte olan sinir hücrelerinin çoğunda gözlenen granüllü endoplazma retikulumu sarnıçlarının böyle düzensiz genişlemeler göstermesi insan fötusu beyinde bu dönemde DNA, RNA ve diğer proteinlerin düzeylerindeki artısla bağdaştırılmaktadır.<sup>22</sup>

Sitoplazmada bağımsız ribozom kümeleri bu evrede yoğunlaşma göstermektedir.<sup>9</sup> Çoğunlukla sitoplazmada bağımsız olarak bulunan ribozom toplulukları, gelişmekte olan hücrelerin türlü gereksinimlerinde kullanılabilecekleri proteinlerin üretim bölgeleri olarak kabul edilmektedir.<sup>23</sup> Olgunlaşmamış sinir hücrelerinde çekirdeğe yakın bölgede bir Golgi kompleksi bulunur. Küçük mitokondriyonlar düzensiz kristal yapıdadır. Sitoplazmada az sayıda nörotubulus ve nörofilamanlarda izlenebilir. Sinir hücresi gelişimiyle bağımlı olarak uzantılarında da organel artışı dikkati çekmiştir.<sup>9</sup>

Bu çalışmada 19–20 günlük embriyondan 21 günlük yavruya kadar sinir hücreleri yönünden bulgular araştırcıların verileriyle uyum gösterdi.

Doğum öncesi 19–20. günde düzensiz gruplar oluşturan ilkel sinir hücrelerinin yanı sıra, çekirdekleri yuvarlak biçim kazanmış ve uzantıları ayırdedilen sinir hücreleri gözlandı. Bu hücrelerin çekirdeklерinde ökromatin egemendi. Küçük çekirdekçik kenarda yerlesitti. Sitoplasmalarında organel gelişimi dikkati çekecek kadar belirdindi. Organeller dendrit tabanında ve ana dendritlerde yoğunlaşmıştı. İlkel sinir hücrelerinden daha gelişmiş organeller içeren bu hücrelere, gelişmekte olan sinir hücreleri denildi.

Gelişmekte olan sinir hücreleri yeni doğmuş, 3 ve 5 günlük sıçanlarda bölgedeki sinir hücrelerinin tümünü oluşturuyordu. Doğum sonrası 7. günden 21. güne degen giderek sayılarında azalma saptandı. Olgun görünüme yaklaşan sinir hücrelerinin çekirdeklerinde çekirdekçığın belirginleşmesi dikkati çekti. Sitoplasmalarında granüllü endoplazma retikulumunun daha düzenli oluşu ve bağımsız ribozom topluluklarının artısı yapısal gelişimi kanıtlanıyordu. Gelişme evrelerindeki sinir hücrelerinin tümü çekirdek yapıları ve sitoplazma organelleri yönünden birbirlerine benziyordu. Bu dönemde büyülüklük ayrimı da belirgin olmadığından tipleri ayırdedilemedi.

Doğumdan sonra 14. günde ışık mikroskopu düzeyinde, sıçan nukleus kaudatusunda saptanan sinir hücrelerinin sayıca artışı bilgisayar analizleriyle doğrulanmaktadır.<sup>8</sup> Bu bulgu yalnız nukleus kaudatusa özgü değildir, beynin öteki bölgelerinde de saptanmıştır.<sup>1, 7, 9</sup>

Lu, bu dönemde bölgede bulunan sinir hücrelerinin çoğunu ergin siçanda gözlenen orta büyülüklükte, yuvarlak çekirdekli olgun sinir hücreleri olarak tanımlanmıştır. İnce yapı düzeyinde, bu hücrelerin sitoplazmalarında izlenen koşut düzenlenmiş granüllü endoplazma retikulumu ve ribozom fazlığı,<sup>9</sup> ışık mikroskopu düzeyinde tipik Nissl cisimleri görünümünü verir.<sup>8</sup>

Bu çalışmada, Lu'nun gözlemlerinden farklı olarak bu hücreler ilk kez doğumdan sonra 7. günde saptandı. Ergin siçan nukleus kaudatusunda orta tip I sinir hücreleri diye adlandırılan hücrelerle eş yapısal özellikleri taşıyan bu hücrelerin aksosomatik sinapslarının da gelişmiş olduğu dikkati çekti.

Nukleus kaudatusun gelişimi sırasında, yavru siçanlarda sinir hücrelerinin tümüyle olgun yapı kazanması, 21. günde tamamlanır.<sup>9</sup> Ancak araştırmacılarca 14. günde ayırdedilebilen orta tip olgun sinir hücrelerinin dışında, öteki olgun sinir hücrelerinin ne zaman ayırdedilebildiklerini açıklayan kaynaklara rastlanılmamıştır. Bu nedenle tartışmanın bu bölümünde, araştırmının özgün verileri sergilenmektedir.

Doğum sonrası 9. günde küçük tip, 15. günde büyük tip, 21. günde de orta tip III olgun sinir hücreleri ayırdedildi. Bu hücreler ergin siçanların nukleus kaudatuslarında izlenenlerle eş yapısal özellikleri taşıyorlardı. Yavru siçanlarda, orta tip II olgun sinir hücrelerinin gövdeleri gözlandı. Ancak doğum sonrası 12. günde bu hücrelerin dendrit dallarına benzer, daralma ve genişlemeler gösteren dendrit dalları saptandı. Az sayıda olan orta tip II sinir hücrelerinin gövdeleinin izlenemeyisi kesit uygunsuzluğuna bağlıydı. Böylece siçan nukleus kaudatusunda sinir hücreleri gelişiminin doğumdan sonra 21. günde tamamlandığı bir kez daha doğrulandı.

### Özet

Bu çalışmada, embriyon (15–16, 19–20 günlük) ve yavru siçanlarda (1, 3, 5, 7, 9, 12, 15, 17, 19, 21 günlük) nukleus kaudatus sinir hücrelerinin gelişme sürecindeki yapı değişiklikleri elektron mikroskopu düzeyinde incelendi. Tüm grplarda, sinir hücre tipleri ve ince yapı ayrıntıları tanımlanıldı.

Gelişme sırasında sitoplazmalarında, gelişmemiş az sayıda organel içeren ilkel sinir hücreleri 15–16 ve 19–20 günlük embriyonlarda gözlandı. 19–20 günlük embriyondan 21 günlük yavruya kadar, giderek azalan sayıda özellikle sitoplazmalarında granüllü endoplazma retikulumu gelişimi ve bağımsız ribozom artışı belirgin, gelişmekte olan sinir hücreleri ayırdedildi. Erginде ince yapı özelliklerini taşıyan

olgun orta tip I sinir hücreleri ilk kez doğum sonrası 7. günde saptandı. Doğum sonrası 9. günde küçük, 15. günde büyük, 21. günde orta tip III sinir hücrelerinin varlığı dikkati çekti.

Orta tip II sinir hücrelerinin gelişme sırasında gözlenememesi kesit alımıyla ilgili teknik nedenlere bağlıydı.

#### KAYNAKLAR

1. Altman, J.: Autoradiographic and histologic studies of postnatal neurogenesis. III Dating the time of production and onset of differentiation of cerebellar microneurons in the rat. *J. Comp. Neurol.*, **136**: 269, 1969.
2. Angevine, J.B.: Time of origin in the diencephalon of the mouse. An autoradiographic study. *J. comp. Neurol.*, **139**:129, 1970.
3. Angevine, J. B., Sidman, R. L.: Autoradiographic study of cell migration during histogenesis of cerebral cortex in the mouse. *Nature*, **192**:766, 1961.
4. Fujita, S.: Analysis of neuron differentiation in the central nervous system by triated thymidine autoradiography. *J. Comp. Neurol.*, **112**: 311, 1964.
5. Langman, J., Guerrant, R. L., Freeman, B. G. : Behavior of neuroepithelial cells during closure of neural tube. *J. Comp. Neurol.*, **127**: 399, 1966.
6. Shimada, M., Langman, J.: Cell proliferation, migration and differentiation in the cerebral cortex of the golden hamster. *J. Comp. Neurol.*, **139**: 227, 1970.
7. Caley, D. W., Maxwell, D. S.: An electron microscopic study of neurons during postnatal development of the rat cerebral cortex. *J. Comp. Neurol.*, **133**: 17, 1968.
8. Lu, E. J., Brown, W. J.: The developing caudate nucleus in the euthyroid and hypothyroid rat. *J. Comp. Neurol.*, **171**: 261, 1977.
9. Lu, E. J., Brown, W. J.: An electron microscopic study of the developing caudate nucleus in euthyroid and hypothyroid states. *Anat. Embryol.*, **150**: 335, 1977.
10. Bluemink, J. G., Maurik, P., Lawson, K.: Intimate cell contacts at the epithelial mesenchymal interface in embryonic mouse lung. *J. Ult., Res.*, **55**: 257, 1976.
11. Sato,T.: A modified method for lead staining of thin section. *J. Electronmicroscopy*, **16**: 133, 1967.
12. Ariens-Kappers, C. U.: The corpus striatum, its phylogenetic and ontogenetic development and functions. *Acta Psychiat.*, **3**: 93, 1928. Alınmıştır: Adinolfi, I. A. M.: The postnatal development of caudate nucleus: A Golgi and electron microscopic study of kittens. *Brain Res.*, **133**: 251, 1977.
13. Hewitt, W.: The development of the human caudate and amygdaloid nuclei. *J. Anat.*, **92**: 377, 1958.
14. Hewitt, W.: The development of the human internal capsule and lentiform nucleus. *J. Anat.*, **95**: 191, 1961. (Alınmıştır: Langman, J.: Medical Embryology The Williams and Wilkins Comp., III. baskı.1975, s. 351.
15. Das, G. D., Altman, J.: Postnatal neurogenesis in the caudate nucleus and nucleus accumbens septi in the rat. *Brain Res.*, **21**: 122, 1970.
16. Das, G. D.: Gliogenesis during embryonic development in the rat. *Experiencia*, **33**: 1648, 1977.

17. Paterson, J. A., Privat, A., Ling, E. A., Leblond, C. P.: Investigation of glial cells in semithin sections III. Transformation of subependymal cells into glial cells, as shown by radioautography after  $^3\text{H}$  -Thymidine injection into the lateral ventricle of the brain of young rats. *J. Comp. Neurol.*, **149**: 83, 1973.
18. Privat, A., Leblond, C. P.: The subependymal layer and neighboring region in the brain of the young rat. *J. Comp. Neurol.*, **146**: 277, 1972.
19. Hinds, J. W.: Early neuron differentiation in the mouse olfactory bulb. II. Electron microscopy. *J. Comp. Neurol.*, **146**: 253, 1972.
20. Shea, J. P.: Evolution of the nucleolus Purkinje cells during the postnatal development of the mouse. *Anat. Rec.*, **148**: 335, 1964.
21. Sturrock, R. R.: Development of the indusium griseum. II. A semithin light microscopic and electron microscopic study. *J. Anat.*, **125**: 433, 1978.
22. Howard, E., Granoff, D. M., Bujnowsky, P.: DNA, RNA and cholesterol increases in cerebrum and cerebellum during development of human fetus. *Brain Res.*, **4**: 697, 1969.
23. Bloom, W., Fawcett, D.W.: The cell and cell division. In: *A Textbook of Histology*. W. B. Saunders Comp., X. baskı. 1975, s. 35.

# Sement-Protez Uygulamasında Meydana Gelen Ani Kan Basıncı Düşmesinin Refleks Uyaranlar Yönünden İncelenmesi

**Dr. Ümit Akkoyunlu\* / Dr. Abdurrahman Kutlu\*\***

Total kalça protezi uygulamalarında sement ve protezin yerlestirilmesi anında ani ve geçici kan basıncı düşmesi olabilmektedir.<sup>5, 6, 9, 12, 13, 17, 18, 20</sup> Arter içine kanül koyarak yapılan kan basıncı takiplerinde bütün vakalarda kan basıncı düşmesinin tespit edilebileceği ileri sürülmektedir.<sup>21</sup> Kan basıncındaki ani düşmeler total kalça protezinin asetabular kesiminden ziyade femoral kesimin uygulanması anında meydana gelmektedir.<sup>2, 18, 20</sup> Ameliyat öncesi devrede kan basıncı yüksek olan hastalarda ani kan basıncı düşmesinin daha fazla olduğu ileri sürülmüştür.<sup>10, 20</sup>

Kalça protezi uygulamaları anında ortaya çıkan bu ani kan basıncı düşmesi absorbe olan sement monomerinin vazodilatator etkisine,<sup>5, 9, 17, 18</sup> işlem sırasında meydana gelen akciğer embolisine<sup>3, 7, 8, 19</sup> ve refleks uyararlara bağlı olabileceği ileri sürülmüştür.<sup>4, 13, 16</sup>

Bu yazında ani kan basıncı düşmesini intramedüller kesimde oluşan refleks uyararlara ilişkisini inceleyen deneyel bir araştırma sunulmuştur.

\* Hacettepe Üniversitesi Tıp Fakültesi Ortopedi ve Travmatoloji Bilim Dalı Öğretim Üyesi.

\*\* Aynı Fakülte Ortopedi ve Travmatoloji Bilim Dalı Uzman Asistanı.

### *Materiel ve Metot*

Deneyde 22 adet karışık cinsten, 1,7-4 kg ağırlıklarında, beyaz tavşanlar kullanılmıştır. Hayvanlar üç gruba (I,II,III) ayrılmış ve gruplar 8,8,6 hayvandan teşkil edilmiştir. Her deney grubunda sıra ile şu işlemler yapılmıştır:

**Grup I:** Hayvanlar 25 mg/kg nembutal (İ.V.) ile uyutuldu ve lokal saha temizliğinden sonra sağ kalçaya lateral insizyonla girerek femur üst uç ortaya çıkarılıp intertrokanterik kesimden tel testere ile kesildi ve femur 1/3 proksimal kesim medullası kürete edilip hazırlandı. Trachea sol yanından girerek sol karotis arter kanüle edilip kan basıncı takibi için civali manometreye bağlandı. Sement toz ve sıvı kısımları karıştırılarak hazırlanmaya başlandı, kontrol kan basıncları ölçüldü. Sement medullaya yerleştirildi, ve hemen protez uygulandı (konik metal çubuk). Protezin uygulanmasından itibaren kronometre çalıştırılarak kan basıncında meydana gelen değişiklikler zamana göre kaydedildi. Sement iyice sertleşinceye kadar protezin bastırma işlemi ve kan basıncı takibi devam etti.

**Grup II:** I. deney grubundaki uyutma işleminden sonra Posterior insizyonla girerek medulla spinalis L 2-3 seviyesinden kesildi ve I. Deney grubundaki işlemler aynen yapıldı.

**Grup III:** I. Deney grubundaki uyutma işleminden ve femurun hazırlanmasından sonra protezin sapının uzanacağı seviyeye 0,5 cm mesafede 3,2 mm çapında tek korteksi ilgilendiren medullaya delik açıldı. Sement ve protez uygulaması anında medullar elemanlarının buradan drenajı sağlandı. I. gruptaki diğer işlemler aynen yapıldı.

### *Bulgular*

TABLO I

GRUP I KAN BASINCI BULGULARI (mmHg)

Deney No	Kontrol Kan basıncı	Protez uygulamasından sonra kan basıncı	Düşme zamanı sn.
1	115	105	45
2	110	90	15
3	120	100	35
4	115	100	10
5	110	85	9
6	120	110	20
7	120	100	25
8	120	110	10
Ort.	116	100	21

P &lt; 0.001

**TABLO II**  
**GRUP II KAN BASINCI BULGULARI (mmHg)**

Deney No	Kontrol kan basinci	Protez uygulamasından sonra kan basinci
1	80	80
2	110	110
3	110	110
4	80	70
5	80	80
6	50	50
7	110	110
8	120	120

**TABLO III**  
**GRUP III KAN BASINCI BULGULARI (mmHg)**

Deney No	Kontrol kan basinci	Protez uygulamasından sonra kan basinci
1	100	100
2	115	100
3	110	110
4	110	110
5	90	90
6	90	90

### *Tartışma*

Kalça protezleri uygulaması anında meydana gelen ve daha ziyade femoral komponentin yerleştirilmesi anında ortaya çıkan ani kan basinci düşmesi değişik zamanlarda meydana gelmektedir. Lettin ve arkadaşları<sup>12</sup> protezin yerleştirilmesinden hemen sonra; Philips ve arkadaşları<sup>18</sup> protezin yerleştirilmesinden 12-90 sn sonra ve ortalama 32 mmHg olarak; Modig ve arkadaşları<sup>14</sup> protez uygulamasından 40-90 sn sonra, ortalama 12,4 mmHg olarak bildirmiştirlerdir. Çalışmamızda I. deney grubunda ortalama 21 sn sonra ortalama 16 mmHg kan basinci düşmesi olarak tespit edilmiş ve literatürde belirtilen klinik çalışmalarla uygunluk göstermiştir.

Kalça protezleri uygulaması anında ortaya çıkan ani kan basinci düşmesini absorbe olan sement monomerinin vazodilatatör etkisine bağlıyanlar olmuştur.<sup>5, 9, 17, 18</sup> Fakat sement yerine bone wax, parafin wax, plasticine gibi maddeler kullanılarak yapılan deneysel çalışmalarda se-

ment kullanımında olduğu gibi aynen ani kan basıncı düşmeleri olduğu gösterilmiştir.<sup>1, 16</sup> Bazı yazarlar ani kan basıncı düşmelerinden, intramedüller kesimde protez uygulaması anında oluşan refleksleri sorumlu tutmuşlardır.<sup>4, 13, 16</sup> Demir,<sup>4</sup> epidural anestezi ile total kalça protezi uygulanan vakalarda kan basıncının genel anestezi altında uygulananlara göre daha düzenli seyrettiğini göstermiştir. Çalışmamızda II. deney grubunda medulla spinalis kesilerek intramedullar kesimde oluşacak refleks uyarınların üst merkezlere geçişti engellenmiş ve sement-protez uygulaması anında kan basınclarında bir değişikliğin olmadığı tespit edilmiştir (Tablo II).

Deneysel çalışmalarında femura sement ve protez uygulanması anında intramedüller kesimde 860 torr,<sup>11</sup> 688 mmHg<sup>1</sup>; klinik uygulamalarda da 4,2 atm.,<sup>15</sup> 575 mmHg<sup>21</sup> gibi yüksek basınçlar ölçülmüştür. Intramedüller kesimde oluşan bu yüksek basınçlar nedeniyle refleks uyarınların ortaya çıkması ve bunların üst merkezlere iletilip söz konusu olan kan basıncındaki düşüşlere sebep olması bizim doğrulamak istediğimiz düşüncedir. Kan basıncı düşüşlerinin protez uygulamasından çok kısa süre sonra ortaya çıkması hadisenin humorall bir reaksiyonla olma düşüncesinden uzaklaşmaktadır. Nitekim, bizim refleks yolu keserek yaptığımız uygulamada hiç kan basıncı düşmesi olmamıştır (bir hayvanda kan basıncı giderek düşmüş ve hayvan 12 dak. sonra ölmüştür). Intramedüller kesimde medullar elemanların sıkışması engellenerek (protez uygulaması anında distalden açılan delikten medullar elementlerin drenajı sağlanarak) yapılan deney grubunda da önemli sayılacak bir kan basıncı düşmesi olmamıştır (Tablo III).

#### Sonuç

Femura sement-protez uygulanması anında ani kan basıncı düşmesi meydana gelmektedir ve bu durum intramedüller kesimde medullar elementlerin sıkışması sonucu oluşan yüksek basınç nedeniyle ortaya çıkan refleks uyarınların üst merkezlere ulaşması ile ilgilidir. Femoral komponentin uygulanması anında medullar elementlerin drenajı etkili bir yolla yapılrsa kan basıncı düşmesi önemli ölçüde engellenebilcektir.

#### Özet

Sement-protez uygulaması anında meydana gelen ani kan basıncı düşmesinin, femur medullasında oluşan ve üst merkezlere iletilen refleks uyarınları ilişkisini araştırmak amacıyla deneysel bir çalışma yapılmıştır. Deneye 22 adet tavşan kullanılmıştır. Üç gruba ayrılarak yapı-

lan çalışmada; I. grupta (8 hayvan), sement-protez uygulaması yapılrken arteriel kan basinci takibi yapılmıştır. II. grupta (8 hayvan), medulla spinalis kesisi yapılmış, sement-protez uygulaması yapılrken kan basinci takipleri yapılmıştır. III. grupta, (6 hayvan) femura delik açılmış ve sement-protez uygulaması anında kan basinci takibi yapılmıştır. Bu uygulamalarla medulla spinalis kesisi yapılan grupta kan basinci düşmesi olmamış, direk uygulama yapılan I. deney grubunda ort. 21 sn. sonra ort. 16 mmHg kan basinci düşmesi tespit edilmiştir. Femura delik açarak yapılan uygulamada kan basinci düşmesi olmamıştır.

#### KAYNAKLAR

1. Breed, A. L.: Experimental production of vascular hypotension and bone marrow and fat embolism with methylmethacrylate cement. *Clin. Orthop.* **102**: 227, 1974.
2. Charnley, J.: In acrylic cement in orthopaedic surgery. Edinburg., Livingstone, 1970.
3. Dandy, D.J.: Fat embolism following prosthetic replecement of the femoral head. *Injury*, **3**: 85, 1971.
4. Demir, Ö.: Acrylic uygulamasını izleyen kan basinci düşmeleri, ani ölümler ve önleyici anestezik yöntem. *Hacettepe Tip/Cerrahi Bülteni*. **6**: 311, 1973.
5. Ellis, R. H., Mulvein, J.: Brith. Med. J., **2**: 528, 1972.
6. Frost, P. M.: Brith. Med. J. **3**: 524, 1970.
7. Gresham, G. A., and Kuczynski, A.: Correspondence cardiac arrest and bone cement. Brith. Med. J. **3**: 465, 1970.
8. Gresham, G. A., and Kuczynski, A., Rosborough, D.: Fatal fat embolism following replecement arthroplasty for trans cervical fracture of femur. Brith. Med. J., **2**: 617, 1971.
9. Homsy, C. A., Tullos, H. S., Anderson, M. S., Differante, N. M., King, J. W.: Some Physiological aspects of prosthesis stabilization with acrylic polymer. *Clin. Orthop.* **83**: 317, 1972.
10. Jones, R. H.: Physiologicemboli changes observed during total hip replecement arthroplasty. *Clin. Orthop.*, **112**: 192, 1975.
11. Kahn, D. S., Pritzker, P. H.: The pathophysiology of bone infection. *Clin. Orthop.*, **96**: 12, 1973.
12. Lettin, A. W. F., Cole, P. V., Phillips, H., and Dandy, D. J.: Cardiovasculary effect of implanted acrylic bone cement in man. *J. Bone Joint Surg.* **54-B**: 552, 1972.
13. Ling, R. S. M., and James, M. L.: Blood pressure and bone cement. Brith. Med., J. **2**: 404, 1971.
14. Modig, J., Busch, C., Olerud, S., Saldeen, T., and Warnbaum, G.: Arterial hypotension and hypoxemia during total hip replacement. The importance of thromboplastic products, fat embolism and acrylic monomers. *Acta. Anaest. Scand.*, **19**: 28, 1975.
15. Ohnsorge, J.: Some aspects of polymerising bone cement. *J. Bone Joint Surg.* **53-B**: 768, 1971.

16. Pelling, D., Butterworth, K.: Cardiovascular effect of acrylic bone cement in rabbits and cats. *Brith. Med. J.*, **2**: 638, 1973.
17. Peebles, D. J., Ellis, R. H., Stride, S. D. K., and Simpson, B. R. J.: Cardivascular effect of methylmetacrylate cement. *Brith. Med. J.*, **1**: 349, 1972.
18. Phillips, H., Cole, P. V., and Lettin, A. W. F.: Cardiovascular effect of emplanted acrylic bone cement. *Brith. Med. J.*, **3**: 460, 1971.
19. Sevitt, S.: Fat Embolism in patients with fractures hips. *Brith. Med. J.*, **2**: 257, 1972.
20. Thomas, T. A., Sutherland, I. C., Waterhouse, I. D.: Cold curing acrylic bone cement. A clinical stury of the cardiovascular side effect during hip joint replacement. *Anaeshteziology*, **26**: 298, 1971.
21. Tronzo, R. G., Kallos, T., Wyche, M. Q.: Elevation of intramedullary pressure when methylmetacrylate is inserted in total hiparthroplasty. *J. Bone Joint Surg.*, **56-A**: 714, 1974.

# Karaciğer Amip Absesi

**Dr. Burhan Kayhan\***

Amebiyasis dünyada geniş bir dağılıma sahiptir, tropik ve subtropikal bölgelerin dışında ılıman iklimlerde daşı bulunabilir. Örneğin İsveç'de 1972 yılında 65 amebiyasis vakası saptanmıştır. Türkiye'de ise endemik olarak rastlanır, güney illerimizde daha sık olmak üzere amebiyasis insidansı % 1,2 ile % 17,2 arasındadır.

Tropikal bölgelerde yüksek oranda taşıyıcı vardır, bu bölgelere gelenler, çok fazla konsantrasyonda kist ile karşılaşırlar, sağlık hizmetleri kötü olduğu zaman dışkı ile enfeksiyonun yayılımı kolaylaşır. Tropikal bölgenin yerli halkı, Avrupalılarla oranla karaciğer amebiyasisine karşı daha dirençlidir. Muhtemelen bu, tekrarlanan temas sonucu oluşan kısmi immunitete bağlıdır. Erişkin erkeklerde belirgin bir şekilde fazla görülmektedir. İntestinal enfeksiyon ile karaciğerde lokalize olması arasında geçen zaman süresi saptanamamıştır. E. Histolytica'nın vücuda yayılabilmesi için bakteri ile birlikte olması gereklili olabilir.<sup>10</sup> Amibe ait enzim aktivitesi değişik olabilir ve bu, patojeniteyi belirleyebilir.<sup>14</sup>

Vena porta yoluyla karaciğere gelen amipler önce fokal infarktlara yol açarlar. Proteolitik enzimleriyle parankimada harabiyet yaparlar. Ortaya çıkan abse genellikle 5–10 cm çapındadır, merkezindeki nekrotik alan likefiye olur ve koyu kırmızı kahverengi püyü meydana getirir. İlk önceleri absenin kesin bir sınırı yoktur ve çevresindeki dokuda dejenерatif değişiklikler, damarlarda tromboz görülür. Püy içinde amip genellikle gösterilemez fakat abse duvarında organizmaları görmek mümkündür. % 20 vakada abse bakterilerle süperinfekte olur.

## *Vaka Takdimi*

S. Kadir 41 yaşında 574268 protokol no ile karın ağrısı, bulantı, kusma şikayeti ile yatırıldı.

\* Hacettepe Üniversitesi Tıp Fakültesi Gastroenteroloji Doçenti.

**Hikayesi:** 5 sene önce sağ böğründe ağrısı olmuş, sağ böbreğinde taş olduğu söylemiş. 10 gün öncesine kadar bir şikayet yokmuş. Bulantı, kusma ile idrar miktarının azaldığını söylüyor. Böğürlerinde ağrı olmuş. Halsizleşmiş. Birkaç gün süren bazen kırmızı renkte kanlı, bazen katran rengini andıran ishali olmuş. Günde 3 defa çıkarmış. Kaldırıldığı hastanede serum verilmiş ve üre yüksek bulunmuş. Hastanemize yollanmış.

**Fizik Muayenesinde:** Ateş: 36,5°C, N: 120/dak, KB: 90/60 mmHg, T: 25 dak. genel durum orta, dil kuru ve kabuklu. Batında yaygın hassasiyet var. Barsak sesleri hipokinetik, sağ lumbal bölge derin palpasyonla hassas.

**Laboratuvar Bulguları:** Hb: 14,95 % gm, BK: 9200/mm<sup>3</sup>, BUN: 220 % mg, K: 3-3,3 mEq/L, Na: 124 mEq/L, Cl: 89 mEq/L, CO<sub>2</sub>: 17 mEq/L. İ.V.P: Sağda L<sub>2</sub> hizasında 1x1 cm lik radyoopasite mevcut. Sol böbrek büyük. Sağ böbrek non fonksiyone.

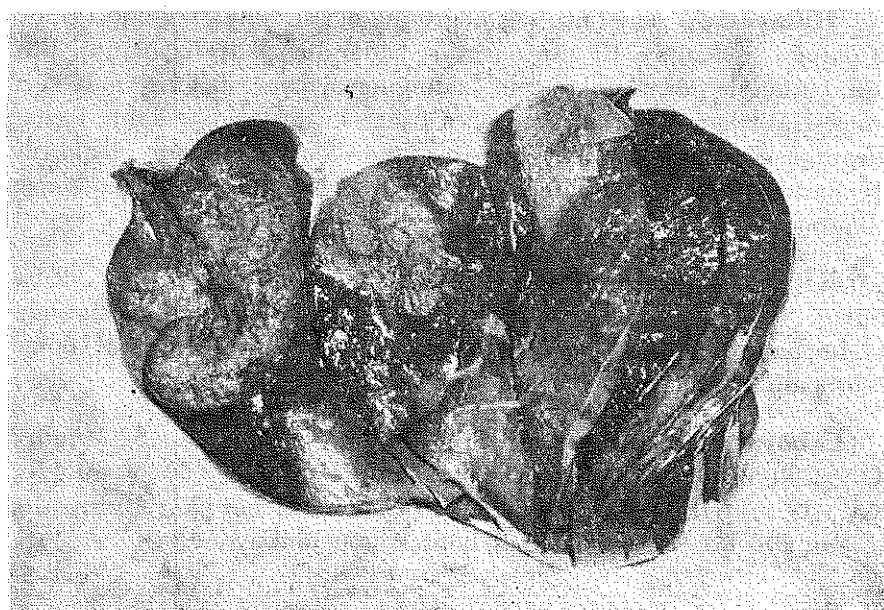
**Direkt karın filminde:** Sağda multiple gaz-mayı seviyeleri mevcut.

İleus tablosunu kontrol altına almak için müller abbot tüpü ile devamlı aspirasyon uygulandı. Intravenöz % 5 Dextrose + Serum fizyolojik + 30 mEq/KCl + 4x1 gm pentrexyl ve santral venöz basınç (CVB): 10-12 cm olacak şekilde mayii ayarlandı. Kısa bir süre sonra kardiyak ve solunum arresti ile exitus oldu. Post mortem karaciğer biyopsisi yapıldı. Karaciğer biyopsisi teşebbüslерinde biyopsi yerinden püy geliyordu. Parsiyel otopsi müsaadesi alındı. Aşağıdaki bulgular saptandı.

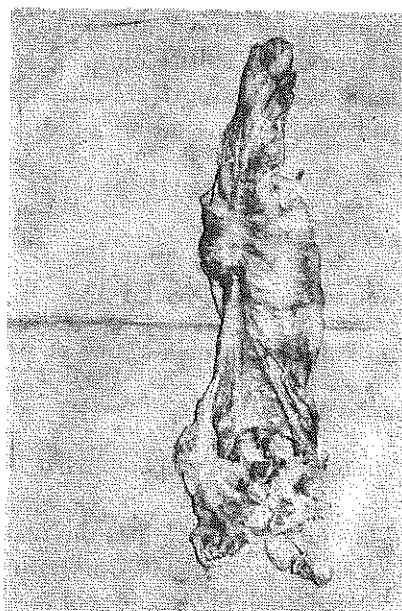
#### **Otopsi Bulguları:** OT 46.74

- a) Karaciğerde amebik apseler (Şekil 1).
- b) Çekum ve çıkan kolonda amebik kolitis ve perforasyon (Şekil 2).
- c) Perfore flegmenöz apandisit
- d) Nefrolitiazis bilateral ve fokal pyelonefrit.

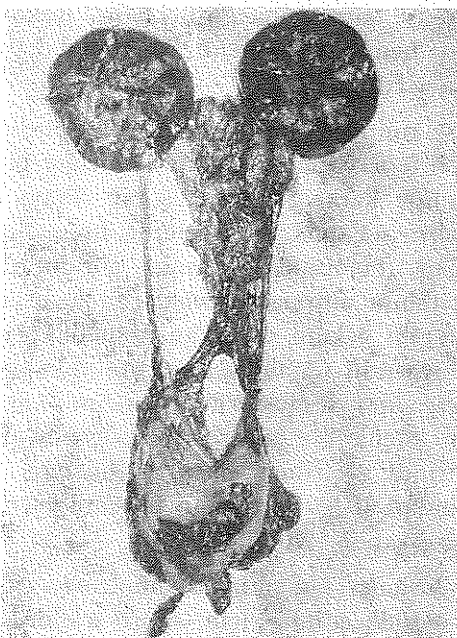
Otopsi bulguları hastadaki ileus tablosunu izah etmektedir. Uzun süre devam eden böbrek bozukluğu (Şekil 3) hastanın vücut mukavemeyinin kırılmasına ve barsak amebiyasisine yol açan; amiplerin vena porta ile karaciğere ulaşarak yaygın karaciğer amip abselerinin oluşmasına sebep olmuştur.



Şekil 1  
Karaciğerde yaygın amebik abseler.



Şekil 2  
Çekum ve çıkan kolonda amebik kolitis ve perforasyon.



Şekil 3

Nefrolitiazis bilateral ve fokal pylonefrit.

*Tartışma*

Tehhis ve tedavi imkanlarının ilerlemiş olmasına rağmen karaciğer amip abseleri halen yüksek oranda ölüme sebep olmaktadır. Komplike olmayan amip abselerinde ölüm % 7 kadardır. Sekonder enfeksiyon eklenmiş karaciğer amip abselerinde прогноз kötüdür, % 50 mortalitesi vardır. Mortaliteyi etkileyen sebepler arasında: Semptomatoloji bakımından özel semptomların bulunmayı, bir çok hastalığın semptomlarını taklit etmesi, hastaların geç müracaat etmeleridir. Karaciğer yetmezliği, hemorajik diates, gastrointestinal kanamalar, hepatik koma, böbrek yetmezliği, septik şokda sonucu etkilemektedir.

Karaciğer amip absesi soliter veya multipl olabilir. Vakaların % 70'inde soliter ve büyük bir abse bulunur, % 30'unda ise 2-4 abse vardır. Abseler çoğu kez sağ lobda lokalizedir, sol loba yerleşme olasılığı değişik serilerde % 6-33 olarak bulunmuştur. Absenin sağ lobda daha çok görülmeye nedenleri şunlardır. Vena portanın sağ dalı daha geniş ve daha kısadır, sol lob daha küçüktür. İlginç diğer bir hulus da vena porta yoluyla karın içi organlarından karaciğere ulaşan kanın damar içinde karışmaksızın seyrettiğinin gösterilmiş olmasıdır. Böylece çekimden gelen kan karaciğerin sağ lobuna, rektosigmoid

bölgeden gelen kan ise sol lobuna gitmektedir. Rektosigmoid bölgede akut amip lezyonları hem daha seyrekdir hem de daha erken tanı konularak daha iyi tedavi edilmektedir.

Gaita ve absede amip görülmeye şansı % 45 kadardır. Bizim vakamız erkek olup post mortem yapılan multipl karaciğer biyopsisi esnasında püy gelmiş otropsisinde karaciğerde geniş bir sahayı içine alan amip absesi tespit edilmiştir. Yapılan kültürlerde üreme olmamıştır. Abse duvarından yapılan biyopsilerde amip görülmüştür. Vakamızda karaciğer amip absesinin oluşmasına yol açan hazırlayıcı sebep otopside tespit edildiği gibi çekum ve çıkan kolonda perforasyona kadar giden yaygın amebiyasisidir. Amip vena porta yolu ile karaciğere ulaşarak orada yerleşip abseyi oluşturmuştur. Amip abselerinde amipli dizanteri vakaların küçük bir kısmında mevcuttur. Bununla beraber vakaların dörtte birinde geçirilmiş dizanteri hikayesi vardır.<sup>16</sup> Primer barsak enfeksiyonundan 30 yıl gibi uzun bir süre geçtikten sonra karaciğerde amebiyasis rapor edilmiştir.

Hastalığın teşhisinde kullanılan kompleman fiksasyon testi ile nonspesifik sonuçlar elde edildiği için, sınırlı şekilde kullanılmaktadır.<sup>9</sup> İndirekt fluoresan antikor testi faydalıdır.<sup>8</sup> İndirekt hemagglutinasyon testi hassastır ve özellikle toplum taramasında değerlendirilir (% 92-98) pozitif sonuç vermektedir.<sup>6, 12</sup> Enfeksiyondan yıllar sonra pozitif olarak kalabilir. Karaciğer amip absesi olan birçok hastada, gaita amip içermemiği için serolojik inceleme en çok bu hastaların değerlendirilmesinde yararlıdır. Son yıllarda karaciğer amip abselerinin lokalizasyonunun tayininde ultrasound çalışmalarının önemine deðinilmektedir.<sup>19</sup>

**Karaciğer Amip Absesi Komplikasyonları:** Akciğer veya plevraya açılması ampiyeme, hepato-bronkial fistüle ve akciğer absesine neden olur. Bu en sık açılma gösterdiği yerdir. Pnömoni veya akciğer absesi veya plevral effüzyon gelişen hastalar öksürük ile püy çıkarırlar.

Perikardiyuma açılma, sol lop amip abselerinin komplikasyonudur.<sup>7</sup>

İtra peritoneal açılma, akut peritonit bulguları ile sonlanır.<sup>2</sup> Erken devrede hasta yaşarsa, прогноз iyidir. Sol lob abseleri küçük omentumun içine açılabilir.<sup>3</sup>

Portal vene, safra kanallarına veya gastrointestinal kanala açılma nadirdir. Amibik hepatitis ve abseye bağlı portal hipertansiyon, asit, varis teşekkür edebilir. Aspirasyon + metronidazol tedavisini takiben portal hipertansiyon ve varis kaybolabilir.<sup>13</sup> Hastalığın tedavisinin temelini cerrahi tedavi teşkil etmektedir. İntestinal amebiyasisli hastalara steroid verildiği takdirde süratle karaciğer amip absesi gelişir bu

nedenle steroid tedavisine başlamadan önce amebiyasis tedavisi uygulanması gereklidir.<sup>18</sup> Karaciğer amip absesinin aspirasyonundan önce tek doz 2,4 gr. metronidazol ile olumlu sonuç alındığı rapor edilmiştir.<sup>4</sup> Aspirasyon + günde 2 gr. tinidazole (Fasigyn) 2-3 gün süre ile uygulayarak karaciğer amip abselerinde iyi sonuçlar alınmaktadır.<sup>15</sup>

Amerika'lı araştırmacıların yapmış oldukları mukayeseli bir çalışmada karaciğer amip abseli vakalardan bir gruba 10 gün süre ile günde 750 mg metronidazole diğer bir gruba da günde 500 mg chloroquine 10 hafta süre ile uygulamışlar iki grup arasında sonuç olarak önemli bir fark bulamamışlardır.<sup>5</sup> 8 gün süre ile günde 3,2 gr metronidazole + aspirasyon tedavisinin yetersiz kaldığı multiple amip abseleri emetin tedavisi ile kontrol altına alınabilmektedir.<sup>11</sup> Metronidazole + emetin + chloroquin tedavisi ve tekrarlanan aspirasyon tedavisine cevap vermeyen karaciğer amip abselerinde laparotomi ve drenaj tavsiye edilmektedir.<sup>17</sup> Nadirde olsa aspirasyon + neomycin + emetin metronidazole tedavisine cevap vermeyen çevresi 1,7 cm kalınlığında fibröz kapsül ile çevrili ölümle sonlanan karaciğer amip abseleri gelişebilir.<sup>1</sup>

#### KAYNAKLAR

1. Abjoye, A. A.: Drug and immuno-diagnostic resistant amoebic liver abscess in Ibadan: An elucidation of a possible mechanism. *J. Trop. Med. Hgy.*: 70: 252, 1976.
2. Adams, E. B., Macleod, I. N.: Invasive amebiasis. I. Amebic dysentery and its complications. 2. Amebic liver abscess and its complications. *Medicine*: 56: 315-325, 1977.
3. Barbour, G. L., Juniper, K. Jr.: A clinical comparison of amebic and pyogenic abscess of the liver in sixty-six patients. *Amer. J. Med.* 53: 323, 1972.
4. Bunnag, D. et al: Clinical trial of metronidazole low dosage in amoebic liver abscess: *SE Asian, J. Trop. Med. Pub. Hlth.*: 6: 99, 1975.
5. Coohn, H. G., Reynolds, T. B. :USA. Comparison of metronidazole and Chloroquine for the treatment of Amoebic Liver Abscess. A Controlled Trial, *Gastroenterology*. 69: 35, 1975.
6. Healy, G. R., Kagan, I. G.: Use of the indirect hemagglutination test in some studies of seroepidemiology of amebiasis in the Western Hemisphere. *Hlth. Lab. Sci.* 7: 109, 1970.
7. Ibarra-Perez C., Green S. L., Calvillo-Juarez: Diagnosis and treatment of rupture of amebic abscess of the liver into the pericardium. *J. Thorac. Cardiovasc. Surg.* 64: 11, 1972.
8. Jeanes, A. L.: Evaluation in clinical practice of the fluorescent amoebic antibody test. *J. Clin. Path.* 22: 427, 1969.
9. Kasliwal, R. M., Kenney, M.: Significance of the complement fixation test in the diagnosis of amoebiasis in an endemic area. *Brit. Med. J.* 1: 8737, 1966.
10. Knight, R., Schultz, M. G.: Intestinal parasites. *Gut*. 14: 145, 1973.

11. Koutsaimanis, K. G, et al.: Failure of metronidazole in a patient with hepatic amoebic abscesses. Am. J. Trop. Med. Hyg: 28: 768, 1979.
12. Milgram, E. A., Healy, G. R.: Studies on the use of the indirect hemagglutination test in the diagnosis of amebiasis. Gastroenterology. 50: 645, 1966.
13. Naik, S. R, et al: Reversible portal hypertension in amoebic liver abscess: a case report. J. Trop. Med. Hyg. 81:116, 1978.
14. Neal, R. A.: Pathogenesis of amoebiasis. Gut. 12: 483, 1971.
15. Quaderi, M. A. et al: Amoebic liver abscess and clinical experiences with tinidazole in Bangladesh: J. Trop. Med. Hyg: 81: 16, 1978.
16. Sepulveda, B., Jinich, H.: Amebiasis of the liver. Diagnosis, prognosis and treatment. Amer. J. Dig. Dis. 4: 43, 1959.
17. Sten, D. et al: Fulminating amoebic colitis. Surgery: 85: 349, 1979.
18. Stuiver, P. C, Goud, Th. JLM.: Corticosteroids and liver amoebiasis. Brit. Med. J. 2: 394, 1978.
19. Vicary, F. R, et al: Ultrasound and amoebic liver abscess. Brit. J. Surg. 64: 252, 1976.

# Sıçan Çene Altı Tükürük Bezi Son Bölüm Salgı Hücrelerindeki Salgılamanın İnce Yapı Düzeyinde İncelenmesi\*

Dr. Esin Aşan\*\*

**S**eröz türde salgı üreten diş salgı bezlerinde granülün hücreden atılım biçiminin hemen kesinlik kazanmasına karşın,<sup>1-4</sup> mukozy granülerin atılım biçimleri üzerinde bazı karşıt yorumların bulunması ilginçtir.

Sıçanda çene altı tükürük bezleri son bölüm hücreleri yapı olarak mukozy hücrelere benzerler. Ancak üretikleri salgının içeriği yönünden serö-mukozy diye adlandırılırlar.<sup>5, 6</sup> Salgılama sürecinde olagelen hücre içi zar ilişkilerinin salgı içeriğine ve zarların kimyasal yapılarına bağlı olduğu ileri sürülmüştür.<sup>7, 8, 9</sup> Bu konuda araştırmaların değişik yöntem ve yaklaşımlarla son yıllarda da süregelmesi salgılamada son sözün henüz söylemenmediğini belgelemektedir.

Bu çalışmada fizyolojik işlevin belirginleştirilmesine bağlı olarak sempatik ve parasempatik farmakolojik uyarılardan sonra; serö-mukozy salgı granüllerinin atılım biçimleri elektron mikroskopu düzeyinde incelendi. Her iki uyarınla oluşan salgılama biçimleri karşılaştırılarak bu özel diş salgı birimindeki salgılamanın türünü ortaya koymak amacı güdüldü.

## Materiel ve Metot

Araştırma için yaklaşık 200 gr ağırlığında İsviçre tipi albino sıçanlar kullanıldı. Hayvanlar 24 saat aç bırakıldıktan sonra parasempatik

\* Hacettepe Üniversitesi Tıp Fakültesi Histoloji-Embriyoji Bilim Dalı Çalışmalarından.

\*\* Aynı Fakülte Histoloji-Embriyoji Bilim Dalı Öğretim Üyesi.

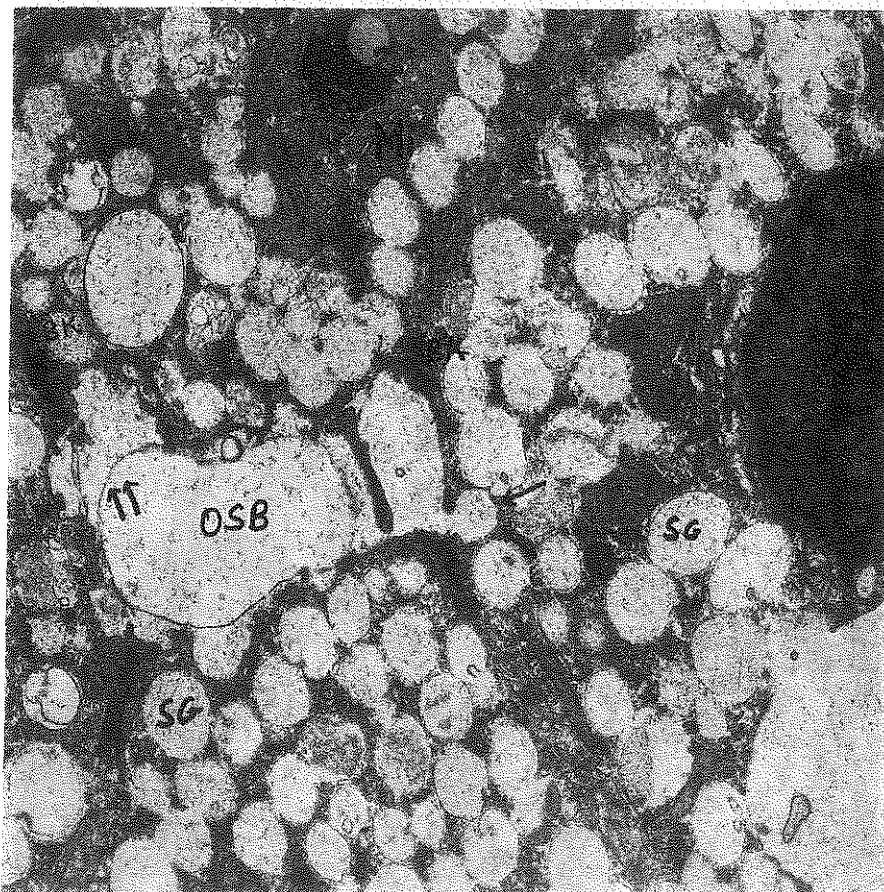
salgı uyarıcısı pilokarpin nitratin % 0,9 luk fizyolojik tuzlu su içindeki eriyiği 160 mg/kg olarak periton içi verildi.<sup>10</sup> Sempatik salgı uyarıcısı olarak alupent (metaprotorenol sulfat) kullanıldı. Alupentin aynı çözeltideki eriyiği 7 γ /kg olarak aynı yolla verildi.<sup>11, 12</sup> Pilokarpin verilmesinden sonraki 15. dakika, 1, 2, 5, 4, 6, 8, 12. saatlerde; alupent verilmesinden sonraki 30 dakika 2, 4, 6, 8, 12, 24. saatlerde öldürülen hayvanların submandibular tükürük bezleri çıkarıldı. Önce 1/15 M fosfat tamponu içindeki % 2,5 gluteraldehid, % 1 akrolein karışımında 2 saat; daha sonra aynı tampon içindeki % 1 osmiyum tetroksid ( $\text{OsO}_4$ ) içinde 1 saat süreyle ardarda tespit edildiler.<sup>13</sup> Tespitten sonra dereceli etil alkollerden geçirilip araldite gömüldüler. İnce kesitler uranil asetat ve kurşun sitratla çift boyandıktan sonra Carl Zeiss EM 9S2 ye dönüştürülmüş EM 9A elektron mikroskobunda incelendiler.

### Bulgular

Yapılan bu elektron mikroskobu çalışmasıyla sıçanda, gene altı tükürük bezlerinden serö-müköz salgı granülünün atılma sürecinde apikal hücre zarıyla granül zarı arasındaki ilişkiler her iki uyarılmasında da benzerlikler gösterdiler. Ayrıca araştırmmanın kontrol grubunu oluşturan aç bırakılmış sıçanlarda da salgılamanın olaylandığını belgeleyen ince yapı değişimleri seçildi (Şekil 1, 2, 3). Ancak pilokarpinin güçlü, ivedi boşaltıcı etkisi; alupentinse uzun süreli yavaş boşaltıcı etkisi belirgindi, bu nedenle alupentle granül atılımı olayanmasının yapı ayrıntıları daha iyi belirdi.

Uyarılmaya salgı granüllerinin birbirleriyle birleşip kaynaşmalarının arttığı gözlandı (Şekil 1, 2). Özellikle pilokarpinle etkilenmenin erken saatlerinde, hücreler içinde, bol miktarda salgı granüllerinin birleşmesinden oluşmuş yuvarlak ya da düzensiz biçimli kist yapıları ayırdı (Şekil 2). Alupentle etkilenmeden sonra benzer yapılar gözlenmedi. Ancak uyarılmadan sonraki oldukça geç saatlerde yer yer granül kaynaşmasından oluşmuş salgı kitlelerinin dar bir ağızla orta salgı boşluğuna açıldığı izlendi (Şekil 3). Alupentle etkilenmeden sonra, salgı granüllerinin birleşip kaynaşma eğilimlerinin pilokarpine göre daha az olduğu saptandı (Şekil 4, 4a, 5, 6, 7). Uyarılmaya salgı atılımının, hızlanması sonucu orta salgı boşukları (lumenler) genişledi. Ayrıca hücreler içinde genişlemiş orta salgı boşuklarının uzantıları, zarla çevrili işleri ince tanecikli bir materyelle dolu büyülü küçülü yapılar biçiminde ayırdı (Şekil 5, 6).

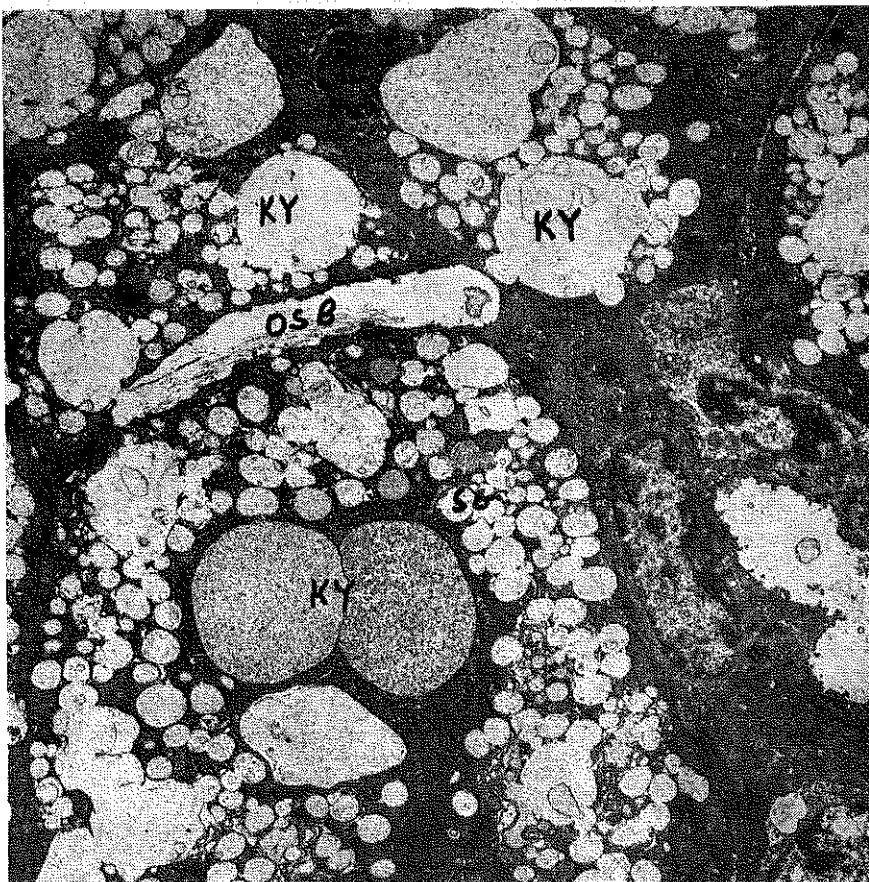
Granül zarıyla apikal yüz hücre zarı arasındaki ilişkiler çeşitliydi. Büyük büyütmelerle bu tür yapılar iyi gözlenebildiler. Granüllerin hücre



Şekil 1

Kontrol son bölümü çevreleyen hücrelerin orta salgı boşluğununa yakın bölümlerinin ayrıntılı yapıları gözleniyor. Salgı granüllerinin açılma bölgeleri çöküntüler biçiminde (ok). Granül zarıyla hücre üst yüz zarının birleşmesinden oluşan birleşik zar ayırdediliyor (çift ok). OSB, orta salgı boşluğu; BK, bağlantı kompleksi; SG, salgı granülü; Mi, mitokondriyon, Uranil asetat, kurşun sitrat. X 14100

zarına tek tek açıldığı bölgeler çöküntüler biçiminde izlendiler. Orta salgı boşlığında atılan salgının granül içeriğine göre daha az yoğun olduğu; ancak granül içindeki salgı gibi ince tanecikli bir yapıda olduğu ayırdedildi. Lumende yer yer düzensiz zar artıkları ilgiyi çekti (Şekil 4, 7, 8). Granüllerin tek tek hücre zarına değişikleri yerde granül zarıyla hücre zarının birleştiği ayırdedildi (Şekil 4a). Yer yer birleşik zarın zar yapısının bozulduğu, yırtılıp granül kapsamının orta boşluğa boşalığı gözlandı (Şekil 1, 4a, 5). Böylece sık ve hızlı granül atılımının olaylandığı bölgelerde apikal yüz boyunca ardarda dizilmiş oldukça geniş

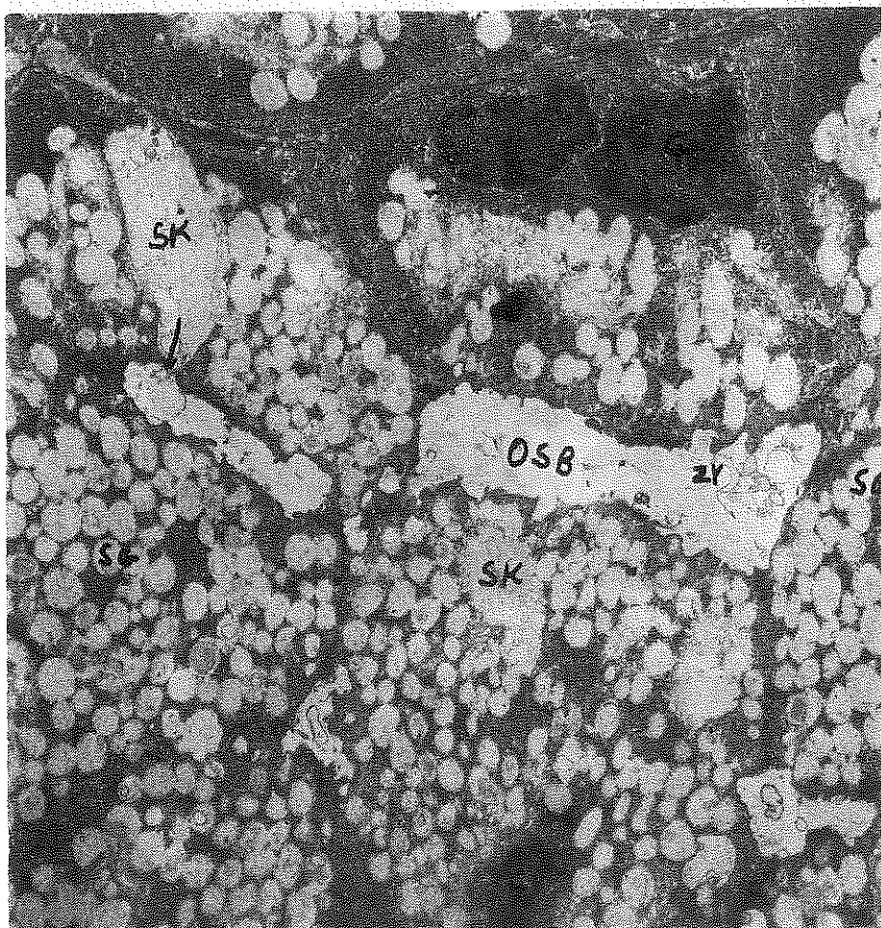


Şekil 2

Pilocarpinle etkilenmenin 15. dakikasında bir son bölümün ince yapısı gözleniyor. Uyarılmaya salgı granüllerinin birleşmesinden oluşan büyük kist yapıları ilgiyi çekiyor. OSB, orta salgı boşluğu; KY, kist yapıları; SG, salgı granülü. Uranil asetat, kurşun sitrat. X 5700.

açıklıkları olan çöküntüler seçildiler (Şekil 4, 4a, 8, 9). Çöküntülerin dibindeki birleşik zarın arta kalan kısmı, apikal yüz' hücre zarıyla sürmekteydi (Şekil 8,9).

Böylece orta boşluğu çevreleyen apikal yüz hücre zarıyla, granül boşalmından arta kalan birleşik zarın kesintisiz olduğu belirlendi. Zarsız üst yüz açıklıkları oluşmadı (Şekil 8, 9). Özellikle alupentle etkilenmeden sonra granüllerin apikal hücre zarını itercesine, orta boşluğa yaklaşıkları ve belirgin bir çıkıştı oluşturdukları seçildi (Şekil 5,6,7). Bu tür yapılarda granül zarının büyük bir bölümünü üst yüz hücre zarıyla birleşip geniş bir birleşik zar oluşturdukları gözlendi (Şekil 5, 7). Böylece

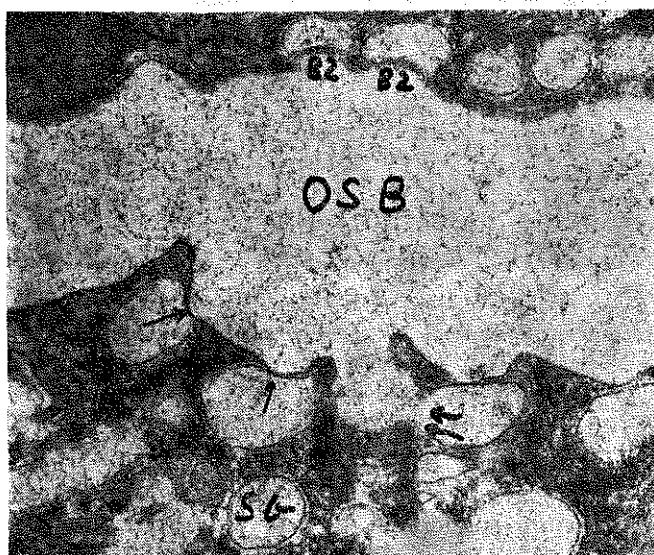
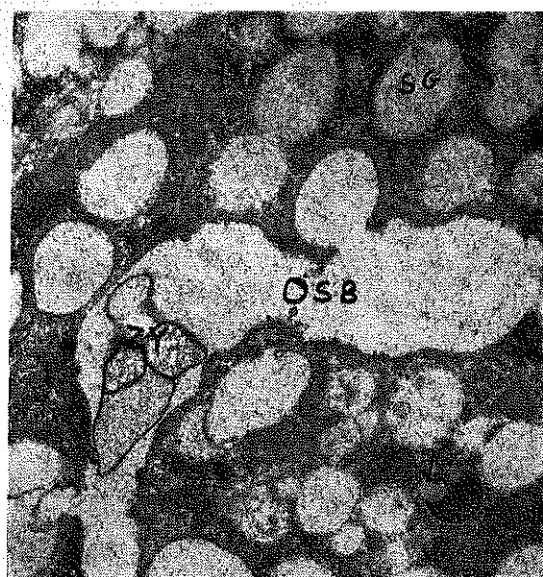


Şekil 3

Alupentle etkilenmenin 6. saatinde bir son bölümün panoramik elektron mikrografı gözlendi. Orta salgı boşlukları genişlemiş yer yer zar yapıları içermektedir. Granüllerin kaynaşmasından oluşmuş salgı kitlelerinin dar bir ağızla orta boşluğa boşaldığı dikkati çekiyor (ok). OSB, orta salgı boşluğu; SK, salgı kitesi; SG salgı granülü.

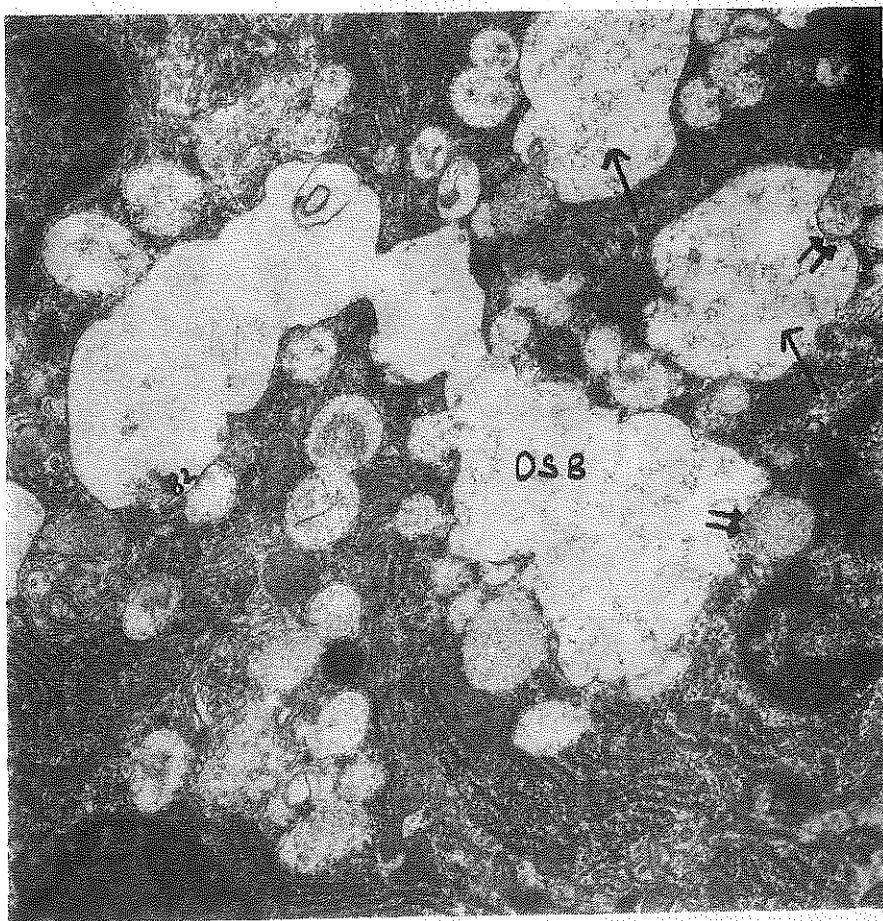
Uranil asetat, kurşun sitrat. X 5700

geniş zar ilişkilerinin sonucunda birleşik zarın yırtılmasından sonra, lumen boyunca oldukça geniş granül açılma bölgeleri oluştu (Şekil 5, 7, 8, 9). Granüllerin, üst yüz hücre zarına katılan zarları, orta boşluğu iyice genişletti. Çöküntülerin dibine yeni granül boşalımlarının oluşmasına neden oldu (Şekil 4a, 9). Böylece birbirini izleyen ardarda granül boşalımları ayırdedildi. Ancak üst yüz hücre zarına granül boşalımının sadece, eski granül boşalımına bağlı olmadığı; çöküntüsüz düzgün yapılı lumenlerede, tek tek granül atılımının belirginliği ilgiyi çekti



Şekil 4, 4a

Alupentle etkilenmeden sonraki 2. saatte son bölüm salgı hücrelerinin apikal yüz ayrıntılı yapıları izleniyor. Salgı granüllerinin tek tek boşluğa açıldıkları bölgelerde çöküntüler vardır. Granül zarıyla üst yüz zarının birleştiği bölgelerde (ok) zar yapıları iyi korunmuştur (ok), granüllerin açılma bölgelerine çöküntülerin dibine yeni granül boşalması olaylanmaktadır (çift ok). OSB, orta salgı boşluğu; SG salgı granülü, ZY, zar yapıları; BZ, birleşik zar. Uranil asetat, kurşun sitrat. X. 14100



Şekil 5

Alupentle etkilenmenin 2. saatinde, son bölümlerden salgı granülü atılının ayrıntıları gözleniyor. Orta salgı boşluğu hücreler içine ilerleyip yeni boşluklar oluşturmuştur (ok). Granüller yer yer orta boşluğa doğru kabaracak biçimde yaklaşmışlardır (çift ok). Yer yerde birleşik zarın yırtıldığı granül kapsamının orta boşluğa boşalduğu seçilmektedir. OSB, orta salgı boşluğu; BZ, birleşik zar. Uranil asetat, kurşun sitrat. X. 14100

(Şekil 4, 4a, 5, 9). Bazı örneklerde, orta boşluk uzantılarına salgılarnı boşaltmakta olan granüllerin boşluğa doğru yer yer üzerlerini örten zarla birlikte belirgin bir tomurcuk oluşturacak biçimde sarktıkları gözlandı. Çıkıntının her iki yanında üst yüz hücre zarıyla granül zarı arasındaki devamlılık belirgindi (Şekil 6).

Bir tür şişme biçiminde orta boşluğa sarkan granülün boşalımının ileri evreleri gözlenemedi. Her iki uyarılmayla da, uyarılmasız salgılamada da orta boşlukta zar yapıları belirgindi. Ancak zar artıklarına



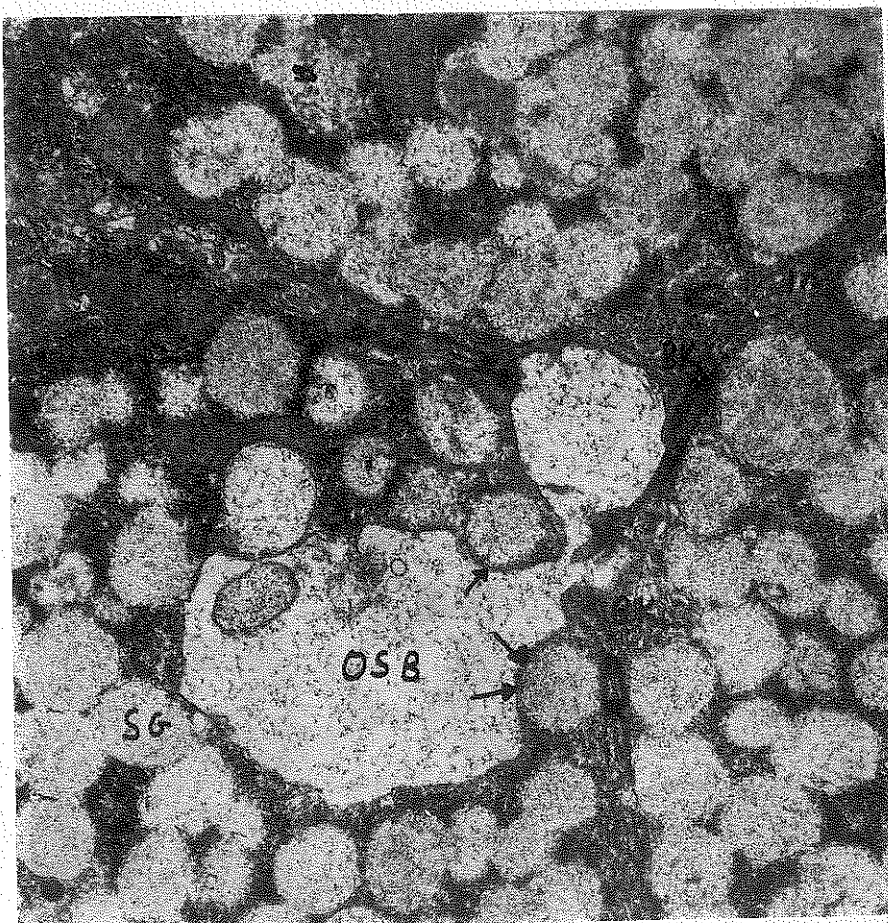
Şekil 6

Alupentle etkilenmenin 12. saatinde, bir son bölümün ince yapı ayrıntıları gözleniyor. Hücreler içinde genişlemiş orta boşluk uzantıları belirginidir. Bu bölgelere boşalmakta olan granüllerin üzerlerini örten zarla birlikte belirgin bir tomurcuk oluşturdukları seçilmiştir (ok). OSB, orta salgı boşluğu; SG, salgı granülü; C, çekirdek; GER granüllü endoplazma retikulumu. Uranil asetat-kurşun sitrat. X. 14100

salgılatıcı etkisi geç ve sürekli olan alupentle uyarılmış örneklerde daha sık rastlanıldı (Şekil 3, 4, 5.). Uyarılmaya hücrelerarası bağlantı komplekslerinin ve apikal yüz hücre zarının bütünlüğünü koruduğu ayırdedildi (Şekil 6, 7, 8).

### *Tartışma*

Dış salgı bezlerindeki salgılama döngüsü önemli hücre organellerini ilgilendiren değişik dönemlerden oluşur. Bunlar salgının hücreden atılması, ara dönem ve yeniden salgı granüllerinin oluşmaya başlaması

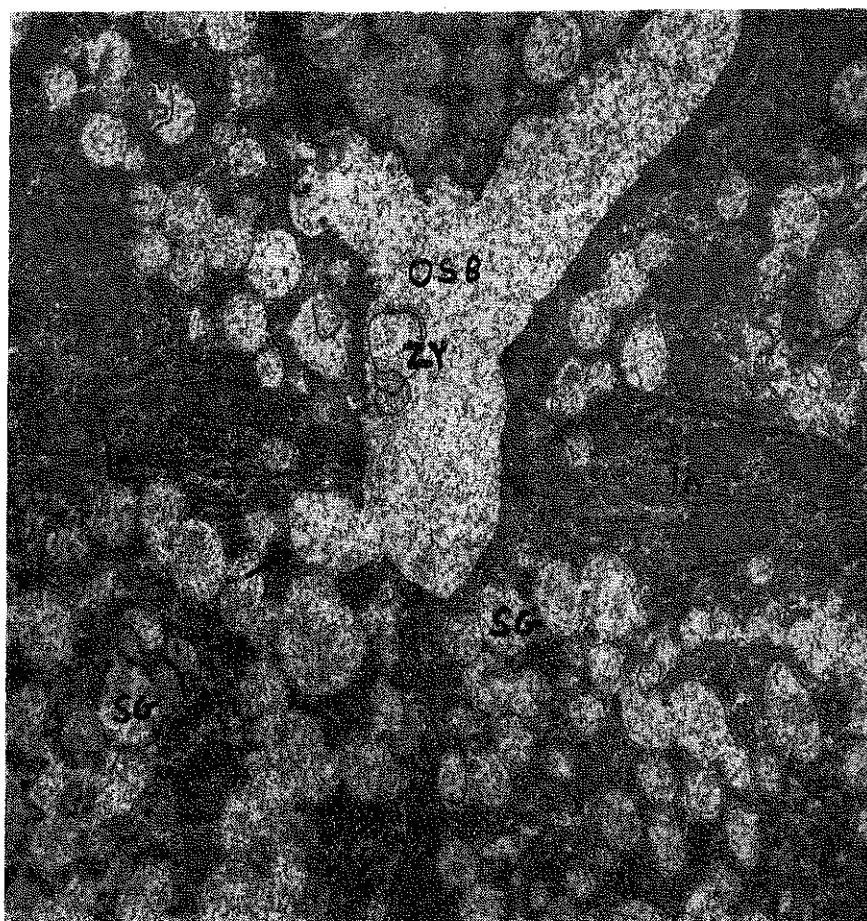


Şekil 7

Alupentle etkilenmeden 12 saat sonra, son bölüm hücreleri salgı granüllerinin, orta boşlukla olan ilişkileri gözleniyor, salgı granüllerinin üst yüz hücre zarını itercesine yaklaşır, geniş bir birleşik zar oluşturdukları ilgiyi çekiyor (ok). OSB, orta salgı boşluğu; SG, salgı granülü; BK, bağlantı kompleksi; İn, interdigitasyon. Uranil asetat-kurşun sitrat. X. 14100

olarak belirlenir. Gerçekte bu dönemler birbirlerinden bağımsız değildir.<sup>14</sup> Salgı yapan hücrelerin tümü eş zamanlı olarak uyarandan etkilenmezler.<sup>15</sup> Ara dönemde salgı atılımıyla birlikte üretim ve biriktirme gözlenebilir.<sup>14, 16-19</sup> Bu nedenle salgılama döngüsünü hücreden salgı granüllerinin atılması ve atıma bağlı olarak hücre içi değişikliklerle salgı oluşumunun olaylanması diye ikiye ayırmak uygundur.

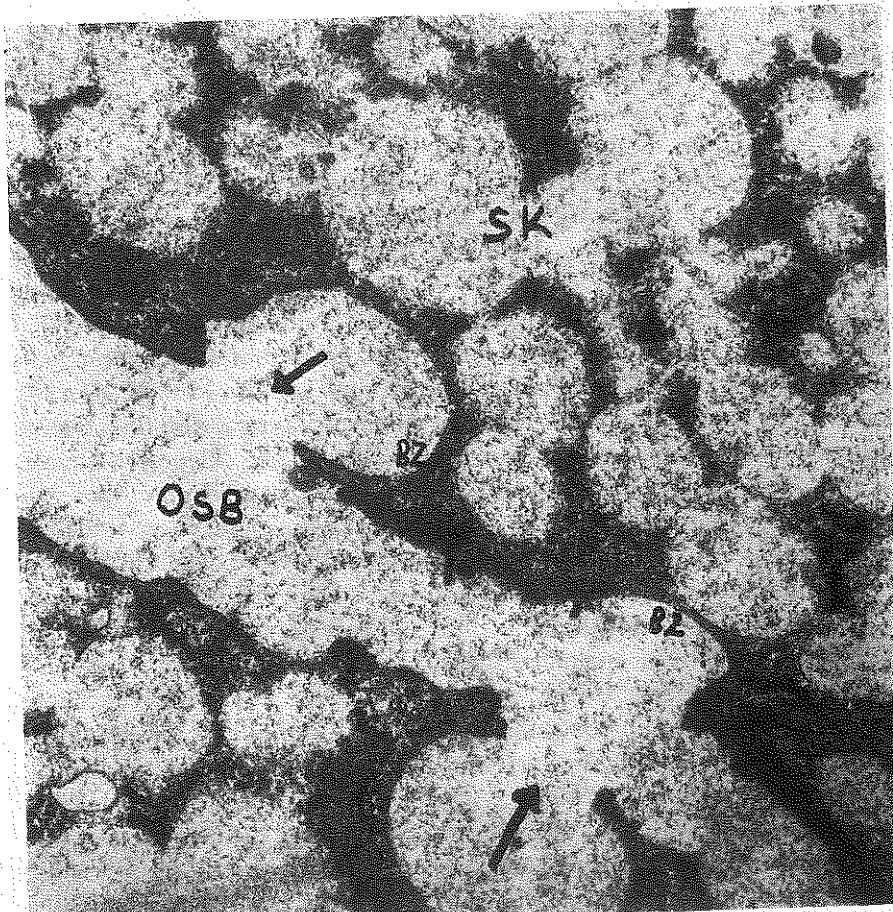
Seröz türde salgı oluşturan dış salgı bezlerinde granülün üst yüz hücre zariyla kaynaşmasıyla birleşik zar oluşur. Daha sonra birleşik zarın açılmasını granül kapsamının orta salgı boşluğununa boşalması izler.<sup>1-3</sup>



Şekil 8

Alupentle etkilenmenin 8. saatinde son bölüm salgı hücrelerinin apikal yüz ayrıntıları gözleniyor. Orta salgı boşluğunda zar yapıları, apikal yüz hücre zarının sürekliliği belirgindir. Granül boşalma bölgeleri çöküntüler biçiminde geniş açıklıklar oluşturmuştur (ok). OSB, orta salgı boşluğu; SG, salgı granülü, ZY, zar yapıları; BK, bağlantı kompleksi; İn, interdigitation. Uranil asetat-kurşun sitrat. X. 14100

Müköz granüllerin atılım biçimleri üzerinde kesin bir görüş birliği yoktur. Trier,<sup>20</sup> insanda ince bağırsak Goblet hücrelerinde müköz granül atılımının bilinen seröz (zimogen) granülle eş biçimde olaylandığını ileri sürdü. Öteki müköz hücrelerde, örneğin sıçanda ince bağırsak Goblet hücrelerinde,<sup>21</sup> insanda dudak tükürük bezlerinde,<sup>22</sup> sıçanda dil altı tükürük bezlerinde<sup>7</sup> granüllerin üst yüz hücre zarında oluşan açıklıklardan ya yapısı bozulmadan ya da bir parça çevreleyici zarla beraber atıldığı gözlenmiştir. Kim ve arkadaşları,<sup>7</sup> sıçan çene altı tükürük bezinde granül atılımını normal ve uyarılmış (pilocarpin + izoprenalin)



Şekil 9

Alupentle etkilenmeden 2. saat sonra salgı granüllerinin orta boşluğa açıldığı bölgeler izleniyor (ok). Çöküntülerin dibindeki birleşik zarın üst yüz hücre zarıyla sürdürdüğü ve atılmaya hazırlanan granüllerin birleşip salgı kitleleri oluşturdukları seçiliyor. OSB, orta salgı boşluğu; SK, salgı kitlesi; BZ, birleşik zar. Uranil asetat kurşun sitrat. X. 25500

koşullarda incelediler. Müköz granül orta boşluğa doğru belirgin bir çıkış yapacak biçimde sarkar. Bir süre granül zarıyla hücre üst yüz zarının kaynaşmasından oluşmuş birleşik zar bu çıkışının üstünü örter. Giderek incelelen zarın genişçe bir bölümü parçalanır. Bu aralıktan zarla çevrili diğer granüller orta boşluğa atılırlar. Zarla çevrili granüllerle parçalanıp atılan zar artıkları geçici olarak miyeline benzer zar biçimlenmeleri oluşturur.

Miyelin zar biçimlenmelerinin yoğunlaşmış salgı ürünü değil de gerçek zar yapıları oldukları enzim aktiviteleri ölçülerek saptanmıştır.<sup>9</sup>

Uyarılmış koşullarda da atılım eş biçimde olayanır; uyarının etkisiyle çabuk bir salya akımı olduğundan zar yapıları temizlenir ve zar artıkları gözlenmez.

Uyarılmadan sonra mukoza granüller, ya salgılama sürecinde ya da salgılamadan hemen önce büyük kitleler oluşturacak şekilde birbirleriyle birleşirler. Bu oluşum salgılama sürecinde öteki sitoplazma organelerinin de atılmasını önler. Uyarılmış salgılamada gözlenen geniş yırtılma birlikte gelen ivedi salgı boşalması sonucunda sitoplazmanın oldukça önemli bir bölümü zarsız kalır. Bu bölümde ufak basık kesecikler dizilip etkin bir koruyucu tabaka oluşturur. Salgı materyeli ve zar parçacıkları dışında gerçek sitoplazma yitirilmesi yoktur. Mukoza ve seröz granüllerin atılım biçimleri arasındaki en çarpıcı ayrıcalık mukoza hücrelerdeki zar yitirmesidir.<sup>7</sup> Seröz hücrelerdeyse zar eklenmesi olmaktadır.<sup>1-4, 23, 24</sup> Bu ayrıcalık temelde zarların değişik yapılarından ileri gelmektedir. Seröz granül zarıyla üst yüz hücre zarı arasındaki kimyasal benzerlik belkide granül zarının bir parçası olabilmesine nedendir.<sup>7</sup> Kim,<sup>9</sup> seröz ve mukoza üst yüz hücre zarlarında zara bağlı enzim aktivitelerinde ayrıcalık olduğunu bildirdi. Mukoza tür salgılamada granül zarının hücre zarına katılamayıși bu enzimatik değişiklige bağlı olabilir. Mukoza granüllerin birbirleriyle birleşmeleri, seröz granüllerinse ancak üst yüz hücre zarıyla birleşikten sonra atılım için bekleyen granüllerle birleşebilmesi seröz ve mukoza granül zarları arasında fizikokimyasal ayrıcalıkların olabileceğini düşündürmektedir.<sup>7</sup> Salgı granüllerinin (gerçek birleşip kaynaşma olmadan) dış zarları birbirlerine deşip birleşik zar yapıları oluştururlar. Salgilatıcıların etkisiyle birleşik zar yapılarının yırtılıp büyük salgı kitleleri oluşturmaları eksositozise hazırlık niteliğindedir.<sup>25-27</sup>

Atılım Kim ve arkadaşlarının gözlediği gibi üst yüz hücre zarında yırtılma ve derin yarıklı, zar kaybı olmadan bilinen geleneksel seröz granül atılımı biçiminde olayanır.<sup>25</sup> Tandler ve Poulsen,<sup>27</sup> kedide çene altı tükürük bezinde mukoza granül atılımını normal koşullarda inceledi. Salgı granülü orta boşluğa doğru kabarrı; granül zarıyla üst yüz hücre zarının kaynaşmasından oluşan birleşik zar hemen, tüm granül çevresini saracak kadar genişir. Bu zar giderek incelip bir diyafragma dönüşür; incelen unit zarın geçirgenliği değişerek hücre içine su girer. Mukoza salgı materyeli suyu emerek şişer, basıncın etkisiyle zar yırtılır. Granül kapsamı orta boşluğa boşalır. Orta boşlukta gözlenen zar parçacıkları unit zarın birleşik zardan sıyrılan artıklarıdır. Granül zarının, zarla birlikte bütün olarak atılımı gözlenmez. Sığcanda geleneksel mukoza hücrelere benzer yapıdaki son bölgülerden izoprenalinin uyarıcı etkisiyle ortaya çıkan granül atılımının zimogen granül atılımına benzer

olduğu ileri sürülmüştür.<sup>14, 18, 19</sup> Granül zarı hücre üst yüz zarını itercesine orta boşluğa doğru kabarır.<sup>14, 18</sup> Birleşik zar yırtılıp açılır salgı boşalımı olayanır. Granül zarının hücre zarıyla birleşme bölgelerinden geri kalan kısımlar hücre üst yüzünde çöküntüler biçiminde izlenir. Atılım sürecinde granüllerin kaynaşmaya eğilimleri artar. Giderek artan eksositoz sonucu genişleyen orta salgı boşluğu hücre içine doğru uzantılar yapar. Hücrelerarası aralıklar belirginleşmiştir.<sup>14, 19</sup> Bogart,<sup>14</sup> orta boşlukta zar artıkları bulunmadığını Radley,<sup>18</sup> seyrek zar artıklarının ve zarla çevrili mukoza granüllerin bulunduğuunu bildirdiler.

Geniş zarsız üst yüz kırıklarının yetersiz tespite bağlı olduğu savunulmuştur.<sup>14, 25, 27</sup> Strum ve Karnowsky,<sup>28</sup> normal koşullarda sıçanda çene altı tükürük bezinden sero mukoza granül atılıminin apokrine benzer bir biçimde olaylandığını ileri sürdüler. Tandler ve Erlandson,<sup>29</sup> normal; Schramm ve arkadaşları<sup>30</sup> uyarılmış koşullarda salgı granüllerinin üst yüz hücre zarına doğru uzanan kısa, yalancı ayaklar (psödopodlar) oluşturduklarını bildirdiler. Bu ayakların hücre zarıyla birleşerek granül kapsamının orta salgı boşluğununa atıldığını ileri sürdüler.

Yapılan bu araştırmada, atılım sürecinde, apikal hücre zarıyla granül zarı arasındaki ilişkiler, her iki uyarılmayla benzerlikler gösterdiler. Ayrıca kontrol gruplarında da, salgılamanın olaylandığını belgeleyen zar ilişkileri ayırdedildi. Ancak uyarılmayla salgılamanın belirginleştiği granül zarı hücre zarı ilişkilerini gözleme olasılığının arttığı izlendi. Pilokarpinin hızlı ivedi salgı boşaltıcı etkisiyle erken saatlerde granül boşalımı egemen oldu. Alupentin uzun süreli ve yavaş boşaltıcı etkisi belirgindi. Bu nedenle granül atılım sürecinde zar ilişkileri daha iyi gözlenebildi. Her iki uyarılmayada granüllerin, birbirleriyle birleşme eğilimleri arttı. Orta salgı boşlukları genişledi ve hücre içlerine doğru uzanan ufak salgı boşlukları oluştu. Granüllerin tek tek, apikal yüze açıldıkları bölgeler çöküntüler biçiminde ayırdedildi. Bu zarın birleşik zar yapısı olduğu fikrine katıldı. Yer yer granüllerin apikal hücre zarına ya da hücre içindeki, salgı boşluklara doğru belirgin bir tomurcuk oluşturacak biçimde sarkığı gözlendi. Bu bölgede zar ilişkisinin çok geniş olduğu izlendi. Böylece birleşik zarın yırtılmasıyla genişçe bir aralıktan granül kapsamının boşaldığı ayırdedildi. Geniş zarsız üst yüz açılmalarının oluşmadığı gözlendi. Ayrıca granülün yapısı bozulmadan zarla birlikte atılımında izlenmedi. Bu turden yapıların hücreyi birden salgulanmaya fazlaca zorlamayla oluşmuş dejenerasyonlar ya da tespit yetersizlikleri sonucu görüldüğü kanısına varıldı. Granül atılıminin apokrine benzer bir biçimde olaylandığı görüşünü destekleyecek ince yapı değişimleri, her iki uyarılmada da yoktu. Ayrıca uyarılmayla, granüllerin psödopoda benzer ayaklar aracılığıyla kapsamlarını boşaltıkları da izlenmedi.

Uyarılmış koşullarda granül biçiminin değişmediği izlenen tüm örneklerde belirgindi. Granül atılıminın öteki muköz hücrelerden ayıralduğu belirlendi.

Goblet hücrelerinde dudak tükürük bezlerinde ve dil altı tükürük bezlerinde olduğu gibi granülün bir parça çevreleyici zarla birlikte atıldığı izlenimi alınmadı. Granül boşalımının ya şişip, lumene doğru sarkarak ya da, seröz granüller gibi üst yüz hücre zarıyla granül zarının birleşmesi yoluyla olaylandığı, gözlendi. Ancak seröz granüllerden farklı olarak granül zarıyla üst yüz hücre zarı arasındaki ilişkinin (birleşik zarın) çok geniş olduğu belirgindi. Bu yolla birleşik zarın yırtılıp ayrılması sonucu geniş ve derin çöküntülerin oluştuğu izlendi. Birleşik zarın yırtılmasının ayrıntıları ayırdedildi. Orta salgı boşluğununa gözlenen zar yapılarının birleşik zarın yırtılıp ayrılan artıkları olduğu düşünüldü.

### *Özet*

Bu çalışmada parasympatik ve sempatik farmakolojik uyarılardan sonra sıçanda çene altı tükürük bezi son bölüm salgı hücrelerindeki salgılama biçimini ince yapı düzeyinde incelendi. Her iki uyarılmaylada salgı granüllerinin atılmaya hazırlık niteliğindeki hücre içi kaynaşmaları belirgindi. Ancak sempatik salgılatıcıların uzun süreli yavaş salgılatıcı etkisi nedeniyle, salgılama sürecindeki zar ilişkileri iyi gözlenebildi. Salgılamamanın sürekli olduğu ve her iki uyarılmaylada benzer bir salgılamamanın olduğu saptandı. Salgılamamanın geniş zar kaybı ve üst yüz kırıkları olmadan, olaylandığı, gözlendi. Granül zarıyla üst yüz hücre zarı arasında bazen düz, bazen de üst yüz hücre zarını itip belirgin bir tomurcuk oluşturacak biçimde geniş ilişkisi ayırdedildi. Birleşik zarın yırtılıp granül kapsamının lumene boşaldığı seçildi.

### *KAYNAKLAR*

1. Amsterdam, A., Ohad, I., Schramm, M.: Dynamic changes in the ultrastructure of the acinar cell of the rat parotid gland during secretory cycle. *J. Cell. Biol.*, **41**: 753, 1969.
2. Hand, A. R.: The fine structure Von Ebners gland of the rat. *J. Cell. Biol.*, **44**: 340, 1970.
3. Parks, H. F.: Morphological study of the extrusion of secretory materials by the parotid glands of the mouse and rat. *J. Ultr. Res.*, **6**: 449, 1962.
4. Rhodin, J. A. G.: *Histology a Text and Atlas*. New York, Oxford University Press, London Toronto, 1974, s. 84.
5. Shackleford, J., Wilborn, W. H.: Structural and histochemical diversity in mammalian salivary glands. *Ala. Jour. Med. Sci.*, **5**: 180, 1966.

6. Spicer, S. S., Duvenci, J.: Histochemical characteristics of mucopolysaccharides in salivary and exorbital lacrimal glands of the rat. *Anat. Rec.*, **149**: 332, 1964.
7. Kim, S. K., Nasjleti, G. E., Han S. S.: The secretion process in mucous and serous secretory cells of the rat sublingual gland. *J. Ultr. Res.*, **38**: 371, 1972.
8. Meldolesi, J., Jameison, J. D., Palade, G. E.: Composition of cellular membranes in the pancreas of the guine pig. *J. Cell. Biol.*, **49**: 130, 1971.
9. Kim, S. K.: The cytochemical localization of adenylate cyclase activity. In mucous and serous cells of the salivary gland. *J. Supramol. Struct.* **4**: 185, 1967.
10. Scott, B. L., Pease, D. C.: Electron microscopy of induced changes in the salivary glands of the rat in: Sreebny, L. M., Meyer, J. (Eds), *Salivary glands and their secretions*. Pergamon press. London. 1964, s. 13. Alınmıştır: Cutler, L. S., Chaudry, A. P.: Release and restoration of the secretory granules in the convulated granular tubules of the rat, submandibular gland. *Anat Rec.*, **176**: 405, 1973.
11. Herman, H., Pelz, H.: Metaproterenol a new bronchodilator comparison with isoprotorenol. *Am. Jour. Med. Sci.*, **97**: 321, 1967.
12. Martindale the extrapharmacopoeia, ed. by Blacow. N. W.: The pharmaceutical Press, 1972, s. 33.
13. Bluemink, J. G., Maurik, P., Lawson, K.: Intimate cell contacts at the epithelial mesenchymal interface in embryonic mouse lung. *J. Ultr. Res.*, **55**: 257, 1976.
14. Bogart, B. I.: Secretory dynamics of the rat submandibular gland. *J. Ultr. Res.*, **52**: 139, 1975.
15. Tamarin, A., Serebny, L. M.: The rat submaxillary gland. A correlative study by light and electron microscopy. *J. Morph.*, **117**: 295, 1965.
16. Kramer, M. F., Poort, C.: Protein synthesis in the pancreas of the rat after stimulation of secretion. *Z. Zellforsch. Mikr. Anat.*, **80**: 475, 1968.
17. Lillie, J. H., Han, S. S.: Secretory protein synthesis in the stimulated rat parotid gland. *Jour. Cell. Biol.*, **59**: 708, 1973.
18. Radley, J. M.: Ultrastructural changes in the rat submaxillary gland following isoprenaline. *Z. Zellforsch.*, **97**: 196, 1969.
19. Takahama, M., Barka, T.: Electron microscopic alterations of submaxillary gland produced isoprotorenol. *J. Ultr. Res.*, **17**: 452, 1967.
20. Trier, T. S.: Studies on small intestinal crypt epithelium I. The fine structure of the crypt epithelium of the proximal small intestine of fasting humans. *J. Cell. Biol.*, **18**: 599, 1963.
21. Neutra, M., Leblond, C. P.: Synthesis of carbohydrate of mucus in the Golgi complex as shown by electron microscope radiautographs of goblet cells from rats injected with glucose H<sup>3</sup>. *J. Cell. Biol.*, **30**: 119, 1966.
22. Tandler, B., Denning, C. R., Mandel, I. D., Kutscher, H. A.: Ultrastructure of human labial salivary glands. I. Acinar secretory cells. *J. Morph.*, **127**: 383, 1969.
23. Nevalainen, T. J.: Effects of pilocarpine stimulation on rat pancreatic acinar cells an electron microscopic study with morphometric analysis *Acta. Path. Microbiol. Scand.*, **210**: 1, 1971.
24. Simson, J. A.: The secretory response of the parotid gland to isoprotorenol. *Anat. Rec.*, **160**: 429, 1968.
25. Neutra, R. M., Schaffer, S. F.: Membrane interactions between adjacent mucous secretion granules. *Jour. Cell. Biol.*, **74**: 983, 1977.

26. Palade, G. E., Bruns, R. R.: Structural modulations of plasmalemma vesicles. *J. Cell. Biol.*, **37**: 633, 1968.
27. Tandler, B., Poulsen, J. H.: Fusion of the envelope of mucous droplets with the luminal plasma membrane in acinar cells of the cat submandibular gland. *J. Cell. Biol.*, **68**: 775, 1976.
28. Strum, J. M., Karnowsky, J. M.: Ultrastructural localization of peroxidase in submaxillary acinar cells. *J. Ultr. Res.*, **31**: 323, 1970.
29. Tandler, B., Erlandson, R. A.: Ultrastructure of baboon parotid gland. *Anat. Rec.*, **184**: 115, 1976.
30. Schramm, M., Selinger, Z., Salomon, Y., Eytan, E., Batzri, S.: Pseudopodia formation by secretory granules. *Nature*. **240**: 203, 1972.

# Amebiasis

**Dr. Burhan Kayhan\* / Dr. Hasan Telatar\*\* / Dr. Şükran Karacadağ\*\* / Dr. Burhanettin Sellioğlu\*\*\***

**K**üçük bir protozoa olan Entamoeba histolitica'nın oluşturduğu enfeksiyon, Amebiasis bugün dünyanın her yerinde bilhassa tropikal ve subtropikal bölgelerde sık görülmektedir. Büyük epidemiler 1933 de Chicago, 1956 da Indiana'da görülmüştür.<sup>3</sup>

Bugün Amerika'da amebiasis nadirdir. Genellikle kötü sağlık koşullarında yaşayan kızılderililerde ve düşük sosyo-ekonomik koşullar altında yaşayan güney ve güneybatı bölgeleriyle, akıl hastanelerinden rapor edilmektedir.

Grossman, Hindistan'da barış gücü personeli üzerinde yaptığı araştırmalarda % 57 sinin Entamoeba histolitica ile enfekte olduğunu bunların ancak % 17 içinde amebik kolitisin görüldüğünü neşretmiştir.<sup>2</sup>

İsrail'de<sup>7</sup> amebiasis'e % 10 oranında rastlanılmıştı. Afrika'da bazı hastane istatistiklerine bakıldığından amebiasis'in ölüm sebeplerinin hala başında geldiği görülür.<sup>8</sup>

Memleketimizde, amip enfeksiyonuna, güney ve güneydoğu bölgeleri, başta olmak üzere, sanitasyon koşullarının bozuk olduğu sahalarla yaşayanlar arasında sporadik olarak rastlanmaktadır.<sup>15</sup>

Amebiasis tanısı kesinleşmiş üç amipli kolit vakasını neşretmeyi, ayırıcı tanısı ve tedavisi üzerinde durmayı yararlı bulduk.

## Vaka Takdimleri

**Vaka 1:** F. Atasoy 37 yaşında bekâr. Avukat. Giriş: 3.7.1973. Protokol No: 433192. Şikâyeti: Karın ağrısı ve kanlı ishal.

\* Hacettepe Üniversitesi Tıp Fakültesi Gastroenteroloji Bölümü Doçenti.

\*\* Aynı Fakülte İç Hastalıkları Bilim Dalı Profesörü.

\*\*\* Aynı Fakülte Parazitoloji Bölümü Öğretim Görevlisi.

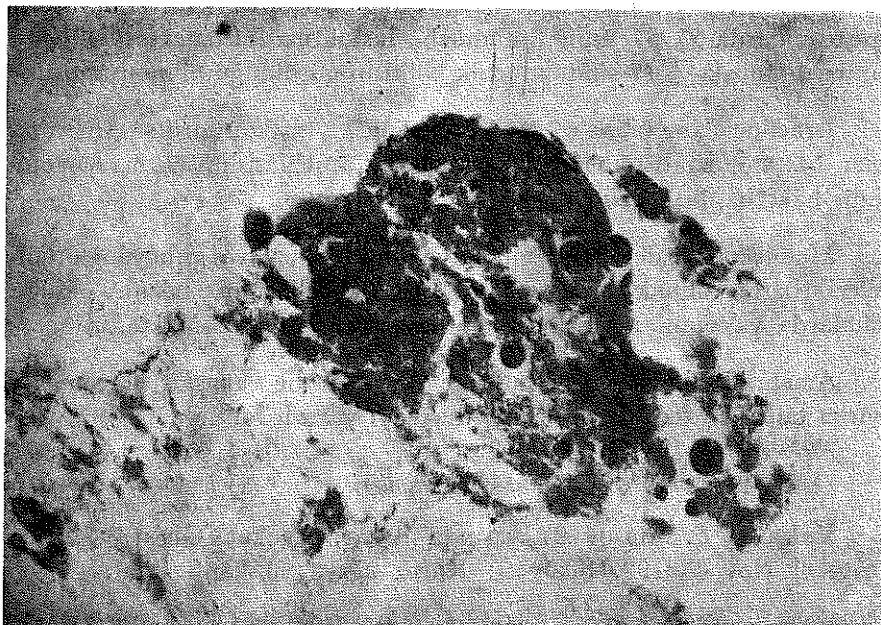
**Hikayesi:** Bir hafta önce kanlı, sümüklü ishal başlamış. Gündüzleri 5–6, geceleri 2–3 defa karın ağrısı ile kanlı ishal oluyormuş. Ateşi 37–38°C arasında seyrediyormuş. Kilo kaybetmiş, kesin ne kadar olduğunu bilmiyor, tuvaletten çıktıığı zaman kendisini çok halsiz hissediyormuş.

Müracaat ettiği hastanede amip tanısı konmuş. Emetin + Duspatalin + Olinkol tedavisine alınmış. 4 cü ampul emetin yapıldıktan sonra baş dönmesi, taşikardisi (140/dak.) olmuş, bu nedenle kliniğimize yatırıldı.

**Fizik Muayenesinde:** Ateş 37,1°C, Nabız: 96/dak, Solunum: 20/dak, Tansiyon: 120/80 mmHg. Şuur açık, soluk ve halsiz görünümde. Barsak sesleri hiperkinetikti. Diğer sistem bulguları normaldi.

Rektosigmoidoskopik muayenede rektum ve sigmoidin alt kısmında 4–8 mm çapında ülserler, mukozada frajilite ve granüler görünüm saptandı.

Bu ülserlerden alınan biopside (Şekil 1) ve yayma preparatlarında trophozoitlere rastlanılmıştır.



Şekil 1

Vaka 1: Doku içinde amipler görülmektedir. (Hematoxylen-Eosin X 640 defa büyütülmüştür).

Hastada yapılan bioşimik, hematolojik ve akciğer film tetkikleri normal bulundu.

Hastaya 10 gün süre ile günde 3x750 mg metronidazole (Flagyl) verildi. Tedavinin ikinci gününden itibaren ishal sayısı azaldı. 7-ci gününde ishal tamamen kesildi. Tedaviyi müteakip hastanın iştahı normale döndü ve kilo almaya başladı.

On günlük tedavinin sonunda yapılan rektosigmoidoskopik muayenesinde evvelce görülmüş olan ülserlerin tamamen kaybolduğu tespit edildi. İlaç kesildikten sonra 10 gün ara ile 3 defa dışkı muayenesi yapıldı. Entamoeba histolitika kist veya trophozoite rastlanmadı. Hasta 1 ay ara ile 6 defa kontrole geldiğinde hiç bir şikayet olmadığı gibi, kilo aldığı görüldü. Rektosigmoidoskopik muayenesi tekrarlandığında, mukozanın tamamen normal olduğu görüldü. Gaita muayenesi kontrollerinde ise Entamoeba histolitika görülmedi.

**Vaka 2:** O.Oflas 65 yaşındaki hasta 26. 9.1973 tarihinde 149514 Protokol No ile ishal şikayetiyle yatırıldı.

**Hikayesi:** Ağustos ayında başlayan ishalı bir aydan beri günde 5-6 defa köpüklü, sıvı kıvamda devam etmiş. Ondan sonraki ay günde 15-20 defa çıkmaya başlamış. Son 20 gündür gaitası kanlı geliyormuş. Karın ağrısı ile ishal şeklinde dışarı çıkıyor gaitadan sonra karın ağrısı hafifliyormuş. İştahı azalmış, 10 kilo kadar kaybı olmuş.

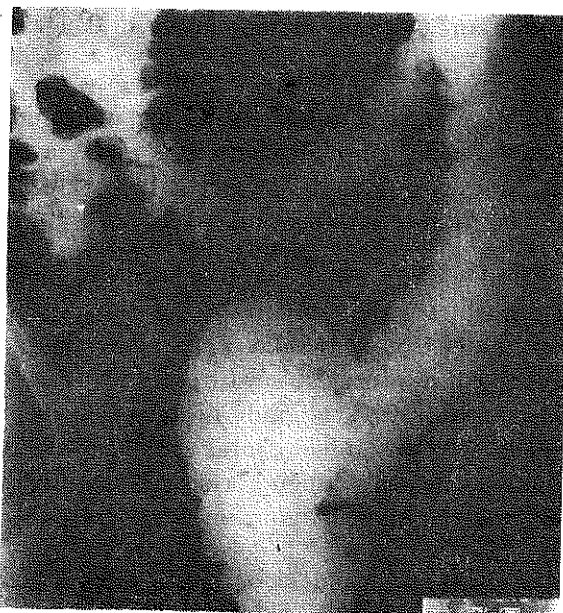
Öz geçmişinde 35 yıl önce sariık, çocukken sitma, 1960 yılında fitik ameliyatı geçirdiği saptandı.

**Fizik Muayenesinde:** Ateş: 37,5°C, Nabız: 86/dak, Solunum: 24, Tansiyon: 145/90 mmHg. Hasta dehidrate idi. Karında yaygın hassasiyet vardı. Karaciğer kosta kenarını 3 cm geçiyordu. Deri turgor, tonusu azalmıştı. Barsak sesleri hiperaktifti.

**Laboratuvar Bulguları:** Hb: 8,75, BK: 7000, Kemik iligi kan kaybı ile uyumlu idi. BUN: 52-10 % mg, Na: 100-135 mEq/L, Cl: 60-110 mEq/L, K: 1,8-5,6 mEq/L, TSP: 3,9-5,8 % gr, Alb: 1,6-2,9 % gr, Globulin: 2,2-3 % gr, AKŞ: 70 % mg, SGOT: 5-17 Ü, SGPT: 5-16 Ü.

**EKG de:** İskemik ST çökümleri ve ekstrasistolller mevcuttu.

**Kolon grafisinde:** Rektumdan çekuma kadar yaygın derin ülserler saptandı. (Şekil 2).



**Şekil 2**

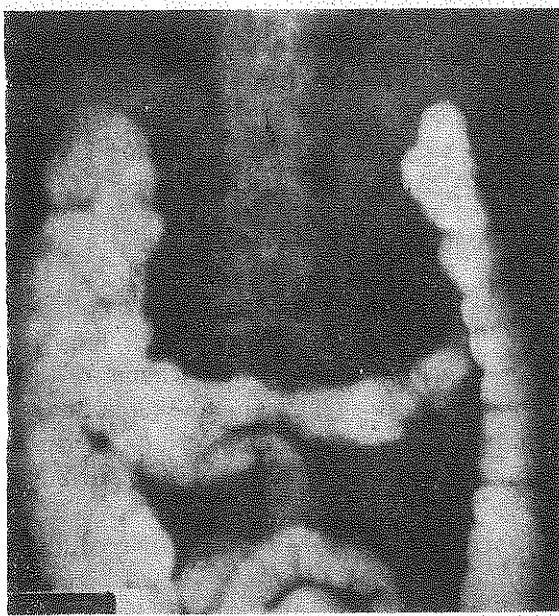
Rektumdan Çekuma kadar yaygın ülserler görülüyor.

Rektosigmoidoskopik muayenede çapları 3-12 mm arasında değişen yaygın ülserler görüldü. Ülserler arasında kalan mukoza intaktı. Ülserlerin kenarından alınan biopside dokuda Entamoeba histolitika tespit edildi. Ülser kenarlarından alınan kanlı müküslü ifrazatdan yapılan yaymaların muayenesinde de trophozoitler görüldü.

Amebiasis tanısı konularak 10 günlük 3x750 mg metronidazole tedavisine alındı. Serum proteinlerinin düşüklüğüne bağlı olarak ekstremitelerde (+++) ödem gelişti. Plazma ve kan transfüzyonları ile ödemleri kontrol altına alındı. Hastanın bazen trinitrine ihtiyaç gösteren anjinal ağrıları oldu. Barsak şikayetleri Flagyl tedavisi ile kontrole girdi. Kalp yönünden stabil duruma geldikten sonra taburcu edildi. 6 ay süre ile ayda 1 defa rektosigmoidoskopik ve dışkı muayenerleri yapıldı ve normal bulundu. Amebiasis tedavisinden 4 yıl sonra çektilen kolon grafisi Şekil 3'de görülmektedir.

**Vaka 3:** A.Albayrak 26 yaşında, Mobilyacı. Giriş: 20.7.1979 Protokol No: 1121181 kanlı ishal şikayeti ile kliniğimize yatırıldı.

**Hikayesinden:** 46 gün önce rektal kanamasının olduğu, bu kanama ile birlikte kanlı ishalin başladığı, önceleri gündüz 8-10 sefer, gecede en az 10 sefer tuvalete gittiği, gaitasının su kıvamında olduğu,



Şekil 3

Tedaviden 4 yıl sonra kolon grafisi görülmüştür.

son günlerde ismini bilmediği bir antidiareik tablet kullandığı, bundan sonra günde 4-5 sefer daha katı kıvamda, üzerinde parça parça kan bulunan gaita yapmaya başladığını, gaitasının pis kokulu olduğu, tuvalete gitmeden önce karnında hafif bir ağrı olduğu, defekasyondan sonra rahatladığını, bazen tuvalete gitme isteği olduğu halde bir süre beklediği, sonradan gittiğinde gaitasının hafif siyahça renkte olduğu, bu ara en çok geceleri olan bazen terlemeyle birlikte gelen ancak hiç ölçümediği ateşinin olduğu, titremesinin olmadığı, hastalığının başlamasından bu yana 10 kg'a yakın zayıflamasının olduğu tespit edildi.

**Öz Geçmişinde:** Bir yıl önce yine aynı aylarda rektal kanamasının olduğu, gaitasının civik ve kırmızı renkte olduğu, gittiği doktorun, hemoroid tanısı koyarak ismini bilmediği bazı ilaçlar, merhem verdiği saptandı.

**Fizik Muayenesinde:** Ateş:  $38,5^{\circ}\text{C}$ , N: 110/dak. ritmik, T: 20/dak. düzenli, TA: 120/80 mmHg. Şuur açık ve koopere. Karin hafif içeri doğru çökük, karaciğer üst hududu 6. ICA'da alt kenarı kostalı altında 4 cm. hassas olarak palpabl, dalak 2 cm. palpable, barsak sesleri hiperkinetik olarak bulundu.

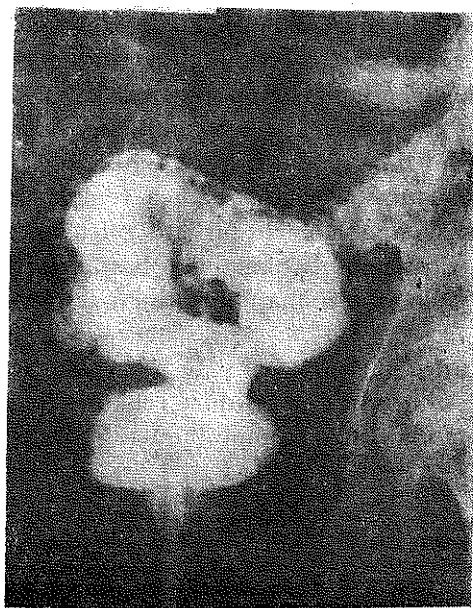
**Laboratuvar Bulguları:** Hb: 12-7,5 % gr., BK: 7690 /mm<sup>3</sup>, Hct: 36 %, sedimantasyon: 60-50 mm/saat. BUN: 13 % mg, AKŞ: 66 % mg, Na: 141 mEq/L, K: 3,8 mEq/L, Cl: 100 mEq/L, Alkalen fosfataz: 7,5 KA., SGOT: 23 Ü, SGPT: 20 Ü, TSP: 6-6, 7 % mg, Alb: 3,8-2,6 % mg, Globulin: 3,4-2,9 % gm. Ca: 7 % mg, kreatinin: 1 % mg. Kan Grubu: A Rh (-), AuAg (-), Anti Au (+), PTZ: H. 23 ", N. 15".

**EKG:** Sinüs taşikardisi.

Rektosigmoidoskopik muayenede mukoza frajil, granüle, yer yer peteşiler, özellikle 5 ci cm. den itibaren 4-15 mm çapında multipl zimba ile delinmiş ülserler saptandı. Amip yayması (-) bulundu. Tedavi altında yapılan kontrol rektosigmoidoskopik muayenelerde 5 ci cm. den itibaren polipoid yapılar ve aralarında derin ülserler, ülserlerin mukoza altında birbiri ile iştirakte olduğu görüldü.

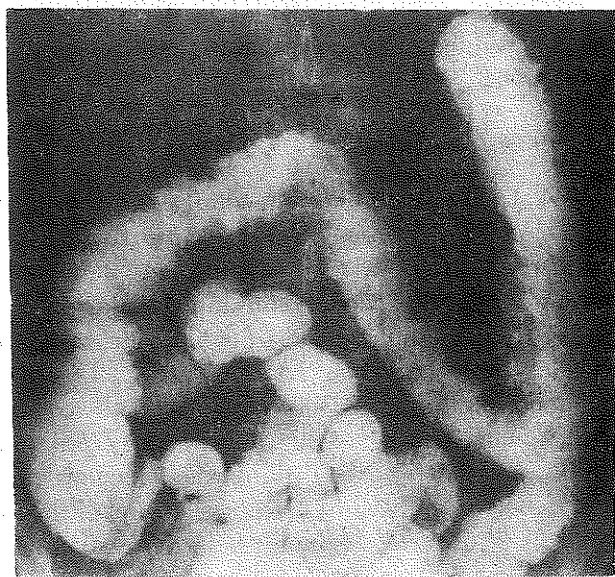
**Rektal Biopsi:** Amibik kolitis olarak rapor edildi.

**Kolon Grafisinde:** Rektumdan çekuma kadar tüm kolon duvarında derin ülserlerin bulunduğu bu ülserlerin mukoza altından birbiri ile iştirakte bulunduğu (Şekil 4, 5) görülmektedir.



**Şekil 4**

Rektumda derin ülserasyonlar görülmektedir.



Şekil 5

Çekuma kadar yaygın ülserasyonlar görülmektedir.

Amebiasis tanısı konularak 10 gün süre ile 3x750 mg Flagyl tedavisi uygulandı. Kontrol rektosigmoidoskopik muayenede ülserlerin devam etmesi sebebiyle günde 40 mg intramüsküler emetin tedavisine başlandı. Tedaviye rağmen özellikle akşam saatlerinde 38–39,5°C varan ateş ve 24 saatde 15–20 defa kanlı ishali devam ediyordu. Kolonu dirlendirmek amacıyla günde 2000 cc 17,5 % dextrose + 1000 cc serum fizyolojik + 60 mEq/L KCl intravenöz verilmeye başlandı. Kanlı ishale bağlı olarak Hb: 7,5 % gr. a kadar düştü kan transfüzyonu ile Hb yükseltildi. Hastanın genel durumu gittikçe bozuldu. Bilinci kapandı, ağrılı uyaranlara cevabı yoktu. Solunumu yüzeyeldi. patellar reflex ve babinski bilateral (+) di. TA: 70/50 mmHg idi. Tablo metabolik encefalopatiye bağlandı. Dekort 4x4 mg. IV, Reomakrodex 500 cc/gün başlandı. Serum Na: 110 mEq/L bulunduğu için 200 cc 3 % lük NaCl verildi. Lumbal ponksiyonda basınç 14 cm su, BOS berrak, amip (-), 2 adet lökosit olduğu tespit edildi. Verbal uyarınlara gözünü açarak cevap verebiliyordu. Vücutunda yaygın petesi ve ekimozlar çıktı. TA: 60/40 mmHg ya düştü. İntravenöz 750 mg prednizolon verildi. Periferik yaymasında trombosít görülmedi, Burr hücreleri (+), lökositler hakimdi, toksik granülasyon vardı. Taze rektal kanama ve dış etlerinde kanama başladı. Karında distansiyon gelişti, barsak sesleri alınamıyordu. Nazogastrik sondadan hematemez vasisinda ma-

teryal geldi. DIC testleri (+) idi. Kolonda derin ülserasyonlar nedeni ile heparinize edilmedi. Kardiyak arrest oldu. Yapılan resesüstasyona cevap alınmadı.

### *Tartışma*

Dışkı ile çıkarılan Entamoeba histolitika kistleri başkaları için enfeksiyozdur. Dışkı ile pislenmiş sebze, meyve ve sularla bulaşır. Kisterler, trophozoidlerin aksine gastrik aside, suda parçalanmaya, su temizleme sistemlerinde kullanılan klorür konsantrasyonlarına ve oda sıcaklığında beklemeye dayanıklıdır. Pişirme ile ölürlər. Sindirim sisteme giren kisterler, ince barsakta, hazırla açılır. Terminal ileumda dört nükleuslu metakistik amipten dört tane hareketli trophozoid meydana gelir. İşte bunlar hastalığa sebep olur.<sup>13</sup> Hareketli olan trophozoidler çekümde kolonize olurlar. Bunlardan bazıları ankiste olup dışkı ile atılırlar. Diğer bir kısmı; barsak cidarını istila edip 79 % çekal bölgede, 29 % ise rektosigmoid bölgede rastlanan lezyonlara sebep olurlar. Pek nadir olarak, ince barsak ve apandisit'te lezyonlar yapabilirler.<sup>15</sup>

Entamoeba histolitikanın barsakta yerleşip hastalık yapabilmesi için bakterilerin mevcudiyeti söz konusudur. Bakterilerden arındırılmış, E. histolitika ile enfekte edilen kobaylarla yapılan çalışmalar, bakteri olmadıkça barsakta hastalığın gelişmediği gösterilmiştir.<sup>16</sup> Metronidazolun amebiasis tedavisindeki etkisi kısmen anaerobik bakterilere karşı bilinen aktivitesine bağlı olabilir.

Mukozaya yapışan amipler; salgıladıkları dokuları eriten proteolitik enzim yardımıyla dokuyu eritir submukozoya geçerler. Buradan da yanlara yayılabilirler. Buralarda, ağızı dar, bir şişe manzarasında tipik amip ülserlerini meydana getirirler. Amipler ise bu tip ülserlerin, kaide ve kenarlarında bulunurlar. Bazende trophozoidler, barsak cidarında ilerleyip perforasyon ve peritonite sebep olurlar.<sup>1</sup>

Sık görülen diğer bir komplikasyon da amiplerin mezanter venülерinden geçerek karaciğere ulaşmasıyla; amipli hepatit, karaciğer apsesi ve nadirende beyin ve deri apselerine sebep olmasıdır.

Barsak amebiasisin semptomları, bütün kolon hastalıklarını taklit edebilir. Bilhassa ülseratif kolitis ile makroskopik ve mikroskopik olarak birbirinden ayırmak odukça zordur.<sup>20</sup> Histopatolojik olarak dokuda amip görüldüğü takdirde tanı koymak mümkün olur. Kati teşhis için taze dışkıda veya rektosigmoidoskopik muayene ile alınan parçadan E. histolitikanın görülmesiyle konur.<sup>17</sup> Bir çok

laboratuvara parazitolojide yetişmiş eleman yoktur. Bu yüzden örnekler sıkılıkla yanlış yorumlanır. Oda ısısında bırakılabilir. Bu trofozoitlerin erimesine ya da tanınmaz hale gelmesine yol açar.<sup>9</sup> En iyi sonuç için örnekler alındıktan sonraki 1 saat içinde inceleme yapılmalıdır. Gecikme olacağı tahmin ediliyorsa örnekler buzdolabında 4°C de tutulmalı veya formalin ve polivinil alkol fiksatifi içinde korunmalıdır. Düşülen başka bir büyük hata incelemeye etkisi olacak madde-ler almaktan hastalardan alınan örneklerin incelenmesidir.<sup>10</sup>

TABLO I

## PARAZİT İÇİN GAİTA İNCELEMESİNE ETKİLEYEN MADDELER

Antibiotikler	Hipertonik tuz
Tetrasiklinler	Sabun
Sulfonamidler	Musluk suyu
Antiparazitik ilaçlar	Antasidler
Antiprotozoal ilaçlar	Radyolojik kontrast madde
Laksatifler	Baryum sülfat
Castor oil (Hint yağı)	Antidiaretiğ preperatlar
Magnezyum hidroksid	Bizmut
Lavmanlar	Kaolin bileşikleri

Daha önce yapılmış bir çok gaita incelemesi (-) sonuç verdiğinde organizmayı ortaya koymak için rektal biopsi yapılması çok kıymetlidir. Mukoza eksudatı genellikle amip içerir. Eksuda varsa ayrılarak biopsi örneği ile birlikte incelemelidir. Eğer eksuda parazitolojik inceleme için yapılan sigmoidoskopı sırasında elde edildiyse bir cam pipet ya da metal alet kullanılması önemlidir. Çünkü amipler pamuğa yapışırlar.

Amebiasis teşhisi için serolojik testler faydalı ve yardımcıdır. İndirek hemaglutinasyon, indirek immunofloresant, Caunter current immunoelektroforez ve agar jel diffüzyon testleri ekstra intestinal amebiasis tanısında (92–98 %) pozitiftir. Aktif intestinal enfeksiyonda biraz daha az (80–90 %) pozitiftir. Kist çikaran asemptomatik hastalarda ise pozitiflik oranı daha azdır.<sup>9</sup> Amibik karaciğer apsesi olan bir çok hastada, gaita amip içermediği için serolojik inceleme en çok bu hastaların tanısında yararlıdır. Amibik kolitli hastalara steroid<sup>19</sup> verilmesiyle fetal sonuçlar oluşabileceğinden ve bir çok laboratuvara parazitolojik incelemenin kalitesi belirsiz olduğundan iltihabi barsak

hastralarda amebiasis tanısını pekiştirmek için serolojik test yapılması gereklidir. Önümüzdeki bir kaç yıl içinde E. histolitika antikorlarının<sup>5</sup> aynı zamanda gaitada ve karaciğer apseleri aspirasyonunda antikor (Ag) saptanmasında enzyme-linked immunoabsorban assey tekniğinin tanıda çok büyük değer taşıyacağı düşünülmektedir.

Amebiasis Birleşik devletlerde en fazla insandan insana bulaşmaktadır. Dolayısıyle teşhis edilen hastaların ilişkilerinin incelenmesi çok önemlidir.<sup>14</sup>

Bulaşmadaki en büyük risk kist çıkarılan asemptomatik hastalardır. Nadiren veneral bulaşma bildirilmiştir. Fakat hem heteroseksüel hem homoseksüel populasyonda görülebilir.<sup>11</sup>

Amebiasis tedavisinde metronidazole (Flagyl) ile çok iyi neticeler alındığına dair raporlara rastlanılmaktadır.<sup>18</sup> Takdim ettiğimiz vakalardan ikisi bu ilaca çok iyi cevap vermişlerdir. İlacın başlıca yan tesiri ise, ağızda madeni tat, ataksi ve baş dönmesidir. Gebelerde bu ilaç kontrendikedir. Metronidazol kullanılırken, serebellar arazlar görülür ise o vakit ilaç, derhal bırakılmalıdır.<sup>12</sup> Ayrıca metronidazole'ün antabus gibi tesiri olduğundan tedavi süresince hastaların alkol alması icab eder. Metronidazolün farelerde kansinojenik ve bakterilerde mutajenik<sup>12</sup> etkisi vardır.

Vakalarımızdan birinde (vaka 1) emetine bağlı kardiyak şikayetler (Taşkardi) ortaya çıktıığı için ilaç kesilip tedavi metronidazol ile yapılmıştır.

Bilindiği gibi emetin eski bir ilaçtır. İlk defa Rogan.<sup>21</sup> 1912 de bu ilaç amipli kolit ve karaciğer apsesinde kullanılmasını tavsiye etmişti. Bu ilaç miyokarda toksik etki yaptığı için mutlaka hastanede hekim nezaretinde sık EKG kontrolleri ile uygulanmalıdır. Kardiyak hastalığı olduğu bilinen hastalarda emetin veya dehydroemetine kullanılmasından kaçınmak akıllica olur. Eğer 10 haftalık bir Chloroquine kürü düşündülyorsa bu konuda hastaya güvenmek oldukça güstür.<sup>4</sup>

İntestinal amebiasisin çok ağır klinik formu olan fulminant amibik kolitis mevcut anti amibik ilaçlara cevap vermeme genellikle fatal sonlanmaktadır. Takdim ettiğimiz 3 cü vaka da Fulminant seyirli amibik kolitisidir.

Bugün amebiasis tedavisinde çeşitli ilaçlar çeşitli kombinasyonlar halinde kullanılmaktadır. Klinisyen vakasını yakın takip ederek bu ilaçlardan bir veya bir kaçını kullanmak durumundadır.

## KAYNAKLAR

1. Adams, E. B., Macleod, I. N.: Invasive amebiasis. I. Amebic dysentery and its complications 2. Amebic liver abcess and its complications. Medicine:56: 315, 1977.
2. Chang, S. L.: Survival of cysts of Entamoeba histolytica in human feces under low temperature conditions, Am. J., Hlg., 61: 103, 1955.
3. Chhuuttani, P. N.: Amebiasis in conn H. F., Current Therapy Philadelphia Saunders 1970.
4. Cohen, H. G., Reynolds, T. B.: Comparison of metronidazole and chloroquine for the treatment of hepatic liver abscess: a controlled trial. Gastroenterology, 69: 35, 1975.
5. Engvall, E., Perlmann, P.: Enzyme-Linked immunosorbent assay, ELISA. III. Quantitation of specific antibodies by enzyme-Labeled anti-immunoglobulin in antigen-coated tubes. J., Immunol., 109: 129, 1972.
6. Essenhight, D. M., Carter, R. L: Massive necrosis of the colon due to amoebiasis. Gut, 7: 444, 1966.
7. Frederick, R. B., Volkingburg, J. V.: Biopsy proven amebic colitis treated with metronidazole, Henry Ford Hospital Medical, J., 20: 163, 1972.
8. Grossman, W.: Amebiasis in peace corps volunteers. Clinical profile amebiasis in American volunteers in India, Am, J, Gastroenterology, 51: 418, 1969.
9. Healy, G. R.: Laboratory diagnosis of amebiasis. Bull NY Acad Med. 47: 478, 1971.
10. Juniper, K. Jr.: Parasitic diseases of the intestinal tract, Gastroenterologic Medicine. Edited by M. Paulson.
11. Kean, B. H.: Venereal amebiasis. N Y State J. Med. 76: 930, 1976.
12. Kerrison Juniper: Amoebiasis clinics in Gastroenterology. 7: 3, 1978.
13. Kevin, M. C.: Symposium on Amebiasis, Bull N Y Acad Med. 47: 435, 1971.
14. Krogstad, D. J., Spencer, H. C., et al: Amebiasis epidemiologic studies in the United States, Ann Intern Med. (in press).
15. Merdivenci, A.: Türkiye parazitler ve parazitology yayınları, 1970, p. 9.
16. Phillips, B. P., Wolfe, P. A., et al.: Studies on the ameba-bacteria relationship in Amebiasis: Comparative results of the intracecal inoculation of germ free monocontaminated, and conventional guinea pigs with Entamoeba histolytica. Am. J. Trop. Med. Hyg., 4: 675, 1955.
17. Powell, S. J.: Metronidazole in amebic dysentery and amebic liver abscess, Lancet. 2: 1329, 1966.
18. Rolls, I. M.: Drugs used in the chemotherapy of amebiasis in the pharmacological basis of medical therapeutics, Edited by Goodman, L. S, 1970, p. 1133.
19. Stuiver, P. C., Goud, Th. JLM.: Corticosteroids and Liver amoebiasis. Brit. Med. J. 2: 394, 1978.
20. Thus, M. G.: Fatal intestinal amoebiasis. Postgrad. Med. J., 55: 548, 1979.
21. Tuvia, G.: Chronic amebiasis. Am. J. Dig. Dis., 17: 37, 1972.

# Sıçan Pankreasında Dış Salgı Oluşturan Son Kısım Hücrelerinde Açılk ve Tokluğa Karşı Ortaya Çıkan Yapı Değişiklikleri\*

İşık ve Elektron Mikroskopu Düzeyinde İnceleme

**Dr. Deniz Balta\*\***

## *Giriş*

Pankreas bezinin dış salgılama görevli hücrelerinin ürettikleri salgı materyeli, enzim proteinlerini kapsar. Proteinlerin salgılanmasına katılan organeller bu hücrelerde iyi gelişmiştir. Bu bezde dış salgı işleviyle ilgili kısımlar örnek salgı yapısı göstirmeleri nedeniyle şimdide değin yapılan araştırmalar için uygun bir materyel olmuşlardır.<sup>1</sup>

Önceleri ışık mikroskopunun çözüm gücünün sınırlı olması nedeniyle izlenenlerin açıklanması zorluk yaratıp farklı kişisel yorumlara yol açmıştır. Ancak son yıllarda yapılan biyokimya ve elektron mikroskopu düzeyindeki çalışmalar, pankreas dış salgı hücrelerinde salgının oluşma yerlerini ortaya koymuştur.<sup>2, 3, 4</sup>

Pankreas dış salgı hücrelerinde salgılama döngüsünün izlendiği ana evreler ayırdedilebilmiştir. Bezde üretilen enzimlerin artışına bağımlı olarak, salgılanmanın artışı, ya da salgılama hızının değişmediği tartışmalıdır. Bu nedenle farklı ya da alışılmış yöntemler kullanarak salgılamayı uyarmakla protein üretimini ölçümede karıştara ulaşılmıştır.<sup>5</sup>

Uyarılmadan sonraki erken evrelerde protein yapımını salgının biçimlenmesi izler. Sonradan salgı ekzositozla atılır. Hücrenin ne yolla

\* Hacettepe Üniversitesi Tıp Fakültesi Histoloji-Embriyoji Bilim Dalı Çalışmalarından.

\*\* Aynı Fakülte Histoloji-Embriyoji Bilim Dalı Öğretim Görevlisi,

bozulan yüzey zarını yeniden düzenlediği ya da metabolize ettiği açıklikla aydınlanamamıştır.<sup>6</sup>

Pankreas dış salgısı iki farklı bileşigi içerir; alkalen sıvı ve enzimler. Uyarılmanın cinsine bağlı olarak bunların salgı içindeki görelî oranları değişir.<sup>7</sup>

Bol beslenmede pankreas dış salgısı kapsamındaki bikarbonat ve proteinlerin kısa sürede arttığı bildirilmiştir.<sup>8</sup> Tokluk etkisiyle sıçan pankreası son kısım hücrelerinde zimogen granüllerin önemli ölçüde arttığı gösterilmiştir.<sup>9</sup>

Kramer ve Poot,<sup>10</sup> uzun süreli açlıkta pankreas son kısım hücrelerinde devamlı bir protein kaybı olduğunu göstermişlerdir. Devamlı protein atılımının devamlı bir protein sentezi sonucu olduğu ileri sürülmüştür. Açılk süresi uzadıkça apikal sitoplazma zimogen granüllerle dolmaktadır. Buna karşın Morriset ve Webster,<sup>11</sup> uzun süreli açlıkta sıçan pankreası son kısım hücrelerinde protein sentezinin azaldığını saptamışlardır.

Bu çalışmada, beslenmede ve aç bırakılmadan sonra, salgılama olayıyla birlikte onu izleyen hücre içi değişiklikler karşılaştırmalı olarak ışık ve elektron mikroskopu düzeylerinde ayrı ayrı incelendiler. Elde edilen bulgular literatür bulgularıyla karşılaştırılarak değerlendirildiler.

#### *Materiel ve Metotlar*

Bu çalışmada yaklaşık olarak 200 gr ağırlığında 4 adet ergin, Hacettepe Üniversitesi Tıp Fakültesi Deney Hayvanları Araştırma ve Yetiştirme Merkezi'nde üretilmiş İsviçre tipi beyaz erkek sıçanlar kullanıldı. Hayvanların ikisi tok, diğer ikisi 24 saat süreyle yalnızca su verilerek aç bırakıldı. Sıçanlar kalplerine hava verilerek öldürüldüler. Karınları orta çizgiden açılarak pankreasları çıkarıldı. Gövdedenin birbirine yakın orta bölgelerinden alınan organ parçaları, ışık ve elektron mikroskopu çalışmaları için ayrı ayrı işlendirdildiler.

İşık mikroskopu düzeyindeki incelemeler için organ parçaları formol-salin solüsyonunda 24 saat tespit edildikten sonra bilinen yöntemlerle parafin bloklar elde edildi. Kesitler filoksin-metilen mavisi birleşik boyasıyla boyandılar.<sup>12</sup>

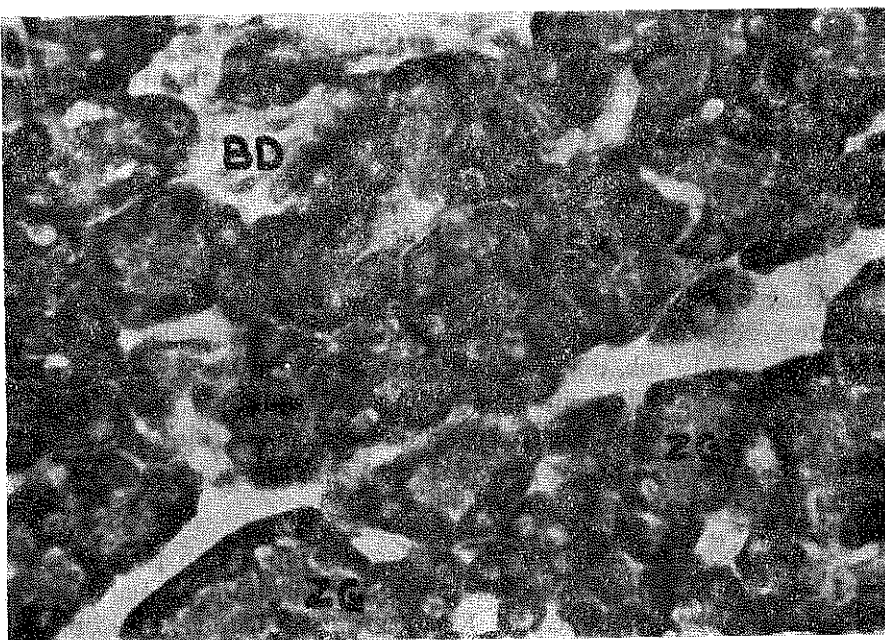
Elektron mikroskopu düzeyindeki incelemeler için doku parçaları 1/15 M fosfat tamponu içindeki % 2,5 gluteraldehit, % 1 akrolein karışımında (pH 7,2) 3 saat birinci kez tespit edildiler. Daha sonra yine aynı tampon içindeki % 1 osmiyum tetroksit solüsyonunda 2 saat süreyle ikinci kez tespit edildiler.<sup>13</sup>

Tespitten sonra dereceli etil alkol serilerinden geçirilerek suyu alınan organ parçaları Araldit'e gömüldüler. İnce kesitler önce kurşun sitrat sonra uranil asetatla ardarda boyandılar. Carl Zeiss 9 S2 ye dönüştürülmüş, EM 9A elektron mikroskobunda incelendiler.

### *Bulgular*

#### **İşik Mikroskopu Bulguları:**

Tok sıçanlarda pankreas dış salgısını oluşturan son kısımlar yuvarlak, oval ya da düzensiz biçimliydi. Son bölüm hücrelerinden bazlarında salgının birikimi belirgindi. Arada salgılama aktif olanlar seçildiler. Son kısımları oluşturan hücrelerde atılmaya hazırlanan zimogen granüllerin apikal sitoplazmada toplandıkları görüldü. Apikal sitoplazmada zimogen granüller asidofil, bazal sitoplazmaya bazofil boyandı. Çekirdekler yuvarlak biçimli çekirdekçikler belirgindi. Orta salgı boşlukları dardı. Son kısımlar arasında ince bağ dokusu bölümleri ayırdedildi (Şekil 1).

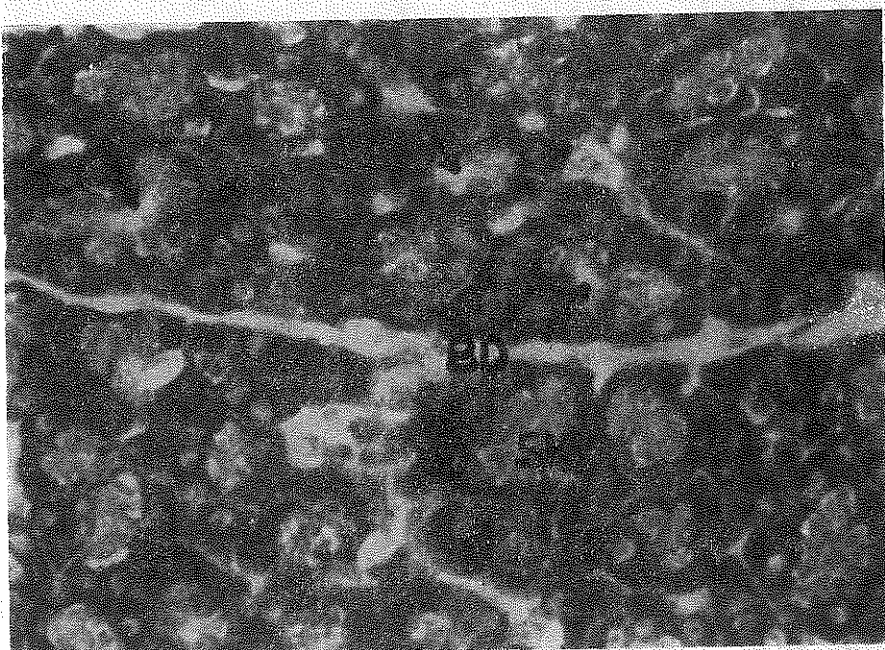


Şekil 1

Tok sıçanların pankreas son kısımları gözleniyor. Bazı son kısımlarda zimogen granüllerin boşalduğu belirgin (oklar). SK, son bölüm; ZG, zimogen granül; BD, bağ dokusu. Filoksin-metilen mavisi. X 40

Aç bırakılmış sıçanların pankreas son bölüm hücrelerinin bazlarında, zimogen granüllerin birikimi belirgindi. Zimogen granüller apikal

sitoplazmada toplandılar. Salgı granülleriley dolu son kısımlar arasında uzun süreli aç bırakılmadan sonra bile salgılamanın olaylandığını belgeleyen son kısımlar dikkat çekti. Bu son kısımlarda orta salgı boşlukları geniştiler. Salgı biriktiren son kısımlardaysa orta salgı boşluğu belirsizdi. Son kısımları birbirinden ayıran ince bağ dokusu bölümleri yer yer seçildi (Şekil 2).



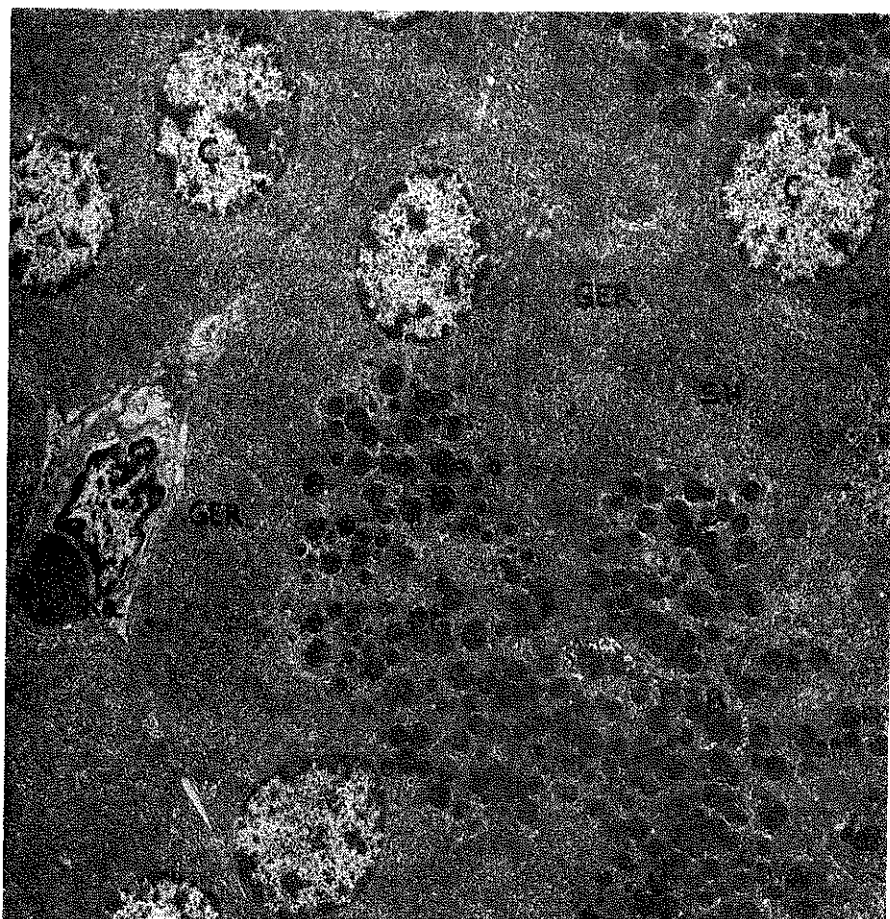
**Şekil 2**

Aç bırakılan sıçanların pankreaslarındaki son kısımlar gözleniyor. Bazı son kısımlarda zimogen granüllerin birikmelerine karşın, diğerlerinde salgı granüllerinin boşaltılmasından sonra orta salgı boşluklarının belirginleştiği seçilmekte (oklar). SK, son kısım; BD, bağ dokusu. Filoksin-metilen mavisi. X 40

#### **Elektron Mikroskopu Bulguları:**

Tok sıçanların pankreaslarında son kısımları oluşturan dış salgı hücreleri tepeleri orta salgı boşluğununa yönelik piramid biçiminde görülürler. Apikal sitoplazmaları homogen, yoğun salgı materyelini kapsayan yuvarlaşmış biçimde zimogen granüllerle doluydu. Aralarında aynı yoğunlukta küçük granüller seçildiler. Oldukça düzenli olan yan yüz hücre zarları boyunca interdigitasyonlar göze çarptı.

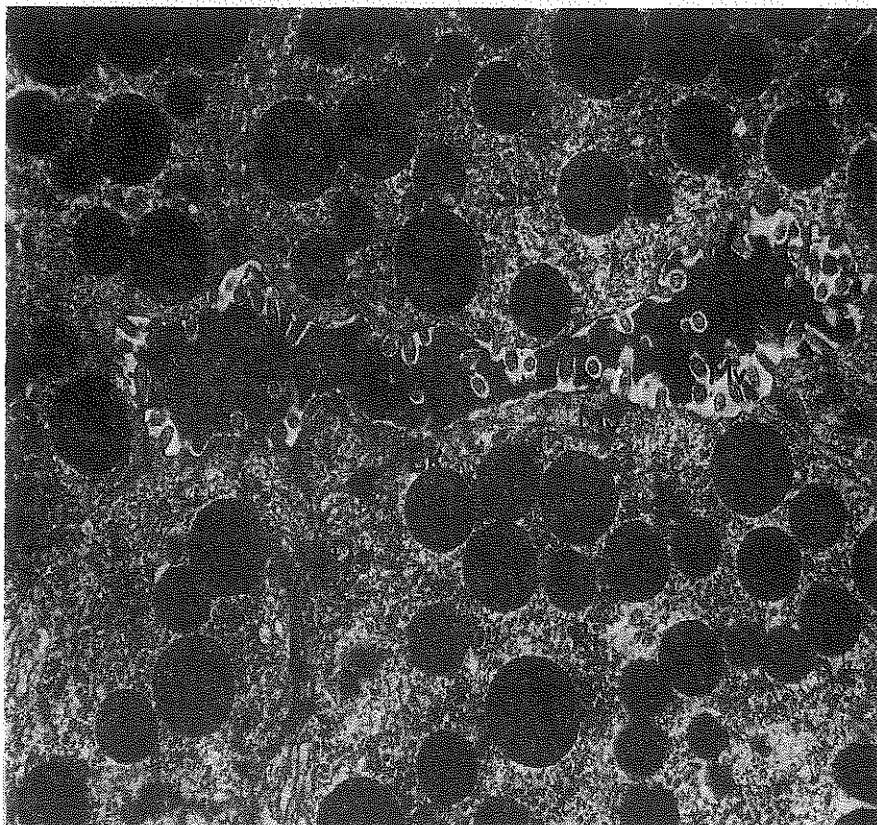
Orta salgı boşluğununa yakın bölümde salgı hücrelerinin bağlantı kompleksleriyle birbirlerine kenetlendikleri ilgiyi çekti (Şekil 3, 4).



Sekil 3

Tok sıçanların pankreas son kısım dış salgı hücreleri ince yapı düzeyinde görülüyor. OSB, orta salgı boşluğu; SH, salgı hücresi; ZG, zimogen granül; GER, granüllü endoplazma retikulumu; Ç, çekirdek; Ka, kapıl. Kurşun sitrat. X 5700

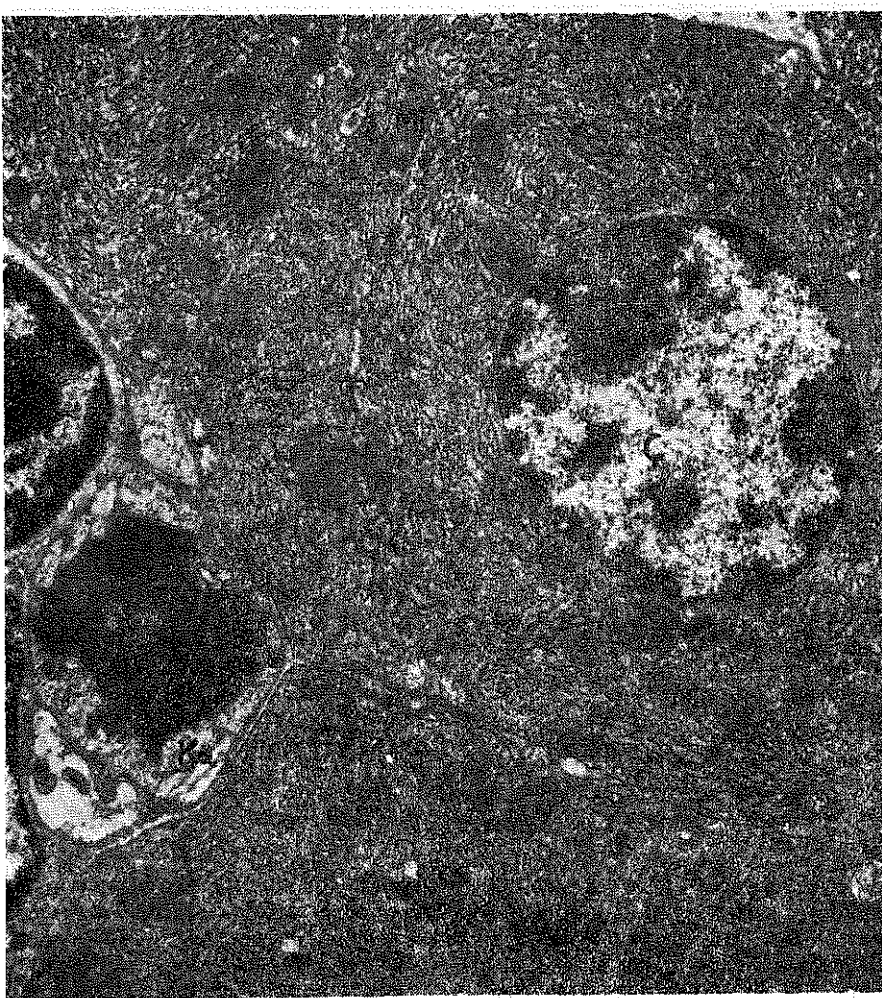
Sitoplazma içinde çekirdekler bazale yakındı; düzgün sınırlı, yuvarlak ya da oval biçimliydiler. Çekirdeklerde iyi gelişmiş çekirdekçikler vardı. Kromatini az yoğundu; çekirdek zarının hemen altında yoğun kitleleri gözlemlendiler (Şekil 3, 5). Sitoplazma bazal ve yan bölgeleri birbirine paralel düzenlenme gösteren endoplazma retikulumu sarnıçlarıyla sıkıca doldurulmuştu. Zimogen granüller arasındaki sitoplazma bölmelerinde granüllü endoplazma retikulumu sarnıçlarıyla bağımsız ribozomlar izlendi. Granüllü endoplazma retikulumu sarnıçlarının ince tanecikli materyelle dolu olduğu dikkati çekti. Zimogen granüllerin, hücre bazalinde granüllü endoplazma retikulumu sarnıçlarının arasında yerleşmiş olan mitokondriyonlar oval biçimliydiler (Şekil 3, 4, 5, 6).



Şekil 4

Tok sıçanların pankreas son kısımlarını çevreleyen hücrelerin orta salgı boşluğununa bakın apikal bölümlerinin ayrıntılı yapısı gözleniyor. Orta salgı boşluğu zimogen granül kapsamına eş bir salgıyla dolu (oklar). Bazi zimogen granüllerin birbirleriyle birleşmekte olduğu belirgin (çift oklar). OSB, orta salgı boşluğu; SH, salgı hücresi; BK, bağlantı kompleksi; De, desmozom; ZG, zimogen granül; Mv, mikrovillus; Mf, mikrofilaman; Ri, ribozom, Kurşun sitrat. X 25500

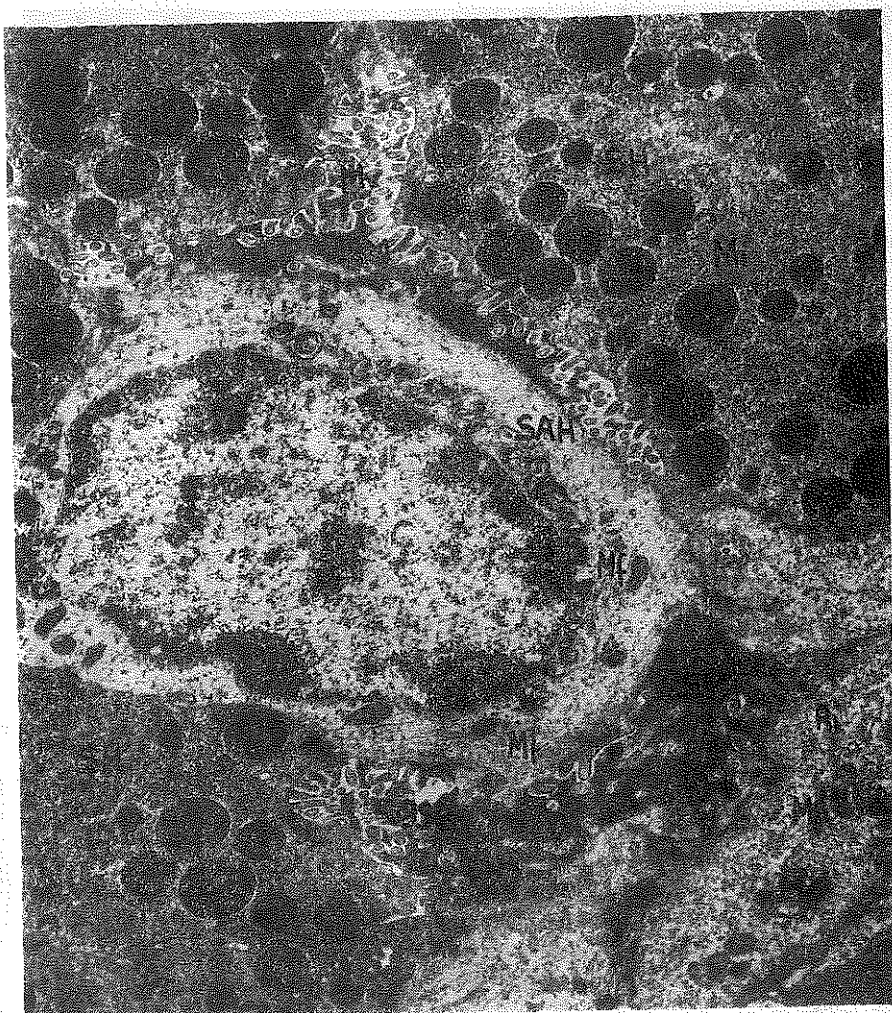
Salgılanmanın olgeldiğini belgeleyen son kısımlarda orta salgı boşluklarının genişlediği belirgindi. Orta salgı boşüğunu çevreleyen apikal yüz hücre zarı boyunca kısa, düzensiz mikrovilluslar gözlandı. Orta salgı boşluklarının zimogen grünül kapsamına eş materyelle dolu olduğu dikkati çekti (Şekil 4). Bazi son kısımların orta salgı boşluğununa sentroasiner hücreler sarkmıştı. Boşluğun içi yoğun homogen salgı materyeliyle doluydu. Sentroasiner hücrelerin sitoplazmalarında, bol bağımsız ribozomlar, seyrek dağılmış granüllü endoplazma retikulumu sarnıçları küçük yuvarlak ya da oval biçimli mitokondriyonlar ayırdıldıdiler. Bunlar arasında ince filamanlar seçildiler. Çekirdeği büyük, oval biçimli ve ökromatikti (Şekil 6).



Şekil 5

Tok sıçanların pankreasında son kısım hücrelerinin bazal sitoplazma bölümünün ayrıntıları sergileniyor. GER, grantüllü endoplazma retikulumu; Mi, mitokondriyon; Ç, çekirdek; Ka, kapıl, Kurşun sitrat. X 25500

Son kısımları oluşturan dış salgı hücrelerinde, apikal sitoplazmada yerlesik Golgi kompleksi, granüllü endoplazma retikulumuna bitişik bölümde birbiri içine geçmiş uzun-dar sarnıçlardan oluşmuştu. İç bölümde küçük örtülü ve örtüsüz keseciklerle birarada iç yüz sarnıçlarından koparak ayrılan ya da ayrılmakta olan çift zarla çevrili, farklı büyütülükteki olgunlaşmakta olan granüller gözlemlendiler. Kapsamları ince tanecikliydi (Şekil 7).

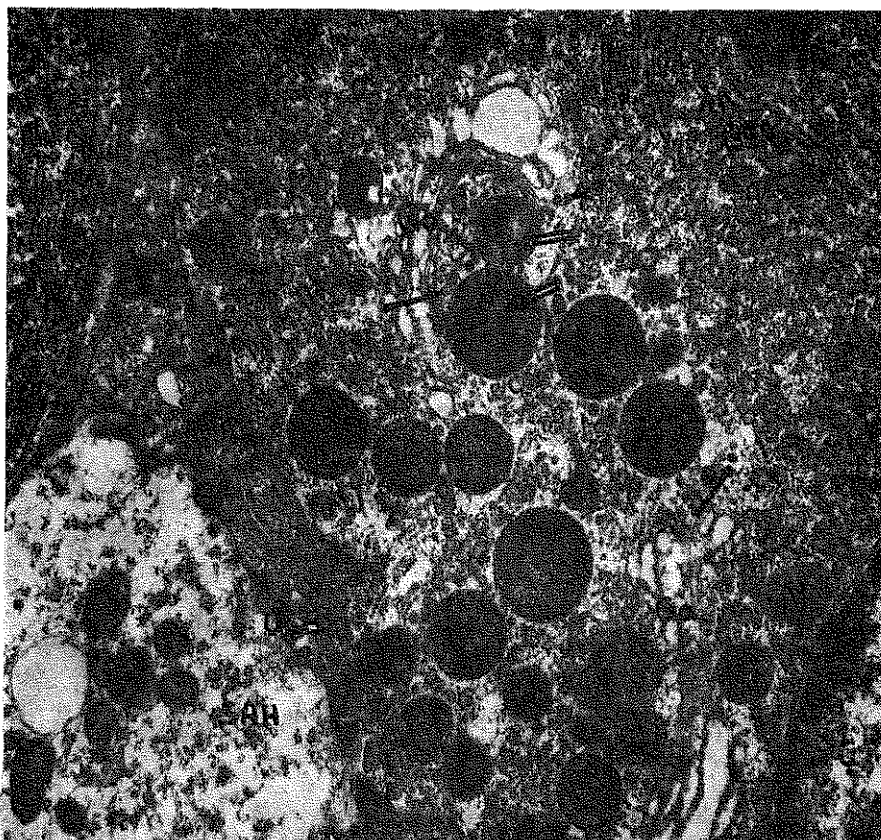


Şekil 6

Tok sıçanların pankreasında son kısım, orta salgı boşluğu ve içerisinde sarkmış sentroasiner hücreler gözleniyor. OSB, orta salgı boşluğu; SH, salgı hücresi; ZG, zimogen granül; SAH, sentroasiner hücre; Ç, çekirdek; Mf, mikrofilaman; Mi, mitokondriyon; Mv, mikrovillus SM, salgı materyeli; Ri, ribozom. Kurşun sitrat. X 25500

Son kısımlar arası bağ dokusu bölmeleri çok inceydi. Son kısımları oluşturan dış salgı hücrelerinin bazalden kan kapillerleriyle yakın komşulukta oldukları dikkati çekti (Şekil 3, 5).

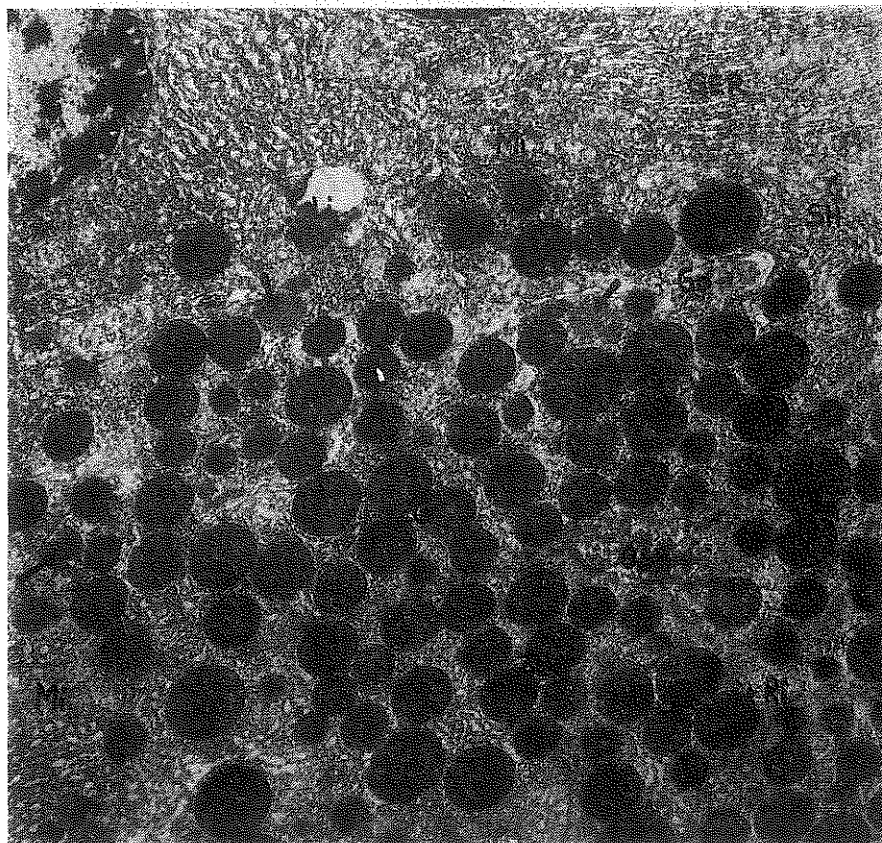
24 saat süreyle aç bırakılmış sıçanların pankreas son kısımlarını oluşturan dış salgı hücrelerinin apikal sitoplasmalarının eş yoğunlukta zimogen granüllerle dolu olduğu göze çarptı. Orta salgı boşlukları sentroasiner hücrelerin bulunmadığı kesitlerde daralmış olup, içleri yoğun salgı



Şekil 7

Tok sıçanlarda pankreas son kısım hücrende apikal sitoplazmadan ayrıntılı bir görünüm. Birbirine paralel Golgi sarnıçları, örtülü-örtüsüz keseciklerle (oklar), olgunlaşmakta olan granüller gözleniyor (çift oklar). OSB orta salgı boşluğu; ZG, zimogen granül Go, Golgi kompleksi; Mi, mitokondriyon; SAH, sentroasiner hücre; Ç, çekirdek; GER, granüllü endoplazma retikulumu. Kurşun sitrat. X 25500

materyeliyle doluydu (Şekil 8). Orta salgı boşluğu çevresinde toplanmış zimogen granüllerin çapları farklıydı (Şekil 8, 9, 10). Aralarında yer yer olgunlaşmakta olan granüllerin varlığı dikkati çekti (Şekil 8). Çekirdek yakınında zimogen granüller arasında lizozomlar belirgindi. Hücrelerin bazıyla yan sitoplazma bölgelerinde granüllü endoplazma retikulumu yaygındı; sarnıçlar paralel düzendeydiler (Şekil 8, 9). Zimogen granüller arasında bağımsız ribozomlarla granüllü endoplazma retikulumu sarnıçları belirgindi (Şekil 8). Hücre bazalleri kan kapillerleriyle yakın ilişki içindeydi (Şekil 9).



Şekil 8

Aç sıçan pankreasında bir son kısmı çevreleyen hücrelerin ayrıntılı yapıları gözleniyor. Oklar, olgunlaşmakta olan granüller; OSB, orta salgı boşluğu; SH, salgı hücresi; ZG, zimogen granül; Go, Golgi kompleksi; Mi, mitokondriyon; Li, lizozom; GER, granüllü endoplazma retikulumu; Ri, ribozom. Kurşun sitrat. X 14100

### *Tartışma*

Pankreasın sindirimde işlev gören dış salgı bölümü, son kısım (acinus, alveolus) ve kanallar sisteminden oluşmuştur. Pankreas parankimmasını oluşturan son kısımlar kabaca yuvarlak biçimlidir. Son kısımları oluşturan hücreler yüksek boylu prizmatik ya da piramidal şekillidir. Hücreler kesintisiz bir bazal lamina üzerine otururlar, kutuplaşmaları belirgindir. Hücrenin bazalinde bir ya da iki çekirdek yer alır. Çekirdekler yuvarlak ya da oval şekilli olup, kromatin iç çekirdek zarı boyunca yer yer yoğunlaşmalar gösterir. Çekirdeklerde çoğulukla bir ya da iki çekirdekçik izlenir.<sup>1, 14-16</sup>

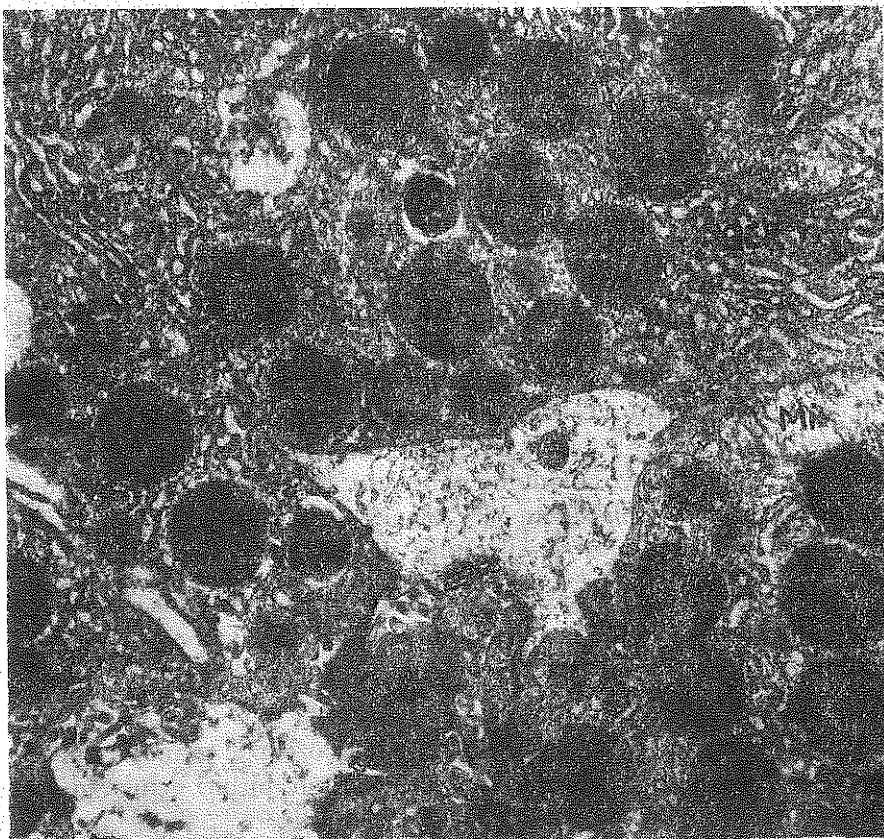


Şekil 9

Aç sıçan pankreasında son kısım ince yapısı gözleniyor. OSB, orta salgı boşluğu; SH, salgı hücresi; G, çekirdek; ZG, zimogen granül; GER, granüllü endoplazma retikulumu; Li, lizozom; SAH, sentroasiner hücre; Ka, kapıl. Kurşun sitrat. X 5700

Çekirdek çevresi ve tüm bazal sitoplazmada birbirine paralel dizi-lim gösteren granüllü endoplazma retikulumu yer alır.<sup>1, 14, 17, 18</sup> Pankreas dış salgı hücrelerinde dondurma-kırma yöntemiyle granüllü endoplazma retikulumu duvarlarında pencerelemeler izlenmiştir. Bunların sarnıç içinde toplanan salgı ürününün yönlendirilmesinde işlev görebileceği öne sürülmüştür.<sup>19</sup>

Cok sayıda bağımsız ribozom ve polizomlar sitoplazma içinde dağılmışlardır. İyi gelişmiş bir ya da birden fazla Golgi kompleksi, çekirdek



Şekil 10

Aç bırakılmış siğanların pankreaslarındaki son kısmı hücrelerinin orta salgı boşluğuna bakan bölümlerinin ayrıntılı yapıları gözeleiyor. OSB, orta salgı boşluğu; ZG, zimogen granül, GER, granüllü endoplazma retikulumu; Mi, mitokondriyon. Kurşun sitrat. X 25500

çevresinde ya da üst sitoplazma bölümünde zimogen granüller arasında izlenir. Düz yüzlü dar ve uzun sarnıçlarla, keseciklerden oluşmuştur.<sup>4, 14, 17, 20</sup> Golgi kompleksi sahasında ve zimogen granüller arasında birleşik tubuler cisimler tanımlanmış ve bunların salgı granüllerinin atılımıyla ilişkili olabileceği öne sürülmüştür.<sup>21</sup> Mitokondriyonlar çoğunlukla hücrenin basal bölümünde granüllü endoplazma retikulumu arasında yerleşmişlerdir. Az olarak Golgi kompleksi sahasında ve zimogen granüllerin yaygın olarak izlendiği sitoplazmanın üst bölümünde bulunurlar. Yuvarlak, oval ya da uzun biçimdedirler. Basal sitoplazmada granüllü endoplazma retikulumu arasında küçük gruplar halinde yuvarlak lipid damlacıkları izlenir.<sup>1, 14</sup> Ayrıca Golgi kompleksi sahasında küçük, yoğun cisimler (lizozomlar) bulunmaktadır.<sup>22</sup>

Son kısım hücreleri yan yüzlerinden bağlantı kompleksleriyle bir-birlerine kenetlenmişlerdir.<sup>17, 23</sup> Hücrelerin yan yüzleri boyunca uzanan salgı kanalcıkları vardır. Düzenli hücrelerarası aralıklar, bazan hücrelerarası salgı kanalcıklarına doğru genişlerler. Orta salgı boşluklarında genellikle az miktarda yoğun homogen bir materyel bulunur. Duvarlarında düzensiz mikrovilluslar izlenir. Her hücrelerarası salgı kanalçığının orta salgı boşluğununa açılmasını kontrol eden bir sıkı bağlantı kompleksi vardır.<sup>24</sup>

Salgı kanallarının başlangıcı olan son kısım orta salgı boşlığunda, çoğunlukla boyun bölümünü oluşturan sentroasiner hücreler gözlenir. Sentoasiner hücreler yapica son kısım hücrelerinden farklıdır. Sitoplazmaları açık renktir. Çekirdek yuvarlak ya da oval şekilli, kromatin dağılımı gevşektir. Sitoplazmada küçük mitokondriyonlar, az sayıda granüllü endoplazma retikulumu sarnıçları, yaygın ribozom toplulukları ve az gelişmiş Golgi kompleksi izlenir. Orta salgı boşluğununa bakan üst yüzde mikrovilluslar ve silyumlar yaygın olarak bulunur.<sup>17, 24</sup>

Bol beslenmede pankreas dış salgısı kapsamındaki bikarbonat ve proteinlerin kısa sürede arttığı bildirilmiştir.<sup>8</sup> Tokluk etkisiyle sıcan pankreasi son kısım hücrelerinde zimogen granüllerin önemli ölçüde arttığı gösterilmiştir.<sup>9</sup>

Besin veriminin son kısım hücrelerinde özellikle granüllü endoplazma retikulumunu etkilediği ve sarnıçlarının birbiri içine geçmiş daire biçimini yapılar olarak izlendiği bildirilmiştir.<sup>25</sup>

Bu araştırmada ışık ve elektron mikroskopu düzeylerinde tok sıcanların pankreaslarındaki son kısımların yapıları yukarıda tanımlananlarla genel uyum içinde gözlenmiştir. Tokluk etkisiyle dış salgı hücrelerinde zimogen granüllerin birliği saptanmıştır. Son kısım hücrelerinde salgı birikiminin yanısıra salgılanmanın devam edegeldiği de izlenmiştir. Oldukça geniş orta salgı boşluklarının zimogen granül içeriğiyle aynı yoğunlukta atılan salgı materyeliyle dolu olduğu gözlenmiştir. Salgı yapımının sürdürdüğü hücrelerde granüllü endoplazma retikulumu iyi gelişmiş olup, ona komşu genişlemiş Golgi kompleksi sahasında granülerin biçimlendiği seçilmiştir.

Kramer ve Poort,<sup>10</sup> uzun süreli açılıkta pankreas son kısım hücrelerin de devamlı bir protein kaybı olduğunu göstermişlerdi. Devamlı protein atılımının devamlı bir protein sentezi sonucu olduğu ileri sürülmüştür. Açıkh süresi uzadıkça apikal sitoplazma zimogen granüllerle dolmaktadır. Buna karşın Morriset ve Webster,<sup>11</sup> uzun süren açılıkta sıcan pankreasi son kısım hücrelerinde protein sentezinin azaldığını saptamışlardır.

Bu araştırmada aç bırakılmış sıçanlarda son kısımların ince yapıları yukarıda tanımlananlarla uyumludur. Açı bırakılmaya bağlı olarak salgı hücrelerinin granüllerini biriktirdiği, uzun süreli açılıkta hücre içi yıkımla ilgili lizozomların belirdiği izlenmiştir. Zimogen granül birikimi nedeniyle orta salgı boşluklarının daraldığı ilgiyi çekmiştir. Salgılamanın süregeldiği son kısımlarda orta salgı boşluklarının genişlediği saptanmıştır. Golgi kompleksinin, zimogen granüller arasında yayıldığı gözlenmiştir.

Son kısım dış salgı hücrelerinin sitoplasmalarının üst bölümünün olgunlaşmakta olan öncül granüller ve olgun zimogen granüllerle dolu olduğu bildirilmiştir.

Olgun zimogen granüller düzgün yuvarlak biçimdedirler. Düz yüzlü tek zarla çevrili ve homogen elektron yoğun materyel kapsarlar. Olgunlaşmakta olan granüller düzgün olmayan biçimde ve zimogen granüllerden daha düşük yoğunlukta izlenirler.<sup>1,14</sup> Shapio ve Lazarus,<sup>26</sup> zimogen granül zarının devamlı olmadığını yer yer çöküntüler gösterdiğini ve zar açıklıklarına yerleşmiş küçük kesecikler tanımlamışlardır. Atılmasına hazırlanan zimogen granüllerin birbirleriyle birleşebildikleri bildirilmiştir.<sup>14</sup>

Bu araştırmada da zimogen granüller daha önce bildirildiği gibi izlenmiştir. Granül zarının tam olduğu saptanmıştır. Apikal sitoplazmada toplanan zimogen granüller düzgün şekilli ve yoğun homogen olarak izlenmiştir. Golgi kompleksiyle yakın ilişkili olan olgunlaşma sürecindeki granüllerin kapsamlarının açık renkli ve kaba tanecikli olduğu seçilmiştir. Açı ve tok sıçanların pankreas son kısım dış salgı hücrelerinin ince yapı özelliklerinde belirgin bir farklılık gözlenmemiştir. Hücrelerde açılık ve toplukta birikimin yanısıra atılım ve oluşumun olaylandığını sergileyen yapı değişimleri bir arada izlenmiştir. Apikal sitoplazmada toplanan zimogen granüllerin yer yer birbirleriyle birleşebildikleri gözlemlenmiştir.

Pankreas son kısım dış salgı hücrelerinde salgılama işlevinin izlediği evreler; salgı ön maddelerinin hücreye alınması, birleştirilmesi, hücre içi taşınma ve depolanma olarak tanımlanabilir. Bu sırada önemli hücre organelleriyle yakın ilişkili olarak sürer.<sup>27,28</sup> Bu evreler birbirinden bağımsız değildir. Salgı oluşturan hücrelerin tümünün uyarılardan eş zamanlı olarak etkilenmeleri beklenemez. Uzatılmış uyarılmalardan sonra bile, son kısım hücrelerinin salgı granüllerinin tüm olarak boşaldığı gösterilememiştir. Zimogen granüllerin çokluğuyla enzim salgılanması birbirleriyle yakından ilişkilidir.<sup>29</sup> Pankreas son kısım hücrelerinde salgıının yapımı sürekliidir. Atılımla birlikte yeniden yapım ve birikim gözlemlenbilir.<sup>30</sup>

Kramer ve Poort<sup>32</sup>, ve Kramer ve Tan<sup>30</sup>, açıkta ve uyarılmadan sonra Langerhans adaları çevresindeki son kısımlarda (periinsuler acini) zimogen granül boşalmasının olmadığını saptamışlardır (Halo fenomeni). Ancak protein yapımının her iki tür kısımda da aynı yolu izlediği bildirilmiştir. Salgılanmanın olaylanmasında, değişmeyen hızda, sürekli bir protein üretiminin yer aldığı saptanmıştır.<sup>5</sup> Seröz türde salgı üreten dış salgı bezlerinde salgılanmanın olaylanması (orta salgı boşluğununa atılım), özgün olarak zar birleşip kaynaşması olarak bilinen bir olaydır; granül zarıyla üst yüz hücre zarının birleşmesi, incelmesi, bazı katlarının kaybolması ve yırtılmasından sonra granül içeriğinin dışarıya boşaltılmasıdır.<sup>6, 32</sup> Granül zarı ancak hücre zarıyla birleştirebilir. Bunun dışında granül zarları ancak birbirleriyle birleşirler; böylelikle birden fazla granülün birbirini izleyen boşalmış olayları.<sup>33</sup> Tek bir granülün atılımindan daha fazla salgı orta salgı boşluğununa verilir. Birleşme yapan her iki zarda birbirleriyle ilişkili karşılıklı alıcı bölgeler vardır. Bunlar birleşmeden önce birbirleriyle etkileşirler.<sup>6</sup> Birleşme orta salgı boşluğununa bakan hücre yüzey zarının sınırlı bir bölgesinde olayır. Atılımın seçici yerleşiminin hücre üst yüz zarının özelliklerine bağlı olup olmayacağı kesin bilinmemektedir. Dondurma kırma yöntemiyle orta salgı boşluğununa bakan üst yüz hücre zarının diğer zar bölgelerinden farklı yapıda olduğu gösterilmiştir. Bu zar işlev yönünden ilişkili olduğu zimogen granül zarına benzemektedir.<sup>34</sup>

Seröz türde salgı üreten hücrelerde, granül atılmasıyla zar yitirmesi söz konusu değildir. Aksine zar eklenmesi olaylanmaktadır.<sup>1, 32</sup> Salgı yapan pek çok hücrede atılımın olaylanması  $\text{Ca}^{++}$  iyonunun ve enerjinin gerekli olduğu kesinlikle kanıtlanmıştır. Protein yapımı olmaksızın atılım sürer.<sup>6</sup> Salgı granülüne zarıyla üst yüz hücre zarının birleşmesi sonucu orta boşluğu büyür ve enzim salgılanmasıyla eş zamanlı olarak salgı granüllerinin atılımı olayır. Orta salgı boşluğu hareketli küçük keseciklerin hücre içine dönmesiyle daralır. Hücre ve granül zarları ekzositoz olayına katıldığından iki zardan hangisinin kaynaşma olayını başlatarak granül kapsamının hücre dışına atılmasını sağladığı sorunu ortaya çıkmaktadır.<sup>35</sup> Normal ve uyarılmış koşullarda salgı granüllerinin atılımında rol oynayan yapının yalnızca zarı olmadığı, granülünde bunda aktif rol oynadığı ve yalancı ayaklar çıkarak amoboid hareketlerle orta salgı boşluğu zarına doğru ilerleyip onunla birleştiği bildirilmiştir. Yalancı ayakların moleküller mekanizması bilinmemekle birlikte amoboid hareket aktin benzeri mikrofilamanlar sistemiyle ilişkili görülmektedir.<sup>35</sup>

Bu çalışmada tok ve aç sıçanlarda pankreas son kısım hücrelerinde zimogen granüllerin atılma sürecinde apikal hücre zarıyla granül zarı arasındaki ilişkiler iyi belirlenemedi.

## Özet

Bu çalışmada, sıçan pankreasında dış salgı oluşturan son kısım hücrelerinde açlık ve tokluk etkisiyle ortaya çıkan yapı değişiklikleri ışık ve elektron mikroskopu düzeylerinde karşılaştırmalı olarak incelendiler. Tokluk ve açlıktan sonra alınan organ parçaları ışık ve elektron mikroskopu incelemeleri için ayrı ayrı işlenildirildiler.

Aç ve tok sıçanların pankreaslarındaki son kısım dış salgı hücrelerinin karşılıklı olarak ışık ve elektron mikroskopu düzeylerindeki incelemelerinde birbirinden pek farklı olmayan yapı değişiklikleri oldu. Hücrelerde biriktirmeyle birlikte boşaltma ve üretimin süregeldiği saptandı.

## KAYNAKLAR

1. Nevalainen, T. J.: Effects of pilocarpine stimulation on rat pancreatic acinar cells. An electron microscopic study with morphometric analysis. *Acta. Path. Microbiol. Scand.*, 210: 1, 1970.
2. Jamieson, J. D., Palade, G. E.: Intracellular transport of secretory proteins in the pancreatic exocrine cells. I. Role of the peripheral elements of the Golgi complex. *J. Cell. Biol.*, 34: 577, 1967.
3. Jamieson, J. D., Palade, G. E.: Intracellular transport of secretory proteins in the pancreatic exocrine cell. II. Transport to condensing vacuoles and zymogen granules *J. Cell. Biol.*, 34: 597, 1967.
4. Jamieson, J. D., Palade, G. E.: Intracellular transport of secretory proteins in the pancreatic exocrine cell. IV. Metabolic requirements. *J. Cell Biol.*, 39: 589, 1968.
5. Reggio, H., Cailla-Deckmyn, H., Marchis-Mouren, G.: Effect of pancreozymin on rat pancreatic enzyme biosynthesis. *J. Cell. Biol.*, 50: 333, 1971.
6. Palade, G. E.: Intracellular aspects of the process of protein synthesis. *Science*, 189: 347, 1975.
7. Davenport, H. W.: Physiology of the Digestive Tract. Year Book Medical Publishers. IV. Baskı, 1977, s. 129.
8. Shaw, H. M., Heath, T. J.: The phases of pancreatic secretion in rats. *Q. J. Exp. Physiol.* 58: 229, 1973.
9. Poort, C., Kramer, M. F.: Effect of feeding on the protein synthesis in mammalian pancreas. *Gastroenterology*, 57: 689, 1969.
10. Kramer, M., Poort, C.: Unstimulated secretion of protein from rat exocrine pancreas cells. *J. Cell Biol.*, 52: 147, 1972.
11. Morriset, J. A., Webster, P. D.: Effect of fasting and feeding on protein synthesis by the rat pancreas *J. Clin. Invest.*, 51: 1, 1972.
12. Ambrogi, P. L.: Manual of Histologic and Special Staining Technics. II. baskı. McGraw-Hill, 1960, s. 31.
13. Bluemink, J. G., Maurik, P., Lawson, K.: Intimate cell contacts at the epithelial-mesenchymal interface in embryonic mouse lung. *J. Ultr. Res.*, 55: 257, 1976.
14. Bloom, W., Fawcett, D. W.: A text book of Histology. W. B. Saunders Comp, X. baskı. 1975, s. 726.
15. Rhodin, J. A. G.: Histology a Text and Atlas. Newyork, Oxford University Press, London Toronto, 1974, s. 594.

16. Ruch, T. C., Patton, H. D.: Physiology and Biophysics. 19th Ed. W. B. Saunders Company. 1965., s. 989.
17. Kern, H. F., Ferner, H.: Die Feinstruktur des exokrinen pankreas gewebes vom menschen. Z. Zellforsch. Mikr. Anat., **113**: 322, 1971.
18. Weiss, J. M.: The ergastoplasm: Its fine structure and relation to protein synthesis as studied with the electron microscope in the pancreas of the Swiss albino mouse. J. Exp. Med., **98**: 607, 1953.
19. Orci, L., Perrelet, A., Like, A. A.: Fenestrae in the rough endoplasmic reticulum of the exocrine pancreatic cells. J. Cell Biol., **55**: 245, 1972.
20. Slot, J. W., Geuze, J. J., Poort, C.: Synthesis and intracellular transport of protein in the exocrin pancreas of the frog (*Rana esculenta*). I. An. Ultrastructural and autoradiographic study. Cell. Tiss. Res., **155**: 135, 1974.
21. Legg, P. G.: Electron microscopic studies on compound tubular bodies in acinar cells of cat pancreas. J. Anat., **103**: 359, 1968.
22. Sobel, H. J., Arvin, E.: Localization of acid phosphatase activity in rat pancreatic acinar cells: A light and electron microscopic study. J. Histochem. Cytochem., **13**: 301, 1965.
23. Metz, J., Merlo, M., Billich, H., Forssmann, W. G.: Exocrine pancreas under experimental condition. IV. Alteration of intercellular junctions between acinar cells following pancreatic duct ligation. Cell. Tiss. Res., **186**: 227, 1978.
24. Baradi, A. F., Barandis, D. J.: Observations on the morphology of pancreatic secretory capillaries. Z. Zellforsch. Mikr. Anat., **101**: 568, 1969.
25. Tigyi, A., Montsko, T., Komaromy, L., Lissak, K.: Comparative ultrastructural analysis of the mechanism of secretion. Acta. Physiol. Acad. Sci. Hung., **33**: 127, 1968.
26. Shapio, S. H., Lazarus, S. S.: Membrane discontinuities and secretory granule formation in rabbit pancreatic acinar cells. Exp. Molec. Path., **6**: 320, 1967.
27. Caro, L. G., Palade, G. E.: Protein synthesis, storage and discharge in the pancreatic exocrine cell. J. Cell. Biol., **20**: 473, 1964.
28. Meldolesi, J., Jamieson, J. D., Palade, G. E.: Composition of cellular membranes in the pancreas of the guinea pig. I. Isolation of membrane fractions. J. Cell Biol., **49**: 109, 1971.
29. Frexinos, J., Boucard, J. P., Augier, D., Ribet, A.: Ultrastructural study of exocrine pancreas of the dog after stimulation with pancreozymin. Biol. Gastroentreol., **1**: 13, 1970.
30. Kramer, M. F., Poort, C.: Protein synthesis in the pancreas of the rat after stimulation of secretion. Z. Zellforsch. Mikr. Anat., **80**: 475, 1968.
31. Kramer, M. F. Tan, H. T.: The peri-insular acini of the pancreas of the rat. Z. Zellforsch. Mikr. Anat., **80**: 163, 1968.
32. Parks, H. F.: Morphological study of the extrusion of secretory materials by the parotid glands of mouse and rats. J. Ultrastructure. Res., **6**: 449, 1962.
33. Ichikawa, A.: Fine structural changes in response to hormonal stimulation of the perfused canine pancreas. J. Cell. Biol., **24**: 369, 1965.
34. Camilli, P., Pelucchetti, D., Meldolesi, J.: Structural difference between luminal and lateral plasmalemma in pancreatic acinar cells. Nature, **248**: 245, 1974.
35. Selinger, Z., Shiloni, Y., Schramm, M.: Modification of the secretory granules during secretion in the rat parotid gland. Adv. Cytopharmacology, **2**: 23, 1974.

HACETTEPE

# TIP / CERRAHİ BÜLTENİ

CİLT 14 / SAYI 3 / TEMMUZ 1981

## Malign Tümörlerde Üriner Diversiyon Olarak Nefrostominin Yeri

Dr. Atif Akdaş\* / Dr. Yaşař Bedük\*\* / Dr. Doğan Remzi\*\*\* /  
Dr. Çelik Taşar\*\*\*\*

### Giriş

Üst üriner sistem obstrüksiyonu yapan primer veya metastatik pelvik tümörlü hastalarda, klinisyenin en sık karşılaştığı problem üriner diversiyon kararıdır.<sup>1</sup> Tek veya iki taraflı üreter obstrüksiyonuna neden olan pelvik tümörler, kadınlarda sıklıkla serviks kanserleri ve over tümörleri, erkeklerde ise prostat kanserleri ve mesane tümörleridir. Ayrıca gastrointestinal ve sinir sistemlerine ait tümörler de obstrüksiyona neden olabilirler.<sup>1, 2</sup> Bu obstrüksiyon sonucu gelişebilecek üremeyi önlemek, hastalara daha kaliteli bir yaşam tarzı sağlamak, ve de tümöre yönelik tedaviyi uygulayabilmek için nefrostomi en geçerli bir supravezikal diversiyon yöntemidir. Nefrostomi kararı verirken klinisyenin göz önünde tutması gereken kriterler şunlardır: (1) Primer tümöre bağlı gelişen komplikasyonların derecesi, (2) Hastane dışında beklenen yaşam süresi, (3) Primer tümöre yönelik tedaviyi uygulayıp uygulayamayacağı.<sup>3</sup>

### Materiyal ve Metot

Hacettepe Üniversitesi Tıp Fakültesi Uroloji Kliniğinde 1967-1981 yılları arasında yaygın pelvik malignansİYE bağlı üst üriner sistem obstrüksiyonu nedeniyle 25 hastaya tek veya iki taraflı nefrostomi yapılmıştır. Bu 25 hastanın 21'i primer, 4'ü ise sekonder pelvik tümörlü hastalardır.

\* Hacettepe Üniversitesi Tıp Fakültesi Uroloji Bilim Dalı Doçenti.

\*\* Aynı Fakülte Uroloji Bilim Dalı Asistanı

\*\*\* Aynı Fakülte Uroloji Bilim Dalı Profesörü.

\*\*\*\* Aynı Fakülte Uroloji Bilim Dalı Uzmanı.

Çalışma kapsamına alınan hastaların 15'i erkek, 10'u kadındır. Yaş sınırları 14 ile 79 arasında olup, ortalaması 46.9 olarak bulunmuştur. Hastaların, tümörün primer lokalizasyonlarına göre dağılımları şöyledir: 10 mesane tümörü, 6 serviks karsinomu, 2 prostat karsinomu, 2 lenfoma, 1 kordoma, 1 rektum karsinomu, 1 nörofibrosarkom, 1 testis tümörü ve 1 hipernefroma (Tablo I). Bu hastaların 6'sında nefrostomi öncesi renal fonksiyon bozukluğu saptanmamış, geri kalan 19'unda (% 76) ise kan üre azotu % 30 mg/dl üzerinde bulunmuştur. Bir hastada preoperatif hiperkalemi nedeniyle acil tedavi (peritoneal dializ) gerekliliğinin ve genel durumu düzeldikten sonra nefrostomi konmuştur. Böbrek fonksiyonları normal veya normale yakın olup, İVP yapılabilen 8 hastanın 2'sinde tek, 6'sında iki taraflı üst üriner sistem obstrüksiyonu saptanmıştır. Bu 25 hastanın 21'ine tek taraflı, 4'üne iki taraflı nefrostomi uygulanmıştır.

TABLO I  
TÜMÖRÜN PRİMER LOKALİZASYONU

Tümör	Vaka	Sayı
Mesane tümörü		10
Serviks karsinomu		6
Diğerleri		9
Prostat karsinomu	2	
Lenfoma	2	
Kordoma	1	
Rektum karsinomu	1	
Nörofibrosarkom	1	
Testis tümörü	1	
Hipernefroma	1	
Toplam		25

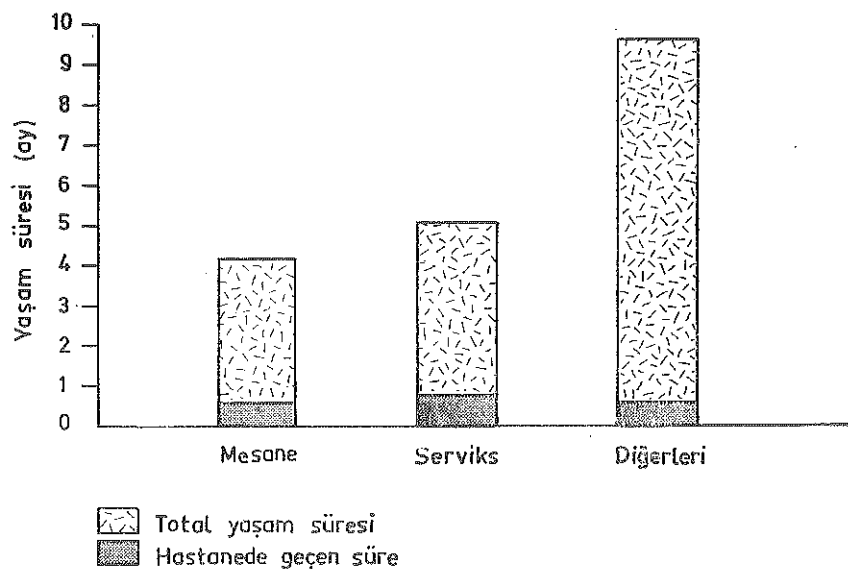
Uygulamada Pezer sonda kullanılmış ve takiplerinde Foley kateter ile değiştirilmiştir.

#### Sonuçlar

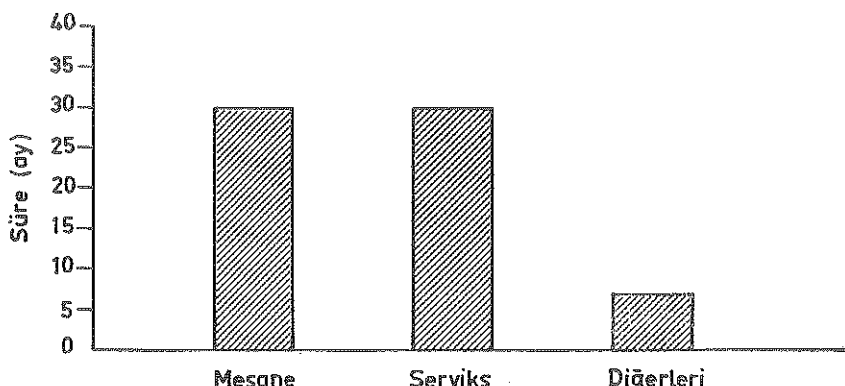
Tüm hastalar göz önünde tutulduğunda en az yaşam süresinin 11 gün, en çok yaşam süresinin 37 ay olduğu görülmüştür. Nefrostomi yapılan hastaların 3'ü halen yaşamaktadır. Bunların ikisi mesane tümörlü, biri ise kordomali hastalardır. Bu üç hastaya yaklaşık aynı zamanda nefrostomi konmuş olup her üçü de yaşamlarının 4. ayını normal şartlarda sürdürmektedirler. Halen yaşamayan 22 hasta değerlendirilmeye alındığında ortalama yaşam süresi 5.8 ay olarak bulunmuştur. Bu orta-

İama mesane tümörlü hastalar için 4.3 ay, serviks karsinomlu hastalar için 5.1 ay ve diğer hastalar için de 9.6 aydır. İki prostat karsinomlu hastadan birisi 3 ay, diğeri 37 ay yaşamışlardır (Şekil 1).

Tümör tanısının ilk konduğu zaman ile nefrostomi uygulanması arasında geçen süre mesane tümörlü hastalar için 30 ay, serviks karsinomlu hastalar için yine 30 ay ve diğer hastalar için 7 aydır (Şekil 2). Görüldüğü gibi, tanidan geç zaman sonra nefrostomi konulan mesane tümörlü ve serviks karsinomlu hastalarda, postoperatif yaşam kısa sür-



Şekil 1  
Nefrostomi sonrası yaşam süreleri.



Şekil 2  
İlk tanı ile nefrostomi konması arasında geçen süre.

## TABLO II

### NEFROSTOMİ ÖNGESİ VE SONRASI YAPILAN TEDAVİLER

mekte, buna karşın erken devrede nefrostomi uygulanmış olan diğer pelvik tümörlü hastalar ise daha uzun süre yaşamadılar.

Ameliyat sırasında ölüm veya komplikasyon olmamıştır. Postoperatif erken devrede bir hastada plörezi gelişmiş ve hasta bu nedenle 11. gün ölmüştür. Ayrıca 25 hastanın 4'ünde (% 16) ciddi olmayan yara enfeksiyonu görülmüştür. Geç dönemde ise 4 hastada toplam 5 kez (% 20) nefrostomi çıkışması ve birinde buna bağlı asidoz tablosu gözlenmiştir.

Preoperatif renal fonksiyon bozukluğu olan 19 hastanın 6'sında (% 31.6) böbrek fonksiyonları normale dönmüş, 9'unda (% 47.4) belirgin düzelleme görülmüş, 4'ünde (% 21) ise değişme olmamış veya kötüğe gidiş gözlenmiştir.

25 hastanın 22'si preoperatif ve/veya postoperatif ek tedavi almışlardır. 3 hastada ise gerek preoperatif gerekse de postoperatif hiçbir ek tedavi uygulanmamıştır. Söz konusu 22 hastanın 5 tanesinde ek tedavi hem preoperatif hem de postoperatif dönemde kullanılmıştır. Tümörün tipine göre yapılan tedavilerin dağılımı Tablo II'de gösterilmiştir.

Hastaların 5 tanesi nefrostomi sonrası hastanede ölmüş, geri kalan 20 hasta daha sonra poliklinik kontrollerle izlenmişlerdir. Hastaların yaşam kaliteleri incelenirken üç ayrı kategori düşünülmüştür. Buna göre:

A- Hastaneden taburcu olarak, normal veya normale yakın aktivite gösterecek şekilde hayatı dönen, 6 ay veya daha fazla yaşayan, primer tümöre ait tedavi alabilenler,

B- Hastaneden taburcu olabilen, ağrı kesicilerle ağrıları kontrol edilebilen, çok sınırlı aktivitesi olan, yaşam süreleri 6 aydan kısa olan ve primer tümöre yönelik tedavi alamayacak olanlar,

C- Hastaneden ayrılamayan, ağrı kesici olarak narkotiklere ihtiyaç gösteren ve klinik durumu süratle bozulan hastalar.

Bu sınıflamaya göre 9 hasta (% 36) A grubu, 11 hasta (% 44) B grubu ve 5 hastada (% 20) C grubuna girmektedir (Tablo III).

**TABLO III**  
**NEFROSTOMİ SONRASI HASTALARIN YAŞAM KALİTELERİ**

Tümör	Yaşam kalitesi					
	A		B		C	
	Sayı	(%)	Sayı	(%)	Sayı	(%)
Mesane	3	30	6	60	1	10
Serviks	2	33.5	3	50	1	16.5
Diğerleri	4	44.4	2	22.5	3	33.5
Toplam	9		11		5	

*Tartışma*

Pelvik tümörler kısmi veya tam üreter obstrüksiyonuna direk yalım veya bası sonucu neden olurlar.<sup>1</sup> Bu obstrüksiyonun kaldırılmadığı durumlarda, genel durumun süratle bozulması, koma ve erken ölümler kaçınılmaz sonuçlardır.

Hastalarımızdan 5'i (% 20) nefrostomi sonrası hastanede kaldıkları süre içerisinde ölmüşlerdir. Diğer serilerde ise; Fallon<sup>4</sup> ve arkadaşları bu rakamı % 18, Brin<sup>2</sup> ve arkadaşları % 38, Grabstald ve Mc Phee<sup>5</sup> ise % 43 olarak saptamışlardır. Bu yüksek mortalite oranı diversiyon yapılmadan önce göz önünde tutulmalıdır. Uzun süre hastanede kalmanın ekonomik açıdan bir faktör olduğunu da unutmamak gereklidir.

Birçok çalışma nefrostomi sonrası dönemde her tümör tipi için ortalama yaşam süresi tespit etmişler ve bu değerin mesane tümörlü hastalar için 1.8-4.5 ay arasında değiştigini gözlemişlerdir.<sup>2-4</sup> Bizim serimizdeki mesane tümörlü hastaların nefrostomi sonrası yaşam süreleri ise bu sonuçlarla uyum sağlamaktadır. Fallon<sup>4</sup> ve arkadaşları, serviks tümörlü hastalarda ise nefrostomi sonrası yaşam süresinin 18 ay olduğunu bildirmelerine karşın, diğer serilerde<sup>2, 3</sup> bu süre 6 ayı geçmemektedir. Keza bu sonuçlar bizim bulduğumuz 5.1 ay değeri ile uyumludur. Bütün çalışmaçılardır prostat karsinomun da nefrostomi sonrası yaşam süresinin mesane tümörüne nazaran daha uzun olduğunu bildirmektedirler.<sup>2, 4, 6</sup> Bizim iki prostat karsinomlu hastamızdan birisi de 37 ay gibi uzun bir süre yaşamıştır.

Gerek mesane tümörlü, gerek serviks karsinomlu hastalarda ilk tanıdan nefrostomi konmasına kadar geçen süre 30 aydır. Bu hastaların sonraki yaşam süreleri ise 6 ayı geçmemektedir. Buradan da anlaşılması üzere hastalara terminal dönemde bu uygulama yapılmaktadır. Bu dönemde nefrostominin gerekliliği veya daha önce yapılmış yapılmayacağı konusu tartışılmamaktadır.

Nefrostomi sonrası dönemde hastaların 16'sında (% 64) yaşam kalitesinin pek iyi olmadığı görülmektedir. Bu sonuçlarda keza bizim hastalarımızda diversiyonun geç dönemde yapıldığını göstermekte ise de, preoperatif renal fonksiyonları bozuk olan 19 hastanın 15'inde (% 79) bu fonksiyonların normale dönmesi veya hissedilir bir düzelleme göstermesi, diversiyonun bu dönemde bile, hastaları üremiden korumak konusundaki yararını vurgulamaktadır.

Bu hastalarda, gerek üreter kateterizasyonunun zorluğu ve Gibbon kateterlerinin kullanılmasının bu durumda olanaksız olması ve gerekse perkütanöz nefrostominin böbrekte uzun süre yeterli drenajı

sağlayamaması nedeniyle, yine de diversiyon endikasyonu konduğu zaman nefrostomi, tercih edilmesi gereken uygulamadır.

### *Özet*

Üst üriner sistem obstrüksiyonu olan ve bu nedenle nefrostomi yapılan 25 pelvik tümörlü hasta, retrospektif olarak incelendi. Mesane tümörlü hastalarda yaşam süresi ve kalitesinin diğer tümör gruplarına nazaran daha düşük olduğu saptandı. Nefrostomi uygulamasının zamanı ve gerekliliği tartışıldı.

### *KAYNAKLAR*

1. Sise, J. G., and Crichtlow, R. W.: Obstruction due to malignant tumors. Semin. Oncol. 5: 213, 1978.
2. Brin, E. N., Schiff, M., Jun. and Weiss, R. M.: Palliative urinary diversion for pelvic malignancy. Journal of Urology, 133: 619, 1975.
3. Meyer, J. E., Yatsuhashi, M. and Green, T. H., Jr.: Palliative urinary diversion in patients with advanced pelvic malignancy. Cancer, 45: 2698, 1980.
4. Fallon, B., Olney, L. and Culp, D. A.: Nephrostomy in cancer patients: To do or not to do? Brit. J. Urol. 52: 233, 1980.
5. Grabstald, and McPhee, M.: Nephrostomy and the cancer patient. Southern Medical Journal, 66: 217, 1973.
6. Kohler, J. P., Lyon, E. S., Schoenberg, H. W.: Reassessment of circle tube nephrostomy in advanced pelvic malignancy. Journal of Urology. 123: 17, 1980.

# İnsan ve Köpekte Koroner Damarsal Yapı ve Myokard Dolasımı

**Dr. Argun Saylam\*** / **Dr. Yaman Zorlutuna\*\*** /

**Dr. Kaya Süzer\*\*\*** / **Dr. Metin Demircin\*\*\*** /

**Dr. Aydın Aytaç\*\*\*\***

Koroner arter hastalıkları ve koroner damarsal yapı ile ilişkili deneylerin yapılması en sık olarak kullanılan deney hayatı köpektir. Bundan dolayı gerek insan, gerekse köpek koroner damarsal yapısının bilinmesi tıbbi ve cerrahi araştırma yapan kişiler açısından büyük önem taşımaktadır. Yazımızda bu konu özellikle cerrahi araştırma yapan bir kişinin görüş açısından incelenecektir.

Koroner dolasının araştırılmasına uzun yıllar önce başlanmıştır. 1907 yılında Spalteholz tarafından ortaya atılan ilk laboratuvar araştırma yöntemlerinden bugüne kadar değişik yöntemlerle koroner damarsal yapı incelenmiştir. Bu araştırma yöntemleri geniş olarak Smith<sup>1</sup> tarafından derlenmiştir. İlk zamanlar izole kalplerde aydınlatılan yapısal özellikler 1958'de Sones'un selektif koroner anjografiyi klinikte de yaygın olarak uygulamaya başlaması ile yaşayan kişilerde de koroner damarsal yapısının anatomik ve fonksiyonel ayrıntıları elde edilmiş ve bu gelişmeler koroner arter cerrahisinin de hızla ilerlemesine yol açmıştır.<sup>2, 3</sup>

İnsan ve köpeğin koroner damarsal yapısı büyük benzerlikler gösterir. Bundan dolayı önce koroner damarsal yapısının anatomisini genel olarak gözden geçirip, sonra insan ve köpek anatomisi arasındaki farklara değineceğiz.

\* Hacettepe Üniversitesi Tıp Fakültesi, Pediatrik Göğüs ve Kalp-Damar Cerrahisi Bölümü Öğretim Görevlisi.

\*\* Aynı Fakülte, Pediatrik Göğüs ve Kalp-Damar Cerrahisi Bölümü Asistanı.

\*\*\* Aynı Fakülte, Erişkin Göğüs ve Kalp-Damar Cerrahisi Bölümü Asistanı.

\*\*\*\* Aynı Fakülte, Pediatrik Göğüs ve Kalp-Damar Cerrahisi Bölümü Öğretim Üyesi.

### Koroneler Damarsal Yapı

Kalp kası dolaşımı esas olarak koroner arter ve venlerden oluşan bir damarsal yapı ile sağlanır. Sağ ve sol koroner arterler ve bunların dalları kalp kasının değişik alanlarını beslerler. Sağ veya sol koroner arter sisteminin kalp kasındaki dağılımı değişik ölçülerde olabilir. Bu kavramı daha iyi aydınlatmak için kalbin arka yüzünde yer alan ve “crux” denilen anatomik alanı açıklamak gereklidir. “Crux” kalbin arka yüzünde sağ ve sol ventrikülerin, sağ ve sol atriyumların ve interatriyal ve interventriküler septumların birleştiği anatomik alan olarak tarif edilir.<sup>4</sup> Bir kalpte crux, sağ koroner arter dalları ile beslenir ve bu dallar crux'un sol tarafına doğru geçerse “sağ koroner arteryel sistemin üstün olduğu dolaşım”; crux her iki koroner arter sistemi ile eşit olarak beslenirse “dengeli koroner arteryel dolaşım”; ve crux sol koroner arter dalları ile beslenir ve bu dallar crux'un sağ tarafına doğru geçerse “sol koroner arteryel sistemin üstün olduğu dolaşım” dan söz edilir.<sup>4</sup>

Kalplerin % 20-50inde normal sağ koroner ostiyumun yanından diğer bir sağ koroner arter ostiyumunun da kaynaklandığı görülür. Buradan kaynaklanan sağ koroner artere “aksesuar sağ koroner arter” denir ve bu dal pulmoner kapağa yakın olan sağ ventrikül çıkış kısmını besler (konus arteri). Bu dal sol koroner arterin dalları ile birleşerek “Vieussens çemberi”ni oluşturur.<sup>5-7</sup>

Sağ ve sol koroner arterin esas dalları şu şekilde özetlenebilir:<sup>7</sup>

#### *Sağ Koroner Arterin Dalları:*

- Sağ ana koroner arter
- Vieussens çemberi
- Sağ atriyal dal
- Sağ ventrikül dalları
- Marjinal dallar
- Diyafragmatik dallar
- Arka inen dal
- Sinüs düğümü ve atrio-ventriküler düğüm dalları

#### *Sol Koroner Arterin Dalları:*

- Sol ana koroner arter
- Ön inen dal
- Sol sirkumfleks dal
- Ön inen dalın diyagonal dalçıkları
- Septal dalçıklar
- Sirkumfleks dalın sol atriyal, lateral ve diyafragmatik dalçıkları

Sirkumfleks dalın arka inen dalçığı  
Sinüs düğümü ve atrio-ventriküler düğüm dalları (insanda  
ender olarak izlenir)

### **Kalbin Venöz Sistemi**

(1) Koroner sinüse açılan venler, (2) Ön kardiyak venler (Galenos venleri) ve (3) Thebesius venleri olarak üç ana grupta toplanır.<sup>8</sup> Koroner sinüs, ağızında Thebesius valvülü bulunan ve sağ atriyuma açılan bir oluşumudur. Koroner sinüsün sol ucunda gevşek bir endotel kıvrımından oluşan ve her olguda bulunmayan Vieussens valvülü yer alabilir.<sup>8-10</sup>

Koroner sinüse dökülen venler şunlardır:<sup>8</sup> (a) kalbin ön interventriküler oluğundan gelen “büyük kardiyak ven”, (b) kalbin arka interventriküler oluğundan gelen “orta kardiyak ven”, (c) sağ koroner arter oluğundan gelen “küçük kardiyak ven” ve (d) sol atriyum arka yüzünden inen “Marschall veni”.

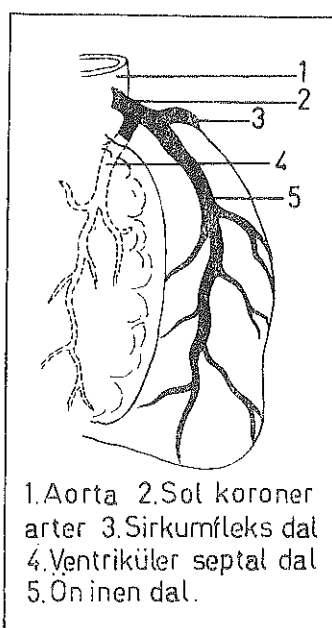
Ön kardiyak venler sağ ventrikül ön duvarından gelip direkt olarak sağ atriyuma, bazen de küçük kardiyak vene açılırlar.<sup>11</sup>

Thebesius venleri ise kalp duvarlarının toplardamarları olup atrium, ventrikül duvarları ve papiller kaslar içinde bulunurlar ve en yakın kalp boşluğuna direkt olarak açılırlar.<sup>1, 8, 11, 12</sup>

Genel olarak sol ventrikülün venöz drenajının koroner sinüs yolu ile ve sağ ventrikülün venöz drenajının da ön kardiyak venler yolu ile sağ atriyuma açıldığı kabul edilebilir.<sup>5</sup>

İnsan ve köpek kalplerinin anatomik yapısı açısından koroner damarsal yapıdaki farkları şu şekilde özetleyebiliriz:<sup>5, 6, 13-17</sup>

1. İnsanda sağ koroner arteryel sistemin üstün olduğu dolaşım % 48, dengeli koroner dolaşım % 34 ve sol koroner arteryel sistemin üstün olduğu dolaşım % 18 oranında izlenmektedir. Köpekte ise hemen her zaman sol koroner arteryel sistemin üstün olduğu dolaşım saptanmıştır.
2. İnsanda sol sirkumfleks arter genellikle arka inen dalda sonlanmaz. Köpekte ise bu dal her zaman arka inen dal ile birleşir.
3. Köpekte ventriküler septum esas olarak sol ana koroner arterden ayrılan büyük bir septal dal ile beslenir (Şekil 1). Bunun dışında ön ve arka inen daldan ayrılan septal dalcıklar da olabilir. İnsanda ise sol ana koroner arterden ayrılan bir septal dal yoktur. Ventriküler septum ön inen daldan ayrılan 4-6 dalcık ile beslenir.



Şekil 1

Köpekte ventriküler septal dalın sol ana koroner arterden ayrılması (Miller'den).<sup>6</sup>

4. İnsanda sinüs ve atrio-ventriküler düğümler çoğu zaman sağ koroner arterden beslenirler. Bu oluşumların sol koroner arterden sularması enderdir. Köpekte ise sinüs düğümü hemen her zaman sağ koroner arterden, atrio-ventriküler düğüm de sol koroner arterden beslenir.

5. Köpekte koroner sinüs sol ventrikülün tamamının ve ventriküler septumun özellikle arka kısmının venöz drenajını toplar. Sağ ventrikülün venöz drenajı ise ön kardiyak venler ile direkt olarak sağ atriyuma açılır. İnsan kalplerinin ancak üçte birinde buna tamamen benzeyen bir venöz drenaj şekli izlenir. Geri kalan üçte ikisinin yarısında sağ ventrikül venöz drenajının tamamı küçük kardiyak ven yolu ile koroner sinüse açılır ve diğer yarısında da sağ ventrikül myokardının venöz drenajının az bir kısmı koroner sinüse akar.

6. İnsanda koroner venler tek olarak eş arterin yanında seyrederler. Köpekte ise her koroner arter dalının iki yanında olmak üzere bir çift eş ven vardır.

Yukarıda belirtilen bu farklılıklar çoğunlukla köpeğin koroner damarsal yapı ile ilgili deneylerde kullanılması açısından önemli bir rol oynamamaktadırlar ve köpek bu araştırmalarda en sık olarak kullanılan hayvan olmaya devam etmektedir.<sup>18</sup>

## **Myokard Dolaşımı**

Myokardiyal dolaşının ayrıntılarının belirlenmesi için yapılan çalışmalar eski yillardan beri süregelmiştir. Konu ile ilgili birçok yazar tarafından<sup>1, 11, 12, 19</sup> bildirildiğine göre 1706'da Vieussens koroner arter dalçıkları ile kalp odaları arasında direkt ilişkilerin olduğunu belirtti ve bunlara "vaiseaux charnus (ducti carnosı)" adını verdi. 1708'de Thebesius aynı tip bir ilişkinin koroner venöz damarlar ile kalp odaları arasında olduğunu bildirdi ve bunlara "Thebesius venleri" adı verildi. Pratt 1898'de intramural myokardiyal damarların fizyolojik önemi üzerinde duran ilk araştırcı oldu ve Thebesius venlerinin bütün kalp odalarında bulunduğu, bunların kapiller ağı aracılığı olmadan direkt olarak koroner venler ile bağlantılı olduğunu gösterdi. Favaloro<sup>19</sup> tarafından bildirildiğine göre Grant 1926'da yaptığı çalışmalarda kalbin evrimi sırasında myokardin kalp odaları ile ilişkili geniş trabeküler boşluklar aracılığı ile kalp içindeki kandan difüzyon yolu ile direkt olarak beslendiğini, ileri canlılarda ise koroner damarsal yapının gelişmeye başladığını saptadı. Birçok yazar tarafından bildirildiğine göre<sup>1, 11, 12, 19</sup> 1933'de Wearn ve arkadaşları tarafından yapılan çalışmalar myokardiyal dolaşım konusunda kriyometri aydınlatıcı bilgiler getirdiler. Bunlarda koroner arter dalçıkları ile kalp odaları arasındaki direkt ilişkinin iki tipte olduğu gösterildi: (1) Düzgün lumenli, kalınca duvarlı arteryel dalcıklar ile (arteriyo-luminal tip) ve (2) Düzgün olmayan lumenli, duvarları ince endotelden oluşan sinuzoidler ile (arteriyo-sinuzoidal tip). Thebesius venlerinin direkt olarak koroner arterleri ile ilişkili olmadığı da yine bu çalışmalarda gösterildi.

## **Myokardiyal Kapiller Dolaşım**

Kapiller dolaşım duvarlarında düz kas liflerini kapsayan "metarteriyol"ler ve bunlardan dallanan basit endotel tübü yapısındaki "esas arteriyol"lerden oluşur.<sup>5</sup> Esas arteriyollerin başlangıcında düz kas liflerinden yapılı "prekapiller sfinkter"ler bulunur. Kapiller ağı myokard kas lifleri arasında yerleşir ve her iki ventrikülde de 3000-4000 kapiller / mm<sup>2</sup> bulunur.<sup>5, 20</sup> Kapiller ağı yapısının myokard fibril kitlesine oranı yeni doğanda 1/4, erişkinde ise 1/1 dir.<sup>5, 20</sup>

Bu bilgilerin ışığı altında incelendiğinde koroner arterler yolu ile akan kanın kendisine dört tip çıkış yolu bulduğu anlaşılmaktadır:<sup>19</sup>

1. Kapiller yataktan geçip esas olarak koroner sinüs yolu ile ve kısmen de ön kardiyak venler yolu ile direkt olarak sağ atriyuma dökülür,
2. Kapiller yataktan geçip Thebesius venleri aracılığı ile kalp boşluklarına dökülür,

3. Arteriyo-luminal damarcıklar yolu ile kalp boşluklarına dökülür,
4. Arteriyo-sinuzoidal yapılar ile kalp boşluklarına dökülür.

Hammond ve Austen<sup>21</sup> çalışan köpek kalpleri üzerinde yaptıkları araştırmalarda koroner kanın dönüş yolunun büyük çoğunlukla koroner sinüs aracılığı ile sağ atriyuma olduğunu göstermişler ve önemli koroner arter dallarının dönüş yollarını saptamışlardır (Tablo I).

**TABLO I**  
**KÖPEK KALPLERİNDE KORONER ARTER AKIMININ DÖNÜŞ YOLLARI\***  
(Hammond ve Austen'den)<sup>21</sup>

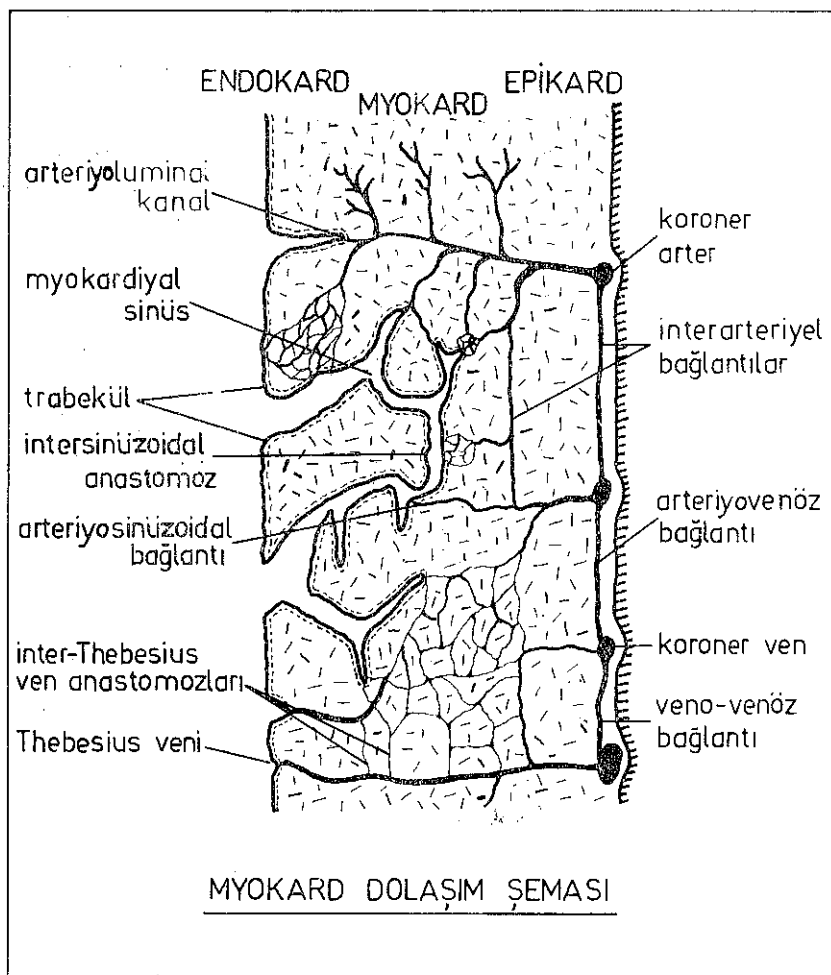
	Koroner sinüse (%)	Ön kardiyak venler yolu ile sağ atriyuma (%)	Thebesius venleri ile sağ ventriküle (%)	Myokardiyal sinuzoidlerle sol ventriküle (%)
Total Koroner Arter Akımı	(40-65) 49	(19-37) 24	(10-29) 22	(2-10) 5
Sol Koroner Arter Akımı	(44-60) 52	(11-25) 17	(19-33) 25	(2-12) 6
Ön İnen Dal Akımı	(32-60) 48	( 3-27) 12	(19-44) 34	(1-18) 6
Sirkumfleks Arter Akımı	(47-69) 58	(12-36) 23	( 6-22) 12	(3- 9) 7
Sağ Koroner Arter Akımı	( 3-14) 7	(51-95) 75	( 9-42) 15	(0-14) 15
Septal Dal Akımı	( 0-14) 9	( 0-14) 7	(24-100) 63	(4-83) 21

\* Tablodaki değerler yüzde (%) olarak gösterilmiştir. Parentez içindeki yüzdeler en düşük ve en yüksek miktarları, parentez dışı rakamlar ise ortalama yüzde değerini göstermektedir.

Myokardiyal dolaşım<sup>22</sup> ve koroner venöz dönüş yolları<sup>12</sup> Şekil 2 ve 3'de şematik olarak gösterilmiştir.

### Myokardiyal Kolleteral Dolaşım

Aynı koroner arter dalçıkları arasında (homokoroner) ve iki ayrı koroner arter dalı arasında (interkoroner) anastomozlar vardır.<sup>1,5</sup> Bu kolleteraller insanda epikardın hemen altında yetersiz olup, kalp duvarının diğer tabakalarında yaygın olarak bulunurlar. İnsan ve domuzda subepikardiyal bölgenin kolleteral ağı açısından fakir olmasına karşın, köpekte bu bölgede kolleteral ağı fazladır.<sup>5,23</sup>

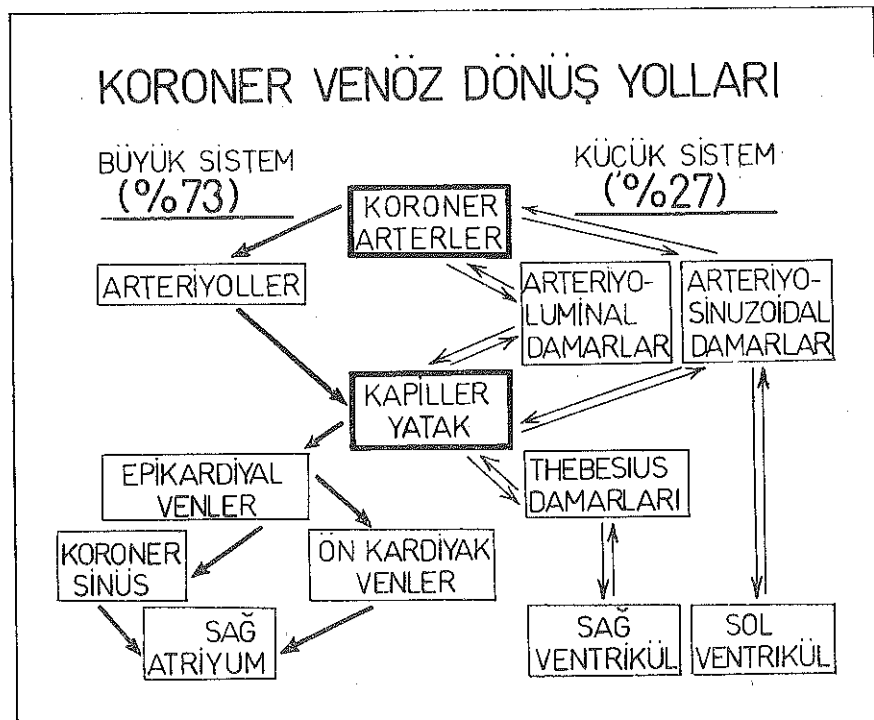


Şekil 2

Myokardiyal dolaşının şematik olarak gösterilmesi (Moll ve arkadaşlarından).<sup>22</sup>

Downey ve arkadaşları<sup>23</sup> tarafından bildirildiğine göre Schaper köpeklerde kolleteral anastomozların genellikle subepikardiyal bölgede olduğunu belirtmiş, fakat Downey ve arkadaşları<sup>23</sup> rubidyum ve potasyum radyoizotoplari ile yaptıkları çalışmalarda köpekte subepikardiyal bölgeden başka diğer zengin bir kolleteral grubunun da subendokardiyal bölgede olduğunu göstermişlerdir. Homokoroner anastomozlar interkoroner anastomozlardan daha fazladırlar.<sup>5</sup>

Normal bir kalpte kolleteral dolaşım yolu ile akım çok az ve fonksiyonel açıdan önemsizdir. Çünkü normalde koroner arterlerde tikanıklıklar olmadığından kolleteraller ile birleşen iki koroner arter dalındaki



Şekil 3

Koroner venöz dönüş yolları (Hochberg ve Austen'den).<sup>12</sup>

basınç ve akım aynıdır ve arada basınç farkı (gradient) yoktur. Bir dalda tikanmaoluğu zaman bu tikanmanın distalinde basınç azalır ve karşı taraf dalından kolateral yolu ile basıncı azalan alana doğru kan akmeye başlar. Böylece koroner arter tikanıklıklarında kolateral dolaşım önem kazanır.<sup>5</sup> Kolateral anastomozlar anoksye de duyarlıdırlar ve myokardin anoksik durumlarında açılarak devreye girerler.<sup>1</sup> Koroner arter tikanıklığını izleyen dönemde kolateral damarlar genişleyip açılmasına başlarlar ve çapları normal çaplarının 5-10 katına varır. Köpek kalbinde kolateral arterlerin gelişmesi insan ve domuz kalbine oranla daha kısa zaman alır.<sup>25</sup> Köpekte akut koroner arter tikanlığı deneylerinde kolateral arterlerin deney sırasında bile spontan olarak devreye girebildiği izlenmiştir.<sup>23,26</sup> Bu özellik köpeğin kolateral dolaşım ile ilgili deneylerde de kullanılmaya uygun bir hayvan olduğunu vurgulamaktadır.<sup>18</sup>

#### Koroner Arter Tikanıklığı Yaratmak İçin Kullanılan Deneysel Yöntemler

Koroner arter hastalıkları, koroner damarsal yapı ile ilgili olaylar, kardiyak hemodinami ve aritmilerin incelenmesi açısından birçok deney-

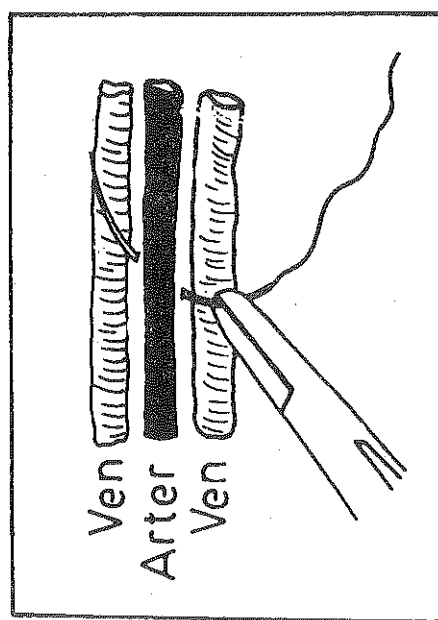
ler hayvanlarda koroner arterlerin oklüzyonu ile gerçekleştirilmektedir. Bunun için araştırıcının hayvan kalplerinde koroner arter oklüzyonu yaratan deneysel yöntemleri yakından bilmesi gerekir. Hood ve arkadaşları<sup>27</sup> ve Lopukhin<sup>28</sup> tarafından derlenmiş olan bu yöntemler aşağıda özetlenmiştir:

Koroner arterlerde tıkanıklık oluşturulması için çoğu kez hayvanın genel anestezi altında uyutulması ve göğüsün açılıp kalp üzerinde koroner arterler bulunarak bunların oklüzyonu yöntemi kullanılmaktadır. Köpeklerin uyutulmasında kg. başına 25 mgr. Nembutal sodyum kullanılması (intravenöz) sıkılıkla uygulanan bir medikasyondur.<sup>18</sup> Deney sırasında hayvan uyanma belirtileri gösterirse hayvanın dili altında bulunan oldukça büyük venlerden ek doz ilaç rahatlıkla intravenöz olarak yapılabilir.<sup>29</sup> Göğüse girmek için torakotomi veya açık kalp ameliyatlarında olduğu gibi sternotomi yapılabılır.<sup>18</sup> Anestezi alan ve torakotomi gibi cerrahi bir işlem uygulanan hayvanlar serum enzim çalışmaları için akut deney sırasında uygun değildirler.

Koroner arter oklüzyonu yapmak için en sık olarak kullanılan yöntem koroner arterlerin bir veya bir kaç yerden basit olarak bağlanmasıdır. Basit ligasyon yaparken bir koroner arter dalı yanında seyreden bir çift vene dikkat etmeli, venlerin de ligatür içine alınmamasına çalışılmalıdır. Bunun için de ligatürün atravmatik bir dikişle koroner arter etrafından venleri zedelemeyecek bir biçimde oblik olarak geçirilmesi uygundur<sup>18</sup> (Şekil 4). Koroner arterlerin daha iyi görülmesi için büyülteçli gözlükler (loop) kullanılabilir. Ligasyon tekniği ile iskemi ve infarktüsün oluş zamanı rahatlıkla saptanabilir. Fakat kardiyojenik şok modeli için bu yöntem uygun değildir. Çünkü şok yaratacak kadar çok ligasyon yapmak çoğunlukla ventriküler fibrilasyon ile sonuçlanır. Koroner arter ligasyonu yapılp yaşatılan hayvanlarda kronik iskemiye ilişkin deneyler de yapılabilir.

Ameroid konstriktör denen dışı metalik halka ve içi higroskopik materyal ile kaplı daraltıcılar da koroner arterlerin etrafına konursa yavaş bir biçimde koroner tıkanıklığı yaratmak mümkündür. Halkanın iç yüzünde kazein gibi higroskopik bir materyal vardır ve bu zamanla şişerek koroner arterleri tikar. Bu yöntemde ventriküler fibrilasyon olma olasılığı düşüktür. Fakat iskemi ve infarktüsün gelişme zamanı rahat bir biçimde izlenemez. Bu yöntemle koroner tıkanıklığı yapılan hayvanlar çokunlukla postoperatif 4-26 gün içinde myokard infarktüsü ile kaybedilirler.

Koroner arterler etrafına balık oltası misinası gibi bazı maddeleri sarıp, bunları özel aygıtlarla torakotomi insizyonundan çıkartarak yaşayışan hayvanlarda da sonradan bunların sıkılması ve gevsetilmesi ile kontrollü koroner arter oklüzyonları yapılmaktadır.



Şekil 4

Köpek kalbinde koroner arterin ligasyonu tekniği. Koroner arterlarındaki eş venleri ligatür içinc almamak için atravmatik dikişin oblik olarak koroner arter dalı altından geçirilişi görülmüyor.

Hayvanların herhangi bir cerrahi girişim altına girmeden koroner arterlerinin tikanması mikroembolizasyon yöntemi ile yapılabilir. Burada koroner arter ostiyumlarına kateterle girip kateterin içinden koroner arterleri tıkalıcı maddeler verilir. En sık olarak bu amaç için çapları 1.5-3.5 mm. olan plastik kürecikler kullanılmaktadır. Ayrıca petunya, kolza ve likopodium gibi bitki tohumları; ve cıva partikülleri ve ufak tel parçacıkları gibi cisimler de kateterin içinden injekte edilebilir. Koroner arterler içine verilen yabancı cisimler hem tıkalıcı etki gösterirler, hem de etraflarında trombus oluşturarak damarın trombotik olarak oklüzyonunu sağlarlar. Bu yöntem ile kardiyogenik şok yaratılabilir ve serum enzim çalışmaları yapılabilir. Ventriküler fibrilasyon yaratma tehdisesi fazla değildir.

Mikroembolizasyon yönteminden başka koroner arterler içine balonlu kateterler ile girilerek balonun şişirilmesi ile de oklüzyon sağlanabilir. Ayrıca özel kateterlerle damar içi elektro-tromboz yaratılması da mümkündür.

Koroner oklüzyon yapılan hayvanlarda ventriküler taşikardi ve fibrilasyon deneyin gidişini bozan önemli aritmilerdir. Dehidroergotamin gibi ilaçlar ventriküler fibrilasyon insidansını azaltabilir.

Deneysel olarak ilaçlarla da koroner spasm yaratmak mümkündür. Köpeklerde kg. başına 0.25-0.30 ml. pituitrin preparatları ile koroner spasm, hipertansiyon ve kalp yetmezliği yaratılabilir.

Deney hayvanlarına ateroskleroz yapıcı yağlı diyetler verilecek koroner tıkanıklıkları oluşturulabilirse de bu yöntem pratik alana fazla girmış değildir.

### *Özet*

Koroner damarsal yapı ile ilgili deneyler için sıkılıkla kullanılan deney hayvanı köpektir. İnsan ve köpeğin koroner damarsal yapı ve myokard dolasımı açısından büyük benzerlikler gösterdiği saptanmıştır. Bu benzerliklerle beraber, arada farklı bazı anatomik ve fonksiyonel özellikler de vardır. Koroner damarsal yapı ile ilgili deneysel çalışma yapan bir kişinin bu özellikleri bilmesi, bu farklı noktaların yapacağı deneyi ne derecede etkileyebileceğini araştırması gerekdir.

Yazımızda insan ve köpek koroner damarsal yapısı gözden geçirilmiş ve konu özellikle deneysel araştırma yapan bir kişinin görüş açısından ele alınmıştır. Ayrıca hayvanlarda koroner arter tıkanıklığı yaratmak için kullanılan deneysel yöntemler de, yazımızda ayrıntılı bir biçimde incelenmiş ve yaratılan deney modellerinin özellikleri bildirilmiştir.

### *KAYNAKLAR*

1. Smith, G. T.: The anatomy of the coronary circulation. Am. J. Cardiol. **9**: 327, 1962.
2. Conolly, J. E.: The history of coronary artery surgery. J. Thorac. Cardiovasc. Surg. **76**: 733, 1978.
3. Aytaç, A., Uğurlu, Ş., Karamehmetoğlu, A., İkizler, C., Olga, R., Arslan, G.: Aorto-koroner safen bypass (ekstrakorporeal dolasım ve anoksik arrest ile direkt koroner arter cerrahisi.) Çağdaş Tıp Dergisi **1** (6): 3, 1974.
4. Sabiston, D. C. Jr.: Physiology of the coronary circulation. in: Gibbon's Surgery of the Chest, ed. 3, ed by: Sabiston, D. C. Jr. and Spencer, F. C., W. B. Saunders Co., Philadelphia, 1976, p. 1301.
5. Rushmer, R. F.: Cardiovascular Dynamics. ed. 4, W. B. Saunders Co., Philadelphia, 1976, pp. 351-356.
6. Miller, M. E.: Anatomy of the Dog. W. B. Saunders Co., Philadelphia, 1964 (reprinted 1968), pp. 283-287.
7. Favoloro, R. G.: Surgical Treatment of Coronary Arteriosclerosis. Williams and Wilkins, Co., Baltimore, 1970, pp. 11-17.
8. Zeren, Z.: Bir Ciltte Anatomı. İsmail Akgün Matbaası, İstanbul, 1959,s. 264-265.
9. James, T. N.: Anatomy of the Coronary Arteries. Paul B. Hoeber Inc., New York, 1961, p. 174.
10. McAlpine, W. A.: Heart and Coronary Arteries. An Anatomical Atlas for Clinical Diagnosis, Radiological Investigation and Surgical Treatment. Springer Verlag, Berlin, 1975, p. 190.

11. Bates, R. J., Toscano, M., Baldenman, S. C., Anagnostopoulos, C. E.: The cardiac veins and retrograde coronary sinus perfusion. *Ann. Thorac. Surg.* **23**: 83, 1977.
12. Hochberg, M. S., Austen, W. G.: Selective retrograde coronary venous perfusion. *Ann. Thorac. Surg.* **29**: 578, 1980.
13. James, T. N.: *Anatomy of the Coronary Arteries*, Paul B. Hoeber Inc., New York, 1961, p. 88.
14. James, T. N.: *Anatomy of the Coronary Arteries*. Paul B. Hoeber Inc., New York, 1961, p. 103.
15. James, T. N.: *Anatomy of the Coronary Arteries*. Paul B. Hoeber Inc., New York, 1961, p. 162.
16. James, T. N.: *Anatomy of the Coronary Arteries*. Paul B. Hoeber Inc., New York, 1961, p. 86-87.
17. Gott, V.L., Gonzalez, J.L., Zuhdi, M.,N., Varco, R.L., Lillehei, C.W.: Retrograde perfusion of the coronary sinus for direct vision aortic surgery. *Surg. Gynecol. Obstet.* **104**: 319, 1957.
18. Saylam, A.: Koroner arter cerrahisinde myokard korunmasının retrograd olarak koroner sinüsden soğuk perfüzyon ile sağlanması (Deneysel Çalışma). *Göğüs ve Kalp-Damar Cerrahisi Doçentlik Tezi*, 1981.
19. Favaloro, R. G.: *Surgical Treatment of Coronary Arteriosclerosis*. Williams and Wilkins Co., Baltimore, 1970, pp. 1-7.
20. Iyengar, S. R. K., Charrette, E. J. P., Iyengar, C. K. S., Lynn, R. B.: Myocardial protection during anoxic cardiac arrest in aortocoronary bypass surgery. in: *Coronary Artery Medicine and Surgery*, ed. by Norman, J. C. et al., Appleton Century Crofts, New York, 1975, pp. 495-512.
21. Hammond, G. L., Austen, W. G.: Drainage patterns of coronary arterial flow as determined from isolated heart. *Am. J. Physiol.* **212**: 1435, 1967.
22. Moll, J. W., Dziatkowiak, A. J., Edelman, M., Iljin, W., Ratajczyk-Pakalska, E., Stengert, K.: Arterialization of the coronary veins in diffuse coronary arteriosclerosis. *J. Cardiovasc. Surg.* **16**: 520, 1975.
23. Downey, H. F., Bashour, F. A., Stephens, A. J., Kechejian, S. J., Underwood, R. H.: Transmural gradient of retrograde collateral blood flow in acutely ischemic canine myocardium. *Circ. Res.* **35**: 365, 1974.
24. Fulton, W. F. M.: *The Coronary Arteries*. Charles C. Thomas Pub., Springfield, Ill., 1965, p. 107.
25. Fulton, W. F. M.: *The Coronary Arteries*. Charles C. Thomas Pub., Springfield, Ill., 1965, p. 112.
26. Mittman, U., Hatipoğlu, O., Klooker, P., Saggau, W. W., Steinhart, E.; Storch, H. H.: Efficiency of cardioplegia in the presence of coronary occlusion. *Thorac. Cardiovasc. Surgeon (Stuttgart)* **28**: 184, 1980.
27. Hood, W. B. Jr., Kumar, R., Ableman, W. H., Norman, J. C.: Current status of nonatherosclerotic and atherosclerotic models of myocardial infarction in animals. in: *Coronary Artery Medicine and Surgery, Concepts and Controversies*. Appleton Century Crofts, New York, 1975, pp. 935-946.
28. Lopukhin, Yu. M.: *Experimental Surgery*. Mir. Pub., Moscow, 1976, pp. 200-203.
29. Lopukhin, Yu. M.: *Experimental Surgery*. Mir Pub., Moscow 1976, p. 27.

# Deneysel Hemorajik Şokta Uygulanan Hipoterminin Böbrek Morfolojisi Üzerine Etkisi

**Dr. Orhan Duman\* /Dr. Kaya Kılıçturgay\*\* /Dr. Orhan Andaç\*\*\***

## *Giriş*

**H**emorajik şokta böbrek fonksiyonlarında meydana gelen fizyolojik ve biyokimyasal değişikliklerin incelenmesine ilişkin çalışmaların uzun yıllara dayanmasına karşın şokta bu organda oluşan kaba morfolojik ve hücre alt yapılarındaki değişimler nisbeten yeni yeni ele alınan ve üzerinde az sayıda çalışma yapılan bir konudur. Bugün fizyolojik ve biyokimyasal değişikliklerin morfolojik değişikliklerle beraber olduğu ve bu değişikliklerin hücre düzeyindeki göstergelerinin bilinmesi gereği ortaya konulmuştur. Ölçülebilir fonksiyonel değişikliklerin, hücrenin alt yapı bileşenlerinde yapışal değişimlerle beraber olduğu gerçeği biyolojik bilimlerde ileri bir aşama olarak kabul edilmektedir. Hücre dinamiğini yansıtan fonksiyonel değişiklikler özgül alt yapışal değişikliklerle ilişki gösterir.

Tüm renal iskemide morfolojik ve fonksiyonel değişimlerin laboratuvar hayvanlarında renal arter bağlanması ile incelenmiş olmasına karşın klinik şoku temsil eden geçici hipovolemide böbrekteki değişimleri konu alan çalışmalar yok denecek kadar azdır. Bir çalışmamızda (yayınlanmak üzere) hemorajik şokta böbrek fonksiyonlarındaki fizyolojik ve biyokimyasal değişimleri incelerken morfolojik değişimlerin incelenmesini de öngörmüştük. Bu amaçla bu çalışmayı düzenledik.

\* Hacettepe Üniversitesi Tıp Fakültesi Fizyoloji Bölümü Öğretim Üyesi.

\*\* Bursa Tıp Fakültesi Öğretim Üyesi.

\*\*\* Hacettepe Üniversitesi Tıp Fakültesi Fizyoloji Bölümü Başkanı.

### **Şokun Böbrek Üzerine Etkisi**

Şokta oluşan vazokonstriksiyon böbrek perfüzyonunu önemli derecede azaltır. Böbrek kan akımının azalması ve kanın kortikomedüller şanti glomerüler filtratin düşmesine yol açar. Şokta iskemik böbrekten salgılanan renin de angiotensin 11-aldosteron sistemini aktive ederek kan basıncının ve hipovoleminin düzeltilmesinde rol oynar. Hemorajide renal kan akımı azalır. Kan akımı azalması, kalp debisinin düşmesi ve böbrek arterlerindeki vazokonstriksiyona bağlıdır.<sup>8, 21, 27</sup> Hemorajik şok ve diğer şoklarda kalp kasılmasındaki azalmaya bağlı olarak kalp debisi düşer. Bu da katakolaminlerin salgılanmasına yol açar.<sup>34</sup> Katakolaminler özellikle splanknik organlarda ve böbrekte arter ve arteriyoller de vazokonstriksiyon yaparak damar direncini arttırmıştır. Bunun neticesinde azalan perfüzyonla glomerüler filtrat azalır ve böbreğin konsantrasyon etme kabiliyeti kaybolur.

### **Hipoterminin Şoka Etkisi**

Dolaşan kan hacminin bir kısmının kaybı venöz dönüşte düşmeye meydana getirir. Bunu kalp atım hacminin ya da dakika hacminin azalması izler. Refleks vazokonstriksiyon bu kaybı karşılamaya çalışır. Bu yolla kaybedilen kan hacmi az çok karşılanır. Eğer kaybedilen kan zamanında telafi edilmezse yaygın vazokonstriksiyon devam ederek önce karşılamaya yönelik reaksiyon potansiyel olarak doku anoksisi oluşturarak zararlı olur. Bu doku anoksisinin şokun irreversibl dönemini oluşturduğu düşünülür. Bu dönemde kan hacmi düzeltildse de dolaşım yetersizliği devam eder. Doku hipoksisinin etkilerine muhtemelen kan akımındaki toksik faktörler de eşlik eder.<sup>20</sup>

Yetersiz dolaşımı düzeltmeye bir seçenek, dokuların metabolik gereksinimlerini azaltarak ve normal dolaşımla uyusan koşulu yaratmaktadır. İşte bu koşulu hipotermi sağlar. Hipoterminin de bazı sakincaları vardır. Bundan başka bazı metabolik gereksinimler kan ile sağlanır ve hipotermi bu konu da fazla yardımcı olamaz. Hipotermi kan kaybına bağlı şokun tedavisi ve önlenmesinde potansiyel olarak koruyucu ya da önleyici olarak kabul edilmiştir. Bu hipoksye toleransı artırmasına bağlıdır. İkinci olarak da hipotermi pressör etkisi ile kan basıncını düzeltir ve devam ettirir. Böylece böbreklerin fonksiyon dışı kalmasını önler. Değişik araştırmalarda şokun derecesi ve kullanılan hipotermi seviyesi değişik olduğundan elde edilen sonuçlar birbirine ters düşer durumdadır. Hipotermi yaşamı uzatır fakat garanti etmez.<sup>7</sup>

Bazı araştırmacılar ise kanamadan sonra uygulanan hipoterminin yaşamı emin biçimde uzattığını ileri sürmüşlerdir.<sup>6</sup> Hipoterminin şok-

tan önce uygulanmasında sonra uygulanmasına göre daha yüksek oran- da ölüm meydana geldiği de bildirilmiştir.<sup>35</sup> Şok şiddeti arttıkça hipoterminin koruyucu etkisi giderek azalır. 28°C nin altında ise fayda yerine zarar getirir.

### Hemorajik Şokta Morfolojik Değişiklikler

Geçen ve içinde bulunduğuümüz yüzyılda hastalıkların ve değişik etkenlerin biyolojik etkileri konusunda ışık mikroskopik incelemelerde büyük ilerlemeler sağlanmıştır. Hastalık ve traumalarda fizyolojik değişikliklerin yapısal değişikliklerle beraber olduğu ve bunun hastalık anlayışında ileri bir görüş getirdiği kabul edilmektedir. Ancak ışık mikroskopik bulguların da bu konuda yetersiz kaldığı bir gerçektir. Elektron mikroskopik tekniklerin ilerlemesi ile fonksiyonel değişikliklerin hücre alt yapı bileşenlerinde değişimlerle birlikte olduğu açık sezik ortaya konmuştur.<sup>10, 12, 13, 16, 23</sup> Bazı araştırmacılar irreversibl şokta ve hemorajiden sonra ölen hastalarda yapılan böbrek incelemelerinde glomerüllerin normal olduğunu bulmuşlardır.<sup>10, 12, 28, 32</sup> Yine hemorajik şokta köpekler üzerinde yapılan bir çalışmada kalp kasında ve özellikle interkale disk bölgesinde miyositlerde sarkomer bozukluğu, z-bandlarının parçalanmış olduğu ve filamentlerin yer değiştirdiği gösterilmiştir. Aynı çalışmada mitokondrilerin merkezden perifere yer değiştirdiği bulunmuştur.<sup>23</sup> Hemorajik hipotansiyonda ve hemorajide renal tüp hücrelerinde lizozomal asit ve alkalen fosfataz aktivitesi azalırken, lizozomal ve olmayan enzimlerin plazma seviyesi artar.<sup>3, 28</sup> Bu bulgu ile şok şiddeti arasında pozitif korelasyon vardır.<sup>6</sup> Bütün şok çeşitlerinde hücrelerde bir şişme olduğu kabul edilmektedir. Hücre ödemi için kanıt mitokondrilerde ve sarkoplazmik retikulumda şişme gösterilir. Ancak bu hal geç dönemde görülür.<sup>15</sup> Bu görünüşün aksine hemorajide membran potansiyeline meydana gelen azalma ile membran pompası etkilenir ve hemorajiden hemen sonra çok erken devrede hücre ödemi meydana geldiği bildirilmiştir.<sup>7</sup> Bu bulguya kuvvetlendiren bir kanıt şokta laktat yapımının arttığı, ATP depolarının azaldığı ve inorganik fosfatların artlığıdır.<sup>4, 5, 11</sup>

Hipotansiyonun 60 ve 90 dakika devam ettiği deneylerde en büyük morfolojik değişiklik proksimal tübüne pars konvulota ve rektasında görülür. Hücresel değişiklik olarak endoplazmik retikulumda genişleme, nükleär kromatinde kümelenme ve mitokondrilerde şişme görülür.<sup>20</sup> Bu meyanda mitokondrilerin etkinliği azalır ve hücrelerde elektron mikroskopik olarak morfolojik değişiklikler oluşur.<sup>5, 15</sup> Malininin, vitro olarak iskemide 7.5 dakikadan sonra ultrastrüktürel değişikliklerin başladığını bildirmiştir.<sup>22</sup> Bu değişimler nükleuslarda, mitokondrilerde

ve graniüler endoplazmik retikulumdadır. Nükleusta hücre kromatini zara doğru çekilir (marginasyon). Mitokondriler genellikle normaldir, ancak bazlarında fokal şişme görülür. Endoplazmik retikulum ribozomlarında kopma ve kendilerinde genişleme görülür. İskeminin 15. dakikasından sonra lizozomal alterasyonlar başlar. Bunlar fokal membran defekti ya da matriks kaybı şeklindedir. Bu değişiklikler muhtemelen reversibl ve hücre için öldürücü değildir.

### *Materyal ve Metot*

Çalışmada ağırlığı 16-32 kg. arasında değişen erkek ve dişi köpekler kullanıldı. Çalışma 28 köpek üzerinde yapıldı. Köpekler 14 lük iki grubu ayrılarak her grubun ağırlık ve cinsiyetinin homojen olmasına özen gösterildi.

**A. Normotermik Grup:** Anestezi sodium Nembutal ile yapıldı (30 mg/kg). Hemen arkasından ameliyat masasına alınarak trachea entübasyonu yapıldı. Köpeğin karın ve arka ayak iç yüzlerinin traş ve temizliği yapıldı. Her iki tarafta femoral arter ve bir tarafta femoral ven kateterize edildi. Arteria femoralislerden biri arteryel kan basıncını ölçmek için, diğerini kanatma için kullanıldı. Vena femoralis alınan kanın reinfüzyonu için kullanıldı. Hemoraji sırasında oluşabilecek damar içi pihtlaşmayı önlemek için köpekler 2-5 mg/kg. heparinle heparinize edildi.<sup>19, 29, 30</sup>

Karin orta hat üzerinden ve ksifoidin altından yapılan bir insizyonla açıldı. Her iki böbrek karın ekartörle açılarak görülür hale getirildi. Arteryel kan basıncı hem direkt olarak arterden transducer (statham model P23 AA) ile poligrafta (GME Midleton, Wisconsin Model M5P) hem de cıvalı U-manometresi ile kaydedildi. Hayvanın vücut ısısı özefagus yerleştirilen sondaya (probe) bağlı olan Tele-Termometre ile kontrol edildi. Bu grupta bir kaç köpekte 1-1.5°C kadar bir ısı düşmesi meydana geldi ve bu, içinde 40°C lik su bulunan bir termofor uygulanarak normale döndürüldü. Kontrol için biyopsi örneği biyopsi iğnesi ile (Franklin modifiye Vim silverman 2N-2702) alındı. Biyopsi materyali her deneyde aynı bölgeden ve korteks ile medüller örnekleri içerecek şekilde alındı. Kontrol örnekleri alındıktan sonra deneysel hemorajik şok oluşturmak üzere köpekler, arteryel basınç 50-60 mmHg. na düşene dek arterden heparinli şişeye kanatıldı.<sup>17, 19, 31, 33</sup> Bu kanatma işlemi köpeğe değişimkçe beraber genellikle 10-15 dakikada tamamlandı.<sup>9, 14</sup> Arkasından 90 dakikalık şok devresi için beklenmeye başlandı. 90 dakikanın bitiminde alınan kanın tekrar femoral venden yine 10-15 dakikada 50 ml. lik enjektörle hayvana verilmesine başlandı.

Kan basıncı köpeklerin çoğunda kontrol düzeylerine döndü. Reinfüzyondan sonra hayvanın genel stabilizasyonu için 15 dakika beklandı ve arkasından deneysel devre için biyopsi örneği alındı.

**B. Hipotermik Grup:** Bu grupta da cerrahi işlemler normotermik gruptaki gibi yapıldı. Sonra kontrol biyopsisi alındı. Arkasından hayvan 31°C ye kadar soğutulmaya başlandı. Soğutma yöntemi olarak ekstracorporeal perfüzyon hipotermi yöntemi yani kanın vücut dışında soğutularak hayvana verilmesi seçildi. Bu yöntem diğer hipotermi yöntemlerine göre üstünlük taşır.<sup>24</sup> Arteria femoralisten alınan kan kalınca çaplı bir tygon kanül ile ısı değiştiriciden (Heat exchanger, Cyba surgical ins. Balti, MD21236) ile vena femoralisten hayvana verildi. Soğutucu sisteme bir de ultrathermostat vardır (Hake type West Germany, Nr 642123). Bu, içinde sirküle eden suyu istenilen düzeyde tutacak özel liktedir. İsi değiştiricisinin bir yarısından kan, diğer yarısından soğuk su geçer. Bu geçiş sırasında kan ve su arasında ısı alış-verışı meydana gelerek kan soğutuldu. Bu surada köpeğin vücut sıcaklığı kontrol edildi. Vücut isisi 31°Cye inince hayvan önce anlatıldığı şekilde arteriyel basınç 50-60 mmHg.na düşene dek kanatıldı. Sonra 90 dakikalık bekleme periyoduna başlandı. Bu periyodun sonunda soğutucu sistem bu kez ısıtma amacı ile kullanılarak hayvan normal vücut sıcaklığına (37-38°C) dönüştürüldü. Bunun ardından deneysel koşulları yansıtacak olan biyopsi örneği alındı. Biyopsi materyali ışık mikroskopu için %10 fosfat tamponlu (pH: 7.4) formalin kapsayan şişeye konuldu. Bundan sonra doku rutin işlemlerden geçirilip parafine gömüldü ve 3 mikronluk kesitleri hazırlandı. Hematoklin-Eozin'e ilaveten, periyodik Acid Schiff (PAS), retikulum boyası, hemoglobin, demir ve yağ boyaları yapılip ışık mikroskopunda incelendi ve Zeiss photomicroscope 11 ile mikrofotoğrafları çekildi.

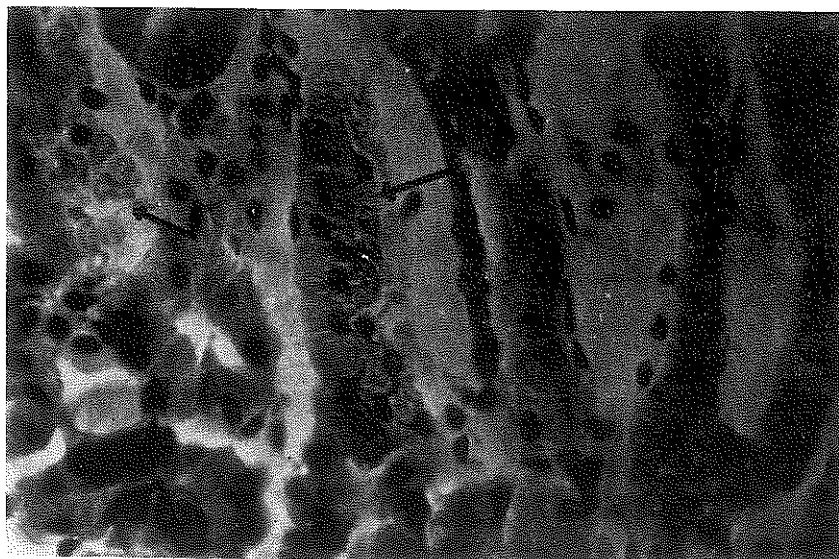
Böbrekten elde edilen materyal ayrıca rutin elektron mikroskopik inceleme için Collidin-s ile tamponlanmış % 2 Osmium tetroksit ( $\text{OsO}_4$ ) içinde 1 saat fiks edildikten sonra bir seri alkol ve proplen oksit dehidratasyonuna alındı. Bunu takiben maraglas karışımı içinde gömme işlemine tabi tutuldu. Polimerizasyon için 48 saat 60°Cde bırakılan bloklardan LKB ultrotom 111 ile hazırlanan ince kesitleri kurşun sitratla kontrastlandıktan sonra EM-9 S<sub>2</sub> Zeiss elektron mikroskopta incelemeye alındı.

#### Bulgular

**A. Işık Mikroskopik:** Normotermik grupta alınan biyopsi örneklerinden kontrola göre ışık mikroskopu ile Bowman kapsülü boşluğununda belirgin bir genişleme ya da daralma izlenmemiştir, buna karşın bazı glo-

merüllerin Bowman kapsülü boşluğunda proteinöz bir sıvının varlığı saptanmıştır. Glomerüler yumak kapillerlerinden belirgin bir hiperemi görülmemiş fakat bazı glomerüllerin paryetal yaprakları altında bazo-filik, homojen görünümlü bir yapı saptanmıştır. Bu yapının yaprağın bütününde görülmeyip ancak bir kısmında seçilişi ilginç bir bulgu olarak kabul edilmiştir. Glomerül bazal membranında PAS boyası ile bir düzensizlik veya parçalanma görülmemiştir.

Proksimal tüplerde normotermik grupta dikkati çeker bir dilatasyon görülmemiştir. Buna karşın bazı alanlarda tübüller epitelyumun hafif asidofilik olduğu izlenmiştir. Proksimal tüplerin çoğulukunda epitellerde şişme, stoplazmalarında kaba granüler görünüüm ve bazı tüplerin epitellerinde ise daha ileri dejeneratif değişiklikler ve lümene bakır yüzlerinde düzensizlikler, parçalanmalar ve lümende eritrositler saptanmıştır (Şekil 1).



**Şekil 1**

Lümende eritrositler ve epitelde dejenerasyon. X 500 H. E.

Bazı tüp lümenleri ise hücre yıkıntıları (derbis) ile tamamen tikanmış olarak bulundu (Şekil 2). Ayrıca tüp epitellerinde koyu sarı-kahverenkli yağ damlaları izlenmiş ve bunlar yağ boyası ile olumlu sonuç vermiştir. Distal tüplerin bazı alanlarında çok belirgin olmak üzere dilatasyon gözlenmiştir. Epitellerde dejeneratif değişiklikler saptanmamış ancak bazlarının lümenlerinde az da olsa eritrositler görülmüştür.



Şekil 2

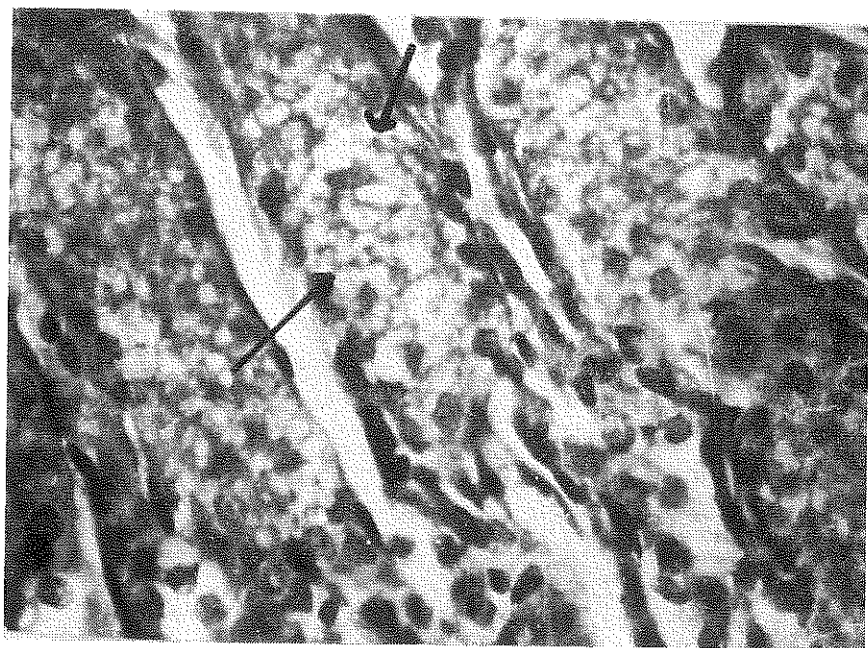
Lümenin nekrotik hücre kalıntıları ile tikanmış olduğu izlenmektedir. X 500 H. E.

Toplayıcı kanalların çoğunuğunda lümende eritrositler, nekrotik hücre kırıntıları ve pigment silindirler izlenmiştir. İnterstisyumda kapillerlerdeki dilatasyon ve konjesyon yanında bazı bölgelerde dikkati çeken kadar belirgin kanama alanları görülmüştür.

Hipotermik grupta Bowman kapsülü boşluğunda genişleme, daralma veya sıvı varlığı izlenmemiştir. Buna karşın glomerüler yumak kapillerlerinde belirgin konjesyon görülmüştür. Bazı alanlardaki proksimal tüp epitellerinin aşırı asidofilik görünümlerinin dışında bu tüplerde belirgin bir patolojik görünüm saptanmamıştır. Fakat distal tüp epitellerinde vakuoler dejenerasyon izlenmiş, tüp lümenleri dejeneratif hücrelerle tamamen tikanmış olarak bulunmuştur (Şekil 3).

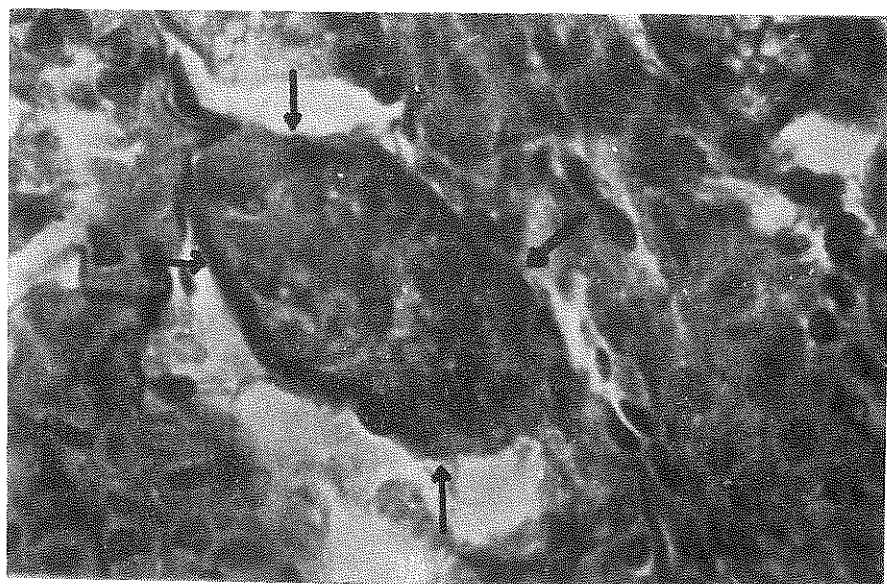
Bu tür dejeneratif değişiklikler gösteren tüplerin bazal membranında PAS boyası ile düzensizlikler saptanmıştır (Şekil 4). Bu kısımlarda bazal membran oldukça kalın bir görünümde ve bir yerde kesintiye uğramış olarak izlenmiştir.

Bu bulguyu kuvvetlendirmek için bir düzlemden geçmeyen kesitler yapılmış ve yine aynı netice elde edilmiştir. Böylece bazal membranın bazı alanlarda inceldiği ya da koptuğu kanısına varılmıştır. Toplayıcı tüplerde epitel hücrelerinde dejenerasyon izlenmiş, lümenlerinde hücre kırıntıları bulunmuştur.



Şekil 3

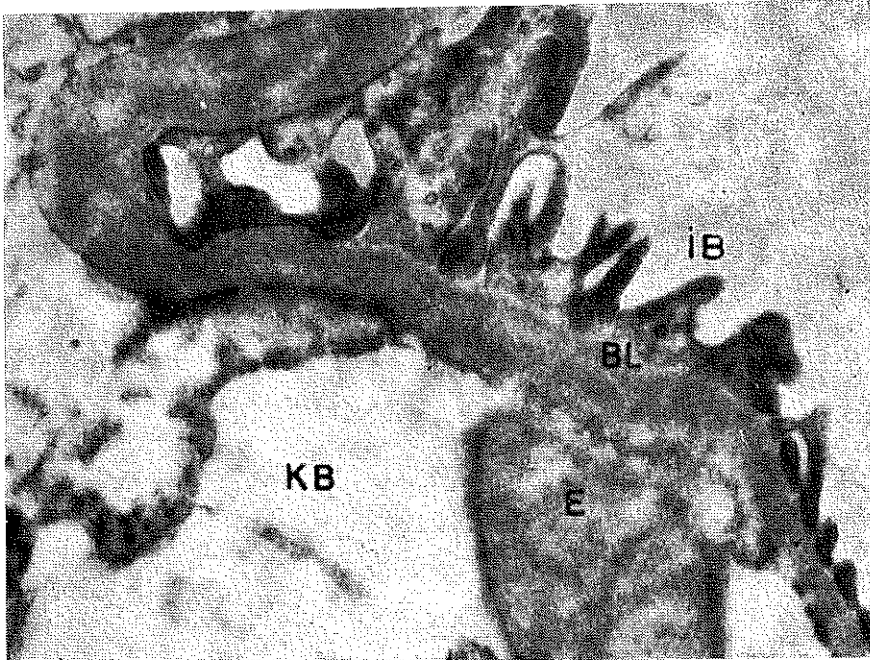
Dejeneratif değişiklikler gösteren epitel hücreleri. X 500 H. E.



Şekil 4

Distal tüp bazal membranında düzensizlikler. X 500 PAS.

**B. Elektronmikroskopik:** Normotermik grupta incelenen preparatlarda glomerüllerde kontrola göre şok örneklerinde anlamlı bulgu saptanmamıştır (Şekil 5). Tubuluslarda genellikle stoplazmada belirgin hidropik şişmenin hakim olduğu izlenmektedir.



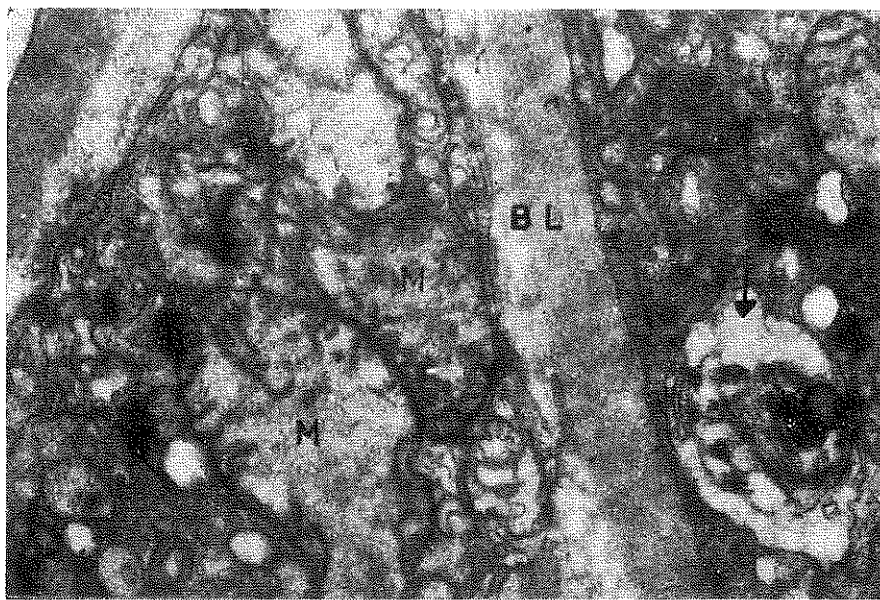
Şekil 5

Normotermik şokta glomerül ince yapısının korunduğu görülmeye. X 30.000.  
IB: İdrar boşluğu, BL: Bazal lamina, E: Endotel hücresi, KB: Kapiller boşluk.

Stoplazmik organellerden mitokondrilerde şişme, matriks opesite-sinde azalma, krista deformiteleri, parçalanma miyelin figürleri oluşması ile bazlarının yozlaşma odakları haline döndükleri görülmektedir (Şekil 6). Çekirdek ve diğer organellerle inklüzyonlarda ve bazal laminada seçilebilir değişiklik bulunmamıştır.

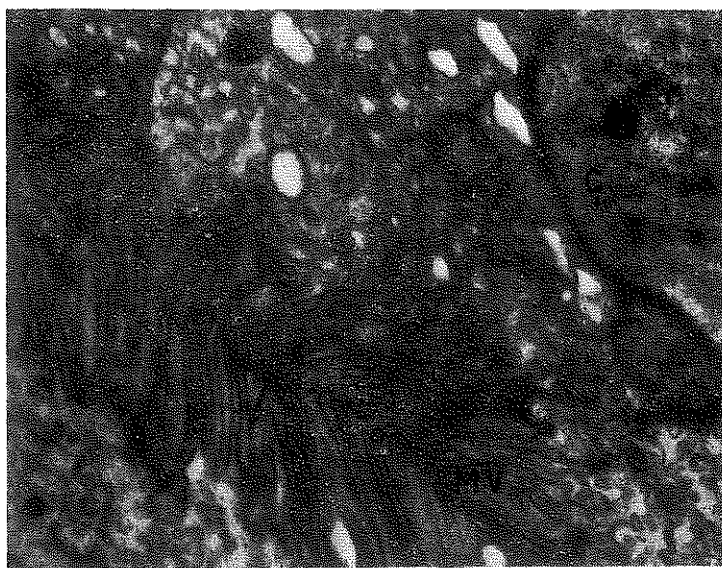
Kapiller boşlukta çoğunlukla organel artıkları, kan hücreleri ve amorf materyalden oluşan debrislere sıkılıkla rastlanmıştır. Bazı proksimal tubulus hücrelerinin kapalı olduğu görülmektedir (Şekil 7).

Hipotermik grupta incelenen preparatlarda glomerülde kontrola göre şoka bağlanabilir değişiklikler görülmemiştir. Tübüler hücrelerde orta derecede hidropik şişme gözlenmiş, mitokondrilerin bütünlüklerini korudukları saptanmıştır (Şekil 8).



Şekil 6

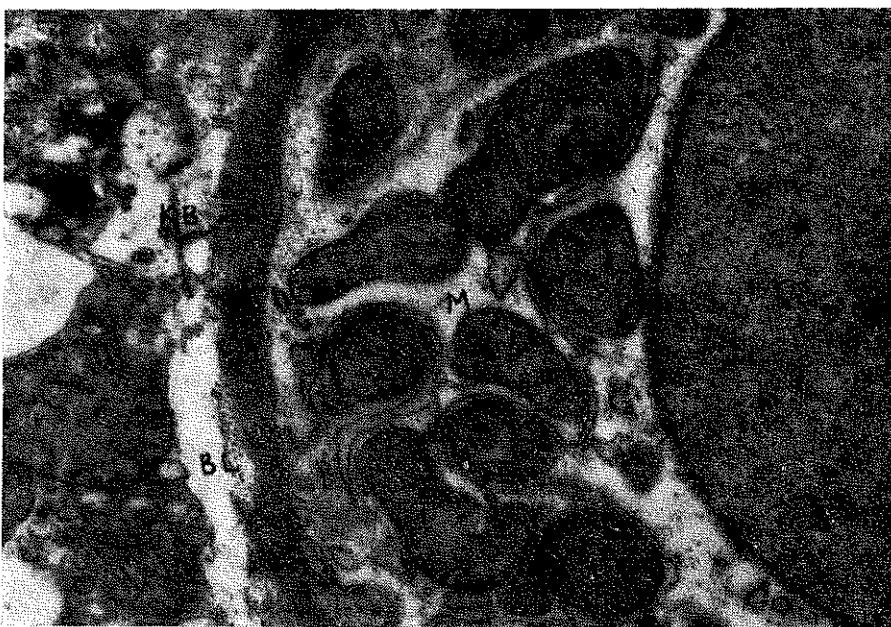
Normotermik şokta proksimal tubulustan bir kesit. Mitokondrilerde kristal deformitesi ve oluşmuş bir yozlaşma odağı (ok) belirgin olarak seçiliyor. X 28.000  
BL: Bazal lamina, M: Mitokondri.



Şekil 7

Normotermik şokta proksimal tubulustan bir kesit. İdrar boşluğunun (ok) kapanması izleniyor. X 16.000.

Ç: Çekirdek, Mv: Mikrovillus.



Şekil 8

Hipotermik şokta proksimal tubulustan bir kesit. Stoplazmada hafif hidropik şişme. Mitokondrilerde morfolojik bütünlük korunmuş. Kapiller boşlukta organel, trombosit ve bazı artıklar izleniyor. X 16.000.

KB: Kapiller boşluk, M: Mitokondri, Ç: Çekirdek, BL: Bazal lamina.

### Tartışma

Morfolojik olarak normotermik grupta ışık mikroskopu ile kontrola göre bazı glomerül kapillerlerinde dilatasyon saptandı. Proksimal tüp epitellerinde şişme, düzensizlik, lümenlerinde eritrositler ve hücre yıkıntıları bulundu. Elektron mikroskopik olarak glomerüllerde kontrola göre önemli bir bulguya rastlanmadı. Tubuluslarda hidropik şişme izlendi. Mitokondri matriks opasitesi azalmış bulundu. Hift ve arkadaşları bu azalmayı matrikste şişmeye bağlamışlardır.<sup>12, 13</sup> Elektron mikroskopik bulgular, normotermik şokta seçilebilir subsellüler morfolojik lezyonun daha çok tubuluslar düzeyinde ve hücre itibarıyle deney koşullarından en çabuk ve en belirgin etkilenen organelin de mitokondri olduğunu işaret etmektedir. Deney örneklerine göre, yaratılan koşullarda ortaya çıkan subsellüler patoloji genel olarak reversibl nitelikte görülmüştür.

Hipotermik grupta ışık mikroskopik olarak kontrola göre glomerüler yumak kapillerlerinde belirgin konjesyon izlenmiştir.<sup>1</sup> Distal tüp epitellerinde vakuoler dejenerasyon izlenmiştir. Bu tüplerin bazal memb-

ranlarında düzensizlikler bulunmuştur. Hipoterminin böbrekte morfolojik değişiklik oluşturmadığı, enzim kapsamlarına etkimedigi bildirilmiştir.<sup>26</sup>

Elektron mikroskopik olarak tubuluslardaki hücrelerde orta dereceli şişmenin dışında mitokondriler bütünlüklerini korumuş olarak bulundu.

### Özet

Deneysel hemorajik şokta (50-60 mmHg) uygulanan orta derecede hipoterminin ( $31^{\circ}$ ) böbrek morfolojisine etkisini araştırmak amacıyla yapılan bu çalışmada:

1- Normotermik grupta ışık ve elektron mikroskopik olarak kontrolda göre önemli sayılabilen değişiklikler bulunmaktadır.

2- Hipotermik grupta ışık ve elektron mikroskopu ile glomerüler yumak kapillerlerinde hiperemi, proksimal tüp epitellerinde şişmenin yanında mitokondrilerin bütünlüklerini korudukları tespit edilmiştir.

Uygulanan hipoterminin hücre düzeyinde hipoksye karşı bazı organel ve fonksiyonları korumasının yanında zararlı etkilerinin de olabileceği kanısı uyanmıştır.

### KAYNAKLAR

1. Anger, G., and Pauer, H. D.: Histologische Untersuchungen an freipräparierten Kaninchenn vor und nach Oberflächennunterkühlung, Z. Exper. Chirurg., **6**: 393, 1973.
2. Antos, R.: Influence of hypothermia and hyperthermia on survival time of dogs in hemorrhagic shock., Proc. Exper. Biol. and Med., **56**: 60, 1944.
3. Arfman, R. C., Loegering, D. J. and Smith, J. J.: Changes in plasma levels of lysosomal and non lysosomal enzymes during hemorrhagic hypotension, Soc. Expt. Biol., **149**: 1029, 1975.
4. Baue, A. E. and Sayeed, M. M.: Alterations in the functional capacity of mitochondria in hemorrhagic shock, Surgery. **68**: 41, 1970.
5. Baue, A. E., Nurth, M. A., Chaudry, I. H., and Sayeed, M. M.: Impairment of cell membrane transport during shock and after treatment, Ann. Surg., **178**: 412, 1973.
6. Bell, M. L., Herman, A. H., Smith, E. E., Egdahl, R. H., and Ruterberg, A. M., Surgery., **70**: 341, 1971.
7. Blalock, A., and M. F. Mason: A comparison of effects of heat and those of cold in the prevention and treatment of shock, Arch. Surg., **42**: 1054, 1941.
8. Bull, G. M., Joekes, A. M., Lowe, K. G.: Renal function studies in acute tubular necrosis., Clin. Sci., **9**: 379, 1950.

9. Chien, S.: Role of sympathetic nervous system in hemorrhage, *Physiol. Rev.*, **47**: 214, 1967.
10. Balgard, O. Z.: An electron microscopic study on glomeruli in renal biopsies taken from human shock kidney, *Lab. Invezt.*, **9**: 364, 1960.
11. Engle, F. L.: The significance of metabolic changes during shock, *Ann. N. Y. Acad. Sci.* **55**: 381, 1962.
12. Hift, H. and J. G. Strawitz: Irreversible hemorrhagic shock in dogs., structure and function of liver mitochondria, *Amer. J. Physiol.*, **200**: 264, 1961.
13. Hift, H. and J. G. Strawitz: Structure and function of mitochondria in irreversible shock, *Proc. Soc. Exp. Biol. Med.* **98**: 235, 1958.
14. Hirasawa, H., Odaka, M., Tabata, Y.: Tissue blood flow in brain, liver, renal cortex and renal medulla in experimental hemorrhagic shock, *Crit. Care. Med.* **5**: 141, 1977.
15. Holden, W. D., Depalme, R. G., Druker, W. R.: Ultrastructural changes in striated muscle cells in rats, *Ann. Surg.*, **162**: 517, 1965.
16. Irmak, S., Emiroğlu, F., Gökhann, N.: *Fizyoloji Dersleri*, Cilt, 11, Sermet Matbaası, İstanbul, 1972, s. 581.
17. İliçin, G., Bozer, A. Y.: *Şok, Patogenez ve tedavisi*, II. Baskı. Hacettepe Üniversitesi Yayınları, 1977.
18. Kay, D.: Techniques for electron microscopy, 2. ed. Ed. Blackwell, Sci. Pub. Oxford. 1965, s. 166-213.
19. Kovach, A. G. B., Rosell, Sandor.: Blood flow, oxygen consumption and free fatty acid release in subcutaneous tissue during hemorrhagic shock in control and phenoxybenzamine treated dogs, *Cir. Res.*, **26**: 737, 1970.
20. Kramer, K. In.: *Shock Pathogenesis and therapy*, Berlin, Göttingen, Heidelberg: Springer, 1962, s. 134.
21. Lauson, K. D., Bradley, S. E., Cournand, A.: The renal circulation in shock, *J. Clin. Invest.*, **23**: 381, 1944.
22. Malinin, T. I.: Reversibility of cellular injury due to inadequate perfusion. Charles C Thomas. Publisher. Illinois U. S. A. 1972, p. 300.
23. Martin, A. M., Hackel and S. M. Kurtz: The ultrastructure of zonal lesions of the myocardium in hemorrhagic shock, *Amer. J. Pathol.*, **44**: 127, 1964.
24. Mc Millan, I. K. R., Machell, S. E.: The technique of induced hypothermia, *Brit. Med. Bull.*, **17**: 32, 1961.
25. Merker, E. H., Birberck, M. S. L.: *Electron microscopy. A hand book for biologists*. 2. ed. Blackwell. Sci. Pub. Oxford., 1966, s. 84.
26. Morales, P., Carrberry, W., Morello, A., and Morales, G.: Alterations in renal function during hypothermia in man, *Ann. Surg.*, **145**: 488, 1957.
27. Powers, R. S.: Relation of acute tubular necrosis to shock and the effect of mannitol, *Amer. J. Surg.*, **110**: 330, 1965.
28. Puchalski, Z., Zimonock, L., Musiatowicz, B.: Systemic hemodynamics and renal histology and histochemistry in hemorrhagic shock and post hemorrhagic period, *Pol. Med. J.*, **11**: 1106, 1972.
29. Shoemaker, W. C., Walker, W. F., and Turk, L. N.: Role of the liver in the development of hemorrhagic shock, *Surg. Gynecc. and Obst.*, **112**: 327, 1961.

30. Shoemaker, W. C.: Pathophysiologic mechanisms in shock and their therapeutic implications, *Am. J. Surg.*, **110**: 337, 1965.
31. Shomemaker, W. C., Walker, W. F., and Moore, F. D.: Hepatic blood flow in hemorrhagic shock, *Surg. Forum*, **9**: 30, 1959.
32. Strawitz, J. G., and Hift, H.: Subcellular changes in hemorrhagic shock, In: Mills, L. C., and Moyer, H. J. editors: *Shock and hypotension* N. Y. Grune and Stratton, Inc. 1965, p. 637.
33. Vick, J. A., Heiffer, M. H.: Treatment of hemorrhagic shock with a new vaso dilatator, *Milit. Med.*, **139**: 490, 1973.
34. Watts, D. T.: Arterial blood epinephrine levels during hemorrhagic hypotension in dogs, *Amer. J. Physiol.*, **184**: 271, 1956.
35. Wilson, J. N., S. B. Marshall, V. Beresford, Montgomery, and H. Swan: Experimental hemorrhage: Dilatereous effect of hypothermia on survival and comparative evaluation of plasma volume changes, *Ann. Surg.*, **144**: 696, 1956.

# Prematür Doğum Eyleminin Durdurulmasında Salbutamol'ün Rolü\*

**Dr. Tekin Durukan\*\* / Dr. Ali Ayhan\*\* / Dr. Nejat Ceyhan\*\*\* /**

Prematür doğum eylemi gebeliğin 37. haftasından önce uterus kontraksiyonlarının başlaması ve serviksin 3-4 cm. den fazla açılmasıdır. Eylemin durdurulmasından amaç, fetüs 37. gebelik haftasına yaklaşırak pramatüriteye bağlı ölümleri azaltmaktadır. Prematür doğum eyleminin durdurulmasında prensipler; yatak istirahati, bebeği etkileyeceğ sadatif ilaçlardan kaçınmak, uterus kontraksiyonlarını inhibe eden ilaçları vermektedir. Günümüzde uterus kontraksiyonlarını durdurmak için şu ilaçlar verilmektedir: (1) Progesteron ve sentetik deriveleri, (2) Etil alkol, (3) Prostaglandin inhibitörleri, aspirin ve indomathacine, (4) Beta-sempatomimetik ilaçlar, isoxsupurine, orciprenaline, ritodrin, salbutamol. Pramatür eylemin ilaçla durdurulması için aranan şartlar ise şunlardır: (1) Fetüs canlı olmalı, (2) Fetüs ağırlığı tahminen 2500 gr. dan az olmalı (3) Su kesesi intakt olmalı, (4) Gebeliğin devamını engelleyeceğ obstetrik ve medikal durumlar olmamalı, (5) Serviks açılığının 4 cm. den az olmalıdır.<sup>1</sup>

## *Materyal ve Metot, Bulgular*

Salbutamolün prematür eylemin durdurulmasındaki etkinliği, yaşları 19-32 arasında değişen II primipar ve 8 multipar hastada denenmiştir. Gebelik haftaları 24-35 hafta, ortalama 32-33 haftalık iken hastalar kabul edilmişlerdir.

Uterus kontraksiyonları eksternal kardiyotokografi ile kaydedilmiştir. Serviks açılığı 3 cm. ve altında olanlara salbutamol verilmiştir.

\* Hacettepe Üniversitesi Tıp Fakültesi Kadın Hastalıkları ve Doğum Bilim Dalı Çalışmalarından

\*\* Hacettepe Üniversitesi Tıp Fakültesi Kadın Hastalıkları ve Doğum Bilim Dalı Doçenti.

\*\*\* Aynı Fakülte Kadın Hastalıkları ve Doğum Bilim Dalı Asistanı.

Salbutamol, 5 mg. 500 cc dekstroz içinde intravenöz infüzyon şeklinde dakikada 10 damla ile başlanmış, kontraksiyonlar duruncaya kadar artırılmıştır, maksimum 60 damlada tutulmuştur. Bu şekilde 6 saat tedaviye devam edilmiştir, kontraksiyonların kaybolduğu yine tokografik olarak saptanmıştır. İkinci 6 saate tedaviye yarı dozda. i.v., devam edilmiştir. İlk haftada, 4 mg. lik tabletler 3x1 verilmiştir. Hastalarda çarpıntı ve tremora rastlanmadı.

Tedavi sonuçları Tablo, I'de özetlenmiştir.

TABLO I

Tedavinin başlaması ve doğum arasındaki zaman	Doğumda gebelik haftası ve çocuk ağı.	Bebegin prognozu
1 hafta	1890 gr, 33 Hafta	Multipl anomalii, ex.
2 "	2350 " 35,5 "	İyi
7 "	1900 " 34 "	İyi
1 "	2120 " 35 "	İyi
4 "	2720 " 37 "	İyi
4,5 "	2050 " 35 "	İyi
3 "	1500 " 36 "	İ.u.ex
6 "	2920 " 38 "	İyi
4,5 "	1980 " 34 "	Kötü Özofagus atrezisi, ex.
4 "	2040 " 35 "	Meningosel, ex.
1 "	2080 " 33 "	İyi
1 "	3390 " 34 "	İyi
5 "	820 " 29 "	İ.u.ex.
72 Saat	1440 " 31 "	İyi
9 Saat	2040 " 34 "	Sepsis, ex.
4 Gün	1200 " 32 "	Sepsis, ex.
12 Saat	840 " 27 "	ex.
16 Saat	860 " 27 "	ex.
19 Saat	1040 " 29 "	ex.

Kontraksiyonların 1 hafta ve daha fazla durması tedavide olumlu sonuçtır.

Sonuç olarak, 13 hastada uterus kontraksiyonları durdurulabildi. Ortalama 4 hafta sonra spontan doğum oldu. Bebeklerden 8'i iyi durumda taburcu oldu, 3 bebek konjenital anomali nedeniyle, 2 bebek sepsis nedeniyle kaybedildi. Salbutamol ile kontraksiyonları durdurulamayan 6 hastada 9 saat ile 4 gün arasında spontan doğum olmuştur, ancak 1 bebek iyi durumda taburcu edilmiştir. Kontrol grubu, yalnız yatak istirahati verilen salbutamol veya başka tür kontraksiyon durdurucu ilaç verilmeyen hastadan oluşturuldu. Kontrol grubunda (24 hasta), ortalama 21,2 saat sonra spontan doğum olmuş, bebeklerden 6'sı iyi durumda taburcu edilmiş, 16'sı respiratuvar distress, 2 si konjenital anomali nedeniyle kaybedilmişlerdir.

### *Tartışma*

Prematür eylem durdurulmasında kullanılan ilaçlardan, progesteron ve derivelerinin değeri tartışılmıştır, etkili olmadıkları kabul edilmektedir.<sup>2</sup> Prostaglandin inhibitörlerinin duktus arteriosusun erken kapanması ve nöronal nekrozis gibi ağır yan etkileri vardır.<sup>3</sup> Günümüzde en çok kullanılan etil alkol ve beta-sempatikomimetik ilaçlardır. Etil alkol oldukça etkindir ve % 80 oranında prematür eylemi durdurmaktadır.<sup>4</sup> Beta-sempatikomimetik ilaçlardan isoxsupurine etkin bulunmamıştır.<sup>5</sup> Ritodrine %80 oranında prematür eylemi durdurmaktadır.<sup>6</sup> Salbutanol 4'ün prematür doğum eylemini 7 günden fazla durdurması %5'i oranında saptanmıştır.<sup>7</sup>

Vaka serimizde salbutamol %56 oranında prematür doğum eylemini 7 günden fazla sürede durdurmıştır, %44 oranında sonuç olumsuzdur. Tedaviye cevap veren vakalarda perinatal mortalite %25, cevap vermeyen vakalarda perinatal mortalite %85'dir. Beta sempatikomimetik ilaçların, hyalen membran hastalığına karşı koruyucu rolü olduğu belirtilmektedir.<sup>8</sup> Salbutamol ve etil alkolün karşılaştırılmasında belirgin fark bulunmamıştır.<sup>9</sup>

### *Sonuç*

Salbutamol, prematür eylemin durdurulmasında %56 oranında etkin bulunmuş, perinatal bebek mortalitesi ise %25 olarak saptanmıştır. Kontrol grubunda ise bebek mortalitesi %75 dir. Hyalen membrana karşı beta-sempatikomimetik ilaçların olumlu etkisi olduğu gözükmemektedir.

### *KAYNAKLAR*

1. Obstetrics and gynecology, Editor N. Danforth.: Harper Row, 1977, 621.
2. Barden, P. T.: Premature labor. Year book of Obst. and Gynecol. 1977, 115.
3. Friedman, W. F., and others.: Pharmacologic closure of patent ductus arteriosus in the premature infant. N. Engl. J. Med., **295**: 526, 1976.
4. Zlatnik, F. J., Fuchs, F. A.: Controlled study of ethanol in threatened premature labor. Am. J. Obstet. Cynecol., **112**: 610, 1972.
5. Sriscoe, C. C.: Failure of oral isoxsupurine to prevent prematurity. Am. J. Obstet. Gynecol. **94**: 885, 1966.
6. Wesselius de Casparis and others.: Results of double blind multicenter study with ritodrine in premature labor. Br. Med. J., **3**: 144, 1971.
7. Korda, Ar., Lyneham, R. C., Jones, W. R.: Treatment of premature labor with intravenously administered salbutamol. Med. J. Aust. **1**: 744, 1974.
8. Acta Obstet Gynecol Scand **57**: 217-221, 1978.
9. Lewis, P. J.: Comparision of salbutamol and ethanol in treatment of premature labor. Br. J. Obstet. Gynecol. **85**: 761, 766, 1978.

# Nasal Septum Primer Carcinomu\*

(Primary Carcinoma of the Nasal Septum)

Dr. Osman Ö. Bititci\*\* / Dr. Arif H. Yüksel\*\*\*

**N**asal septumda gelişen malign tümörler oldukça nadir olup, ancak literatür araştırmalarıyla tek tek olgular halinde bir araya toplanabilir. Nasal cavite ve paranasal sinüslerdeki malign neoplasmaların, vücutun diğer yerlerindeki tüm kanserlere oranı % 1 den daha az (Martin'e göre % 0,2),<sup>7</sup> üst solunum yolu ve sindirim sistemi malign neoplasmalarına oranı ise aşağı yukarı % 3 tür. Nasal septumun benign ve malign tüm tümörlerini, nasal cavite ve paranasal sinüslerdeki oranlarsak,<sup>5</sup> bunun ancak % 1 ve bu oranın malign tümörlerden yana da az olduğunu görürüz.

Nasal septum carcinoma olgusuna ait ilk rapor 1902 de Gibb<sup>4</sup> tarafından yayınlanmış; Öhngren<sup>10</sup> (1933) ve Ringertz<sup>12</sup> (1938) Stockholm-Radiumhemmet'te yaptıkları araştırmalarda 391 nasal tümör içinden, septum orijinli yalnız 2 malign neoplasm olgusu bulabilmışlardır. Sooy<sup>13</sup> (1950) 11 nasal septum tümörü olgusunun 3'ünde malignite bildirmiştir; Capps ve Williams<sup>2</sup> (1950) 39 nasal cavite carcinomundan 6'sının septum orijinli olduğunu rapor etmişlerdir.

1966 da Deutsch<sup>3</sup> kendi olgusu ve yaptığı literatür araştırmalarında 27 olgu saptamış; Weimert ve arkadaşları<sup>15</sup> ise 1978 de kendi olguları ile birlikte, bu yüzyıl içinde rapor edilmiş toplam 97 olgu bulabildiklerini bildirmiştir. Aynı yıl içinde Sugiyama ve arkadaşları<sup>14</sup> 1979 da Pourquier ve arkadaşları<sup>11</sup> ve Young<sup>16</sup>, 1980 de Moiseev nasal septum orijinli olgularını yayınlamışlardır.

Yirmibeş yıllık klinik çalışmalarımız süresince, nasal septumda ilk kez saptadığımız primer squamous cell carcinoma olgumuzu, çok ender oluşu nedeniyle yayılmamaya uygun bulduk.

\* XVI. Ulusal Otolarengoloji Kongresinde bildirilmiştir; Ağustos 1981, Trabzon.

\*\* Ankara Onkoloji ve Adana Devlet Hastaneleri K.B.B. Bölümü Eski Şefi.

\*\*\* Çukurova Üniversitesi Tıp Fakültesi Patoloji Bölümü Başkanı.

*Olgı Raporu*

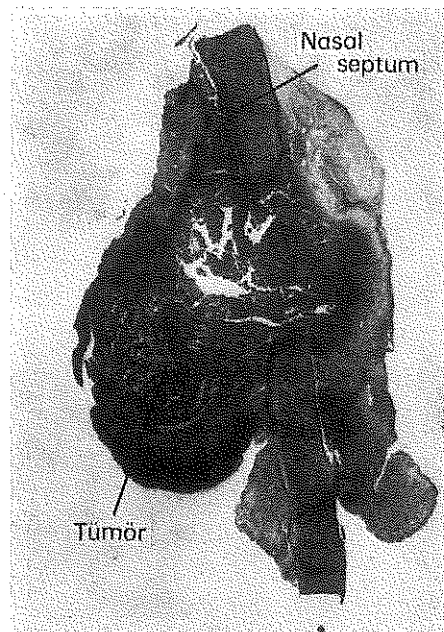
Bn. M. Koca, 55 yaşında-Adana, Karaisalı'lı. Beş yıl önce menopausa giren ve o zamandanberi de burnunda artan bir kuruluk ve özellikle sağ burunda kaşıntılı kabuklanmalar meydana gelen hastamızın, bu taraf burnunda 3-4 aydanberi gitgide büyümeye gösteren, sertçe, ellemekle hemen ve zaman zamanda kendi kendine ve son günlerde ise daha da çokça kanayan tümöral bir gelişme şikayetiyle *Orl. gic* muayeneye alındı. Rhinoscopie anteriorda nasal septumda sağa hafif deviation ve nasal mucosada hafif atrofi ile buna bağlı olarak cavum nasilerde genişleme saptandı. Septum nasi sağ anterior regiода ise 5 mm. Ø da, üzeri normal mucosa ile kaplı görünümde ve bir noktadan kanayan tümöral bir oluşum görüldü (Şekil 1). Karşı taraf septum mucosasında yaygın ve palpationla oldukça yumuşak infiltratif bir bir kalınlaşma mevcut. Bu tümöral oluşum, vestibulum nasi dermasının nasal mucosaya dönüşüm çizgisinin 3 mm. kadar gerisinde olup, Little area mucosası üzerinde yer almış durumda ve çevresi sağlam fakat hafif atrofik bir mucosa ile çevrili idi (T2). % 2 Pantocaine solutionu ile yaptığımız yüzeyel anestezi altında punch biopsi ile tümöral kitleden çok ufak bir parça alınarak, histopatolojik tetkike gönderildi ve squamous cell carcinoma diagnoze edildi (Çukurova Üniversitesi Tıp Fakültesi Patoloji Bölümü, Prot. No. 5254/8-8.10.1980). Yaptığımız klinik muayenede regional ve uzak lymph nodüllerinde hiç bir metastatic durum saptayamadık (NO,MO).

Hastamız, 20 Kasım 1980 de % 2 Pantocaine solutionu ile yüzeyel ve jetokaine (% 2 Lignocaine Chl. % 0,00125 Epinephrine)'le yapılan lokal anestezi altında ameliyata alındı; tümöral kitlenin lokalize olduğu septum, tümör çevresindeki makroskopik sağlam doku ile birlikte excise edildi ve lesion bir süre normal kanamasına bırakıldıktan sonra gaz iodoforme ile tampone edildi. Hastaya genel antibiotik+sulfamid ile lesion'a pommade Thiocillin (Bacitracine+Neomycine sulfate+vitamine A ve D<sub>2</sub>) uygulandı. Lesionun sıfاسından sonra hasta Co-60-tele-radyoterapi için Çukurova Üniversitesi Tıp Fakültesi Radyoterapi bölümüne gönderildi. Ameliyatla alınan materyalin histopatolojik tetkikinde makroskopik bulgular: Alkolde tespit edilerek gönderilen, 1,2x1x 0,6 cm. boyutlarında ve üzerinde 0,4 cm. çapında koyu kırmızı renkteki materyale kesit yapıldığında, kesit yüzeyi kirli pembe renkte olup, lezyonun kıkırdağı da aşarak alt sınıra çok yaklaştığı görüldü (Şekil 2). Mikroskopide, kesitlerde bir tarafından çok katlı yassı epithel, diğer tarafında psödostratiфиe sillι silendrik epitel bulunan doku parçasında ortadaki kıkırdağı da infiltre etmiş, epitelyal kökenli malign tümöral bir gelişme görüldü. Tümöri oluşturan hücreler iri hiperkrom nüveli, geniş sitoplazmali atipik spinal tabaka hücreleri olup, geniş alanlarda düzensiz yer yer ise psödoadenoid yapılar oluşturmuşlardır (Şekil 3 ve 4).



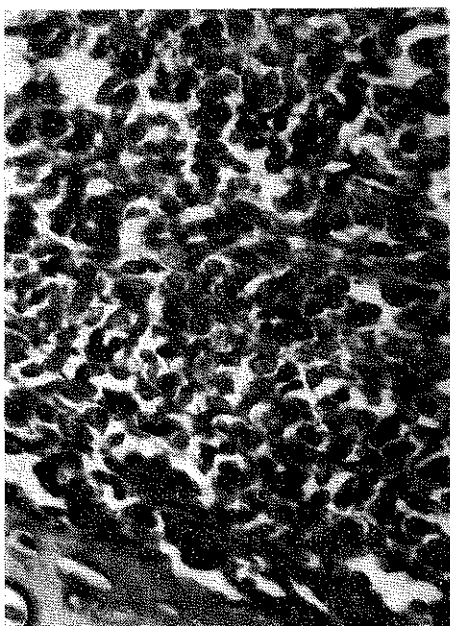
Şekil 1

Rhinoscopie anteriorda sağ cavum naside septal tümörü görünüşü.



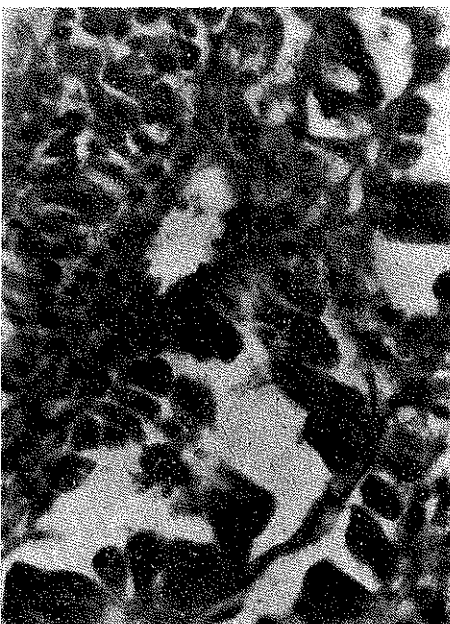
Şekil 2

Histolojik kesitin tümü (H+Ex9), Sc-Septal cartilage, T-Tümör.



**Şekil 3**

Hiperkrom nüveli, genişçe sitoplasmalı tümörün hücrelerin kıkırdak yanısına diffüz bir infiltrasyonu, H+Ex750.



**Şekil 4**

Psödoadenoid yapı oluşturmuş, atipik tümöral hücreler, H+Ex750.

**Histolojik Tanı:** Nasal septumda epidermoid carcinoma (Çukurova Üniversitesi Tıp Fakültesi Patoloji Bölümü Prot. No. 6386/80-25.12.1980).

Bugüne kadar devamlı kontrolümüz altında bulunan hastada lokal bir residiv ve metastatic bir yayılma saptanamadı.

### Tartışma

Kısaca sunduğumuz nasal septumda primer carcinoma olgumuz, yukarıdaki giriş ve literatür araştırmalarımızdan da anlaşılacağı gibi, lokalizasyon bakımından çok ender görülen bir yerde olup, dünyadaki toplam olgu sayısı da 100 civarındadır. Bu nedenle nasal septum primer malign tümörlerinde uygulanacak, kesin prensipleri içeren bir tedavi yöntemi de ortaya koyulamamıştır. Herşeyden önce, nasal septumda gelişen tümörün, aşağıda açıklayacağımız yayılma olasılıklarını etrafında gözden geçirmemiz gerekdir ki, bu hastalığın semptomatolojisini ve klinik özelliklerini ortaya koyma bakımından çok önemlidir: (a) Septumun üçte bir üst kısmında lokalize olfaktif nervusun bipolar neural cellül iplikçikleri, yukarı doğru yükselip, lamina cribiformisi geçerek, bulbus olfactorius'a ulaşırlar; septumdan anterior cranial caviteye tümörün yayılımı bu sinirler boyunca oluşabilir. (b) Nervus trigeminus opthalmic dalının nasociliar kolu, orbital cavitede, yükselsek anterior ethmoidal foramenden nasal cavite tavanına giren, anterior ethmoidal siniri verir ki, bunun da medial kolu nasal septumun ön bölümünü innere eder. (c) Sphenopalatine gangliondan çıkan anterior nasal ve inen palatine sinir dalları nasal caviteyi innere ederken, bunların medial posterior superior ve inferior dalcıkları septumda yayılırlar. (d) Terminal dalcıkları vestibulum nasi bölgesinde bulunan, nervus-trigeminus-maxillar dalının, cancer hücrelerinin perineural aralıklar boyunca, orta cranial fossaya kadar yayılışıyla, ilişkisi de oldukça önemlidir. (e) Lymphatic drenaj, vestibulum nasi bölgesi burun dış kısmı ile birlikte submaxillary nodüllere ve bunlardan primer olarak praeyascular nodüle, daha seyrekçe de retrovascular nodüle akar. Nasal septumda ise bu akış, olfactive area'da direkt olarak üst lateral pharyngeal nodüllere, respiratuvar areada praetubal plexusdan geçerek cercival jugular nodüllerden jugulodigastric nodüle veya lateral pharyngeal nodüle olur ki, bu nodül basis crani'ye yakındır.

Genellikle % 90 oranında squamous cell tipinde görülen nasal septum carcinomaları, burun kuruluğu ve anterior nasal septumda kuru kabuklanmalarla birlikte görülür. Bu kuruluk ve kabuklanmalardan sonra meydana gelen epistaxisler tümörün erken semptomlarıdır. Bundan sonraki semptomlar tümörün büyülüğüne, oturma yerine ve yayılışına göre değişir ki, bunlar nasal solunum güçlüğü, frontal baş ağrısı, residiv epistaxisler ve olfaktiv duygusu değişiklikleridir.

Nasal septum squamous cell carcinomalarının regional metastası relativ olarak azdır. Little area'da oluşan düşük grade'li lesionlarda ise hemen hemen hiç metastas görülmez. Yüksek malign potansiyel gösteren lesionlar, septumun üst ve arka kısımlarından perineural ve lymphogen yollarla yayılarak, yukarıda belirttiğimiz metastaslarını yaparlar. Vestibulum nasi lymphatic drenaj bölgesine giren tümörde yayılım, cancer hücrelerinin lymph akışı karşı yönünde amiboid haraketlerle ilerlemesi sonucu meydana gelen permeasyonla dış burun dermasına doğru da olabilir.

Nasal septum cancerlerinde diagnoz basit olup, bir problem yaratmaz; yeter ki, cavum nasi önden arkaya kadar tümüyle iyice gözden geçirilip, septum eğriliklerinin girinti ve çıkışları arasındaki invisible bölgeler gereğinde bir rhinoscope da kullanılarak değişik açılardan gözlenebilisin. Çok küçük, özellikle kanamalı lesionlar bir lup veya en iyisi bir bio-mikroskop altında görülenmelidir; başlangıç halindeki bir carcinoma in situ ancak böyle diagnoze edilebilir. Kesin tanı, tümörün duromuna göre yapılacak probe-excision malterialının, histopatolojik tetkiki ile konulabilir; böylece malign, semimalign ve benignler arasındaki ayırcı tanıda yapılmış olabilir. *Erken ve gerçek* kesin bir diagnoz, прогноз içinde çok önemli bir faktördür. Prognos genellikle neoplasmin grade ile ilgili olmayıp, diagnoze edildiği andaki büyülükleyle metastasların varlığına bağlıdır. Özellikle Little area carcinomlarında прогноз çok iyidir.

Erkeklerde, kadınlara oranla daha fazla görülen nasal septum carcinomalarında tedavi, tümörün büyülüğüne göre değişir. Erken devredeki olgularda sadece cerrahi, ilerlemiş durumlarda ise irradyasyon veya irradyasyon+cerrahi girişimler uygulanır. Capps ve Williams<sup>2</sup> olgularının % 50'ine external radyoterapi uygulamışlar ve olumlu sonuçlar aldıklarını rapor etmişlerdir. Otörler erken devre lesionlarında özellikle radyoterapiyi önerirler. Nasal septumun tüm primer carcinomalar için Lyons,<sup>6</sup> cerrahi excision ve hemen arkasından radyoterapi uygulanan kombin tedaviyi savunmuştur; bizim gibi bir çok terapist de bunu uygulamıştır.

Septum squamous cell carcinomaları için en uygun tedavinin cerrahi girişim olduğu kabul edilir. Bu hususta Sooy<sup>13</sup> başlangıçta uygulanan cerrahi tedavinin önemini belirtmiştir. Vestibulum nasi dermasının, septal mucosaya değişim yerinde veya buraya yakın carcinomalar özellikle tehlikelidir; bunlarda cerrahi bir girişim için önceden iyice düşünüp bir karar vermek gerekir ki, burada external radyoterapi ve radium iğne implantasyonları ile daha olumlu sonuçlar alınabilir. Olguların % 10'unda görülen regional metastaslı durumlarda hastaya sup-

rahyoid veya boyun dissectionu uygulanabilirse de, tedavi şekli ve teknikleri ne olursa olsun metastaslı olgularda başarılı bir sonuç alınamaz.

### Özet

Nasal septumun malign tümörleri çok nadirdir. Bu yazında yeni bir squamous cell carcinoma olgusu sunulmuş ve böylece literatürde rapor edilen total olgu sayısı aşağı yukarı 100'ü bulmuştur. Erken, sınırlı neoplasmarda uygulanacak tedavi, cerrahi eksizyon, external irradiasyon veya radium implantasyonlarıdır. Prognos, neoplasmin histologic grade'ine değil, fakat tümörün nasal septumda diagnoze edildiği andaki büyüklüğüne ve metastaslarının varlığına bağlıdır.

### KAYNAKLAR

1. Bititci, O.Ö.: Septum nasinin benign tümörleri. Çukurova Üniversitesi Tıp Fakültesi Dergisi, 2: 261, 1977.
2. Capps, F. C. W. and Williams, I. G.: Discussion on malignant diseases of the nasal cavity and sinuses. Proceeding Royal Society of Medicine, 43: 665, 1950.
3. Deutsch, H. J.: Carcinoma of the nasal septum: Report of a case and review of the literatur. Annals of Otology, Rhinology and Laryngology, 75: 1049, 1966.
4. Gibb, J. S.: Malignant disease of nose and accessory sinuses. New York State Journal of Medicine 2: 24, 1902.
5. Kastenbauer, E. und Rudert, H.: Zur Differentiadiagnose der benignen und semimalignen Tumoren der Nasenscheidewand. HNO, 16: 225, 1968.
6. Lyons, G. D.: Squamous cell carcinoma of the nasal septum. Archives of Otolaryngology, 89: 47, 1969.
7. Martin, H.: Cancer of the head and neck. Journal of the American Medical Association, 137: 1366, 1948.
8. Mc Comb, W. S. and Martin, H. E.: Cancer of the head and neck. Williams and Wilkins, Baltimore, 1967, p. 334.
9. Moiseev, Vla: Isolated cancer of the nasal septum. Vestn Otorinolaringol, 5: 80, 1980.
10. Öhngren, L.G.: Malignant tumours of the maxillo-ethmoidal region: A clinical study with special reference to the treatment with electrosurgery and irradiation. Acta Oto-Laryngologica, 19: 1, 1933.
11. Pourquier, H., et al.: Carcinoma of the nasal sub-septum. Annales d'Oto-Laryngologie, 96: 387, 1979.
12. Ringertz, N.: Pathology of malignant tumors arising in the nasal and paranasal cavities and maxilla. Acta Oto-Laryngologica, (suppl) 27: 1, 1938.
13. Sooy, F.A.: Primary tumors of the nasal septum. The Laryngoscope, 60: 964, 1950.
14. Sugiyama, S., et al.: Primary carcinoma of the nasal septum, report of a case. Nippon Jibiinkoka Gakkai Kaiho, 81: 672, 1978.
15. Weimert, T. A., Batsakis, J., and Rice, D. H.: Carcinomas of the nasal septum. Journal of Laryngology and Otology, 92: 209, 1978.
16. Young, J. R.: Malignant tumours of the nasal septum. The Journal of Laryngology and Otology, 93: 817, 1979.

# Ureter Varyasyonları: Çift Ureter

Dr. Ergül Deva\*

## Giriş

Bugüne kadar yapılan radyolojik ve ürolojik çalışmalar, insanların yaklaşık olarak % 10'unda urogenital sisteme ait konjenital anomaliler bulunduğunu göstermiştir. Bunlar arasında böbrek, pelvis renalis ve ureter'e ait olanlar büyük bir çoğunluğu oluşturmaktadır.<sup>1</sup>

Papin ve Eisendrath, ureter ile ilgili anomalileri; sayı anomalileri, çap ve şekil anomalileri, başlama ve sonlanma anomalileri ve ureter divertikülleri olarak sınıflandırmışlardır.<sup>2</sup>

Çalışmamızda, ureter'in sayı anomalilerinden çift ureter anomalisi üzerinde durularak komplet ve inkomplet şekilleri incelenmiştir.

Cift pelvis renalis ve çift ureter, embryogenesis esnasında iki ayrı ureter tomurcuğunun gelişmesi veya tek bir ureter tomurcuğunun ikiye ayrılarak ayrı birer ureter olarak gelişmesi sonucu ortaya çıkar.<sup>3</sup>

Burns, bu anomalinin oluşmasında en kritik devrenin fotal hayatın 5-7'nci haftaları arasında olduğunu belirtmiştir.<sup>4</sup>

Cift ureter'in bulunduğu durumlarda, polus inferior'dan başlayan ureter genellikle vesica urinaria'da normal şekilde sonlanırken, polus superior'un ureter'i daha alta ve medial'de sonlanır.<sup>5-9</sup> Bu şekilde iki ureter birbirini çaprazlamış olur.<sup>7,8</sup> Bazı durumlarda da bu ureter'in vesica urinaria'nın dışında bir yerde ektopik olarak sonlandığı gösterilmiştir.<sup>6</sup>

Ureter'lerin trigonum vesicae'de normale yakın sonlandığı durumda, polus inferior'un ureter'i daha dik olarak açılır ve böylece intramural parça daha kısa olur. Bu durum da reflü oluşmasına ve neticede obstruksiyona, enfeksiyona sebep olarak parankimde hasar ortaya çıkarır.

\* Hacettepe Üniversitesi Tıp Fakültesi Anatomi Bilim Dalı Asistanı.

Bu anomalinin birçok hastada semptom vermediği ancak hastaların küçük bir yüzdesinde birtakım semptomların ortaya çıktığı gösterilmişdir. Bunun yanında bu anomalinin, enfeksiyonun ve böbrek problemlerinin araştırılması esnasında tesadüfen teşhis edildiği de ileri sürülmektedir.

### *Materiel ve Metot*

Çalışma, 9'u kadın, 35'i erkek toplam 44 kadavra üzerinde yapılmıştır. Kadavralar klasik diseksiyon metodu ile açılmıştır. Karın ön duvarını oluşturan kaslar ve aponeuroslar kaldırılarak karın içi organları çıkarılmış ve karın arka duvarında böbrekler ve ureter'ler incelenmiştir. Çift ureter anomalisi bulunan kadavralarda, hilus renalis'ten yapılan inzision ile pelvis renalis'ler açılmıştır. Ayrıca ureter'lerin vesica urinaria'da ostium ureteris'leri tespit edilmiştir.

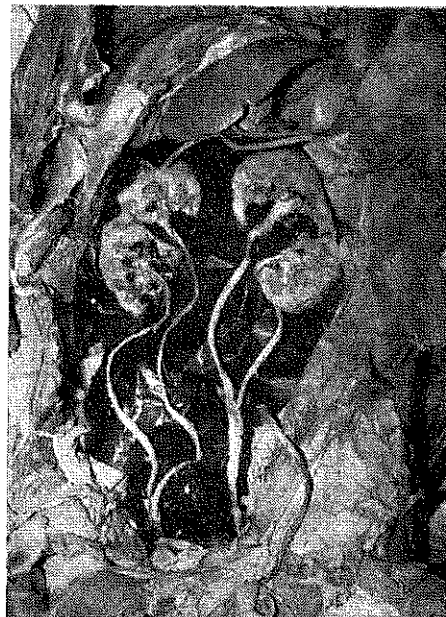
### *Bulgular*

44 kadavranın 3'ünde çift pelvis renalis ve çift ureter anomalisi bulunmuştur. Bunlardan 2'sinde anomali bilateral, 1'inde ise unilateral olarak sağda bulunmuştur. Anomalili ureter'lerden 1'i komplet, 4'ü ise incomplet şekilde bulunmuştur. (Şekil 1-5)



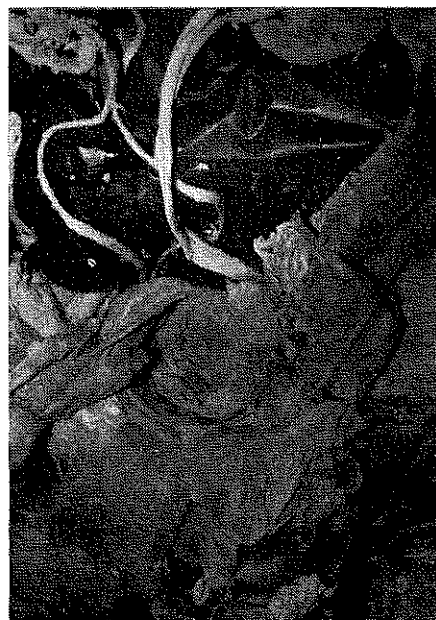
**Şekil 1**

Sağda ve solda incomplet çift ureterler görülmektedir.



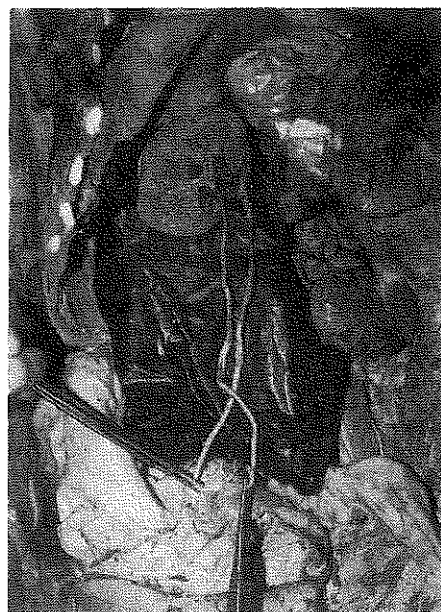
**Şekil 2**

Çift pelvis renalis ve inkomplet çift ureter'ler bilateral olarak görülmektedir.



**Şekil 3**

İnkomplet çift ureter'lerin ostium ureteris'leri görülmektedir.



**Şekil 4**  
Komplet çift ureter'ler görülmektedir.



**Şekil 5**  
Komplet çift ureter'lerin ostium ureteris'leri görülmektedir.

Tartışma ve Sonuç

Çift ureter anomalili ilk iki vakayı, 1903'de Gould yayınlamıştır. Bunu 1904'te Decherd ve 1911'de Render'in yayınladığı vakalar izlemiştir.<sup>10</sup> Goyanna ve arkadaşları, 2000 otopside %1,25 oranında görüldüğünü açıklarken,<sup>11</sup> Culp 250'de 1, Friedenberg, 200'de 1 oranında bulunabileceğini iddia etmiştir.<sup>12</sup> Markee ve Woodburne ise oranı %3 olarak belirtmişlerdir.<sup>13,14</sup> Campbell, 51880 otopside 281'i yetişkin, 61'i çocuk toplam 342 çift ureter anomaliği olan vaka göstermiş ve oranın 161'de 1 olduğunu belirtmiştir.<sup>15</sup> Bu çalışmada ise anomalinin %6,81 oranında bulunduğu tespit edilmiştir.

Çift ureter anomalileri yanında, literatürde, üçlü, dörtlü ve besli ureter anomalilerine nadir de olsa rastlanmaktadır.<sup>16-20</sup>

Emmett ve Witten, komplet çift ureter anomalilerinde, polus superior'un pelvis renalis'inin çok küçük ve hatta bir tek calix minor'dan ibaret olduğunu ileri sürmüşlerdir.<sup>8</sup> Bu durum bizim bulgularımıza da uymaktadır.

Hawthorne, Emmett ve Witten, Stephens, her iki polus'tan başlayan ureter'lerin genellikle birbirlerini çaprazladıklarını iddia ederken<sup>7, 8</sup> Lund, çaprazlaşmanın ancak % 8 oranında oluşabileceğini ileri sürmüştür.<sup>9</sup> Biz de komplet çift ureter anomaliği olan vakada çaprazlaşma durumunu tespit ettiğiz.

Fridenberg, Schwarz, Woodburne, proksimal'deki ureter'in vesica urinaria'ya distal'den açıldığını ileri sürmektedirler.<sup>12, 14</sup> Bizde aynı durumu tespit ettim.

Nation, 230 çift ureter'in % 77'sinin unilateral, % 23'ünün bilateral olduğunu açıklamıştır. Ayrıca 1910 ve 1943 yılları arasında bu konu ile ilgili sonuçları toplayan aşağıdaki tabloyu vermiştir<sup>21</sup> (Tablo I).

TABLO I

Yazar	Yıl	Sayısı	%	Unilateral		Bilateral	
				Tam	Kısmı	%	Tam
Papin	1910	213	77	65	35	23	75
Mertz	1918	276	70	70	30	30	84
Harpster et. al	1922	382	82	58	42	18	59
Braasch, School	1922	144	94	27	73	6	89
Eisendrath	1923	619	80	70	30	20	80
Hawthorn	1936	63	92	35	65	8	60
Ewerett	1936	48	86	45	55	14	29
Mills	1939	850	80	54	46	20	62
Nation	1943	230	77	44	56	23	45
						% 19'u karışık	

Campbell, tespit ettiği 342 çift ureter'den 144'ünün sağda 145'inin solda olduğunu, 53'ünün ise bilateral olduğunu belirtmiştir.<sup>15</sup> Bu sonuçlara göre bu tip anomalinin unilateral bulunma durumunun 6 defa daha fazla olduğu ortaya çıkmaktadır. Halbuki bu araştırcıların aksine bizim vakalarımızın çoğunuğu bilateral anomali gösteriyordu.

Mills, 850 çift ureter'den %53'ünün solda, %47'sinin sağda olduğunu tespit etmiştir.<sup>21</sup> Goyanna, Greene, ise anomalinin solda sağa göre iki misli bulunduğunu,<sup>11</sup> Fehrenbaker ve arkadaşları bunun aksine sağda sola göre iki misli sıklıkla bulunduğunu iddia etmektedirler.<sup>22</sup> Swenson ve Ratner ise sağda ve solda bulunma durumunun farklılık göstermediğini belirtmektedirler.<sup>23</sup> Bizim vakamızda anomali sağda görülmüştür.

Komplet çift ureter anomalisinin unilateral olarak daha sıklıkla görüldüğünü ileri süren Harrison<sup>24</sup> gibi bizde aynı durumla karşılaştık.

Araştırcıların çoğu anomaliyi kadınlarda bulduklarını ileri sürerlerken<sup>13,23,25</sup> bizim vakalarımızın hepsini erkek kadavralar oluşturdu.

Ayrıca, insanlarda ureter anomalisinin gelişiminde kaltsal faktörün rol oynadığı sonucuna ulaşan birçok araştırma yapılmıştır.<sup>1, 25-29</sup>

### *Özet*

Çalışmamızda komplet ve inkomplet çift ureter'ler incelenmiştir. 9'u kadın 35'i erkek 44 kadavrade 3 çift ureter anomali olan vaka tespit edilmiştir. 3 anomalili vakanın 2'sinde anomali bilateral, 1'inde ise unilateral olarak sağda bulunmuştur. Bu ureter'lerden birisi komplet, 4 tanesi ise inkomplet şekildedir. Anomalilerin hepsi erkek kadavralarda görülmüştür.

### *KAYNAKLAR*

1. Burkland, C. E.: Genetic and environmental factors in urogenital disease, *J. Urol.* **79:** 532, 1958.
2. Nation, E. F.: Unusual ureteral anomalies: case reports, *J. Urol.* **55:** 60, 1946.
3. Langman, J.: *Medical Embryology, Human Development-Normal* ed. 2, 1969, pp. 153-154.
4. Lee, H., Davis, J. E., Beneventi, F.: Reduplication of the bladder by incomplete frontal septum and associated anomalies. *J. Urol.* **102:** 635, 1969.
5. Timothy, R. P., Dechter, A., Perlmuter, A. D.: Ureteral duplication: clinical findings and therapy in 46 children. *J. Urol.* **105:** 445, 1971.
6. Netter, F. H.: Kidneys, ureters and urinary bladder. Vol: 6, *The Ciba Collection of Medical Illustrations*, 1975, p. 234.
7. Hawthorne, A. B.: The embryologic and clinical aspect of double ureter. *J.A.M.A.* **106:** 189, 1936.
8. Emmett, J. L., Witten, D. M.: *Clinical Urography, An atlas and textbook of Roentgenologic Diagnosis*. ed. 3, Vol. 3, W. B. Saunders Company, Philadelphia, London, Toronto. 1971, pp. 1435-1436.

9. Lund, A. J.: Uncrossed double ureter. *J. Urol.* **62**: 22, 1949.
10. Williams, P.: Complete bilateral duplication of the ureters, *J. Urol.* **27-28**: 279, 1932.
11. Goyanna, R., Greene, L. F.: Duplication of renal pelvis and ureter. *J. Urol.* **54**: 1, 1945.
12. Bergman, H. (Editor): *The Ureter*. Hoeber Medical Division, Harper and Row Publishers, New York, Evanston and London, 1967, pp. 88-89, 194, 324.
13. Markee, J. E.: in Morris Human Anatomy, ed. 12, edited by B. J. Anson, XII Urogenital System. The Blakiston Division, McGraw-Hill Book Company, New York, Toronto, Sydney, London, 1966, p. 1478.
14. Woodburne, R. T.: *Essentials of Human Anatomy*, ed. 4, Oxford University Press, New York, London, Toronto, 1969, p. 437.
15. Campbell, M. (Editor): *Urology*, Vol. 1, W.B. Saunders Company, Philadelphia and London, 1954, p. 310.
16. Lau, F. T., Henline, R. B.: Ureteral Anomalies, *J.A.M.A.* **96**: 587, 1931.
17. McLean, J. T., Harding, E. W.: Unilateral triplication of the ureter and renal pelvis. *J. Urol.* **54**: 381, 1945.
18. Smith, I.: Triplicate ureter. *Brit. J. Surg.* **34**: 182, 1946-1947.
19. Kahri, K., Nagai, N., Kaneko, S., Iguchi, M., Minami, H., Kadawaki, T., Akiyama, T., Yachiku, S., Kurita, T.: Bilateral trifid ureters associated with fused kidney, ureterovesical stenosis, left cryptorchitism and angioma of the bladder. *J. Urol.* **120** (2): 449, 1978.
20. Soderdahl, D. W., Shiraki, I. W., Schamber, D. T.: Bilateral ureteral quadruplication. *J. Urol.* **116**: 255, 1976.
21. Nation, E. F.: Duplication of the kidney and ureter: A statistical study of 230 new cases. *J. Urol.* **27-28**: 279, 1944.
22. Fehrenbaker, L. G., Kelalis, P. P., Stickler, G. B.: Vesicouretral reflux and ureteral duplication in children. *J. Urol.* **107**: 862, 1972.
23. Swenson, O., Ratner, I. A.: Pyeloureterostomy for treatment of symptomatic ureteral duplications in children. *J. Urol.* **188**: 184, 1962.
24. Harrison, R. G.: in Cunningham's Textbook of Anatomy, ed. 10, edited by G. J. Romanes, Urogenital System. Oxford University Press. London, New York, Toronto, 1964, p. 486.
25. Musselman, B. C., Barry, J. J.: Varying degrees of ureteral ectopia and duplication in 5 sibling. *J. Urol.* **110**: 476, 1973.
26. Girsh, L. S., Karpinski, F. E.: Urinary-Tract Malformations, Their familial occurrence with special reference to double ureter, double pelvis and double kidney. *New. Eng. J. Med.* **254**: 854, 1956.
27. Ambross, S. S., Nicolson, W. P.: Ureteral reflux in duplicated ureters. *J. Urol.* **92**: 439, 1964.
28. Amar, A. D., Chabra, K.: Reflux in duplicated ureters: treatment in children. *J. Pediat. Surg.* **5**: 419, 1970.
29. Marshall, F. F., McLoughlin, M. G.: Long blind-ending ureteral duplications. *J. Urol.* **120(5)**: 626, 1978.

# Iatrogenik Nefrektomi

Dr. Mehmet Bakkaloğlu\* / Dr. Yağız Evliyaoğlu\*\* /  
Dr. Doğan Remzi\*

**B**ütün nedenler veya indikasyonlar dışında çift yaratılan böbreklerden bir veya ikisinin yetersiz eğitim, teknik olanaksızlıklar veya başka nedenlerle çıkartılması bugünkü koşullar içinde hastanın ölümüne yol açmayan bir talihsizlidir. Ancak önemli sorunları da beraberinde getirir. Anefrik duruma gelmiş hastayı diyaliz yöntemlerinden biri veya böbrek nakli ile yaştamak toplumsal ve medikal sorunlarla doludur.<sup>1-5</sup>

İnsanlar, 1/500 ile 1/1200 oranında tek böbrekli olarak doğarlar ve bunların bir çoğu yaşamalarını asemptomatik olarak sürdürürler. 1/800 ile 1/1600 oranında görülen at nali böbrek, 1/2200 oranında görülen çapraz renal ektopi, kek böbrek, sigmoid böbrek gibi anomalilerde böbrek tek bir kitle halindedir.<sup>6</sup>

Intravenöz pyelografi (IVP), retrograd pyelografi (RGP), renal sintigrafi, ultrasonografi,<sup>7</sup> bilgisayarlı aksiyal tomografi (Cat-Scan)<sup>8</sup> gibi böbreklerin varlığını ve anatomik yapılarını gösterecek tanı yöntemlerinin preoperatif dönemde yapılmaması yetersiz yapılması veya yanlış değerlendirilmesi, soliter böbreğin veya tek bir kitle halindeki çift böbreğin çıkartılması ile sonuçlanabilir.

1965-1980 yılları arasında Hacettepe Hastaneleri Üroloji Kliniği'ne anüri nedeni ile başvuran üç iatrogenik nefrektomi vakası saptanmıştır. İlk vaka transplantasyon için uygun verici bulunamadığından ve diyaliz programını ekonomik nedenlerle karşılayamadığından haliyle evine gönderilmiştir. İkinci vakaya annesinden böbrek nakli yapılmış ancak hasta gastrointestinal kanama, sepsis gibi komplikasyonlar nedeni ile kaybedilmiştir. Üçüncü vaka ise yaşamını 1,5 yıldır transplant böbrekle sürdürmektedir.

## Vaka Takdimleri

**Vaka 1:** A. T. (123562), 25 yaşında erkek hastanın öyküsünde; 25.8.1969 da künt travma sonucu gelişen sağ taraf bel ağrısı nedeni ile

\* Hacettepe Üniversitesi, Tıp Fakültesi, Üroloji Bilim Dalı Öğretim Üyesi.

\*\* Aynı Fakülte Üroloji Bilim Dalı Asistanı.

hastaneye başvurduğu, epikrizinden çekilen IVP de sol böbrekte düşük dansitede fonksiyon ve mesaneye geçiş, sağ böbrekte ise ekstravazasyon olduğu görüldükten sonra acil eksplorasyona alındığı, sağ böbreğin orta kısmından iki parçaya ayrılmış olduğu görülerek sağ nefrektomi yapıldığı ameliyat sonrası anürinin gelişmesi nedeni ile ileri incelemelerin yapılabilmesi için hastanemize naklinin uygun bulunduğu belirtiliyordu.

**Fizik İncelenmesinde:** Vital bulguları dengeli idi. Sağ flank insizyon skarı vardı.

**Laboratuvar İncelemelerinde:** Kanda üre: 184 mg % (NPN), Na: 139 mEq /Lt, K: 5.0 mEq /Lt, CO<sub>2</sub>: 16.92 mEq /Lt, Hb: 11.10 % gr, Beyaz Küre: 6400 bulundu.

Hastaya 30.8.1969 da sistoskopi yapıldı, sol üreter orifisi görülemediği için sol RGP yapılamadı. Aynı gün hastaya periton diyalizi uygulandı ve hastanede kaldığı 28 gün diyalize aralıklarla devam edildi. Daha sonra, hastanın preoperatif dönemde çekilmiş IVP si elde edildi. Filmelerin incelenmesinde; sağ böbrekte fonksiyon olduğu, solda ise fonksiyon olmadığı görüldü. 15.9.1969 da yapılan aortografide; soğ renal arterin güdük şeklinde sonlandığı, sol renal artere ait bir çıkışın olmadığı görülderek sol böbrek agenetik kabul edildi.

Hasta, 28.9.1969 da transplantasyon için uygun verici bulunamadığından, diyaliz programını da ekonomik nedenlerle kabul etmediğinden haliyle evine gönderildi.

**Vaka 2:** H. K. (692079) 17 yaşında kadın hastanın, epikrizinden, suprapubik ağrılı kitle nedeni ile 12.1.1976 da eksplorasyon edildiği, kitlenin kistik lobule, kemik pelvis içinde ektopik böbrek olduğu saptanarak nefrektomi yapıldığı, ameliyattan sonra idrar çıkartmadığı, 31.1.1976 da nakledildiği bir başka hastanede periton diyalizi uygulandıktan sonra hastanemize gönderildiği öğrenildi.

**Fizik İncelenmesinde:** Vital bulguları dengeli, genel durumu iyi, bilinci açıklandı. Suprapubik medyan insizyon skarı vardı.

**Laboratuvar İncelemelerinde:** Hb: 10.45 % gr, BUN: 158 mg %. Kreatinin: 14.7 mg, % Beyaz küre: 5000 bulundu.

Hastaya 12.2.1976 da sistoskopi yapıldı; Mesanede idrar yoktu, solda trigonun silik, üreter orifisinin olmadığı gözlandı. Sağ üreter orifisine konulan üreter kateteri 15 cm'nin üzerine geçmedi ve çekilen RGP de üreterin tam tikalli olduğu gözlandı.

İdrar çıkartmayan hastaya, diyaliz uygulanmaya başlandı ve 3.3.1979 da annesinin böbreği transplante edildi. Ameliyat sonrası,

üçüncü günden itibaren zaman zaman üst ve alt gastrointestinal sistem kanamaları olan ve sepsis tablosu gelişen hasta, konservatif yaklaşılara yanıt vermedi ve post transplant 25. gün kaybedildi.

**Vaka 3:** F. Y. (1139291), 25 yaşında kadın hasta, 3.10.1979 da hastanemize idrar yapamama yakınması ile başvurdu. Epikrizinden, sağ taraf bel ağrısı nedeni ile 15.9.1979 da çekilen IVP de sağ nonfonksiyone böbrek tanısı ile sağ nefrektomi uygulandığı ve ameliyat sonrası idrar çıkartmadığı öğrenildi. Kliniğimizde yapılan fizik incelemesinde, sağ bel bölgesinde 30 cm uzunluğunda enfekte insizyon saptandı.

Hastanın birlikte getirdiği 15.9.1979 da çekilmiş ameliyat öncesi IVP sinde; solda fonksiyone ve rotasyon anomalisi olan bir böbrek, sağda ise geç filmlere rağmen görülebilir böbrek gözlenemedi. Akut tubuler nekroz veya renal arter trombozu ön tanılı ile yapılan böbrek sintagrafisinde her iki böbreğe ait kanlanma saptanamadı. Yapılan abdominal aortografide renal arter ve dallanması gösterilemedi. Yapılan iki taraflı RGP de sağ üreter 10 cm, sol üreter ise 3. lumbal vertebra seviyesine kadar doldurulabildi. Sol üreter bağlanması ön tanısı ile yapılan eksplorasyonda sol üreterin 3. lumbal vertebra seviyesinde bağlanarak kesilmiş olduğu, sol renal pediküle ait toplu olarak bağlanmış damarlar ve böbrek olabilecek bir dokunun olmadığı saptandı.

Arteriyo venöz fistül yapılarak hemodiyaliz programına alınan hasta 9.1.1980 de babasının çift renal arterli sağ böbreği transplante edildi. Post operatif ilk 14 saatte 1970 ml. hematürik idrar çıkartan hastanın idrarı giderek azaldı. Renal ven trombozu düşünülerek yapılan transplant böbrek venografide; eksternal iliyak ven ve renal vende obstrüksiyona uyan görünüm saptandı. Yapılan eksplorasyonda, böbreğin görünüm ve kanlanmasıın iyi olduğu, renal ve iliyak damarlarda, anastomoz yerlerinde herhangi bir patolojinin olmadığı, üreterin devamlılığının tam olduğu gözlendi. Eksplorasyon sırasında transplant böbrekten alınan inisizyonal biyopsi normal transplant böbrek olarak rapor edildi. Daha sonra izleminde, günlük idrar miktarında büyük farklılıklar olması ve perirenal, perivezikal bölgeye yerleştirilmiş kapali sistem drenaj sağlayan Hemovktan idrar akımının devam etmesi üzerine post operatif 36. gün hastaya tekrar greft (Transplant böbrek) eksplorasyonu yapıldı. Böbreğin normal görünümde olduğu, ancak üreterin uretero-pelvik birleşimden itibaren nekroze olduğu görüllerken hastanın sol üreteri greft pelvisine anastomoz edildi. Post operatif dönemde hasta tüm idrarını normal yoldan çıkartmaya başladı. Post transplant 62. günde evine gönderilirken vital bulguları normal limitler içinde ve kreatinin klirensi 75,5 ml/dk düzeyinde idi.

### *Tartışma*

1965-1980 yılları arasında kliniğimize iatrogenik nefrektomi sonrası anefrik kalan üç hasta başvurmuştur. Ameliyat oldukları tedavi kurumundan belirli merkezlere gönderilemeden ölenler, bilimsel olgunluk yetersizliği nedeni ile rapor edilmemiş olanlarda göz önüne almırsa bu tip olguların kücümsemeyecek oranda bulunduğu düşünülebilir. Bu klinik hata, fonksiyon gören diğer böbreğin varlığını belirleyecek tanı yöntemlerinin ameliyat öncesi dönemde en küçük kuşkuya yer vermeyecek ölçüde eksiksiz uygulanması ve sıhhatli yorumlanması ile önlenebilir.

İkinci vakada; pelvik kitlenin retroperitoneal organlarla ilişkisini belirleyecek bir IVP nin çektilmemesi, böbreğe ait bir kitle olup olmadığından aydınlatılabilmesi için RGP veya anjiyografi çektilmemesi, ameliyat sırasında patolojik danışma ve değerlendirilmenin yapılamaması, hastanın tek kitle halindeki böbreğinin kaybedilmesine yol açmıştır. Birinci vakada IVP de nonfonksiyone böbreğin fonksiyon gören bir böbrek olarak yanlış değerlendirilmesi, üçüncü vakada IVP de füzyon anomalisi olarak yorumlanabilecek görünümü iki ayrı normal böbrek olarak değerlendirilmesi, RGP veya ek incelemelerin ameliyat öncesi dönemde uygulanmamış oması mesleki eğitim veya teknik olanaksızlıklar yansımaktadır.

Çeşitli nedenlerle anefrik duruma gelmiş hastanın tedavisi veya yaşatılması diyaliz (Periton veya hemodializ) programları ile veya böbrek transplantasyonu ile gerçekleştirilebilir.<sup>1, 9-11</sup> Diyaliz yöntemlerine göre çeşitli üstünlükleri olan böbrek nakli, bilindiği gibi ya canlıdan (anne, baba, kardeş) veya kadavradan (ölmekte olan uygun verici) sağlanan böbreklerle yapılabilmektedir.<sup>1, 2</sup> Gerek diyaliz yönteminin, gerekse transplantasyon uygulamalarının çeşitli toplumsal, ekonomik ve medikal sorunları, özellikle ülkemiz koşullarında değişik boyutlarda birlikte getirdiği unutulmamalıdır.

Ameliyat öncesi tanı yöntemlerinin, eğitim eksiklikleri veya teknik yetersizlikler gibi nedenlerle uygulanamadığı durumlarda, acil konservatif yaklaşımın yapılmasıından sonra hastanın uygun merkezlere gönderilmesi en uygun yol olmalıdır.

Bu tip vakaların oluşmasında, bilgi yetersizliği, teknik olanaksızlıklar, konsültasyon müessesesinin işletilememesi gibi nedenlerden başka hangi faktörlerin rol oynayabildiği sorusu daima düşündürücü olacaktır.

### *KAYNAKLAR*

- Briggs, J. D., Hamilton, D. N. H.: Kidney transplantation. Health Bulletin. July: 190, 1976.

2. Price, J. D. E., Ashby, K. M., Reve, C. E.: Results of 12 years treatment of Chronic renal failure by dialysis and transplantation. *CMA Journal*, **118**: 263, 1978.
3. Lee, H. M., Madge, G. E., Picon, G. M., Chatterjee, S. N.: Surgical complication in renal transplant recipient. *Surg. Clin. of North Amer.* **58**: 285, 1978.
4. Palmer, J. M., Chatterjee, S. N., :Urologic complications in renal transplantation. *Surg. Clin. of North Amer.* **58**: 305, 1978.
5. Rasmussen, K., Christiansen, J., Nielsen, O. V., McNair, A., Sorensen, M. B.: Gastroduodenal ulcer in kidney transplanted patients receiving immunosuppressive treatment. *Acta Chir. Scand.* **141**: 61, 1975.
6. Hyndman, C. W.: Congenital anomalies of the genitourinary tract. in *Fundamentals of Urology*. Ed; J. Lapides. W. B. Saunders Comp. Philadelphia. 1976, s. 35.
7. Sonders, R. C.: Normal Ultrasonic renal anatomy. in *Ultrasound in Urology*. Ed; M. I. Resinck., R. C. Sonders. The Williams and Wilkins Comp. Baltimore, 1979, s. 58.
8. Abrams, H. L.: Computed tomography of the kidney. in; *Campbell's Urology*. Ed; J. H. Harrison., R. F. Gittes., A. D. Perlmutter., T. A. Stamey, P. C. Walsh. W. B. Saunders Comp. Philadelphia, London, Toronto, 1978, s. 292.
9. Palmer, R. A., Nevell, J. E., Gray, J. E., Quinton, W. E.: Treatment of chronic renal failure by prolonged peritoneal dialysis. *N. Eng. J. Med.* **274**: 248, 1966.
10. Thomson, N. M., Walker, R. G., Whitende, C., Scott, D. F., Atkins, R. C.: Continuous renal failure. *Proceedings of E. D. T. A. Amsterdam* 1979. Ed. B. H. B. Robinson Pitman Medical. **16**: 171, 1979.
11. Baker, C. R.: Complication and management of methods of dialysis access for renal failure. *Am. Surg.* **42**: 859, 1976.

# Deneysel Hemorajik Şokta Uygulanan Hipoterminin Böbrek Fonksiyonlarına Etkisi

**Orhan Duman\***

Şokla ilgili literatür incelendiğinde bu konuda yapılmış araştırmaların çok ileri düzeylere ulaştığı görülür. Ancak elde edilen bulguların da birbiri ile uyuşmaz ve çelişir olduğu bir gerçekdir.

Hemorajik şoktan değişik organlar değişik derecelerde etkilenirler. Organların değişik fizyolojik ve biyokimyasal fonksiyonları hemorajik şokun derecesine göre de değişiklikler gösterirler.

Şokta meydana gelen değişikliklerin reversibl (dönüşür) ya da irreversibl (dönüşmez) olup olmadığı bilinmesi tedavi yönünden önem taşır. Bilgimize göre tedaviye cevap vermeyen dönem irreversibiliteyi temsil eder. Hemorajik şokta irreversibiliteye götüren faktörler arasında zaman ve hipotansiyonun derecesi çok önemli rol oynar.<sup>39</sup> Bu konuya ilişkin bilgilerimiz çok açık ve kesin değildir. Irreversibilite sınırını zaman ve kan basıncı açısından belirlemek önem taşımaktadır.

Hemorajik hipotansiyonda kan akımı kortikal glomerüllerden medullaya kayar. Renal plazma akımı azalır, çok az idrar meydana gelir ve önemli ölçüde sodyum birikimi olur. Özellikle hipotansiyon uzadıkça şiddetli renal tübüler harabiyet oluşabilir.<sup>33</sup>

## **Şokun Böbrekler Üzerine Etkisi**

Vazokonstriksyon böbrek perfüzyonunu önemli derecede azaltır. Böbrek kan akımının azalması ve kanın kortikomedüller şanti, glomerüler filtratin düşmesine yol açar. Ayrıca akut böbrek yetmezliğinin teşekkül etmesi de klinik tablonun ağırlaşmasında önemli bir etkendir. Şokta iskemik böbrekten salgılanan renin de, angiotensin-aldosteron sistemini aktive ederek kan basıncının ve hipovoleminin düzeltilmesinde rol oy-

\* Hacettepe Üniversitesi Tıp Fakültesi Fizyoloji Öğretim Üyesi.

nar. Bazı hallerde hafif bir hipotansiyon akut böbrek yetmezliği ortaya çıkardığı halde, bazen bu hal uzun süren şok vakalarında bile görülebilir.<sup>15</sup>

#### Hemorajik şokta

- 1- Renal kan akımı azalır.<sup>21, 28</sup>
- 2- Renal plazma akımı ve glomerüler filtrat azalır.<sup>5, 8</sup>

#### **Hipoterminin Böbrek Üzerine Etkileri**

Hipoterminin böbrek fonksiyonları üzerine iki türlü etkisi vardır. Birincisi kalp-damar sistemi yolu ile indirekt, ikincisi soğukun tübüler olaylar üzerine direkt etkisidir. Vücut ısısı azalırken kan basıncında görülen azalma böbrek kan akımında ve glomerüler filtrasyon hızında azalma meydana getirir.<sup>2, 25, 27, 31</sup> Su, Na, K ve glikozun geri emilimi önlenir.<sup>28, 31</sup> Buna karşın dolaşımın uzun süre durması periyodundan sonra böbrek fonksiyonlarının oldukça iyi korunduğu bildirilmiştir.<sup>24, 29</sup> Soğutma fazının başlangıcında ve vücut normal sıcaklığını devam ettirme gayreti içine girdiğinde (titreme fazı) böbrek kan akımı artar. Titremeye mani olunursa bu ortadan kalkar. Rektal ya da özefajial ısı 32°C nin altına düşüncə böbrek kan akımı giderek azalır ve 27°C de normal değerinin sadece %50 si olur. Soğuk böbrek tüplerine direkt etki ederek inhibe eder. 18-20°C de sodyum reabsorpsiyonu tamamen inhibe olur.<sup>1</sup>

#### **Hipoterminin Şoka Etkisi**

Dolaşan kan hacminin bir kısmının kaybı venöz dönüşte düşme meydana getirir ve bunu kalp atım hacminin ya da dakika hacminin azalması izler, Refleks vazokonstriksiyon bu kaybı karşılamaya çalışır. Bu yolla kaybedilen kan hacmi az çok karşılanır. Yetersiz dolaşımı düzeltmeye bir seçenek, dokuların metabolik gereksinimini azaltmak ve normal dolaşımı uyuşan koşulu yaratmaktır. İşte bu koşulu hipotermi sağlar. Hipoterminin de bazı sakıncaları vardır. Ayrıca bazı metabolik gereksinimler kan ile sağlanır ve hipotermi bu konuda fazla yardımcı olamaz.

Hipotermi, kan kaybına bağlı şokun tedavisi ve önlenmesinde potansiyel olarak koruyucu ya da önleyici olarak kabul edilmiştir. Bu, birinci olarak kan akımındaki azalma ve hipotermiye toleransı artırmasına bağlıdır. İkinci olarak da hipoterminin pressör etkisi ile kan basıncını düzeltmesi ve devam ettirmesine bağlıdır. Böylece böbreklerin fonksiyon dışı kalmasını önlemış olur.<sup>6</sup>

Bazı araştırmacılar kanamadan sonra uygulanan hipoterminin yaşamayı uzattığını ileri sürmüştür.<sup>3</sup> Yaşamın uzaması için soğutmanın yanında reinfüzyonun gerekliliği de bildirilmiştir. Hipoterminin şoktan önce uygulanmasında, sonra uygulanmasına göre daha yüksek oranda ölüm meydana geldiği ileri sürülmüştür.<sup>38</sup> Şok şiddeti arttıkça hipoterminin koruyucu etkisi giderek azalır. 28°C nin altında ise fayda yerine zarar getirir. Deneysel hemorajik şok ve diğer şoklarda hipotermi irreversible şokun gelişmesinde koruyucu olmuştur. Hipotermi bizzat yaygın vazokonstriksiyon meydana getirir.

#### *Materyal ve Metot*

Bu çalışmada Hacettepe Üniversitesi Deney Hayvanları Bölümünden sağlanan, ağırlığı 16-32 kg. arasında değişen erkek ve dişi köpekler kullanıldı. Çalışma 28 köpek üzerinden yapıldı. Köpekler, herbiri 14 olmak üzere iki gruba ayrıldı. Köpeklerin ağırlık ve cinsiyetinin aynı oranda olmasına özen gösterildi. Deneye alınacak köpekler 24 saat önceden aç bırakılıp sadece normal suyunu alması temin edildi. Anestezi Soidum Nembutal ile yapıldı (30mg/kg). Hemen arkasından ameliyat masasına alınarak traeka entübasyonu yapıldı. Köpeğin ağırlığı, boyu ve cinsiyeti tespit edilerek daha sonra bu bilgilerden vücut yüzeyinin hesaplanması yararlanıldı.<sup>36</sup>

**A. Normotermik Grup:** Köpeğin karın ve arka ayak iç yüzlerinin traş ve temizliği yapıldı. Her iki tarafın femoral arter ve venleri uygun prolietilen kateter ile kateterize edildi. Arteria femoralislerden biri arteryil kan basıncını ölçmek için, diğeri kanatma ve kan örnekleri almak için kullanıldı. Vena femoralislerden biri klirens ölçmeleri için kreatinin ve PAH (paraaminohippurik asit) çözeltilerinin başlangıç dozlarının verilmesi için, diğeri alınan kanın reinfüzyonu için kullanıldı. Hemoraji sırasında oluşabilecek damar içi pihtlaşmayı önlemek için köpekler 2-5mg/kg. heparinle heparinize edildi.<sup>19, 33, 35</sup>

Karin orta hat üzerinden ve ksifoidin altından yapılan bir insizyonla açıldı. Her iki böbrek üreterleri dikkatlice izole edilip mesaneden 3-4 cm. uzaklıktan polietilen kateter ile kateterize edildi. İdrar akımı maniyetik idrar kaydedici ile poligrafta kaydedildi ve ayrıca bir erlenmeyerde toplanarak dereceli silindirde ölçülp miktarı kaydedildi.

Arteryel kan basıncı hem direkt arterden transducer (Statham model P23AA) ile poligrafta (GME Middleton Wiscosin Model M5P) hem de cıvalı U-manometresi ile kaydedildi. Basınç değerleri cıvalı U-manometresi ile yapılan kalibrasyon eşelinde karşılaştırıldı. Hayvanın vücut ısısı özefagusa yerleştirilen sonda (probe) ya bağlı olan

Tele-Termometrede kontrol edildi (Yellowspring Instrumentation Co. Inc. Ohio Model 44 TD). Bu grupta birkaç köpekte 1-1.5°C kadar bir ısı düşmesi meydana geldi ve bu, içinde 40°C lik su bulunan bir termofor uygulaması ile normale döndürüldü.

Cerrahi işlemler tamamlandıktan sonra PAH ve kreatinin klirensleri için başlangıç dozu; PAH 8mg/kg., kreatinin 33 mg/kg., Mannitol 5 gr. olmak üzere serum fizyolojik içinde çözülerek 50 ml. ye tamamlandı ve intravenöz olarak tümü birden vena femoralise verildi. Bunu hemen, kanda belli bir düzeyi sağlamak için idame çözeltisinin kateterize edilen ön bacak veninden verilmeye başlaması izledi. İdame çözeltisi; PAH 44 mg/kg., kreatinin 105 mg/kg., Mannitol 10 gr. tartılarak serum fizyolojik ile 250 ml. ye tamamlanması ile elde edildi.<sup>27, 36</sup> Bu çözelti dakikada 1.5 ml. olarak infüzyon pompası (Harvard Apparatus Compact infusion pump, Model 975) ile ayarlanarak verildi.

İdame çözeltisinin verilmeye başlamasından 30 dakika sonra kontrol periyodu değerleri için 10 dakikalık idrar toplanmasına başlandı. Bu periyodun 3. dakikasında 10 ml. arteriyel kan örneği alındı. Bundan kapiller hematokrit tüpüne çekilen kanla hematokrit tayin edildi. Kalan kısım santrifüj edilerek plazma elde edildi. Bu plazma ikiye ayrılarak bir kısmından kreatinin ve PAH tayinleri, diğer kısmından da elektrolit tayinleri yapıldı. İdrar örnekleri de ikiye ayrılarak bir kısmından kreatinin ve PAH, diğer kısmından elektrolit tayinleri yapıldı.

Kontrol örnekleri alındıktan sonra deneysel hemorajik şok oluşturmak üzere arteriyel basıncı 50-60 mmHg olana dek arterden heparinli şışeye kanatma yapıldı.<sup>15, 19, 35</sup> Bu kanatma işlemi, köpekten köpeğe biraz değişmekte birlikte genellikle 10-15 dakikada tamamlandı.<sup>11, 12</sup> Köpeklerde ve bizim deneklerimizin çoğunda arteriyel basıncı 50-60 mmHg na düşünce idrar akımı ya çok azaldı ya da tamamen durdu.<sup>13</sup>

Bu nedenle 90 dakikalık şok devresinde idrar akımının durduğu köpeklerde idame çözeltisinin verilmesine son verildi. Çünkü bu yapılmama köpekler aşırı biçimde kreatinin ve PAH ile yüklenmiş olacaktı.<sup>27, 37</sup> 90 dakikalık şok devresinin bitiminde alınan kanın terkar femoral veninden yine 10-15 dakikada 50 ml. lik enjektörle verilmesi ile kan basıncı köpeklerin çoğunda kontrol düzeylerine döndü. Ancak bazı köpeklerde ise yükselme meydana gelmesine karşın kontrol düzeyine ulaşılamadı. Reinfüzyondan sonra kan basıncının ve hayvanın genel stabilizasyonu için 15 dakika beklendi. Bundan sonra idrar akımının durduğu deneylerde de idame infüzyonuna tekrar başlandı ve idrar akımı ya da teşekkülü yeniden başladı. Arkasından 10 dakikalık idrar toplama periyodunu başlandı ve 3. dakikasında deneysel devre için kan örneği alındı.

**B. Hipotermik Grup:** Bu grupta da cerrahi işlemler normometrik gıuptaki gibi yapıldı. Femoral arterlerden biri kan basıncı kontrolü, kanatma ve kan örnekleri için, diğeri soğutma ve ısıtma için kullanıldı. Femoral venlerden biri başlangıç dozunun verilmesi için, diğeri soğutma ve ısıtma işlemleri için kullanıldı. Ön ayak venlerinin birisi idame dozunun verilmesi için kateterize edildi. Kateterizasyonlar bittikten sonra kontrol örneklerinin alınmasına geçildi. 10 dakikalık idrar toplama periyodunun 3. dakikasında kanörneği alındı. Arkasından köpek 31°C ye kadar soğutulmaya başlandı. Soğutma ve ısıtma şöyle gerçekleştirildi: Soğutma yöntemi olarak ekstrakorporeal perfüzyon hipotermi yöntemi yani kanın vücut dışında soğutularak hayvana verilmesi yöntemi seçildi. Çünkü bu yöntem diğer hipotermi yöntemlerine göre üstünlük taşır.<sup>23</sup> Arteria femoralisten alınan kan nisbeten kalın çaplı bir tygon kanül ile ısı değiştiriciden (Heat exchanger, Cyba Surgical Inst. Col. Inc. Balt., MD 21236) geçirilerek buz-alkol karışımında soğutulup peristaltik infüzyon pompası (Harvard Apparatus Co. Model 505-1200 RPM) ile vena femoralisten hayvana verildi. Bilindiği gibi soğutucu sisteme bir de ultratermostat bulunmaktadır (Hake type West Germany Nr: 642123). Bu, içinde sirküle eden sıvıyı istenilen ısı düzeyinde tutmaya uygundur.

İsi değiştiricinin bir yarısından kan, diğer yarısından soğuk su geçer. Bu geçiş sırasında kan ve su arasında ısı alış-verışı meydana gelerek kan soğutulmaktadır. Köpeğin vücut sıcaklığı özefagusa yerleştirilen Tele-Termometre ile kontrol edildi. Vücut ısısı 31°C dolayına inince, hayvan önce anlatıldığı gibi arteriel basınç 50-60 mmHg ya düşünceye dek kanatıldı. Sonra 90 dakikalık bekleme periyodu başladı. Bu periyodun sonunda köpektan alınan kan tekrar verilerek yine aynı sistem bu kez ısıtma amacı için kullanılarak hayvan normal vücut sıcaklığına (37-38°C) döndürüldü. Bunun ardından deneysel koşulları yansıtacak olan 10 dakikalık idrar toplama periyoduna başlandı. 3. dakikasında kanörneği alındı.

İdrar ve plazma örneklerinde Na ve K tayinleri (Flame Photometer Instrumentation Laboratory Inc. Model 143) yapıldı. Glomerüler filtrasyon hızı (GFH) kreatinin klirensinden ( $K_{kr} = \frac{U_k \times V}{P_k}$ )<sup>36</sup>, effektif

böbrek plazma akımı (EBPA) PAH klirensinden ( $K_{PAH} = \frac{UPAH \times V}{P PAH}$ ) hesap edildi.<sup>36</sup>

Böbrek kan akımı (BKA), EBPA değeri bulunduktan sonra aşağıdaki formülden yararlanılarak hesaplandı.<sup>36</sup>

$$\text{BKA} = \frac{\text{EBPA}}{1-\text{Hct}}$$

Sodyum ve potasyum klirensleri, idrar ve plazmadan elde edilen mEq/L değerlerinin klirens formülüne uygulanması ile ml/dk. olarak hesaplandı.<sup>16-18</sup>

$$K_{Na} = \frac{U_{Na} \text{ mEq/L} \times U_v \text{ cc/dk}}{P_{Na} \text{ mEq/L}}$$

$$K_K = \frac{U_K \text{ mEq/L} \times U_v \text{ cc/dk}}{P_K \text{ mEq/L}}$$

$K_{Na}$  : Sodyum klirensi (cc/dk)

$K_K$  : Potasyum klirensi (cc/dk)

$U_{Na}$  : İdrar sodyum konsantrasyonu

$U_v$  : Dakikada meydana gelen idrar

$P_{Na}$  : Plazma sodyum konsantrasyonu

İstatistiksel yöntem olarak eşler ve gruplar arası farkın önem kontrolu için t-testi uygulandı.<sup>20</sup>

### Bulgular

**A. Normotermik Grup:** Tablo I'de görüleceği gibi normotermik grupta idrar akımı kontroloda  $0.707 \pm 0.058$  ml/dk., reinfüzyondan sonra  $1.08 \pm 0.11$  ml/dk dır. İdrar akımı kontrola göre reinfüzyondan sonra artmıştır. Bu artış önemlidir ( $P < 0.01$ ). Hematokrit değeri kontrolda  $39.93 \pm 1.09$ , reinfüzyondan sonra  $41.9 \pm 1.66$  olarak bulunmuştur. Göründüğü gibi istatistiksel olarak önemsiz bir artış vardır ( $P > 0.05$ ). Kreatinin klirensi (glomerüler filtrasyon hızı) kontrolda  $51.21 \pm 2.73$  ml/dk /m<sup>2</sup> iken, reinfüzyondan sonra  $34.15 \pm 3.04$  ml/dk/m<sup>2</sup>ye inmiştir. Bu değer istatistiksel olarak önemli bir azalmayı göstermektedir ( $P < 0.01$ ). PAH klirensi (böbrek plazma akımı) kontrolda  $216.63 \pm 14.35$  ml/dk/m<sup>2</sup>., reinfüzyondan sonra  $149.54 \pm 12.23$  ml/dk/m<sup>2</sup> dır. Bulgular önemli bir azalmanın meydana geldiğini belirtmektedir ( $P < 0.01$ ). Böbrek kan akımı kontrolda  $349.70 \pm 19.60$  ml/dk/m<sup>2</sup>., reinfüzyondan sonra  $254.27 \pm 17.07$  ml/dk/m<sup>2</sup> olarak bulunmuştur. Böbrek kan akımında reinfüzyondan sonra önemli bir azalma olmuştur ( $P < 0.01$ ).

TABLO I

## BÖBREK FONKSİYONLARININ ORTALAMA VE STANDART DEĞERLERİ İLE ÖNEM KONTROLÜ SONUÇLARI

Parametreler	Normotermik Grup			
	Kontrolde		Reinfüzyondan sonra	
İdrar akımı ml/dk	0.707 $\mp$ 0.058		1.18 $\mp$ 0.11	$t = 3.716$ $P < 0.01^{**}$
Hematokrit %	39.93 $\mp$ 1.09		41.9 $\mp$ 1.66	$t = 1.007$ $P > 0.05$
Kreatinin klirensi ml/dk/m <sup>2</sup>	51.21 $\mp$ 2.73		34.15 $\mp$ 3.04	$t = 4.175$ $P < 0.01^{**}$
PAH Klirensi ml/dk/m <sup>2</sup>	216.63 $\mp$ 14.35		149.54 $\mp$ 12.23	$t = 3.358$ $P < 0.01^{**}$
Böbrek kan akımı ml/dk/m <sup>2</sup>	349.70 $\mp$ 19.60		254.27 $\mp$ 17.07	$t = 3.671$ $P < 0.01^{**}$

	Hipotermik Grup			
İdrar akımı ml/dk.	0.893 $\mp$ 0.102		0.857 $\mp$ 0.069	$t = 0.042$ $P > 0.05$
Hematokrit %	39.14 $\mp$ 1.32		40.5 $\mp$ 1.29	$t = 0.736$ $P > 0.05$
Kreatinin klirensi ml/dk/m <sup>2</sup>	48.25 $\mp$ 4.64		22.04 $\mp$ 4.11	$t = 0.736$ $P < 0.05$
PAH klirensi ml/dk/m <sup>2</sup>	206.01 $\mp$ 16.18		133.89 $\mp$ 6.42	$t = 4.228$ $P > 0.01^{**}$
Böbrek kan akımı ml/dk/m <sup>2</sup>	341.74 $\mp$ 30.22		227.81 $\mp$ 10.69	$t = 3.554$ $P < 0.01^{**}$

\*\*  $P = 0.01$  olasılık seviyesinde önemlidir.

Plazma sodyum konsantrasyonu Tablo II de  $139.42 \mp 2.22$  mEq/L., reinfüzyondan sonra  $149.85 \mp 1.55$  mEq/L., olarak görülmektedir. Bu artış önemlidir ( $P < 0.01$ ). Plazma potasyum konsantrasyonu kontrolde  $3.59 \mp 0.11$  mEq/L., reinfüzyondan sonra  $4.08 \mp 0.14$  mEq/L.dir. Yine bu iyon da plazmada önemli artış göstermiştir ( $P < 0.01$ ). İdrar sodyum konsantrasyonu kontrolde  $35.07 \mp 5.14$  mEq/L., reinfüzyondan sonra  $43.35 \mp 3.76$  mEq/L.dir. Artış öünsüzdir ( $P > 0.05$ ). İdrar potasyum konsantrasyonu kontrolde  $30.46 \mp 2.64$  mEq/L., reinfüzyondan sonra  $34.64 \mp 2.51$  mEq/L. olmuştur. Bu öünsüz bir artışı işaret etmektedir ( $P > 0.05$ ).

TABLO II

KAN VE İDRAR PARAMETRELERİNİN ORTALAMA, STANDART HATA DEĞERLERİ VE ÖNEM KONTROLU SONUÇLARI

Parametreler	Normotermik Grup			
	Kontrolde		Reinfüzyondan sonra	
P <sub>Na</sub> <sup>+</sup> mEq/L	139.42 ± 2.22		149.85 ± 1.55	t = 3.846 P < 0.01**
P <sub>K</sub> <sup>+</sup> mEq/L	3.59 ± 0.11		4.08 ± 0.14	t = 2.619 P < 0.05*
U <sub>Na</sub> <sup>+</sup> mEq/L	35.0 ± 5.14		43.35 ± 3.76	t = 1.311 P > 0.05
U <sub>K</sub> <sup>+</sup> mEq/L	30.46 ± 2.64		34.64 ± 2.51	t = 1.145 P > 0.05
Hipotermik Grup				
P <sub>Na</sub> <sup>+</sup> mEq/L	139.21 ± 2.02		135.92 ± 1.76	t = 1.226 P > 0.05
P <sub>K</sub> <sup>+</sup> mEq/L	3.61 ± 0.11		3.44 ± 0.08	t = 1.181 P > 0.05
U <sub>Na</sub> <sup>+</sup> mEq/L	35.39 ± 4.07		40.21 ± 3.39	t = 0.909 P > 0.05
U <sub>K</sub> <sup>+</sup> mEq/L	30.5 ± 2.48		27.6 ± 2.04	t = 0.888 P > 0.05

\* P = 0.05, \*\* P = 0.01 olasılık seviyesinde önemlidir, P = Plazma, U = İdrar

Sodyum klirensi (Tablo III) kontrolda 0.221 ± 0.033 ml/dk., reinfüzyondan sonra 0.236 ± 0.21 ml/dk.dır. Artış öbensizdir (P > 0.05). Potasyum klirensi kontrolda 7.285 ± 0.814 ml/dk., reinfüzyondan sonra 7.570 ± 1.043 ml/dk.dır. Yine küçük bir artış olmakla birlikte bu öbensizdir (P > 0.05).

**B. Hipotermik Grup:** Tablo I de görüldüğü gibi hipotermik grupta idrar akımı kontrolda 0.893 ± 0.102 ml/dk., reinfüzyondan sonra 0.875 ± 0.069 ml/dk.dir. İdrar akımı kontrola göre reinfüzyondan sonra bir azalma göstermekle beraber bu fark öbensizdir (P > 0.05). Hematokrit değeri kontrolda 39.14 ± 1.32., reinfüzyondan sonra 40.5 ± 1.29 olarak bulunmuştur. Aradaki fark istatistiksel olarak öbensizdir (P > 0.05). Kreatinin klirensi kontrolda 48.25 ± 4.64 ml/dk/m<sup>2</sup>, reinfüzyondan sonra 22.04 ± 4.11 ml/dk/m<sup>2</sup> ye inmiştir. Aradaki fark önemli bir neti-

TABLO III

## SODYUM VE POTASYUM KLİRENSLERİNİN ORTALAMA, STANDART HATA DEĞERLERİ VE ÖNEM KONTROLU SONUÇLARI

Parametreler	Normotermik Grup		$t =$	$P >$
	Kontrolde	Reinfüzyondan Sonra		
$K_{Na}^{+}$ ml/dk	0.221 ± 0.033	0.236 ± 0.021	$t =$ 0.639	$P >$ 0.05
$K_K^{+}$ ml/dk.	7.285 ± 0.814	7.578 ± 1.043	$t =$ 0.221	$P >$ 0.05

Hipotermik Grup				
	Kontrolde	Reinfüzyondan Sonra	$t =$	$P >$
$K_{Na}^{+}$ ml/dk.	0.218 ± 0.031	0.247 ± 0.025	$t =$ 0.728	$P >$ 0.05
$K_K^{+}$ ml/dk.	7.337 ± 0.821	6.997 ± 0.852	$t =$ 0.340	$P >$ 0.05

K = Klirens

ceyi vurgulamaktadır ( $P < 0.01$ ). PAH klirensi kontrolda 206.01 ± 16.18 ml/dk/m<sup>2</sup>., reinfüzyondan sonra 133.89 ± 6.42 ml/dk/m<sup>2</sup>.dir. Bulgular plazma akımında önemli bir azalmanın olduğunu göstermektedir ( $P < 0.01$ ). Böbrek kan akımı kontrolda 341.74 ± 30.22 ml/dk/m<sup>2</sup> iken reinfüzyondan sonra 227.81 ± 10.69 ml/dk/m<sup>2</sup> gibi önemli bir azalmayı göstermektedir ( $P < 0.01$ ).

Tablo II de hipotermik grup plazma sodyum konsantrasyonu kontrolda 139.21 ± 2.02 mEq/L iken, reinfüzyondan sonra 135.92 ± 1.76 mEq/L ye inmiştir. Ancak bu fark önemli bulunmamıştır ( $P > 0.05$ ). Aynı şekilde plazma potasyum konsantrasyonu kontrolde 3.61 ± 0.11 mEq/L iken reinfüzyondan sonra 3.44 ± 0.08 mEq/L.dir. Bir azalma söz konusu ise de fark önemsizdir ( $P > 0.05$ ).

İdrar sodyum konsantrasyonu kontrolda 35.39 ± 4.07 mEq/L iken reinfüzyondan sonra hafif bir artışla 40.21 ± 3.39 mEq/L olmuştur. Aradaki fark önemli değildir ( $P > 0.05$ ). İdrar potasyum konsantrasyonu ise kontrolda 30.5 ± 2.48 mEq/L den reinfüzyondan sonra 27.6 ± 2.04 mEq/L ye inmiştir. Burada da azalma önemsizdir ( $P > 0.05$ ).

Tablo III de hipotermik grup sodyum ve potasyum klirenslerine ilişkin değerler görülmektedir. Sodyum klirensi kontrolda 0.218 ± 0.031 ml/dk., reinfüzyondan sonra 0.247 ± 0.025 ml/dk.dir. Aradaki fark öbensiz bulunmuştur ( $P > 0.05$ ). Potasyum klirensi kontrolda 7.337 ± 0.821 ml/dk. iken, reinfüzyondan sonra 6.997 ± 0.852 ml/dk.dir. Bu- rada fark önemli bulunmamıştır ( $P > 0.05$ ).

NORMOTERMİK  
PARAMETRELER

TABLO V

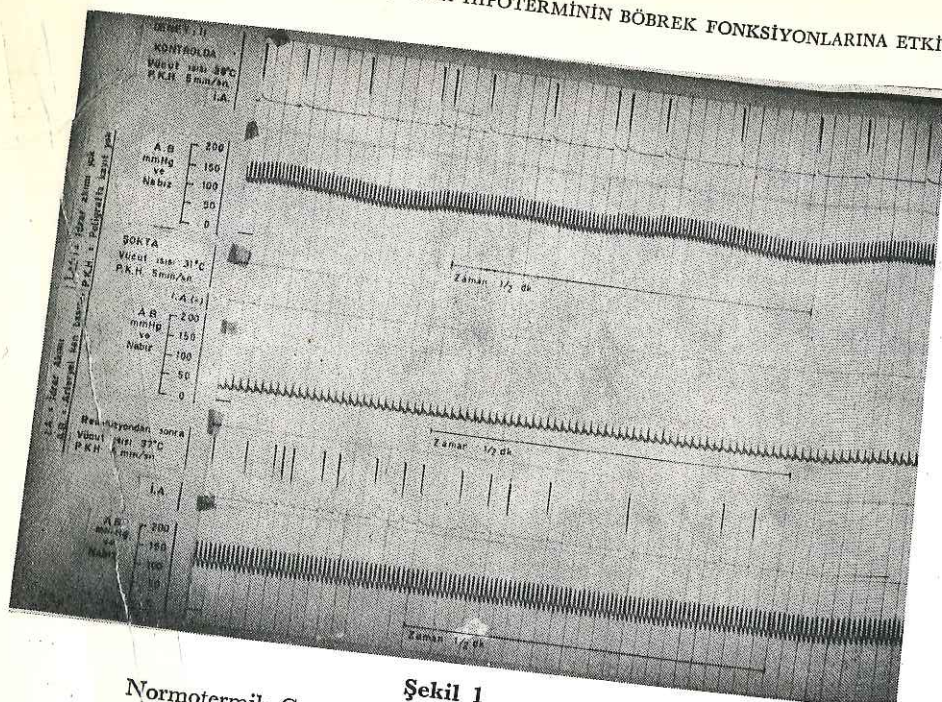
E HİPOTERMİK GRUP ARASINDA KAN VE İDRAR  
İN ORTALAMA, STANDRAT HATA DEĞERLERİ VE  
ÖNEM KONTROLU SONUÇLARI

Parametreler	Normotermik Grup (Kontrol)	Hipotermik Grup (Kontrol)	
	139.43 ± 2.22	139.21 ± 2.02	t = 0.073 P > 0.50
$P_{Na}^+$ mEq/L	3.59 ± 0.11	3.61 ± 0.11	t = 0.129 P > 0.50
	35.0 ± 5.15	35.39 ± 4.08	t = 0.059 P > 0.50
$U_{Na}^+$ mEq/L	30.46 ± 2.65	30.50 ± 2.48	t = 0.035 P > 0.50
	$U_K^+$ mEq/L		
Parametreler	Normotermik Grup (Reinfüzyondan sonra)	Hipotermik Grup (Reinfüzyondan sonra)	
	149.86 ± 1.55	135.93 ± 1.76	t = 5.94 P < 0.01**
$P_{Na}^+$ mEq/L	4.09 ± 0.15	3.44 ± 0.09	t = 3.716 P < 0.01**
	$P_K^+$ mEq/L	43.36 ± 3.76	t = 0.622 P > 0.50
$U_{Na}^+$ mEq/L	34.64 ± 2.51	27.64 ± 2.05	t = 2.160 P < 0.05*
	$U_K^+$ mEq/L		

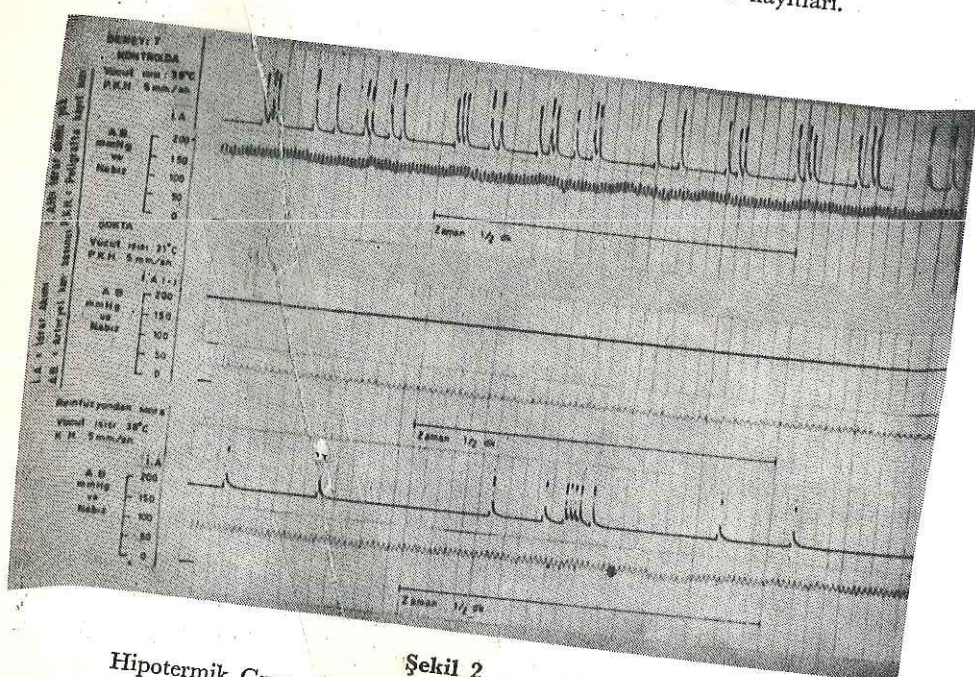
\* P = 0.05, \*\* P = 0.01 olasılık seviyesinde önemlidir. U = İdrar P = Plazma

## Tartışma

**A. Normotermik Grup:** İdrar akımı kontrola göre reinfüzyondan sonra artmıştır ( $P < 0.01$ ). Hemoraji ve retransfüzyonu, bizim bulgularımızda olduğu gibi hafif bir diürezisin takip ettiğine ilişkin bulgular nadir de olsa literatürde de vardır.<sup>37</sup> Kanımızca bu artışın nedeni aynı dönemde sodyumun idrarla çıkarılışının her ne kadar önemli olmasa da hafif artışı olabilir. Başka bir olasılık, hipotansif dönemde yetersiz oksijen nedeni ile tübüler fonksiyonun depresyonu ve bozulmuş olabileceği de ileri sürülebilir. Meydana gelen diürez ozmotik karakterdedir. Sodyum reabsorpsiyonun bozulduğu yer muhtemelen proksimal tüplerdir. Çünkü elektron mikroskopik olarak bunu izah edebilecek değişimler saptanmıştır. 50-60 mmHg. basıncında idrar akımı tamamen durmuştur (Şekil 1, 2).



**Şekil 1**  
Normotermik Grup. Arteryel basıncı, idrar akımı kayıtları.



**Şekil 2**  
Hipotermik Grup. Arteryel basıncı, idrar akımı kayıtları (1).

Normotermik grupta 90 dakikalık hemorajik hipotansiyondan sonra kan hemotokrit değeri kontrola göre önemli değişiklik göstermemiştir. Hemorajik şokta hematokritin, hipotansif dönemde interstisiyel mesafeden sıvının intravasküler bölmeye ve oradan da hücre membranındaki pompa yetersizliği ile hücre içine girip hücre hacmini artırmamasına bağlı olarak arttığı bildirilmiştir.<sup>4, 14, 22, 26</sup> Shemaker ise şokta sıvının damar içine kayışı ile hematokritin azaldığını bildirmiştir.<sup>34</sup> Çalışmamızda istatistiksel olarak önemli olmayan bir artış saptanmıştır.

Glomerüler filtrasyon hızı, transfüzyona ve kan basıncının genellikle normale dönmesine rağmen azalmış olarak bulundu ( $P<0.05$ ). Bu azalma şokta intrarenal kan akımının korteksten medullaya kayışına ve dolayısıyla kanlanması fonksiyonel alan dışında kalışı, transfüzyondan sonra da normal kan dağılımının sağlanamadığı şelinde yorumlanabilir.<sup>12, 37</sup> Ayrıca afferent arteriyoller kostriksyon ve efferent arteriyoller dilatasyonla da filtrasyon hızı azalmış olabilir.<sup>37</sup>

Böbrek plazma akımı ve kan akımı 90 dakikalık hipotansiyonu takiben yapılan transfüzyondan sonra önemli şekilde azalmış olarak bulundu ( $P<0.01$ ). Bu etki şokta oluşan vazokonstriktör aktivite ile böbrek kan akımının azaltmış olmasına bağlıdır. Şokta vazokonstriktör maddelerin yapım ve salınımı değişik organlardan artar.<sup>12, 13</sup> Bu etki hematokritte meydana gelen kısmi artışla daha da belirginleşmektedir.<sup>14, 26, 27</sup> Vazokonstriktör maddelerin dolaşımında uzunca bir süre kaldığı söylenebilir. Çünkü 90 dakikalık hipotansif periyodu takiben yapılan retransfüzyondan 15 dakikalık bir stabilizasyon periyoduna rağmen böbrek plazma ve kan akımının hala düşük bulunduğu bu maddelerin etkinliklerini sürdürdüklerini göstermiş olabilir.

Tablo II de görüldüğü gibi normotermik grupta plazma sodyum miktarı kontrole göre retransfüzyondan sonra önemli artış göstermiştir ( $P<0.01$ ). Keza potasyumda artmış olarak bulundu. Her iki maddeinin idrarada çıkışları bu koşullarda artmıştır. Bu artışın nedeni proksimal tüp hücrelerinde elektron mikroskopik olarak da tespit edildiği gibi mitokondrilerde meydana gelen değişikliklerle aktif olayların kısmen de olsa yetersizliğine bağlanabilir.<sup>9, 10</sup>

**B. Hipotermik Grup:** Kreatinin klirensi hipotermik grupta da 90 dakikalık hipotansif periyodu takiben yapılan retransfüzyon ve tekrar ısıtmakla kontrola göre önemli azalma göstermiştir ( $P<0.01$ ). Yalın hipotermide ( $31^{\circ}\text{C}$ ) glomerüler filtrasyon hızının 49 cc/dk.dan 37 cc/dk.ya düşüğü bildirilmiştir.<sup>27, 30</sup>

Böbrek plazma akımı hipotermi uygulanan grupta kontrola göre önemli azalmayı işaret etmektedir ( $P < 0.01$ ). Hipotermının yalnız uygulandığı durumlarda hiç değilse hipoterminin başlangıcında böbrek plazma akımının artmasına işaret edilmiştir. Bu artış tiretmeye bağlamış ve derin anestetize köpeklerde bu durum kaydedilmemiştir.<sup>27</sup> Bizim çalışmamızda normal ısida da plazma akımı düşük bulunmuştur. Bu şokta oluşan morfolojik değişikliklere, artan intrarenal direnç ve damar-sal faktörlere bağlanabilir.<sup>18, 32</sup>

Böbrek kan akımında hipotermik grupta reinfüzyondan sonra ve tekrar normal vücut ısısına dönüştürme sonrası kontrola göre önemli derecede azalış olarak bulundu. Bu azalmanın nedeni iki kaynaktan ileri gelebilir: Birincisi, hipotansif fazda meydana gelen vasküler ve tübüler kısmi harabiyete bağlı olarak, ikincisi hipotermide kan viskozitesi artışı ve hemokonsantrasyona bağlı olarak oluşabilir. Hipotermideki ortalama arteriyel basıncındaki azalma böbrek kan akımındaki azalmayı açıklayamaz. Çünkü tekrar ısıtarak normal vücut sıcaklığına dönüldüğünde kan basıncı da genellikle normal değerine dönmüştür.<sup>7</sup> Ancak böbreğin soğuğa karşı oluşturduğu vazokonstriktör cevap, kan akımındaki azalmayı izah edebilir ve bu etki normal vücut ısısına dönüldüğünde de bir müddet devam eder.

Sodyum ve potasyum klirensleri hipotermi uygulanan grupta önemli bir değişikliğin oluşmadığını göstermiştir ( $P > 0.05$ ). Segar, hipotermide sodyum klirensinin arttığını ve bunun idrarla çıkarılışının artmasına bağlı olduğunu bildirmiştir.<sup>30</sup>

Hipotermik ve normotermik grup arasında kontrol değerleri olarak vücut yüzeyi, idrar akımı, hematokrit, glomerüler filtrasyon hızı, böbrek plazma akımı ve böbrek kan akımı açısından önemli farklılık bulunmamıştır. Ancak her iki grup arasında reinfüzyondan sonraki aynı parametrelerden idrar akımı ve glomerüler filtrasyon hızında önemli azalmanın meydana geldiği anlaşılmıştır ( $P < 0.05$ ). Bu bulgu normotermik grupta şok ya da hipotansif periyodu takiben oluşan diürezi, hipotermik grupta kısmen oluşan idrar artışı ile karşılanamadığını gösterir. Glomerüler filtrasyon hızında her iki grupta reinfüzyondan sonra artış bulunması, hipoterminin de şok gibi glomerüler filtrasyon hızını azaltmasına bağlanabilir.<sup>18, 31</sup>

### Özet

Deneysel hemorajik şokta orta derecede ( $31^{\circ}\text{C}$ ) hipoterminin böbrek fonksiyonlarına etkisini araştırmak amacıyla yapılan bu çalışmada Hacettepe Üniversitesi Deney Hayvanları Yetiştirme Laboratuvarından

sağlanan, ağırlıkları 16-32 kg. arasında değişen 28 erkek ve dişi köpek kullanıldı.

Köpeklerin anestezisi Sodium Nembutal ile yapıldı. Femoral arter ve venleri kateterize edildi. Karın orta hattan pubisin altından bir insizyonla açılarak üreterler polietilen kateterle kateterize edildi. Arteryel kan basıncı ve idrar akımları poligrafta kaydedildi.

Bulguların istatistiksel değerlendirilmesinde eşler ve gruplar arası farkın önem kontrolü için t testi uygulandı. Sunulan bu çalışma ile deneysel hemorajik şok için 50-60 mmHg basıncının reversibl kademeyi oluşturduğu ve zaman olarak da 90 dakikalık bekleme süresinin uygun olduğu sonucuna varıldı. Hipoterminin, şokta böbrek fonksiyonlarında bazı değişikliklere neden olduğu anlaşıldı. Glomerüler filtrasyon hızı, böbrek plazma akımı ve böbrek kan akımı hipotermiye rağmen şok döneminde önemli ölçüde azaldı.

#### KAYNAKLAR

1. Andjus, R. K.: Effect of hypothermia on the kidney, *Physiol. Ind. Hypothem., Nat. Acad. Sci-Nat. Res. Council, Wash., D. C.*, 1956, 214.
2. Angelacos, E. T., and Torres, J. C.: Cardiovascular physiology under hypothermia, *Int. Anesth. Clin.*, **2**: 27, 1963.
3. Antos, R.: Influence of hypothermia and hyperthermia on survival time of dogs in hemorrhagic shock, *Proc. Soc. Exper. Biol. and Med.*, **56**: 60, 1944.
4. Baue, A. E. and Sayeed, M. M.: Alterations in the functional capacity of mitochondria in hemorrhagic shock, *Surgery.*, **68**: 41, 1970.
5. Bell, M. L., Herman, A. H., Smith, E. E., EgdaHL, R. H., and Ruterberg, A. M.: *Surgery.*, **70**: 341, 1971.
6. Blalock, A., and M. F. Mason: A comparison of effects of heat and those of cold in the prevention and treatment of shock, *Arch. Surg.*, **42**: 1054, 1941.
7. Blatties, C. M. and Horvath, S. M.: Renal, cardiovascular and respiratory responses and their interrelationships during hypothermia, *Amer. J. Physiol.*, **192**: 357, 1958.
8. Carriere, S., Thorburn, D. O., Morchoe, C. G. C., Barger, A. C.: Intrarenal distribution of blood flow in dogs during hemorrhagic hypotension, *Circ. Res.*, **19**: 167, 1966.
9. Chaudry, I. H., and Baue, A. E.: Depletion and replenishment of cellular cyclic adenosine monophosphate in hemorrhagic shock, *Surg. Gynecol. Obstet.*, **145**: 877, 1977.
10. Chaudry, I. H., Sayeed, M. M., and Baue, E. A.: Depletion and restoration of tissue ATP in hemorrhagic shock, *Arch. Surg.*, **108**: 208, 1974.
11. Chien, S.: Role of sympathetic nervous system in hemorrhage, *Physiol. Rev.*, **47**: 214, 1967.

12. Hirasawa, H., Odaka, M., Tabata, Y.: Tissue blood flow in brain, liver renal cortex, and renal medulla in experimental hemorrhagic shock, Crit. Care, Med., **5**: 141, 1977.
13. Hirasawa, H., Odaka, M., Nomura, Y.: The changes of cerebral hepatic and renal blood flows during hemorrhagic shock, J. Jpn. Soc. Surg., **75**: 1094, 1975.
14. Johnson, G., and Baggett, C.: Red-cell fluid and electrolytes during hemorrhagic shock in the monkey, Ann. Surg., **178**: 655, 1973.
15. İliçin, G., Bozer, A. Y.: Şok Patogenez ve tedavisi, II, Baskı Hacettepe Üniversitesi Yayınları, 1977.
16. Kando, Y., Turner, M. D., Benin, J. and Hardy, J. D.: Body responses and recovery after 2 1/2 hours of hypothermic circulatory arrest, Surgery., **76**: 439, 1974.
17. Kanter, G. S.: Renal clearance of glucose in hypothermic dogs, Amer. J. Physiol., **196**: 866, 1959.
18. Kanter, G. S.: Renal clearance of sodium and potassium in hypothermia, Can. J. Biochem. Physiol., **40**: 113, 1963.
19. Kovach, A. G. B., Rosell, Sandor.: Blood flow, oxygen consumption and free fatty acid release in subcutaneous tissue during hemorrhagic shock in control and phenoxybenzamine treated dogs, Cir. Res., **26**: 737, 1970.
20. Kutsal, A., Muluk, F. Z.: Uygulamalı Temel İstatistik. Hacettepe Üniversitesi Yayınları, II, Baskı, Cihan Matbaası, Ankara, 1975.
21. Lauson, K. D., Bradley, S. E., Cournand, A.: The renal circulation in shock J. Clin. Invest., **23**: 381, 1944.
22. Litwin, M. S.: Blood viscosity in shock, Amer. J. Surg., **110**: 313, 1965.
23. Mc Millan, I. K. R., Machell, E. S.: The technique of induced hypothermia, Brit. Med. Bull., **17**: 32, 1961.
24. Middleton, E. S., Mathews, R. E. and Shires, G. T.: Radiosulphate as a measure of the extracellular fluid in acute hemorrhagic shock, Ann. Surg., **170**: 174, 1969.
25. Morales, P., Carrberry, W., Morello, A. and Morales, C.: Alterations in renal function during hypothermia in man, Ann. Surg., **145**: 488, 1957.
26. Nelson, A. W.: Hypovolemic shock, Veterinary Clinics of North America, **6**: 187, 1976.
27. Page, L.B.: Effects of hypothermia on renal function, Am. J. Physiol., **181**: 171, 1955.
28. Powers, R. S.: Relation of acutetubuler necrosis to shock and the effect of mannitol, Amer. J. Surg., **110**: 330, 1965.
29. Ritlenhouse, E. A., Mohri, H., Reichenbach, D. D. and Merendio, K. A.: Morphologic alterations in vital organs after prolonged cardiac arrest at low body temperatures, Ann. Thorac. Surg., **13**: 564, 1972.
30. Segar, W. E., Riley, P. A. and Barila, T. G.: Urinary Composition during hypothermia, Amer. J. Physiol., **185**: 528, 1956.
31. Segar, W. E.: Effect of hypothermia on tubular transport mechanisms, Amer. J. Physiol., **195**: 91, 1958.
32. Selkurt, E. E.: Current status of renal circulation and related nephron function in hemorrhage and experimental shock. 1. Vascular mechanisms, Cir. Shock., **1**: 3, 1974.

33. Shoemaker, W. C., Walker, W. F., and Türk, L. N.: Role of the liver in the development of hemorrhagic shock, *Surg. Gynec. and Obst.*, **112**: 327, 1961.
34. Shoemaker, W. C.: Pathophysiologic mechanisms in shock and their therapeutic implications, *Am. J. Surg.*, **110**: 337, 1965.
35. Shoemaker, W. C., Walker, W. F., and Moore, F. D.: Hepatic blood flow in hemorrhagic shock, *Surg. Forum*, **9**: 30, 1959.
36. Smith, H. W.: *Principles of Renal physiology*. Oxford University Press, New York., 1956.
37. Tanner, George, A., and Ewald, E. Selkurt.: Kidney function in the squirrel monkey before and after hemorrhagic hypotension, *Am. J. Physiol.*, **219**: 597, 1970.
38. Wilson, J.N., Marshall, S.B., Beresford, V., Montgomery, D., Jenkins, and Swan, H.,: Experimental hemorrhage: Dilatative effect of hypothermia on survival and comparative evaluation of plasma volume changes, *Ann. Surg.*, **144**: 696, 1956.
39. Zweifach, B. W.: Mechanism of blood flow and fluid exchange in microvessels: Hemorrhagic hypotension model, *Anesthesiology*, **41**: 157, 1974.

# Enfluranın Sistemik ve Splanknik Hemodinamiye Etkisi

**Dr. Ahmet Tutan\* / Dr. Zahide Elar\*\* / Dr. Ahmet H. Öztürk\*\*\***

## *Giriş*

Enfluran anestezisi sırasında oluşan sistemik ve splanknik değişimler insanda ve deney hayvanlarında geniş şekilde incelenmiştir.<sup>1-8</sup> Enfluran anestezisi sırasında genel kardiyodepresif etkinin ortaya çıktığı ve splanknik kan akımı ile splanknik oksijen tüketiminde azalma olduğu bildirilmektedir. Bu konuda yapılan çalışmaların çoğunda splanknik kan akımı ölçümü için elektromagnetik flovmetreler kullanılmıştır.<sup>9-13</sup>

Bu çalışmanın amacı enfluran anestezisi sırasında, indosiyantan yeli ile ölçülen fonksiyonel karaciğer kan akımında gelen değişimleri, sistemik hemodinami ve total oksijen tüketimi ile ilişkili olarak araştırmaktadır.

## *Materyal ve Metot*

Ağırlıkları 15 ila 18 kg arasında değişen 10 sokak köpeği kullanıldı. Hayvanlar deney öncesinde 12-16 saat kadar aç bırakıldı ve premedikasyon yapılmadı.

**Anestezi:** İndüksiyon IV uygulanan 25 mg/kg pentobarbital ile sağlandı. Hayvanlar entübe edildikten sonra mekanik solunuma (Pulmomat, Dräger, Lübeck, Batı Almanya) başlandı. %30 O<sub>2</sub> ve %70 N<sub>2</sub>O karışımı ile, normokapnik koşullar sağlanacak şekilde solunum hızı ve tidal volüm ayarlandı. Metabolik asidoz oluştuğunda sodyum bikarbonat ile düzeltildi.

\* Ege Üniversitesi Ege Tıp Fakültesi Anesteziyoloji ve Reanimasyon Kürsüsü Direktörü.

\*\* Aynı Fakülte Anesteziyoloji ve Reanimasyon Kürsüsü Doçenti.

\*\*\* Aynı Fakülte, Anesteziyoloji ve Reanimasyon Kürsüsü Uzman Asistanı.

**Cerrahi İşlemler:** Sol femoral artere bir kateter (Angiocath-Desseret Cat no 2852, Utah, ABD) yerleştirildi ve ucu abdominal aorta içinde 5 cm kadar ilerletildi. Bu kateter ortalama aorta basıncı (OAB) ölçümü için monitöre (Cat no 120 33165 Fritz Hellige Co, Freiburg, Batı Almanya) bağlandı. OAB ve nabız sayısının monitörden izlenmeye başlandığı anda, arteryel kan gazları ve pH tayini için bir kan örneği alındı. Bu an, ölçümler yönünden “sıfır anı” olarak kabul edildi.

Sol femoral ven kateterize edildi ve deney boyunca bu kateterden 0,3 mg/ml süksametonyum içeren izotonik sodyum klorür solüsyonu 5 ml/kg/saat hızı ile infüze edildi.

Sol juguler vene indosianın yeşili (İY) enjeksiyonu için kullanılacak kateter yerleştirildi.

Karin 10-12 cm. lik median bir kesi ile açıldı. Yeterli hemostaz sağlanmasına özen gösterildi. Sağ jugular vene bir 7 F kateter (Unipolar Electrode Catheter Çat no 001491, USCI Mass, ABD) yerleştirildi ve ilerletilerek sol hepatik vene girmesi sağlandı. Kateter, karaciğer yüzeyinden palpe edilinceye kadar ilerletilmeye devam edildi, sonra 5-7 mm kadar geri çekildi.<sup>14</sup> Hafif bir aspirasyon ile kanın rahatça geldiği saptandıktan sonra kataterin lümeni heparinli solüsyonla (5 IU/ml) dolduruldu.

Sağ femoral veden kalp debisi ölçümünde kullanılmak üzere bir Swan-Ganz katateri (Model 93 A-118-7F Edwards Lab, Santa Ana, CA, ABD) yerleştirildi ve basınç traseleri gözlenerek pulmoner artere geçmesi beklandı.

İşti, bir rektal ısı probu ile monitörize edildi ve deney boyuncaisinin 1°C dan fazla değişmesi önлendi.

Hazırlık safhası, “Sıfır anı” na göre, yaklaşık 90 dakika sürdü. Hazırlık safhasının tamamlanmasından sonra 120. dakikaya kadar, hayvanın stabilizasyonu için yaklaşık 30 dakika beklandı. Bu dönemde ilave pentobarbital verilmedi. 300. dakikada deneye son verildi.

**I-15 dakikada bir yapılan ölçümler:** Bu ölçümler, “Sıfır anı” ndan 300. dakikaya kadar, çalışmamızın sağlıklı koşullar altında olup olmadığını kontrol edebilmek ve bazı hesaplamalarda kullanılmak üzere her 15 dakikada bir tekrarlandı.

*Nabız ve vücut ı̄sısı:* Nabız sayısı, OAB kayıtlarından okundu. Vücut ı̄sısı rektal prob ile izlendi.

*Kan Basıncı:* Ortalama aorta basıncı (OAB), abdominal aortadaki kataterin bir shatham transdüsere bağlanması ile monitörize edildi.

*Kan Gazları ve pH:* Sol femoral arterden alınan kan örneklerinde pH, PaO<sub>2</sub>, PaCO<sub>2</sub>, bikarbonat ve BE ölçümleri yapıldı.

**II- Deney Ölçümleri:** Bu başlık altında toplanan parametrelerle ilgili ölçümler 4 kez tekrarlandı. İlk ölçüm 120. dakikada (kontrol); ikinci ölçüm 135-150. dakikalar arasında % 3 ve daha sonra % 2 kon-santrasyonda enfluran uygulamasını takiben 180. dakikada (indüksiyon dönemi); üçüncü ölçüm % 2 enfluran uygulaması sürerken 240. dakikada (idame dönemi); ve dördüncü ölçüm enfluranın kesilmesinden 30 dakika sonra yani 285. dakikada (kendine gelme dönemi) yapıldı.

Sadece Hb ve Ht değerleri, deney hayvanının başlangıçdaki değerlerini de bilmek amacıyla “sıfır anı”nda da ölçüldü.

*Hemoglobin (HB) ve Hematokrit (Ht):* Bu ölçümler sağ atriyumdan alınan kan örneklerinde yapıldı. Hb ölçümü için Mercotest' den yararlanıldı ve Ht ölçümü için mikrohematokrit yöntemi kullanıldı.

*Karaciğer Kan Akımı (KKA):* KKA ölçümü için indosiyantan yesilinin (Cardio Green, Hynson, Westcoot and Dunning, ABD) “tek enjeksiyon yöntemi”nden yararlanıldı.<sup>14-22</sup>

Hazırlanan İY solusyonu 0,5 mg/kg hesabiyle sağ jugular venden enekte edildi. Femoral arteriel (afferent) ve hepatik venöz (efferent) kataterden 2'şer ml. lik kan örnekleri alındı. Kan örneklerinin ayrılan plazmaları içindeki İY konsantrasyonu; bir “plazma köprü” ve bir “standart solüsyona” karşı spektrofotometrede (Cat no 33-31-72, Spectronic 20, Bauch and Lamb, NY, ABD) okunarak hesaplandı.

*Kardiyak İndeks (KI):* Kalp debisi, termodilisyon yöntemi ile bir kalp debisi aygitinden (Thermodilution Cardiac Output Computer, Model 9510, Edwards Lab, Santa Ana, CA ABD) yararlanılarak ölçüldü. KI, kalp debisinin vücut yüzeyine ( $m^2$ ) oranlanması ile hesaplandı.

*Vasküler Rezistanslar:* Total periferik rezistans (TPR), ortalama aorta basıncının kalp debisine ve splanknik vasküler rezistans (SVR), ortalama aorta basıncının karaciğer kan akımına bölünmesiyle hesaplandı. Alt vena kava basıncı 0 mm Hg kabul edildi.

*Oksijen Tüketimleri:* Femoral arter, sağ atriyum ve hepatik venden aynı anda alınan kan örneklerinde oksijen saturasyonları okundu (Micro Reflection Oxymeter- 405802, AOC, NY, ABD) ve oksijen volümleri hesaplandı.

Arteriyel ve sağ atrium oksijen volümleri farkının kalp debisi ile çarpımından total oksijen tüketimi (TOT), arteriyel ve hepatik ven oksijen volümleri farkının KKA ile çarpımından da splanknik oksijen tüketimi (SOT) hesaplandı.

TABLO I  
ENFLURANIN SİSTEMİK VE SPLANKNİK HEMODİNAMIYE ETKİSİ

	N	OAB	KI	TPR	TOT	KKA	SVR	SOT
Kontrol	$\bar{x}$	144.00	129.50	2.12	0.048	6.47	46.07	0.150
	SD	± 5.812	± 6.122	± 0.103	± 0.003	± 0.091	± 2.597	± 0.014
	$\bar{x}$	130.40	82.50	1.53	0.041	5.73	30.40	0.149
	SD	± 4.183	± 6.842	± 0.065	± 0.004	± 0.141	± 1.657	± 0.014
İndüksiyon	%	- 9.44	- 36.71	- 26.77	- 12.36	- 11.37	- 32.18	- 0.95
	p	n.s.	< 0.01	< 0.01	< 0.01	< 0.01	< 0.01	n.s.
	$\bar{x}$	128.00	88.00	1.44	0.046	5.47	29.34	0.157
	SD	± 4.770	± 7.000	± 0.031	± 0.04	± 0.206	± 1.772	± 0.019
İdamı	%	- 11.11	- 32.60	- 30.59	- 0.87	- 15.47	- 36.13	+ 3.95
	p	n.s.	< 0.01	< 0.01	n.s.	< 0.01	< 0.01	n.s.
	$\bar{x}$	135.80	101.00	1.43	0.054	5.70	29.69	0.179
	SD	± 4.770	± 4.702	± 0.037	± 0.002	± 0.183	± 2.201	± 0.014
Kendine Gelece	%	- 5.69	- 21.60	- 31.35	+ 17.05	- 6.57	- 34.55	+ 23.94
	p	n.s.	< 0.01	< 0.01	< 0.01	< 0.01	< 0.01	< 0.05
	$\bar{x}$	Ortalama	SD = Standart desiyasyon	% = Kontrole göre % değiisme	p = Önemlik	ns = ( $P > 0.05$ ) Önemsiz		

Kullanan kısaltmalar: N, nabız (atım sayısı/dk); OAB, ortalamalı aorta basıncı (torr); KI, kardiyak indeks ( $L/dk/m^2$ ); TPR, total periferik rezistans ( $torr/ml.dk^{-1}$ ); TOT, total oksijen tüketimi ( $ml/dk/kg$ ); KKA, karaciğer kan akımı ( $ml/dk/kg$ ); SVR, splanknik vasküler rezistans ( $torr/ml.dk^{-1}$ ); SOT, splanknik oksijen tüketimi ( $ml/dk/kg$ ).

$\bar{x}$  = Ortalama SD = Standart desiyasyon % = Kontrole göre % değiisme p = Önemlik ns = ( $P > 0.05$ ) Önemsiz

### *Bulgular*

120. dakikadaki "kontrol", 180. dakikadaki "birinci ölçüm", 240. dakikadaki "ikinci ölçüm", ve 285. dakikadaki "kendine gelme dönemi" ölümünden elde edilen sonuçlar, bunların kontrol değerlerine göre gösterdikleri yüzde değişimleri ve bu değişimlerin önemlilik dereceleri Tablo I'de (kontrol değerleri ile birlikte) özetlendi.

Nabızda; istatistiksel olarak anlamlı bulunan fakat kliniksel önem taşımayan bir değişikliğin gözlendiği "kendine gelme dönemi" dışında anlamlı bir değişiklik olmadı.

OAB; enfluran uygulanması başlandıktan sonra (% 3 enfluran uygulanmasını izleyen dönemde) en fazla olmak üzere anlamlı bir düşme gösterdi. Kendine gelme dönemi sırasında, bir önceki ölçüme göre yükselme göstermesine karşın yine de kontrol değerine göre anlamlı şekilde düşük bulundu.

KI; enfluran uygulamasının başlamasıyla anlamlı şekilde düştü ve ikinci ölçümde de düşmeye devam edip kendine gelme sırasında da değişmedi.

TPR; OAB ile paralel bir seyir göstererek enfluran uygulamasının başlaması ile anlamlı bir düşme gösterdi. Ancak uygulamanın devamı sırasında başlangıçdaki değere döndü. Kendine gelme döneminde ise, anlamlı bir yükselme göstererek kontrol değerinin üstüne çıktı.

TOT; enfluran uygulaması sırasında giderek düştü, kendine gelme sırasında ise bir miktar yükselme gösterdiye de kontrolün anlamlı şekilde altında kaldı.

KKA'da; enfluran uygulandığı sürece hemen hemen KI'in gösterdiği değişme paralel anlamlı bir düşme saptandı.

SVR; "kendine gelme dönemi"ne kadar minimal ve anlamsız bir yükselme gösterdi.

SOT; "kendine gelme dönemi" ne kadar anlamlı bir düşme ile TOT'e paralel bir seyir gösterdi. Ancak daha sonra TOT'nin yükselmesine karşı, SOT'i hemen hemen sabit kaldı.

### *Tartışma*

Bu çalışmada bazal anestezi olarak normokapnik koşullarda uygulanan "pentobarbital-N<sub>2</sub>O- Suksametonyum" yönteminin seçiminden amaç; pentobarbitalın hipnotik etkisini N<sub>2</sub>O'ın analjezik etkisi ile destekleyerek cerrahi girişime olanak sağlamak ve sempatik sinir sistemin-

deki aşırı uyarılmanın önüne geçilerek yaniltıcı sonuçlara varmaktan kaçınılmaktır. N<sub>2</sub>O'ın köpekte dolaşimsal etkilerinin kontrol değerlerinde anlamlı değişiklik yapmayacak ölçüde olduğu saptanmıştır.<sup>23</sup>

Asid baz dengesi, mekanik ventilasyon, cerrahi stimulasyon gibi dolaşimsal parametreleri etkileyebilecek diğer faktörlerin etkileri, spesifik önlemlerle ve bir stabilizasyon periyodunun mevcudiyeti ile minimal düzeyde tutulmaya çalışıldı.

Enfluranın nabız üzerine etkisini konu alan çalışmalar çelişkili sonuçlar ortaya koymaktadır. Bu çalışmalarlardan bir kısmı enfluranın gerek insanda<sup>1, 2, 4, 5</sup> ve gerekse köpekte<sup>3</sup> nabızı artttırığını bildirmektedir. Diğer taraftan deney hayvanlarında yüksek başlangıç nabız zemininde enfluran uygulanmasının nabızda bir düşme meydana getirdiği saptanmıştır.<sup>6, 7, 8, 24</sup> Bizim sonuçlarımız enfluranın nabızda düşmeye neden olduğunu bildiren çalışmalarinkine uymaktadır. Bu bulgu, başlangıçta nabızın normal istirahat değerlerine yakın olduğu hallerde unfluran uygulanmasının; muhtemelen düşen kan basıncı nedeniyle baroresp-törler aracılığı ile kompansatris bir mekanizmayı harakete geçirerek bir artışa, öte yandan başlangıçta nabızın yüksek olduğu hallerde direkt negatif kronotrop etkisiyle nabızda bir düşmeye neden olduğu şeklinde yorumlanmaktadır.<sup>7, 8</sup>

Enfluranın kalp debisi üzerine etkisi tartışılmalı olmakla beraber, insanlarda kalp debisinin anlamsız olarak etkilendiğini ileri süren bazı araştırmacılar<sup>2, 5</sup> dışında genel kanı, enfluranın değişen konsantrasyonlarında insanda<sup>4, 25</sup> ve deney hayvanlarında<sup>3, 6, 7, 26, 27</sup> belirgin kalp debisi düşüşüne neden olduğu noktasında toplanmaktadır. Enfluranın kalp debisi ve nabızda birlikte meydana getirdiği düşme şeklindeki değişimlerin değerlendirilmesi, atım volümünde önemli bir düşme olduğunu göstermektedir ki bu sonuç enfluranın kardiyodepresif özelliklerile açıklanabilir.

Enfluran anestezisinde görülen bu kardiyovasküler depresyon kısmen sempatik aktivitenin deprese olmasına<sup>27</sup> bağlı olduğu kadar, diğer taraftan myokardiyal kontraktibilitenin doza bağımlı olarak<sup>26</sup> depresyonu ile de ilgilidir. Enfluran altında myokardiyal güç doza bağımlı olarak düşmekte ve bu sırada myokardiyal kan akımı ve O<sub>2</sub> ekstraksiyonu koşut olarak azaltmaktadır.<sup>3, 25</sup> Ancak deneysel olarak yaratılan maksimal sempatik depresyon sırasında uygulanan propanolol'un kardiyak depresyonu arttırcı yönde etki etmesi,<sup>6, 26</sup> aslında deprese olmuş kalp gücünün sempatik aktivite sayesinde makul bir düzeyde tutulabildiğine işaret etmektedir.

Enfluran uygulaması sırasında düşen kardiyak debiye karşı beklenen vasküler yanıt ortaya çıkmamıştır. Ancak ayılma fazının sonunda düşmeye devam eden kardiyak debiye karşı normal vasküler yanıt belirmiştir ve TPR inisyalin üzerine yükselmiştir. Bu, ayılma fazının sonunda OAB'da inisyale doğru olan yükselmeyi de açıklamaktadır. Enfluran anestezisi altında meydana gelen TPR azalması, enfluranın sempatik sinir sistemi aktivitesine ve vasküler düz kasa etkisi ile açıklanabilir. Enfluran, sempatik sinir aktivitesinin konsantrasyonu ile bağımlı olarak deprese etmektedir.<sup>1, 24, 27-30</sup>

Sempatik aktivitedeki bu depresyon hem santral hem de periferik komponentlere sahip olabilir. Enfluran medüller veya spinal kordon veya her ikisindeki depresör nöronları etkilemeksizin pressör nöronları belirgin şekilde deprese etmektedir.<sup>27</sup> Enfluranın, barostatik refleksi bozmadığı gösterilmiştir.<sup>27</sup> Bu nedenle AOB düşmesinin barostatik inhibisyonda bir azalma meydana getirerek sempatik aktivitenin artmasına neden olacağı beklenmesine karşın, enfluran anestezisinin söz edilen santral sempatik depresif etkisi dolayısı ile sempatik aktivitede artma gözlenmez. Bu varsayımlı destekler şekilde, enfluran uygulaması sırasında sponton veya stimülasyona bağımlı katekolamin sekresyonunda bir düşme olduğu saptanmıştır.<sup>24</sup> Aynı çalışmada sempatik ganglion transmisyonunun enfluran konsantrasyonuna bağlı olarak depresyonun gösterilmiş olması, bu anestezik maddenin sempatik aktiviteyi periferde de deprese ettiğini telkin etmektedir.<sup>28</sup>

Sempatik aktivitedeki depresyon dışında TPR'da azalma yapabilecek diğer bir faktör, vasküler düz kasların inhibisyonudur. Enfluranın uterus düz kasının kontraktibilitesini de prese ettiğinin gösterilmiş olması,<sup>31</sup> böyle bir mekanizmanın mevcut olduğu ihtimaline işaret etmektedir.

Yukarıda söz edilen şekilde enfluran anestezisi altında düşen kalp debisi karşısında vasküler yanıtın ortaya çıkmamış olması gözlenen belirgin OAB düşmesini açıklayabilir. Bu nedenle, normalde görülmesi beklenen "kardiyak debi-TPR" arasındaki ters yönlü ilişki ortaya çıkmamıştır( $r = -0.2138$ ) ve OAB kardiyak indekse bağımlı kalmıştır.

Enfluranın beyin, böbrek, iskelet kası ve özellikle myokardda  $O_2$  tüketimini azaltarak TOT'ni düşürdüğü gösterilmiştir.<sup>25</sup> Oksijen tüketiminin sempato-adrenal aktivite ile ilişkili olması, sempatik depresyonun TOT düşmesine katkıda bulunduğuunu düşündürmektedir.

Enfluran uygulaması sırasında KKA'nda KI'e parellel şekilde önemli bir düşme olmuş ve kendine gelme döneminde yine KI'inkine benzer bir yükselme saptanmıştır. Bu bulgu KKA'nın en önemli belirleyicisi-

nin kalp debisi olduğu görüşüne<sup>32-34</sup> uygundur. Nitekim "KKA-kalp debisi" arasında bir ilişkinin bulunmuş olması ( $r=0,7837$ ) da bunu desteklemektedir.

Enfluran uygulaması sırasında SVR'da önemli bir değişiklik görülmekten, enfluranın kesilmesinden sonra SVR'nin anlamlı bir yükselme göstermiş olması enfluran anestezisinin ortaya çıkması beklenen sempatik vasküler yanıtını engellediği görüşünü desteklemektedir.<sup>1, 24, 27-30</sup>

Irestedt ve Andreen<sup>7</sup> enfluran anestezisi altında SVR'da normal yanıtın ortaya çıkışının şu nedenlere bağlanabileceğini ileri sürmektedirler:

- a) Santral sempatik depresyon veya sempatik ganglion depresyonuna bağlı olarak azalan sempatik dejarj hızı,
- b) Sempatik dejarjin splanknik rezistan damarlar üzerine etkisinin azalması veya vasküler düz kas üzerine direkt myojenik depresyon,
- c) Splanknik kan akımının otoregülasyonu.

Enfluran anestezisi sırasında sempatik aktivitedeki maksimal azalma halinde bile sempatik uyarılara karşı vasküler yanıt bir dereceye kadar korunmuştur. Buna uygun olarak sempatik aktivitenin daha da azalması karşısında kan basıncında buna uygun bir düşme ortaya çıkar.<sup>27</sup> Enfluran ile santral sempatik aktivite azalması yanında sempatik ganglion transmisyonu bozulması da<sup>28</sup> SVR'nin düşmesine katkıda bulunur. Splanknik vasküler yatağın kan akımını ayarlamak üzere bir otoregülüatuvar mekanizmaya sahip olduğu bilinmektedir ki bu mekanizma ile karaciğerin metabolik gereksinmelerine göre SVR değişimebilir.<sup>35, 36</sup>

Köpeklerde enfluranın organ oksijen tüketimleri üzerine etkisini inceleyen Theye ve Michenfelder<sup>25</sup> SOT'de anlamlı bir düşme meydana geldiğini, ancak bu azalmanın oksijen transportundaki bir yetmezlikle açıklanamayacağını belirtmişlerdir. Yine aynı çalışmacılarca SOT, KKA'ni yakından izlemekte ve bu akımı azaltan koşullar SOT'nin de azalmasına katkıda bulunmaktadır.

Price ve arkadaşları<sup>37</sup> genel anesteziklerin bölgesel kan akımını oksijen tüketiminden daha çok düşürerek splanknik visseral hipoksi meydana getirebilecekleri görüşünden hareket ederek çeşitli anestezikler için splanknik kan akımında oluşan değişimyi oksijen tüketiminde oluşan değişimeye oranlayarak sıralama yoluna gitmişlerdir. SOT'nde hepatik kan akımına uygun bir düşmenin bulunmasının anestezi sırasında hipoksi sorununu azaltacağını ileri sürmüşler, fakat bir hipoksi kanıt bulamamışlardır. Bu çalışmanın sonuçları Price ve arkadaşlarının önerdiği şekilde yorumlanırsa enfluran için 0.76 değeri elde edilir.

Bu sayı, enfluran anestezisi sırasında splanknik dolaşım açısından perfüzyonun oksijen tüketiminden daha fazla düşme gösterdiğini işaret eder.

Enfluran anestezisi altında, karaciğer ve preportal dokuların kan akımını elektromagnetik flowmetre ile ölçerek yaptıkları bir çalışmada bu çalışmanın kine uyan sonuçlar elde etmiş olmalarına karşın Irestedt ve Andreen<sup>7</sup> daha değişik bir yorum getirmektedirler. Bu iki araştırmacı kendilerine ait önceki çalışmaları kaynak göstererek, halotana kıyasla enfluran anestezisinin hepatik kan akımı ve oksijen tüketiminde daha az bozukluk meydana getirdiğini ileri sürmektedirler.

Sonuç olarak enfluranın atım volümünde anlamlı bir azalma yaptığı ve bu etki karşısında normal vasküler yanıtın ortaya çıkmadığı gözlenmiştir. Bu sonuç muhtemelen sempatik aktivitenin depresyonuna bağlanabilir. KKA'da kalp debisindeki düşüşe parellel bir azalma olurken, SOT nisbeten daha az düşmektedir. Bu özelliklerine bakılarak enfluranın sistemik ve splanknik hemodinami yönünden sınırlı olan vakalarda ihtiyatla kullanılması gereği kanısına varılmıştır.

### *Özet*

Enfluran anestezisi altındaki 10 köpekte; nabız, ortalama aorta basıncı, kardiyak indeks, total periferik rezistans, total oksijen tüketimi, karaciğer kan akımı, splanknik vasküler rezistans ve splanknik oksijen tüketimi gibi, sistemik ve splanknik hemodinamiye ait çeşitli parametlerdeki değişiklikler incelendi.

Elde edilen sonuçlar; enfluranın önemli bir kardiyodepresif etkiye sahip olduğu ve bu etki karşısında, muhtemelen sempatik aktivite depresyonuna bağlı olarak, normal kardiyovasküler yanıtın ortaya çıkmadığı şeklinde yorumlandı. Ayrıca enfluranın, karaciğer kan akımında bir azalma oluşturduğu ve bu sırada splanknik oksijen tüketiminin kan akımı ile kıyaslanmayacak derecede yüksek kaldığı saptandı.

Bu özellikleri nedeni ile enfluranın, sistemik ve splanknik hemodinami yönünden sınırlı olan vakalarda ihtiyatla kullanılması gereği kanısına varıldı.

### *KAYNAKLAR*

- Heinberg, J. K., Wiberg, J. F., Skovsted, P.: Heart rate changes caused by enflurane and halothane anaesthesia in man. *Acta Anaesth Scand Suppl.* 67: 59, 1978.
- Levesque, P. R., Nanagas, V., Shanks, C., Shimosato, S.: Circulatory effects of enflurane in normocarbic human volunteers. *Can. Anaesth Soc. J.* 21: 580. 1974.
- Merin, R. G., Kumazawa, T., Luka, N. L.: Enflurane depresses myocardial function, perfusion and metabolism in the dog. *Anesthesiology* 45: 501, 1976.

4. Virtue, R. W., Lund, L. O., Phelps, M. K., Vogel, J. H. K., Beckwitt, H. and Heron, M.: Difluoromethyl 1, 1, 2-Trifluoro-2-chloro-ethylether as an anaesthetic agent: Result with dogs, and a preliminary note on observations with man. *Can. Anaesth. Soc. J.* **13**: 223, 1966.
5. Christensen, V., Sorensen, M. B., Klauber, P. V. and Skovsted, P.: Haemodynamic effects of enflurane in patients with valvular heart disease. *Acta Anaesth. Scand. Suppl.* **67**: 34, 1978.
6. Horan, B. F., Prys-Roberts, C., Hamilton, W. K. and Roberts, J. G.: Hemodynamic responses to enflurane anaesthesia and hypovolemia in the dog and their modification by propranolol. *Brit. J. Anaesth.* **49**: 1189, 1977.
7. Irestedt, L. and Andreen, M.: Hemodynamics and oxygenation of the preportal and hepatic tissues during enflurane anesthesia in the dog. *Acta Anaesthesiol. Scand.* **23**: 13, 1979.
8. Ritzman, J. R., Erickson, H. H. and Miller, E. D.: Cardiovascular effects of enflurane and halothane on the Rhesus monkeys. *Anesth. Analg.* **55**: 85, 1976.
9. Andreen, M., Irestedt, L. and Zetterström, B.: The different responses of the hepatic arterial bed to hypovolaemia and to halothane anaesthesia. *Acta Anaesth. Scand.* **21**: 457, 1977.
10. Boettner, R. B., Ramachandran, P. R., Gann, D. S. and Barnes, K.: Effects of halothane and cyclopropane on femoral and hepatic blood flow in shocked dogs. *Anesth. Analg.* **47**: 213, 1968.
11. Drapanas, T., Kluge, D. N. and Schenk, W. G.: Measurement of hepatic blood flow by bromsulphalein and by the electromagnetic flowmeter. *Surgery*. **43**: 1017, 1960.
12. Galindo, A.: Hepatic circulation and hepatic function during anesthesia and surgery. *Can. Anaesth. Soc. J.* **12**: 262, 1965.
13. Hopkinson, B. R. and Schenk, W. G.: The electromagnetic measurement of liver blood flow and cardiac output in conscious dogs during feeding and exercise. *Surgery*. **63**: 970, 1968.
14. Teranaka, M. and Schenk, W. G.: Hepatic blood flow measurement. A comparison of the indocyanine green and electromagnetic techniques in normal and abnormal states in the dog. *Ann. Surg.* **185**: 58, 1977.
15. Banaszak, E. F., Stekiel, W. J., Grace, R. A. and Smith, J. J.: Estimation of hepatic blood flow using a single injection dye clearance method. *Amer. J. Physiol.* **198**: 877, 1960.
16. Hunton, D. B., Bollman, J. L. and Hoffman, H. N.: Hepatic removal of indocyanine green. *Proc. Staff Meet Mayo Clin.* **35**: 752, 1960.
17. Ketterer, S. G., Wiegand, B. D. and Rapaport, E.: Hepatic uptake and biliary excretion of indocyanine green and its use in estimation of hepatic blood flow in dogs. *Amer. J. Physiol.* **199**: 481, 1960.
18. Rapaport, E., Ketterer, S. G. and Wiegand, B. D.: Hepatic clearance of indocyanine green. *Clin. Res.* **7**: 289, 1959.
19. Reemtsma, K., Hottinger, G. C., DeGraff, A. C. and Greech, O.: Studies of hepatic function and blood flow using indocyanine green. *Clin. Res.* **8**: 77, 1960.
20. Reemtsma, K., Hottinger, G. C., DeGraff, A. C. and Greech, O.: The estimation of hepatic blood flow using indocyanine green. *Surg. Gynec. Obstet.* **110**: 353, 1960.

21. Spurr, G. B., and Dwyer, N. J.: Hepatic blood flow and indocyanine green disappearance in hyperthermia and endogenous fever. *J. Appl. Physiol.* **32**: 362, 1972.
22. Stekiel, W. J., Kampine, J. P., Banaszak, E. F. and Smith, J. J.: Hepatic clearance of indocyanine in the dog. *Amer. J. Physiol.* **198**: 881, 1960.
23. Manders, T. W. and Vatner, S. F.: Effects of sodium pentobarbital anesthesia on left ventricular function and distribution of cardiac output in dogs with particular reference to the mechanism for tachycardia. *Circ. Res.* **39**: 512, 1976.
24. Göthert, M. and Wendt, J.: Inhibition of adrenal medullary catecholamine secretion by enflurane, I. *Anesthesiology* **46**: 400, 1977.
25. Theye, R. A. and Michenfelder, J. D.: Whole body and organ VO<sub>2</sub> changes with enflurane, isoflurane and halothane. *Brit. J. Anaesth.* **47**: 813, 1975.
26. Horan, B. F., Prys-Roberts, C., Hamilton, W. K. and Roberts, J. G.: Interaction of enflurane anaesthesia, beta receptor blockade and blood-loss in the dog. *Brit. J. Anaesth.* **48**: 817, 1976.
27. Skovsted, P. and Price, H. L.: The effects of ethrane on arterial pressure, preganglionic sympathetic activity, and barostatic reflexes. *Anesthesiology* **36**: 257, 1972.
28. Göthert, M. and Wendt, J.: Inhibititon of adrenal medullary catecholamine secretion by enflurane, II. *Anesthesiology*. **46**: 404, 1977.
29. Makelainen, A.: Effects of enflurane and fluroxene on lipid and carbohydrate metabolism in rats. *Med. Biol.* **52**: 269, 1974.
30. Smith, N. Ty., Calverley, R. K., Prys-Roberts, C., Eger, E. I. and Jones, C. W.: Impact of nitrous oxide on the circulation during enflurane anesthesia in man. *Anesthesiology*. **48**: 345, 1978.
31. Munson, E. S. and Embro, W. J.: Enflurane, isoflurane and halothane and isolated human uterine muscle. *Anesthesiology* **46**: 11, 1977.
32. Batchelder, B. M. and Cooperman, L. H.: Effects of anesthetics on splanchnic circulation and metabolism. *Surg. Clin. North Amer.* **4**: 787, 1974.
33. Bradley, S. E.: The circulation and the liver. *Gastroenter.* **44**: 403, 1963.
34. Cooperman, L. H.: Effects of anesthetics on the splanchnic circulation. *Brit. J. Anaesth.* **44**: 967, 1972.
35. Guyton, A. C.: *Textbook of medical Physiology*. 5. ed., Saunders, Philadelphia. 1976.
36. Mountcastle, V. B.: *Medical Physiology*. Vol II, CV. Mosby, Saint Louis 1974.
37. Price, H. L., Deutsch, S., Davidson, A., Clement, A. J., Behar M. G. and Epstein, R.: Can general anesthetics produce splanchnic visceral hypoxia by reducing regional blood flow? *Anesthesiology*. **27**: 24, 1966.

# Fötal, Neonatal, Genç, Ergin ve Yaşlı Kobaylarda Thymus'un Evolusyon ve Envolusyonu ile bu Periyodlarda Meydana Gelen Değişikliklerin Makroskopik, Mikroskopik ve Histokimyasal Metotlarla Araştırılması

Dr. Ragiba Zağyapan\*

## Giriş

Son on yıldan beri üzerinde titizlikle durulan konulardan biri olan thymus'un, immünolojik yönden büyük bir önem taşıdığı anlaşılmış, bu bakımından organ son yılların popüler konularından biri haline gelmiştir. Bunun için thymus'un evolusyon ve envolusyonu ile bu periyodlarda meydana gelen değişiklikleri incelemek amacı ile değişik yaş ve cinsiyet-teki kobaylar üzerinde araştırma yapılmıştır.

İnsanlarda ve memelilerde thymus 3'üncü yutak cebinin endodermal epiteli ve bunun çevresinde toplanan mezodermal elamanlarından gelişir. Thymus'un yapısında bulunan hücrelerin orijini hakkında yapılan çeşitli çalışmalar sonucu, birçok görüşler ortaya atılmış ve tartışılmıştır. Bazıları lenfosit veya timosit adı verilen hücrelerin endodermal epitelden meydana geldiklerini ileri sürmüster ve thymus lenfosit'lerini mezenşimal lenfosit'lardan ayırmak için timosit demişlerdir.<sup>1, 2, 6</sup>

\* Hacettepe Üniversitesi Tıp Fakültesi Anatomı Bilim Dalı Öğretim Görevlisi.

Medulla, gelişim sırasında reticulum hücrelerini yapan epitelyumun hipertrofisi ve buradaki lenfosit'lerden çögünün başka bölgeler göçü veya dejenerasyonu sonucu yapısal özelliğini kazanır. Medullanın teşekkülü ile birlikte, burada yer alan reticulum hücrelerinden bazılarının dejenerasyonu ve bunun etrafını başka reticulum hücrelerinin konsonantik tabakalar halinde sarması ile thymus için karakteristik olan Hassall cisimcikleri teşekkül eder.<sup>2</sup>

Doku kültürleri ve transplantasyon teknikleriyle yapılan çalışmalarında: thymus gelişmesinde, mezenşimal ve epitelyal dokular arasındaki karşılıklı etkiye bağlı endüktif mekanizmanın rol oynadığı sonucuna varılmıştır.<sup>1</sup>

Thymus insanlarda mediastinum'un ön ve üst kısmında yer alır. Thymus'un ağırlığı doğumdan puberteye kadar, vücut ağırlığına oranla thymus lehine bir artış gösterir. Bundan sonra hayat boyunca küçülür. Kobay ve tavuklarda boynun iki yanında ayrı ayrı loblar halinde bulunur.<sup>2</sup>

Thymus yapısı itibarıyle bir lenfoid organ olarak kabul edilir. Bir iç salgı organının karakteristik yapısına sahip değildir. Fakat glandula suprarenalis ve gonadla'rın fonksiyon durumu ile ilgili olarak değişiklikler göstermesi ve puberteye kadar kuvvetli bir gelişme gösterdiği halde, seksüel olgunluğun başlamasından sonra gerilemesi bu organın gelişim üzerine etkisi olan bir iç salgı fonksiyonu gösterdiği kanısını uyanırmaktadır.<sup>6</sup>

#### *Materyel ve Metot*

Bu araştırmada, 2'si embriyo, 11'i fötüs, olmak üzere 38 adet kobaydan yararlanıldı. Embriyolar dışındaki 36 kobaydan 13'ü dişi 23'ü ise erkekti.

Yaş, cins ve ağırlıkları kaydedilen kobaylar etersülfirik inhalasyonu ile öldürildi. Boyun bölgesinde sağlı sollu iki lop halinde bulunan thymus bezi alındı, hassas terazide tartılıp muhtelif fikzatiflere konuldu. Gebe olan kobaylarda ise, karın bölgesi açıldı uterus ve amnion kesesi açılıp yavrular alındı.

Tespit edilen doku parçalarından elde edilen parafin blokları 6 mikron kalınlığında seri olarak kesildi. Elde edilen preparatlara 5 çeşit boyalı metodu uygulandı.

#### *Bulgular*

Bilindiği gibi embriyonel devrede dokular, fotal devrede ise organlar farklılaşır. Embriyonlardan elde edilen seri kesitlerin incelenmesinde

3 haftalık embriyoda, kas ve kıkırdak dokuları görülmüştür. Organ teşekkülüne ait gidişin henüz başlamamış olması ve boyun bölgesinin şekil lenmemesi, ayırd ettiğimiz lenfoid dokunun, lenf düğümüne mi yoksa thymus'a mı ait olduğu hususunda kesin bir yargıya varmamıza imkan vermemiştir.

Kobaylarda thymus insan ve memeli hayvanlardan farklı olarak boyun bölgesinde sağlı sollu iki lop halinde bulunmaktadır. Tetkik edilen kobaylardan ikisinde, thymus ile glandula submandibularis birbirine müsterek bir bağ dokusu kılıflı ile bağlı olarak bulunmuştur.

Beş ile altı haftalık fötüslerde thymus loblarının çevresi gevşek bağ dokusu ile sarılı olup buradan thymus dokusu içine giren septular, lobları düzenli şekilli lobulus'lara ayırmaktadır. Bu safhada lobulus'larda henüz kortex ve medulla ayrimı yapılamamaktadır. Ancak bazı lobulus'larda parankima içinde az sayıda yıldız şekilli oval ve soluk nucleuslu reticulum hücrelerinin bir araya gelmeleri ile oluşan açık renkli Hassall cisimciklerinin ilk şekilleri dikkati çekiyordu.

Fötal hayatın son devresi olan 9'uncu haftadan puberteye kadar thymus yapı bakımından önemli farklar göstermekte, ağırlık ve hacmi ise aynı kalmaktadır. Doğumla birlikte kobay thymus'larının erginindeki şeklini aldığı izlendi.

Püberte çağında thymus için bir dönüm noktası olmakta kobaylarda 2. aydan itibaren; thymus atrofisine bağlı ağırlık ve hacim kaybı görülmektedir. Yaş ilerledikçe thymus da lokalize reticulum hücrelerinin yerlerini, yağ hücrelerinin alması sonucu, parankime yağ dokusu içinde irili ufaklı gayri muntazam şekilli adacıklar halinde dikkati çekmektedir.

Dişi ve erkek kobay thymus'ları mukayeseli olarak aynı yöntemlerle incelenmiş ve aralarında kayda değer bir fark görülmemiştir. Aynı şey gebe olan ve olmayan kobaylar için de geçerlidir.

Thymus'ta yerleşik lenfosit'ler küçük ve büyük olmak üzere iki tiptir. Büyük lenfositler fötal devrede, küçük lenfosit'ler ise neonatal devrede daha çokturlar.

Thymus'ta lokalize endodermal orijinli reticulum hücreleri ile lenf düğümlerinde yerleşik mezodermal orijinli reticulum hücreleri arasında yapı bakımından bir fark olmadığı, ancak mezodermal orijinli reticulum hücrelerinin daha fagositik olduğu görüldü.

Kobay thymus'larında; Hassall cisimciklerinin ilk şekillerine 5. fötal haftada rastlanmış bilahare muntazam şekilli Hassall cisimcikleri yanısıra birkaçının bir araya gelmesi ile oluşan gayri muntazam şekilli dev Hassall cisimcikleri de görülmüştür.

### *Tartışma ve Sonuç*

Kobaylarda doğumla birlikte gelişimini tamamlayan thymus'un doğum takibeden 30 ila 40. günlerde başlayan puberte ile birlikte, ağırlık ve hacminde azalma olmaya başlar. Bilahare thymus atrofisi giderek artar. Yaşılı kobaylardan elde edilen thymus preperatlarının incelenmesinde reticulum hücrelerinden çögünün yerlerini yağ hücrelerine bırakıldığı ve parankimanın yağ dokusu içinde ancak düzensiz şekilli ufak adacıklar halinde kaldığı birçok araştırcı tarafından tespit edilmiştir. Bizim bulgularımızda buna uymaktadır.

Thymus korteks'inin koyu kromatinize çekirdekli lenfosit'lerden, medullasının ise kromatin'den fakir nucleus'lu ve geniş sitoplazmalı reticulum hücrelerinden zengin oluşu, her iki tabakanın ilk bakışta preparatlarda renk farkı ile ayrılabildiği kanaatini uyandırmıştır. Bu bulgumuz litaratür bilgilerine uymaktadır.<sup>2, 6, 8</sup> Kobaylarda korteks medulla ayrimı 7. fotal haftadan itibaren çok belirgindi.

Thymus'un yapısında bulunan lenfosit veya timosit adını verdiği hücrelerin orijini hakkında değişik görüşler vardır. Bazları timositlerin endodermal orijinli reticulum hücrelerinden meydana geldiklerini ileri sürmüşler, diğerleri ise bunların dolaşım yolu ile thymus'a geldiklerini ya da çevre mezenşiminden giren hücrelerin farklılaşması ile oluştuğunu savunmuşlardır.<sup>1, 2, 6</sup>

Fotal hayatın erken safhalarından itibaren incelemiş olduğumuz kobay thymus'larda lenfosit'ler ile reticulum hücreleri ve mezenşim hücreleri arasında herhangi bir geçiş formuna rastlanmamıştır. Bu bizde thymus'da lokalize lenfosit'lerin reticulum hücrelerinin değişimi yoluyla oluşmadığı izlenimini uyandırdı.

Thymus'da lokalize endodermal orijinli reticulum hücreleri ile lenf düğümünde lokalize mezodermal orijinli reticulum hücreleri yapı bakımından birbirine benzemektedir. Nitekim bu konuda çalışan araştırcılar her iki hücre arasında fogasitoz özelliği dışında bir fark göstermemiştir.<sup>2, 4, 6</sup> Bizde kobaylarda ikisinde thymus'da lokalize endodermal reticulum hücrelerinin lenf düğümlerindeki mezodermal reticulum hücrelerine kıyasla daha az fogasitoz özelliği gösterdiğini saptadık.

Kobay thymus'larının medullasında elektron mikroskopik seviyede 3 tip reticulum hücresi görünen Mandel, bunlardan birinin PAS pozitif reaksiyon verdiği belirtmiştir.<sup>11</sup> Bu araştırmada da Pas boyası tatbik ettiğimiz peraperatların incelenmesinde bazı reticulum hücrelerinin PAS pozitif reaksiyon verdiği, sitoplasmalarının gül kurusu rengine boyandığı tespit edilmiştir.

Erkek ve dişi, gebe ve gebe olmayan kobay thymusları ayrı yöntemlerle kıyaslamalı olarak incelenmiş, thymus'lar arasında kayda değer bir fark görülmemiştir. Bu bulgu, araştırcıların insan thymus'ları üzerindeki konuya ilgili çalışmalarına uymaktadır.<sup>10</sup>

### *Özet*

Fötal, neonatal, genç, ergin ve yaşı kobaylarda thymus'un evolusyon ve envolusyonu ile bu periyodlarda meydana gelen değişiklikler 38 adet kobayda incelendi. Elde edilen preparatlar muhtelif boyamalara tabi tutuldu. Thymus'da lokalize lenfositler, reticulum hücreleri, Hassall cisimcikleri, kobayın muhtelif evrelerinde ayrı ayrı tetkik edildi.

Kobaylarda thymus insan ve memeli hayvanlardan farklı olarak boyun bölgesinde sağlam sollu iki lop halinde bulunmaktadır. Tetkik edilen kobaylardan ikisinde, thymus ile glandula submandularis birbirine müşterek bir bağ dokusu kılıfı ile bağlı olarak bulunmuştur. 7. fötal haftadan itibaren thymus'da medulla ve korteks ayırımı seçilebilmektedir. Doğumla birlikte kobay thymus'larının ergininki şeklini aldığı görüldü. 2. aydan itibaren de kobaylarda thymus atrofisine bağlı olarak ağırlık ve hacim kaybı görülmektedir. Dişi ve erkek kobay thymus'ları ile gebe ve gebe olmayan kobay thymus'ları mukayeseli olarak aynı yöntemlerle incelenmiş, aralarında önemli bir fark görülememiştir.

Thymus'da yerlesik lenfositler, büyük ve küçük olmak üzere 2 tip göstermektedir. Büyük lenfosit'ler fötal devrede, küçük lenfosit'ler ise neonatal devrede daha çoktur.

Kobay thymus'larda, Hassall cisimciklerinin ilk şekillerine 5. fötal haftada rastlanmıştır. Hassall cisimciklerinden bazlarının içinde fagositik hücreler yer almaktak bazılarında ise fagositik hücre bulunmaktadır. Bu bakımından Hassall cisimciklerinin 2 gruba ayrıldığı ileri sürülebilir.

### *KAYNAKLAR*

1. Auerbach, R.: Experimental analysis of the origin of cell types in the development of the mouse thymus, *Developmental Biology*, 3: 336, 1961.
2. Bloom, W., Fawcett, D. W.: *Textbook of Histology*, ed. 9, Philadelphia, London, Toronto, W. B. Saunders company, 1968, p. 417.
3. Chapman, W. L., Allen, J. R.: The fine structure of the thymus of the fetal and neonatal monkey, *Z. Zellforsch*, 114: 220, 1971.
4. Clara, M., Maskar, Ü.: *Histoloji-II*, İstanbul, Sermet Matbaası, 1970, s. 93.
5. Davenport, H. A.: *Histological and Histochemical Technics* ed. 4, West Washington Sguare, Philadelphia, W. B. Saunders Company, 1969.

6. Erkoçak, E.: *Özel Histoloji*, Ankara, Ajans-Türk Matbaası, 1965, s. 89.
7. Gustav, F. V.: *Grundlagen für die zucht und haltung der Wichtigsten versuchstiere*, Stuttgart 1962, p. 150.
8. Haelst, U. J. G. V.: Light and electron microscopic study of the normal and Pathological thymus of rat, *Z. Zellforsch*, **99**: 198, 1969.
9. Kathirenas, S.: Morphological studies on the thymus, Part 1, thymus of the marsupial-trichosurus vulpecula, *Ind. Jour. Med. Res.* **57**: 939, 1969.
10. Labrecgue, P.G., Souadjian, J.V., Titus, I. T.: Etude morphologique quantitative du thymus humain dans une serie D'autopsies, *L'union medicale du Canada*, **101**: 695, 1972.
11. Mandel, T.: Ultrastructure of epithelialcells in the medulla of guinea-pig thymus, *Aust. J. Exp. Biol. Med. Sci.* **46**: 755, 1968.
12. Pfoch, M., Unsicker, K.: Quantitative eleckron microscopic studies on the innervation of the human thymus, *Z. Zellforsch*, **119**: 115, 1971.





HACETTEPE

# TIP / CERRAHİ BÜLTENİ

CİLT 14 / SAYI 4 / EKİM 1981

## Koronер Arter Cerrahisinde Myokard Korunmasının Retrograd Olarak Koroner Sinüsden Soğuk Perfüzyon ile Sağlanması

(Deneysel Çalışma)

Dr. Argun Saylam\* / Dr. Aydin Aytaç\*\* / Dr. Orhan Andaç\*\*\* /  
Dr. İlhan Tuncer\*\*\*\* / Ali Aslan\*\*\*\*\* /  
Vet. Dr. Ş. Nesrin Uncu\*\*\*\*\* / Dr. Coşkun İkizler\*\* /  
Dr. Ayşe Ayhan\*\*\*\*\* / Dr. Yurdakul Yurdakul\*\* /  
Dr. Rüstem Olga\*

### *Giriş ve Amaç*

Son yıllarda açık kalp cerrahisinde myokardın korunması açısından için-deki ana maddesi potasyum olan soğuk kardiyoplejik solüsyonlarının kullanılması büyük ilgi toplamış ve geniş uygulama alanı bulmuştur.<sup>1, 2</sup> Aorta klempi konulduktan sonra aorta kökünden koroner arter ostiyumları içine perfüze edilen bu soğuk farmakolojik solüsyonlar ile kalp kasında ani diyastolik asistoli sağlanmakta, myokardın iş ve enerji kaybı önlen-

\* Hacettepe Üniversitesi Tip Fakültesi Pediatrik Göğüs ve Kalp-Damar Cerrahisi Bölümü Öğretim Görevlisi.

\*\* Aynı Fakülte, Pediatrik Göğüs ve Kalp-Damar Cerrahisi Bölümü Öğretim Üyesi.

\*\*\* Aynı Fakülte, Fizyoloji Bölümü Öğretim Üyesi.

\*\*\*\* Aynı Fakülte, Erişkin Patoloji Bölümü Öğretim Üyesi.

\*\*\*\*\* Aynı Fakülte, Fizyoloji Bölümünde Tıbbi Teknolog.

\*\*\*\*\* Aynı Fakülte, Deney Hayvanları Yetiştirme ve Araştırma Merkezi Görevlisi.

\*\*\*\*\* Aynı Fakülte, Erişkin Patoloji Bölümü Asistanı.

mekte ve ayrıca solüsyonların soğuk etkisi ile de selektif myokard hipotermisi gerçekleştirilmektedir.<sup>2</sup> Bu solüsyonların myokard alanları içinde mümkün olduğu kadar eşit bir yoğunlukta dağılması, bütün myokard alanlarını kapsayan yeterli bir hipotermi ve farmakolojik korunma açısından büyük önem taşımaktadır.<sup>1, 2</sup> Bu yöntem koroner arteriyosklerozun cerrahi tedavisi sırasında uygulandığında, aorta kökünden perfüze edilen solüsyon yer yer tıkalı olan koroner arterler nedeni ile myokard içinde homojen bir dağılma gösterememekte ve değişik myokard alanları arasında ısı farkları ve eşit olmayan bir myokard korunması oluşmaktadır.<sup>1, 2, 3-11</sup> Çalışmamızın amacı soğuk kardiyoplejik solüsyonların kalp kasındaki yayılması ile ilgili bu teknik zorluğu yenmeye yöneliktir.

Koroner arteriyel ve venöz sistem; ve myokard dolasımı gözden geçirildiğinde koroner sinüsden retrograd olarak yapılacak bir perfüzyonun özellikle sol ventrikül myokardı içinde eşit bir dağılım oluşturduğu anlaşılmaktadır.<sup>2, 12</sup> Arteriyosklerotik kalp hastalıklarında myokardiyal venöz sistemin arteriyoskleroza ilişkin tıkalıcı değişiklikleri içermediği ve bu patolojik değişikliklerin yalnızca koroner arteriyel sistemi tuttuğu da bilinen bir geçektir.<sup>13-18</sup>

Bu temel ilkelerden hareket edersek koroner arteriyosklerotik değişimler gösteren bir kalpte; kardiyoplejik solüsyonun koroner sinüsden retrograd olarak verilmesi ile, anterograd olarak aorta kökünden verilmesine oranla özellikle sol ventrikül myokardı alanlarında daha homojen bir myokard içi dağılımı elde etmek beklenen bir bulgudur. Çalışmamızda bu teknik yöntem incelenmiştir. Kullanılan kardiyoplejik solüsyonun farmakolojik özelliğinin araştırılması bu çalışmamızın konusu dışındadır.

#### *Deneysel Kullanılan Başlıca Araç ve Gereçler*

1- 50 cc'lik iki adet cam enjektör, birleştirici kateterler ve üç yollu musluklar.

2- Aorta kökü için 17 G kalın iğne ve koroner sinüs perfüzyonu için No. 8 Foley sonda (Foley sondanın ucu balona zarar vermeden kesildi ve koroner sinüs içinde ileri doğru akım sağlandı. Çünkü normal Foley sondada yalnız lateral iki delik vardır ve bunlarla ileri doğru akım sağlanması zor olmaktadır).

3- Basınç alıcı (transducer): Statham pressure transducer, Hato Rey, Puerto Rico.

- 4- Harvard **hayvan** respiratörü, model: 607.: Harvard App. Co., Dover, Mass., USA.
- 5- Basınç ve **ısı** kaydetmek için poligraf: Gilson Medical Electronics, Model: M5P, Middleton, Wisconsin, USA.
- 6- Teletermo**metre** ve myokard **ısı** almak için ince iğne şeklinde problemler ve nazofarens **ısı** almak için kullanılan normal **ısı** problemleri: Yellow Springs Instruments, Co., Yellow Springs, Ohio, USA.
- 7- Sol koroner arter ostiyumuna çini mürekkebi injekte etmek için kullanılan DeBakey koroner perfüzyon kanülü.
- 8- Harvard **infüzyon** pompası: Harvard App. Co., Millis, Mass. USA.
- 9- İçinde **fotoğraf** makinası bulunan ışık mikroskopu: Carl-Zeiss, Germany.
- 10- Çeşitli **ilac** ve kimyasal maddeler:
  - a) Nembutal sodium, injektabl (100 mgr./amp.): Abbott Lab., Chicago, USA.
  - b) Siyah **renkli** çini mürekkebi (1/1 oranında serum fizyolojik ile karıştırılarak kullanıldı).
  - c) Heparin (Liquemine-Roche).
  - d) Sıkhla **la** kullanılan formüllere uygun olarak hazırlanmış 4°C **da** soğuk kardiyoplejik solüsyon (25 mEq potasyum klorür, 2 gr. dekstroz ve 11 mEq sodyum bikarbonat'ın izotomik serum ile 1 lt.ye tamamlanması).

#### *Töntem*

Bu deneysel çalışma Hacettepe Üniversitesi Tıp Fakültesi Fizyoloji Bölümü ameliyatihaneye ve laboratuvarlarında yapıldı. Deney hayvanı olarak aynı fakülte Deney Hayvanları laboratuvarlarından sağlanan 35 adet malez köpek kullanıldı. Doku örneklerinin incelenmesi yine aynı fakülte Erişkin Patoloji Bölümü laboratuvarlarında yapıldı. Bulguların istatistiksel değerlendirilmesi de Hacettepe Üniversitesi Bilgi İşlem Merkezinde (Beytepe-Ankara) gerçekleştirildi.

Deneyde kullanılan köpeklerin ağırlıkları: 5-33 kg. arasında değişmekte olup, ortalama 14 kg. dır. Köpeklerin 22'si dişi, 13'ü erkektir.

Esas çalışma herbiri 15 köpekten oluşan iki deney grubu üzerinde yapıldı. 5 köpek üzerinde ise, esas deney öncesi deney ile ilgili işlemler açısından el alıştırılması yapıldı (perfüzyon tekniği, kanüllerin yerleştirilmesi, basınç ve ısiların yazdırılması ve alınması gibi konularda).

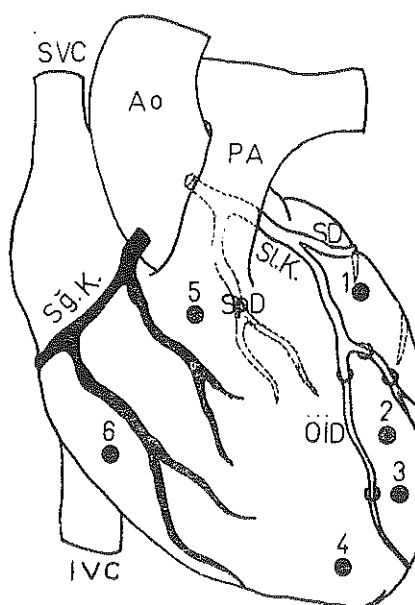
Her deney grubu için özel olan girişimlere başlamadan önce her iki grup için de ortak olan aşağıdaki işlemler yapıldı:

Bir gece önceden aç bırakılan köpek ertesi sabah 25 mgr./kg. intravenöz Nembutal sodyum ile uyutuldu. Entübe edildi, deney masasına alındı ve Harvard hayvan respiratörüne bağlandı. Hayvanın burnundan sokulan ısı probu ile nazofarenks ısısı alındı. Sırtüstü yatan hayvana median sternotomi yapıldı, ve göğüs ekartörü yerleştirildi. Perikard açıldı, üst ve alt vena kava'lar dönüldü. Sol ventrikül myokardının ön kısmından iğne şeklinde ısı probu ile myokard kontrol ısısı alındı. Sağ atriyumdan 3 mgr./kg. Heparin verildi. Kalbin apeksine avasküler bir alana kalbi yukarı kaldırabilecek bir askı dikişi kondu. Bu işlemleri takiben kalbin arka yüzünden başlayıp ön yüzüne doğru gelerek Şekil 1 ve 2'de gösterilen noktalardan sol koroner arter dalları yandaş ven dallarına zarar vermeyecek bir biçimde bağlandı.<sup>12</sup> Her iki vena kava önceden etraflarına geçirilmiş olan iplerin sıkılması ile bağlanarak aortaya cross-klemp kondu. Bu sırada hayvan öldüğünden Harvard solunum aygıtı ile bağlantısı kesildi.

Deney süresince kalbin yüzeyel ısı kazanmaması için ameliyat lambaları yakılmadı.

Bu ortak işlemlerden sonra her grup için özel olan yöntemlere geldi:

**Grup 1: (Aorta Kökünden Anterograd Perfüzyon):** 15 köpekten oluşan bu grupta önce sağ atriyum açıldı ve kalbin içi aspire edildi. Aorta köküne yerleştirilen 17 G kalın iğne ile 80-90 mmHg. basınç altında 10 cc/kg. olmak üzere soğuk kardiyoplejik solüsyon cam enjektörler veya Harvard infüzyon pompası ile perfüze edildi. Koroner sinüsden dönen perfüzat sağ atriyumdan aspire edildi. Perfüzyonun bitiminde kalbin apeksindeki askı dikişi ile kalp tepesi yukarı kaldırıldı ve böylece kalp duvarlarının çevre dokulara deşip ısı kazanması engellendi. Bundan sonra iğne şeklindeki ısı probu ile Şekil 1 ve 2'de gösterilen noktalardan ıslar kaydedildi ve poligrafta ısı trasesi yazdırıldı. Bu noktalardan başka ayrıca ön inen koroner dalın yanından septuma batırılan prob ile de ventriküler septum ısısı alındı. Bütün noktalardan ıslaların alınması 30 saniye içinde tamamlandı.



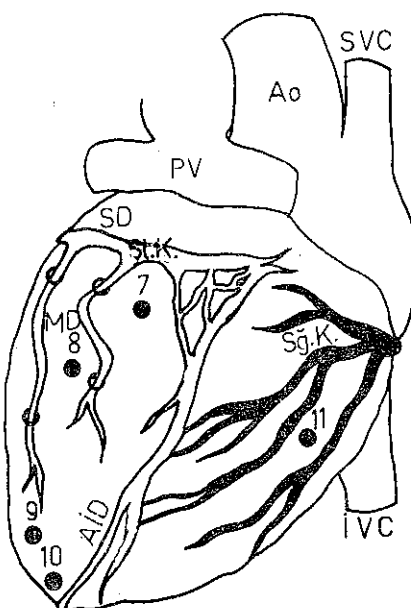
Şekil 1

Köpek kalbi ön yüzü şeması (deney modeli).

Ao: Aorta, PA: Pulmoner arter, SVC: Superior vena kava, IVC: Inferior vena kava, Sg. K.: Sağ koroner arter, Sl. K.: Sol koroner arter, SD: Sirkumfleks dal, ÖİD: Ön inen dal, SpD: Ventriküler septal dal. Şekilde içi koyu boyalı damarlar sağ koroner arter sistemini; boyasız olan damarlar sol koroner arter sistemini göstermektedir. Halka şeklinde işaretler koroner arterlerin bağlanma yerlerini, numaralı noktalar ısı alma yerlerini göstermektedir. Şekilde köpek kalbinde önemli bir ventriküler septal dalın sol ana koroner arterden ayrıldığı da izleniyor.<sup>12</sup>

**Grup 2: (Koroner Sintüsden Retrograd Perfüzyon):** Bu grupta da 15 köpek kullanıldı. Her iki deney grubuna ilişkin ortak işlemlerden sonra burada da deneylere şu şekilde devam edildi: Sağ atriyum açıldı ve sağ kalp aspire edildi. Koroner sinüse Foley sonda yerleştirildi ve balonu şişirildi. Aorta köküne insizyon yapıldı. Soğuk kardiyoplejik solüsyon Grup 1'deki yöntem ile ve aynı miktarda 40-50 mmHg. basınç altında Foley kateteri içinden perfüze edildi. Bundan sonra yine Grup 1'de uygulanan şekilde aynı noktalardan ısılalar alındı ve yazdırıldı.

Deneyler sırasında alınan ısılalar kullanılan igne şeklindeki ince ısı probunun direncini gösteren ve probun yapıcısı firma tarafından hazırlanan tablolarla karşılaştırıldı ve bu tablolar yardımcı ile alınan ısılalar gerçek ısılara çevrildi (Çalışmada bildirilen ısılalar gerçek ısı değerleridir).



Şekil 2

Köpek kalbi arka yüzü şeması (deney modeli).

MD: Marginal dallar. AİD: Arka inen dal. PV: Pulmoner venler (Şekildeki diğer kısaltmalar ve özellikler Şekil: 1 de olduğu gibidir).

Yukarıda açıklandığı üzere saptanan ısilar Tablo I ve II'de gösterilmiştir. Bu ısilar aşağıdaki şekilde istatistikî olarak değerlendirildi (Grup 1 ve 2 arasında karşılaştırılmalı olarak):

- A) Sol ventrikül en düşük ve en yüksek ısı noktaları arasındaki farklar,
- B) Sol ventrikül en düşük ısı değerleri ile ventriküler septum ısı değerleri arasındaki farklar,
- C) Sağ ve sol ventrikül en düşük ısı değerleri arasındaki farklar.

**Çini Mürekkebi İle Yapılan Çalışmalar:** Her grupta 7'şer köpekte olmak üzere toplam 14 denekte siyah çini mürekkebi ile perfüzatin myokardındaki dağılımına ilişkin çalışmalar yapıldı. Soğuk kardiyoplejik perfüzyon ve ısiların alınması bittikten sonra bu gruplarda aşağıdaki şekilde çalışıldı:

**Grup 1:** Aorta kökü açıldı ve sol koroner arter ostiyumuna DeBakey koroner perfüzyon kanülü yerleştirilerek, bunun içinden 5 cc/kg.

TABLO I  
ANTEROGRAD PERFÜZYON UYGULANAN DENEKLERDE ELDE EDİLEN İSİLAR (°C)

Denek No	Denek vücut isisi*	Myokard kontrol		İsi			İsi			İsi			İsi			İsi			Ventrili küler		
		İssi1	İssi2	No 1	No 2	No 3	No 4	No 5	No 6	No 7	No 8	No 9	No 10	No 11	Septum	A	B	C			
1	32.0	34.0	16.1	21.0	19.7	19.0	22.1	25.7	19.7	22.1	24.0	23.3	22.0	18.5	7.9	2.4	2.9				
2	33.0	35.5	18.5	19.7	20.9	24.5	21.5	26.5	23.0	24.5	20.9	20.9	24.5	20.2	6.0	1.7	3.0				
3	35.0	36.5	18.5	25.7	25.7	24.5	29.3	28.1	28.1	26.9	25.7	25.7	28.1	24.5	9.6	6.0	6.0				
4	33.0	34.6	19.1	20.5	20.9	20.9	18.5	22.1	19.7	23.9	22.1	22.1	22.1	19.7	4.8	0.6	0.6				
5	35.0	35.5	16.7	19.0	19.7	23.0	19.0	20.9	18.0	22.1	21.5	21.5	21.7	20.9	5.4	4.2	2.3				
6	29.0	30.0	17.3	18.5	18.5	23.3	21.0	23.5	23.3	19.7	19.7	21.0	22.6	21.0	6.0	3.7	3.7				
7	33.0	32.9	15.9	23.3	24.0	24.0	18.5	22.1	21.7	26.9	22.1	19.7	22.1	17.3	11.0	1.4	2.6				
8	32.0	32.0	16.5	20.9	23.3	22.7	18.5	19.0	20.9	29.3	25.7	24.5	18.5	19.1	12.8	2.6	2.0				
9	28.0	29.3	16.1	20.9	21.5	18.5	16.7	16.7	18.0	22.1	19.7	19.7	17.3	18.5	6.0	2.4	0.6				
10	22.5	23.3	12.5	23.9	28.1	23.0	20.3	19.7	18.5	24.5	26.4	23.8	18.2	21.5	15.6	9.0	5.7				
11	27.0	28.1	13.1	17.3	20.9	23.3	20.9	19.7	17.3	28.1	26.4	23.3	18.5	17.9	15.0	4.8	5.4				
12	28.1	29.3	16.1	19.0	18.8	20.7	20.9	21.4	16.4	19.0	20.4	18.8	20.3	18.0	4.3	1.9	4.2				
13	25.0	25.7	14.9	19.1	19.7	21.2	21.8	20.1	15.5	16.4	19.0	21.4	19.2	18.5	6.5	3.6	4.3				
14	27.0	27.4	15.5	18.5	19.0	17.3	16.7	17.5	22.6	20.9	20.3	16.7	17.3	7.1	1.8	1.2					
15	26.0	27.4	16.1	20.3	22.1	21.5	19.7	20.3	19.7	26.9	24.5	25.0	20.3	18.8	10.8	2.7	3.6				

\* Nazofarensis isi.

A- Sol ventrikül en düşük ve en yüksek isi noktaları arası fark.

B- Sol ventrikül en düşük isi noktası ile ventriküler septum isi noktası arası fark.

C- Sol ventrikül en düşük isi noktası ile sağ ventrikül en düşük isi noktası arası fark.

Not : 1, 2, 3, 7, 8, 9, 10 no.lu isi noktaları sol ventrikül ile sağ ventrikül ile ilişkilidir.

TABLO II  
RETROGRAD PERFÜZYON UYGULANAN DENEKLERDE ELDE EDİLEN İSİLAR (°C)

Denek No	vücut isisi*	Myokard kontrol isisi	Ventriküler küler														
			Isi No 1	Isi No 2	Isi No 3	Isi No 4	Isi No 5	Isi No 6	Isi No 7	Isi No 8	Isi No 9	Isi No 10	Isi No 11	A	B	C	
1	32.9	36.6	19.1	19.7	19.4	19.7	20.9	19.8	19.7	19.1	19.3	20.3	19.1	0.6	0	0.6	
2	29.3	32.9	15.7	16.1	18.5	19.7	19.7	15.5	15.9	16.1	15.2	14.9	16.1	0.4	0.4	0.8	
3	34.0	35.3	21.5	22.1	22.6	21.5	21.5	22.1	22.1	22.1	21.5	22.6	22.1	1.1	0.6	0	
4	33.0	34.1	20.9	19.5	20.9	22.1	20.9	21.5	19.7	19.5	19.7	18.0	20.0	1.4	0.5	1.5	
5	26.0	28.1	12.5	12.5	12.0	13.7	13.0	16.8	13.0	12.0	12.0	13.1	16.8	12.0	1.1	0	1.0
6	32.0	32.9	17.3	17.9	17.3	18.9	20.9	19.7	17.9	17.9	18.0	18.5	19.7	18.0	1.2	0.7	1.6
7	29.0	29.9	17.0	17.3	17.9	17.9	17.9	17.9	17.9	17.3	17.3	18.5	18.5	17.5	1.5	0.5	0.9
8	27.0	26.9	15.2	16.1	16.1	18.9	16.9	15.3	14.5	14.5	15.2	16.1	15.7	0.9	0.5	0	
9	22.0	23.3	10.2	10.8	12.0	10.8	9.6	9.3	10.2	10.0	10.1	10.0	9.6	10.2	2.0	0.2	0.7
10	23.0	23.3	10.2	10.2	10.8	10.5	10.5	11.6	11.0	11.0	10.8	10.8	11.9	10.5	0.8	0.3	0.3
11	26.0	26.9	14.3	14.0	13.7	13.7	14.9	16.1	14.9	14.9	14.9	14.3	15.5	14.3	1.2	0.6	0
12	28.0	28.7	16.1	16.6	16.7	16.7	17.3	17.9	16.4	16.7	16.7	16.1	16.7	16.3	0.6	0.2	0.6
13	32.0	32.9	20.9	21.5	21.2	21.5	20.9	21.5	21.2	21.4	21.2	21.2	21.5	21.2	0.6	0.3	0
14	26.0	27.5	13.7	13.7	14.1	14.3	14.9	15.2	14.0	14.1	13.7	13.7	14.3	14.0	0.4	0.3	0.6
15	27.5	28.1	16.7	16.7	17.3	17.3	17.6	17.3	17.3	17.6	17.6	17.6	17.3	0.9	0.6	0.6	

\* Nazofarenks isiisi.

A- Sol ventrikül en düşük ve en yüksek isi noktaları arası fark.

B- Sol ventrikül en düşük isi noktası ile ventriküler septum isi noktası arası fark.

C- Sol ventrikül en düşük isi noktası ile sağ ventrikül en düşük isi noktası arası fark.

Not : 1, 2, 3, 7, 8, 9, 10 no. lu isi noktaları sol ventrikül ile, 4, 5, 6, 11 no. lu isi noktaları sağ ventrikül ile ilişkilidir.

siyah çini mürekkebi injekte edildi. Kalbin makroskopik olarak boyanması incelendi. Bundan sonra No. 1 ısı noktasından bir adet ve No. 8-9 ısı noktalarını kapsayan alandan da bir adet olmak üzere toplam iki adet bütün myokard tabakalarını içeren biyopsiler alındı. Bunu takiben kalbin içi açılarak kalp duvarlarının ve ventriküler septumun boyanma derecesi saptandı.

Alınan biyopsiler formaldehit ile dolu standart patoloji kavanozlarına kondu ve kesitler hematoksilen-eozin ile boyanarak ışık mikroskopunda incelendi.

**Grup 2:** Çini mürekkebi koroner sinüs içine yerleştirilmiş bulunan Foley sondası içinden verildi. Diğer işlemler ve uygulamalar Grup 1'de olduğu gibi yapıldı.

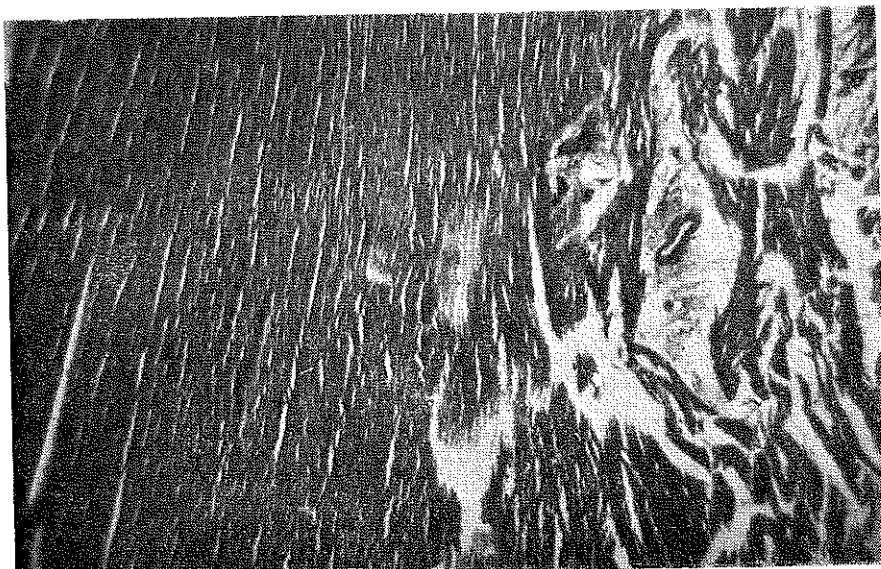
Her iki grupta biyopsilerin alınması açısından No. 1 ve No. 8-9 ısı alanları şu nedenlerle seçildi:

Yapılan ilk deneylerde anterograd perfüzyon sonu ısı farkları (gradient) No. 1 ve No. 8-9 ısı alanları arasında en fazla olarak saptandı. Bundan dolayı perfuzat dağılımı farkının en fazla bu alanlarda olduğu anlaşıldı. Grup 1 ve 2'de bu dağılım farkının karşılaştırılmalı olarak çini mürekkebi çalışmaları ile de saptanabilmesi açısından, bu ısı alanları çini mürekkebi perfüzyonu sonrası alınan biyopsiler için de seçildi.

### Bulgular

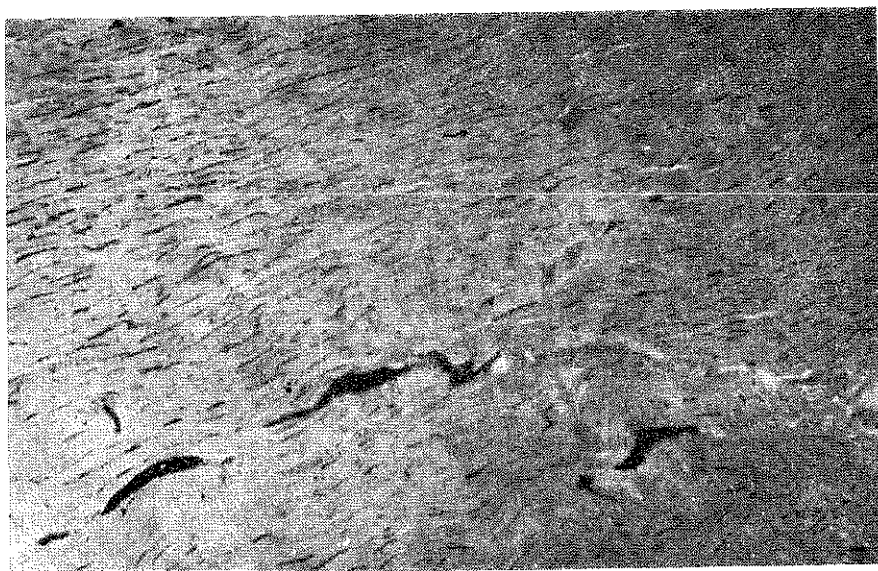
Grup 1 ve 2'de saptanan ıslar ve; "A", "B" ve "C" değerleri Tablo I ve II'de gösterilmiştir. Her iki grup arasında bu değerler karşılaştırılmış ve bu değerlerin ortalamaları ele alındığında, iki grup arasındaki "A", "B" ve "C" değerlerinin ortalamalarının karşılaştırılmasında farklar anlamlı bulunmuştur (Sdutent "t" testine göre  $P < 0.001$ ).

***Çini Mürekkebi İle Yapılan Çalışmalarda:*** Makroskopik olarak Grup 1'de ligature edilen koroner arter dalçıklarının distalinde myokardin yer yer boyanmayan alanlar gösterdiği, Grup 2'de ise sol ventrikül myokardının homojen olarak siyaha boyandığı saptandı. Grup 1'de ventriküler septumun da iyi boyanmadığı, Grup 2'de ise oldukça homojen bir şekilde siyaha boyandığı gözlandı. Mikroskopik çalışmalarda; Grup 1'de No. 1 ısı noktasından alınan biyopsilerde myokardiyal damarların çini mürekkebi ile hafif olarak dolduğu, No. 8-9 ısı alanlarından alınan biyopsilerde ise çini mürekkebi ile dolmadığı izlendi. Grup 2'de ise her iki biopsi alanlarından yapılan çalışmalarda myokardiyal damarlarda venöz, kapiller ve arteriel sistemi içeren çini mürekkebi ile dolmuş saptandı. Mikroskopik örnekler Şekil 3, 4 ve 5'de gösterilmektedir.



Şekil 3

Anterograd çini mürekkebi perfüzyonu sonu No. 8-9 ısı alanlarını kapsayan biyopsi örneği. Myokardiyal arter, ven ve kapillerlerin çini mürekkebi ile dolmaması izleniyor.  
(Hematoksilen-eozin, X 150).



Şekil 4

Retrograd çini mürekkebi perfüzyonu sonu No. 1 ve No. 8-9 ısı alanlarından alınan biyopsi örneklerindeñ. Myokardiyal venöz sisteme tam, kapiller yatakta erken dolma izleniyor. (Hematoksilen-cozin, X 150).



Şekil 5

Retrograd çini mürekkebi perfüzyonu sonu No. 1 ve No. 8-9 ısı alanlarından alınan biyopsi örneklerinden. Myokardiyal venöz, kapiller ve arteriyel sisteme çini mürekkebi ile tam dolma izleniyor. (Hematoksilen-cozin, X 150).

#### *Sonuçlar*

Deney modelimizde elde edilen bulgular, bunların istatistiki değerlendirilmeleri ve çini mürekkebi ile yapılan çalışmaların incelenmesi sonucu; koroner arterlerin tıkanıklıklar gösterdiği durumlarda kardiyoplejik solüsyonların myokard alanları içinde, özellikle sol ventrikül myokardi alanlarında, eşit yoğunlukla bir dağılım gösterebilmesi için bu solüsyonların anterograd olarak aorta kökünden perfüzyonu yerine retrograd olarak koroner sinüsden perfüzyonu yönteminin kullanılması ile daha üstün bir myokard korunmasının sağlanabildiği anlaşılmıştır.

“A”, “B” ve “C” değerleri retrograd perfüzyon uygulanan deneklerde anterograd perfüzyon uygulananlara oranla çok daha düşük (düşük ısı gradienti) bulunmuştur. Bu bulgular retrograd perfüzyon ile bu deneklerde oldukça homojen bir myokard içi perfüzyon dağılımı olduğunu vurgulamaktadırlar. Poligrafta yazdırılan ısı traselerinde de anterograd perfüzyon sonu değişik seviyelerde ısı düzlikleri elde edilmiş, retrograd perfüzyon sonu ise birbirine oldukça yakın seviyelerde ısı düzlikleri yazılmıştır. Sonuç olarak modelimizde anterograd perfüzyon sonu özellikle sol ventrikül myokardi alanları içinde büyük ısı

farkları elde edilmiş, fakat retrograd perfüzyon ile bu farkların çok azalığı dikkati çekmiştir. Retrograd perfüzyonla anterograd perfüzyona oranla çok daha homojen bir perfüzyonun sağlandığı çini mürekkebi ile myokardin boyanması ve myokardiyal damarsal yapının doldurulması çalışmaları ile de kanıtlanmıştır.

### Tartışma

Koroner arteriyosklerozun tedavisinde koroner arter cerrahisi günümüzde yaygın bir uygulama alanı bulmuştur.<sup>19, 20</sup> Son yıllarda açık kalp cerrahisinde myokard korunması için kullanılan soğuk kardiyoplejik solüsyonların koroner arter cerrahisinde de kullanılması ile bu cerrahi dalında myokardin kardiyoplejik korunması açısından bazı teknik zorlukların olduğu anlaşılmış bulunmaktadır. Bu teknik zorluklar çalışmamızın “Giriş ve Amaç” bölümünde belirtilmiştir.<sup>1, 2, 3-11</sup> Koroner arteriyosklerozun varlığında soğuk kardiyoplejik solüsyonlar aorta kökünden anterograd olarak verildiğinde myokard içi dağılımlarının homojen olmaması sonucu aşağıdaki önemli noktalar ortaya çıkmaktadır:<sup>10</sup> (a) elektromekanik myokard arrestinde gecikme, (b) myokardta yerel olarak yetersiz hipotermi alanlarının oluşması ve (c) ekstrakorporeal dolaşımın ısısı ile aynı ısuya sahip olan ve kardiyoplejik solüsyonu myokardtan yıkayıp atan ekstrakoroner (non-koroner) kolateral akım sonucu myokardta yerel olarak hızla ısınan alanların oluşması. Burada adı geçen “ekstra-koroner kolateral akım” ve myokardin kardiyoplejik korunması ile ilgisi diğer bir çalışmamızda geniş olarak açıklanmıştır.<sup>2</sup>

Çalışmamızda köpek kalbinde yaratılan koroner arter tıkanıklıkları üzerinde araştırma yapılmış ve akut deney modeli kullanılmıştır. Bu modelin bu tip bir araştırma için ne derece geçerli olduğu ve insan kalbindeki duruma benzerliği konuyu araştıran bir kişinin aklına gelebilir. Bu sorun ile de ilgilenilmiş ve köpek kalbinin koroner damarsal yapı ve myokard dolaşımı açısından incelenmesi yapılmıştır.<sup>12</sup> Aşağıdaki noktalar köpek kalbinin yaptığımız araştırma biçimini açısından geçerli olduğunu ortaya koymaktadır: (1) Koroner bypass ameliyatına gereksinme gösteren semptomatik olgularda myokardiyal kolateral dolaşım yetersizdir. Aksi halde bu olguların semptomatik olması gerekmmez. Bundan dolayı akut hayvan deneylerinde myokardiyal kolateral dolaşımın gelişemeyebilmesi deneyin yeterliliğini engellemez.<sup>7</sup> Bundan başka köpekte akut koroner arter tıkanlığı uygulanan deneylerde deney sırasında bile yeterli bir kolateral dolaşımın gelişebildiği saptanmıştır.<sup>6, 12, 21</sup> Çünkü köpek kalbinde kolateral dolaşımın gelişmesi insan ve domuz kalbine oranla daha kısa zamanda olur.<sup>12, 22</sup> Bu veri-

ler ve bilgiler, kolleteral dolaşımın akut deney modellerinde bir sorun yaratmadığını desteklemektedirler. (2) İnsanda kardiyoplejik solüsyonun verilmesini takiben myokard ısızları konusunda yapılan klinik çalışmalarla ısı alan iğneler (prob) myokardın koroner arter hastalığı nedeni ile fibrotik bir duruma girmiş olan bir alanına rastlarsa kalp kasında yanıtçı olarak büyük ısı farklılıklar ortaya çıkar.<sup>23</sup> Köpekte akut deneylerde bu tip fibrotik alanlar oluşmayacağından bu konudaki şüpheler de ortadan kalkmaktadır. (3) Bizim modelimizde köpek deney sırasında ölmektedir. Bundan dolayı kardiyoplejik solüsyonun verilmesini takiben bu solüsyonu myokardtan yıkayıp atan ekstra-koroner kolateral akım sorunu da ortadan kalkmaktadır.<sup>2</sup>

Koroner arter cerrahisinde aorta kökünden perfüze edilen soğuk kardiyoplejik solüsyonun myokard alanları içinde yeterli bir şekilde dağılamaması engelini ortadan kaldırmak için değişik klinik uygulamalar öngörlülmüştür:<sup>1, 3-7, 9, 10, 24</sup> (a) kardiyoplejik solüsyonların büyük miktarlarda verilmesi, (b) ameliyat sırasında myokard ısızlarının değişik alanlardan devamlı olarak yazdırılması ve bu ısı ölçümlerine göre kardiyoplejik solüsyonların sık aralarla tekrar perfüze edilmesi, (c) en fazla iskemik olan alana safen greftinin distal ucunun öncelikle anastomoz edilmesi ve bu alana kardiyoplejik solüsyonun konan greft içinden perfüzyonu ve (d) aorta klempi koymadan yan klemp ile öncelikle proksimal anastomozun yapılması ve bundan sonra aorta klempini koyarak en fazla iskemik olan alana distal anastomozun yapılması; ve bu işlemleri takiben kardiyoplejik solüsyonun aorta kökünden perfüzyonu. Bunlar ve benzeri yöntemler görüldüğü üzere ameliyat sırasında oldukça karmaşık olan uygulamalara yol açmaktadır.

Biz yaptığımiz deneysel çalışmamızda, koroner arter tikanıklıklarında kardiyoplejik solüsyonun aorta kökünden anterograd olarak perfüzyonu yerine kullanılabilecek diğer bir yolu varlığını araştırdık ve retrograd olarak koroner sinüsün perfüzyonu yöntemini kullandık. Bu yolu denemeden önce elde ettigimiz bazı değerli temel bilgiler bu yöntemin özellikle sol ventrikül myokardının perfüzyonu açısından kullanılabilecek bir yol olduğunu gösterdi. Deneysel ve klinik uygulamalar sonucu elde edilen bu temel bilgileri şu şekilde özetleyebiliriz: Açık kalp cerrahisinin ilk yıllarda, özellikle aorta kapağı cerrahisinde, myokardın ameliyat sırasında korunması için koroner sinüsden düşük basınç altında retrograd olarak perfüzyon yöntemi kullanılmıştır.<sup>2, 25-30</sup> Koroner arter ostiyumlarından selektif olarak koroner perfüzyonun kullanılmaya başlanması ile bu yöntem uzun yıllar terkedilmiş, fakat son yıllarda araştırmalarda tekrar ele alınmıştır.<sup>31-36</sup> Retrograd

koroner sinüs perfüzyonu yöntemi myokard korunması amacı dışında myokardın revaskülarizasyonu için de kullanılmıştır. Yaygın koroner arter tıkanıklıklarında, koroner sinüsün parsiyel olarak bağlanarak venöz yatağın revaskülerize edilmesi yöntemi ile myokard iskemisinin giderilebildiği çok sayıda deneysel ve klinik araştırmalarla ortaya konmuştur.<sup>13-17</sup> Çalışmayan bir kalpte çalışan kalbe oranla koroner venöz yatak çok daha az dirençli bir sistem olduğundan, durdurulmuş kalpte bu yolla perfüzyon yapılması oldukça rahat bir biçimde sağlanabilmektedir.<sup>35</sup> Koroner venöz yatağın koroner arteriyosklerotik değişikliklere katılmadığı gerçeği de,<sup>13-18</sup> bu yolun koroner arteriyoskleroz olgularında açık ve kullanılabilir bir yatak olduğunu desteklemektedir.

Yukarıdaki temel bilgilerden ve araştırmamızda elde ettiğimiz sonuçlardan anlaşıldığı üzere koroner arter tıkanıklıkları olan olgularda, soğuk kardiyoplejik solüsyonun aorta kökünden anterograd olarak perfüzyonu ile ortaya çıkan mekanik engeller, bu olgularda bu solüsyonların koroner sinüsden retrograd olarak perfüzyonu ile ortadan kaldırılabilmelektedirler.

### Özet

Son yıllarda açık kalp cerrahisinde myokardın korunması amacı ile soğuk kardiyoplejik solüsyonlar yaygın bir kullanma alanı bulmuştur. Klinik uygulamada aorta kökünden koroner arterlerin içine perfüze edilen bu solüsyonlar ile myokarda farmakolojik ve hipotermik bir korunma sağlanmaktadır. Koroner arterlerin tıkanıklıklar gösterdiği olgularda anterograd olarak aorta kökünden perfüze edilen bu soğuk solüsyonlar, myokard alanları içinde eşit bir yoğunlukta dağılmamakta ve dolayısı ile yetersiz bir myokard korunması ile karşılaşmaktadır. Bu durumlarda kardiyoplejik solüsyonların perfüzyonu içi başka bir yol araştırılmış ve deneysel çalışmamızda koroner arterlerin tıkanıklığında kardiyoplejik solüsyonların retrograd olarak koroner sinüsden perfüzyonu ile özellikle sol ventrikül kası içinde eşit yoğunlukta bir dağılımin sağlanabildiği gösterilmiştir.

### KAYNAKLAR

1. Buckberg, G.D.: A proposed "solution" to the cardioplegic controversy. *J. Thorac. Cardiovasc. Surg.* **77:** 803, 1979.
2. Saylam, A., Zorlutuna, Y., Demircin, M., Süzer, K., Aytaç, A.: Açık kalp cerrahisinde myokard korunması. *Hacettepe Tip/Cerrahi Bülteni*, **14:** 431, 1981.
3. Chiu, R. C. J., Blundell, P. E., Scott, H. J., Cain, S.: The importance of monitoring intramyocardial temperature during hypothermic myocardial protection. *Ann. Thorac. Surg.* **28:** 317, 1979.

4. Ekroth, R., Berggren, H., Sudow, G., Wojciechowski, J., Zackrisson, Bo. F., William-Olsson, G.: Thermographic demonstration of uneven myocardial cooling in patients with coronary lesions. *Ann. Thorac. Surg.* **29**: 341, 1980.
5. Hilton, C. J., Teubl, W., Acker, M., Levinson, H. J., Millard, R. W., Riddle, R., McEnany, M. T.: Inadequate cardioplegic protection with obstructed coronary arteries. *Ann. Thorac. Surg.* **28**: 323, 1979.
6. Mittmann, Hatipoğlu, O., Klooker, P., Saggau, W. W., Steinhart, E., Storch, H. H.: Efficiency of cardioplegia in the presence of coronary occlusion. *Thorac. Cardiovasc. Surgeon (Stuttgart)* **28**: 184, 1980.
7. Ochsner, J. L.: Adequacy of myocardial protection. *Ann. Thorac. Surg.* **28**: 305, 1979.
8. Saggau, W. W., Hatipoğlu, O., Klooker, P., Mittmann, U., Steinhart, E., Storch, H. H.: Efficiency of cardioplegia in the presence of coronary occlusion (abstract) *Thorac. Cardiovasc. Surgeon (Stuttgart)* **28**: (Sonderheft): 28, 1980.
9. Ullyot, D. J.: Current controversies in the conduction of coronary bypass operation *Ann. Thorac. Surg.* **30**: 192, 1980.
10. Becker, H., Vinten-Johansen, J., Buckberg, G. D., Follette, D. M., Robertson, J. M.: Critical importance of ensuring cardioplegic delivery with coronary stenoses. *J. Thorac. Cardiovasc. Surg.* **81**: 507, 1981.
11. Heineman, F. W., MacGregor, D. C., Wilson, G. J., Ninomiya, J.: Regional and transmural temperature distribution in cold chemical cardioplegia. Significance of critical coronary arterial stenosis. *J. Thorac. Cardiovasc. Surg.* **81**: 851, 1981.
12. Saylam, A., Zorlutuna, Y., Süzer, K., Demircin, M., Aytaç, A.: İnsan ve köpekte koroner damarsal yapı ve myokard dolaşımı. *Hacettepe Tip/Cerrahi Bülteni*, **14**: 296, 1981.
13. Andreadis, P., Natsikas, N., Arealis, E., Lazarides, D. P.: The aorto-coronary venous anastomosis in experimental acute myocardial ischemia. *Vasc. Surg.* **8**: 45, 1974.
14. Bates, R. J., Toscano, M., Balderman, S. C., Anagnostopoulos, C. E.: The cardiac veins and retrograde coronary venous perfusion. *Ann. Thorac. Surg.* **23**: 83, 1977.
15. Chiu, R. G. J.: Myocardial revascularization in diffuse coronary arteriosclerosis. Recent experimental progress. in: *Coronary Artery Medicine and Surgery. Concepts and Controversies*. Norman, J. C. et al. (ed), Appleton Century Crofts, New York, 1975, pp. 947-958.
16. Hochberg, M. S., Austen, W. G.: Selective retrograde coronary venous perfusion. *Ann. Thorac. Surg.* **29**: 578, 1980.
17. Moll, J. W., Dziatkowiak, A. J., Edelman, M., Iljin, W., Ratajczyk-Pakalska, E., Stengert, K.: Arterialization of the coronary veins in diffuse coronary arteriosclerosis. *J. Cardiovasc. Surg.* **16**: 520, 1975.
18. Thomas, W. A.: Underlying causes of myocardial ischemia (atherosclerotic and nonatherosclerotic). in: *The Heart*, Edwards, J. E. et al. (ed), Williams and Wilkins, Co., Baltimore, 1974, pp. 56-66.
19. Aytaç, A., Uğurlu, Ş., Karamehmetoğlu, A., İkizler, G., Olga, R., Arslan, G.: Aorto-koroner safen bypass (ekstrakorporeal dolaşım ve anoksik arrest ile direkt koroner arter cerrahisi). *Çağdaş Tıp Dergisi* **1** (sayı: 6): 3, 1974.
20. Favaloro, R. G.: Direct myocardial revascularization. A ten-year journey. *Am. J. Cardiol.* **43**: 109, 1979.

21. Downey, H. F., Bashour, F. A., Stephens, A. J., Kechejian, S. J., Underwood, R. H.: Transmural gradient of retrograde collateral blood flow in acutely ischemic canine myocardium. *Circ. Res.* **35**: 365, 1974.
22. Fulton, W. F. M.: The Coronary Arteries. Charles C. Thomas Pub., Springfield Ill. 1965, p. 112.
23. Borst, H. G., Iversen, St.: Myocardial temperaturess in clinical cardioplegia. *Thorac. Cardiovasc. Surgeon (Stuttgart)*, **28**: 29, 1980.
24. Vaughan, C. C.: Discussion of Hilton, C. J. et al.'s paper *Ann. Thorac. Surg.* **28**: 333, 1979.
25. Blanco, G., Adam, A., Fernandez, A.: A direct experimental approach to the aortic valve. II. Acute retroperfusion of the coronary sinus. *J. Thorac. Surg.* **32**: 171, 1956.
26. Davies, A. L., Hammond, G. L., Austen, W. G.: Direct left coronary artery surgery employing retrograde perfusion of the coronary sinus. *J. Thorac. Cardiovasc. Surg.* **54**: 848, 1967.
27. Gott, V. L., Gonzales, J. L., Zuhdi, M. N., Varco, R. L., Lillehei, C. W.: Retrograde perfusion of the coronary sinus for direct vision aortic surgery. *Surg. Gynecol. Obstet.* **104**: 319, 1957.
28. Hammond, G. L., Davies, A. L., Austen, G. W.: Retrograde coronary sinus perfusion. A method of myocardial protection in the dog during left coronary artery occlusion. *Ann. Surg.* **166**: 39, 1967.
29. Lillehei, C. W., DeWall, R. A., Gott, V. L., Varco, R. L.: The direct vision correction of calcific aortic stenosis by means of a pump oxygenator and retrograde coronary sinus perfusion. *Dis. Chest.* **30**: 123, 1956.
30. Shumway, N. E.: Forward versus retrograde coronary perfusion for direct vision surgery of acquired aortic valvular disease. *J. Thorac. Cardiovasc. Surg.* **38**: 75, 1959.
31. Lolley, D. M., Hewitt, R. L., Drapanas, T.: Retroperfusion of the heart with a solution of glucose, insulin and potassium during anoxic arrest. *J. Thorac. Cardiovasc. Surg.* **67**: 364, 1974.
32. Lolley, D. M.: Discussion of Poirier, R. A. et al.'s paper. *J. Thorac. Cardiovasc. Surg.* **70**: 1033, 1975.
33. Lolley, D. M., Hewitt, R. L.: Myocardial distribution of asanguineous solutions retroperfused under low pressure through the coronary sinus. *J. Cardiovasc. Surg.* **21**: 287, 1980.
34. Poirier, R. A., Guyton, R. A., McIntosh, C. L.: Drip retrograde coronary sinus perfusion for myocardial protection during aortic cross-clamping. *J. Thorac. Cardiovasc. Surg.* **70**: 966, 1975.
35. Solorzano, J., Taitelbaum, G., Chiu, R. C.: Retrograde coronary sinus perfusion for myocardial protection during cardiopulmonary bypass. *Ann. Thorac. Surg.* **25**: 201, 1978.
36. Toscano, M. F., Kampman, K. M., Beere, P. A., Bates, R. J., Demos, S. S., Anagnostopoulos, C. E.: Retrograde coronary venous perfusion at low pressure. *Cardiovasc. Dis. (Texas Heart Institute)* **7**: 41, 1980.

# Vagusların Uyarılmasıının Efektif Böbrek Plazma Akımı, Efektif Böbrek Kan Akımı, Glomerüler Filtrasyon Hızı ve Böbrek Direnci Üzerine Etkisi

**Dr. Bedri Özen\*** / **Dr. Kemal S. Türker\*\*** /

**Dr. Abit Yalçın Rıdvanağaoglu\*\*** / **Kim. Yücel Uğur\*\*\*** /

**Dr. Dicle Balkancı\*\*\*\***

**T**ransplantasyondan sonra böbrek fonksiyonlarının normal bulunmasının<sup>3</sup> ve vücutta homeostazın normal şekilde sürdürülmesi<sup>5</sup> böbrek sinirlerine hiç bir zaman gereksinme olmadığını düşündürmemelidir. Arthur J. Vander,<sup>1</sup> Carter ve arkadaşlarının<sup>4</sup> çalışmalarının sonuçları böbreklere parasempatik sinirlerle sinirlenmediğini dolaşılı olarak göstermesine rağmen Howard ve arkadaşları<sup>8</sup> köpek böbreğinde asetilkolinesteraz pozitif sinirlerin renal, interlobar, arkuat ve interlobüler arterlerin mediasında pleksus yaptığını, afferent arteriyol ve vaza rektalar civarında da yine bu sinirlerin bulunduğu histokimyasal olarak göstermiştir. Ayrıca böbreklere gelen parasempatiklerin kaynakları da tam olarak belirlenmemiştir.<sup>14, 15</sup>

Daha önceki yaptığımız ve henüz yayınlanmamış araştırmadaki bulgularımıza göre vagus ve sakral parasempatiklerin kesilmesinden sonra böbrek direncindeki artma dışında glomerüler filtrasyon hızı, efektif böbrek plazma akımı ve efektif böbrek kan akımında istatistiksel yönden anlamlı bir değişiklik meydana gelmemektedir. Yine aynı araştırmada idrar miktarı, kan basıncı ve hematokrit değerlerinde de önemli bir değişim

\* Hacettepe Üniversitesi Tıp Fakültesi Fizyoloji Bölümü Öğretim Üyesi.

\*\* Aynı Fakülte Fizyoloji Bölümü Öğretim Görevlisi.

\*\*\* Aynı Fakülte Pediatric Nefroloji Ünitesi.

\*\*\*\* Aynı Fakülte Fizyoloji Bölümü Asistanı.

me gözlenmemiştir. Sakral parasempatiklerin kesilmesinden sonra görülen anlamsız böbrek direnci artışı vagusların kesilmesiyle önemli değerlere yükselmiştir.

Bu çalışmada vagusların vücutta gösterdikleri normal etkinin 2-2.5 katı bir etki gösterecek şekilde uyarılmasından sonra efektif böbrek plazma akımı (EBPA), efektif böbrek kan akımı (EBKA), glomerüler filtrasyon hızı (GFH) ve böbrek direnci (BD) üzerinde oluşabilecek değişiklikler araştırıldı.

### *Materiyal ve Metot*

Sakral parasempatikleri ve vagusları kesildikten ve  $500 \text{ cm}^3$  serum fizyolojik içinde 3500 mg kreatinin, 300 mg PAH ve 25 gr. mannitol içeren idame sıvısından dakikada 20 damla gidecek şekilde yarım saat infüzyona devam edildikten sonra köpeklerin önce sol daha sonra da sağ vagusu Gras S 88 stimülatörle (5 V potansiyel, saniyedeki frekansı 20 ve süresi 8 milisaniye) 10 dakika süre ile uyarıldı.<sup>13</sup> Bu değerdeki uyarı ile kalp hızında normale göre 2-2.5 kat bir azalma meydana geliyordu. Vagusların sınırlendirdiği vücuttaki bütün organlarda da aynı etkinin oluşacağı varsayılarak böbreklerde yukarıda bildirilen parametrelerde meydana gelebilecek değişiklikleri araştırmak yönünden 10 dakikalık idrar örnekleri toplanırken bu toplama devrelerinin tam ortasında  $10 \text{ cm}^3$  kan alındı. Bu kan örneklerinden hematokrit, PAH ve kreatinin tayin edildi. 10 dakikalık idrar hacmi ve içerisindeki PAH ve kreatinin miktarları da belirlendi.

### *Bulgular*

Sol vagusun uyarılması ile kan basıncı, hematokrit, bir dakikalık idrar hacmi, vücut yüzeyine göre düzeltilerek hesaplanan kreatinin klerens (GFH), PAH klerens (EBPA), efektif böbrek kan akımı (EBKA) ve böbrek direnci (BD) ortalamaları sıra ile:  $106.5 \pm 7.4 \text{ mm Hg}$ , %  $33.4 \pm 2.4$ ,  $0.53 \pm 0.07 \text{ cm}^3/\text{dk.}$ ,  $39.6 \pm 5.2 \text{ cm}^3/\text{dk.}$ ,  $116.3 \pm 17.4 \text{ cm}^3/\text{dk.}$ ,  $164.98 \pm 24.5 \text{ cm}^3/\text{dk.}$ , ve  $0.76 \pm 0.12 \text{ PDÜ}$  idi.

Sol vagusun uyarılması sona erdikten ve yarım saat bekledikten sonra aynı değerdeki uyarı ile sağ vagusun uyarıldığı devrede elde edilen kan basıncı, hematokrit, bir dakikalık idrar hacmi, vücut yüzeyine göre düzeltilerek hesaplanan kreatinin klerens (GFH), PAH klerens (EBPA), efektif böbrek kan akımı (EBKA) ve böbrek direnci (BD) sıra ile:  $105.5 \pm 6.5 \text{ mm Hg}$ , %  $33.3 \pm 1.9$ ,  $0.45 \pm 0.06 \text{ cm}^3/\text{dk.}$ ,  $31.5 \pm 4.8 \text{ cm}^3/\text{dk.}$ ,  $85.3 \pm 12.5 \text{ cm}^3/\text{dk.}$ ,  $121.21 \pm 18 \text{ cm}^3/\text{dk.}$  ve  $1.15 \pm 0.27 \text{ PDÜ}$  idi..

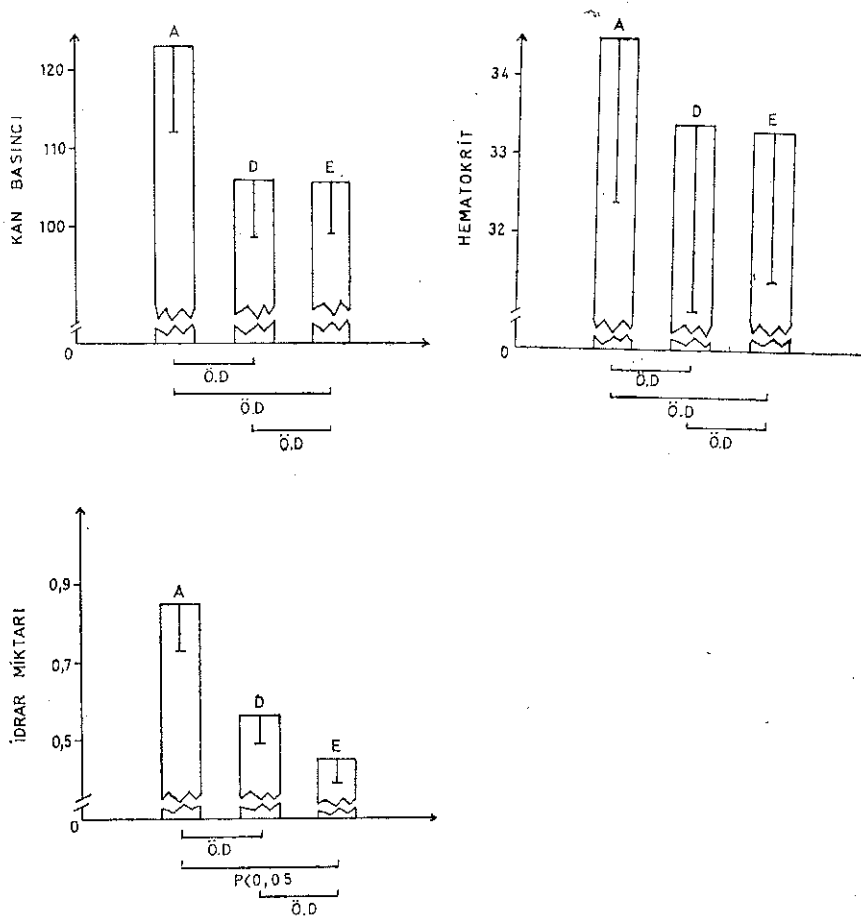
*Tartışma*

Sol ve sağ vagusun uyarılması sonucu elde edilen değerler kontrol değeri olan sakral parasempatikleri ve vagusları kesilmemiş fakat diğer bütün cerrahi işlemleri uygulamış anestezili köpeklerden elde edilen değerlerle karşılaştırıldı:

Kontrol grubu, sol vagusları ve sağ vagusları uyarılan gruplardan elde edilen kan basıncı ve hematokrit değerleri arasında istatistiksel yönden anlamlı bir fark tespit edilmedi ( $P > 0.05$ ). Kontrol grubu ile karşılaşıldığı zaman sağ vagusun uyarılması ile idrar hacminde önemli bir azalma görülmeye rağmen ( $P < 0.05$ ) aynı anlamlı azalma sol vagusu uyarılan grupta görülmemektedir. Glomerüler filtrasyon hızını ifade eden kreatinin klerens kontrol grubu ile kıyaslandığında hem sol hem de sağ vagusun uyarıldığı gruptarda önemli derecede azalmaktadır ( $P < 0.05$ ). Efektif böbrek plazma akımını veren PAH klerens kontrol grubu ile karşılaşlığında sağ vagusun uyarıldığı grupta önemli derecede azaldığı ( $P < 0.01$ ) gibi ayrıca efektif böbrek kan akımı da azalmaktadır. Kontrolla karşılaşıldığı zaman hem sol hem de sağ vagusun uyarılması ile böbrek direncinde önemli bir artma meydana gelmektedir ( $P < 0.05$ ).

Elde edilen bütün bu sonuçlar Şekil 1 ve 2 deki histogramlarda da görülmektedir. Bu bulgular literatür bulguları ile karşılaşıldığı zaman çoğunlukla onlara karşı düşmektedir. Bir çok araştırmada postgangliyoner parasempatik sinir uçlarından asetilkolin salgılanlığı düşünüle-rek böbrek arteri içine doğrudan asetilkolin verilmiş<sup>1, 5, 9-12, 20</sup> verilen asetilkolinin etkisi sonucu böbrek kan akışının korteksin dış bölgelerinden korteksin daha iç jukstamedüller bölgelerine kaydığı, glomerüler filtrasyon hızının ve böbrek kan akımının arttığı, idrar miktarının fazlalığı ve böbrek direncinin azaldığı gözlenmiştir. Bu gözlemler bizim bulgularımıza karşı düşmektedir. Öte yandan Pickford<sup>16</sup> intravenöz verilen asetilkolinin su diürezini durdurduğunu fakat büyük dozların su diürezine yol açtığını göstermiştir. Pilkington ve arkadaşları<sup>17</sup> ise böbrek arterinden verilen asetilkolin infüzyonunun PAH sekresyonunu azalttığını bulmuşlardır. Böbreklerde bir otoregülasyon olduğu bilinmektedir. Bu otoregülasyon sayesinde belli basınçlar arasında glomerüler filtrasyon hızı ve böbrek kan akımı normal sınırlar arasında sürdürülmektedir.

Yaptığımız çalışmada kontrol grubundaki kan basıncı ile vagusların uyarıldığı gruptardaki kan basınçları arasında anlamlı bir fark yoktu. Böbrek hemodinamiklerinin düzenlenmesinde otoregülasyonun primer fizyolojik önemine sahip olduğu, eğer otoregülasyon filtrasyonu sürdürmeye tam olarak yetmeyorsa renin yapılış ve salınının önemli oranda arttığı



Şekil 1

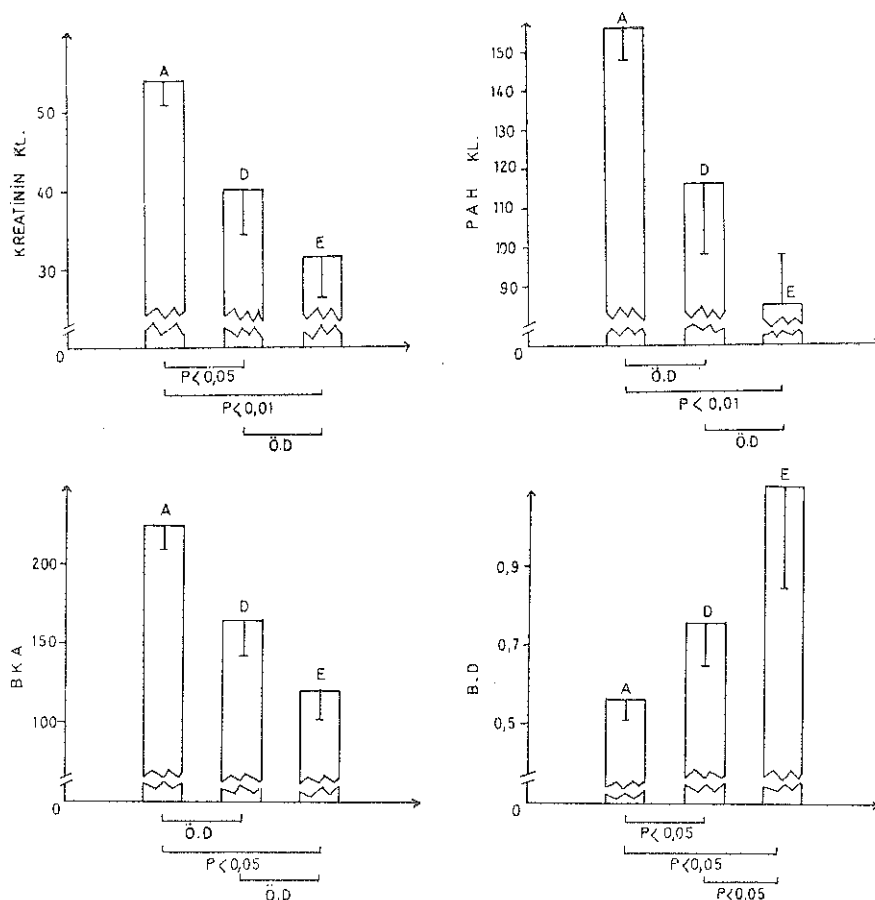
Kan basıncı, hematokrit ve 1 dakikalık idrar hacmi değerleri.

A - Kontrol

D - Sol Vagusun Uyarılması

E - Sağ Vagusun Uyarılması

da gözlenmiştir.<sup>7</sup> Böbreklerin sempatik sinirlerinin uyarıldığı her durumda, kan basıncına bağlı olmadan, renin salınışı artmaktadır.<sup>19</sup> Filtrasyon hızı azalmasına rağmen otoregülasyon sayesinde böbrek kan akışı normal değerlerde tutulabilmektedir.<sup>21</sup> Böbreklerdeki bu otoregülasyonda asetilkolinin bir fonksiyonu olmadığı da ileri sürülmüş ve toplam böbrek kan akışının otoregülasyonu intravenöz atropin verilmesinden önce ve sonra, normal ve düşürtülmüş kan basınçlarında değişme göstermemiştir.<sup>11</sup>



Şekil 2  
GFH, EBPA, EBKA ve BD değerleri.

- A - Kontrol
- D - Sol Vagusun Uyarılması
- E - Sağ Vagusun Uyarılması

Bütün bu gözlemlerin ışığında bugularımızın açıklanması güçlük göstermektedir. Vagusların normale göre 2-2,5 kat daha kuvvetle uyarılması sonucu salgıladıkları büyük miktardaki asetilkolinin, Aström ve arkadaşlarının<sup>2</sup> gösterdikleri gibi, böbrek arterlerinin düz kaslarını doğrudan etkileyerek onları kontraksiyona uğratmaları ve bunun sonucu olarak da böbrek direncini önemli derecede artırıdıkları düşünülebilir. Ayrıca vagusların kesilmesi sonucu böbrek sempatiklerinin uyarılması da renin salınışını artırarak<sup>10</sup> böbrek direncindeki yükselişi daha da kuvvet-

lendirebilir. Böbrek direncinde artış ise glomerüler filtrasyon hızında, efektif böbrek plazma ve kan akımında, bir dakikalık idrar miktarında bir azalmaya yol açabilir.

### *Özet*

Bu çalışmada sol ve sağ vagusun vücutta gösterdikleri normal etkinin 2-2.5 katı bir etki gösterecek şekilde uyarılmalarının glomerüler filtrasyon hızı, efektif böbrek plazma akımı, efektif böbrek kan akımı ve böbrek direnci üzerine gösterebilecekleri değişiklikler araştırıldı.

- 1- Sol ve sağ vagusun uyarılması kan basıncı ve hematokrit değerlerinde önemli bir değişiklik oluşturmamaktadır.
- 2- Sağ vagusun uyarılması idrar hacminde önemli bir azalma oluştumasına rağmen aynı azalma sol vagusun uyarılması ile meydana gelmemektedir.
- 3- Glomerüler filtrasyon hızı hem sol hem sağ vagus uyarıldığı zaman azalmaktadır.
- 4- Efektif böbrek plazma ve kan akımı sağ vagusun uyarılması ile önemli derecede azalmaktadır. Aynı azalma sol vagusun uyarılması ile gözlenmemektedir.
- 5- Böbrek direnci gerek sağ gerekse sol vagusun uyarılmasında önemli derecede artmaktadır.

### *KAYNAKLAR*

1. Arthur, J. Vander: Effects of acetylcholine, atropin and physostigmine on renal function in the dog. Am. J. Physiol **206**: 492, 1964.
2. Aström, A., Crafoord, J. and Samelius-Broberg, U.: Vasoconstrictor action of acetylcholine on kidney blood vessels. Acta Physiol Scand **61**: 159, 1964.
3. Blaufox, M. D., Lewy, E. J., Jagger, P.: Physiologic responses of the transplanted human kidney: Sodium regulation and renin secretion. New Eng. J. Med. **280**: 62, 1969.
4. Carter, M. K., Greig, C.: Relationship between ion transport and cholinesterase activity in kidney cortex slices from normal and adrenalectomized rats. Fed. Proc. **14**: 324, 1955.
5. Cotten, M. R., Carter, M. K.: The effect of renal arterial infusion of cholinomimetic agents on renal function. Arch. Int. Pharmacodyn. **170**: 473, 1967.
6. Ginn, H. E. Jr., Unger, A. M., Hum, D. M.: Human renal transplantation: An investigation of the functional status of the denervated kidney after successful homotransplantation in identical twins. J. Lab. Clin. Med. **56**: 1, 1960.
7. Hernian, E., Schmid Jr.: Renal autoregulation and renin release during changes in renal perfusion pressure. Am. J. Physiol **222**: 1132, 1972.

8. Howard, A. Weitsen and John E. Norwell: Cholinergic innervation of the auto-transplanted canin kidney. *Cir. Res.* **25**: 535, 1969.
9. Jay H. Stein, Thomas F. Ferris, James E. Huprich: Effect of renal vasodilatation on the distribution of cortical blood flow in the kidney of the dog. *J. Clin. Invest.* **50**: part: 2, 1429, 1971.
10. John L. McNay, Youichi Abe: Pressure dependent heterogeneity of renal cortical blood flow in dog. *Cir. Res.* **27**: 571, 1970.
11. John L. McNay, Youichi Abe: Redistribution of cortical blood flow during renal vasodilatation in dogs. *Cir. Res.* **27**: 1023, 1970.
12. Laurence E. Earley, Robert M. Friedler: The effects of combined renal vasodilatation and pressor agents on renal hemodynamics and the tubular reabsorption of sodium. *J. Clin. Invest.* **45**: 542, 1966.
13. Lawrence A. Frohman, Ediz Z. Ezdinli and Rouhollah Javid: Effect of vagotomy and vagal stimulation on insulin secretion. *Diabetes* **16**(7): 443, 1967.
14. Mc Crea, E. A.: The abdominal distribution of the vagus. *J. Anat. (London)* **59**: 18, 1924.
15. Mitchell, G. A. G.: The renal nerves. *Brit. J. Urol.* **22**: 269, 1970.
16. Pickford, M.: The inhibitory effect of acetylcholine on water diuresis in the dog and its pituitary transmission. *J. Physiol (London)* **95**: 226, 1939.
17. Pilkington, L. A. at All.: Intrarenal distribution of blood flow. *Am. J. Physiol.* **211**: 487, 1966.
18. Rodney B. Harvey: Effects of acetylcholine infused into renal artery of dogs. *Am. J. Physiol* **211**: 487, 1966.
19. Ronald G. La Grange, Gharles H. Sloop and Herman E. Schmid: Selective stimulation of renal nerves in the anesthetized dog. Effect of renin release during controlled changes in renal hemodynamics. *Cir. Res.* **33**: 704, 1973.
20. Williams R. L., Pearson J. E. Jr., Carter M. K.: Renal electrolyte changes after unilateral infusion of cholinergic drugs. *Fed. Proc.* **23**: 394, 1964.
21. Youichi A., V. F. Dixon and J. L. McNay: Dissociation between autoregulation of renal blood flow and glomerular filtration rate. *Am. J. Physiol* **219**: 986, 1970.

# Tekrarlayıcı Üriner Sistem Taş Hastalığında Klinik ve Laboratuvar İncelemeler\*

**Dr. Mehmet Bakkaloğlu\*\* / Dr. Recai Gürbüz\*\*\* /**

**Dr. Doğan Remzi\*\*\*\* / Dr. Ünal Yasavul\*\*\*\*\* /**

**Dr. Sezai M. Kuş\*\*\*\*\***

Üriner Sistem Taş Hastalığı (ÜSTH) yüzyılımızın ikinci yarısında giderek artan bir insidans ve tekrarlayıcı özellik göstermektedir.<sup>1-3</sup> Hastalığın % 9-73 oranında tekrarladığı ve erkeklerde üç kez daha sık görüldüğü, bir veya daha fazla tekrarlama atağı geçirenlerin 1/3 ünün bir böbreğini kaybettiği bildirilmektedir.<sup>4-6</sup>

Ülkemizde taş hastalığı insidansına ait güvenilir veriler yoktur. Ancak, Bilim Dalımızca yapılan bir çalışmada ilk okul çağının çocuklarında taş insidansı % 0.8 olarak saptanmıştır.<sup>7</sup>

Araştırmamız, taş hastalığının, özellikle tekrarlayıcı üriner sistem taş hastalığının etyolojisinde rol oynayan ekstrensek ve intrensek<sup>5</sup> faktörlerden bir kısmını değerlendirebilmek için, Hacettepe Üniversitesi Uroloji Bilim Dalına Ocak 1980-Nisan 1981 tarihleri arasında baş vuran 55 üriner sistem taşılı hasta ve yedi kontrol olgu üzerinde yapılmıştır.

## Gereç ve Yöntemler

Araştırma kapsamına alınan hastaların ve kontrol olguların taş hastalığına ilişkin özellikleri, öz geçmişleri, intra venöz pyelografi (IVP) ve lamina dura grafileri ve bunların yorumlanması Tablo I ve II de özetlenmiştir. Hasta ve kontrol olgularda ayrıca, serum ve idrarda aşağıda sıralanan incelemeler yapılmıştır: İdrarda; Basit idrar analizi, idrar

\* Bu Çalışma, Hacettepe Üniversitesi Vakfınca Desteklenmiştir.

\*\* Hacettepe Üniversitesi Tıp Fakültesi, Uroloji Bilim Dalı Doçenti.

\*\*\* Aynı Fakülte, Uroloji Bilim Dah Uzmanı.

\*\*\*\* Aynı Fakülte, Uroloji Bilim Dah Profesörü.

\*\*\*\*\* Aynı Fakülte, İç Hastalıkları Bilim Dah Uzmanı.

\*\*\*\*\* Aynı Fakülte, Biyokimya Bilim Dah Dr. Asistanı.

Ph sı (Ph kağıdı ile), idrar kültürü, 24 saatlik idrar hacmi, 24 saatlik kreatinin klirensi, ürik asit, fosfat, kalsiyum (Ca), mağnezyum (Mg) ve okzalat düzeyleri Üniversitemiz Biyokimya Bilim Dalı Araştırma ve Enzimatoloji Laboratuvarında uygun yöntemlerle<sup>8-11</sup> saptandı (Tablo III, IV). Serumda; Kreatinin, üre, ürik asit, fosfat, Ca, Mg düzeyleri yukarıda belirtilen laboratuvara saptandı. Parathormon (PTH) düzeyleri radyoimmünessey yöntemle<sup>12</sup> İç Hastalıkları Bilim Dalı Nefroloji Bölümünde saptandı (Tablo III, IV).

### Bulgular

Araştırma kapsamına alınan 55 hastanın yaş ortalaması 33.6 yıl, yedi kontrol olgunun yaş ortalaması 28 yıldır. 55 hastanın 11'i kadın, 44'ü erkek hastalardır. Altı hasta 0-16 yaş grubundaydı. Bunlardan ikisi tekrarlayıcı üriner sistem taş hastası idi.

Üriner sistem taşı olan 55 hastanın 12'si taş hastalığı nedeni ile ilk kez baş vururken, 43 hastanın bir kaç kez taş düşürdükleri, taş hastalığı nedeni ile ortalama iki kez ameliyat edildikleri ve bu ameliyatlardan 11'inin nefrektomi olduğu saptandı. Değerlendirmeler sonucu sadece iki olguya ameliyat indikasyonu konulmadı.

Araştırma kapsamına alınan tüm hastaların aldığı sıvı düzeyleri, diyetsel özelliklerini hakkında güvenilir veriler elde edilemedi. Ancak hasta grubunun çoğunuğunun 24 saatlik idrar hacimleri ve kreatinin klirensleri normal sınırlarda bulundu (Tablo III).

55 üriner sistem taşılı hastadan 42'sinde üriner enfeksiyon saptandı. Bu 42 olgunun IVP'leri incelendiğinde yedi olguda staghorn taş olduğu saptanmıştır.

27 olguda idrar okzalat düzeyi saptanabildi. Bunlardan 17'sinin günlük okzalat atılımı normal ( $17.3 \pm 8$  mg/gün) den yüksek düzeylerde bulundu.

İdrarla okzalat atılımı yönünden hasta ve kontrol grupları karşılaştırıldığında aradaki fark istatistiksel<sup>13</sup> yönden önemli bulundu ( $p < 0.05$ ).

İdrar Ca düzeyi 55 hastanın 20'sinde normalden yüksek düzeyde bulundu (% 36). Hiperkalsiürünün genellikle hiperokzalüriye eşlik ettiği dikkat çeken önemli bir bulgu olmuştur (Tablo III).

İdrar Mg düzeyi 55 hastanın 46'sında normal (80-120 mg/gün) den düşük sınırlarda bulundu (% 83.6). Ancak hasta ve kontrol olgularının idrar Mg düzeyleri arasındaki fark istatistiksel yönden ömensiz bulundu ( $p > 0.05$ ).

**TABLO I**  
**HASTA GRUBUNUN BASLICA ÖZELLİKLERİ**

Olu No	Adi	Yaşı	Cinsi	Protokol	Öz Geçmiş	Taş Çıküsü	Lamina Dura	IVP'de Taşın Yeri	Ameliyat
1	N.T.	22	E	758835	—	+	—*	Solda çok sayıda bilateral çok sayıda	Sol Pyelolitotomi
2	G.T.	39	E	65-37098	—	+	+**	—	İki böbrekten beş kez ameliyat
3	S.K.	48	E	1163297	—	+	—	Sağda tek	Nefrektomi
4	T.A.	38	E	720652	—	+	—	Sağda staghorn	İki böbrekten iki kez ameliyat
5	H.Ö.	31	K	245095	—	+	—	Bilateral çok sayıda	İki böbrekten iki kez ameliyat
6	N.E.	51	K	1196782	—	+	+	Solda çok sayıda sağda staghorn	Sol parsiyel nefrektomi sağ nefropyeliotomii
7	L.K.	24	E	912568	—	+	+	Solda çok sayıda Sağda staghorn	Nefrektomi
8	M.U.	23	E	1158107	—	+	—	Solda çok sayıda	Nefrektomi
9	H.E.	23	E	1311533	—	+	+	Solda çok sayıda, sağ böbrek ve mesanede tek	Nefrektomi
10	G.E.	26	K	968834	Apendektomi	+	—	Sağda tek, solda çok sayıda	Bilateral nefro-pyelilitotomi ve sistolitonii
11	Ş.Ö.	53	E	63.28472	Hemoroid	+	—	Sağda tek	—
12	T.K.	40	E	80811	Allopurinol Thiaril	+	—	Sağ üreterde tek kullanılmış	2 kez sol ureterotomii

\* Lamina dura grafisi çekilmemiş.

\*\* Lamina dura grafisi çekilmiş; Normal.

TABLO Tin Devamı  
HASITA GRUBUNUN BAŞLICA ÖZELLİKLERİ

Oluş No	Adı	Yaşı	Cinsi	Protokol	Öz Geçmiş	Taş Öyküsü	Lamina Dura	IVP'de Taşın Yeri	Ameliyat
13	T.D.	58	E	984354	—	—	—	Sağ üreterde tek, sol böbrekte çok sayıda bilateral çok sayıda	Nefrektomi
14	A.B.	43	E	1326684	—	—	+	Bilateral çok sayıda	Sağ üreterolitotomi
15	M.A.	38	E	138720	—	—	+	Sağ üreterde tek	Sağ üreterolitotomi
16	H.S.	73	E	1314675	Hipertansiyon	+	—	Her iki böbrekte ve üreterlerde tek, mesancede çok sayıda	Sistolitotomi, aşık prostotektomi
17	M.A.Y.	46	E	1145600	—	+	Kaybolma var	Solda çok sayıda	Sol pyelolitotomi
18	M.Ü.	34	E	738476	Allopurinol	+	—	Bilateral çok sayıda	Her iki böbrekten 10 kez ameliyat
19	R.K.	25	E	1163648	Tianil	+	+	Bilateral staghorn	Sağdan iki soldan 1 kez ameliyat
20	M.O.	24	E	491852	Vit D <sub>3</sub>	+	+	Bilateral çok sayıda	İki böbrekten iki kez ameliyat
21	S.Ş.	29	E	1147639	—	—	Kaybolma var	Sağda çok sayıda	Nefrektomi
22	M.D.	30	E	1142646	Mide perforasyonu (travma)	+	+	Solda tek	Nefrektomi
23	K.D.	34	E	1143890	—	+	—	Solda tek	Nefrektomi

**TABLO I'in Devamı**  
**HASTA GRUBUNUN BAŞLICA ÖZELLİKLERİ**

Olu No	Adı	Yaşı	Cinsi	Protokol	Öz Geçmiş	Taş Oyküsü	Lamina Dura	IVP'de Taşın Yeri	Ameliyat
24	A.E.	42	E	1182359	Terminal ileit nedenyile ileal rezeksyon	+	+	Sağda Staghorn Solda çok sayıda	Sağ nefro-pyelotomi
25	I.U.	38	E	1310715	—	+	+	Bilateral çok sayıda	Bilateral Pyelolito-tomi
26	K.Ö.	42	E	1312718	—	+	+	Solda tek	Sol pyelolitotomi
27	Ş.O.	35	E	507777	—	+	+	Solda çok sayıda	Sol pyelolitotomi
28	A.M.	26	E	914581	—	+	+	Bilateral çok sayıda	Bil. pyelolitotomi
29	H.Y.	24	E	940770	—	+	+	Her iki üreterde	Bilateral üreterolito-tomi
30	İ.S.	35	K	1311536	—	—	—	Bilateral çok sayıda	Bilateral pyelolito-tomi
31	M.L.	41	E	317018	—	+	+	İki böbrekten 4 kez ameliyat	İki böbrekten 4 kez ameliyat
32	İ.Y.	30	E	1183260	—	+	+	Sol pyelolitotomi	Sol pyelolitotomi
33	H.A.	29	E	1317584	—	+	+	Bilateral çok sayıda ve sağ üreterde çok sayıda	Sağ üretero-pyelolitotomi ve sol nefrop-yelolitotomi
34	C.E.	50	K	1315259	—	+	—	Solda staghorn	İki böbrekten 4 kez ameliyat

TABLO I'in Devamı  
HASTA GRUBUNUN BAŞLICA ÖZELLİKLERİ

Olgı No	Adı	Yaşı	Cinsi	Protokol	Öz Geçmiş	Tas Öyküsü	Lamina Dura	IVP'de Taşın Yeri	Ameliyat
35	H.M.	33	K	1305050	Duedenol-ülser	+	-	-	-
36	H.D.	32	E	607506	-	+	-	Bilateral çok sayıda	Iki böbrekten 6 kez ameliyat
37	A.I.	58	K	1315976	-	-	-	Bilateral çok sayıda	Transperitoneal bilateral pyelolitotomi
38	T.O.	33	E	1312714	-	+	+	Bilateral çok sayıda	Sağ pyelolitotomi sistilitotomi
39	M.A.	33	E	6690	-	+	+	Solda tek	Sol pyelolitotomi
40	C.Ö.	47	E	73111	-	+	+	Bilateral çok sayıda	Sağdan 2 kez, soldan 1 kez ameliyat
41	Ü.Z.	25	E	1159741	Üretral darlık	-	-	Solda tek	Nefrektomi
42	R.Y.	30	E	1314899	-	+	+	Bilateral çok sayıda	Bilateral pyelolitotomi
43	F.A.	23	E	252319	-	+	+	Bilateral çok sayıda	2 böbrekten 1 kez ameliyat
44	P.K.	46	K	1301930	Hiper tansiyon obesite	+	-	Sol böbrekte ve sol üreterde tek	Sağ nefrektomi sol üretero-pyelolitotomi
45	N.S.	24	E	1176562	-	+	-	Solda çok sayıda	Soldan 2 kez ameliyat
46	H.A.	26	E	1334199	-	-	+	Bilateral staghorn	Sol pyelolitotomi
47	N.G.	25	E	1144097	-	+	-	Sağda çok sayıda	Sağ pyelolitotomi

TABLO I'ın Devamı  
HASTA GRUBUNUN BAŞLICA ÖZELLİKLERİ

Oluşum No	Adı	Yaşı	Cinsi	Protokol	Öz Geçmiş	Taş Öyküsü	Lamina Dura	IVP'de Taşın Yeri	Ameliyat
48	K.İ.	51	E	236019	—	+	—	Sağda çok sayıda	Bilateral parsiyel nefrektomi-bilateral pyelolitotomi
49	I.Y.	54	E	1302722	Hiper tansiyon	+	Kaybolma var	Bilateral tek	Bilateral üreterolitotomi
50	H.C.	6	K	1241900	—	+	Kaybolma var	—	Transperitoneal bilateral pyelolitotomi
51	F.D.	9	K	1758025	—	—	—	Sağda çok, solda tek	Transperitoneal bilateral pyelolitotomi
52	H.S.	16	E	1308642	—	—	—	Sağda çok sayıda	Sağ nefrektomi
53	A.A.	14	E	1315254	—	—	Kaybolma var	Bilateral çok sayıda	Sağ nefropyelolitotomi
54	A.G.	8	E	1318255	—	—	Kaybolma var	Sağda çok sayıda	Sağ pyelolitotomi ve U-P plasti
55	Ü.K.	15	K	1332074	—	+	+	Bilateral tek	Sağ pyelolitotomi

TABLO II  
KONTROL GRUBUNUN BAŞLICA ÖZELLİKLERİ

Olgı No	Adı	Yaşı	Cinsi	Protokol	Öz Geçmiş	Taş Öyküsü	Lamina Dura	IVP'de Taşın Yeri	Ameliyat
1	A.Ö.	22	E	1150607	—	—	+	Taşı yok	Ameliyat olmamış
2	A.Q.	9	E	321336	—	—	+	Taşı yok	Ameliyat olmamış
3	M.G.	65	E	1149806	—	—	—	Taşı yok	Ameliyat olmamış
4	H.Ö.	12	E	1328612	—	—	+	Taşı yok	Ameliyat olmamış
5	R.D.	32	E	1146022	—	—	+	Taşı yok	Ameliyat olmamış
6	M.Y.	43	E	967834	—	—	—	Taşı yok	Ameliyat olmamış
7	A.K.	13	E	812865	—	—	+	Taşı yok	Ameliyat olmamış

TABLO III  
HASTA GRUBUNUN KAN VE İDRAR BIYOKİMYASI

Olu- No	Hacim cm <sup>3</sup>	Reak- siyon	Enfek- siyon	24 saatlik idarada						Kanda (100 ml de)					
				ml/dk	Kreatinin Klirensi	mg Ozkazalat	mg Fosfat	mg Kalsi- yum	mg Magnez- yum	Ürik asit	mu/ml PTH	mg Kalsi- yum	mg Mag- nezyum	mg Ürik asit	mg Fosfat
1	1590	A	-	61	28,3	720	420	78	880	4,5	11,7	2,0	6,1	2,9	
2	1900	A	+	78	-	210	670	60	310	8,2	10,6	1,7	4,8	3,2	
3	1800	A	+	79	-	1200	540	67	240	2,8	9,4	1,89	4,8	3,1	
4	2100	K	+	124	-	261	120	38	204,6	2,5	9,5	2,1	4,9	3,8	
5	1950	A	-	48	-	1620	400	40	301	2,5	8,7	2,6	4,8	3,5	
6	1200	K	+	85	-	480	190	26	320	1,75	9,8	1,9	6,1	4,5	
7	1840	K	-	52	-	630	105,8	51,5	402	2,0	8,4	2,7	5,4	3,6	
8	1800	K	+	33,3	-	680	150	35	420	1,5	10,0	1,1	6,7	3,2	
9	2500	A	+	61	-	104	180	42	260	2,6	10,0	1,85	9,8	4,4	
10	2200	A	+	52,2	-	130	96	33	130	2,75	9,5	2,4	4,4	3,5	
11	2000	A	-	121	60,6	260	132	60	440	2,0	10,2	2,6	5,7	3,7	
12	1450	A	+	90	-	109	259	68	280	2,5	9,6	2,0	5,6	4,0	
13	2000	A	-	101	-	190	120	44	200	1,5	9,6	2,0	5,1	3,2	
14	2300	A	+	58	-	485	104	52	230	2,0	9,3	1,9	3,7	4,6	
15	2350	A	+	62	-	606	202,3	89,3	421	2,25	10,25	2,10	5,1	4,3	
16	1060	A	+	69	-	380	742	69,9	190	13,25	13,25	2,25	11,5	3,1	
17	1100	N	+	99,2	-	880	420	104	475	8,25	13,50	1,90	4,5	3,0	
18	2800	K	+	1,7	-	680	140	60	420	1,50	8,90	2,0	6,2	3,7	

TABLO III'ün Devamı  
HASTA GRUBUNUN KAN VE İDRAR BIYOKİMYASI

Olgı No	cm <sup>3</sup>	Reaksiyon	ml/dk	24 saatlik idrarda						Kanda (100 ml de)					
				Kreatinin Klinensi	mg	mg Oksalat	mg Fosfat	mg Kalsi- yum	mg Magnez- yum	mg Ürik asit	mu/ml PTH	mg Kalsi- yum	mg Mag- nezyum	mg Ürik asit	mg Fosfat
19	2900	K	+	66	—	410	110	20.6	170	1.60	9.90	1.90	7.0	4.0	
20	2900	A	+	110	—	860	594	214.6	450	7.50	13.0	2.9	4.3	3.2	
21	2300	A	+	65	—	470	320	38	346	6.25	12.0	2.1	4.5	4.0	
22	2000	A	+	83	—	610	119	28	481	2.0	9.0	2.1	6.3	3.4	
23	2250	A	+	95	20.6	640	112.5	18	90	3.0	10.75	1.6	6.3	4.6	
24	2000	K	+	82	18.0	440	110	68	346	2.5	10.5	1.85	7.7	3.1	
25	1500	K	—	118	26.7	150	88	32	230	2.0	10.4	1.9	4.3	3.8	
26	3450	N	+	101.8	—	450	59.8	26.4	470	1.5	9.0	2.1	6.4	3.1	
27	1500	A	+	115	—	870	168.7	126	201	2.25	9.5	1.9	6.1	3.2	
28	1340	N	—	100	23.0	500	126	13.4	103	2.0	10.5	2.5	21.3	2.9	
29	2800	A	+	86	61.2	580	252.5	14	475	3.7	11.0	1.9	5.1	3.6	
30	1640	A	+	82	33.8	320	57.4	16.4	1892	6.75	11.25	2.45	2.6	3.3	
31	2700	N	+	94	54.3	1130	404	222	192	4.0	10.5	2.4	3.0	2.9	
32	4000	K	—	104	81.3	390	339	120.8	435	3.6	11.25	2.05	7.6	3.9	
33	3300	N	+	62	87.5	170	192.5	23.1	444	7.25	11.75	2.35	3.6	3.1	
34	1400	K	—	30.3	21.3	440	354	81	548	6.75	10.75	2.1	5.3	2.9	
35	3800	A	—	76.2	34.2	150.	98	20	100	1.5	8.9	2.4	4.7	4.0	
36	1500	A	—	106	31.8	600	166.2	49	370	3.5	10.2	2.1	6.9	3.4	

TABLO III'ün Devamı  
HASTA GRUBUNUN KAN VE İDRAR BIYOKİMYASI

Olu No	Hacim cm <sup>3</sup>	Reaksiyon	Enfeksiyon	24 saatlik idrarda						Kanda (100 ml de)					
				ml/dk	Kreatinin mg	Kalsiyum mg	Magnezyum mg	Ürik asit mg	PTH miu/ml	Kalsiyum mg	Ürik asit mg	Fosfat mg			
37	1400	A	+	52	93.2	220	364	16.6	120	4.75	9.75	2.2	6.6	5.2	
38	1820	A	—	92.5	13.5	440	104.6	18.2	265	2.25	11.5	2.35	5.9	3.8	
39	1070	A	—	91	37.4	110	46.3	13.4	205	2.5	10.5	2.15	4.0	3.1	
40	2150	N	—	140	36.4	580	27.0	17.2	160	2.0	8.9	2.4	3.7	3.7	
41	1840	K	—	90	34.2	430	160	15.6	320	3.0	10.6	2.3	4.6	3.5	
42	1850	A	—	97.5	—	89	89.8	5.98	190	3.125	9.4	1.6	7.4	3.6	
43	3300	A	—	37.6	11.7	310	160	16.2	410	6.25	8.4	2.4	7.8	4.9	
44	2700	N	—	98	220.0	270	740	21.6	140	6.75	11.25	1.65	8.2	3.5	
45	2400	A	+	90	16.7	900	198	26.2	360	4.75	11.75	2.1	4.0	3.0	
46	1600	K	+	70	40.0	250	100	24	410	1.75	9.8	1.8	6.9	3.7	
47	2100	A	+	96	—	730	196	118	678	3.0	10.20	1.8	2.9	3.5	
48	2400	A	—	116	33.7	460	495	18	415	4.5	11.25	2.25	8.0	3.1	
49	1520	A	+	63	31.3	360	467	27.2	366	5.0	10.75	2.15	6.9	3.4	
50	930	A	+	86	—	729	270	164	330	6.5	11.25	1.95	6.4	3.1	
51	540	A	+	89	—	441	160	14.2	440	1.75	9.0	1.8	3.7	4.4	
52	1860	N	+	81.6	40.5	450	139	10.3	683.7	3.10	10.5	2.2	4.5	5.5	
53	2400	A	+	126	67.5	116	133.5	35.6	441	4.75	10.0	2.0	4.0	3.0	
54	920	A	+	96	—	110	134	46	150	6.0	10.25	2.0	2.0	4.0	
55	1060	N	+	71.6	—	220	248	19.7	144	2.0	9.0	2.1	6.7	3.7	

TABLO IV  
KANTROL GRUBUNUN KAN VE İDRAR BİYOKİMYASI

Olu No	Hacim cm <sup>3</sup>	Reaksiyon	Enfeksiyon	24 saatlik idrarda						Kanda (100 ml de)					
				ml/dk	Kreatinin mg	Okzalat mg	Fosfat mg	Kalsiyum mg	Magnezyum mg	Ürik Asit mg	PTH miu/ml	Kalsiyum mg	magnesiyum mg	Ürik Asit mg	Fosfat mg
1	1050	A	-	105	17.2	518	101.2	41	291	3.1	9.8	2.3	6.1	3.6	
2	1180	A	-	87.3	17.6	427	107	91.7	309	1.75	9.2	1.86	3.5	3.8	
3	1800	A	-	95	34.3	240	128	39	371	2.5	9.4	2.3	3.6	4.2	
4	1260	A	-	70	19.6	405	143	67	465	2.25	9.5	2.6	3.4	3.6	
5	1900	A	-	73.3	10.6	301	165	100.2	526	1.5	9.7	2.0	5.8	3.6	
6	1590	A	-	86.7	10.3	287	116	51.8	374	2.6	10.4	2.4	6.9	3.7	
7	1600	A	-	125.5	10.1	492	172	94	341	2.5	10.2	2.0	3.4	4.2	

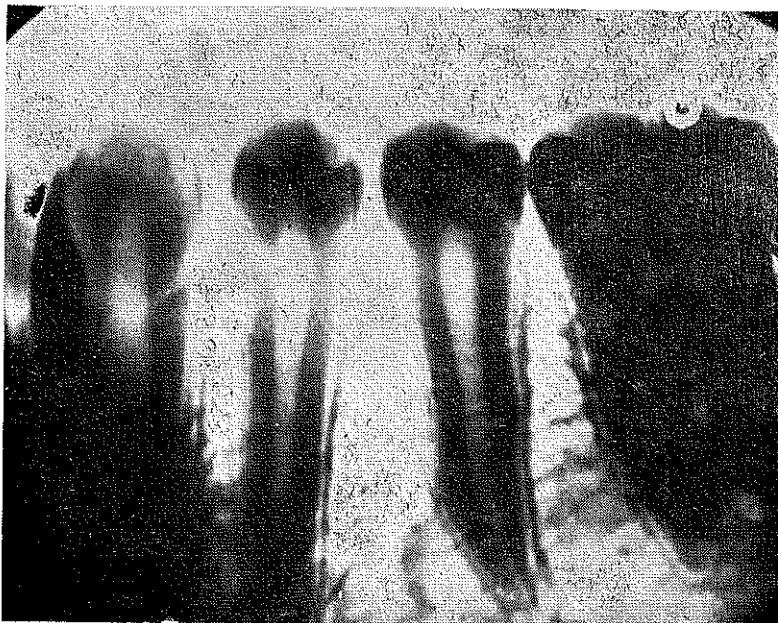
\* Normal değerler:

Serundan : Ca: 9.0-10.5 mg/100 ml de, Mg: 1.8-3.6 mg/100 ml de, PO<sub>4</sub>: 3.0-4.5 mg/100 ml de,

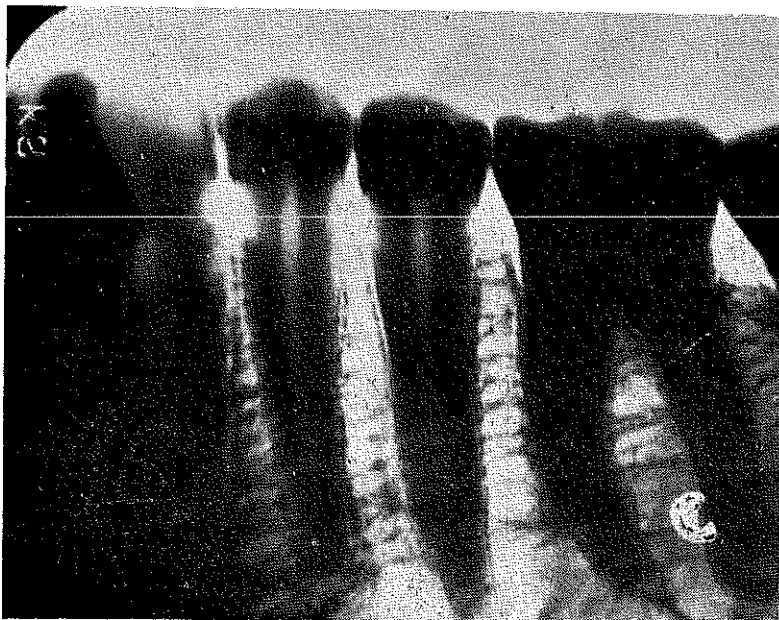
Ürik asit : 3.5-7.2 mg/100 ml de, PTH: 2.7 ± 8 miu/ml de,

İdrarda : Kreatinin Klorensi : 100-120 ml/dk, Ca: 100-300 mg/24 saatlik idrarda, Mg: 80-120 mg/24 saatlik idrarda,

Fosfat : 400-1300 mg/24 saatlik idrarda, ürik asid 250-750 mg/24 saatlik idrarda, okzalat: 17.3 ± 8 mg/24 saatlik idrarda.



Şekil 1  
Normal lamina dura.



Şekil 2  
Devamlılığı kaybolmuş lamina dura.

İdrar fosfat ve ürik asit düzeyleri hasta ve kontrol olgularda geniş değişkenlikler göstermiştir. Bir hastada hiperfosfatüri, iki hastada ise hiperürikozüri saptanmıştır.

Serum PTH ve Ca düzeyleri taşlı hastalarda birbiri ile orantılı yükselmeler gösterdi. 55 hastadan 17'sinde (% 30.9) PTH, serum Ca ve idrar Ca düzeyleri yüksek bulundu. Bu 17 olgunun lamina dura grafile-rinde hiperparatiroidi lehine bulgular saptanmıştır. Şekil 1 ve 2 de; normal ve devamlılığı kaybolmuş lamina dura grafileri izlenmektedir.

Serum ürik asit ve Mg düzeyleri tüm araştırma grubunda geniş değişkenlikler gösterdi (Tablo III, IV). Hasta ve kontrol olgularda saptanan bu değerler istatistiksel yönden öbensiz ( $p > 0.05$ ) farklılıklar göstermiştir.

### *Tartışma*

Araştırma kapsamına alınan 55 hastanın taş hastalığı nedeni ile ikiden fazla ameliyat edildiği ve bunlardan 11'ine nefrektomi yapıldığı halde taş hastalığının aktivitesini süürüdügü saptanmıştır. 18 sıra numaralı olgunun taş hastalığı nedeni ile 10 kez ameliyat olduğu ve 24 saatlik kreatinin klirensinin 1.7 cc/dakika düzeyine düştüğü saptanmıştır.

Hasta grubu ile kontrol grubunun 24 saatlik kreatinin klirensleri ve 24 saatlik idrar hacimleri arasında belirgin bir fark bulunamamıştır. Hastane şartlarında idrar örneği toplanırken, hastalara bol sıvı almanın önerilmiş olması, voltüm yönünden taş hastalığı lehine bir sonucun ortaya çıkışını engellemiştir. Bu nedenle üriner sistem taş hastalığının değerlendirilmesinde önemi vurgulanan yetersiz sıvı alınımı<sup>14</sup> ve diyetsel özellikleri saptayabilmek için, hastaların özellikle idrar örneklerini yaşadıkları ortamda elde ederek araştırmaya almak çok daha gerçekçi olacaktır.

Taş hastalığının aktif olduğu sürece ameliyata karşı yaşamı tehdit edeceği ve nefrektomi olaslığını giderek artıracığı açıktır. Cuhte<sup>15</sup> üriner sistem taşlı olguların 1/3 üne nefrektomi yapıldığını bildirmektedir.

Hastalarımızın IVP lerinin değerlendirilmesinde yaygın ve çok sayıda taş bulunması, yedi olguda staghorn taş saptanması değerlendirilmeye alınan hastaların başlıca özelliğini oluşturmaktadır.

Üriner enfeksiyonun, üriner sistem taş hastalığında sık görüldüğü bulgularımızla desteklendi. Özellikle staghorn taş oluşumundan sorumlu tutulan üriner enfeksiyon bu olguların tümünde saptandı. C. E. Cox<sup>3</sup> taş hastalığında üriner enfeksiyonun görülmeye oranının % 83 e kadar çıktığını belirtmektedir.

Hiperokzalüri üriner sistem taşı olan hastalarda sık saptadığımız bir bulgu olmuştur. Bulgularımız literatür bulguları ile de uygunluk göstermektedir.<sup>16</sup>

İdrar okzalat düzeylerinin ülkemizde ilk kez enzimatik<sup>11</sup> yolla saptanması ÜSTH'nın değerlendirilmesine ve tedavide daha sistemli ve etkin bir yaklaşımın sağlanmasına katkıda bulunacaktır.

Hiperkalsiüri saptanan 17 üriner sistem taşılı hastada PTH ve serum Ca düzeyleri birbiri ile orantılı yükselmeler gösterdi. 17 hastaya bu bulgularla hiperparatiroidi tanısı konuldu.<sup>5</sup> Literatür<sup>17</sup> bulgularına göre daha yüksek oranda hiperparatiroidizm saptamamız hasta grubunun seçimi ile ilişkili olabilir. Hiperparatiroidizm dışında hiperkalsiüri saptanan 7 olgu idyopatik hiperkalsiüri olarak değerlendirilmiştir.

Hiperparatiroidili olguların 9'unun lamina dura grafilerinde, lamina dura tabakasının devamlılığının kayboluşunun izlenmesi, çektilirmesi kolay bir işlem olan bu grafının tanıdaki önemini açıklamaktadır.<sup>18</sup>

İdrar ve serum Mg düzeylerindeki azalma kontrol grubu ile birlikte değerlendirildiğinde literatür bulguları ile uygunluk göstermektedir.<sup>19</sup>

İdrar ve serum fosfat düzeylerinin üriner sistem taşılı hastalarda ve kontrol grubunda geniş değişkenlikler göstermesi diyetsel özelliklere bağlanabilir.<sup>14</sup>

#### *Sonuç*

Özellikle, tekrarlayıcı üriner sistem taşı hastalığının etyolojisine yönelik çalışmamızda, hastalığın erkeklerde dört kez daha sık görüldüğü saptandı.

Hastalığın tedavisinde, yalnız başına uygulanan cerrahi tedavinin yetersiz olduğu kanıtlandı.

Üriner sistem taşılı hastaların diyetsel özellikleri, aldıkları sıvı miktarı ve cinsi hakkında güvenilir verilerin elde edilememesi başlica problem olarak karşımıza çıktı.

Tekrarlayıcı üriner sistem taşı hastalığının etyolojisinde rol oynayan hiperokzalüri, hiperparatiroidizm, idyopatik hiperkalsiüri ve üriner enfeksiyon saptadığımız önemli etkenler arasındadır.

İdrarda okzalat, serumda PTH düzeylerinin saptanması, bir başka çalışmanın konusunu oluşturacak olan; taşların X ışını difraksiyon yöntemi<sup>20</sup> ile analizi gibi birçok araştırmayı yapılması üriner sistem taşı hastalığının değerlendirilmesinde bir kısmı ülkemizde ilk kez yapılan bu araştırmaları rutin incelemeler arasına katmıştır. Böylece üriner sistem taşı hastalığının tekrarlama eğiliminin önlenebilmesi ve genelde tedavisinin planlanması mümkün olacaktır.

## KAYNAKLAR

- Norlin, A., Lindell, B., Granberg, O.: Urolithiasis: A study of it's frequency. *Scand. J. Urol-Nephrol.* **10:** 150, 1976.
- Blacklock, N. J.: Epidemiology of Urolithiasis, in *Scientific Foundations of Urology*. 1<sup>st</sup> ed. Ed: Williams, D. I., Chisholm G. D., William Heineman Medical Books Ltd. Philadelphia, London, Toronto, 1976, p. 235.
- Finlayson, B.: Urolithiasis, a review in *Symposium on Renal Lithiasis*. *Urol. Clin. of North Am.* **1:** 181, 1974.
- Bakkaloğlu, M.: Okzalat emilimini etkileyen faktörler ve diyetsel hiperokzalürinin tedavisi. *Doçentlik Tezi*, 1978, Ankara.
- Darch, G. W.: Urinary Lithiasis, in *Campbell's Urology*. 4<sup>th</sup> ed. Ed: Harrison, J. H., Gittes, F. R., Perlmutter, D. A., Stamey, A. T., Walsh, P. C., W. B. Saunders Co. Philadelphia, London, Toronto, 1978, p. 779.
- Frank H., Netter.: *Urinary Tract Calculi in the Ciba Collection of Medical Illustrations*. Vol: 1, 1965, p. 200.
- Remzi, D., Çakmak, F., Erkan, İ.: A study on the urolithiasis incidence in Turkish School age children. *Epidemiologie de al Lithiase Urinaire. XVIIIe Congrès de la Société Internationale Urologie*. 1979, Paris. p. 57.
- Willard, R. F. and King, J. W.: Determination of Creatinin, uric acide in serum and urine. in *Fundamentals of Clinical Chemistry*, Ed: Tietz, N. Saunders Co. Philadelphia, London, Toronto, 1976, p. 994.
- Fiske, C. H. and Subbarow, Y.: Determination of inorganic phosphate in serum and urine. *J. Biol. Chem.* **66:** 375, 1925.
- Analytical methods for atomic absorbiton spectrometry. Manuel, Supplied by Perkins-Elmer, Norwalk. CN. 1971.
- Hallson, P. C. and Rose, G. A.: A simplified and rapid enzymatic method for determination of urinary oxalate. *Clin. Chim. Acta*. **55:** 29, 1974.
- Yasavul, Ü., Turgan, Ç., Çağlar, Ş.: Parathormon düzeylerinin radioimmünassay yöntem ile ölçümü ve klinik uygulama yararları. *Hacettepe Tıp/Cerrahi Bülteni*. **10:** 202, 1977.
- Kutsal, A., Muluk, F. Z.: Ölçü ile belirtilen populasyonlarda gruplar arası farkın önemi. *Uygulamalı Temel İstatistik*. Hacettepe Üniversitesi Yayınları. 1972. s. 126.
- Smith, L. H., Van Der Berg, C. J., Wilson, D. M.: Nutrition and Urolithiasis. *N. Eng. J. Med.* **298:** 87, 1978.
- Chute, R.: Urinary Stone. It's nature and treatment. *Med. Clin. N. Am.* **42:** 1427, 1958.
- Revusova, V., Zavara, A., Gratzlova, J.: Urinary oxalate excretion in urolithiasis. *Urol. İnt.* **26:** 277, 1971.
- Williams, R. H.: Differential diagnosis of renal calculi and nephrolithiasis in *Text Book of Endocrinology*. Fifth ed. W. B. Sounders Co. 1974, p. 685.
- Arthur, H., Weuehrmann, D., Lincoln, R., Manson-Hing, D. M.: Dental Radiology. 3<sup>rd</sup> ed. The C. V. Mosby Co. Saint Luis, 1973, p. 222.
- Johanson, G., Backman, U.: Magnesium metabolism in renal stone disease. *Inves. Urol.* **18:** 93, 1980.
- Sutor, D. J.: Crystallographic Analysis of Urinary Calculi in *Scientific Foundations of Urology*. 1<sup>st</sup> ed. Ed: Williams, D. I., Chisholm, G. D., William Heinemann Medical Books Ltd. Philadelphia, London, Toronto. 1976, p. 244.

# Malign Trofoblastik Hastalıklar\*

(50 Olgunun Klinik Olarak İncelenmesi)

**Dr. Ali Ayhan\*\* / Dr. Tekin Durukan\*\* / Dr. Sinan Özalp\*\*\***

**P**lasenta veya her iki cinsteki gonadın germ hücreleri hatta nadiren de hipofiz, mediastinum ve retroperitoneal ektopik primordial hücrelerden gelişen tümörlerdir.<sup>13</sup>

Hastalık Hipokrat'tan beri bilinen epitelyal kökenli bir tümördür.<sup>8,13</sup> Normal gebelik, düşük, mol hidatitiform ve dış gebeliği takip etmektedir.<sup>8, 13, 19</sup>

Nedenler arasında beslenme, sosyo-ekonomik düzey, yaşı, gebelik sayısı, kan grupları ve genetik yapı sayılabilirse de kesin neden belli değildir.

Sıklık yönünden coğrafi bir dağılım dikkati çekmekte olup, özellikle batı ülkelerinde doğu ve uzakdoğuya göre daha seyrek görülmektedir.

Trofoblastik hastalıklar morfolojik ve enternasyonal sınıflandırımlara tabi tutulmuşlardır. Habis trofoblastik hastalıklar invaziv mol ve koriokarsinomu içermektedir.

Normal koşullarda insan plasantasyasından salınan hCG'in (human Chorionic Gonadotropin) bu tümörlerde daha yüksek seviyelere çıktıığı, tanı, tedavi ve takipte önemli rolü olduğu bilinmektedir.<sup>18</sup>

1956'da kemoterapinin bu sahaya girişi jinekolojik malign tümörlerde yepyeni bir çığır açmış, trofoblastik hastalıklarda kür sağlanmasına neden olmuştur.<sup>19</sup>

Bu konularla ilgili çeşitli araştırmalar yapılmıştır. Memleketimizde habis trofoblastik hastalıklarla ilgili araştırmaların sınırlı olduğu bir

\* Hacettepe Üniversitesi Tıp Fakültesi Kadın Hastalıkları ve Doğum Bölümü Çalışmalarından.

\*\* Hacettepe Üniversitesi Tıp Fakültesi Kadın Hastalıkları ve Doğum Bölümü Öğretim Üyesi.

\*\*\* Aynı Fakülte Kadın Hastalıkları ve Doğum Bölümü Öğretim Görevlisi.

gerçektir. Bu gerçekten hareket ederek kliniğimizde görülen, trofoblastik hastalıkları içeren bir araştırma planlanıp uygulandı.

### *Materyal ve Metot*

Bu çalışma 1967-1981 Eylül ayı sonuna dek Hacettepe Tip Fakültesi Kadın Hastalıkları ve Doğum Bölümünde yürütüldü. 50 malign trofoblastik hastalık olgusu araştırmanın materyalini oluşturdu.

Bu araştırma ameliyat defterine kayıtlı protokole göre dosya, özel formlar, patolojik biyopsi numaralarına göre de patoloji arşivini inceleyerek kısmen retrospektif kısmen de prospектив olarak yürütüldü.\* Olguların demografik özellikleri, tedavi ve прогнозu etkileyen faktörler üzerinde duruldu.

### *Bulgular*

Bu süre içinde toplam 150 trofoblastik olgu saptandı. Bunların % 33'ü habis trofoblastik hastalıktı (Invaziv mol ve koriokarsinoma) (Tablo I).

**TABLO I**  
**TROFOBLASTİK HASTALIKLARIN KÖKENLERİNE GÖRE SINIFLANDIRILMASI**

Trofoblastik Hastalık	Olu Sayısı
Nongestasyonel	1
Gestasyonel	149
a) Mol 100	
b) Invaziv Mol 10	
c) Koriokarsinom 39	
Toplam	150

Ortalama yaşı koriokarsinom için 29.75 ± 1.32, invaziv mol için de 33.50 ± 2.77 olarak bulundu (Tablo II).

**TABLO II**  
**OLGULARIN YAŞ DAĞILIMI**

Yaş	Koriokarsinom		Invaziv Mol	
	Olu	Yüzde	Olu	Yüzde
19 ve altı	4	10.0	—	—
20-29	18	45.0	4	40.0
30-39	12	30.0	3	30.0
40 ve üzeri	6	15.0	3	30.0
Toplam	40	100.0	10	100.0

\* Histolojik değerlendirme Hacettepe Üniversitesi Patoloji Bölümü tarafından yapılmıştır.

Ortalama gebelik sayısı koriokarsinom için  $3.61 \pm 0.36$ , invaziv mol için de  $4.55 \pm 0.94$  olarak saptandı (Tablo III).

TABLO III  
GEBELİK SAYISI

Gebelik Sayısı	Koriokarsinom		Invaziv Mol	
	Olgı	Yüzde	Olgı	Yüzde
0-1	8	20.0*	3	30.0
2-3	13	32.5	—	—
4-5	10	25.0	2	20.0
6 ve üzeri	9	22.5	5	50.0
Toplam	40	100.0	10	100.0

\* Bir olgu bekar ve nongestasyonel idi.

Ortalama doğum sayısı koriokarsinomada  $2.83 \pm 0.34$  ve invaziv molde  $3.20 \pm 0.82$  olarak gözlendi (Tablo IV).

TABLO IV  
DOĞUM SAYISI DAĞILIMI

Doğum Sayısı	Koriokarsinom		Invaziv Mol	
	Olgı	Yüzde	Olgı	Yüzde
0	9	22.5	2	20.0
1-2	9	22.5	3	30.0
3-4	13	32.5	1	10.0
5 ve üzeri	9	22.5	4	40.0
Toplam	40	100.0	10	100.0

Koriokarsinomlu olguların % 60'ının bir veya üzerinde düşük yaptığı saptandı. Invaziv molde ise olguların % 70'inin bir veya üzerinde düşük yaptığı gözlendi.

Koriokarsinomlu olguların % 37.5'inin ve invaziv mollerin de % 20'sinin termde gebeliği izlediği görüldü (Tablo V).

TABLO V  
GÖZLENEN ÖNCÜ LEZYONLAR

Gözlenen Öncü Lezyon	Koriokarsinom		Invaziv Mol	
	Olgı	Yüzde	Olgı	Yüzde
Düşük	11	27.5	4	40.0
Mol	11	27.5	4	40.0
Term Gebelik	15	37.5	2	20.0
Diş Gebelik	2	5.0	—	—
Nongestasyonel	1	2.5	—	—
Toplam	40	100.0	10	100.0

Tüm kriokarsinom olgularının % 87.5 (35/40)'inde ve invaziv mollerlerin hepsinde vaginal kanama vardı (Tablo VI).

TABLO VI  
GÖRÜLEN SEMPTOMLAR

Semptom	Kriokarsinom		Invaziv Olgu	Mol Yüzde
	Olgu	Yüzde		
Sadece vaginal kanama	19	47.5	4	40.0
Vaginal kanama+GEPH	9	22.5	3	30.0
Vag. kanama+Hemoptizi	4	10.0	—	—
Vaginal kanama+Kitle*	2	5.0	—	—
Akut Karın	—	—	2	20.0
Vag. kanama+Kitle+Kasık, bel ağrısı.	2	5.0	1	10.0
Baş Ağrısı+Aşikar Nörolojik Defisit	4	10.0	—	—
Toplam	40	100.0	10	100.0

\* Bir olguda sadece batında kitle vardı.

Tüm olgularda tanısal amaçlı h.C.G. ölçümleri yapıldı. % 15 (6/40) kriokarsinom olgusunda sonuç negatifti (Tablo VII).

TABLO VII  
h.C.G. ÖLÇÜM SONUÇLARI

h.C.G.	Kriokarsinom		Invaziv Olgu	Mol Yüzde
	Olgu	Yüzde		
Negatif	6	15.0	—	—
Normal (+)	16	40.0	5	50.0
1/50 dilüsyonda (+)	10	25.0	1	10.0
1/100 ve üzeri dilüsyonda (+)	8	20.0	4	40.0
Toplam	40	100.0	10	100.0

Kriokarsinomluların % 50 (20/40)'sında ve invaziv mollülerin de sadece % 20 (2/10)'sında tanı kürtaj materyalinin histolojik incelenimi ile kondu (Tablo VIII).

Kriokarsinomlu olguların % 35'i (14/40) nonmetastatiktı (Tablo IX).

Tüm olguların % 57.5'inde (23/40) akciğer metastazı vardı. Bu rakam metastatikler için % 88.5 idi.

**TABLO VIII**  
**TANI YÖNTEMLERİ**

Yöntem	Keriokarsinom Olgı	Yüzde	İnvaziv Mol Olgı	Yüzde
D+C	20	50.0	2	20.0
Vagen+Serviks biyopsisi	7	17.5	—	—
TAH+BSO materyeli	5	12.5	8	80.0
Laparotomi+Biyopsi	4	10.0	—	—
Kraniotomi	2	5.0	—	—
Spontan düşen parça	1	2.5	—	—
Otopsi	1	2.5	—	—
<b>Toplam</b>	<b>40</b>	<b>100.0</b>	<b>10</b>	<b>100.0</b>

**TABLO IX**  
**METASTAZLARIN DAĞILIMI**

Metastaz Bölgesi	Olgı Sayısı	%
Metastaz yok	14	35.0
Sadece akciğer metastazı	8	20.0
Akciğer+Vagen+Serviks metastazı	6	15.0
Akciğer+Beyin metastazı	4	10.0
Akciğer+Karaciğer metastazı	2	5.0
Akciğer+Pelvis metastazı	2	5.0
Akciğer+Böbrek metastazı	1	2.5
Sadece serviks metastazı	2	5.0
Pelvis+Batin metastazı	1	2.5
<b>Toplam</b>	<b>40</b>	<b>100.0</b>

Kliniğimizde trofoblastik hastalıklarda yegane seçilecek tedavi şıklı kemoterapidir.\* Ancak nonmetastatik yaşlı, doğurganlığını tamamlayan, kanaması olan ve özellikle nonmetastatik olup, kemoterapiye cevap alınamayan durumlarda cerrahi girişim uygulanmaktadır (Tablo X).

\* Nonmetastatiklerde tek ajan kemoterapi (methotrexate veya Actinomycin-D) kullanıldı. Metastatik olup iyi прогнозlu grupta methotrexate+Actinomycin-D alterne olarak uygulandı.

Metastatik olup kötü прогнозlu grupta MAC veya MBP uygulanmaktadır. Her üç durumda da remisyonu takiben bir kür daha kemoterapi verilmektedir.

TABLO X  
UYGULANAN CERRAHİ GİRİŞİMLER

Cerrahi Girişim	Koriokarsinom		İnvaziv Mol	
	Olgı	Yüzde	Olgı	Yüzde
TAH+BSO*	20	50.0	8	80.0
D+C ve Biyopsi**	18	45.0	2	20.0
Diğer***	2	5.0	-	-
<b>Toplam</b>	<b>40</b>	<b>100.0</b>	<b>10</b>	<b>100.0</b>

\* 4 olgu sadece TAH

\*\* 2 olgu kraniotomi, 1 olgu otopsi

\*\*\* 1 olgu USO karşı overe Wedge+Omentektomi+Periaortik lenf nodu biyopsisi,  
1 olgu BSO+Karaciğerden tümör çıkarılması+Arteria Hepatica Komminis ligasyonu.

İnvaziv molde genç hastalarda over kısmen çıkarıldı. Uterus koriokarsinomlu olguların % 25'inde (10/40) normalden büyük, % 7.5'inde (3/40) rüptüre idi.

Teka Lutein kisti %32,5 (13/40) olguda saptandı. İnvaziv mollülerin hepsinde uterus normalden büyütüldü. İnvaziv molde % 20 (2/10) olguda uterus rüptürü ve % 20 (2/10) olguda da teka lutein kisti vardı.

Koriokarsinom olgularının nonmetastatik olanlarında % 100 remisyon elde edildi. Uzun vadeli sorun ele alındığında 2,5 ay ile 8 yıllık izlemede sadece bir olguda h.C.G. titresi 1/50 dilüsyonda müspet olmuş ve gerekli yaklaşım uygulanmıştır.

Akciğer metastazı olanlarda remisyon % 62,5 (5/8) olguda gözlemlendi. Remisyon saptanmayan 3 olgu ilk 6 ayda kaybedildi. Diğerleri 3 ila 6 yıldır yaşamaktadır. Akciğer, vagen, serviks metastazı olan 6 olgunun % 50'sinde (3/6) remisyon elde edildi. Diğerleri ilk üç ayda kaybedildi. 2 olgu da 6 yıldır yaşamaktadır.

Akciğer+Beyin, Akciğer+Karaciğer, Akciğer+Böbrek metastazı olan 7 olgunun hepsi ilk üç ayda kaybedildiler.

Akciğer+Pelvis+Batın metastazı olan 2 olgudan biri ilk 3,5 ayda kaybedildi, diğeri ise 2 yıldır yaşamaktadır.

Sadece serviks metastazı olan 2 olguda remisyon elde edildi ve 2'si de 4'er yıl yaşadı. Ancak bunlardan biri 4 yıl sonra dış eti kanaması ile kaybedildi. Sadece pelvis metastazı olan olgu da 11 ay sonunda kaybedildi.

İnvaziv molde remisyon % 90 olarak elde edildi. 6 ay ila 8 yıl arasında remisyon elde edilemeyen 1 olgu kaybedildi.

Koriokarsinomada h.C.G. titresi yüksek olanlar, karaciğer, beyin, böbrek metastazı olanlar, semptom süresi 4 ayın üzerinde olanlar, term gebeliği izleyenlerde прогнозun kötü olduğu saptandı. Nonmetastatik olgulardan ikisi gebe kaldı, biri normal doğum yaptı, diğerinin halen gebelik takibindedir.

### *Tartışma*

Habis trofoblastik hastalıklardan invaziv mol 15.000 ve koriokarsinom da 40.000 gebelikte bir görülür.<sup>19</sup> Bu çalışmada invaziv mol 3083 ve koriokarsinoma da 770 doğumda bir saptandı.

Yaşa hastalık arasındaki ilişki ile ilgili yayınlar farklıdır. Genellikle 19 yaş ve altında, 35 yaş ve üzerinde daha sık görüldüğü ve özellikle 40 yaş üzerinde malignleşmenin % 36.6 olduğu bildirilmiştir.<sup>3, 16, 17, 20</sup> Bu çalışmada % 10 olgunun 20 yaş ve altında, çoğunluğun da 20-39 yaşlar arasında olduğu gözlendi.

Gebelik ve doğum sayısının doğrudan olmasa da dolaylı olarak hastalığın gelişmesinde etken olabileceği ileri sürülmüştür.<sup>1, 3, 17, 20</sup> Sunulan seride koriokarsinomlarda % 77.5, invaziv molde de % 80 olgunun 1 veya daha çok doğum yaptığı saptandı.

Kan grubu ile trofoblastik hastalıklar arasında neden ve прогноз yönünden ilişki kuranlar yanında bu fikri desteklemeyenler de vardır.<sup>2, 12, 17, 21</sup> Çalışmamızda kan grupları yönünden normal popülasyonla karşılaştırıldığında istatistiksel bir fark gözlenmedi.

En sık görülen semptom vaginal kanama olup, sırasıyla metastazlara bağlı semptomlar dikkati çekmektedir.<sup>3, 9, 14, 22</sup> Bu çalışmada da en sık gözlenen semptom vaginal kanama idi.

Teka Lutein kistleri % 4-50 arasında trofoblastik hastalığa eşlik etmektedir.<sup>14, 15, 23</sup> Bu çalışmada koriokarsinomlu olguların % 32.5 (13/40) ve invaziv mollerin % 20'sinde (2/10) teka lutein kisti saptandı.

Koriokarsinom % 33-50 mol, % 33-40 düşük ve % 20-33 normal gebeliği izlemektedir.<sup>7, 13</sup> Dış gebelikten sonra da ortaya çıkabilemektedir.<sup>10</sup> Bir başka araştırmada % 50 mol, % 25 term gebelik ve % 25 de düşük ve dış gebeliği izlediği bildirilmiştir.<sup>19</sup> Sunulan bu seride term gebelik ilk sırayı almaktadır. (Tablo V).

Koriokarsinomlarda gebelik testi % 8-60 arasında negatif olabilir.<sup>3</sup> Bizde bu durum % 15 (6/40) olarak bulundu. Invaziv molde tüm olgularda gebelik testi pozitifti.

Koriokarsinom en sık akciğer metastazı (% 55-96) yapar.<sup>2, 22</sup> Bunu vagen, beyin, karaciğer ve pelvis metastazları izler.<sup>22</sup>

Invaziv molde kemoterapi ile % 63-100 remisyon elde edilmektedir.<sup>3, 4, 9</sup> Sunulan seride bu rakam % 90 olarak bulundu. Koriokarsinomda remisyonun % 52-100 arasında değiştiği bildirilmiştir.<sup>4, 19, 20</sup> Metastazlı olanlarda remisyon oranı % 33-77 iken nonmetastatiklerde bu rakamın % 56-100 olduğu saptanmıştır.<sup>4, 8, 12</sup> Bu çalışmalarda koriokarsinomada % 62,5-100 oranında remisyon elde edildi.

Trofoblastik hastalıklarda kemoterapi sonrası gebelik % 3-55 arasında değişen oranlarda görülmektedir.<sup>4, 8</sup> Bu çalışmada koriokarsinomlu olgularda % 5 (2/40) ve invaziv molü olanlarda da % 10 (1/10) gebelik gelişti. 2 olgu normal doğum yaptı, 1 olgu ise gebelik takibindedir.

### Özet

50 Malign trofoblastik hastalık olgusu yaş, gebelik sayısı, doğum sayısı, semptomlar, metastaz durumu, uygulanan tedavi ve tedavi sonuçları yönünden değerlendirilmiştir.

### KAYNAKLAR

1. Bagshawe, K. D.: Gestational trophoblastic neoplasia. Clin. Obstet. Gynec., 17: 259, 1974.
2. Bagshawe, K. D.: Immunological aspects of trophoblastic neoplasia. Br. J. Cancer 28: Supp 1 250, 1973.
3. Backer, R. L., Avioli L. V.: Gestational trophoblastic disease. Arch. Intern. Med. 137: 221, 1977.
4. Brewer, J. J. et al.: Chemotherapy in Trophoblastic disease. Am. J. Obstet. Gynecol. 90: 566, 1964.
5. Deligdisch, L. et al.: Gestational Trophoblastic Neoplasma: Morphological correlates of therapeutic response. Am. J. Obst. and Gynecol. 130: 801, 1978.
6. Fleischer, A. C. et al.: Sonographic patterns in trophoblastic diseases. Radiology, 126: 215, 1978.
7. Gore, H.: Trophoblastic disease. Ala. J. Med. Sci. 9: 289, 1972.
8. Hammond, C. B., Parker, R. T.: Diagnosis and treatment of trophoblastic disease. Obstet. Gynec. 35: 132, 1970.
9. Hertz, R. et al.: Five years' experience with the chemotherapy of metastatic choriocarcinoma and related trophoblastic tumors in women. Am. J. Obstet. Gynec. 82: 631, 1961.
10. Jackson, R. L.: Pure malignancy of the Trophoblast following primary abdominal pregnancy. Am. J. Obstet. Gynecol. 79: 1085, 1960.
11. Jeguier, A. M., Winterton, W. R.: Diagnostic problems of trophoblastic disease in women aged 50 or more. Obstet. Gynecol. 42: 378, 1973.

12. Lawler, S. D. et al.: The HL-A system in trophoblastic neoplasia. *Lancet* **2**: 834, 1971.
13. Li, M. C.: Trophoblastic disease. Natural history, diagnosis and treatment. *Ann. Intern. Med.* **74**: 102, 1971.
14. Novak, E. R., Jones, G. A. S., Jones, H. W.: *Novak's Textbook of Gynecology*, The Williams + Wilkins Company, ninth edition, Baltimore, U.S.A. 1975, p. 587.
15. Odell, W. D., et al.: Endocrine aspects of trophoblastic neoplasms. *Clin. Obstet. Gynec.* **10**: 290, 1967.
16. Schifter, M. A., Pomerance, W., Mackles, A.: Hydatidiform mole in relation to malignant disease of the trophoblast. *Am. J. Obst. and Gynec.* **80**: 516, 1960.
17. Scott, J. S.: Choriocarcinoma: Observations on the etiology. *Am. J. Obstet. Gynec.* **83**: 185, 1962.
18. Gartner, A., Larsson, L. L., Sjöberg, N. O.: Immunohistochemical demonstration of chorionic gonadotropin in trophoblastic tumors. *Actol. Obstet. Gynec. Scand.* **54**: 161, 1975.
19. Pitkin, Zlatnik: Yearbook of Obstet, and Gynecology H. R. Pub., 1980, p. 275.
20. Slocumb, J. C.: Incidence of trophoblastic disease: Increased rate in youngest age group. *Am. J. Obstet. Gynec.* **105**: 425, 1969.
21. Tomoda, Y. et al.: Immunologic studies in patients with trophoblastic neoplasia. *Am. J. Obstet. Gynec.* **126**: 661, 1976.
22. Yavuz, H., Tokatlı, N.: Malign trofoblastik hastalıklar. Ankara Üniversitesi Tip Fakültesi Mecmuası **25**: 918, 1973.
23. Yavuz, H., Tokatlı, N.: Benign trofoblastik hastalıklar Ankara Üniversitesi Tip Fakültesi Mecmuası **25**: 473, 1972.
24. Wei, P. Y. et al.: The use of Methotrexate in the treatment of trophoblastic diseases, especially choriocarcinoma. *Am. J. Obstet. Gynec.* **98**: 79, 1967.

# Dalak Anomalisi

Dr. Doğan Akşit\* / Dr. Tülin Aras\*\*

Dalak, midenin fundus'u ile diaphragma arasında arka kenarı epigastric bölgeye kadar uzanan abdomen'de sol hypochondrium da yer alan bir organdır.<sup>1</sup> Erişkinde 12 cm. boyunda 7 cm. eninde 3-4 cm. kalınlığında yaklaşık 150 gram ağırlığındadır. Embryon 8-10 mm. boyutlarında iken 6inci haftada dalak mesogastrium dorsale'de cranial uca yakın olarak coelom epitelinin kalınlaşması şeklinde belirir.<sup>2,3</sup> Çoğalan hücreler, alttaki mesenchyme girerek bu şekilde mesenchyme'nin yoğunlaşmasına sertleşmesine ve vaskülerize olmasını sağlarlar. Bu olay aynı bölgede birkaç komşu bölümde cerayan eder. Bu parçalar daha sonra bir-biri ile birleşerek lobüle dalağı meydana getirirler.<sup>4</sup> Erişkinde lobüle dalak görüntüsü kaybolmakta, fakat dalağın üst kenarı 1,2 çentik ile lobüle karakterini korumaktadır.

Kısmen coelom epitelinden kısmen de mesogastrium dorsale'deki mesenchym'den gelişen dalak; mide ve karın arka duvarına iki periton plikası ile tutunmuştur. Bu bağlar plical lienoo-renale ve plica gastro lienale'dir.

Bazan dalağın yakınılarında hilus'unda, plica gastrolienale'de, cauda pancreatis'de, arteria lienalis, arteria gastroepiploica sinistra, omentum majus, scrotum ve abdomen'in değişik yerlerinde kapsüllü ve kapsülsüz dalak dokusu bulunmaktadır. Bunlar accessoir dalak veya lienculus olarak ifade edilir.<sup>5-7</sup>

Accesuar (accessoir) dalak değişik sayıda görülmekte ve dalağa bir bağ ile tutunmaktadır. Yapısal özellikleri ve fonksiyon bakımından dalağa benzemekte ve 0,2-3 cm. çapında olabilmektedirler.

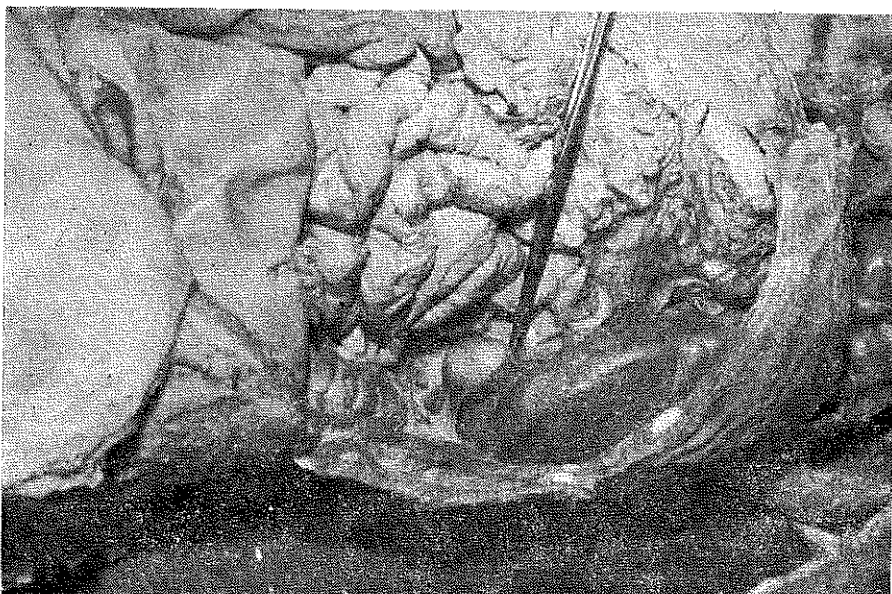
## Vaka Takdimi

Accesuar dalak tespit ettiğimiz vakanın birincisi, 13 yaşında M. G., erkek çocuğu, ikincisi 3 yaşında N. K., kız çocuğu kadavrası idi. Her iki vakada da dalak normal görünümdeydi.

\* Hacettepe Üniversitesi Tıp Fakültesi Anatomi Bölümü Öğretim Üyesi.

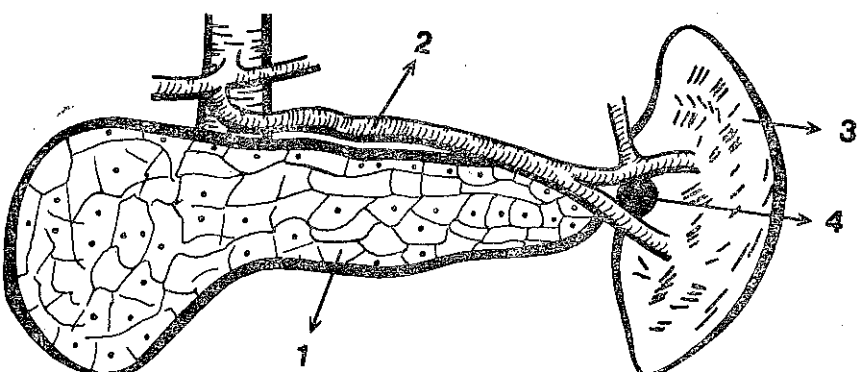
\*\* Aynı Fakülte Anatomi Bölümü Uzman Asistanı.

Birinci vakada flexura coli sinistra'nın önünde dalağın extramitas inferior'unun margo crenatus'a yakın tarafında 2x3 cm. boyutlarında, bir bağla dalağa bağlanmış accesuar dalak tespit edilmiştir (Şekil 1). Accesuar dalağın arteria gastroepiploica sinistra ve arteria lienalis'in dalları ile irtibatta olduğu görülmüştür. Aynı vakada İmpressio gastrica ile hilus lienalis arasında lienculus mevcuttu.



Şekil 1

İkinci vakada accesuar dalak cauda pancreatis üzerinde 0,5 cm. çapında olarak tespit edilmiştir (Şekil 2).



Şekil 2

(1) Pancreas, (2) Arteria Lienalis, (3) Lien, (4) Lienculus.

### *Tartışma*

Dalak organizmada fagositoz, sitopoezis, critrosit depo etme, immun cevap hazırlama gibi çeşitli ve önemli görevleri olmasına karşılık hayat için mutlak gerekli bir organ değildir. Çıkarıldığı takdirde dalağın görevleri reticulo endothelial sistem tarafından yüklenilmektedir.<sup>8</sup>

Dalağın yokluğu nadir bir durum olmasına rağmen accesuar dalağa sıkılıkla çeşitli bölgelerde rastlanmaktadır. Accesuar dalak hiçbir bulguya yol açmamakla beraber bazı vakalarda torison'a uğrayıp akut karına yol açmaktadır.<sup>9</sup> Araştırmacıların bir grubu accesuar dalağa rastlama oranının % 10 olduğunu belirtirler. Curtis ve arkadaşları<sup>10</sup> splenektomi yapılan vakalarda % 31,4 oranında accesuar dalağa rasladıklarını ifade etmektedirler. Bu araştırmalar splenektominin başarılı olması için lien-culus'ların temizlenmesi gerektiğini belirtmişlerdir.<sup>11</sup>

Splenektomi erken yaşta yapılrsa immun cevapta azalma ve enfeksiyonlara meyil artmaktadır. Erişkin dönemde yapılan splenektomiden sonra lökositoz meydana gelmektedir. Nötrofil, eozinofil lökositler artmaktadır. Bu tesir kısa bir süre sonra azalmaktadır.<sup>12</sup>

Dalak dokusunu etkileyen çeşitli hastalıklar (leukemia vs.) ektopik dalağı da etkilemektedir. Aynı şekilde trombocytopenic purpura da yapılan splenektomi ektopik dalağın varolması sebebi ile neticesiz olmaktadır.

Hacettepe Üniversitesi Tıp Fakültesi Nükleer Tıp Bölümü'nün yaptığı scintigram çalışmalarında çok az sayıda accesuar dalağa rastlanmış ve Hacettepe Tıp/Cerrahi Bülteni'nde bir vaka takdimi görülmüşdür.<sup>13</sup>

Sonuç olarak çeşitli hastalıklarda ve splenektomi vakalarında accesuar dalak daima dikkate alınmalıdır.

### *Özet*

İki accesuar dalak vakası takdim edilmiştir.

### *KAYNAKLAR*

1. Warwick, R., Williams, P.: Gray's Anatomy, ed. 35, Longmans, Green and Com. Ltd., London. 1973, p. 718.
2. Langman, J.: Medical Embryology, 3, Ed., 1975.
3. Francis, C.: Introduction to Human Anatomy. Mosby Co. 1964, p. 324.
4. Gardner, E. et al.: A Regional Study of Human Structure. Saunders Co. 1969, p. 423.

5. Hollinshead, H. W.: Anatomy for Surgeons, Volume 2., ed. 2 Hoeber Harper 1971, pp. 440-445.
6. Halper, B. and Györkey, F.: Accessory spleen in the tail of the pancreas, A. M. A. Arc., **64**: 226, 1957.
7. Mendez, R and Morrow, J. W.: Ectopic spleen simulating testicular tumor. J. Urol., **102**: 598, 1969.
8. Breitfeld, V., and Robert, E.L.: Pathology of the spleen in hematologic disease., Surg. Clin. North. Am., **55**: 233, 1975.
9. Halpert, B. and Eaton, W.L.: Accessory spleen, A pilot study of 600 necropsies., Anat. Rec., **109**: 371, 1951.
10. Curtis, G. M. and Movitz, D.: Surgical significance of the accessory spleen., Ann. Surg., **123**: 27, 1946.
11. Brook, H. D.: Surgery of the spleen., Surg. Clin. Nort. Am., **55**: 233, 1975.
12. Layman, et al.: Asplenic syndrome in Association with Rudimentary spleen. American J. of Card., **20**: 136, 1967.
13. Sancak, B.: Lienculus, Hacettepe Tip/Cerrahi Bülteni, **9**: 456, 1976.

# Açık Kalp Cerrahisinde Myokard Korunması

**Dr. Argun Saylam\* / Dr. Yaman Zorlutuna\*\* /**

**Dr. Metin Demircin\*\*\* / Dr. Kaya Süzer\*\*\* /**

**Dr. Aydın Aytaç\*\*\*\***

**A**çık kalp ameliyatlarında gerekli girişimin yapılabilmesi için ameliyat sırasında kalbin durdurulması ve devre dışı bırakılan kalp kasının girişim süresi boyunca yapısal ve fonksiyonel olarak korunması kalp cerrahi için önemli bir noktadır. Myokard iyi bir şekilde korunamazsa, zaten normale oranla düşük bir güçle ekstrakorporeal dolaşımı giren hastalıkli kalbin kası intra-ve postoperatif devrede düşük kalp debisi ve kardiyojenik şok gibi komplikasyonlar gösterip, inotropik ilaçlara ve intra-aortik balon pompa gibi aygılı destek tedavilerine gereksinme gösterebilir.<sup>1-4</sup>

“Bir hasta ameliyathaneye inotropik ilaç ve intra-aortik balon pompa desteği ile getirilmemiş ise ve bu hastaya kapak replasmanı veya myokard revaskülarizasyonu gibi bir açık kalp ameliyatı uygulanmışsa, bu hastanın devamlı baktırma herhangi bir inotropik ilaç veya intra-aortik balon pompa desteği altında olmaksızın dönmesi gereklidir. Hasta bu durumda olmayıp adı geçen destek tedavilerine gereksinme gösteriyorsa, ameliyat sırasında hastaya yapılan yardımından çok uygulanan cerrahi teknik ile hastanın myokardına zarar verilmiş demektir<sup>5</sup>. Maloney ve Nelson<sup>3</sup> tarafından bildirildiğine göre Dr. Buckberg tarafından söylenen bu cümleler myokard korunmasının önemini kısa ve öz olarak vurgulamaktadırlar.

Vücutun birçok dokularında kendilerini onarmak için büyük bir yedek güç ve yetenek vardır. Fakat kalp kası hücreleri doğum olayından

\* Hacettepe Üniversitesi Tıp Fakültesi, Pediatric Göğüs ve Kalp-Damar Cerrahisi Bölümü Öğretim Görevlisi.

\*\* Aynı Fakülte, Pediatric Göğüs ve Kalp-Damar Cerrahisi Bölümü Asistanı.

\*\*\* Aynı Fakülte, Erişkin Göğüs ve Kalp-Damar Cerrahisi Bölümü Asistanı.

\*\*\*\* Aynı Fakülte, Pediatric Göğüs ve Kalp-Damar Cerrahisi Bölümü Öğretim Üyesi.

sonra artık çoğalarak ölen myokard hücrelerinin yerlerini dolduramazlar ve dolayısı ile bu ölen hücrelerin yitirilmiş fonksiyonlarını sağlam kalan diğer hücre gruplarının üstlenmesi gerekir.<sup>5</sup> Bundan dolayı kalp kası hücreleri zedelenmeye karşı dikkatli bir şekilde korunmalıdır.<sup>5</sup>

Yazımızda açık kalp cerrahisinde myokard korunması konusu, bir kalp cerrahının görüş açısından işlenecektir.

### Açık Kalp Cerrahisinde Myokard Zedelenmesi

Açık kalp cerrahisi uygulanan olgularda myokard zedelenmesi genellikle aorta klempi konularak yaratılan iskemik (anoksik) arrest sırasında oluşmaktadır.<sup>6, 7</sup> Anoksik arrest sonucu en fazla iskemik zedelenme gösteren bölge iletim sistemi liflerinden de zengin olan subendokardiyal alandır.<sup>8</sup> Aortaya klemp konulduğu zaman oluşan anoksik arrest sırasında myokardin enerji gerekliminin yeterince sağlanamaması kalp kasının zedelenmesine yol açan temel nedendir.<sup>6</sup> Myokardin bu devrede zedelenmesi karmaşık bir biyolojik durum olup; biyokimyasal, farmakolojik ve patolojik değişiklikleri içerir.<sup>9</sup> Bu değişikliklerin incelenmesinde elektron mikroskopu ile yapılan çalışmalar ve hücre seviyesindeki enzim çalışmaları büyük katkılarda bulunmuşlardır.<sup>7, 8, 10, 11</sup> İskemi sırasında en önemli zedelenmeler hücre mitokondrilerinde olmakta ve anoksik zedelenmenin ağırlığı myokardin preoperatif yapısı, ameliyat sırasında myokardin korunma yöntemi ve anoksik arrestin süresi ile ilgili bulunmaktadır. Morfolojik değerlendirmelerde myokardin elektron-mikroskopik incelenmesi büyük önem taşımaktadır.<sup>7</sup> Anoksik arrest altındaki myokardtan yapılan biyopsilerde elektron mikroskop ile (a) mitokondrilerde dejenerasyon, (b) glikojenoliz, (c) hidropik şişme, (d) sarkoplasmik retikulumda dilatasyon ve (e) çekirdekte kromatinin aşırı marjinasyonu gibi bulgular elde edilmektedir.<sup>7</sup> Bütün çalışmalara rağmen hangi myokardin hangi sisde iskemik arreste reversibl (geriye dönülebilen) bir biçimde ne kadar dayanabileceğini kesin olarak sapmak olanaksızdır.<sup>7</sup> Hipertrofik myokard normal myokarda oranla iskemi ve fibrilasyona çok daha az dirençlidir.<sup>12</sup> Cooley ve arkadaşları<sup>13</sup> ameliyat sırasında iyi korunamayan sol ventrikül hipertrofisi olan olgularda ve bazen de sağ ventrikül hipertrofisi olan doğumsal kalp hastalıklarında<sup>14</sup> izlenebilen iskemik bir myokardiyal sertlik (taş kalp "stone heart") tablosu tanımlanmıştır. Koroner arter hastalığı olan kalplerde de iyi bir myokard korunması sağlanamazsa özellikle tıkalı olan koroner arterlerin distalinde kalan alanlarda peroperatif myokard infarktüsü gelişmektedir. Dünyada ve ülkemizde bugüne kadar normal, hipertrofik ve koroner arter hastalığı gösteren kalplerde deneysel ve klinik olarak myokard korunması ile ilgili birçok çalışmalar yapılmıştır.<sup>7, 12, 15-20</sup>

### **Myokard Metabolizması**

Kas kasılmasında ana enerji kaynağı adenozin trifosfat (ATP)dır.<sup>21-23</sup> Bir kas proteini olan myozinin kendisi ATP'yi katalize edip adenozin difosfat (ADP) şecline dönüştürür ve bu arada yüksek bir enerji açığa çıkar. Bu reaksiyonlar kalsiyum iyonları ile aktive, magnезyum iyonları ile de inhibe olurlar.<sup>21-23</sup>

Kardiyak metabolizma deneysel olarak çeşitli kalp ve kalp-akciğer preparatları üzerinde çalışılabilir.<sup>24-26</sup> Açık kalp ameliyatı yapılan hastalarda da intraoperatif çalışmalar yapılmıştır.<sup>15</sup> Kardiyak cerrahi açısından myokard metabolizması değişik araştırmalarda ayrıntılı olarak incelenmiştir.<sup>15-17,25</sup>

Normal olarak beslenen bir myokard aerobik metabolizma ile çalışır ve metabolize olan her molekül glükozdan Krebs çemberi yolu ile 36 molekül ATP oluşur. Buna karşın anoksik kardiyak arrest sırasında ise aerobik metabolizma yerini Embden-Meyerhof glükolitik yolu ile çalışan anaerobik metabolizmaya terkeder ve kalp kasındaki her molekül glükozdan yalnızca 2-4 molekül ATP yapılabilir.<sup>6, 8, 11, 27</sup> Anaerobik metabolizmada ATP gibi yüksek enerji fosfatlarında ve glükojende azalma, laktat yapımında ise artma izlenir.<sup>11</sup> Deneysel çalışmalarla göre kalp kasının ATP kapsamının normale oranla % 65 den fazla azalması kalp kasında dönüşü olmayan (irreversibl) zedelenmeler yapmaktadır.<sup>28</sup> İnsanlardaki izlenimlerden myokartdaki ATP kapsamının % 30 oranında azalmanın herhangi bir myokard zedelenmesine yol açmadığı anlaşılmıştır.<sup>29</sup> Anaerobik metabolizma ile enerji oluşumu aerobik metabolizmaya oranla oldukça düşükse de, aorta klempi ile iskemik kardiyak arrest uygulandığında çalışmayan kalp kası yaşamını anaerobik koşullarda uzun süre koruyabilir.<sup>30</sup> Bu sürenin kısalmasında aşağıda sayılan faktörlerin devreye girmesi sorumludur:<sup>6, 8</sup> (a) Yetersiz myokardiyal glükoz ve glukojen, (b) myokardiyal laktat biriminin artışı, (c) myokardiyal PCO<sub>2</sub> artışı, (d) myokardiyal asidoz, (e) endojen myokardiyal katekolaminlerin açığa çıkması, (f) intramyokardiyal elektrolit dengesizliği ve (g) myokardiyal enzimlerin metabolik inhibisyonu.

### **Myokard Korunması İçin Kullanılan Yöntemler**

Açık kalp cerrahisi sırasında kalbin durdurulması ve myokardin korunması için bugüne kadar değişik yöntemler uygulanmıştır.

Açık kalp cerrahisinin özellikle ilk yıllarda myokardin korunması için ameliyat sırasında kalp kasının koroner sinyüsden düşük basınç altında (40-50 mmHg.) retrograd olarak perfüzyonu yöntemi deneysel ve klinik olarak uygulanmıştır.<sup>31-36</sup> Bu ilk uygulamalardan sonra bu yön-

tem uzun yıllar terkedilmiş ve yerini koroner ostiyumlardan koroner arterlerin perfüzyonu yöntemine bırakmıştır.<sup>37</sup> Retrograd koroner sinüs perfüzyonu yöntemi son yıllarda tekrar deneysel olarak ele alınmış ve özellikle koroner arterlerin tikali olduğu durumlarda soğuk kardiyoplejik solüsyonların myokard içinde dağılması açısından aorta kökünden anterograd perfüzyona oranla daha yeterli bir myokard içi dağılımı sağladığı gösterilmiştir.<sup>17, 18, 38-42</sup>

Açık kalp ameliyatları sırasında kalbin durdurulması ve myokardin korunması için sıkılıkla kullanılan yöntemler şu şekilde özetlenebilir: (1) Aorta klempi ile anoksik arrest, (2) Hipotermi, (3) Elektrik akımı ile ventriküler fibrilasyon, (4) Koroner arterlerin perfüzyonu ve (5) Potasyum ve magnezyum gibi farmakolojik maddelerle kalbin durdurulması (kardiyopleji). Bu yöntemler genellikle birkaçı birden aynı hastada uygulanmışlardır.<sup>6, 8, 9, 15, 16, 20, 43, 44</sup> Günümüzde en sık olarak uygulanan yöntemler aorta klempi ile anoksik arrest, hipotermi ve kardiyoplejik solüsyonların kullanılmasıdır.

Hipoterminin en önemli etkisi vücutun oksijen kullanımına olan gereksinmesini azaltmasıdır. 38°C da % 100 olan oksijen kullanımı 28° C da % 50 ye, 20° C da % 20 ye, 15° C da % 12 ye ve 6° C da % 3'e inmektedir.<sup>45</sup> Hipotermi ameliyat sırasında çeşitli şekillerde uygulanabilir.<sup>20, 45, 46</sup> Bunların başlıcaları vücutun dışarıdan buz ve soğuk battaniye ile yüzeyel olarak soğutulması veya hastaların buz banyosu içine batırılmaları gibi dıştan soğutma (eksternal soğutma) yöntemi; ve ekstraszporeal dolaşım sırasında dolaşan soğuk kanla vücutun içten (internal) soğutulması yöntemidir. Hipotermi 33-28°C arası olursa “hafif”, 28-20°C arası “orta” ve 20°C'ın altında ise “derin” olarak tanımlanır.<sup>46</sup> Derin hipotermi ile dolasının da durdurulması özellikle bebeklerde açık kalp cerrahisi için uygulanan bir yöntemdir.<sup>47</sup> Myokardin selektif olarak soğutulması için de soğuk kan veya solüsyonlarla koroner perfüzyon yapılması; intrakaviter olarak ve/veya perikard boşluğuna dökülen soğuk solüsyonlar ile topikal hipotermi yapılması (Shumway tekniği) gibi yöntemler kullanılmaktadır.<sup>20, 44, 48-52</sup> Sunamori ve arkadaşları<sup>53</sup> tarafından yapılan çalışmalara göre normotermik ve 30°C a kadar olan hipotermik koşullarda uygulanan anoksik arrest sırasında kalp kasında 30 dakikada özellikle subendokardiyal alandaki hücrelerde önemli patolojik değişiklikler olabilmekte, 25-22°C arasında ise 30-45 dakika sürelik anoksik arreste kalp kası iyi dayanmaktadır.

Son yıllarda üzerinde en çok durulan ve tartışılan konu soğuk kardiyoplejik solüsyonlarının kullanılması ile sağlanan myokard korunmasıdır. Klasik anoksik arrestte aorta klempesi edildikten sonra myokard arreste girene kadar bir süre daha çalışmaktır ve elektromekanik iş yap-

maktadır. Bu süre myokardiyal enerji depolarının harcanmasına ve intra-ve postoperatif myokard fonksiyon bozukluğuna yol açabilir. Bundan dolayı aorta klempi konulduktan hemen sonra aorta kökünden koroner arterler içine perfüze edilen soğuk kardiyoplejik solüsyonlarla kalbin çalışmasını en kısa zamanda durdurmak ve elektromekanik iş ve enerji kaybını önlemek önemli bir noktadır.<sup>6, 8, 54</sup>

Kardiyoplejik solüsyonların tarihçesi 1955 yılında Melrose ve arkadaşları<sup>55</sup> tarafından ortaya atılan yüksek dozda potasyum sitrat ve klorid ile kardiyopleji yapılması ile başlar. Bundan sonra 1958'de Lam ve arkadaşları<sup>56</sup> yüksek doz asetilkolin ile kardiyopleji yaptılar ve iletişim sisteminde blok oluşturarak kalbi durdurdular. Aynı yıllarda Seally ve arkadaşları<sup>57</sup> da potasyum, magnezyum ve neostigmin ile kardiyak arrest uyguladılar. Bu çalışmalarдан sonra uzun yıllar kardiyoplejik solüsyonlarla ilgilenilmedi ve son yıllarda tekrar Avrupa'da Bretschneider ve arkadaşları<sup>58</sup> Kirsch ve arkadaşları,<sup>59</sup> Hearse ve arkadaşları,<sup>60, 61</sup> Amerika Birleşik Devletlerinde de Gay ve Ebert<sup>62</sup> tarafından bu konunun üzerine eğilindi. Tyers ve arkadaşları<sup>63</sup> 1955 yılında ortaya atılan Melrose solüsyonu<sup>55</sup> üzerinde yaptıkları incelemelerde bu solüsyonun başarılı olamamasının nedeninin kapsamındaki maddelerde olmayıp, bu maddelerin yoğunluğunda olduğunu belirttiler. Bu gerçeğin açığa çıkması ile Melrose solüsyonu içinde bulunan potasyum'un günümüzde de geçerli olduğu anlaşıldı.<sup>6</sup>

Bayliss ve Maloney<sup>64</sup> yaptıkları araştırmalarda eksize edilen köpek kalplerinde hipotermik koşullarda kardiyoplejik solüsyonlarla 24 saat kadar kalp kasının korunabildiğini, ilginç olarak aynı soğuk solüsyonlarla in vivo deneylerde 2-3 saatlik bir süre için bile kalp kasının korunmadığını izlediler.<sup>6</sup> Bu gözlemlerden hareket ederek in vitro uzun süreli koruma yapılabildiği halde in vivo deneylerde bu sürenin kısalması araştırıldı ve "ekstra-koroner (non-koroner) kolleteral akım" sorunu ortaya çıktı.<sup>6, 65, 66</sup>

"Ekstrakoroner kolleteral akım" bütün kalplerde olabilen, özellikle hipertrofik ve/veya koroner arter tikanıklıkları olan kalp kasında izlenen; koroner arter sistemi dışında kalp kasını besleyebilen bir kan akımıdır.<sup>6, 65-68</sup> Bu tip kanlanma pulmoner ve sistemik venlere bitişik perikard refleksiyonu ve büyük damarların vasa vasorum'ları yolu ile kalbe gelen bir kolleteral sistemdir.<sup>65</sup> Çeşitli araştırmacılar tarafından gösterildiğine göre bu kolleteral sisteminde internal mammalian arterin perikardiyoferik dalları; ve aortanın ön mediastinal, perikardiyal, bronşiyal, üst ve alt frenik, interkostal ve esophageal dalları rol oynamaktadır (Smith tarafından bildirildiğine göre).<sup>68</sup> Bu ekstrakardiyak anastomozlar çoğulukla pulmoner venlerin ağızları çevresinde bulunurlar.<sup>68</sup> Böylece aortaya klemp konduğu zaman oluşan anoksik kardiyak arrest sırasında da

bazı kalplerin beslenip çarpabildiği açıklanabilmektedir. Bu durumda özellikle atriyumların çarptığı dikkati çekmiş ve böylece bu kolleteral dolaşının büyük bir kısmının atriyumlara açıldığı klinik olarak da izlenmiştir.<sup>65</sup> Bu tip kolleteral dolaşım koroner arter hastlığında kalp kasını besleyen yardımcı bir kaynak da olabilmektedir.<sup>66</sup> Anoksik arrest süresi ile myokardiyal zedelenme arasında doğrudan bir ilişkinin olmaması da değişik kalplerde değişik miktarlarda bulunabilen ekstrakoroner kolleteral akım ile açıklanabilir.<sup>65</sup>

Yukarıda açıklanan bu ekstrakoroner kolleteral akım nedeni ile aorta klempi konduktan sonra perfüze edilen kardiyoplejik solüsyon in vivo kalplerde bir süre sonra ykanıp atılmakta ve dolayısı ile farmakolojik solüsyon myokardtaki etkisinin devamlılığını kaybetmektedir.<sup>65, 66</sup> Böylece soğuk kardiyoplejinin verilmesini izleyen süre içinde myokard ısısının tekrar süratle yükselmesi, myokard tonüsünün ve elektromekanik aktivitesinin tekrar geri gelmesi ve koroner arterler içinde kanın tekrar görülmesi ekstrakoroner bir kolleteral akımın varlığı ile açıklanır.<sup>58</sup> Bundan dolayı kardiyoplejik soğuk solüsyonun koruyucu ve soğutucu etkisini devamlı bir şekilde sürdürmeli olmak için pratik uygulamada bu solüsyonların ameliyat sırasında 20-30 dakikada bir tekrar perfüze edilmesi gerekmektedir.<sup>6, 69</sup>

Kardiyoplejik solüsyonların ana maddesi potasyumdur.<sup>6</sup> Potasyumlu solüsyonlar ekstraselüler hiperkalemi oluşturarak hücre zarında depolarizasyon ve kalp kasında ani diyastolik asistoli yaparlar ve ekstraselüler potasyum (K) kapsamı yüksek olduğu süre kalp diyastolik devrede kalır.<sup>6</sup> Böylece kalp kasının oksijen kullanma gereksinimi azalır, yüksek enerjili fosfatlar kalp durduğu için az harcanır ve anoksik arrestteki myokard korunur.<sup>70</sup> İyi bir kardiyoplejik korunma için bir litre solüsyonda genellikle 20-40 mEq K bulunması yeterlidir.<sup>6, 70</sup> İlk potasyumlu kardiyoplejik solüsyon olan Melrose solüsyonunda bu miktar aşırı derecede yüksekti (210 mEq/lt) ve bundan dolayı myokard için zararlı etki göstergiyordu.<sup>55, 70</sup>

Kardiyoplejik solüsyon hipotermik koşullarda kullanıldığı zaman K kapsamında azaltılma yapılabilir. Çünkü hipoterminin derecesi düşüktçe kalp kası korunması için gerekli olan K gereksinimi de azaltmaktadır.<sup>6</sup>

Kardiyoplejik solüsyonların içinde kullanılabilen yardımcı iyonlardan biri de magnezyumdur.<sup>6, 61</sup> Hipermagnezemi kalsiyumun hücre içine girmesini önlüyor kardiyopleji yapar.<sup>6</sup> Bugüne kadar üzerlerinde araştırmalar yapılan oldukça tanınmış solüsyonlar içinde Kirsch solüsyonu Magnezyumdan zengin potasyumsuz bir solüsyon olup, Bretschneider ve St. Thomas solüsyonları ise kapsamlarında hem magnezyum, hem de potasyum bulunan solüsyonlardır.<sup>61</sup>

Yapılan çalışmalarda Bretscheider solüsyonunun Kirsch solüsyonuna üstün olduğu, St. Thomas solüsyonunun ise hepsinden iyi sonuç verdiği saptanmıştır.<sup>59, 61, 71-73</sup> St. Thomas solüsyonunun içinde az miktarda kalsiyum da vardır.<sup>61</sup> Değişik kliniklerde bir litrelilik solüsyonlar içine (Ringer gibi) kabul edilen miktarlarda potasyum (20-40 mEq) ve diğer gerekli maddeleri koyarak kardiyoplejik solüsyonlar yapıp kullanılmaktadır. Ayrıca bazı özel solüsyonları hazırlamak için bir litrelilik solüsyon içine eklenecek ve gerekli farmakolojik maddeleri kapsayan ticari ampuller de satılmaktadır.

Kardiyoplejik solüsyonlar içine glükoz eklenmesi de gereklidir. Aorta klempi konması ile kalp durana kadar olan kısa süreli elektromekanik aktivite açısından ve kardiyoplejik solüsyonun myokardtan yikanıp atılmasından sonra myokarda gerekli olan enerji yönünden kardiyoplejik solüsyonlar içinde bulunan glükoz faydalı olmaktadır.<sup>6, 27, 74</sup> Ekstrasakroronel kolleteral akım ile normal dolaşımından bir miktar glükozun anoksik arrest sırasında myokarda geldiği de kabul edilebilir.<sup>6</sup>

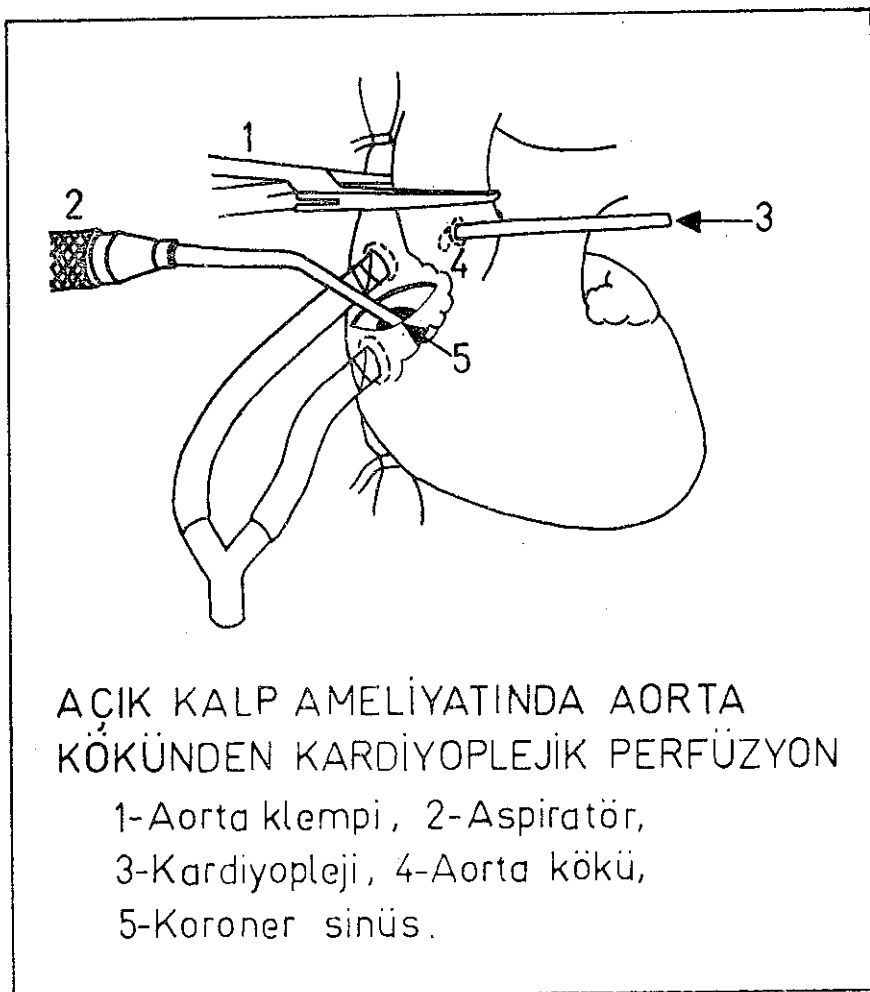
Kardiyoplejik solüsyonların içine değişik araştırmacılar çeşitli maddeler ekleyerek bunların myokardi koruyucu etkisi konusunda incelemeler de yapmaktadır. Bu maddelerin arasında prokain, steroid grubu ilaçlar, propranolol (inderal), dipridamol (persantin), verapamil (isoptin), ATP ve kreatin fosfat gibileri sayılabilir.<sup>6, 75, 77</sup>

Kardiyoplejik korunma için bazı gruplar içine potasyum eklenen soğuk kan kullanmaktadır.<sup>54, 78, 80</sup> Kan veya plazma kullanıldığından potasyum dışındaki değişik iyonların ve maddelerin perfüzata eklenmesi gereksizdir. Çünkü normal kanın kapsamında bu gibi iyonlar ideal seviyelerde bulunmaktadır.<sup>6, 78</sup>

Kardiyoplejik solüsyonların pH sı da önemlidir. Bu değerin normal vücut pHında veya hafif alkalen tarafta olması istenir.<sup>6, 61</sup> Solüsyonların soğutulması ile de pHının kendiliğinden alkalen tarafa kaydığını izlenmektedir (Her 1°C ısı düşmesi ile pHının 0.0134 ünite artması).<sup>6</sup> Genellikle kardiyoplejik solüsyonların pH sı 7.4-8 arasında değişir ve bu değerleri elde etmek için solüsyona trometamin (THAM) veya bikarbonat eklemek uygun olur.<sup>6</sup>

Myokard iskemisi sonucu myokardiyal ödem oluşur. Bundan dolayı kardiyoplejik solüsyonların osmolaritesini de hafif hiperosmoler tarafta tutarak (300-400 mOsm. gibi) sıvının intravasküler bölgede kalmasını sağlamak; ve myokard ödemine ve myokard şişmesine engel olabilmek gerekir. Kardiyoplejik solüsyonlara gerektiğinde manitol eklenmesi bu solüsyonların hafif hiperosmoler şekle dönüştürülmesi için uygulanabilen en pratik yoldur.<sup>6, 70, 76</sup>

Soğuk kardiyoplejik solüsyonlarla myokard ısısının genellikle 20° C civarında tutulması yeterlidir. Bu ısının çok düşük derecelerde tutulması kardiyoplejik solüsyonu kalp kasından yıkayıp atan ekstrakoroner kolateral akımın varlığı ve verilen perfüzyatın kalp kası içinde eşit bir biçimde dağılamaması gibi nedenlerle zaten pratik uygulamada kolaylıkla elde edilemez.<sup>6, 67, 69</sup> Ameliyat sırasında myokard ısısı iğne şeklinde myokardiyal ısı alicları (prob) ile saptanabilir.<sup>18</sup>



### AÇIK KALP AMELİYATINDA AORTA KÖKUNDEN KARDİYOPLEJİK PERFÜZYON

- 1-Aorta klempi,
- 2-Aspiratör,
- 3-Kardiyopleji,
- 4-Aorta kökü,
- 5-Koroner sinüs.

**Şekil 1**

Açık kalp ameliyatlarında kardiyopleji uygulaması. Total bypass'da olan kalpte aorta klempi konulduktan sonra aorta kökünden soğuk kardiyoplejik perfüzyon yapılması ve koroner sinüsden akan dönüşün normal bir aspiratör ile dışarı alınarak ekstrakorporeal dolaşma karışmasını önlenmesi.

Günümüzde pratik uygulamada kardiyoplejik soğuk solüsyonlar ( $4\text{--}8^\circ\text{C}$ ) aorta klempe edildikten sonra aorta köküne sokulan kalın bir iğne ile (ucu bol delikli özel iğneler bulunmaktadır) sistemik arteriel basınçla yakın bir basınç altında ( $80\text{--}90\text{ mmHg}$ , gibi) vücut ağırlığı (kg.) başına ortalama 10 cc miktarında perfüze edilmektedir. Koroner sinüsden dönen perfüzat sağ atriyum içine sokulan normal bir aspiratör ile dışarı alınır ve perfüzatin ekstrakorporeal dolaşma karışması engellenir. Kardiyoplejik solüsyon verilirken total bypass'da olmak gerekdir.<sup>18</sup> Klinik uygulamada soğuk kardiyoplejik solüsyonun veriliş tekniği Şekil 1'de gösterilmiştir. Aorta kapak yetmezliği varsa aorta kökünden verilen perfüzat sol ventrikül boşluğu içine kaçar ve koroner arterlerin içine yeterli bir şekilde gitmez. Böyle durumlarda aortotomi yapılıp kardiyoplejik solüsyonu koroner ostiyumlarına yerleştirilen koroner perfüzyon kanülleri içinden vermek gerekdir. Sol ventrikülün korunması büyük önem taşıdığından bu durumlarda yalnız sol koroner arter ostiyumundan perfüzyon yapılması da oldukça yeterlidir.

Aorta kökünden sistemik basınçla yakın bir basınç altında perfüzyon yerine yer çekimi (gravite) ile infüzyon yöntemini kullananlar da vardır.<sup>16</sup> Hangi yöntem kullanılrsa kullanılsın, amaç aorta kapakçıklarının kapanması ve verilen perfüzatin koroner arter ostiyumlarından koroner arterlerin içine doğru gidebilmesidir. Ameliyat sırasında kardiyoplejik solüsyon aorta köküne değişik tekniklerle perfüze edilebilir. Bunun için (a) etraflarından basınç ile sıkıştırılmış plastik torbalar, (b) 50 cc lik büyük enjektörler ve (c) bazı firmalar tarafından imal edilen kardiyoplejik solüsyon perfüzyon pompaları kullanılabilir.

Kardiyoplejik solüyonlardan en iyi bir biçimde yararlanmak için aorta kökünden verilen bu solüyonların myokard alanları içinde eşit bir yoğunlukta dağıılması; ve böylece moyard alanlarında eşit bir soğutma ve farmakolojik korunma sağlanması gereklidir. Bunun sağlanamadığı önemli bir durum koroner arter hastalıklarıdır. Koroner bypass cerrahisi sırasında aorta kökünden perfüze edilen soğuk kardiyoplejik solüyonlar tikali olan koroner arterler nedeni ile myokard alanları içinde eşit bir yoğunlukta dağılamamaktadırlar.<sup>6, 18, 69, 81-88</sup> Bu durumda soğuk kardiyoplejik solüsyonun koroner sinüsden perfüze edilmesi myokard alanları içinde yeterli bir dağılım sağlayabilir. Bu konu deneyel bir çalışmamızda işlenmiştir.<sup>18</sup>

### *Özet*

Açık kalp ameliyatlarında durdurulan ve geçici olarak devre dışı bırakılan kalp kasının ameliyat süresince yapısal ve fonksiyonel özelliklerinin korunması çok önemli bir noktadır. Günümüzde açık kalp cerra-

hisinde kalbin durdurulması ve korunması amacı ile yaygın olarak başlıca üç yöntem aynı hastada birlikte kullanılmaktadırlar: (a) Aorta klempi ile anoksik arrest, (b) hipotermi ve (c) soğuk kardiyoplejik solüsyonların aorta kökünden perfüzyonu. Bu yöntemlerle anoksik kardiyak arrest sırasında oluşabilen ve özellikle subendokardiyal bölgeyi içine alan myokard zedelenmesi önlenmeye çalışılmaktadır. Son yıllarda önemle üzerinde durulan konu soğuk kardiyoplejik solüsyonların kullanılmasıdır. Kardiyoplejik solüsyonların ana maddesi potasyumdur (bir litre solüsyonda 20-40 mEq K). Bu solüsyonlar aorta klempi konulduktan sonra aorta kökünden koroner arterlerin içine perfüze edilirler ve bu şekilde kalpte ani diyastolik asistoli yaratılarak kalp kasının elektromekanik iş ve enerji kaybı önlenir. Solüsyonların soğuk etkisi ile ayrıca myokardiyal hipotermi de sağlanır.

Yazımızda özellikle bir kalp cerrahının görüş açısından; myokardiyal zedelenme, myokard metabolizması ve myokard korunması için kullanılan yöntemler geniş olarak incelenmiştir.

#### KAYNAKLAR

1. İliçin, G.: Açık Kalp Cerrahisinde Postoperatif Bakım ve Komplikasyonlar. Hacettepe Üniversitesi Yayımları, Ankara, 1974, s. 99-113.
2. İliçin, G.: Açık Kalp Cerrahisinde Postoperatif Bakım ve Komplikasyonlar. Hacettepe Üniversite Yayınları, Ankara, 1974. s. 233-240.
3. Maloney, J. V. Jr., Nelson, R. L.: Myocardial preservation during cardiopulmonary bypass. An Overview. *J. Thorac. Cardiovasc. Surg.* **70**: 1040, 1975.
4. Saylam, A., Bozer, A. Y.: Kalp hastalıklarında yardımcı dolaşımın (assisted circulation) önemi. Ank. Üniversitesi Tıp Fak. Mec. **25**: 114, 1972.
5. Fozzard, H. A.: How do cardiac cells die? *Circulation* **53**: (Suppl. 1): 40, 1976.
6. Buckberg, G. D.: A proposed solution to the cardioplegic controversy. *J. Thorac. Cardiovasc. Surg.* **77**: 803, 1979.
7. İkizler, C., Kılıçturgay, K., Andaç, O., Duman, O., Gürler, Ç., Güre, A., Aslan, A.: Normotermik ve hipotermik koşullarda iskeminin myokard hücresi üzerine etkisi. *Hacettepe Tip/Cerrahi Bülteni*, **12**: 129, 1979.
8. Iyengar, S. R. K., Charrette, E. J. P., Iyengar, C. K. S., Lynn, R. B.: Myocardial protection during anoxic cardiac arrest in aortocoronary bypass surgery. in: *Coronary Artery Medicine and Surgery*. Norman, J.C. et al. (ed), Apleton Century Crofts, New York, 1975, pp. 495-512.
9. Michaelis, L. L.: Intraoperative protection of the myocardium. Introduction to the symposium. *Ann. Thorac. Surg.* **20**: 3, 1975.
10. Ferrans, V. J.: Morphological methods for evaluation of myocardial protection. *Ann. Thorac. Surg.* **20**: 11, 1975.
11. Levitsky, S., Feinberg, H.: Biochemical changes of ischemia. *Ann. Thorac. Surg.* **20**: 21, 1975.
12. Reits, B. A.: Laboratory evaluation of intraoperative myocardial protection. The need for appropriate animal models. *Ann. Thorac. Surg.* **20**: 7, 1975.

13. Cooley, D. A., Reul, G. J., Wukasch, D. C.: Ischemic contracture of the heart "stone heart". Am. J. Cardiol. **29**: 575, 1972.
14. Saylam, A., Olga, R., İkizler, C., Ertuğrul, A., Aytaç, A.: Risk factors and causes of mortality after total correction for tetralogy of Fallot. Turkish J. Pediatrics **23**:105, 1981.
15. Böke, M. E.: Normotermik ve hipotermik kardiyak arrestlerin myokardiyal metabolizmaya etkileri yönünden karşılaştırılması. Göğüs ve Kalp-Damar Cerrahisi Doçentlik Tezi, Ankara, 1975.
16. Çınar, M.: Normo ve hipotermik şartlarda koronerlerin kan ve özel bir sıvı ile infüzyonun arrest halindeki myokard üzerinde koruyucu etkisinin doku ve serum düzeyinde değerlendirilmesi. Göğüs ve Kalp-Damar Cerrahisi Doçentlik Tezi, Ankara, 1979.
17. Kalaycı, G.: Durdurulmuş kalpte retrograd perfüzyonun myokardi korumadaki etkinliği (Deneysel çalışma). Göğüs ve Kalp-Damar Cerrahisi Doçentlik Tezi, İstanbul, 1980.
18. Saylam, A.: Koroner arter cerrahisinde myokard korunmasının retrograd olarak koroner sütüsden soğuk perfüzyon ile sağlanması. Deneysel Çalışma. Göğüs ve Kalp-Damar Cerrahisi Doçentlik Tezi, Ankara, 1981.
19. Saylam, A., Zorlutuna, Y., Süzer, K., Demircin, M., Aytaç, A.: İnsan ve köpekte koroner damarsal yapı ve myokard dolaşımı. Hacettepe Tıp/Cerrahi Bülteni **14**: 296, 1981.
20. Bozer, A. Y.: Ekstrakorporeal Dolaşım ve Hipotermi. Hacettepe Üniversitesi Yayınları, Ankara, 1973, s. 47-52.
21. Andaç, O., Erinç, E., Kandemir, N., Özen, B., Tan, Ü.: Tibbi Fizyoloji (Ganong, W. F.'den çeviri). Hacettepe Üniversitesi Yayınları, Ankara, 1977, s. 55-57.
22. Binnion, P. F.: A Short Textbook of Clinical Physiology. Lloyd-Luke Medical Books Ltd. London, 1969, pp. 183-188.
23. Davson, H.: A Textbook of General Physiology. ed. 4, Vol. II, Williams and Wilkins, Co. Baltimore, 1970, pp. 1439-1448.
24. Lopukhin, Yu.M.: Experimental Surgery. Mir Publishers, Moscow, 1976, pp. 213-222.
25. İkizler, C.: Yeni bir in-situ kalp-akciğer preparatının takdimi ve bu preparat ile aerobik koşullarda myokardin subselüler seviyede hipoglisemiye karşı olan cevabıının değerlendirilmesi. Göğüs ve Kalp-Damar Cerrahisi Doçentlik Tezi, Ankara, 1978.
26. İkizler, C., Aytaç, A.: A new in-situ heart-lung preparation to study cardiac metabolism. Turk. J. Pediatr. **18**: 100, 1976.
27. Levitsky, S., Feinberg, H.: Protection of the myocardium with high energy solutions. Ann. Thorac. Surg. **20**: 86, 1975.
28. Jennings, R. B., Hawkins, H. K., Lowe, J. E., Hill, M. L., Klotman, S., Reimer, K.: Relation between high energy phosphate and lethal injury in myocardial ischemia in the dog. Am. J. Pathol. **92**: 187, 1978.
29. Ellis, R. J., Gardner, C. P.: Creatine phosphate. A critical variable in assessing metabolic activity during cardioplegic arrest. Surg. Forum. **30**: 243, 1979.
30. Bretschneider, H. J., Hübner, G., Knoll, D., Lohr, B., Nordbeck, H., Spiecker- man, P. G.: Myocardial resistance and tolerance to ischemia. J. Cardiovasc. Surg. **16**: 241, 1975.

31. Blanco, G., Adam, A., Fernandez, A.: A direct experimental approach to the aortic valve. II. Acute retroperfusion of the coronary sinus. *J. Thorac. Surg.* **32**: 171, 1956
32. Davies, A. L., Hammond, G. L., Austen, W.G.: Direct left coronary artery surgery employing retrograde perfusion of the coronary sinus. *J. Thorac. Cardiovasc. Surg.* **54**: 848, 1967.
33. Gott, V. L., Gonzalez, J. L., Zuhdi, M. N., Varco, R. L., Lillehei, C. W.: Retrograde perfusion of the coronary sinus for direct vision aortic surgery. *Surg. Gynecol. Obstet.* **104**: 319, 1957.
34. Hammond, G. L., Davies, A. L., Austen, G. W.: Retrograde coronary sinus perfusion. A method of myocardial protection in the dog during left coronary artery occlusion. *Ann. Surg.* **166**: 39, 1967.
35. Lillehei, C. W., DeWall, R. A., Gott, V. L., Varco, R. L.: The direct vision correction of calcific aortic stenosis by means of a pump oxygenator and retrograde coronary sinus perfusion. *Dis. Chest* **30**: 123, 1956.
36. Shumway, N. E.: Forward versus retrograde coronary perfusion for direct vision surgery of acquired aortic valvular disease. *J. Thorac. Cardiovasc. Surg.* **38**: 75, 1959.
37. Bates, R. J., Toscano, M., Balderman, S. C., Anagnostopoulos, C. E.: The cardiac veins and retrograde coronary venous perfusion. *Ann. Thorac. Surg.* **23**: 83, 1977.
38. Lolley, D. M., Hewitt, R. L., Drapanas, T.: Retroperfusion of the heart with a solution of glucose, insulin and potassium during anoxic arrest. *J. Thorac. Cardiovasc. Surg.* **67**: 364, 1974.
39. Lolley, D. M.: Discussion of Poirier et al.'s paper. *J. Thorac. Cardiovasc. Surg.* **70**: 1033, 1975.
40. Lolley, D. M., Hewitt, R. L.: Myocardial distribution of asanguineous solutions retroperfused under low pressure through the coronary sinus. *J. Cardiovasc. Surg.* **21**: 287, 1980.
41. Poirier, R. A., Guyton, R. A., McIntosh, C. L.: Drip retrograde coronary sinus perfusion for myocardial protection during aortic cross-clamping. *J. Thorac. Cardiovasc. Surg.* **70**: 966, 1975.
42. Solorzano, J., Taitelbaum, G., Chiu, R. C.: Retrograde coronary sinus perfusion for myocardial protection during cardiopulmonary bypass. *Ann. Thorac. Surg.* **25**: 201, 1978.
43. Buckberg, G. D., Hottenrott, C. E.: Ventricular fibrillation. Its effects on myocardial flow, distribution and performance. *Ann. Thorac. Surg.* **20**: 76, 1975.
44. Michaelis, L. L.: Coronary artery perfusion. *Ann. Thorac. Surg.* **20**: 72, 1975.
45. Dorken, N.: Kalp Cerrahisi. İstanbul Üniversitesi Cerrahpaşa Tıp Fakültesi Yayınları, İstanbul, 1975, s. 92-104.
46. Bozer, A. Y.: Ekstrakorporeal Dolaşım ve Hipotermi, Hacettepe Üniversitesi Yayınları, Ankara, 1973, s. 106-111.
47. Barrett-Boyes, B. G., Simpson, M., Neutze, J. M.: Intracardiac surgery in neonates and infants using deep hypothermia with surface cooling and limited cardio-pulmonary bypass. *Circulation* **43-44** (Suppl. 1): 25, 1971.
48. Bonnabeau, R. C. Jr., Sterns, L. P., Bilgutay, A., Takahashi, U., Lillehei, C. W.: Cardiac temperature gradients with various types of cardioplegia during cardio-pulmonary bypass. *Surg. Gynecol. Obstet.* **116**: 569, 1963.

49. Brody, W. R., Reitz, B. A.: Topical hypotermic protection of the myocardium. *Ann. Thorac. Surg.* **20**: 66, 1975.
50. Rosenfeldt, F. L., Watson, D. A.: Local cardiac hypothermia. Experimental comparsion of Shumway's tecnique and perfusion cooling. *Ann. Thorac. Surg.* **27**: 17, 1979.
51. Schachner, A., Schimert, G., Lajos, T. Z., Lee, A. H., Mostes, M., Chaudhry, A., Schaefer, A., Vladution, A., Siegel, J. H.: Selective intracavitory and coronary hypothermic cardioplegia for myocardial preservation. *Arch. Surg.* **111**: 1197, 1976.
52. Shumway, N. E., Lower, R. R., Stofer, R. C.: Selective hypothermia of the heart in anoxic cardiac arrest. *Surg. Gynecol. Obstet.* **109**: 750, 1959.
53. Sunamori, M., Trout, R. G., Kaye, M. P., Harrison, C. E. Jr.: Quantitative evaluation of myocardial ultrastructure following hypothermic anoxic arrest. *J. Thorac. Cardiovasc. Surg.* **76**: 518, 1978.
54. Köşker, S., İkizler, C., Sarıoğlu, T., Yurdakul, Y., Aytaç, A.: Açık kalp cerrahisinde hipoksik arrest süresinde myokard korunmasında soğuk kan ve potasyum kardioplejisi. *Tübitak VII. Bilim Kongresi*, 29 Eylül-3 Ekim 1980, Ankara. Tebliğ özetleri kitabı (Tübitak yayınları No. 456), Ankara, 1980, s. 13.
55. Melrose, D. G., Dreyer, B., Bentall, H. H., Baker, J. B. E.: Elective cardiac arrest. *Lancet*, **2**: 21, 1955.
56. Lam, C. R., Gahagan, T., Mota, C., Green, E.: Induced cardiac arrest (cardioplegia) in open heart surgical procedures. *Surgery* **43**: 7, 1958.
57. Seally, W. C., Young, W. G. Jr., Brown, I. W. Jr., Harris, J. S., Merritt, D. H.: Potassium-magnesium and neostigmin for controlled cardioplegia. *J. Thorac Cardiovasc. Surg.* **37**: 655, 1959.
58. Bretschneider, H. J.: Myocardial protection. *Thorac. Cardiovasc. Surgeon. (Stuttgart)* **28**: 295, 1980.
59. Kirsch, U., Rodewald, G., Kalmar, P.: Induced ischemic arrest: Clinical experience with cardioplegia in open heart surgery. *J. Thorac. Cardiovasc. Surg.* **63**: 121, 1972.
60. Hearse, D. J., Stewart, D. A., Braimbridge, M. V.: Cellular protection during myocardial ischemia. *Circulation* **54**: 193, 1976.
61. Jynge, P., Hearse, D. J., de Leiris, J., Feuvray, D., Braimbridge, M. V.: Protection of the ischemic myocardium: Ultrastructural, enzymatic and functional assessment of the efficacy of various cardioplegic infusates. *J. Thorac. Cardiovasc. Surg.* **76**: 2, 1978.
62. Gay, W. A. Jr., Ebert, P. A.: Functional, metabolic and morphological effects of potassium induced cardioplegia. *Surgery* **74**: 284, 1973.
63. Tyers, G. F. O., Todd, G. J., Niebauer, I. M., Manley, N. H., Waldhausen, J. A.: The mechanism of myocardial damage following potassium citrate (Melrose) cardioplegia. *Surgery*, **78**: 45, 1975.
64. Bayliss, C. E., Maloney, J. V. Jr.: Shelf-storage of excised hearts by manipulation of trans-membrane ionic gradients. *Surg. Forum* **21**: 194, 1970.
65. Brazier, J., Hottenrott, C., Buckberg, G.: Noncoronary collateral myocardial blood flow. *Ann. Thorac. Surg.* **19**: 426, 1975.
66. Hetzer, R., Warnecke, H., Wittrock, H., Engel, H. J., Borst, H.G.: Extracoronary collateral myocardial blood flow during cardioplegic arrest. *Thorac. Cardiovasc. Surgeon (Stuttgart)* **28**: 191, 1980.

67. Björk, L.: Angiographic demonstration of extracardial anastomoses to the coronary arteries. *Radiology* **87**: 274, 1966.
68. Smith, G. T.: The anatomy of the coronary circulation. *Am. J. Cardiol.* **9**: 327, 1962.
69. Ochsner, J. L.: Adequacy of myocardial protection. *Ann. Thorac. Surg.* **28**: 305, 1979.
70. Gay, W. A. Jr.: Potassium-induced cardioplegia. *Ann. Thorac. Surg.* **20**: 95, 1975.
71. Hügel, W., Uekermann, U., Franz, C., Isselhard, W., Schorn, B., Hirsch, Hj., Lübbing, H., Dalichau, H.: Tierexperimentelle Untersuchungen zur Kontraktilität des Myokards bei verschiedenen Methoden des kardioplegisch induzierten Herzstillstandes. *Thoraxchir. Vask. Chir.* **26**: 201, 1978.
72. Jyng, P.: Protection of the ischemic myocardium. Calcium-free cardioplegic infusates and the additive effects of coronary infusion and ischemia in the induction of the calcium paradox. *Thorac. Cardivasc. Surgeon (Stuttgart)* **28**: 303, 1980.
73. Hearse, D. J., Stewart, D. A., Braimbridge, M. V.: Myocardial protection during ischemic cardiac arrest. Importance of magnesium in cardioplegic infusates. *J. Thorac. Cardiovasc. Surg.* **75**: 877, 1978.
74. Hewitt, R. L., Lolley, D. M., Adroury, G. A.: Protective effect of glycogen and glucose on the anoxic arrested heart. *Surgery* **75**: 1, 1974.
75. Hearse, D. J., O'Brien, K., Braimbridge, M. V.: Protection of the myocardium during ischemic arrest. Dose-response curves for procaine and lignocaine in cardioplegic solutions. *J. Thorac. Cardiovasc. Surg.* **81**: 873, 1981.
76. Hickey, P. A.: Prevention of intraoperative myocardial injury by pretreatment with pharmacological agents. *Ann. Thorac. Surg.* **20**: 101, 1975.
77. Tyers, G. F. O.: Metabolic arrest of the ischemic heart. *Ann. Thorac. Surg.* **20**: 91, 1975.
78. Barner, H. B., Laks, H., Codd, J. E., Standeven, J. W., Jellinek, M., Kaiser, G. C., Menz, L. J., Tyras, D. H., Pennington, G., Hahn, J. W., Willman, V. L.: Cold blood as the vehicle for potassium cardioplegia. *Ann. Thorac. Surg.* **28**: 509, 1979.
79. Barner, H. B., Kaiser, G. C., Codd, J. E., Tyras, D. H., Pennington, D. G., Laks, H., Willman, V. L.: Clinical experience with cold blood as the vehicle for hypothermic potassium cardioplegia. *Ann. Thorac. Surg.* **29**: 224, 1980.
80. Laks, H., Barner, H.B., Kaiser, G.: Cold blood cardioplegia. *J.Thorac. Cardiovasc. Surg.* **77**: 319, 1979.
81. Chiu, R. C. J., Blundell, P. E., Scott, H. J., Cain, S.: The importance of monitoring intramyocardial temperature during hypothermic myocardial protection. *Ann. Thorac. Surg.* **28**: 317, 1979.
82. Ekroth, R., Berggren, H., Südow, G., Wojciechowski, J., Zackrisson, Bo. F., William-Olsson, G.: Thermographic demonstration of uneven myocardial cooling in patients with coronary lesions. *Ann. Thorac. Surg.* **29**: 341, 1980.
83. Hilton, C. J., Teubl, W., Acker, M., Levinson, H. J., Millard, R. W., Riddle, R., McEnany, M. T.: Inadequate cardioplegic protection with obstructed coronary arteries. *Ann. Thorac. Surg.* **28**: 323, 1979.
84. Mittman, U., Hatipoğlu, O., Klooker, P., Saggau, W. W., Steinhart, E., Storch, H. H.: Efficiency of cardioplegia in the presence of coronary occlusion. *Thorac. Cardiovasc. Surgeon (Stuttgart)* **28**: 184, 1980.

85. Saggau, W. W., Hatipoğlu, O., Klooker, P., Mittman, U., Steinhart, E., Storch, H. H.: Efficiency of cardioplegia in the presence of coronary occlusion. (abstract) Thorac. Cardiovasc. Surgeon (Stuttgart) **28** (Sonderheft): 28, 1980.
86. Ullyot, D. J.: Current controversies in the conduction of coronary bypass operation. Ann. Thorac. Surg. **30**: 192, 1980.
87. Becker, H., Viten-Johansen, J., Buckberg, G. D., Follette, D. M., Robertson, J. M.: Critical importance of ensuring cardioplegic delivery with coronary stenoses. J. Thorac. Cardiovasc. Surg. **81**: 507, 1981.
88. Heineman, F. W., MacGregor, D. C., Wilson, G. J., Ninomiya, J.: Regional and transmural myocardial temprature distribution in cold chemical cardioplegia. Significance of critical coronary arterial stenosis. J. Thorac. Cardiovasc. Surg. **81**: 851, 1981.

# Sakral Parasempatiklerin ve Vagusların Kesilmesinin Efektif Böbrek Plazma Akımı, Efektif Böbrek Kan Akımı, Glomerüler Filtrasyon Hızı ve Böbrek Direnci Üzerine Etkisi

**Dr. Bedri Özen\*** / **Dr. Abit Yalçın Rıdvanağaoglu\*\*** /

**Dr. Kemal S. Türker\*\*** / **Kim. Yücel Uğur\*\*\*** /

**Dr. Dicle Balkancı\*\*\*\***

**1** 953 yılından beri yapılan transplantasyon ameliyatlarında vericinin böbreği alıcıya takılırken böbrek sinirleri hiç önemsenmemektedir. Bu nedenle transplantasyon ameliyatlarından sonra böbrek fonksiyonlarının normal bulunması böbrek sinirlerinin gerekli olup olmadığı sorusunu akla getirmiş,<sup>16</sup> hatta ekstraselüler sıvı hacminin akut ya da kronik düzenlenişinde böbrek sinirlerine gerek olmadığı ileri sürülmüştür.<sup>8</sup> Blaufox ve arkadaşları<sup>9</sup> transplantasyondan sonra böbrek klerenslerini, sodyum düzenlenişini ve renin salınışını normal bulmuşlardır. Bu gözlem ve bulgular böbrek sinirlerinin böbrek fonksiyonları üzerine önemli bir etkide bulunmadığı kanısını uyandırabilir fakat bu düşünce her zaman doğru olmayabilir.

Böbreklerin de diğer iç organlar gibi sempatik ve parasempatikleri vardır.<sup>6,22</sup> Sempatiklerin böbrek fonksiyonları üzerine etkisi epeyce araştırılmıştır.

İnsanda böbreğe gelen sempatik sinirler omuriliğin 12. ci torakal ve ilk iki lumbal segmentlerinin yan boynuzlarından çıkar. Orta ve aşağı

\* Hacettepe Üniversitesi Tıp Fakültesi Fizyoloji Bölümü Öğretim Üyesi.

\*\* Aynı Fakülte ve Fizyoloji Bölümü Öğretim Görevlisi

\*\*\* Aynı Fakülte Pediatrik Nefroloji Ünitesi.

\*\*\*\* Aynı Fakülte Fizyoloji Bölümü Asistanı.

splanknik sinirler içinde böbreğe gelirler. Çeşitli yerlerdeki ara ganglionlarda gelişimi sırasında kesintiye uğrarlar. Ayrıca daha yukarı torakal segmentlerden çıkararak aorta çevresindeki gangliyonlara ugradıktan sonra böbrek arterleri ile böbreğe gelen sempatikler de vardır.

Böbrek parasempatikleri hakkında daha az bilgiye sahibiz. Böbreklere gelen parasempatiklerin kaynakları bile henüz kesin olarak belirlenmemiştir. Klasik kitaplarda böbrek parasempatiklerinin sadece vagus, sakral parasempatikler ya da her ikisinden geldiği yazılmaktadır.<sup>20, 21</sup> Arthur J. Vander,<sup>1</sup> Carter ve arkadaşlarının<sup>5</sup> araştırmaları ise böbreklerin parasempatiklerle sinirlenmediğini dolayı olarak göstermiştir. Howard ve arkadaşları<sup>12</sup> köpek böbreğinde asetilkolinesteraz pozitif sinirlerin renal, interlober, arkuat ve interlobüler arterlerin mediasında sıkı bir pleksüs yaptığını göstermişlerdir. Yine bu araştırcıların bulgularına göre afferent arteriyol ve vaza rektalar civarında asetilkolinesteraz pozitif sinir lifleri bulunmaktadır. Klasik kitaplarda parasempatiklerin böbrek fonksiyonları üzerine olan etkilerinden ya hiç bahsedilmemekte ya da bu sinirlerin fonksiyonlarının bilinmediği yazılmaktadır.<sup>6</sup> Bu konuda literatürde de az bilgi vardır. Vagotomiden sonra ADH salınışı artar.<sup>19</sup> Atriyumların gerilmesine bağlı olarak ADH salınışının azalması vagotomiden sonra ortadan kalkar.<sup>18</sup> İntratorasik arterlerdeki baroreseptörlerden gelen lifler sol vagus içinde giderler.<sup>13, 14</sup> Göründüğü gibi vagusların böbrek fonksiyonları üzerine etkisi daha çok baroreseptör refleksler yoluyla incelenmiştir. Sakral parasempatiklerle ilgili çalışmaya rastlanmamıştır.

Düzenlenen bu çalışmada vagus ve sakral parasempatikler kesilmeden önce köpeklerde hesaplanan efektif böbrek plazma akımı (EBPA), efektif böbrek kan akımı (EBKA), glomerüler filtrasyon hızı (GFH) ve böbrek direnci (BD) değerleri adı geçen sinirlerin kesilmesinden sonra elde edilen değerlerle karşılaştırıldı.

#### *Materyal ve Metot*

Çalışma Hacettepe Üniversitesi Tıp Fakültesi Deney Hayvanları Bölümünden sağlanan ortalama 11 kg. ağırlığında 10 dişi köpek üzerinde yapıldı. Kg/30 mg nembutalle uyutulan köpeklere trakeal kanül, femoral arter ve ven kataterleri konuldu. Üreterler ayrı ayrı kateterize edildi. Kan basıncı transduser (Statham P 23 AA) yardımı ile EKG ve idrar damları ile beraber Gilson poligrafında (Model M 5P) devamlı olarak yazdırıldı. Bir saatlik bir beklemeden sonra başlangıç dozu olarak 50 cm<sup>3</sup> serum fizyolojik içinde kg/100 mg kreatinin, kg/30 mg PAH ve 5 gr mannitol femoral veden verildi ve hemen 500 cm<sup>3</sup> serum fizyolojik içinde 3500 mg kreatinin, 300 mg PAH ve 25 gr mannitol içeren

idame dozundan dakikada 20 damla gidecek şekilde infüzyona geçildi ve çalışma süresince infüzyona aynı dozda devam edildi.<sup>11</sup> 30 dakika sonra çalışmanın birinci bölümünü oluşturan kontrol değerlerini elde etmek için her iki türeterden ayrı ayrı 10 dakikalık idrar toplanırken bu sürenin tam ortasında 10 cm<sup>3</sup> kan alındı. Hematokrit, plazma kreatinin ve PAH tayinleri yapıldı.

Çalışmanın ikinci bölümünde lumbal 5 den sakral vertebralaların sonuna kadar olan kısımda omurilikten çıkan spinal sinirlerin ön ve arka kökleri kesildi. Yine yarı saat bekledikten sonra türeterlerden ayrı ayrı 10'ar dakikalık idrar toplanırken bu sürenin tam ortasında 10 cm<sup>3</sup> kan alındı. Hematokrit, plazma kretanin ve PAH tayini yapıldı.

Çalışmanın son bölümünde boyunun her iki tarafında vaguslar kesildi. 30 dakika sonra 10'ar dakikalık idrar örnekleri ve tam ortada 10 cm<sup>3</sup> kan alındı. Hematokrit, plazma kreatinin ve PAH tayini yapıldı.

### *Bulgular*

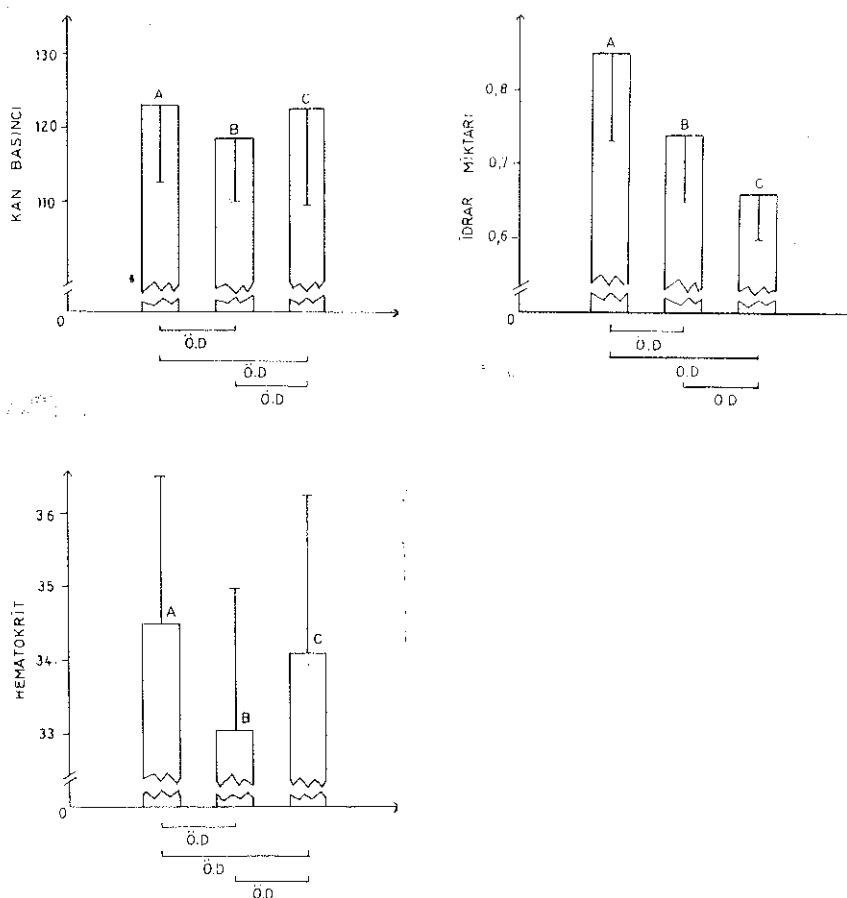
Kontrol devresi olarak belirtilen çalışmanın ilk kısmında 10 deney hayvanından elde edilen kan basıncı, hematokrit, idrar miktarı, vücut yüzeyine göre düzeltilerek hesaplanan kreatinin klerens (glomerüler filtrasyon hızı), PAH klerens (efektif böbrek plazma akımı), efektif böbrek kan akımı ve böbrek direnci sıra ile: 123±10.8 mmHg, % 34.5±2.1, 0.85±0.12 cm<sup>3</sup>/dk, 54±3.5 cm<sup>3</sup>/dk, 156±7.5 cm<sup>3</sup>/dk, 224.9±14.5 cm<sup>3</sup>/dk ve 0.56±0.05 PDÜ idi.

Çalışmanın ikinci bölümünde sakral parasempatektomiden sonra elde edilen aynı parametrelere ait ortalama değerler sıra ile: 118.5±8.4 mmHg, % 33.05±1.9, 0.74±0.09 cm<sup>3</sup>/dk, 49.8±3.3 cm<sup>3</sup>/dk, 137±8.9 cm<sup>3</sup>/dk, 208.39±20 cm<sup>3</sup>/dk ve 0.58±0.038 PDÜ idi.

Vagusların kesildiği üçüncü bölümde ise elde edilen ortalama değerler sıra ile: 122.5±12.8 mmHg, % 34.1±2.4, 0.66±0.06 cm<sup>3</sup>/dk, 127.8±12.3 cm<sup>3</sup>/dk, 204.34±27.7 cm<sup>3</sup>/dk ve 0.74±0.18 PDÜ idi.

### *Tartışma*

Kontrol grubu, sakral parasempatiklerin kesildiği grup ve sakral parasempatiklerle beraber her iki vagusun kesildiği gruptan elde edilen kan basıncı, hematokrit, idrar hacmi, kreatinin ve PAH klerens, efektif böbrek kan akımı ve böbrek direnci ortalama değerleri karşılaştırıldığı zaman Şekil 1 ve 2'de de görüldüğü gibi böbrek direnci dışında istatistiksel yönden anlamlı bir fark bulunmadı ( $P>0.05$ ). Kontrol grubu ile bütün parasempatiklerin kesildiği üçüncü grup arasında böbrek direnci yönünden anlamlı bir fark tespit edildi ( $P<0.05$ ).



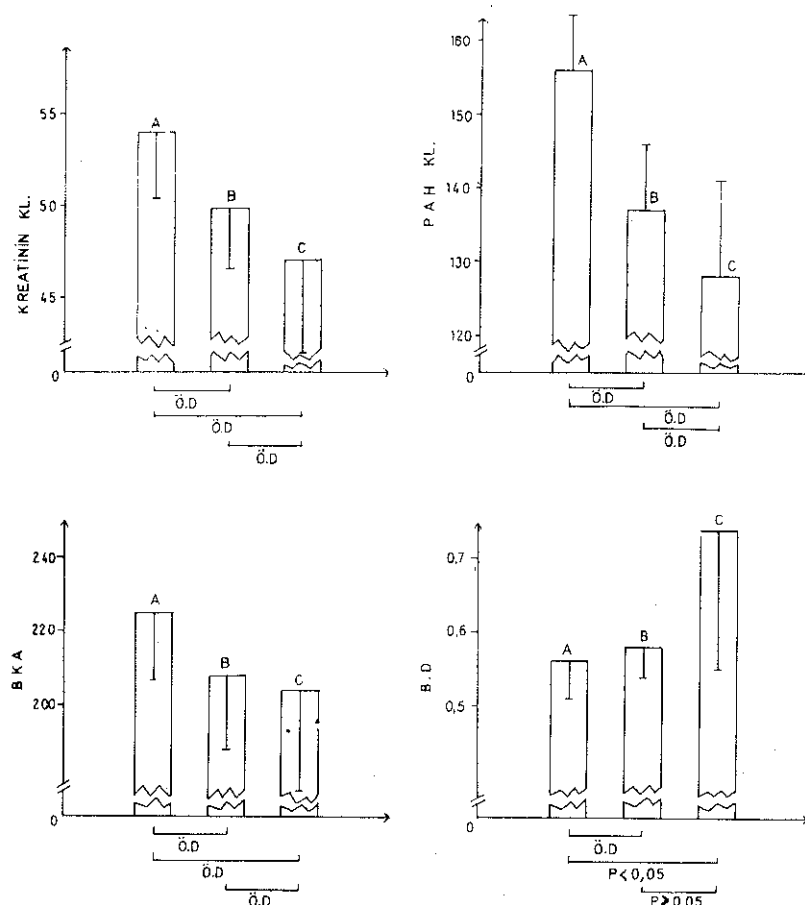
Şekil 1

Kan basıncı, hematokrit ve 1 dakikalık idrar hacmi değerleri.

- A- Kontrol
- B- Sakral Parasempatektomi
- C- Sakral Parasempatektomi + Vagotomi

Sakral parasempatikler kesildikten sonra böbrek direncinde istatistiksel yönden anlamlı olmayan bir yükselme olmakta, vagusların da kesilmesiyle direnç önemli derecede artmaktadır. Başka bir ifade ile parasempatik etkinin ortadan kalkması böbrekte vazokonstriksiyona yol açmaktadır. Bu bulgu Öberg ve arkadaşları,<sup>23</sup> Giuseppe Mancia ve arkadaşları<sup>9</sup> ve Hodge ve arkadaşlarının<sup>10</sup> gözlemleriyle uygunluk gösterdiği gibi, böbrek arteri içine asetilkolin verildiği zaman böbrek direncinde önemli azalmanın gözlenmesiyle de<sup>15</sup> uygunluk göstermektedir. R. W. Schrier ve arkadaşları<sup>24</sup> ise bilateral servikal vagotomiden sonra renin salımında bir azalma tespit etmişlerdir. Bu ise böbrek di-

rencinin azalmasına yol açar. A. Östrom ve çalışma arkadaşları<sup>2</sup> böbrek arterinden verilen yüksek doz asetilkolinin arter düz kaslarını doğrudan etkileyerek böbrek direncini önemli derecede artırdığını gözlemişlerdir. Böbrek sempatiklerinin uyarılması ya da norepinefrin infüzyonuyla böbreklerden önemli miktarlarda prostoglandine benzer madde salınmaktadır. Bu madde ise böbreklerde vazodilatasyon yapmaktadır.<sup>7</sup> Asetilkolinin postgangliyoner sempatik uçlarından katekolamin salgılanlığı da gösterilmiştir.<sup>4, 17</sup> Bu gözlemlerin sonuçları ise böbrek direncinde bir azalmayı ifade eder. Bu ise çalışmamızdaki bulguya ters düşmektedir.



**Şekil 2**  
GFH, EBPA, EBKA ve BD değerleri.

- A- Kontrol
- B- Sakral Parasempatektomi
- C- Sakral Parasempatektomi + Vagotomi

*Özet*

Bu çalışmada sakral parasempatikler ve vagusların kesilmesinin glomerüler filtrasyon hızı, efektif böbrek plazma akımı, efektif böbrek kan akımı ve böbrek direncine etkisi araştırıldı.

- 1- Sakral parasempatikler ve vagusların kesilmesi kan basıncı, hematokrit değeri ve idrar hacminde önemli bir değişiklik oluşturmamaktadır.
- 2- Sakral parasempatikler ve vagusların kesilmesi glomerüler filtrasyon hızı, efektif böbrek plazma akımı, efektif böbrek kan akımını da etkilememektedir.
- 3- Tüm parasempatiklerin kesilmesi böbreklerde bir vazokonstriksiyon oluşturarak böbrek direncini artırmaktadır.
- 4- Parasempatikler böbrek içi kan dağılımında bir düzenleyici olarak fonksiyon görebilirler.

*KAYNAKLAR*

1. Arthur J. Vander: Effects of acetylcholine, atropin and physostigmine on renal function in the dog. Am. J. Physiol. **206**: 492, 1964.
2. Aström, A., Crafoord, J. and Samelius-Broberg, U.: Vasoconstrictor action of acetylcholine on kidney blood vessels. Acta Physiol. Scand. **61**: 159, 1964.
3. Blaufox, M. D., Lewis, E. J., Jagger, P.: Physiologic responses of the transplanted human kidney: Sodium regulation and renin secretion. New Eng. J. Med., **280**: 62, 1969.
4. Burn, J. H. and Rand, M. J.: Sympathetic postganglionic mechanism. Nature (London) **184**: 163, 1959.
5. Carter, M. K., Greig, C.: Relationship between ion transport and cholinesterase activity in kidney cortex slices from normal and adrenalectomized rats. Fed. Proc. **14**: 324, 1955.
6. Coupland, R. E.: The anatomy of the human kidney, Chapter I, in renal disease. Edited by D. A. K. Black. Blackwell, Oxford 1962.
7. Dunham, E. W., Zimmerman, B. G.: Release of prostoglandin-like material from dog kidney during nerve stimulation. Am. J. Physiol. **219**: 1279, 1970.
8. Ginn, H. E. Jr., Unger, A. M., Hum, D. M.: Human renal transplantation: An investigation of the functional status of the denervated kidney after successful homotransplantation in identical twins. J. Lab. Clin. Med. **56**: 1, 1960.
9. Giuseppe Mancia, Carlos Romero, J., and Shepherd, J. T.: Continuous inhibition of renin release in dogs by vagally innervated receptors in the cardiopulmonary region. Cir. Res. **36**: 529, 1975.
10. Hodge, R. L., Lowe, R. D., Vane, J. R.: Role of the vagus nerve in the control of the concentration of angiotensin II in the circulation. Nature **221**: 177, 1969.
11. Homer, W. Smith: Principle of Renal Physiology, Oxford University Press, 1956, pp: 30-32, 196-197.

12. Howard, A., Weitsen, B. A. and John E. Norwell: Cholinergic innervation of the autotransplanted canin kidney. *Cir. Res.* **25**: 535, 1969.
13. Ito, S. C. and Scher, A. M.: Arterial baroreceptor fibers from the aortic region of the dog in the cervical vagus nerve. *Cir. Res.* **32**: 442, 1973.
14. Ito, S. C. and Scher, A. M.: Reflexes from the aortic baroreceptor fibers in the cervical vagus of the cat and dog. *Cir. Res.* **34**: 51, 1974.
15. Jay, H. Stein, Sampanta, B., Mauk, R. C. and Ferris, T. F.: Mechanism of the redistribution of renal cortical blood flow during hemorrhagic hypotension in the dog. *J. Clin. Invest.* **52**: 39, 1973.
16. John E. Norvell: Renal nerves: Are they essential? *New Engl. J. Med.* **283**: 261, 1970.
17. Kottegodo, S. R.: The action of nicotine and acetylcholine on the vessels of the rabbit ear. *Brit. J. Pharmac.* **8**: 155, 1953.
18. Leonard Share: Effect of carotid occlusion and left atrial distension on plasma vasopressin titer. *Am. J. Physiol.* **208**: 219, 1965.
19. Leonard Share and Matthew N. Levy: Cardiovascular receptors and blood titer of antidiuretic hormone. *Am. J. Physiol.* **203**: 425, 1962.
20. Mc Crea, E. D. A.: The abdominal distribution of the vagus. *J Anat (London)* **59**: 18, 1924.
21. Mitchell, G. A. G.: The renal nerves. *Brit. J. Urol.* **22**: 269, 1950.
22. Nicholas James Mizeres: The anatomy of the autonomic nervous system. *Am. J. Anat.* **96**: 285, 1955.
23. Öberg B., White S.: Circulatory effects of interruption and Stimulation of Cardiac vagal afferents, *Acta Physiol Scand* **80**: 383, 1970.
24. Schrier R. W., I. A. Reid, T. Berl and L. E. Earley: Parasympathetic pathways, renin secretion and vasopressin release. *Clin Sci. and Mol. Med.* **48**: 83, 1975.

# İntestinal Obstruksiyonların Genel Analizi

**Dr. Yücel Arıtaş\* / Dr. Ahmet Atalay\*\* / Dr. Seyfi Akşehirli\*\*\* /  
Dr. Yaşař Yeşilkaya\*\*\*\***

## *Giriş*

İntestinal obstruksiyon, sık görülmeye ve mortalite oranının hala yüksek olması nedeniyle önemini korumaktadır. Kısa süre içinde uygulanacak bir cerrahi girişim ve etkin postoperatif takip ile, mortalite oranını azaltmak mümkündür.

Bu çalışmamızda, mekanik intestinal obstruksiyon tanısı ile cerrahi tedavi uygulanan 127 hasta; çocuk ve erişkin yaş grupları olarak, ayrı ayrı etyoloji ve tedavi girişimleri açısından değerlendirilerek, ülkemiz ve yörenimizdeki durumun özellikleri açıklanmaya çalışılmıştır.

## *Klinik Materyal ve Sonuçları*

Geyher Nesibe Tıp Fakültesi Genel Cerrahi Bölümünde 1977-1980 yılları arasında mekanik intestinal obstruksiyon ön tanısı ile operasyona alınan 127 hasta çeşitli açılardan retrospektif olarak incelenmiştir.

127 olgudan, 87'si erkek, 40'ı ise kadındır. 0-16 yaş grubunda 42 olgu, 17-73 yaş grubunda ise 85 olgu vardır. Olgularımızda bulunan semptomlar ve bunların görülmeye sıklıkları incelenmiştir (Tablo I).

Tablodan da anlaşılacağı üzere en sık görülen semptomlar karın ağrısı ve distansiyondur.

Ameliyat öncesi yapılan fizik muayenede en sık dikkati çeken bulgu hipovolemidir (Tablo II).

\* Kayseri Üniversitesi Geyher Nesibe Tıp Fakültesi Genel Cerrahi Bölümü Doçenti.

\*\* Aynı Fakülte Genel Cerrahi Bölümü Asistanı.

\*\*\* Aynı Fakülte Genel Cerrahi Bölümü Öğretim Görevlisi.

\*\*\*\* Aynı Fakülte Genel Cerrahi Bölümü Profesörü.

**TABLO I**  
**İNTESTİNAL OBSTRUKSİYONLU 127 OLGUDA SEMPTOMLAR**

Semptomlar	Olgı Sayısı	%
Karın ağrısı	125	98
Kusma	105	82
Gaz-Gaita çıkaramama	99	78
Distansiyon	114	90

**TABLO II**  
**İNTESTİNAL OBSTRUKSİYONLU 127 OLGUDA FİZİK MUAYENE BULGU-LARI**

Fizik Muayene Bulguları	Olgı Sayısı	%
Hipovolemi	108	85.1
Hipovolemik Şok	12	9.4
Septik Şok	6	4.7
Irreversibl Şok	1	0.8
<b>Toplam</b>	<b>127</b>	<b>100.0</b>

Laboratuvar bulguları değerlendirildiğinde, olgularımızdan % 53 ünde lökositoz, % 30'unda ise, çeşitli elektrolit denge bozuklukları saptanmıştır (Tablo III).

**TABLO III**  
**İNTESTİNAL OBSTRUKSİYONLarda LABORATUVAR BULGULARI**

Laboratuvar Bulguları	Olgı Sayısı	%
Anemi	25	19.6
Lökositoz	67	53
BUN yükselmesi	43	34
Hiponatremi	39	30
Kan Glukozunda yükselme	4	3.2
Atrial Fibrilasyon	1	0.8

Radyolojik çalışmalar tüm hastalarda rutin olarak yapıldı. En belirgin radyolojik bulgu, direkt karın grafilerinde, gaz-sıvı seviyelerinin saptanmasıydı (Tablo IV).

**TABLO IV**  
**İNTESTİNAL OBSTRUKSİYONLU OLGULARDA RADYOLOJİK BULGULAR**

Radyolojik Bulgu	Olgı Sayısı	%
Gaz-Sıvı Seviyesi	108	85
İnce Barsak Gazı	95	75
Kolon Gazı	56	44
Diyafagma Yükselmesi	3	2.4
Peritoneal Eksuda	2	1.6
Kitle İmaji	1	0.8

Klinik semptomlar, fizik muayene ve laboratuvar çalışmaları ile mekanik intestinal obstruksiyon tanısı konulan hastalar, kısa süre içinde uygun ameliyat öncesi hazırlığı takiben operasyona alındılar. Operatif bulgular çocukların ve erişkin yaş grubunda ayrı ayrı değerlendirildi (Tablo V,VI).

**TABLO V**  
**ÇOCUKLUK YAŞ GRUBUNDA ETYOLOJİ**

Etyolojik Faktör	Olgı Sayısı	%
Herniler	15	35.4
İnvajinasyon	9	21.4
Bridler	8	19.2
Mid-Gut Volvulusu	2	4.8
Annuler Pankreas	1	2.4
Mezenter Kisti	1	2.4
Yabancı Cisim	1	2.4
İmperfore Anus	1	2.4
İntestinal Lenfoma	1	2.4
Peritonit-İ. Abdominal Abse	1	2.4
Nekrotizan Enterokolit	1	2.4
Kolonda Duplikasyon	1	2.4
<b>Toplam</b>	<b>42</b>	<b>100.0</b>

Çocuklarda sırasıyla herniler, invajinasyonlar ve bridler; erişkinlerde ise bridler, sigmoid volvulusu ve herniler mekanik intestinal obstruksiyonun en sık görülen nedenleri olarak dikkati çekmektedir.

Uygulanan cerrahi tedavi yöntemleri, etyolojik faktörlere göre farklıdır.

Bridlerle ilgili mekanik intestinal obstruksiyonlu 33 olgudan 6'sında çeşitli seviyelerde ve genişlikte barsak nekrozu saptanarak rezeksyon ve uç-uca anastomoz yapılmıştır. Geri kalan olgularda ise sadece bridlerin açılması ile barsaklıarda pasaj sağlanabilmiştir Ancak iki olguya Nobble tipi bir plikasyon uygulanmıştır. Bu grupta total mortalite % 18.18 dir (Tablo VII).

**TABLO VI**  
**ERİŞKİN YAŞ GRUBUNDA ETYOLOJİ**

Etyolojik Faktör	Olgı Sayısı	%
Bridler	25	29.4
Sigmoid Volvulusu	24	28.2
Herniler	13	15.2
Intraabdominal Abse	8	9.4
Paralitik İleus	5	5.9
Kolorektal Karsinom	3	3.5
İnvajinasyon	2	2.4
Mezenter Arter Embolisi	2	2.4
Nekrotizan Enterokolit	1	1.2
Meckel Divertikülüti	1	1.2
Çekum Volvulusu	1	1.2
<b>Toplam</b>	<b>85</b>	<b>100.0</b>

**TABLO VII**  
**BRİDE BAĞLI OBSTRUKSİYONLarda UYGULANAN CERRAHİ TEDAVİ YÖNTEMLERİ VE BUNLARIN SONUÇLARI**

Cerrahi Tedavi Yöntemi	Olgı Sayısı	%	Mortalite	%
Bridlerin Açılması	25	75.76	4	16
Rezeksiyon	6	18.18	2	33.33
Nobble Tipi Plikasyon	2	6.06	—	—
<b>Toplam</b>	<b>33</b>	<b>100.0</b>	<b>6</b>	<b>18.18</b>

Sigmoid volvulusunda ise olguların % 66.7 içinde rezeksiyon ve çeşitli tiplerde kolostomi uygulanmıştır. Bu grupta tüm mortalite % 16.67 dir (Tablo VIII).

**TABLO VIII**  
**SİGMOİD VOLVULUSUNDA UYGULANAN CERRAHİ TEDAVİ YÖNTEMLERİ VE BUNLARIN SONUÇLARI**

Cerrahi Tedavi Yöntemi	Olgı Sayısı	%	Mortalite	%
Detorsiyon	7	29.1	1	14.28
Detorsiyon+Plikasyon	1	4.2	—	—
Rezeksiyon+Kolostomi	14	58.3	3	21.43
Loop kolostomi	1	4.2	—	—
Hartmann Prosedürü	1	4.2	—	—
<b>Toplam</b>	<b>24</b>	<b>100.0</b>	<b>4</b>	<b>16.67</b>

Irreduktabl hernili bütün olgularda erken devrede cerrahi tedavi uygulanmıştır (Tablo IX).

**TABLO IX**  
**HERNİLERDE CERRAHİ TEDAVİ YÖNTEMLERİ VE SONUÇLARI**

Yaş Grubu	Cerrahi Tedavi Yöntemi	Hasta Sayısı	%	Mortalite	%
0-16	Kesenin Yüksek Ligasyonu	14	93	—	—
	Barsak Rezeksiyonu	1	7	1	1
	Toplam	15	100	1	7.0
17-73	Herniorafi	10	77	—	—
	Barsak Rezeksiyonu	3	23	2	6.7
	Toplam	13	100	2	15.4

Çocuklarda strangulasyon insidansı % 7 iken, erişkinlerde bu oran % 23 olarak bulunmuştur. Çocuklarda mortalite % 7, erişkinlerde ise % 15.4 dır.

İnvajinasyonlu 11 olgudan sadece 3'ünde reduksiyon mümkün olmamış veya barsak nekrozu saptanarak rezeksiyon gerekmıştır. Bu gruptaki mortalite % 9.09 olmuştur. Cerrahi tedavi uygulanmayan invajinasyonlu olgular bu seri dışında bırakılmıştır (Tablo X).

**TABLO X**  
**İVAJİNASYONLU HASTALARDA CERRAHİ TEDAVİ YÖNTEMLERİ VE SONUÇLARI**

Cerrahi Tedavi Yöntemi	Olgı Sayısı	%	Mortalite	%
Redüksiyon	8	72.7	1	12.5
Rezeksiyon	3	27.3	—	—
Toplam	11	100.0	1	9.09

Postoperatif komplikasyonlar incelendiğinde ilk sırayı yara infeksiyonunun aldığı görülmektedir (Tablo XI).

**TABLO XI**  
**127 İNSTESTİNAL OBSTRUKSİYON OLGSUNDAN POSTOPERATİF KOMPLİKASYONLAR**

Komplikasyon	Olgı Sayısı	%
Yara İnfeksiyonu	26	20.5
İnsizyonel Herni	8	6.3
Akciğer Komplikasyonları	6	4.7
İnterabdominal Abscess	5	3.9
Bride Bağlı Obstrüksiyon	3	2.3
Anastomoz Komplikasyonları	3	2.3
İnsizyondan Kanama	2	1.6
Toplam	53	41.6

Mortalite nedenleri araştırıldığında, septik şoka bağlı ölümlerin ön planda olduğu dikkati çekmektedir (Tablo XII).

TABLO XII  
İNTESTİNAL OBSTRUKSİYONLU OLGULARDA MORTALİTÉ

Mortalite Nedeni	Olgı Sayısı	%
Septik Şok	16	55
Solunum Yetmezliği	7	24
Kalp Yetmezliği	3	10.5
Atelektazi	1	3.5
Akciğer Embolisi	1	3.5
Elektrolit Denge Bozukluğu	1	3.5
Toplam	29	22.83

#### *Tartışma*

İntestinal obstruksyonun fizyopatolojisi iyi bilinmekte birlikte, mortalite oranları hala yüksektir. Bu oranı farklı raporlara göre % 6-16 arasında değişmektedir.<sup>3,5</sup> Akut karın tablosunun en önemli nedenleri arasında yer alır.<sup>5</sup>

Her yaşta görülmekle beraber orta yaşı grubunda ve 50 yaşın üzerinde siktir.<sup>5</sup> Serimizdeki 127 hastadan 85'i erişkin yaşı grubundadır.

İntestinal obstruksiyonlu hastalarda, en sık görülen semptom ağrıdır.<sup>3</sup> Abdominal ağrı, hastalarımızın % 98'inde saptanmıştır.

Mekanik intestinal obstruksiyonda meydana gelen fizyopatolojik değişiklikler sonucu olarak, hipoproteinemi ve hipovolemi görülmektedir. Bunlara bağlı olarak da genellikle sıvı elektrolit denge bozukluğu, oligüri ve kan BUN düzeylerinde yükselme saptanmaktadır.<sup>1</sup> Serimizde, operasyon öncesi % 34 hastada kan BUN düzeyleri yüksek bulunurken, % 30 hastada hipoproteinemi görülmüştür.

İnce barsak obstruksiyonlarının tanısında radyoloji her zaman yardımcı olmaz. Akut intestinal obstruksiyonlarda, % 5 olguda patolojik radyolojik bulguların bulunmadığı bildirilmiştir.<sup>5,8</sup> Hastalığın erken devrelerinde yapılan radyolojik çalışmaların, aşırı kusmalar nedeniyle tanışal değeri olmayabilir.<sup>8</sup> Kolon seviyesindeki obstruksiyonlarda, % 60 hastada kolon loop'larında dilatasyon olurken, ince barsağın ait gaz gölgisinin bulunmadığı bildirilmiştir.<sup>5</sup> Serimizde ise tüm olgular dikkate alındığında, % 75 hastada ince barsak gazı görüldürken, % 44 hastada kolon gaz gölgesi saptanabilmüştür.

Mekanik intestinal obstruksiyonlarda, operasyondan önce doğru etyolojik faktör ancak % 80 hastada tahmin edilebilmektedir.<sup>10</sup>

Mekanik intestinal obstruksiyonların etyolojilere göre görülme sıklığı ülkelere göre farklılıklar gösterir. A. B. D.'de en sık görülen nedenler, sırasıyla adesiv bantlar, herniler, invajinasyonlar ve volvuluslar olarak dikkati çekerken Uganda'da, herniler, volvuluslar, adesiv bantlar, invajinasyonlar ve malign tümörler olarak sıralanmaktadır.<sup>3, 5, 6</sup>

A.B.D.'de kolon obstruksiyonlarında etyolojik nedenler karsinoma, volvulus, divertikülit ve irreduktabl herni olarak bir sıralanma gösterirken<sup>2</sup>, çalışmamızda sigmoid volvulus ilk sırada bulunmaktadır, ve erişkinlerde görülen mekanik intestinal obstruksiyonların % 28.2'sinin nedeni olmaktadır.

İntestinal obstruksiyonlarda 6 temel tedavi yöntemi bulunmaktadır ve genellikle birlikte uygulanmaktadır.

Bunlar: (1) Sıvı-elektrrolit ve plasma kaybının karşılanması, (2) Kan volumünün düzeltılması, (3) Distansiyonun önlenmesi, (4) Antibiyotikler, (5) Obstruksiyon nedeninin ortadan kaldırılması, (6) Toksik faktörlerin etkileri ile beslenme bozukluğu ve pnemoni gibi patolojilerin önlenmesidir.<sup>1</sup>

Basit intestinal obstruksiyonlarda, intestinal intubasyonla dekompreşyon sağlayarak, hastaları bu konservatif yöntemle tedavi eden yazarlar da vardır.<sup>1, 11</sup> Ancak çalışmamızda, intestinal intubasyon primer tedavi amacıyla hiç bir hastada kullanılmamış, nazogastrik sonda aracılıyla gastrointestinal muhteva aspire edilmiştir.

Cohn ve Atik, kapalı loop tekniğini kullanarak, strangulasyon tipi obstruksiyonlarda çalışmalar yapmışlardır. Antibiotik tatbikiyle mortalite oranının % 91'den, % 13'e düşüğünü bildirmiştir. 4 Serumızde, strangulasyon tipi obstruksiyonu olmayan olgularda antibiotik tedavisi uygulanmamıştır.

Sigmoid volvulusunda tatbik edilen tedavi yöntemleri konusundaki tartışmalar devam etmektedir. Akut epizodda mortalitenin yüksek oluşu (% 28), elektif cerrahi tedavi girişimlerine eğilimi artırmaktadır.<sup>2, 7, 8</sup> Acil cerrahi tedavilerde rezeksiyon uygulandığında mortalitenin % 22-44 arasında değiştiği, elektif rezeksiyonlarda ise bu oranın % 15'e düşüğü bildirilmiştir.<sup>2, 7, 9</sup> Çalışmanımızdaki 24 hastadan 16'sına rezeksiyonlu operasyonlar yapılmış, ancak mortalite % 18.7 olarak saptanmıştır. Basit detorsiyon ile % 27-89 arasında değişen rekurrens oranları bildirilmektedir.<sup>7</sup> Bu nedenle hastalarımızın çoğunda daha radikal bir cerrahi yöntem uyguladık.

İnvajinasyonlarda operatif reduksiyon oranının % 91.5, mortalite oranının ise % 1.7 olduğu bildirilmiştir.<sup>3</sup> Çalışmamızda ise operatif reduksiyon oranı % 72.7, mortalite oranı ise % 9.09 dur.

İntestinal obstruksiyonlarda mortalite oranları, son yıllarda azalma göstermektedir. Basit obstruksiyonlarda, % 3-15, strangule obstruksiyonlarda ise % 21-77 arasında değişen mortalite oranları bildirilmiştir.<sup>3</sup> Çalışmamızda total mortalite oranı % 22.83 olup, bunun en önemli nedeni de septik şoka bağlı ölümlerdir.

### *Özet*

1977-1980 yılları arasında intestinal obstruksiyon tanısı ile operasyona alınan 127 olgu retrospektif olarak incelenmiştir.

Olgularımızda en sık bulunan semptom, karın ağrısı olmuştur. Radyolojik çalışmalarda % 85 oranında görülen gaz sıvı seviyeleri önemli tanı kriterlerindendir. Çocukluk yaşı grubunda en sık görülen etyolojik faktörler, herniler, invajinasyon ve bridlerdir. Erişkinlerde ise sırasıyla bridler, sigmoid kolon volvulusu ve herniler görülmektedir. Postoperatif komplikasyon oranı % 41.6, mortalite oranı ise, % 22.83'dür. Olgularımızda uygulanan cerrahi tedavi yöntemleri ve bunların sonuçları da gözden geçirilmiştir.

### *KAYNAKLAR*

1. Baker, J. W.<sup>4</sup> Ritter, K. J.: Complete surgical decompression for late obstruction of the small intestine, with reference to method. Ann. Surg., **157**: 759, 1963
2. Byrne, J. J.: Large bowel obstruction. Am. J. Surg., **99**: 168, 1960.
3. Chioedozi, L. C., Aboh, I. O., Piserchia, N.E.: Mechanical bowel obstruction. Am. J. Surg., **139**: 389, 1980.
4. Cohn I. Jr., Atik, M.: Strangulation obstruction-closed loop studies. Ann. Surg., **153**: 94, 1961.
5. Ellis, H.: Abdominal Operations, Editor: R. Maingot, Seventh edition, Vol. II Appleton-Century-Crofts, New York, 1980, pp. 1979-2001.
6. Foo, K. T., Rauff, A., Foong, W. C., et al.: Unusual small intestinal obstruction in adolescent girls: The abdominal cocoon. Brit. J. Surg., **65**: 427, 1978.
7. Gary, J. A., Francis, C. N.: Volvulus of the sigmoid colon. Ann. Surg., **177**: 527, 1973.
8. Gough, I. R.: Strangulating adhesive small bowel obstruction with normal radiographs. Brit. J. Surg., **65**: 431, 1978.
9. Hubbard, T. B., Khan, M. Z., Carag, V. R., et al.: The pathology of peritoneal repair. Ann. Surg., **165**: 908, 1967.
10. Laws, H. L., Aldrete, J. S.: Small bowel obstruction: A review of 465 cases. South. Med. J., **69**: 733, 1976.
11. Munro, A., Jones, P. F.: Operative intubation in the treatment of complicated small bowel obstruction. Brit. J. Surg., **65**: 123, 1978.

# Böbrek Tüp Fonksiyonları Üzerine Parasempatiklerin Etkisi

**Dr. Bedri Özen\*** / **Dr. Abit Yalçın Rıdvanağaoğlu\*\*** /

**Dr. Kemal S. Türker\*\*** / **Kim. Yücel Uğur\*\*\*** /

**Dr. Dicle Balkancı\*\*\*\***

**B**öbrek tüp fonksiyonları üzerine sinir sisteminin etkisi yeterince ince-  
lenmemiştir. Sempatik sinir sistemine kıyasla parasempatik sistem  
hakkında daha az bilgi vardır.

Böbreklere sinirler vagus ve pelvik splanknik sinirler içinde gelir-  
ler.<sup>23, 28</sup> Böbrek hilusundan girdikten sonra sempatik ve parasempatik  
sinirler renal, interlobar, arkuat ve interlobüler arterler yanında iler-  
leyerek hemen hemen sadece böbrek korteksine yayılırlar.<sup>6</sup> Glomerüle  
yaklaşan parasempatik liflerin sayısı gittikçe azalır. Asetilkolinesteraz  
pozitif lif sadece afferent arteriyol civarında bulunur. Howard ve ark-  
adaşları<sup>11</sup> araştırmalarında kortikal tüpler arasında, böbrek kapsülünde  
asetilkolinesteraz pozitif sinir lifleri ve böbrekler içinde sinir hücreleri  
görmemişler fakat glomerül yapısında ve vaza rektalar civarında bu tür  
lifleri tespit etmişlerdir. Öte yandan bazı araştırmalar glomerül ve effe-  
rent arteriyollerde parasempatiklerin bulunmadığını bildirmiştir.<sup>17</sup>  
Böbrek venlerinde asetilkolinesteraz pozitif sinir lifleri tespit edilmemiştir.  
Transplantasyondan sonra kolinerjik liflerin gözlenmesine karşın adrener-  
jik liflerin tam olarak dejenera olduğu görülmüştür.<sup>16</sup> Adrenerjik  
liflerin vazokonstriktör olduğu bilinmesine karşın kolinerjikler için kesin  
bir kanı da yoktur.

Parasempatik sisteme postgangliyoner sinir uçlarından asetilkolin  
salgılandığı düşünüлerek bu konu böbrek arteri içine doğrudan asetilkolin  
verilerek araştırılmaya çalışılmıştır. Böbrek arterinden verilen  
asetilkolinin köpeklerde vazodilatasyona yol açtığı, böbrek direncini

\* Hacettepe Üniversitesi Tıp Fakültesi Fizyoloji Bölümü Öğretim Üyesi.

\*\* Aynı Fakülte, Fizyoloji Bölümü Öğretim Görevlisi.

\*\*\* Aynı Fakülte, Pediatric Nefroloji Ünitesi.

\*\*\*\* Aynı Fakülte, Fizyoloji Bölümü Asistanı.

düşürdüğü, kortikal kan akımını dış korteksten daha iç kortekese çevirdiği, su ve elektrolit ıtrahını artırdığı gözlenmiştir.<sup>13, 15</sup>

Literatürde parasempatik sinirlerin doğrudan uyarılmasıyla ilgili araştırmalar oldukça azdır. Hodge ve arkadaşları<sup>10</sup> iki taraflı servikal vagotomiden sonra renin salınışının % 241 arttığını tespit etmişlerdir. Kardiyopulmoner bölgeden gelen vagal afferentlerin renin salınışı üzerine tonik bir inhibisyon yaptığı gösterilmiştir.<sup>9</sup> Böbrek arterlerinin sıkıştırılmasıyla korteksin iç kısımlarında görülen vazodilatasyonun nedeninin salınan kolinerjik transmiter olduğu ileri sürülmüştür.<sup>34</sup> Görüleceği gibi bu çalışmalarda daha çok damar sistemi ile ilgili bulgular araştırılmıştır.

Düzenlenen bu çalışmada böbrek tüpleri üzerine parasempatiklerin etkisi araştırıldı.

#### *Materyal ve Metot*

Çalışma Hacettepe Tıp Fakültesi Deney Hayvanları Bölümünden sağlanan ortalama 11 kg. ağırlığında 10 diş melez köpek üzerinde yapıldı. Kg/30 mg. nembutalle uyutulan köpeklere trakeal kanül, femoral arter ve ven kataterleri konuldu. Üreterler ayrı ayrı ve mesaneeye yakın yerlerinden kataterize edildi. Kan basıncı basınç transduseri (Statham P23 AA) yardımıyla EKG ve idrar damları ile beraber deney süresince Gilson poligrafında (Model M 5P) kaydedildi. Bulguların sabitleşmesi için bir saatlik bir beklemeden sonra başlangıç dozu olarak 50 cm<sup>3</sup> serum fizyolojik içinde Kg/100 mg. kreatinin, Kg/30 mg. PAH ve 5 gr. mannositol femoral venden hızla verildikten sonra 500 cm<sup>3</sup> serum fizyolojik içinde 3500 mg. kreatinin 300 mg. PAH ve 25 gr. mannositol içeren idame dozundan dakikada 20 damla gidecek şekilde infüzyona geçildi. Bütün deney süresince infüzyona aynı dozdaki devam edildi. 30 dakika sonra kontrol değerlerini elde etmek için her iki üreterden ayrı ayrı 10'ar dakikalık idrar toplanırken bu sürenin tam ortasında 10 cm<sup>3</sup> kan alındı. Hematokrit ölçüldü. Kan plazmasından Na<sup>+</sup>, K<sup>+</sup>, PAH ve kreatinin tayin edildi. Bir dakikalık idrar miktarları ile içerdikleri Na<sup>+</sup>, K<sup>+</sup> PAH ve kreatinin belirlendi.

Çalışmanın ikinci bölümünde hayvanlar yüzükoyun çevrilerek lumbal 5'den sakral vertebralaların sonuna kadar omurilikten çıkan spinal sinirlerin ön ve arka kökleri kesildi. Bu işlemler devam ederken ve bütün ikinci bölüm sırasında idame dozunda infüzyona devam edildi. Yarım saat sonra her iki üreterden ayrı ayrı 10'ar dakikalık idrar toplanırken tam ortasında 10 cm<sup>3</sup> kan alındı. Hematokrit tayin edildi. Plazma ve idrar örneklerinde Na<sup>+</sup>, K<sup>+</sup>, PAH ve kreatinin miktarları ölçüldü. Bir dakikalık idrar hacmi belirlendi.

TABLE I  
SAĞ VE SOL BÖBREKTEN AYRI TOPLANAN İDRARIN BİR DAKİKALIK HACMİ, İÇERDİKLERİ  $\text{Na}^+$ ,  $\text{K}^+$ , PAH VE KREATİNİN DEĞERLERİ

TABLO II  
ÇALIŞMANIN DEĞİŞİK BÖLÜMLERİNDE PLAZMA  $\text{Na}^+$ ,  $\text{K}^+$ , PAH VE KREATİNİN DEĞERLERİ

	$\text{Na}^+$ mEq/L	$\text{K}^+$ mEq/L	PAH % mg	Kreatinin % mg
A-Kontrol	140.7±1.9	3.56±0.13	2.5±0.28	16.28±1.18
B-Sakral Parasempatektomi	139.2±2.1	3.47±0.1	1.36±0.16	16.13±1.19
C-Sakral Parasempatektomi + Vagotomi	137.8±1.5	3.33±0.13	1.26±0.15	15.95±0.95
D-Sol Vagusun Uyarılması	138.5±1.9	3.49±0.12	1.26±0.16	16.88±0.93
E-Sağ Vagusun Uyarılması	136.8±1.4	3.51±0.14	1.28±0.16	17.84±1.16
Önemlilik	Önemsiz	Önemsiz	Önemli ( $P < 0.05$ )	Önemsiz

Çalışmanın üçüncü bölümünde her iki tarafta vaguslar servikal bölgeden kesildi. İdame dozunda infüzyona devam edilen bu devrede de 30 dakikalık bir beklemeden sonra her iki üreterden 10'ar dakikalık idrar örnekleri ve bunun tam ortasında  $10 \text{ cm}^3$  kan alındı. Hematokrit tayin edildi. Bir dakikalık idrar hacmi ölçüldü. Plazma ve idrardan  $\text{Na}^+$ ,  $\text{K}^+$ , PAH ve kreatinin tayinleri yapıldı.

İdame dozunda infüzyonun devam ettiği çalışmanın dördüncü bölümünden 30 dakikalık bir beklemeden sonra sol vagus Grass S 88 stimülatörle (5 volt potansiyel, saniyedeki frekans 20 ve kare dalga süresi 8 milisaniye) 10 dakika süre ile uyarıldı.<sup>20</sup> Bu değerdeki uyarı ile kalp hızında normale göre 2-2.5 kat bir azalma meydana geliyordu. Vagusların sinirlendirdiği vücuttaki bütün organlarda da aynı etkinin meydana geleceği varsayılarak böbrek tüp fonksiyonlarında meydana gelebilecek değişiklikleri araştırmak yönünden 10 dakikalık uyarılma sırasında idrar örnekleri ayrı ayrı toplanırken bu toplama devresinin tam ortasında  $10 \text{ cm}^3$  kan alındı. Hematokrit tayin edildi. Bir dakikalık idrar hacmi tayin edildi. Plazma ve idrardan  $\text{Na}^+$ ,  $\text{K}^+$ , PAH ve kreatinin ölçümleri yapıldı.

İdame dozunda infüzyonun devam ettiği çalışmanın son bölümünde ise yine 30 dakikalık bir beklemeden sonra sağ vagus sol vagus gibi aynı şiddette uyarıldı. Bu sırada her iki üreterden ayrı ayrı 10'ar dakikalık idrar örnekleri toplanırken toplama süresinin tam ortasında  $10 \text{ cm}^3$  kan alındı. Hematokrit tayin edildi. Bir dakikalık idrar miktarı ölçüldü. Plazma ve idrarda  $\text{Na}^+$ ,  $\text{K}^+$ , PAH ve kreatinin miktarları belirlendi.

### Bulgular

Çalışmanın çeşitli bölümlerinde sağ ve sol böbrekten ayrı ayrı toplanan idrarın bir dakikalık hacmi ve içinde bulunan  $\text{Na}^+$ ,  $\text{K}^+$ , PAH ve kreatinin miktarları Tablo I'de görülmektedir.

**TABLO III**  
**ÇALIŞMANIN DEĞİŞİK BÖLÜMLERİNDE ÖLÇÜLEN BİR DAKİKALIK İDRAR HACMİ VE KAN BASINCI DEĞERLERİ**

	İdrar Hacmi ( $\text{cm}^3/\text{dak.}$ )	Kan Basinci (mmHg)
A- Kontrol	0.85 ± 0.12	123 ± 10.8
B- Sakral Parasempatektomi	0.74 ± 0.09	118.5 ± 8.4
C- Sakral Parasempatektomi + Vagotomi	0.66 ± 0.06	122.5 ± 12.8
D- Sol Vagusun Uyarılması	0.53 ± 0.07	106.5 ± 7.4
E- Sağ Vagusun Uyarılması	0.45 ± 0.06	105.5 ± 6.3
Önemlilik	Önemli ( $P < 0.05$ )	Önemsiz

TABLO IV  
ÇALIŞMANIN DEĞİŞİK BÖLÜMLERİNDE İDRARDADA ÖLÇÜLEN  $\text{Na}^+$ ,  $\text{K}^+$ , PAH, KREATINİN,  $\text{Na}^+$ -KLERENS VE  $\text{K}^+$ -KLERENS DEĞERLERİ

	$\text{Na}^+$ (mEq/L)	$\text{K}^+$ (mEq/L)	PAH (% mg)	Kreatinin (% mg)	$\text{Na}^+$ -Klerens ( $\text{cm}^3/\text{dak}$ )	$\text{K}^+$ -Klerens ( $\text{cm}^3/\text{dak}$ )
A-Kontrol	65.7 ± 16.4	35.27 ± 5.11	589.5 ± 102	1214 ± 212	0.477 ± 0.13	4.0430.53
B-Sakral Parasempatektomi	63.7 ± 12.4	39.18 ± 6.8	315.5 ± 39	1316 ± 160	0.237 ± 0.06	4.368 ± 0.82
C-Sakral Parasempatektomi + Vagotomi	62.3 ± 13.6	46.81 ± 8.16	282.5 ± 30	1355 ± 140	0.166 ± 0.039	4. 83 ± 0.92
D-Sol Vagusun Uyarılması	49 ± 9.8	45.26 ± 9.7	286 ± 31	1462 ± 142	0.107 ± 0.029	3. 78 ± 1.05
E-Sağ Vagusun Uyarılması	39.9 ± 6	46.85 ± 9.8	269 ± 31	1434 ± 114	0.071 ± 0.016	3.103 ± 0.9
Önemlilik	Önemsiz	Önemsiz ( $P < 0.05$ )	Önemli ( $P < 0.05$ )	Önemsiz ( $P < 0.05$ )	Önemsiz	Önemsiz

Yine aynı devrelerde kan plazmasından tayin edilen  $\text{Na}^+$ ,  $\text{K}^+$ , PAH ve kreatinin miktaları Tablo II'de gösterilmiştir.

Tablo III'te çalışmanın çeşitli bölümlerindeki kan basıncı değerleri ile bir dakikalık idrar hacimleri görülmektedir.

Tablo IV'de ise çalışmanın değişik bölgelerinde toplanan idrar içindeki  $\text{Na}^+$ ,  $\text{K}^+$ , PAH ve kreatininle  $\text{Na}^+$  ve  $\text{K}^+$  klerensleri görülmektedir.

### *Tartışma*

Çalışmanın A, B, C, D ve E olarak ifade edilen değişik bölgelerinde böbrek tüp fonksiyonlarında olabileceği değişiklikleri belirlemek amacıyla her iki böbrekten ayrı ayrı toplanan idrar örneklerinde  $\text{Na}^+$ ,  $\text{K}^+$ , PAH, kreatinin ve bir dakikalık idrar hacmi tayinleri yapıldı. Bütün parasympatikleri sağlam, her iki tarafta sakral parasympatikleri kesilmiş, ayrıca ek olarak iki tarafta servikal vagotomi yapılmış, sağ ve sol vagus uyardılmış köpeklerde her iki böbrek arasında bazı farklar görülmektedir ise de bunların istatistiksel yönden önemli farklar olmadığı Tablo I de görülmektedir.

Böbrek arteri içine asetilkolin infüzyonundan sonra Laurence ve arkadaşları<sup>19</sup> asetilkolin verilen tarafta idrar hacminin ve  $\text{Na}^+$  itrahının arttığını gözlemişlerdir. Aynı bulgular başka araştırmacılar tarafından da ortaya konmuştur.<sup>5, 7, 35</sup> Arthur<sup>2</sup> buna neden olarak vazodilatasyonu göstermiştir. Direnç düşüğü için peritübüler kapillerlere gelen kan miktarı artmakta, hidrostatik basınç yükselmekte bu ise  $\text{Na}^+$ ,  $\text{K}^+$ ,  $\text{Cl}^-$  gibi iyonların geri emilişini durdurmaktadır. Su emilişi bunlara bağlı olarak azalmaktadır. Yukarıda bildirilen değişik araştırmacı gruplarının bulguları Tablo III ve IV'deki bizim bulgularımızla karşılaştırıldığı zaman önemli farklar göstermektedir. Bizim bulgularımızda normale göre 2-2.5 kat bir şiddetle vaguslar uyarıldığı zaman, özellikle sağ vagusta, idrar miktarında önemli bir azalma olmaktadır. Bu sırada önemli olmamakla beraber idrarla atılan sodyum azalırken potasyum artmaktadır. Ayrıca PAH miktarı önemli derecede azalırken kreatinin miktarı önemiz de olsa artmaktadır. Literatürde bizim bulgularımızı destekleyen araştırmalar da vardır. Düşük dozda asetilkolinin su ve elektrolit itrahını artırduğu, büyük dozların ise su ve elektrolit klerenslerini azalttığı bildirilmiştir.<sup>4, 31</sup> Pickford<sup>29</sup> ise intravenöz asetilkolinin su diürezini durdurduğunu fakat hidropenik köpeklerde su diürezine ve klorür itrahına neden olduğunu göstermiştir. Ayrıca böbrek arterinden verilen asetilkolinin PAH salgılayan bölgelerden geçen kan akışını artırarak  $\text{Na}^+$ ,  $\text{K}^+$ ,  $\text{Cl}^-$  yanında PAH klerensini de artırıldığı bildirilmiştir.<sup>33, 35</sup> Buna karşı olarak Pilkington ve arkadaşları<sup>30</sup> infüzyondan sonra PAH sekresyonunun azaldığını bil-

dirdiler. Bulgularımızdan kan basıncında anlamlı bir fark olmamasına rağmen idrar miktarının ve içinde itrah edilen sodyumun azalması ile potasyumun artmasının açıklanması, vagusları uyarmakla böbrek direncindeki tespit ettiğimiz anlamlı artışla açıklamak mümkün olabilir. Parasempatiklerin vazokonstriktör etkisi ve katekolamin salınısına neden olmalarıyla açıklanabilir.<sup>3, 18</sup> Karşıt olarak noradrenalin de asetilkolin salınışını kontrol etmektedir.<sup>21</sup> Katekolaminler renin ve aldosteron salınışını artırarak, böbreklere gelen kan akışını azaltarak idrar miktarını düşürebilirler. Aldosteron ise distal tüplerden sodyumun geri emilişini artırırken potasyumun itrahına yolaçabilir. Tablo IV de bu düşünceyi destekleyen bulgular vardır. Ayrıca asetilkolin infüzyonuyla böbreklerde otoregülasyonun ortadan kalktığı da bildirilmiştir.<sup>30</sup> Özellikle sağ olmak üzere vagusların normale göre 2-2.5 kat şiddetinde uyarılması kan basıncında anlamlı bir değişiklik olmamasına rağmen glomerüler filtrasyon hızını ve böbrek kan akışını anlamlı olarak azaltmaktadır. Tarafımızdan tespit edilen bu bulgu otoregülasyonun kalkıldığı görüşünü desteklemektedir. Glomerüler filtrasyon ve böbrek kan akımının azalması da elektrolit ve idrar hacminin azalmalarını açıklayabilir.

Araştırmalarda prostoglandinlerle asetilkolinin etkileri arasında benzerlikler bulunmuştur. Prostoglandin verildiği zaman da böbreklerde vazodilatasyon ve natriürez oluşur.<sup>14, 22, 32</sup> Prostoglandin E<sub>2</sub> nin ADH'nın adenilsiklazi uyarmasını inhibe ederek diüreze neden olduğu ifade edilmektedir.<sup>12</sup> Prostoglandin A<sub>2</sub> de natriürez ve diürez yapmaktadır.<sup>1</sup> Öte yandan böbrek direnci arttığı zaman prostoglandine benzer maddelerin salınışı artar.<sup>25, 26</sup> Hemodilüsyon böbrek korteksine kan akışını artırır bu ise prostoglandin sentezini durdurabilmektedir.<sup>24, 27</sup> Ayrıca renin salınışının arttığı hallerde prostoglandin salınışı arttığı gibi vagotomi de renin salınışını artırmaktadır.

Literatürdeki bulgular topluca düşünüldüğü zaman asetilkolin-renin-katekolaminler ve prostoglandinler arasında karşılıklı etkileşmeler olduğu görülür. Vagusları uyarmakla elde ettiğimiz bulgularda doğrudan böbrek arterine asetilkolin verilmekle elde edilen bulgulara çoğunlukla karşıt sonuçlar elde edilmiştir. Uyguladığımız normalin 2-2.5 katı şiddetindeki uyarı belki de araştırcıların kullandığı asetilkolin dozlarından daha etkili olmakta, otoregülasyonu ortadan kaldırarak idrar miktarının, sodyum ve PAH'ın azalmasına yol açmaktadır. Sodyumun kontrola göre azalması potasyumun artması renin-anjiyotensin-aldosteron mekanizmasının daha fazla çalışmasıyla açıklanabilir. Kreatininde kontrola göre önemli olmayan artışı ise elimizdeki verilere göre açıklamak oldukça güçtür.

*Özet*

Bu çalışmada böbreğe giden bütün parasempatikler kesildikten ve daha sonra da vagusların ayrı ayrı ve normale göre 2-2.5 kat şiddetinde uyarılmaları sırasında tüp fonksiyonlarında oluşabilecek değişiklikler araştırıldı.

1. Çalışmanın çeşitli bölümlerinde sağ ve sol böbreğin tüp fonksiyonları arasında anlamlı bir fark tespit edilmedi.
2. Sağ vagusun uyarılmasıyla, kan basıncında anlamlı bir değişim olmamasına rağmen, idrar hacminde, PAH miktarında ve sodiym klerensinde anlamlı azalmalar meydana geldi. Bu sırada, anlamlı olmamakla beraber, potasyum ve kreatinin itrahında da artışlar görüldü.
3. Asetilkolin, renin-anjiyotensin-aldosteron, katekolaminler ve prostoglandinler arasında karşılıklı ilişkiler bulunmaktadır. Bu ilişkilerin sonucu olarak böbreklerde otoregülasyon olayı meydana gelmektedir.
4. Parasympatiklerin normalden daha fazla uyarılması büyük olasılıkla bu otoregülasyonu ortadan kaldırmaktadır.

*KAYNAKLAR*

1. Ahmad A. Attallah and James B. Lee: Radioimmunoassay of prostoglandin A. Intrarenal PGA<sub>2</sub> as a factor mediating saline-induced natriuresis. *Cir. Res.*, **33**: 696, 1973.
2. Arthur J. Vander: Effects of acetylcholine, atropin and physostigmine on renal function in the dog. *Am. J. Physiol.* **206**(3): 492, 1964.
3. Burn J. H., and Rand M. J.: Sympathetic postganglionic mechanism. *Nature (London)* **184**: 163, 1959.
4. Cook, D. L.: Effects of autonomic agents on renal water, sodium and potassium clearance. *Am. J. Physiol.* **163**: 704, 1950.
5. Cotten, M. R., Carter M. K.: The effect of renal arterial infusion of cholinomimetic agents on renal function. *Arch. Int. Pharmacodyn.* **170**(2): 473, 1967.
6. Coupland, R. E.: The anatomy of the human kidney. Chapter I, in renal disease. Edited by D. A. K. Black, Blackwell, Oxford 1962.
7. Domeranz B. H., Birtch A. G.: Neural control of intrarenal blood flow. *Am. J. Physiol.* **215**(5): 1067, 1968.
8. Dunn M. J. and Hood V. L.: Prostoglandins and the kidney. *Am. J. Physiol.* **233**: part I, F 169, 1977.
9. Giuseppe Mancia, Carlos Romero J. and Shepherd J. T.: Continuous inhibition of renin release in dogs by vagally innervated receptors in the cardiopulmonary region. *Cir. Res.* **36**: 529, 1975.
10. Hodge R. L., Lowe R. D., Vane J. R.: Role of the vagus nerve in the control of the concentration of angiotensin II in the circulation. *Nature* **221**: 177, 1969.

11. Howard A., Weitsen, B. A. and John E. Norwell: Cholinergic innervation of the autotransplanted canin kidney. *Cir Res.* **25:** 535, 1969.
12. Harold O., Itskovitz, John C. McGiff: Prostaglandins and the kidney. *Cir Res.* **33:** 479, 1973.
13. Jay H. Stein, Thomas F. Ferris, James E. Huprich: Effect of renal vasodilatation on the distribution of cortical blood flow in the kidney of the dog. *J. Clin Invest.* **50:** part 2, 1429, 1971.
14. Jerom Tannenbaum, Jacek A. Splanuvinski: Enhanced renal prostoglandin production in the dog. *Cir Res.* **36:** 197, 1975.
15. John C. McNay, Youichi Abe: Redistribution of cortical blood flow during renal vasodilatation in dogs. *Cir Res.* **27:** 1023, 1970.
16. John E. Norvell: Renal nerves: Are they essential? *New Eng. J. Med.* **283(5):** 261, 1970.
17. Joseph P. Gilmore: *Renal Physiology.* The Williams and Wilkins Company Baltimore 1972, pp. 9-10.
18. Kottegado S. R.: The action of nicotine and acetylcholine on the vessels of the rabbit ear. *Brit. J. Pharmac.* **8:** 155, 1953.
19. Laurence E. Earley, Robert M. Friedler: The effects of combined renal vasodilation and pressor agents on renal hemodynamics and the tubular reabsorption of sodium. *J. Clin. Invest.* **45:** 542, 1966.
20. Lawrence A. Frohman, Ediz Z. Ezdinli and Rouhollah Javid: Effect of vagotomy and vagal stimulation on insulin secretion. *Diabetes* **16(7):** 443, 1967.
21. Loffelholz K. and Muscholl E.: Acetylcholine as modulator. *Arch. Exp. Path. Pharmac.* **267:** 181, 1970.
22. Martinez-Maldonado M., Tsaparas N., Eknayan G. and Suki W. N.: Renal actions of prostoglandins. *Am. J. Physiol.* **222:** 1147, 1972.
23. Mc Crea, E. D. A.: The abdominal distribution of the vagus. *J. Anat. London* **59:** 18, 1924.
24. McDonald K. M.: Effect of hematocrit and colloid-induced changes in blood viscosity on renal hemodynamics and renin release in the dog. *Cir. Res.* **34:** 112, 1974.
25. McGiff J. C., Terrogo, N. A., Lonigo, A. J.: Patterns of release and identification of renal antihypertensive substances produced by renal ischemia. *J. Clin. Invest.* **48:** 57 a, 1969.
26. McGiff J. C., Crowshaw, K. and Itskovitz, H. D.: Prostaglandins and renal function. *Fed. Proc.* **33:** 39, 1974.
27. Midgal S., Alexander E. A., Bruns F. J.: Effect of hemodilution on the distribution of renal blood flow. *Cir. Res.* **36:** 71, 1975.
28. Mitchell G. A. G.: The renal nerves. *Brit J. Urol.* **22:** 269, 1950.
29. Pickford M.: The inhibitory effect of acetylcholine on water diuresis in the dog and its pituitary transmission. *J. Physiol. London* **95:** 226, 1939.
30. Pilkington L. A. at al: Intrarenal distribution of blood flow. *Am. J. Physiol.* **208:** 1107, 1965.
31. Pinter G. G., O'Morchoe C. C. C.: Effect of acetylcholine on renal function. *Fed. Proc.* **22:** 218, 1963.
32. Robert Terashima, Fred L. Anderson and William Jubiz: Prostaglandin E release in the dog. *Am. J. Physiol.* **231(5):** 1429, 1971.
33. Rodney B. Harvey: Effects of acetylcholine infused into renal artery of dogs. *Am. J. Physiol.* **211:** 487, 1966.
34. Stinson, J. M., Barnes A. B., Zakheim R. M.: Reflex cholinergic vasodilatation during renal artery constriction in the unanesthetized dog. *Am. J. Physiol.* **217:** 239, 1969.
35. Williams R. L., Pearson, J. E. Jr., Carter, M. K.: Renal electrolyte changes after unilateral renal arterial infusion of cholinergic drugs. *Fed. Proc.* **23:** 329, 1964.